

# 生态统计学 AI+

沈国春、李勤

2025-10-13



# 目录

<b>前言</b>	<b>9</b>
0.1 为什么 . . . . .	9
0.2 本书介绍 . . . . .	11
0.3 课程在线资源 . . . . .	12
0.4 学习方式 . . . . .	13
0.5 重复本书例子 . . . . .	15
<b>1 AI 辅助编程基础</b>	<b>19</b>
1.1 引言 . . . . .	19
1.2 生态数据分析的核心能力 . . . . .	20
1.3 AI 编程思维基础 . . . . .	28
1.4 AI 协同编程技能 . . . . .	55
1.5 总结 . . . . .	59
1.6 综合练习 . . . . .	60
<b>2 生态系统的随机性与规律</b>	<b>61</b>
2.1 引言 . . . . .	61
2.2 蚂蚱午餐与概率 . . . . .	62
2.3 随机变量与分布 . . . . .	83
2.4 午餐菜单：离散随机变量的分布家族 . . . . .	87
2.5 午餐法则：连续随机变量的分布家族 . . . . .	97
2.6 生态异质性数据的混合分布 . . . . .	111
2.7 零膨胀分布的概念与生态学意义 . . . . .	112
2.8 总结 . . . . .	115
2.9 综合练习 . . . . .	116
<b>3 生态特征的简单定量描述</b>	<b>119</b>
3.1 引言 . . . . .	119
3.2 描述统计基础 . . . . .	121
3.3 环境异质性描述 . . . . .	133
3.4 个体特征描述 . . . . .	139
3.5 种群特征描述 . . . . .	142
3.6 群落特征描述 . . . . .	147
3.7 生态网络特征描述 . . . . .	152
3.8 生态系统稳定性描述 . . . . .	158
3.9 总结 . . . . .	163
3.10 综合练习 . . . . .	165
<b>4 从样本到总体的生态推断</b>	<b>167</b>
4.1 引言 . . . . .	167
4.2 生态调查中的样本与总体 . . . . .	168
4.3 生态参数的估计基础 . . . . .	172

4.4 种群大小估计 . . . . .	197
4.5 物种多样性估计 . . . . .	213
4.6 总结 . . . . .	228
4.7 综合练习 . . . . .	230
<b>5 生态变量间的关联与相似 . . . . .</b>	<b>233</b>
5.1 引言 . . . . .	233
5.2 生态变量的线性相关性 . . . . .	234
5.3 生态变量的非线性相关 . . . . .	240
5.4 时间序列的自相关 . . . . .	245
5.5 空间格局的自相关 . . . . .	258
5.6 系统发育相关性 . . . . .	279
5.7 生态相似性与距离度量 . . . . .	288
5.8 总结 . . . . .	301
5.9 综合练习 . . . . .	302
<b>6 生态假设的经典检验方法 . . . . .</b>	<b>305</b>
6.1 引言 . . . . .	305
6.2 梅花鹿保护与假设检验 . . . . .	307
6.3 种群基准：单样本检验 . . . . .	320
6.4 保护前后对比：双样本检验 . . . . .	324
6.5 不同保护区的比较：多样本检验 . . . . .	330
6.6 生态复杂数据的非参数检验 . . . . .	336
6.7 生态多重比较的校正方法 . . . . .	337
6.8 生态保护效果的功效分析 . . . . .	346
6.9 总结 . . . . .	354
6.10 综合练习 . . . . .	356
<b>7 生态假设的模拟检验方法 . . . . .</b>	<b>359</b>
7.1 引言 . . . . .	359
7.2 生态假设检验的方法学演进 . . . . .	361
7.3 生态假设的置换检验 . . . . .	362
7.4 生态假设的蒙特卡洛检验 . . . . .	366
7.5 生态假设的自助法检验 . . . . .	369
7.6 基因型频率检验 . . . . .	371
7.7 多样性差异检验 . . . . .	375
7.8 物种空间分布检验 . . . . .	380
7.9 系统发育信号检验 . . . . .	387
7.10 生态学零模型检验 . . . . .	392
7.11 总结 . . . . .	402
7.12 综合练习 . . . . .	403
<b>8 简单生态关系的建模 . . . . .</b>	<b>405</b>
8.1 引言 . . . . .	405
8.2 线性回归模型：生态关系的数学表达 . . . . .	407
8.3 生态关系的最小二乘估计 . . . . .	407
8.4 回归诊断：验证模型的生态学合理性 . . . . .	414
8.5 生态模型中的变量选择 . . . . .	419
8.6 生态多因子模型的变量选择 . . . . .	420
8.7 多项式回归：非线性生态关系的数学描述 . . . . .	432
8.8 总结 . . . . .	437
8.9 综合练习 . . . . .	439
<b>9 生态模型的比较与验证 . . . . .</b>	<b>441</b>

9.1 引言 . . . . .	441
9.2 生态模型的比较与选择 . . . . .	443
9.3 生态模型的验证与评估 . . . . .	456
9.4 生态模型的贝叶斯评判方法 . . . . .	465
9.5 总结 . . . . .	475
9.6 综合练习 . . . . .	478



# 插图

1	思 R 不学则殆，学 R 不思则罔 . . . . .	14
2	像哈利波特学习魔法一样从错误中快速成长 . . . . .	14
1.1	程序运行中的数据流动示意图 . . . . .	30
1.2	算法复杂度随数据规模增长的趋势图 . . . . .	54
2.1	大数定律可视化：样本均值随样本量增加收敛于总体均值 . . . . .	67
2.2	样本量对概率估计精度的影响：样本量越大，估计误差越小 . . . . .	70
2.3	全概率公式应用：各情景对总体灭绝概率的贡献分解 . . . . .	72
2.4	贝叶斯更新过程：森林健康评估中先验信念到后验信念的转变 . . . . .	76
2.5	贝叶斯风险评估与决策分析：基于新证据的风险概率更新和成本效益决策 . . . . .	76
2.6	贝叶斯模型比较：线性模型与季节模型对种群增长模式的拟合效果对比 . . . . .	77
2.7	主观偏见问题：不同群体对同一生态风险评估的差异 . . . . .	79
2.8	随机变量演示：蚱蜢植物选择行为的概率分布与随机模拟 . . . . .	84
2.9	蚱蜢午餐选择的概率分布：黑麦草、混合草甸、三叶草的选择概率对比 . . . . .	84
2.10	蚱蜢午餐选择的累积概率分布：阶梯函数展示概率的累积过程 . . . . .	86
2.11	伯努利分布：不同成功概率下的二元选择概率分布 . . . . .	88
2.12	二项分布：不同成功概率下多次试验中成功次数的概率分布 . . . . .	90
2.13	多项式分布：蚱蜢 10 次观察中不同植物选择组合的概率分布 . . . . .	92
2.14	泊松分布：不同平均发生率下稀有事件发生次数的概率分布 . . . . .	93
2.15	几何分布：不同成功概率下首次成功所需试验次数的概率分布 . . . . .	95
2.16	负二项分布：不同参数组合下第 r 次成功所需试验次数的概率分布 . . . . .	97
2.17	连续随机变量的概率密度函数与累积分布函数对比 . . . . .	99
2.18	均匀分布：不同区间参数下的概率密度函数 . . . . .	100
2.19	指数分布：不同速率参数下等待时间的概率密度函数 . . . . .	102
2.20	正态分布：不同参数组合下的概率密度函数 . . . . .	103
2.21	威布尔分布可视化：蚱蜢生存时间分布的直方图与理论曲线对比 . . . . .	104
2.22	不同形状参数的威布尔分布比较：概率密度函数与风险函数的四种模式对比 . . . . .	105
2.23	伽马分布：不同参数组合下的概率密度函数 . . . . .	106
2.24	贝塔分布：不同参数组合下的概率密度函数 . . . . .	108
2.25	中心极限定理演示：不同总体分布下样本均值的正态收敛过程 . . . . .	109
2.26	样本量对中心极限定理的影响：样本量越大，样本均值分布越接近正态 . . . . .	110
2.27	混合分布：双峰数据的概率密度函数 . . . . .	112
2.28	零膨胀泊松分布与普通泊松分布的对比可视化。图中清晰地展示了零膨胀分布中零值的过度集中现象，这是生态学中许多稀有物种和低密度种群数据的典型特征。 . . . . .	114
3.1	标准误随样本量的变化关系图。随着样本量的增加，标准误逐渐减小，表明更大的样本量能够提供更精确的总体均值估计。 . . . . .	126
3.2	树木胸径分布的直方图，展示右偏分布特征。红色虚线表示均值，蓝色虚线表示中位数，均值大于中位数表明分布向右偏斜。 . . . . .	128
3.3	统计概念在正态分布上的可视化。红色垂直线表示均值，橙色虚线表示 ±1 个标准差的范围，绿色箭头表示标准差的实际跨度。 . . . . .	130

3.4 标准误的可视化分析。左图显示样本均值的抽样分布，右图展示标准误与样本均值的关系。红色虚线表示总体均值，橙色虚线表示平均标准误。 . . . . .	131
3.5 不同统计参数值的分布形状比较。包括均值、标准差、偏度和峰度四个维度的分布特征对比，展示了统计参数对分布形状的影响。 . . . . .	132
3.6 环境异质性可视化分析。上图展示低环境异质性和高环境异质性的空间分布对比，下图通过箱线图比较两种异质性类型的土壤养分值分布。 . . . . .	134
3.7 环境异质性组成柱状图。展示四种生境类型（森林、草地、湿地、农田）的面积比例分布，用于计算环境异质性指数。 . . . . .	136
3.8 空间变异分解饼图。展示土壤养分值的总变异中空间变异和随机变异的相对比例，用于分析环境异质性的形成机制。 . . . . .	137
3.9 不同复杂程度环境表面的分形维数可视化。左图展示平滑环境表面（低分形维数），右图展示复杂环境表面（高分形维数）。 . . . . .	139
3.10 鸟类个体生存函数曲线。使用 Kaplan-Meier 方法估计的生存概率随时间变化曲线，蓝色曲线表示生存概率，可用于分析个体存活率和寿命分布。 . . . . .	140
3.11 瞬时死亡风险函数曲线。红色曲线表示在不同时间点仍然存活的个体在下一瞬间死亡的条件概率密度，反映了死亡风险的瞬时变化模式。 . . . . .	141
3.12 个体生存特征综合分析。左图：生存函数（蓝色）表示生存概率；中图：瞬时死亡风险函数（红色）表示死亡风险率；右图：累积风险函数（深绿色）表示累积死亡风险。 . . . . .	142
3.13 个体生存特征综合分析。左图：生存函数（蓝色）表示生存概率；中图：瞬时死亡风险函数（红色）表示死亡风险率；右图：累积风险函数（深绿色）表示累积死亡风险。 . . . . .	143
3.14 树木胸径分布图。蓝色点表示个体胸径值，红色虚线表示平均胸径，用于计算和可视化 Gini 系数，反映种群内个体大小的不均等性。 . . . . .	144
3.15 Lorenz 曲线图。深绿色曲线表示累积资源分配比例，灰色对角线表示完全均等分配，浅绿色区域表示基尼面积，用于可视化种群内资源分配的不均等性。 . . . . .	145
3.16 不同种群的个体大小分布比较。通过箱线图和散点图展示竞争强度不同的两个种群的个体大小分布，用于比较 Gini 系数和种内竞争格局。 . . . . .	146
3.17 森林群落物种组成柱状图。展示五种树种（橡树、松树、枫树、桦树、杉树）的个体数量分布，用于计算和可视化 Shannon-Wiener 多样性指数。 . . . . .	149
3.18 群落均匀度比较。展示五种树种（橡树、松树、枫树、桦树、杉树）的个体数量分布，用于计算和可视化 Pielou 均匀度指数。 . . . . .	151
3.19 植物-传粉者相互作用网络图。绿色节点表示植物物种，蓝色节点表示传粉者物种，连线表示相互作用关系。图中展示了网络的连接度、模块性和嵌套性等拓扑特征，反映了物种间相互作用的组织规律。 . . . . .	156
3.20 简化食物网结构图。绿色节点表示生产者（植物），黄色节点表示草食动物，橙色节点表示初级捕食者，红色节点表示顶级捕食者。箭头表示能量流动方向，展示了食物网的平均链长和连接复杂性等特征。 . . . . .	157
3.21 生态系统抵抗力分析图。蓝色线条表示正常条件下的生物量，红色线条表示环境压力后的生物量。通过比较两种条件下生物量的变化程度，计算生态系统对环境干扰的抵抗能力。 . . . . .	160
3.22 生态系统恢复力分析图。蓝色曲线表示火灾后森林生物量的恢复过程，红色虚线表示 95% 恢复阈值。通过分析生物量恢复到原始状态所需的时间和速率，量化生态系统的自我修复能力。 . . . . .	161
3.23 生态系统持久性分析图。蓝色曲线表示湖泊营养状态（总磷浓度）的长期动态变化，灰色虚线表示稳定状态的上下阈值。通过分析系统在稳定状态内维持的时间比例，量化生态系统的长期稳定性。 . . . . .	162
4.1 t 分布与正态分布的比较：不同自由度的 t 分布（红色、蓝色、绿色）与标准正态分布（黑色）的对比，展示随着自由度增加 t 分布逐渐趋近正态分布的趋势 . . . . .	175
4.2 不同置信水平的区间估计比较 . . . . .	176
4.3 贝叶斯估计的后验分布 . . . . .	189
4.4 Schnabel 估计的稳定性检验 . . . . .	201
4.5 样方内植物数量分布 . . . . .	204
4.6 样线法估计的敏感性分析 . . . . .	205
4.7 半正态发现函数 . . . . .	207
4.8 去除法：捕获量随累积捕获量的变化 . . . . .	211

4.9 样本积累曲线与外推 . . . . .	215
4.10 物种丰富度内插比较 . . . . .	217
4.11 Bootstrap 估计的抽样分布 . . . . .	220
4.12 多度分布模型拟合结果 . . . . .	221
4.13 稀有物种对多样性估计的影响分析 . . . . .	223
4.14 样本量对多样性估计精度的影响 . . . . .	225
5.1 树木胸径与树高的关系散点图, 显示线性相关关系 . . . . .	235
5.2 河流水质与底栖动物多样性的关系散点图, 显示单调非线性关系 . . . . .	237
5.3 鸟类迁徙时间与气温变化的关系散点图, 显示对异常值的稳健性 . . . . .	238
5.4 距离相关强弱对比示意图: 左图显示弱距离相关 (变量间距离模式不同步), 右图显示强距离相关 (变量间距离模式高度同步) . . . . .	242
5.5 植物功能性状间的非线性关系散点图, 显示 U 型关系 . . . . .	243
5.6 环境因子与物种分布的关系逻辑回归曲线 . . . . .	245
5.7 生态学中不同强度时间自相关的实例对比: 左图显示强正自相关 (多年生植物种群动态), 中图显示弱自相关 (随机环境波动), 右图显示负自相关 (捕食-被捕食系统振荡) . . . . .	246
5.8 四种时间自相关模式的自相关函数对比: 左上显示强正自相关的缓慢衰减模式, 右上显示弱自相关的快速衰减模式, 左下显示捕食者种群的负自相关振荡模式, 右下显示被捕食者种群的负自相关振荡模式 . . . . .	248
5.9 森林年轮宽度的时间序列图 . . . . .	250
5.10 森林年轮宽度的偏自相关函数 . . . . .	251
5.11 森林年轮宽度的自相关函数与偏自相关函数对比 . . . . .	251
5.12 时间序列平稳性对比示意图: 左图显示平稳时间序列 (恒定统计特性), 右图显示非平稳时间序列 (具有趋势和季节性变化) . . . . .	253
5.13 鸟类种群数量的时间序列图, 展示了具有趋势、季节性和随机成分的非平稳时间序列 . . . . .	255
5.14 一阶差分后的鸟类种群序列, 趋势成分已被去除, 主要保留随机波动 . . . . .	257
5.15 原始序列的自相关函数, 显示缓慢衰减的非平稳特征 . . . . .	257
5.16 差分后序列的自相关函数, 显示快速衰减的平稳特征 . . . . .	258
5.17 时间序列分解结果, 展示趋势、季节性和随机成分的分离 . . . . .	259
5.18 空间自相关模式的直观展示: 有空间自相关 (左上)、无空间自相关 (右上)、强空间自相关 (左下)、弱空间自相关 (右下) . . . . .	260
5.19 空间自相关的热力图展示: 通过插值方法生成的热力图能够更清晰地显示空间格局 . . . . .	260
5.20 变异函数三个关键参数的技术解释: 块金值 (nugget)、基台值 (sill) 和变程 (range) 的直观展示 . . . . .	261
5.21 不同变异函数参数组合的对比: 展示块金值、基台值和变程对空间依赖结构的影响 . . . . .	262
5.22 土壤 pH 值的空间取样分布图 . . . . .	263
5.23 土壤 pH 值的经验变异函数和空间分布图 . . . . .	263
5.24 土壤 pH 值的经验变异函数和空间分布图 . . . . .	264
5.25 土壤 pH 值的克里金插值结果 . . . . .	266
5.26 森林树木的空间分布和胸径变异 . . . . .	268
5.27 Moran's I 的蒙特卡洛检验结果 . . . . .	269
5.28 鸟类物种丰富度的 LISA 分析结果 . . . . .	271
5.29 鸟类物种丰富度的 Getis-Ord Gi* 分析结果 . . . . .	272
5.30 多重比较校正前后的 p 值分布对比 . . . . .	273
5.31 空间平稳性对比示意图: 左图显示平稳空间过程 (恒定统计特性), 右图显示非平稳空间过程 (具有趋势和空间异质性) . . . . .	274
5.32 森林生物量的空间分布图, 展示了具有趋势和空间异质性的非平稳空间过程 . . . . .	276
5.33 原始森林生物量空间分布, 显示明显的空间趋势和异质性 . . . . .	278
5.34 去趋势后的森林生物量空间分布, 趋势成分已被去除 . . . . .	279
5.35 原始空间过程的变异函数, 显示持续上升的非平稳特征 . . . . .	280
5.36 去趋势后空间过程的变异函数, 显示收敛的平稳特征 . . . . .	280
5.37 空间过程分解结果, 展示趋势成分和随机成分的分离 . . . . .	281
5.38 植物叶片性状的系统发育信号分析和性状距离关系 . . . . .	284
5.39 植物叶片性状的系统发育独立对比分析和性状关系 . . . . .	286

5.40 植物叶片性状的系统发育分布 . . . . .	287
5.41 功能性状相关性矩阵图和主成分分析双标图 . . . . .	292
5.42 功能性状相关性矩阵图和主成分分析双标图 . . . . .	292
5.43 叶片经济型谱关系散点图 . . . . .	293
5.44 种间关联网络图 . . . . .	296
 6.1 零假设与备择假设分布比较：展示在零假设和备择假设下检验统计量的概率分布，以及显著性水平的临界值 . . . . .	312
6.2 p 值的可视化解释：通过概率密度函数展示 p 值作为在零假设下观测到当前或更极端检验统计量的概率 . . . . .	313
6.3 第一类错误与第二类错误的可视化：展示假阳性（第一类错误）和假阴性（第二类错误）在统计决策中的概率分布 . . . . .	317
6.4 样本量对统计功效的影响：展示在不同效应大小下，样本量增加如何提高统计功效 . . . . .	317
6.5 效应大小与置信区间的可视化：通过森林图展示多个研究的效应大小估计及其不确定性范围 . . . . .	319
6.6 单样本 t 检验的可视化解释：展示 t 分布、观测 t 统计量以及对应的 p 值区域 . . . . .	322
6.7 单样本符号检验的可视化解释：展示二项分布下正号数量的概率分布以及观测到的正号数量 . . . . .	324
6.8 独立样本 t 检验的可视化解释：展示在零假设下 t 分布、观测 t 统计量以及对应的 p 值区域 . . . . .	326
6.9 配对样本 t 检验的可视化解释：展示配对差异均值的 t 分布、观测 t 统计量以及对应的 p 值区域 . . . . .	328
6.10 Mann-Whitney U 检验的可视化解释：通过箱线图展示污染区域和清洁区域底栖动物生物量的分布比较 . . . . .	329
6.11 多个 t 检验与方差分析的比较：展示多重比较导致的第一类错误率膨胀问题以及方差分析的解决方案 . . . . .	332
6.12 方差分析的可视化解释：展示 F 分布、观测 F 统计量以及对应的 p 值区域 . . . . .	334
6.13 Kruskal-Wallis 检验的可视化解释：通过箱线图展示不同污染程度区域底栖动物生物量的分布比较 . . . . .	336
6.14 多重比较校正实例分析：展示不同保护措施梅花鹿种群密度的多重比较结果及其可视化 . . . . .	343
6.15 多重比较校正效果的可视化：比较未校正、Bonferroni 校正和 FDR 控制三种方法对 p 值的影响 . . . . .	344
6.16 样本量对统计功效的影响：展示在中等效应大小下样本量增加如何提高统计功效 . . . . .	353
6.17 效应大小对所需样本量的影响：展示不同效应大小水平下达到期望统计功效所需的样本量	354
 7.1 ANOSIM 分析：不同河段底栖动物群落排序差异检验 . . . . .	378
7.2 底栖动物群落组成的 NMDS 排序分析 . . . . .	379
7.3 巴西坚果树空间分布模式检验：Ripley's K 函数包络分析 . . . . .	382
7.4 模拟的珊瑚覆盖率空间分布 . . . . .	384
7.5 小丑鱼在珊瑚覆盖率背景下的空间分布 . . . . .	384
7.6 点过程模型预测的小丑鱼分布强度 . . . . .	385
7.7 植物功能性状系统发育信号检验与可视化 . . . . .	389
7.8 植物防御性状与生长速率关系的系统发育独立对比分析 . . . . .	391
7.9 热带雨林群落组装零模型检验：C-score 零分布与观测值比较 . . . . .	395
7.10 热带雨林群落物种分布热图：基于环境梯度的物种分布模式 . . . . .	395
7.11 传粉网络嵌套性零模型检验：嵌套性零分布与观测值比较 . . . . .	397
7.12 传粉网络结构可视化：植物与传粉者的二分网络 . . . . .	398
7.13 传粉网络相互作用矩阵热图：嵌套结构的可视化 . . . . .	398
7.14 物种共现零模型检验：EcoSimR 包分析结果 . . . . .	401
7.15 网络嵌套性零模型检验：嵌套性指数零分布 . . . . .	401
 8.1 林小雨的森林调查数据：温度与植物生长速率的关系散点图及线性回归线。图中显示温度从 10°C 到 30°C 时，植物生长速率呈现明显的正相关关系，线性回归线（红色）表明温度每升高 1°C，生长速率平均增加约 0.5 单位。	410

8.2 不同 R <sup>2</sup> 值 (决定系数) 的生态学含义可视化。左图 ( $R^2=0.1$ ) 显示环境因子对生态响应影响较弱；中图 ( $R^2=0.5$ ) 表明环境因子是重要驱动因素；右图 ( $R^2=0.9$ ) 显示环境因子是生态响应的主要决定因素，模型具有很强的预测能力。 . . . . .	411
8.3 $R^2$ 与调整 $R^2$ 随自变量数量变化的关系。蓝色线显示 $R^2$ 随变量增加持续上升，即使添加无关变量；红色线显示调整 $R^2$ 在真实变量数量 (2 个) 后开始下降，惩罚模型复杂度，避免过度拟合。 . . . . .	412
8.4 整体模型显著性比较。左图显示显著模型 ( $p < 0.05$ )，环境因子对生态响应有显著影响；右图显示不显著模型 ( $p > 0.05$ )，没有证据表明环境因子有显著影响。 . . . . .	413
8.5 残差 vs 拟合值图。检查线性和同方差性假设，理想情况下残差应随机分布在水平线 $y=0$ 周围，无明显的模式或趋势。 . . . . .	415
8.6 正态 Q-Q 图。检查残差的正态性假设，理想情况下标准化残差应大致沿着 45 度对角线分布，无系统性偏离。 . . . . .	416
8.7 尺度-位置图。检查同方差性假设，展示标准化残差的平方根与拟合值的关系，理想情况下点应围绕水平线随机分布。 . . . . .	417
8.8 残差 vs 杠杆图。识别异常值和有影响的观测点，特别关注同时具有高杠杆和大残差的点，这些点可能对模型结果产生不成比例的影响。 . . . . .	417
8.9 变量相对重要性柱状图：使用 LMG 方法计算的各预测变量对模型解释的相对贡献度，数值越大表示变量在解释响应变量变异中的重要性越高 . . . . .	424
8.10 物种丰富度与主要环境因子的散点图矩阵。展示栖息地面积、植被密度、距水源距离和土壤 pH 值与物种丰富度之间的两两关系，用于初步探索变量间的相关性和分布特征。 . . . . .	426
8.11 森林生态系统模型的回归诊断图。包括残差 vs 拟合值图、正态 Q-Q 图、尺度-位置图和残差 vs 杠杆图，用于全面评估模型假设的满足情况。 . . . . .	429
8.12 物种丰富度与海拔关系的多项式回归分析。蓝色点为观测数据，红色虚线为线性回归线，绿色实线为二次多项式回归曲线。多项式模型更好地捕捉了物种丰富度随海拔变化的单峰分布模式。 . . . . .	434
8.13 多项式回归的过度拟合问题演示。蓝色点为观测数据，黑色虚线为真实关系，红色线为线性回归，绿色线为二次多项式，紫色线为 7 次多项式。高次多项式过度拟合训练数据，产生不合理的波动，泛化能力差。 . . . . .	436
9.1 模型复杂度与拟合优度平衡：线性、二次、三次和 10 次多项式模型对植物生物量与土壤养分关系的拟合效果比较 . . . . .	445
9.2 信息准则可视化： $\Delta AIC$ 和 $\Delta BIC$ 差异比较 . . . . .	449
9.3 林小雨的苗圃实验：温度与光照对植物生长的交互作用。在不同光照强度下温度对植物生长速率的影响，展示了环境因子交互作用在植物生长中的重要性 . . . . .	452
9.4 林小雨的溪流鱼类模型平均结果：变量重要性和模型权重分布。左图显示水温、溶解氧和 pH 值是影响鱼类丰度的关键因子，右图展示不同候选模型的相对支持度 . . . . .	455
9.5 林小雨的森林鸟类模型 10 折交叉验证：RMSE 在不同数据子集上的变化。图中显示 RMSE 在不同折之间相对稳定，表明模型具有良好的泛化能力 . . . . .	458
9.6 林小雨的森林生态系统外部验证：训练集和测试集上植物物种丰富度模型的预测性能比较。训练集基于某森林区域数据，测试集代表生态条件不同的另一森林区域 . . . . .	460
9.7 林小雨的森林模型残差诊断图：残差 vs 拟合值、Q-Q 图、尺度-位置图和残差 vs 杠杆图。通过系统诊断，林小雨检查她的树木生长速率模型是否满足统计假设。 . . . . .	462
9.8 Cook's Distance 影响分析：识别对模型参数估计有过度影响的观测点 . . . . .	464
9.9 贝叶斯预测：观测值与预测值的比较，包含 95% 预测区间 . . . . .	472
9.10 贝叶斯预测：观测值与预测值的比较，包含 95% 预测区间 . . . . .	472



# 表格

2.1	贝叶斯物种分布模型结果	75
2.2	贝叶斯模型比较结果	77
2.3	贝叶斯敏感性分析结果	78
2.4	贝叶斯稳健性检验结果	78
2.5	贝叶斯统计与 MCMC 的比较	81
2.6	蚱蜢午餐选择的概率分布	84
2.7	蚱蜢午餐选择的累积概率分布	85
2.8	蚱蜢午餐选择的概率分布函数家族	86
2.9	威布尔分布参数估计结果	105
2.10	偏度和峰度随样本量的变化	110
3.1	样本量对多样性指数的影响	148
3.2	不同群落的多样性比较	150
3.3	群落多样性综合评估	151
3.4	网络拓扑指标综合分析	155
3.5	食物网特征综合分析	157
3.6	生态系统稳定性综合分析结果	163
4.1	随机抽样结果	169
4.2	分层抽样结果	170
4.3	系统抽样结果	170
4.4	贝叶斯模型拟合结果	188
4.5	不同种群大小估计方法的比较	212
4.6	森林鸟类多样性调查的物种积累数据	214
4.7	样本量对多样性估计精度的影响分析	224
4.8	物种多样性估计方法比较	226
5.1	偏相关系数矩阵	240
5.2	一阶趋势面 F 检验结果	277
5.3	二阶趋势面 F 检验结果	277
5.4	不同系统发育信号度量方法的比较	283
5.5	传统相关性分析结果（忽略系统发育）	285
5.6	功能性状相关性矩阵	291
5.7	主成分分析结果：方差解释比例	291
5.8	叶片经济型谱关系线性回归结果	291
5.9	叶片寿命与比叶面积关系线性回归结果	293
5.10	种间关联矩阵	296
5.11	群落相似性 PCA 分析结果	298
5.12	群落相似性 Beta 多样性分析结果	300
6.1	决策矩阵与两类统计错误	315
6.2	不同组数下的累积第一类错误率	331
6.3	方差分析结果	341

6.4 多重比较校正方法的推荐 . . . . .	344
7.1 置换 ANOVA 分析结果 . . . . .	363
7.2 非齐次泊松点过程模型拟合结果 . . . . .	383
8.1 森林调查温度与植物生长速率的关系 - 系数估计 . . . . .	409
8.2 整体回归模型结果 . . . . .	419
8.3 多元线性回归模型结果 . . . . .	420
8.4 完整模型结果 . . . . .	423
8.5 逐步回归模型结果 . . . . .	423
8.6 数据框摘要 . . . . .	425
8.7 完整多元线性回归模型结果 . . . . .	426
8.8 逐步回归模型结果 . . . . .	427
8.9 最优模型结果 . . . . .	428
8.10 多项式模型摘要 . . . . .	433
9.1 信息准则模型比较：通过 $\Delta AIC$ 和 $\Delta BIC$ 差异比较不同鸟类丰富度模型的相对优劣 . . . . .	448
9.2 似然比检验结果：植物生长与温度、光照的关系 . . . . .	450
9.3 模型比较：简单模型（只有主效应） . . . . .	451
9.4 模型比较：复杂模型（包含交互项） . . . . .	451
9.5 林小雨的溪流鱼类模型平均结果：平均模型系数 . . . . .	454

# 前言

## 0.1 为什么

### 0.1.1 在不确定的自然中寻找规律

当我们选择生态学，我们便选择拥抱一个充满动态、关联与不确定性的复杂世界。我们研究的对象——从一只蝴蝶的迁飞路径，到整个森林群落的演替进程——本质上都不是确定性的。我们无法像物理学家在理想真空中预测小球落地那样，精准断言明年这片湿地中将有多少只丹顶鹤诞生。这种不确定性并非生态学的缺陷，恰恰是其魅力与挑战的核心。而概率与统计，正是我们理解、量化和驾驭这种不确定性的**最强有力的语言和工具**。可以说，一位现代生态学专业人才若不能流利使用这种语言，便如同一位探险家没有地图与指南针，难以在数据的海洋与自然的混沌中寻得可靠的规律。

首先，**概率论为我们提供了描述和预测“不确定性”的语法**。生态学系统是由无数随机事件交织构成的：一次授粉是否成功？一只幼崽能否躲过天敌？一场火灾何时发生？概率让我们能够衡量这些事件的可能性。当我们谈论一个物种的灭绝风险、一种疾病在种群中的传播速率，或是气候变化下物种分布范围的变迁时，我们口中的“风险”、“速率”和“趋势”，其内核都是概率。例如，在保护生物学中，我们使用种群生存力分析（PVA）来预测一个濒危种群未来的命运，这本质上就是一个复杂的概率模型，它综合考虑了出生率、死亡率、环境波动等随机因素。没有概率论，我们对未来的预测将只能是模糊的猜测，而非基于数据的科学评估。

进而，**描述统计赋予了我们将纷繁复杂的自然数据转化为清晰洞见的能力**。野外调查归来，我们面对的可能是在数十个样方中记录的成千上万条关于物种、高度、密度、土壤参数的数据。这些原始数据本身如同一堆未经雕琢的玉石，价值隐藏于混乱之中。描述统计就是我们的雕刻刀：通过计算平均值，我们了解了群落的平均高度；通过标准差，我们知晓了树木胸径的变异程度；通过绘制直方图，我们直观地看到了种群年龄结构的分布模式——是健康的金字塔形还是衰退的倒金字塔形？箱线图可以瞬间比较出不同生境下鸟类体型的差异。这些工具帮助我们简化、组织和可视化数据，让我们能够“看见”数据背后的故事，从而提出更精准的科学问题。

最终，**推断统计完成了从“所见”到“所知”的惊险一跃，这是现代生态学研究的基石**。生态学的根本困境在于，我们几乎永远无法普查整个种群或生态系统（总体）。我们所能做的，是在时间、经费和人力的限制下进行抽样调查——设置样方、布设红外相机、进行航线调查。那么，一个核心问题随之而

来：我们如何能确信从这有限的样本中得出的结论，能够代表我们真正关心的总体？统计推断给出了答案。置信区间告诉我们，基于样本数据，我们对总体参数（如整个森林的生物量）的估计有多大的把握范围。假设检验则提供了一套严谨的“反证法”逻辑，帮助我们判断观察到的模式（如施肥区与对照区产量差异）究竟是真实的效应，还是仅仅由抽样偶然性造成的“假象”。当我们说“施肥显著提高了草地生产力”( $p < 0.05$ )时，我们正是在运用统计语言，以极大的信心宣布这一发现并非偶然。这使得我们的工作从对特定样本的描述，上升到了对普遍规律的推论，赋予了生态学相关成果以普适性和说服力。

总而言之，概率与统计并非强加于生态学之上的数学枷锁，而是根植于生态学研究对象本质的内在需求。它们是我们将观察数据转化为可靠结论所不可或缺的桥梁。从准确评估一个生态系统的健康状况，到可信地预测环境变化的影响，每一步都深深依赖于概率与统计的思维框架。掌握这门语言，意味着你们将获得一种强大的能力：**在一片看似混沌的自然现象中，清晰地聆听出规律的低语，并基于数据做出科学的判断和决策。**这不仅是一门必修课，更是你们未来职业生涯中，无论是在科研、保护、管理还是咨询领域，最忠实的伙伴和最可靠的向导。

### 0.1.2 AI 时代的机遇与陷阱

生态学，这门诞生于野外观察与手绘记录的学科，正经历着一场由数据驱动的深刻革命。当我们研究的尺度从单个样方扩展到整个星球，当我们的数据从几十个手写记录点激增至 TB 级别的卫星遥感影像、声学监测数据和基因组序列时，传统的数据处理与分析方法已显得力不从心。毫无疑问，现代计算工具——从强大的统计软件（如 R、Python）到高性能计算集群——已经成为生态从业者不可或缺的“数字望远镜”和“计算实验室”。它们让我们能够驾驭海量数据，构建复杂的模型，从而解析自然界中前所未有的复杂模式。然而，这场变革的最新篇章——人工智能（AI），特别是机器学习技术的融入，在将我们的分析能力推向新高度的同时，也正将生态学相关工作和研究引入一个机遇与风险并存的全新领域。

**首先，我们必须承认，现代化分析工具，尤其是 AI，正以前所未有的方式赋能生态学相关工作。**它们极大地提升了我们处理“大数据”的效率和深度。传统统计方法往往在应对高维度、非线性关系时捉襟见肘，而机器学习算法却能如鱼得水。例如，利用深度学习模型，我们可以自动识别数以百万计的红外相机照片中的物种，将研究人员从漫长枯燥的人工判读中解放出来；通过分析数十年的卫星图像，AI 能精准刻画森林砍伐、城市扩张的动态，其速度和精度远超人工目视解译。更重要的是，AI 具有强大的“模式发现”能力，它能在纷繁复杂的环境变量与物种分布数据中，挖掘出人类可能忽略的微妙关联，甚至为决策提供新的依据。这仿佛为我们提供了一种“超级直觉”，使得预测物种对气候变化的响应、解析生态系统韧性的临界点等复杂问题成为了可能。AI 工具正变得越来越“平民化”，用户友好的界面和自动化流程降低了技术门槛，让更多生态从业者能够专注于实际问题本身，而非复杂的编程实现。

**然而，这把锋利的“双刃剑”的另一面，是潜藏的巨大风险，其核心在于“黑箱”效应与因果关系的混淆。**许多最强大的机器学习模型（如深度神经网络）就像一个黑箱：我们输入数据，它给出精准的预测，但其内部的决策过程往往难以解释。对于生态从业者而言，知道“某种鸟类更可能出现在哪里”固然重要，但理解“为什么”——即其背后的生态学机制（是温度、食物来源还是栖息地结构？）——才是

深入理解问题的关键。AI 模型可能精准地预测了物种分布，但其建立的相关关系可能只是数据中的虚假模式，甚至可能指向一个荒谬的因果关系（例如，根据数据，它可能”发现”电价上涨是导致蛙类减少的主要原因，只因二者在时间序列上巧合地相关）。这种对相关性的过度依赖，而缺乏因果推断，可能导致我们得出错误的结论，甚至制定出无效或有害的决策和政策。

**此外，AI 模型的性能高度依赖于训练数据的质量与代表性，这带来了“垃圾进，垃圾出”的经典困境。**生态学数据往往存在样本偏差（例如，交通便利的地区观测记录多，偏远地区记录少）、系统误差和噪声。如果一个 AI 模型是用有偏差的数据训练出来的，那么它只会强化并放大这种偏差。例如，一个用于识别全球鸟类分布的模型，如果主要用北美和欧洲的数据训练，它在预测南美热带雨林物种时可能会表现极端偏差。这不仅会导致分析错误，更会加剧数据应用的不平等，使得数据匮乏地区的生态问题被进一步忽视。更严峻的风险在于，从业者可能因为过度依赖 AI 输出的”权威”结果，而丧失了对数据本身的批判性审视和实地经验的直觉，最终导致生态学这门扎根于自然的学科，与其实践本体渐行渐远。

**因此，在 AI 时代，生态专业人才的角色非但没有被削弱，反而变得更加关键。**我们绝不能沦为算法的仆从，而必须成为其智慧的驾驭者。未来的生态专业人才需要具备更全面的素养：一方面，要拥抱技术，学会与 AI 工具协同工作；另一方面，必须坚守科学精神，对模型结果保持深刻的怀疑和批判。我们需要不断追问：这个模型的假设是什么？训练数据是否有代表性？结果是否有实际意义？能否被独立的观察和实践所验证？

归根结底，现代化分析工具和 AI 是生态专业人才手中的超级”望远镜”，它让我们看得更远、更清，但望远镜本身并不能告诉我们星空的奥秘。真正的价值，依然依赖于望远镜背后那颗充满好奇心、严谨逻辑和深厚生态学知识的大脑。在这场方兴未艾的技术革命中，我们必须善用工具之力，同时时刻警惕其陷阱，确保技术最终服务于我们更深切地理解、保护和可持续利用这个脆弱星球的终极使命。

## 0.2 本书介绍

基于前文对生态学数据分析和 AI 时代挑战的深入探讨，本书旨在为生态学专业人才提供一套完整、实用的生态统计思维和数据分析能力培养体系。在数据驱动决策日益重要的今天，掌握生态统计方法不仅是科研工作的基础，更是生态保护、环境管理、政策制定等各个领域从业者的根本素养。

本书以 R 语言为主要工具，系统介绍生态学研究中常用的统计方法，特别强调统计思维在实际问题中的应用。我们相信，真正的数据分析能力不仅在于掌握技术工具，更在于培养对数据的批判性思维和对结果的科学解读能力。

### 0.2.1 本书特色与教学理念

**问题导向的教学方法**是我们贯穿全书的核心原则。我们坚信，脱离实际场景的统计理论学习如同在真空中练习游泳，难以培养真正的应用能力。因此，每一章都从真实的生态学问题出发——无论是研究气候变化对物种分布的影响，还是评估保护措施对生物多样性的效果，抑或是分析污染物在食物链中的

传递规律。通过这些鲜活的问题情境，读者能够深刻理解统计方法在解决实际问题中的价值，而不仅仅是记住公式和算法。这种问题导向的学习方式，能够帮助读者建立起统计思维与生态学直觉之间的桥梁，让抽象的数学概念在具体的生态情境中找到落脚点。

**实践性强的学习体验**是本书的另一重要特色。我们选择 R 语言作为主要工具，不仅因为它在生态学界的广泛应用，更因为它强大的可重复性和灵活性。书中提供了大量可直接运行的代码示例，这些代码都基于真实的生态数据案例。从最简单的数据导入和清洗，到复杂的模型构建和结果可视化，每一步都有详细的代码说明和解释。我们特别注重代码的可读性和可复现性，确保读者不仅能够运行代码，更能理解代码背后的逻辑。更重要的是，我们鼓励读者在理解示例的基础上进行修改和扩展，将所学方法应用到自己的研究问题中，真正实现从“知道”到“会用”的转变。

**统计思维的深度培养**是本书区别于传统统计教材的关键所在。我们不仅教授“如何做”，更着重解释“为什么这样做”以及“这样做的局限性是什么”。在每一章中，我们都设置了专门的思维训练环节，引导读者思考：这个方法的假设条件是什么？如果假设不满足会有什么后果？结果的生态学意义是什么？如何避免对结果的过度解读？通过这些训练，读者将逐步建立起批判性思维的习惯，学会质疑、验证和反思，而不仅仅是接受统计输出的表面结果。这种思维能力的培养，在 AI 时代显得尤为重要，它能够帮助读者在复杂的数据环境中保持清醒的判断力。

**循序渐进的学习路径**设计确保了学习过程的科学性和有效性。本书从最基础的统计编程概念开始，逐步深入到概率分布、描述统计、参数估计等核心内容，然后进入假设检验、相关分析、回归建模等中级方法，最后拓展到模型选择、高级回归和机器学习等前沿领域。这种递进式的结构设计，既考虑了知识的逻辑顺序，也照顾了学习者的认知规律。每一章都建立在前一章的基础上，同时又为后续章节做好铺垫，形成了一个完整的知识体系。读者可以按照章节顺序系统学习，也可以根据自己的基础和需求选择性地阅读相关章节。

**时代特色的融入**使本书具有更强的现实意义和前瞻性。我们特别关注 AI 时代给生态数据分析带来的新挑战和新机遇，在相关章节中探讨了传统统计方法与机器学习技术的结合点，分析了“黑箱”模型的解释性问题，讨论了大数据环境下的抽样偏差和因果推断困境。这些内容不仅帮助读者理解当前技术发展的前沿动态，更重要的是培养他们在技术快速变革的环境中保持批判性思维和科学判断的能力。我们相信，未来的生态专业人才不仅需要掌握数据分析的技术工具，更需要具备在复杂信息环境中辨别真伪、评估风险、做出明智决策的综合素养。

### 0.3 课程在线资源

本书是专门为华东师范大学生态学专业本科和硕士研究生设计的生态统计学课程教材。在长期的教学实践中，我们发现传统的分散式教学材料往往难以满足学生系统学习的需求。因此，我们将课程中最为核心和重要的内容进行了系统性的整理和总结，形成了这本完整的教程。

对于选修这门课程的同学而言，这本教材的一个重要价值在于：你无需在课堂上忙于记录老师讲解的具体内容，因为所有的核心知识点、方法原理和代码示例都已经在这本书中得到了详尽的呈现。课堂

时间的宝贵之处在于聆听老师的讲解逻辑——为什么某种统计方法适用于特定的数据类型？这种方法的内在优势是什么？它存在哪些潜在的局限性？这些深层次的思考过程和方法论层面的理解，才是课堂学习的真正精髓。

我们希望同学们能够将注意力集中在理解统计思维的形成过程、掌握数据分析的逻辑框架，以及培养对统计结果的批判性解读能力上。具体的课程资源，包括完整的网页版教材、可下载的 PDF 版本以及所有的源代码，都可以通过以下链接获取：

- 网页版 <https://guochunshen.github.io/ecological-statistics>
- PDF 版 <https://gitee.com/gcshen/ecological-statistics/blob/master/docs/ecological-statistics.pdf>
- 原代码 <https://gitee.com/gcshen/ecological-statistics>

请同学们根据个人学习习惯选择合适的版本，充分利用这些资源进行课前预习和课后复习。

**特别声明：**为提升教材内容质量与教学效率，本书在编写过程中采用大语言模型作为辅助工具，用于准备教学素材与案例。我们始终秉持一个明确宗旨：本书的核心价值不在于创造前所未有的统计方法描述或提出全新理论，而在于以更清晰、更有效的方式，帮助学生理解已有的生态统计知识体系。为此，我们充分借助大语言模型在整合与表达领域知识方面的优势，积极借鉴和融合该领域中那些被广泛认可的经典方法与成熟阐述，力求“站在巨人的肩膀上”，编撰出一本真正贴合学生学习需求、实用且易懂的教材。同时，全书内容均系编写者在人工智能辅助下独立完成，除合理使用大语言模型所生成的内容外，不存在任何形式的抄袭行为。

## 0.4 学习方式

### 0.4.1 持续学习 R 语言的重要性

在现代生态统计学学习中，R 语言已经成为不可或缺的核心工具。本书中大量的统计练习、数据分析和可视化任务都需要通过 R 语言来实现。因此，**坚持不断地学习和使用 R 语言**是掌握生态统计方法的关键前提。正如古人所言：“思 R 不学则殆，学 R 不思则罔”（图1）。如果只思考统计理论而不学习 R 语言的具体实现，就会在实践中陷入困境；如果只机械地学习 R 语言代码而不思考其背后的统计原理，就会在理解上产生迷茫。

R 语言的学习是一个渐进的过程，需要持续不断的实践和积累。我们建议同学们将 R 语言的学习融入到日常的统计学习中，而不是将其视为一个独立的技术任务。每学习一个新的统计方法，都要尝试用 R 语言来实现它；每遇到一个数据分析问题，都要思考如何用 R 语言来解决它。通过这种理论与实践的紧密结合，你不仅能够掌握统计方法，更能培养出解决实际问题的能力。

### 0.4.2 在错误中快速成长

学习生态统计学的过程中，**犯错是不可避免的，甚至是必要的**。只有在你不断的练习中犯了很多错误，你才能很快地进步。就像哈利波特学习魔法一样，总会有爆炸的小错误（图2）。如果没有任何错误



图 1 思 R 不学则殆, 学 R 不思则罔

的反馈, 你就无法很快速地成长。R 语言的学习尤其如此——语法错误、函数使用不当、数据类型混淆, 这些都是初学者必然会遇到的挑战。

我们鼓励同学们以积极的心态面对这些错误。每一次错误都是一次宝贵的学习机会:

- 语 法 错 误 教 会 你 R 语 言 的 精 确 性 要 求
- 函 数 使 用 错 误 让 你 更 深 入 地 理 解 函 数 的 参 数 和返 回 值
- 逻 辑 错 误 帮 助 你 建 立 更 严 谨 的 编 程 思 维
- 结 果 解 读 错 误 培 养 你 对 统 计 输出 的 批 判 性 思 考



图 2 像哈利波特学习魔法一样从错误中快速成长

重要的是，不要因为害怕犯错而不敢尝试。相反，你应该主动地创造犯错的机会——大胆地修改示例代码，尝试不同的分析方法，探索 R 语言的各种可能性。每一次成功的调试，每一次对错误的理解，都是你能力提升的重要标志。

### 0.4.3 实践导向的学习策略

本书的学习方式强调实践导向。我们建议同学们采用”做中学”的方法：

1. **先理解统计原理**：阅读每一章的理论部分，理解统计方法的基本思想和适用条件
2. **再运行示例代码**：在 R 环境中运行书中的代码示例，观察结果，理解代码的逻辑
3. **然后修改和扩展**：在理解示例的基础上，尝试修改参数、使用不同的数据、探索新的可视化方式
4. **最后应用到自己的问题**：将所学方法应用到自己的研究数据或感兴趣的问题中

通过这样的学习循环，你不仅能够掌握统计技术，更能培养出独立解决实际问题的能力。记住，统计学习的最终目标不是记住公式和代码，而是培养出能够应对各种数据分析挑战的思维方式和实践能力。

### 0.4.4 正确的上课姿势

由于本课程以实践为主导，强调动手操作和代码练习，因此正确的上课姿势与传统理论课程有着本质区别。**正确的上课方式不是将双手放在口袋里或放在桌面下用脑袋听讲，而是将双手放在键盘上，随时准备敲代码。**

当老师在课堂上讲解完一个统计方法或数据分析技巧后，一旦提到”练习”或”动手操作”，你就应该立即将注意力转移到键盘上，开始运行代码、修改参数、观察结果。只有通过这种”手脑并用”的学习方式，才能真正将理论知识转化为实践能力。

生态统计学的学习不是被动接受知识的过程，而是主动构建技能的过程。每一次键盘敲击，每一次代码运行，都是你能力提升的重要一步。只有将课堂时间充分利用起来，边听边练，边思考边操作，你才有可能快速掌握这门课程的核心内容，培养出真正的数据分析能力。

## 0.5 重复本书例子

由于本书包含大量基于 R 语言的代码练习，为了确保你能够顺利运行所有示例并获得预期的结果，强烈建议你在上课前或开始阅读本书之前，完成所有所需 R 包的安装工作。

需要特别注意的是，不同版本的 R 语言和依赖包可能会导致计算结果出现差异。为了确保你能够完全重复本书中的所有例子并获得一致的结果，请**确保你使用的 R 版本号和所有依赖包版本号与本书保持一致**。这样可以最大程度地避免因版本差异导致的兼容性问题，保证代码的可复现性。

本书使用以下 R 包：

```

pkgs <- c(
  # 数据整理与可视化
  "tidyverse",           # 数据科学工作流核心包 (dplyr, tidyr, ggplot2 等)
  "ggplot2",              # 优雅的图形语法系统
  "patchwork",            # 图形组合与布局
  "gridExtra",             # 网格图形排列
  "reshape2",              # 数据重塑与转换
  "showtext",              # 中文字体支持

  # 文档生成与报告
  "bookdown",             # 书籍文档生成
  "knitr",                  # 动态报告生成
  "rmarkdown",              # R Markdown 文档
  "DiagrammeR",             # 流程图与图表

  # 生态学与生物多样性分析
  "vegan",                  # 群落生态学与多样性分析
  "bipartite",              # 二分网络分析
  "picante",                  # 系统发育与群落分析
  "spaa",                      # 物种关联分析
  "NetIndices",              # 网络指标计算
  "EcoSimR",                  # 生态零模型分析

  # 系统发育与进化分析
  "ape",                      # 系统发育与进化分析
  "phytools",                  # 系统发育工具
  "geiger",                  # 比较系统发育分析

  # 空间分析与地理统计
  "spdep",                  # 空间依赖性分析
  "gstat",                  # 地理统计与克里金插值
  "geoR",                      # 地理数据分析
  "automap",                  # 自动克里金插值
  "spatialreg",              # 空间回归模型
  "spTimer",                  # 时空数据分析
  "adespatial",              # 空间生态学分析

  # 统计分布与拟合
  "sn",                      # 偏正态分布
  "moments",                  # 矩计算与分布检验
  "fitdistrplus",             # 分布拟合

  # 假设检验与统计推断
  "coin",                      # 条件推断检验
  "pwr",                      # 功效分析
  "BayesFactor",              # 贝叶斯因子分析

  # 回归与线性模型
  "lme4",                      # 混合效应模型
  "lmerTest",                  # 混合模型检验
  "car",                      # 回归诊断与检验
  "AER",                      # 应用计量经济学
  "performance",              # 模型性能评估

  # 高级回归与模型选择
  "brms",                      # 贝叶斯回归模型
  "MuMin",                      # 多模型推断
  "BMS",                      # 贝叶斯模型平均
  "monomvn",                  # 多元正态建模
  "relaimpo",                  # 相对重要性分析

  # 机器学习
  "caret",                      # 分类与回归训练
  "rpart.plot",                  # 决策树可视化
)

```

```

"pdp",           # 部分依赖图
"torch",          # 深度学习框架

# 时间序列分析
"tseries",        # 时间序列分析
"forecast",       # 时间序列预测

# 相关性与信息论
"ppcor",          # 偏相关与半偏相关
"energy",          # 基于能量的统计检验
"infotheo",        # 信息论分析
"corrplot",        # 相关性可视化

# 结构方程模型
"lavaan",          # 结构方程建模
"semPlot",         # 结构方程模型可视化

# 生态模型与种群分析
"marked",          # 标记重捕模型
"Distance",        # 距离抽样分析

# 广义可加模型
"gratia",          # GAM 模型诊断与可视化

# 模型诊断与验证
"DHARMa",          # 广义线性模型残差诊断

# 数据与动画
"gapminder",       # 全球发展数据
"gganimate",        # 图形动画
"audio"             # 音频处理
)

install.packages(unique(pkgs))

devtools::install_github("GotelliLab/EcoSimR") # 群落零模型

#openmx 在 Ubuntu 上安装依赖较多，最好通过已编译好的包安装
#ubuntu sudo apt install r-cran-openmx

```

本教程所用的 R 软件环境：

```

devtools::session_info()

## - Session info -
## setting value
## version R version 4.3.3 (2024-02-29)
## os      Ubuntu 24.04.1 LTS
## system x86_64, linux-gnu
## ui      X11
## language (EN)
## collate en_US.UTF-8
## ctype   en_US.UTF-8
## tz      Etc/UTC
## date    2025-10-13
## pandoc  3.1.3 @ /usr/bin/ (via rmarkdown)
## quarto   NA
##
## - Packages -
## package     * version date (UTC) lib source
## bookdown      0.44    2025-08-21 [1] CRAN (R 4.3.3)
## cachem        1.1.0   2024-05-16 [1] CRAN (R 4.3.3)
## cli           3.6.5   2025-04-23 [1] CRAN (R 4.3.3)
## codetools     0.2-19  2023-02-01 [4] CRAN (R 4.2.2)
## devtools      2.4.5   2022-10-11 [1] CRAN (R 4.3.3)
## digest        0.6.37  2024-08-19 [1] CRAN (R 4.3.3)
## ellipsis      0.3.2   2021-04-29 [1] CRAN (R 4.3.3)
## evaluate      1.0.3   2025-01-10 [1] CRAN (R 4.3.3)
## fastmap       1.2.0   2024-05-15 [1] CRAN (R 4.3.3)

```

```
## fs           1.6.5   2024-10-30 [1] CRAN (R 4.3.3)
## glue         1.8.0   2024-09-30 [1] CRAN (R 4.3.3)
## htmltools    0.5.8.1 2024-04-04 [1] CRAN (R 4.3.3)
## htmlwidgets  1.6.4   2023-12-06 [1] CRAN (R 4.3.3)
## httpuv       1.6.15  2024-03-26 [1] CRAN (R 4.3.3)
## knitr        1.49    2024-11-08 [1] CRAN (R 4.3.3)
## later         1.4.1   2024-11-27 [1] CRAN (R 4.3.3)
## lifecycle    1.0.4   2023-11-07 [1] CRAN (R 4.3.3)
## magrittr     2.0.3   2022-03-30 [1] CRAN (R 4.3.3)
## memoise      2.0.1   2021-11-26 [1] CRAN (R 4.3.3)
## mime          0.12    2021-09-28 [1] CRAN (R 4.3.3)
## miniUI       0.1.1.1 2018-05-18 [1] CRAN (R 4.3.3)
## pkgbuild     1.4.6   2025-01-16 [1] CRAN (R 4.3.3)
## pkgload       1.4.0   2024-06-28 [1] CRAN (R 4.3.3)
## profvis      0.4.0   2024-09-20 [1] CRAN (R 4.3.3)
## promises     1.3.2   2024-11-28 [1] CRAN (R 4.3.3)
## purrr        1.1.0   2025-07-10 [1] CRAN (R 4.3.3)
## R6            2.5.1   2021-08-19 [1] CRAN (R 4.3.3)
## Rcpp          1.0.14  2025-01-12 [1] CRAN (R 4.3.3)
## remotes       2.5.0   2024-03-17 [1] CRAN (R 4.3.3)
## rlang          1.1.5   2025-01-17 [1] CRAN (R 4.3.3)
## rmarkdown     2.29    2024-11-04 [1] CRAN (R 4.3.3)
## sessioninfo  1.2.3   2025-02-05 [1] CRAN (R 4.3.3)
## shiny         1.10.0  2024-12-14 [1] CRAN (R 4.3.3)
## urlchecker   1.0.1   2021-11-30 [1] CRAN (R 4.3.3)
## usethis       3.1.0   2024-11-26 [1] CRAN (R 4.3.3)
## vctrs          0.6.5   2023-12-01 [1] CRAN (R 4.3.3)
## xfun           0.53    2025-08-19 [1] CRAN (R 4.3.3)
## xtable         1.8-4   2019-04-21 [1] CRAN (R 4.3.3)
## yaml          2.3.10  2024-07-26 [1] CRAN (R 4.3.3)
##
## [1] /home/gcshen/R/x86_64-pc-linux-gnu-library/4.3
## [2] /usr/local/lib/R/site-library
## [3] /usr/lib/R/site-library
## [4] /usr/lib/R/library
## -----
```

# Chapter 1

## AI 辅助编程基础

### 1.1 引言

在大语言模型（LLM）成为强大编程助手的今天，编程教育的重心正在发生根本性的转移。死记硬背语法和 API（预先定义的工具函数）细节的价值确实在大幅降低。这一变革标志着编程教育从“技能导向”向“思维导向”的深刻转型。过去，编程教学往往过分强调记忆各种语言的语法规则、函数库的 API 细节，以及特定框架的使用方法，学生需要花费大量时间在机械记忆上。然而，随着 Deepseek 等 AI 编程助手的普及，这些原本需要记忆的知识点现在可以通过简单的自然语言查询即时获得。这并不意味着编程变得不重要，恰恰相反，它意味着编程教育的价值需要重新定位。

在新的 AI 时代，编程教育的核心价值不再体现在“知道多少语法”，而是体现在“能够解决什么问题”和“如何设计分析方案”。学生需要培养的是更高层次的思维能力：如何将一个复杂的现实问题分解成可计算的分析步骤，如何选择合适的统计方法和数据处理技术，如何设计清晰的分析流程，如何与 AI 进行有效协作以验证和优化分析结果。这些能力构成了 AI 时代统计编程人员的核心竞争力。

具体而言，统计编程教育应该着重培养以下几个关键能力：首先是问题分解与抽象建模能力，这要求学生能够将复杂的统计问题转化为可计算的数学模型；其次是算法思维，理解不同统计方法的计算原理和适用条件；再次是数据处理能力，从数据收集、清洗到分析的完整流程设计；最后是与 AI 协作的能力，包括精准提问、代码审查和迭代优化。这些能力的培养需要项目驱动的教学方法，让学生在解决真实统计问题的过程中逐步建立编程思维框架。

对于生态学专业的你来说，理解全球 AI 竞争中的算法核心地位，就如同理解生态系统中的关键物种——它虽不直接可见，却足以重塑整个环境格局。DeepSeek 作为中国 AI 企业，正是凭借算法的突破性创新，改写了全球 AI 产业长期以来依赖“堆算力”的发展路径。它通过自研的混合专家模型（MoE）架构和最新的 DeepSeek 稀疏注意力（DSA）等算法，在保证模型高性能的同时，大幅提升了训练和推理效率，并将 API 成本降低了超过 50%。这种“效能革命”证明了高效的算法设计本身可以成为一种强大的竞争力，打破了由算力规模构筑的壁垒。

这种教育重心的转移对师生双方都提出了新的要求，也带来了新的机遇。学生不再需要为记忆琐碎的语法细节而苦恼，可以将更多精力投入到统计建模的核心环节和数据本身的深刻解读。教师的教学方法也需要相应调整，从传统的“语法讲解 + 练习题”模式转向“数据分析项目实践 + 统计思维训练”模式。通过这种转变，统计编程教育方能超越其“术”的层面，真正服务于“道”的构建——将更好地服务于培养学生的数据科学思维和统计分析能力这一根本目标，为他们在 AI 时代的科研和数据分析工作奠定坚实基础。

现在，对学生来说，最重要的不再是“如何写代码”，而是“解决什么问题”和“为何这样解决”。

本章将介绍 AI 时代的编程思维框架，帮助学生培养与 LLM 协同工作的核心能力，并通过 R 语言实践掌握现代数据分析方法。

## 1.2 生态数据分析的核心能力

以下是学生在学习编程课程时最需要培养的核心技能，我将其分为三大类：

### 1.2.1 高阶思维与问题解决能力

最核心、最根本的能力是驾驭 LLM 的“方向盘”能力。在 AI 时代，数据分析师不再需要记忆繁琐的编程语法细节，但必须具备更高层次的思维框架来指导 AI 工具完成复杂的数据分析任务。这种高阶思维框架主要包括三个方面：首先是问题分解与抽象建模能力，即将复杂的生态学问题转化为清晰可执行的分析流程；其次是算法与数据结构思维，即对计算效率和数据处理优化的深刻理解；最后是数据分析流程设计与规划能力，即从宏观视角系统性地设计整个数据分析生命周期的能力。这三种能力共同构成了 AI 时代生态学数据分析师的核心竞争力，确保研究者能够站在战略高度设计分析方案，而不仅仅是执行具体的编程任务。

#### 1.2.1.1 问题分解与抽象建模能力

问题分解与抽象建模能力是指将一个复杂的、模糊的现实世界问题，分解成一个个清晰的、可执行的分析步骤的能力。这种能力不仅涉及技术层面的分解，更包含对问题本质的深刻理解和抽象思维。在生态学研究中，这意味着能够将复杂的生态系统现象转化为可计算、可分析的统计模型和分析流程。

这种能力的重要性在于，虽然 LLM 可以帮你写数据处理代码，但它无法替你决定“整个分析流程应该分成哪几个关键步骤”或“这个统计问题应该采用哪种分析方法”。这是人类分析师最核心的价值。在 AI 时代，这种能力变得更加关键，因为 LLM 擅长执行具体任务，但缺乏对复杂研究问题的整体把握和统计规划能力。学生需要学会如何将模糊的研究问题转化为清晰的分析需求，这样才能有效指导 LLM 完成具体实现。

在生态学实践中，问题分解能力体现在具体的研究场景中。例如，分析森林生态系统的物种多样性变化，需要分解为数据收集、数据清洗、多样性指数计算、统计分析、结果可视化及生态学阐释等步骤。

具体而言，这个过程可以进一步细化为：首先确定研究目标和数据需求，包括样地选择标准、调查方法和数据格式；然后设计数据收集方案，考虑野外调查的可行性和数据质量控制；接着制定数据清洗流程，处理缺失值、异常值和数据标准化问题；再选择合适的多样性指数计算方法，如 Shannon-Wiener 指数、Simpson 指数等，并考虑其生态学意义；最后设计统计分析框架和可视化方案，确保结果能够清晰反映生态学规律。

这种问题分解能力在生态学研究中尤为重要，因为生态系统的复杂性往往超出直觉理解。通过系统性的分解和抽象，研究者能够将看似混沌的自然现象转化为有序的分析流程。例如，在研究气候变化对物种地理分布的影响时，需要将问题分解为气候数据获取、物种分布数据整合、生态位模型构建、未来情景预测等多个分析环节，每个环节都有其特定的技术要求和生态学考量。

培养这种能力的关键在于实践和反思。学生应该通过具体的生态学项目，学习如何识别问题的核心要素，如何设计合理的分析流程，以及如何在技术实现和生态学意义之间找到平衡。随着经验的积累，这种问题分解和抽象建模能力将成为学生在 AI 时代进行生态学研究的核心竞争力。

### 1.2.1.2 算法与数据结构思维

算法与数据结构思维是数据分析师的核心能力之一，它不仅仅是理解不同算法和数据结构的适用场景，更重要的是培养一种“计算效率意识”。这种思维要求我们理解不同统计方法的时间/空间复杂度 (Big O Notation)，知道在什么情况下应该选择哈希表而不是数组来快速查找数据，何时应该采用动态规划而不是暴力破解来处理复杂的优化问题。在生态学数据分析中，这种思维体现在对数据处理流程的优化意识上——比如知道在什么情况下应该使用向量化操作而不是循环，何时应该对数据进行预处理以提高后续分析的效率。这种思维还延伸到对统计方法计算复杂度的理解，比如知道某些复杂的生态位模型可能需要数小时甚至数天才能完成计算，而简单的线性回归可能只需要几秒钟。

在 AI 时代，LLM 可以根据你的要求实现一个统计函数，但你必须具备足够的专业知识来告诉它具体需要什么。比如，你不能简单地说“帮我做个 t 检验”，而应该明确说明“我需要一个能够处理缺失值、输出置信区间、并且可以进行方差齐性检验的 t 检验函数”。这种精确的需求描述能力来自于对统计方法内在逻辑的深刻理解。更重要的是，当 LLM 给出解决方案时，你需要具备评判能力——这个方案真的最优吗？有没有考虑边界情况？这个统计方法是否适用于我的数据类型？比如，LLM 可能会推荐使用 Pearson 相关系数来分析你的数据，但如果知道自己的数据不符合正态分布，就应该选择 Spearman 或 Kendall 相关系数。这种科学素养和批判性思维是 AI 难以替代的，它确保了分析结果的科学性和可靠性。

处理大规模的物种分布数据时，算法与数据结构思维显得尤为重要。假设你正在分析全国范围的鸟类分布数据，包含数百万条观测记录。如果你简单地使用线性搜索来查找特定物种的记录，可能需要数小时才能完成。但如果你具备数据结构思维，就会想到使用哈希表或数据库索引来建立快速查找机制，将查询时间从小时级降低到秒级。另一个例子是生态位模型的构建：如果你要使用 MaxEnt 模型分析某个濒危物种的分布规律，需要理解这个算法的计算复杂度，知道在什么情况下应该对数据进行降采样，什么情况下可以使用并行计算来加速模型训练。在处理时间序列的生态监测数据时，你需要知道何

时应该使用滑动窗口分析而不是对整个数据集进行全局分析。这种思维还体现在对数据存储格式的选择上——知道在什么情况下应该使用 CSV 格式便于人工查看，什么情况下应该使用 Parquet 或 Feather 格式来提高读写效率。通过培养这种算法与数据结构思维，生态学研究者能够在面对海量生态数据时做出明智的技术决策，确保分析工作既高效又准确。

### 1.2.1.3 数据分析流程设计与规划能力

数据分析流程设计与规划能力是 AI 时代生态学研究者的核心竞争力，它要求从宏观视角系统性地设计整个数据分析的生命周期。这种能力不仅仅是知道如何使用各种统计工具，更重要的是能够站在研究问题的高度，设计出科学、高效、可复现的分析流程。具体包括：数据收集阶段的方案设计——如何确保数据的代表性和质量；数据清洗阶段的策略制定——如何处理缺失值、异常值和数据标准化；分析方法的选择与组合——如何根据研究问题和数据类型选择最合适的统计模型；结果验证与敏感性分析——如何确保分析结果的稳健性和可靠性；以及最终的可视化与报告呈现——如何将复杂的数据分析结果转化为清晰易懂的科学发现。这种能力还体现在对技术工具链的整体规划上，比如知道在什么情况下应该使用 R 而不是 Python，何时应该选择传统的统计方法而非机器学习算法，以及如何设计可扩展的分析框架来应对未来数据量的增长。

在 AI 协作的时代，LLM 确实可以高效执行具体的编程任务，但整个数据分析的战略规划必须由人类分析师来完成。LLM 是优秀的“执行者”，能够快速实现你指定的数据处理步骤，但它无法替代你在研究设计、方法选择和结果解释方面的专业判断。作为分析师，你需要负责确定分析的整体方向——比如是要探索数据的内在规律还是要验证特定的科学假设？是要进行描述性统计还是要建立预测模型？这些战略决策直接影响着后续所有分析步骤的设计。更重要的是，只有你才理解研究问题的生态学背景，知道哪些统计方法在生态学领域是公认有效的，哪些结果具有实际的生态学意义。LLM 可能会给出技术上的最优解，但你需要判断这个解是否科学合理、是否符合生态学理论。比如，LLM 可能倾向于推荐使用复杂的深度学习模型来分析物种分布数据，但当研究目标与数据特性表明传统的广义线性模型已经足够时，你应遵循“奥卡姆剃刀”原则，优先选择更简单和更具可解释性的方法。

在生态学研究中，数据分析流程设计与规划能力体现在对复杂研究项目的整体把控上。以研究气候变化对森林生态系统影响为例，一个完整的数据分析流程需要精心设计：首先，在数据收集阶段，你需要规划如何整合多源数据——包括气象站的长期观测数据、遥感影像的植被指数、野外调查的物种组成数据等，确保数据的时间序列和空间尺度相匹配。在数据清洗阶段，你需要制定统一的质量控制标准，比如如何处理不同来源数据的单位差异、如何填补缺失的气候数据、如何校正遥感数据的几何畸变。在分析方法选择上，你需要综合考虑研究目标——如果是要分析气候因子的相对重要性，可能会选择方差分解或随机森林；如果是要建立预测模型，可能会使用广义可加模型或机器学习算法。在整个流程中，你还需要规划结果的验证方法，比如使用交叉验证来评估模型的预测性能，或者使用独立的数据集来验证模型的泛化能力。最后，在结果呈现阶段，你需要设计清晰的可视化方案，确保复杂的统计分析结果能够被同行理解和接受。这种全方位的规划能力确保了生态学研究的科学性和可重复性，是 AI 时代生态学研究者不可或缺的核心素养。

## 1.2.2 与 LLM 协同工作的能力

在 AI 时代，与 LLM 的有效协作已经成为生态学数据分析师的核心技能。这种协作不是简单的命令与执行关系，而是一种需要精心设计的对话式工作流程。LLM 可以看作是一个知识渊博但缺乏专业判断的助手，它能够快速实现具体的技术任务，但需要人类分析师提供清晰的指导、专业的判断和严格的质量控制。这种协作关系要求分析师具备三个关键能力：首先是精确提问与 Prompt（提示词）工程能力，能够将复杂的生态学分析需求转化为 LLM 可以理解的明确指令；其次是代码审查与批判性验证能力，确保 LLM 输出的技术方案符合科学标准和实际需求；最后是迭代优化能力，通过多轮对话逐步完善分析方案。这三种能力共同构成了 AI 时代生态学研究者与智能工具协同工作的核心框架，确保研究者能够站在战略高度指导 AI 完成技术实现，同时保持对分析质量和科学性的全面把控。

### 1.2.2.1 精确提问与 Prompt 工程能力

精确提问与 Prompt 工程能力是 AI 时代生态学研究者与 LLM 有效协作的基础，它要求能够将复杂的生态学分析需求转化为清晰、无歧义的技术指令。这种能力不仅仅是简单的命令传达，更是一种需要专业知识和沟通技巧的对话艺术。具体包括：明确指定分析目标——是要探索数据模式还是要验证特定假设；清晰描述数据特征——包括数据结构、变量类型、数据质量等；设定技术约束——如使用的统计包、可视化要求、性能标准、输出格式等；提供生态学背景——帮助 LLM 理解分析的科学意义和实际应用场景。这种能力还体现在对 LLM 输出格式的精确控制上，比如要求生成可复现的分析代码、添加详细的注释说明、确保代码符合生态学研究的最佳实践。

在生态学数据分析中，模糊的提问往往导致 LLM 生成不适用甚至错误的解决方案。比如，简单地说“帮我分析物种多样性”，LLM 可能会使用通用的多样性计算方法，而忽略生态学研究中需要考虑的特定约束条件，如样地面积标准化、稀有物种处理、空间自相关等问题。精确的提问能力确保 LLM 能够理解你的具体需求，生成符合生态学标准的分析代码。更重要的是，这种能力体现了研究者对分析问题的深刻理解——只有当你清楚地知道需要什么统计方法、什么数据预处理步骤、什么结果验证标准时，你才能向 LLM 提出精确的要求。因此，Prompt 工程不是你不再需要思考，而是要求你进行更清晰、更结构化的思考。在 AI 协作时代，这种精确描述需求的能力比记忆具体编程语法更加重要，它决定了你能否有效利用 AI 工具解决复杂的生态学问题。

在研究森林群落构建机制时，精确的提问能力显得尤为重要。假设你要分析环境过滤和生物相互作用对物种共现模式的影响，一个模糊的提问可能是：“帮我分析物种共现模式”。而精确的提问应该包括：明确分析目标——“使用零模型分析检验天童 20 个样地中木本植物的物种共现模式，检验环境过滤和竞争排斥的相对重要性”；数据约束——“数据包含每个样地的物种多度矩阵和环境因子（海拔、坡度、土壤 pH 值），需要排除 DBH<1cm 的个体”；方法要求——“使用 vegan 包计算 C-score 和 Checkerboard 指数，采用固定行列和固定物种丰富度的零模型，进行 999 次随机化，输出统计显著性和效应大小”；结果格式——“生成包含观察值、期望值、标准效应大小和 p 值的表格，以及物种对共现模式的可视化图表”。通过这种精确的提问，LLM 能够生成专业、可复现的生态学分析代码，大大提高了研究效率和分析质量。

### 1.2.2.2 代码审查与批判性验证能力

代码审查与批判性验证能力是确保 LLM 生成代码质量的关键保障，它要求生态学研究者具备专业的判断力来评估和验证 AI 输出的技术方案。这种能力不仅仅是检查语法错误，更重要的是从多个维度进行综合评估：首先是功能正确性验证——确保代码逻辑符合生态学分析要求、统计方法选择恰当、计算结果准确可靠；其次是代码质量审查——检查代码的可读性、可维护性、性能效率，确保符合编程最佳实践；再次是生态学适用性判断——评估统计方法是否适合特定的生态数据类型和研究问题，比如时间序列数据是否需要考虑自相关，空间数据是否需要考虑空间依赖性；最后是科学合理性检验——确保分析结果具有生态学意义，统计推断符合科学标准。这种能力还体现在对边界情况的敏感度上，比如数据缺失、异常值处理、模型假设检验等关键环节的验证。

在生态学研究中，盲目接受 LLM 的输出可能导致严重的科学错误。LLM 虽然能够生成技术正确的代码，但它缺乏对生态学背景的深刻理解，可能会推荐不合适的统计方法或忽略重要的生态学约束条件。比如，LLM 可能会使用普通的线性回归来分析物种丰富度与环境因子的关系，而忽略了生态学中常用的广义线性模型或广义可加模型更适合处理计数数据和非线性关系。更重要的是，LLM 无法判断分析结果的实际生态学意义——一个统计上显著的相关性是否具有生物学重要性？模型预测是否超出了数据的合理范围？这些专业判断必须由人类研究者来完成。在 AI 协作时代，代码审查能力确保了分析结果的科学性和可靠性，是防止“垃圾进，垃圾出”现象的关键防线。

再如，在分析气候变化对物种分布影响的研究中，代码审查能力尤为重要。假设 LLM 生成了一个使用 MaxEnt 模型预测物种分布变化的代码，研究者需要进行全面的审查：首先验证数据预处理——是否对气候变量进行了适当的标准化？是否考虑了变量间的多重共线性？是否使用了正确的投影坐标系？其次检查模型设置——是否设置了合理的正则化参数？是否进行了充分的模型调优？是否使用了适当的背景点采样策略？然后评估结果解释——模型预测的分布变化是否在生态学上合理？是否考虑了物种的扩散能力限制？预测的不确定性是否得到了充分评估？最后检查可复现性——代码是否包含了完整的随机种子设置？是否保存了中间结果以便后续验证？是否提供了清晰的文档说明？通过这种全面的代码审查，研究者能够确保分析结果的科学质量，避免因技术错误导致的研究结论偏差。

### 1.2.2.3 迭代与优化能力

迭代与优化能力是 AI 时代生态学研究者与 LLM 协同工作的核心流程，它体现了从初步方案到最终成果的渐进式完善过程。这种能力要求研究者具备系统性的反馈思维，能够基于 LLM 的初始输出进行多轮的精炼和优化。具体包括：问题诊断与反馈——准确识别 LLM 输出中的不足，如功能缺失、性能问题、代码风格不一致等，并提供具体的改进建议；方案调整与优化——根据实际需求调整分析方案，如改变统计方法、优化算法效率、改进可视化效果等；边界条件完善——补充 LLM 可能忽略的特殊情况处理，如数据缺失、异常值、模型假设检验等；生态学细节补充——添加符合生态学研究标准的特定要求，如数据标准化、结果解释、不确定性评估等。这种能力还体现在对 LLM 学习曲线的把握上，通过持续的对话让 LLM 更好地理解研究者的分析习惯和偏好。

在复杂的生态学数据分析中，很少有分析方案能够一次性完美实现所有需求。LLM 的初始输出往往是一个基础框架，需要通过多轮迭代来完善细节、优化性能、增强稳健性。这种迭代过程不仅仅是技术修正，更重要的是科学思维的体现——通过反复的质疑、验证和优化，确保分析方案既技术正确又科学合理。比如，LLM 可能首先生成一个基本的物种多样性分析代码，但研究者需要通过多轮对话来添加样地面积标准化、稀有物种处理、统计检验等生态学分析必需的细节。更重要的是，迭代过程本身就是一个深度学习的机会——通过观察 LLM 如何响应不同的反馈，研究者能够更好地理解统计方法的实现细节，提升自己的编程和数据分析能力。在 AI 协作时代，这种迭代优化能力确保了分析方案的质量和适用性，是高效利用 AI 工具解决复杂生态学问题的关键。

例如，在构建森林碳储量预测模型时，迭代优化能力发挥着关键作用。假设研究者首先向 LLM 提出需求：“帮我用 R 构建一个预测森林碳储量的模型”。LLM 可能首先生成一个简单的线性回归模型。研究者通过第一轮迭代反馈：“这个模型太简单了，森林碳储量与树高、胸径的关系可能是非线性的，请改用广义可加模型，并考虑树种差异的影响”。LLM 生成改进版本后，研究者进行第二轮迭代：“模型还需要考虑样地间的空间自相关性，请添加空间随机效应，使用混合效应模型框架”。第三轮迭代可能关注模型验证：“请添加交叉验证来评估模型预测性能，并生成残差分析图表检查模型假设”。第四轮迭代可能关注实际应用：“模型需要能够处理新的样地数据，请编写一个预测函数，并添加不确定性估计”。通过这种多轮迭代，研究者能够逐步完善分析方案，从基础模型发展到符合生态学研究标准的复杂预测系统，确保模型既技术先进又科学实用。

### 1.2.3 传统但愈发重要的软技能

在 AI 技术快速发展的背景下，一些传统的软技能不仅没有失去价值，反而在技术工具的辅助下变得更加关键。与 LLM 等技术工具不同，这些能力无法通过算法训练获得，而是需要通过长期的学术实践和人文素养培养来建立。具体包括：数据分析调试与问题排查能力——当复杂的生态学分析流程出现异常时，人类研究者的逻辑推理和经验判断是不可替代的；沟通与协作能力——向不同背景的受众解释分析结果、与团队成员协同完成研究项目的能力；持续学习与好奇心——在技术快速迭代的时代保持前沿知识更新的动力。这些软技能共同构成了 AI 时代生态学研究者的核心竞争力，确保研究者能够在技术工具的辅助下，依然保持对科学研究本质的深刻理解和主导地位。

#### 1.2.3.1 数据分析调试与问题排查能力

数据分析调试与问题排查能力是生态学研究者面对复杂数据分析流程时必备的核心技能，它要求具备系统性的问题诊断思维和逻辑推理能力。这种能力不仅仅是解决技术错误，更重要的是从科学研究所的整体视角来识别和解决分析流程中的各种问题。具体而言，研究者需要能够准确理解编程语言和统计软件的错误提示，快速定位问题根源；识别数据收集、录入、处理过程中的质量问题，如缺失值模式、异常值分布、数据一致性等；通过系统性的排除法确定问题原因，验证各种可能的假设；重现问题发生的完整流程，确定问题出现的具体环节；提出针对性的解决措施，并验证解决方案的有效性。这种能力还体现在对问题严重性的判断上，能够区分技术性错误和科学性错误，确保问题解决不影响研究的科学完

整性。

在生态学数据分析中，问题排查能力比单纯的编程技能更加重要。LLM 虽然能够生成代码，但当分析流程出现复杂问题时，它往往难以理解问题的深层原因和科学背景。比如，当物种多样性分析结果出现异常值时，LLM 可能只能提供技术性的检查建议，而人类研究者需要结合生态学知识来判断：是数据收集问题？是统计方法选择不当？还是生态系统本身的异常现象？更重要的是，许多数据分析问题涉及多个环节的交互影响，需要研究者具备全局思维来系统排查。在 AI 协作时代，这种调试能力确保了研究者能够主导分析过程，而不是被技术问题所困扰。它体现了研究者对数据分析流程的深刻理解和对科学问题的专业判断，是确保研究成果可靠性的关键保障。

比如，在研究森林群落演替动态时，调试能力显得尤为重要。假设研究者使用 LLM 生成的代码分析 20 年长期监测数据，发现某些样地的物种丰富度变化模式异常——在理论上应该增加的情况下出现了下降。研究者需要进行系统的问题排查，首先检查数据质量，验证野外调查记录是否完整，数据录入是否有误，样地边界是否发生变化；然后检查分析方法，确认多样性计算是否考虑了样地面积标准化，统计检验是否考虑了时间序列的自相关性；接着分析生态学背景，考察是否有干扰事件（如病虫害、火灾）影响，气候条件是否有异常变化；最后验证结果合理性，与其他独立数据源对比，咨询领域专家意见。通过这种系统性的调试过程，研究者可能发现问题是因为数据录入错误（某个年份的样地面积记录有误），或者是真实的生态现象（某种优势树种的大规模死亡导致多样性暂时下降）。这种深度的问题排查能力确保了研究结论的科学性，是 AI 工具难以替代的人类智慧。

### 1.2.3.2 沟通与协作能力

沟通与协作能力是生态学研究者将技术分析转化为科学影响力的关键桥梁，它要求具备多层次的交流技巧和团队合作素养。这种能力体现在多个维度：能够向不同专业背景的研究者（如生态学家、统计学家、政策制定者）清晰解释复杂的数据分析结果，确保技术发现被正确理解和应用；将数据分析过程、方法和结论转化为规范的学术论文、研究报告或政策建议，确保科学发现的传播和影响力；在多人参与的研究项目中协调分工、统一研究思路、解决分歧，确保研究目标的顺利实现；将专业的生态学研究发现转化为公众易懂的语言，为环境保护决策提供科学依据。这种能力还体现在对不同受众需求的敏感度上，知道在什么场合使用什么语言，如何平衡专业性和可理解性。

在 AI 时代，技术工具可以高效完成数据分析任务，但科学的研究的最终价值需要通过有效的沟通和协作来实现。LLM 虽然能够生成技术报告，但它无法理解不同受众的知识背景、关注点和价值取向，也无法进行真正的情感共鸣和思想交流。比如，向政策制定者解释气候变化对生物多样性的影响时，需要将复杂的数据分析结果转化为具体的政策建议和风险评估，这要求研究者具备政策语言的理解和转化能力。更重要的是，科学研究本质上是集体智慧的产物，需要研究者之间的深度协作——讨论研究设计、分享数据分析经验、批判性评价研究结论。这种协作过程不仅提高了研究质量，也促进了学术共同体的知识积累。在 AI 辅助的研究环境中，沟通协作能力确保了人类智慧的主导地位，是科学研究社会价值实现的关键环节。

**生态学案例：**在开展跨学科的生态系统服务评估研究时，沟通协作能力发挥着核心作用。假设一个

研究团队包括生态学家、经济学家、社会学家和政策专家，共同评估森林生态系统的碳汇功能和经济价值。生态学家需要向经济学家解释碳储量测算的科学原理和数据不确定性——“我们使用异速生长方程估算树木生物量，基于树种-specific 的转换系数计算碳储量，但这种方法在幼林和异龄林中的准确性需要谨慎评估”。经济学家则需要向生态学家说明价值评估的经济学方法——“我们采用影子价格法估算碳汇的市场价值，但需要考虑碳价格的时空变异性和平政策不确定性”。社会学家需要协调不同学科的观点，确保评估框架既科学严谨又社会相关——“我们需要平衡生态系统的长期服务功能与当地社区的短期生计需求”。政策专家则需要将研究成果转化为可操作的政策建议——“基于碳汇评估结果，我们建议建立生态补偿机制，但需要设计合理的补偿标准和监督体系”。通过这种深度的跨学科沟通和协作，研究团队能够产出既有科学价值又有政策影响力的综合研究成果，这是单纯的技术分析无法实现的。

### 1.2.3.3 持续学习与好奇心

持续学习与好奇心是生态学研究者在技术快速变革时代保持竞争力的根本动力，它体现为对知识的主动探索和对新技术的开放态度。这种能力不仅仅是被动接受信息，更是一种积极的知识建构过程。具体而言，研究者需要主动关注统计学、生态学、数据科学等领域的最新进展，了解新的分析方法、软件工具和研究范式；不盲目追随技术潮流，而是基于科学需求评估新技术的适用性和局限性；将其他领域的先进方法创造性应用于生态学问题解决，如机器学习、网络科学、复杂系统理论等；通过实际项目应用新技术，在解决具体问题的过程中深化理解；将学习成果转化为教学材料、技术文档或学术交流，促进学术共同体的知识更新。这种能力还体现在对未知问题的探索热情上，不满足于现有答案，始终保持对自然现象深层规律的好奇和追问。

在 AI 和数据分析技术日新月异的背景下，持续学习能力比掌握特定技术更加重要。LLM 等工具虽然能够提供当前的技术解决方案，但它们无法替代研究者对知识发展方向的判断和对新兴机遇的把握。比如，当新的空间统计方法出现时，研究者需要主动学习并评估其在生态学中的应用潜力，而不是等待 LLM 的推荐。更重要的是，生态学本身就是一个快速发展的学科，新的理论框架、研究方法和技术工具不断涌现。只有保持持续学习的研究者才能站在学科前沿，提出创新性的研究问题，设计先进的分析方案。在 AI 协作的研究环境中，持续学习能力确保了研究者对技术工具的主导地位——你知道什么时候应该采用新技术，什么时候应该坚持传统方法，如何将不同的技术工具组合使用来解决复杂的生态学问题。

在应对气候变化对生物多样性影响的研究中，持续学习能力发挥着关键作用。假设一位研究者十年前主要使用传统的物种分布模型（如 BIOCLIM、DOMAIN）来预测气候变化的影响。随着技术的发展，他需要主动学习新的建模方法，首先学习基于最大熵的 MaxEnt 模型，理解其相对于传统方法的优势；然后掌握集成建模方法（如 ensemble forecasting），学会组合多个模型的预测结果；接着探索机器学习方法（如随机森林、支持向量机）在生态学中的应用；最近可能需要学习深度学习技术（如卷积神经网络）处理高分辨率的遥感数据。在这个过程中，研究者不仅需要学习技术本身，还需要批判性评估每种方法的适用条件——MaxEnt 适合小样本数据，但可能过度依赖环境变量；机器学习方法预测性能好，但可解释性较差；深度学习方法能够捕捉复杂模式，但需要大量数据和计算资源。通过这种持续的学习

过程，研究者能够根据具体的研究问题和数据条件，选择最合适的技术方法，确保研究成果既技术先进又科学可靠。更重要的是，这种学习过程本身会激发新的研究思路——比如将网络分析方法应用于物种互作研究，或将时间序列分析技术应用于长期生态监测数据，从而推动生态学研究的创新发展。

## 1.3 AI 编程思维基础

在 AI 时代，编程教育的重点已从特定语言的语法细节转向通用的编程思维框架。通用编程思维基础之所以重要，是因为它提供了跨语言、跨工具的问题解决能力。无论使用 R、Python 还是其他编程语言，无论与哪种 AI 工具协作，扎实的编程思维都是有效沟通和高效解决问题的基石。这种思维框架确保学生能够理解计算的基本原理，而不仅仅是记忆特定 API 的使用方法。

接下来仅介绍任何编程语言都需要掌握的核心编程思维，包括变量与常量、数据结构、算法与数据结构思维、编程核心概念等。如果需要参考有关 R 语言的详细资料，可参考李东风老师的 R 语言教程 ([https://www.math.pku.edu.cn/teachers/lidif/docs/Rbook/html/\\_Rbook/index.html](https://www.math.pku.edu.cn/teachers/lidif/docs/Rbook/html/_Rbook/index.html))。

### 1.3.1 编程核心概念

#### 1.3.1.1 计算机主要硬件与数据流

从统计分析编程的角度理解计算机硬件组成，对于优化数据分析效率和解决计算瓶颈至关重要。计算机系统主要由四大核心硬件组件构成：中央处理器（CPU）、图形处理器（GPU）、内存（RAM）和硬盘（存储设备），每个组件在统计分析中扮演着独特而关键的角色。

**中央处理器（CPU）** 是计算机的“大脑”，负责执行程序指令和进行逻辑运算。在统计分析中，CPU 的性能直接影响数据处理的效率。现代 CPU 通常包含多个核心，可以并行处理多个任务，这对于统计分析中的循环运算、矩阵计算等密集型操作尤为重要。例如，在执行蒙特卡洛模拟或 Bootstrap 重抽样时，多核 CPU 可以显著加速计算过程。CPU 的时钟频率决定了单线程任务的执行速度，而缓存大小则影响数据访问的效率。在 R 语言分析中，CPU 负责执行所有的统计函数调用、数据转换和模型拟合操作。

**图形处理器（GPU）** 最初设计用于图形渲染，但其高度并行的架构使其在特定类型的统计分析中表现出色。GPU 包含数千个小型处理核心，能够同时执行大量简单的计算任务。在统计分析中，GPU 特别适合处理大规模的矩阵运算、深度学习模型训练、以及需要大量并行计算的任务。例如，主成分分析（PCA）、奇异值分解（SVD）等线性代数运算在 GPU 上的执行速度可能比 CPU 快数十倍。然而，GPU 编程需要特定的库和框架支持，如 R 语言的 gpuR 包或 Python 的 CUDA 工具包。

**内存（RAM）** 是计算机的临时工作空间，用于存储当前正在处理的数据和程序。在统计分析中，内存容量直接决定了能够处理的数据集大小。当数据分析师读取一个 CSV 文件或数据框时，整个数据集会被加载到内存中。如果数据集超过可用内存容量，系统将使用虚拟内存（硬盘空间），但这会显著降低性能。内存的速度也影响计算效率——更快的内存意味着 CPU 能够更快地访问数据。在 R 语言中，

内存管理尤为重要，因为 R 通常将整个数据集保留在内存中进行分析。

**硬盘（存储设备）** 用于长期数据存储，包括原始数据文件、分析结果和程序代码。硬盘的性能影响数据读取和写入的速度。传统机械硬盘（HDD）速度较慢但容量大、成本低，适合存储大型历史数据集。固态硬盘（SSD）速度更快但价格较高，适合存储需要频繁访问的当前研究数据。在统计分析工作流中，合理的存储策略可以优化整体效率——将常用数据放在 SSD 上，将归档数据放在 HDD 上。

**PCIe 总线** 是连接 CPU、内存、硬盘和 GPU 等硬件组件的高速数据通道。PCIe (Peripheral Component Interconnect Express) 的带宽决定了不同硬件间数据传输的速度。现代 PCIe 4.0 x16 接口提供约 32GB/s 的带宽，而 PCIe 5.0 x16 接口带宽可达 64GB/s。在 GPU 加速计算中，PCIe 总线的性能直接影响 CPU 与 GPU 之间的数据传输效率，是决定整体计算性能的关键因素之一。

**程序运行的基本流程** 涉及这些硬件组件间的协同工作。当执行一个统计分析程序时：首先，程序代码从硬盘被加载到内存中；然后，CPU 从内存读取指令并逐条执行；在执行过程中，CPU 可能需要从内存读取数据，进行计算后将结果写回内存；最后，分析结果被保存到硬盘中。这个过程中，数据在不同硬件间流动：硬盘 → 内存 → CPU → 内存 → 硬盘。

**GPU 加速计算的流程** 与 CPU 有所不同。当程序需要利用 GPU 进行并行计算时：首先，CPU 将需要处理的数据从系统内存通过 PCIe 总线传输到 GPU 显存；然后，GPU 的数千个计算核心并行处理数据；计算结果暂存在 GPU 显存中；最后，CPU 将结果从 GPU 显存传回系统内存，再保存到硬盘。这个过程中，数据流动为：硬盘 → 内存 → GPU 显存 → GPU 计算核心 → GPU 显存 → 内存 → 硬盘。GPU 计算的关键在于减少 CPU 与 GPU 之间的数据传输次数，通过批处理和异步传输优化性能。

图1.1 展示了程序运行过程中数据在不同硬件组件间的流动路径。在统计分析的具体场景中，这种数据流转体现得更加明显。例如，当运行一个线性回归分析时：R 解释器从硬盘读取脚本文件到内存；数据文件从硬盘加载到内存的数据框中；CPU 执行 lm() 函数，在内存中进行矩阵运算；计算结果（系数、p 值等）存储在内存中的模型对象里；最终结果被写入硬盘的报告文件。如果分析涉及大规模数据，可能会出现内存瓶颈，此时需要采用分批处理或流式处理策略，让数据在硬盘和内存间分块流动。

理解硬件组成和程序运行流程有助于统计分析人员优化工作流程。例如，知道 CPU 多核特性可以指导使用并行计算包（如 parallel）来加速计算；了解 GPU 的并行能力可以指导选择适合 GPU 加速的算法；认识内存限制可以避免处理过大的数据集导致系统崩溃；理解硬盘性能差异可以优化数据存储策略。这种硬件意识是现代数据科学家必备的基础知识，它帮助研究者在技术约束下做出明智的决策，确保统计分析既高效又可靠。

### 1.3.1.2 变量与常量

```
# 变量就像可擦写的白板，可以随时修改
score <- 90
score <- 95 # 可以修改

# 常量就像刻在石头上的字，一旦设定就不能改变
PI <- 3.14159
# PI <- 3.14 # 不应该修改常量
```

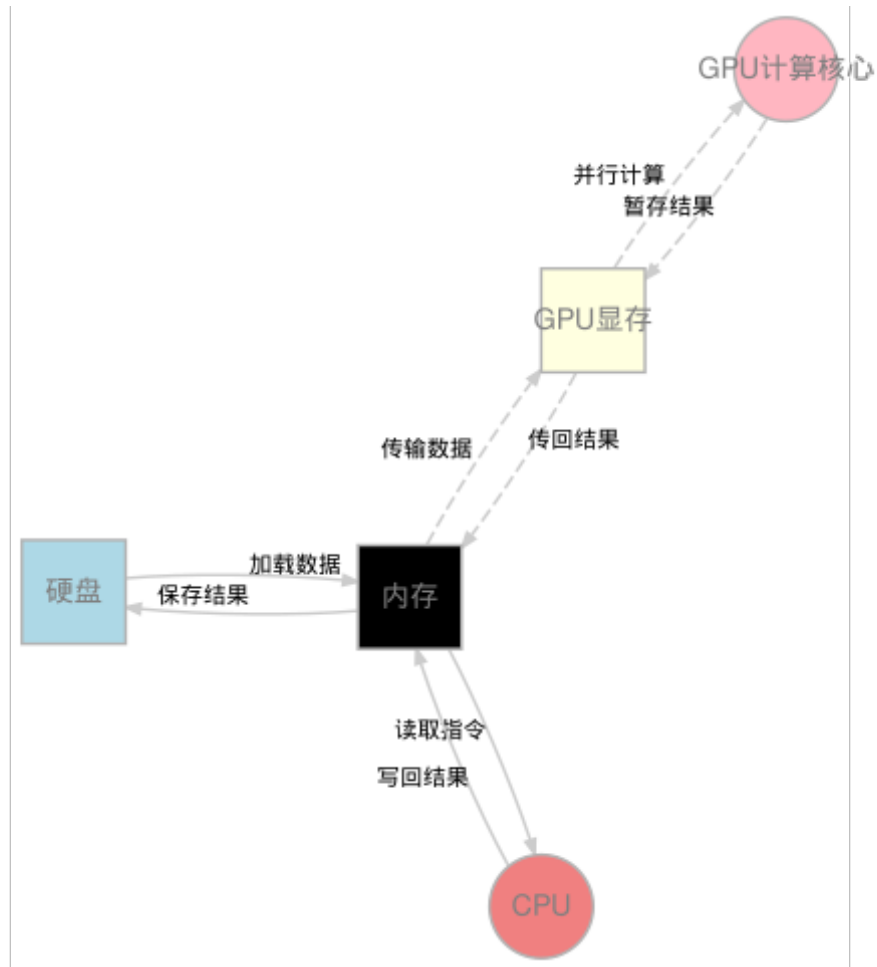


图 1.1 程序运行中的数据流动示意图

变量和常量的区分体现了编程中的抽象思维和工程规范，是构建可维护、可复用代码的基础。在生态学数据分析中，这种区分尤为重要。变量就像生态学研究中的测量指标——它们会随着时间、空间或处理条件而变化，比如样地的温度读数、物种的个体数量、实验处理的效果值等。使用变量可以让代码适应不同的数据输入，实现分析的通用性和灵活性。而常量则代表那些在特定分析中保持不变的基础参数，比如圆周率 $\pi$ 、重力加速度 $g$ 、或者生态学中常用的转换系数（如生物量估算公式中的参数）。这些常量一旦设定就不应该被修改，因为它们代表了科学共识或物理规律。

从工程角度看，正确使用常量可以避免“魔法数字”问题——在代码中直接使用未经解释的数值，这不仅降低了代码的可读性，还增加了出错风险。比如，在计算森林碳储量时，如果直接将碳转换系数0.5写在计算公式中，其他研究者很难理解这个数字的含义，而且如果后续研究更新了这个系数，就需要在整个代码中搜索并修改所有出现0.5的地方。而如果将其定义为常量 `CARBON_CONVERSION_FACTOR <- 0.5`，代码就变得自文档化，修改也只需要在一个地方进行。

在生态学编程实践中，变量和常量的恰当使用还体现了对数据生命周期的理解。变量通常对应着分析过程中的中间结果或输入数据，它们的值会在分析流程中不断变化；而常量则对应着分析的基本假设和约束条件，它们定义了分析的边界和前提。这种区分有助于建立清晰的思维框架，让研究者能够更好地组织分析逻辑，确保代码的科学性和可复现性。更重要的是，在现代AI辅助编程环境中，明确的变量常量区分能够帮助LLM更好地理解代码意图，生成更符合生态学研究规范的解决方案。

### 1.3.1.3 基本数据类型

```
# 数字类型
temperature <- 25.5
count <- 100L

# 逻辑类型
is_raining <- TRUE
is_sunny <- FALSE

# 字符类型
species_name <- "Quercus acutissima"
habitat <- "deciduous forest"

# 空值
missing_data <- NULL
```

数据类型的正确理解和使用是生态学数据分析的基石，它直接影响分析的准确性、效率和可解释性。在生态学研究中，不同类型的数据对应着不同的统计方法和生态学意义，混淆数据类型可能导致严重的科学错误。比如，物种名称是分类数据（字符型），应该使用频数统计和卡方检验；个体数量是计数数据（整数型），适合使用泊松回归或负二项回归；环境温度是连续数据（数值型），可以使用相关分析和回归模型；而存在/缺失数据（逻辑型）则需要使用二元响应模型。

从技术层面看，数据类型决定了可用的操作和函数。对数值型数据可以进行算术运算、统计检验和数学变换；对字符型数据可以进行字符串处理、模式匹配和分类汇总；对逻辑型数据可以进行逻辑运算和条件筛选。如果混淆了数据类型，比如试图对物种名称进行算术平均，或者对温度数据进行字符串拼接，不仅会产生无意义的结果，还可能导致程序错误。更重要的是，在生态学数据分析中，数据类型的

选择往往反映了对生态现象的深刻理解——比如将连续的环境梯度离散化为分类变量时，需要基于生态学理论来确定分类边界。

在 AI 辅助编程时代，数据类型知识变得更加重要。当向 LLM 描述分析需求时，明确的数据类型说明能够帮助 AI 生成更准确的代码。比如，“分析温度对物种丰富度的影响”这个需求中，如果明确指出温度是连续变量，物种丰富度是计数变量，LLM 就会推荐使用广义线性模型而不是普通的线性回归。此外，数据类型还关系到数据存储效率和计算性能——数值型数据比字符型数据占用更少内存，整数运算比浮点运算更快。在处理大规模的生态监测数据时，这种效率差异可能决定分析是否可行。因此，掌握数据类型不仅是编程技术问题，更是生态学研究者科学素养的体现。

#### 1.3.1.4 运算符

```
# 先定义示例数据
dbh <- 25.3 # 胸径
height <- 18.2 # 树高
species1 <- "Quercus"
species2 <- "Pinus"
temperature <- 20
rainfall <- 1200
abundance <- 5
distribution_area <- 80
species_list <- c("Quercus", "Pinus", "Acer", "Betula", "Fagus")

# 算术运算符
biomass <- dbh^2 * height * 0.6 # 幂运算和乘法

# 比较运算符
is_large_tree <- dbh > 30 # 大于比较
is_same_species <- species1 == species2 # 相等比较

# 逻辑运算符
suitable_habitat <- (temperature > 15) & (rainfall > 1000) # 与运算
rare_species <- (abundance < 10) | (distribution_area < 100) # 或运算

# 赋值运算符
species_count <- length(unique(species_list)) # 常规赋值
```

运算符是编程语言中执行基本操作的核心元素，它们将简单数据值组合成复杂的计算表达式。在生态学数据分析中，运算符的正确使用直接关系到分析结果的准确性和科学性。运算符可以分为几个主要类别：算术运算符（+、-、\*、/、^）用于数值计算，如生物量估算、种群密度计算；比较运算符（>、<、==、!=）用于条件判断，如筛选特定大小的树木或特定温度范围的数据；逻辑运算符（&、|、!）用于组合多个条件，如同时满足温度和湿度要求的生态位分析。

运算符的优先级和结合性规则决定了复杂表达式的计算顺序，理解这些规则对于编写正确的代码至关重要。比如在表达式  $a + b * c$  中，乘法优先级高于加法，会先计算  $b * c$  再与  $a$  相加。如果不理解优先级，可能导致计算结果错误。在生态学建模中，这种精确性尤为重要——错误的运算符使用可能导致模型偏差或生态学意义的误解。

在 AI 协作环境中，明确的运算符使用能够显著提高与 LLM 的沟通效率。当向 AI 描述分析需求时，使用正确的运算符术语（如“使用逻辑与运算符组合温度和降水条件”）比模糊的描述（如“同时考虑温度和降水”）能生成更准确的代码。运算符还是连接数据与算法的桥梁，它们将原始生态数据转化

为有意义的生态指标，是构建科学分析流程的基础构件。掌握运算符的使用不仅是一项编程技能，更是生态学研究者表达分析逻辑的重要工具。

### 1.3.1.5 集合数据类型

```
# 向量 - 同类型元素的集合
temperatures <- c(20, 22, 25, 18, 23)
species <- c("Oak", "Pine", "Maple", "Birch")

# 列表 - 可以包含不同类型的元素
forest_data <- list(
  name = "Tianmu Mountain Forest",
  area = 428,
  dominant_species = c("Cyclobalanopsis", "Castanopsis"),
  elevation_range = c(300, 1500)
)

# 数据框 - 表格形式的数据
forest_df <- data.frame(
  plot_id = 1:5,
  species = c("Quercus", "Pinus", "Acer", "Betula", "Fagus"),
  dbh = c(25.3, 18.7, 12.4, 15.8, 22.1),
  height = c(18.2, 15.6, 10.3, 12.7, 16.9)
)
```

集合数据类型的正确选择是生态学数据分析效率和质量的关键，它体现了对数据结构复杂性和分析需求的深刻理解。与基本数据类型（如数值、字符、逻辑值）处理单个数据元素不同，集合数据类型用于组织和存储多个相关数据，每种类型都有其独特的结构特性和适用场景。在生态学研究中，这种区分尤为重要——向量适合存储同类型的观测序列（如连续的温度读数），列表能够容纳复杂的嵌套结构（如包含样地信息、物种组成、环境因子的综合数据），而数据框则专门为表格型数据设计（如样地调查表）。

基本数据类型与集合数据类型的根本区别在于组织层次和操作粒度。基本数据类型关注单个数据点的属性和操作，比如数值的算术运算、字符的字符串处理；而集合数据类型关注数据之间的组织关系和整体操作，比如向量的元素索引、列表的嵌套访问、数据框的行列筛选。这种区别决定了它们的使用场景：当需要处理单一类型的序列数据时，向量提供了高效的内存存储和向量化运算；当数据结构复杂且异构时，列表的灵活性允许存储不同类型的数据对象；当数据呈现表格形式且需要同时处理多个变量时，数据框的结构化存储便于统计分析。

在生态学数据分析实践中，正确的集合类型选择直接影响分析效率和结果质量。比如，使用向量存储物种多样性指数序列可以实现快速的统计计算和可视化；使用列表组织不同样地的监测数据便于批量处理和比较分析；使用数据框管理样地调查表则可以直接应用各种统计函数和机器学习算法。更重要的是，集合数据类型的选择反映了对生态数据本质的理解——是时间序列、空间分布还是多变量关系？这种理解有助于设计更合理的分析流程，确保统计方法的适用性和结果的科学性。在 AI 协作环境中，明确的集合类型说明能够帮助 LLM 生成更符合生态学数据分析规范的代码，提高协作效率。

### 1.3.1.6 分支与循环

```
# 条件判断 - 根据条件选择不同路径
classify_tree_size <- function(dbh) {
  if (dbh < 10) {
    return("sapling")
  } else if (dbh < 30) {
    return("medium tree")
  } else {
    return("large tree")
  }
}

# 循环 - 重复执行操作
# 计算每个样地的平均胸径
plot_dbh <- c(15.3, 22.7, 18.4, 25.1, 12.9)
average_dbh <- numeric(length(plot_dbh))

for (i in seq_along(plot_dbh)) {
  average_dbh[i] <- mean(plot_dbh[1:i])
}

# 更 R 风格的方式 - 使用向量化操作
average_dbh <- cumsum(plot_dbh) / seq_along(plot_dbh)
```

分支与循环是构建复杂生态学数据分析逻辑的核心工具，它们将静态的数据处理转化为动态的、智能的分析流程。在生态学研究中，自然系统的复杂性和不确定性要求分析程序能够根据数据特征自动调整处理策略，这正是分支结构的价值所在。比如，在分析物种分布数据时，可能需要根据数据质量（完整性、准确性）选择不同的预处理方法；在处理环境梯度数据时，需要根据变量类型（连续型、分类型）应用不同的统计模型。这种条件判断能力使得分析程序能够适应真实世界的复杂性，而不是僵化地套用固定流程。

循环结构则解决了生态学数据分析中的规模化问题。生态学研究往往涉及大量的重复性操作——对数百个样地的数据执行相同的计算，对数十个环境变量进行相同的统计分析，对多年的监测数据进行相同的时间序列分析。手动重复这些操作不仅效率低下，还容易出错。循环结构通过自动化这些重复任务，确保了分析的一致性和可复现性。更重要的是，在 R 语言中，向量化操作往往比显式循环更高效，这体现了对计算效率的深入理解。

分支与循环的组合使用能够构建出真正智能的数据分析系统。比如，一个完整的生态数据分析流程可能包含：首先使用循环遍历所有样地，对每个样地使用分支结构检查数据质量，然后根据质量等级选择不同的清洗策略，接着使用嵌套循环分析不同时间尺度的变化模式，最后根据统计显著性自动生成报告结论。这种复杂的逻辑结构正是现代生态学研究所需的——它能够处理大规模、多维度、异质性的生态数据，产生科学可靠的结论。在 AI 协作时代，理解这些控制结构有助于更好地指导 LLM 生成符合生态学分析逻辑的代码，而不是简单的脚本堆积。

**向量化操作的重要性：**在 R 语言中，向量化操作代表了更高级的编程思维，它通过将操作应用于整个数据向量而非单个元素，极大地简化了数据分析代码。对于生态学研究者而言，向量化不仅意味着代码简洁性的提升——比如用 `mean(temperature)` 替代繁琐的循环计算，更重要的是它体现了对数据整体性的理解。在处理生态监测数据时，向量化操作允许研究者一次性对整个时间序列或空间网格进行分

析，而不是逐点处理，这大大提高了代码的可读性和可维护性。

从性能角度看，向量化操作通常比显式循环运行更快，因为 R 的内部优化能够利用底层 C/Fortran 代码的高效实现。这种性能优势在 R、Python 等解释型语言中尤为明显，因为这些语言中的循环通常较慢。相比之下，在 C++ 等编译型语言中，循环本身已经高度优化，向量化的性能优势相对较小，但向量化思维仍然有助于简化代码语法。在处理大规模的生态数据集（如遥感影像、长期监测记录）时，这种速度优势可能决定分析是否可行。然而，向量化操作也有其局限性：它要求数据具有相同的结构和类型，对于复杂的分支逻辑或条件处理可能不够灵活。此外，过度向量化可能降低代码的可调试性，因为错误可能隐藏在复杂的向量运算中。另一个重要缺陷是内存消耗问题：向量化操作通常需要将整个数据集加载到内存中进行批量处理，对于超大规模的生态数据集（如高分辨率遥感影像、全基因组序列），这可能超出计算机的内存容量，导致程序崩溃。相比之下，循环处理可以逐块读取数据，减少内存压力。因此，生态学研究者需要在向量化的简洁高效与循环的灵活可控之间找到平衡，根据具体分析需求选择最合适的编程范式。

### 1.3.1.7 表达式与语句

```
# 表达式 - 产生值的代码片段
total_trees <- 100 + 50 # 表达式, 产生值 150
mean_dbh <- mean(c(25, 30, 35)) # 表达式, 产生平均值

# 语句 - 执行动作的代码单元
if (temperature > 25) {
  cat(" 温度过高, 需要调整实验条件\n") # 语句
}

# 定义示例数据和函数
plots <- c("plot1", "plot2", "plot3")
analyze_plot <- function(plot) {
  cat(" 分析样地:", plot, "\n")
}

for (plot in plots) {
  analyze_plot(plot) # 语句
}

## 分析样地: plot1
## 分析样地: plot2
## 分析样地: plot3
```

表达式与语句的区分体现了编程中的两种基本思维模式——计算思维和流程控制思维。表达式(Expression) 是能够产生值的代码片段，它们关注“计算什么”，通过运算符和函数调用来完成具体的数值计算或逻辑判断。比如 `dbh^2 * height * 0.6` 是一个表达式，它计算树木的生物量；`temperature > 25` 也是一个表达式，它产生逻辑值 TRUE 或 FALSE。表达式可以嵌套组合，形成复杂的计算逻辑，但最终都会归结为一个具体的值。

语句(Statement)则是执行动作的代码单元，它们关注“做什么”，控制程序的执行流程。语句不产生值（或者产生的值不是其主要目的），而是完成特定的操作任务。前面提到的分支(if-else)和循环(for/while)都是典型的语句类型——分支语句根据条件选择不同的执行路径，循环语句重复执行特定的代码块。其他常见的语句还包括赋值语句(`x <- 10`)、函数调用语句等。

这种区分在生态学数据分析中尤为重要：表达式用于构建统计模型和计算生态指标，如多样性指数计算、回归分析等；语句则用于控制分析流程，如根据数据质量选择不同的预处理方法，或者对多个样本执行相同的分析操作。理解这种区别有助于设计更清晰的分析架构，也便于与 LLM 有效协作——明确告诉 AI 需要计算什么（表达式）和需要执行什么操作（语句）。

### 1.3.1.8 函数/过程

```
# 加载必要的包
library(dplyr)
library(stringr)

# 定义计算物种多样性的函数
calculate_diversity <- function(species_list) {
  species_counts <- table(species_list)
  proportions <- species_counts / sum(species_counts)
  shannon <- -sum(proportions * log(proportions))
  return(shannon)
}

# 定义数据清洗函数
clean_forest_data <- function(raw_data) {
  cleaned <- raw_data %>%
    filter(!is.na(dbh) & dbh > 0) %>%
    mutate(species = str_trim(tolower(species)))
  return(cleaned)
}

# 创建示例数据
raw_forest_data <- data.frame(
  plot_id = 1:5,
  species = c("Oak", "Pine", "Maple", "Oak", "Birch"),
  dbh = c(25.3, 18.7, NA, 15.8, 22.1),
  height = c(18.2, 15.6, 10.3, 12.7, 16.9)
)

# 使用函数
sample_species <- c("Oak", "Pine", "Oak", "Maple")
diversity_index <- calculate_diversity(sample_species)
cleaned_data <- clean_forest_data(raw_forest_data)
```

函数是编程中的抽象工具，它将复杂的操作封装成可重用的模块，体现了“一次编写，多次使用”的工程原则。在生态学数据分析中，函数的使用具有多重价值：首先是代码复用性——相同的分析逻辑可以在不同项目、不同数据集中重复使用，避免重复劳动。比如，一个计算 Shannon 多样性指数的函数可以在多个森林调查项目中重复使用，大大提高了分析效率。其次是可维护性——当分析逻辑需要修改时，只需修改函数定义，所有调用该函数的地方都会自动更新。例如，如果需要改进多样性指数的计算方法，只需修改 `calculate_diversity` 函数，而不需要在每个使用该计算的地方逐一修改。再次是模块化设计——通过将复杂分析流程分解为多个函数，使代码结构更清晰，便于理解和调试。在生态学研究中，一个完整的分析流程可能包含数据读取、清洗、多样性计算、统计检验、可视化等多个步骤，每个步骤都可以封装为独立的函数，使整体分析逻辑更加清晰。

从工程角度看，函数还促进了代码的标准化和规范化。在团队协作的生态学研究项目中，统一的函数接口可以确保不同研究者使用相同的分析方法，提高结果的可比性和可再现性。例如，定义标准的 `clean_forest_data` 函数可以确保所有参与者在数据清洗阶段采用相同的质量控制标准。

在 AI 协作环境中，函数思维变得更加重要。当向 LLM 描述分析需求时，明确的函数化架构能够帮助 AI 更好地理解分析逻辑，生成更模块化、可维护的代码。LLM 可以根据函数化的需求描述，分别生成数据读取、处理、分析、可视化等各个模块的代码，而不是生成一个冗长复杂的单一脚本。这种模块化的代码结构不仅便于人类理解，也便于后续的调试和优化。更重要的是，函数化的思维有助于建立清晰的测试框架——每个函数都可以独立测试，确保其功能的正确性，从而提高整个分析流程的可靠性。在生态学数据分析的复杂环境中，这种函数化的设计思维是确保分析质量、提高协作效率的关键保障。

### 1.3.1.9 作用域

```
# 全局变量
global_species_count <- 0

analyze_forest <- function(plot_data) {
  # 局部变量 - 只在函数内部可见
  local_species <- unique(plot_data$species)
  local_count <- length(local_species)

  # 可以访问全局变量
  global_species_count <- global_species_count + local_count

  return(local_count)
}

# 在函数外部无法访问局部变量
# print(local_species) # 会报错

# 但可以访问全局变量
print(global_species_count)

## [1] 0
```

作用域规则定义了变量的可见范围，是构建复杂、安全程序的基础机制。在生态学数据分析中，正确理解作用域具有多重重要意义：首先，作用域机制有效避免了命名冲突——不同的函数或模块可以使用相同的变量名而不会相互干扰。例如，在分析多个样地数据时，每个样地的分析函数都可以使用 `species_count` 作为局部变量，而不会影响其他样地的计算结果。这种隔离性大大简化了变量命名，降低了代码复杂度。

其次，作用域提供了精细的数据访问控制能力。在生态学研究中，某些敏感数据（如原始调查记录、物种分布坐标等）需要限制访问范围，防止意外修改或泄露。通过将敏感数据封装在特定作用域内，可以确保只有授权的函数能够访问和修改这些数据，提高了代码的安全性。

第三，作用域规则优化了内存管理效率。局部变量在函数执行结束时自动释放，避免了内存泄漏问题。在处理大规模的生态监测数据时，这种自动内存管理机制尤为重要，可以防止因变量积累导致的内存耗尽问题。例如，在循环处理多个年份的监测数据时，每次迭代的临时变量都会在迭代结束后自动清理，确保内存使用的高效性。

从软件工程角度看，作用域概念体现了信息隐藏原则，是构建模块化、健壮分析系统的关键。通过将内部实现细节隐藏在局部作用域中，只暴露必要的接口，可以降低模块间的耦合度，提高代码的可维护性和可扩展性。在团队协作的生态学研究项目中，明确的作用域规则可以防止意外的变量修改，确

保不同开发者编写的代码能够安全地集成在一起。特别是在 AI 协作环境中，清晰的作用域设计有助于 LLM 生成更结构化的代码，避免全局变量污染和意外的副作用，从而提高生成代码的质量和可靠性。

### 1.3.1.10 错误与异常处理

```
# 基本的错误处理
safe_division <- function(numerator, denominator) {
  if (denominator == 0) {
    stop("分母不能为零")
  }
  return(numerator / denominator)
}

# 使用 tryCatch 进行异常处理
analyze_with_safety <- function(data_file) {
  result <- tryCatch(
    {
      # 尝试执行可能出错的操作
      data <- read.csv(data_file)
      diversity <- calculate_diversity(data$species)
      return(diversity)
    },
    error = function(e) {
      # 错误处理
      cat("分析失败:", e$message, "\n")
      return(NA)
    },
    warning = function(w) {
      # 警告处理
      cat("警告:", w$message, "\n")
      # 使用示例数据继续执行
      sample_data <- c("Oak", "Pine", "Maple")
      return(calculate_diversity(sample_data))
    }
  )
  return(result)
}

# 使用示例
try_result <- analyze_with_safety("missing_file.csv")

## 警告: cannot open file 'missing_file.csv': No such file or directory
```

错误与异常处理是构建健壮分析系统的关键机制，它确保程序在遇到意外情况时能够优雅地处理而不是崩溃。在生态学数据分析中，异常处理尤为重要，因为野外数据往往存在各种质量问题——文件缺失、格式错误、数据异常等。生态学研究的数据来源多样，包括野外调查记录、传感器监测、遥感影像等，这些数据在收集、传输和处理过程中容易出现各种问题。例如，野外调查可能因天气原因中断导致数据不完整，传感器可能因故障产生异常值，不同数据源可能使用不同的格式标准。

通过合理的错误处理，可以显著提高程序的稳定性。在复杂的生态数据分析流程中，一个环节的错误不应该导致整个分析流程的崩溃。例如，当处理多个样地的调查数据时，如果某个样地文件损坏或格式错误，异常处理机制可以捕获这个错误，记录问题并继续处理其他样地，而不是让整个批处理作业失败。这种容错能力对于长期生态监测项目尤为重要，因为数据收集往往跨越数年甚至数十年，期间难免会出现各种技术问题。

异常处理还能提供友好的用户体验。相比于直接显示晦涩的技术错误信息，精心设计的异常处理可

以给出清晰、有指导意义的提示。例如，当数据文件缺失时，可以提示用户检查文件路径或提供替代数据源；当数据格式错误时，可以指出具体的问题所在并建议修正方法。这种用户友好的错误处理不仅提高了工具的易用性，也降低了非技术用户的使用门槛。

在自动化流程中，异常处理是确保连续运行的关键。生态学研究经常需要处理大规模数据集，如多年的气候监测数据或大范围的遥感影像。在这些场景下，手动干预每个错误是不现实的。通过异常处理机制，程序可以自动跳过问题数据、记录错误日志、尝试替代方案，确保分析流程能够持续运行。例如，在批量计算物种多样性指数时，如果某个样地的数据质量不合格，程序可以自动标记该样地并继续处理其他样地。

在 AI 生成代码的背景下，添加适当的错误处理是确保代码质量的重要环节。LLM 生成的代码往往侧重于功能实现，可能忽略边界情况和异常处理。作为代码审查者，需要特别关注错误处理机制的完整性，确保生成的代码能够应对各种意外情况。同时，在向 LLM 描述需求时，明确要求包含完善的错误处理逻辑，可以显著提高生成代码的健壮性和实用性。

### 1.3.1.11 模块化与包管理

```
# 模块化代码组织
# data_processing.R - 数据处理模块
clean_data <- function(raw_data) {
  # 数据清洗逻辑
  return(raw_data)
}
normalize_data <- function(data) {
  # 数据标准化逻辑
  return(data)
}

# analysis.R - 分析模块
calculate_diversity <- function(species) {
  # 多样性计算
  if (length(species) == 0) {
    return(0)
  }
  species_counts <- table(species)
  proportions <- species_counts / sum(species_counts)
  shannon <- -sum(proportions * log(proportions))
  return(shannon)
}
perform_stat_test <- function(data) {
  # 统计检验
  return(0.05)
}

# visualization.R - 可视化模块
create_plots <- function(results) {
  # 图表生成
  return(TRUE)
}

# 主程序 - 协调各个模块
# source("data_processing.R") # 在实际项目中加载模块文件
# source("analysis.R")
# source("visualization.R")

# 使用包管理
library(dplyr) # 数据处理
```

```
library(ggplot2) # 数据可视化  
library(vegan) # 生态学分析
```

模块化与包管理是构建可维护、可扩展分析系统的核心实践。模块化将复杂的分析流程分解为职责单一、接口清晰的代码单元，这种分解思维在生态学数据分析中具有深远的意义。从技术层面看，模块化显著提高了代码的可读性、可测试性和可维护性。一个典型的生态数据分析项目可能包含数据收集、清洗、统计分析、可视化等多个环节，将这些环节模块化后，每个模块都可以独立开发、测试和优化。例如，数据清洗模块可以专注于处理缺失值和异常值，统计分析模块可以专注于算法实现，可视化模块可以专注于图表设计。这种职责分离使得代码结构更加清晰，便于理解和维护。

包管理则代表了现代编程的协作智慧，它充分利用社区资源，避免重复造轮子。在生态学领域，R 语言的包生态系统尤为丰富，提供了大量专业工具。vegan 包专门用于生态学多样性分析，spatstat 包提供了空间点模式分析的完整解决方案，sp 包处理空间数据，lme4 包实现混合效应模型等。这些经过社区验证的包不仅提供了可靠的功能实现，还包含了最佳实践和标准方法。

特别值得一提的是 spatstat 包，它本身就是模块化设计的典范。spatstat 将复杂的空间统计分析功能分解为多个子包：spatstat.core 处理核心的点模式分析功能，spatstat.geom 提供几何操作，spatstat.model 实现统计模型，spatstat.explore 支持探索性分析等。这种精细的模块化设计让用户可以根据具体需求选择性地加载所需功能，避免不必要的内存开销，同时也便于功能的独立开发和维护。

使用这些专业包，研究者可以快速构建复杂的分析流程，而不需要从零开始实现基础功能。例如，计算物种多样性指数时，直接使用 vegan 包的 `diversity()` 函数，既保证了计算准确性，又节省了开发时间。在进行空间点模式分析时，使用 spatstat 包可以轻松实现 Ripley's K 函数、对相关函数等复杂的空间统计方法。

在团队协作的生态学研究项目中，模块化架构特别重要。不同研究者可以负责不同模块的开发，如生态学家专注于分析逻辑的实现，程序员专注于技术架构的优化。清晰的模块接口确保了各个部分能够无缝集成，避免了因代码耦合度过高导致的协作困难。同时，模块化支持代码的渐进式改进——可以单独优化某个模块而不影响其他部分，这种灵活性对于长期的研究项目尤为重要。

包管理还促进了分析方法的标准化和可复现性。当整个研究领域都使用相同的分析包时，不同研究的结果具有更好的可比性。例如，如果所有森林生态学研究都使用 vegan 包计算多样性指数，那么不同研究的结果就可以进行有意义的比较和整合。这种标准化对于生态学知识的积累和科学共识的形成至关重要。

在 AI 时代，模块化思维变得更加重要。当向 LLM 描述分析需求时，明确的模块化架构能够帮助 AI 生成更结构化的代码。LLM 可以根据模块化的需求描述，分别生成数据读取、处理、分析、可视化等各个模块的代码，而不是生成一个冗长复杂的单一脚本。这种模块化的代码不仅便于人类理解，也便于后续的调试、优化和扩展。更重要的是，模块化思维有助于建立清晰的测试框架——每个模块都可以独立测试，确保其功能的正确性，从而提高整个分析流程的可靠性。

### 1.3.1.12 面向对象基础

```
# 简单的面向对象示例 - 使用 S3 系统
# 定义物种类
species <- function(name, abundance, habitat) {
  structure(list(
    name = name,
    abundance = abundance,
    habitat = habitat
  ), class = "species")
}

# 定义方法
print.species <- function(x) {
  cat(" 物种:", x$name, "\n")
  cat(" 多度:", x$abundance, "\n")
  cat(" 生境:", x$habitat, "\n")
}

# 使用示例
oak <- species("Quercus", 150, "deciduous_forest")
print(oak)
```

```
## 物种: Quercus
## 多度: 150
## 生境: deciduous_forest

# 更现代的 R6 系统示例
library(R6)

ForestPlot <- R6Class("ForestPlot",
  public = list(
    plot_id = NULL,
    species_list = NULL,
    initialize = function(plot_id, species_list) {
      self$plot_id <- plot_id
      self$species_list <- species_list
    },
    calculate_diversity = function() {
      table(self$species_list) %>% diversity()
    },
    print_info = function() {
      cat(" 样地", self$plot_id, " 有",
          length(unique(self$species_list)), " 个物种\n")
    }
  )
)

# 使用示例
plot1 <- ForestPlot$new(1, c("Oak", "Pine", "Oak"))
plot1$print_info()

## 样地 1 有 2 个物种
diversity <- plot1$calculate_diversity()
```

面向对象编程 (OOP) 提供了一种更接近现实世界思维方式的编程范式，特别适合生态学这种研究复杂自然系统的学科。OOP 的核心优势在于其三大支柱：封装性、继承性和多态性，这些特性在生态学数据分析中具有独特的应用价值。

首先，封装性允许将数据和行为捆绑在一起，形成自包含的对象。在生态学研究中，这种封装思维非常自然——一个物种对象可以包含物种名称、生态特征、分布范围等属性，以及生长模型、竞争关系等方法。例如，可以创建一个 `Species` 类，包含 `name`、`habitat`、`growth_rate` 等属性，以及

`calculate_biomass()`、`predict_distribution()` 等方法。这种封装不仅使代码更加直观，还提高了数据的安全性，防止外部代码意外修改内部状态。

继承性通过类层次关系实现代码复用和扩展，这在生态学分类系统中表现得尤为明显。可以建立从 `Organism` 到 `Plant`、`Animal`，再到具体物种如 `Quercus`（栎属）的继承层次。每个层次都可以继承父类的通用属性和方法，同时添加特有的功能。例如，所有植物类都可以共享光合作用相关的计算方法，而木本植物可以在此基础上添加年轮分析等特有功能。这种继承结构大大减少了代码重复，提高了开发效率。

多态性允许同一操作在不同对象上产生不同行为，这为处理生态系统的复杂性提供了强大工具。例如，一个 `calculate_productivity()` 方法可以在不同的生态系统组件（如森林、草地、湿地）上产生不同的计算结果，但对外提供统一的接口。这种多态性使得代码更加灵活，能够适应生态系统中各种组件的差异性。

在生态学数据分析中，OOP 思维有助于建立更直观的模型。将现实世界的生态实体（如样地、物种、种群、群落）直接映射为程序中的对象，使得分析逻辑更加贴近研究者的思维模式。例如，可以创建 `ForestPlot` 类来表示森林样地，包含样地面积、物种组成、环境因子等属性，以及多样性计算、生物量估算等方法。这种对象化的建模方式不仅提高了代码的可读性，也使得模型更容易与生态学理论对接。

OOP 还显著提高了代码的可维护性。通过清晰的类接口隔离实现细节，当需要修改某个功能时，只需关注相关类的内部实现，而不影响其他部分的代码。例如，如果需要改进物种分布预测算法，只需修改 `Species` 类的相关方法，而不需要改动使用这些物种对象的其他代码。这种模块化的维护方式大大降低了代码修改的风险和成本。

在支持复杂系统模拟方面，OOP 表现出色。生态系统动态模型通常涉及多个相互作用的组件，如种群动态、资源竞争、环境变化等。使用 OOP 可以将这些组件建模为独立的对象，通过对对象间的消息传递来模拟生态过程。例如，可以构建一个包含 `Population`、`Resource`、`Environment` 等类的生态系统模型，通过对对象间的交互来模拟长期的生态演替过程。

虽然 R 语言传统上以函数式编程为主，但现代 R 开发已经广泛采用 OOP 概念。`R6` 包提供了完整的面向对象编程支持，许多重要的生态学包（如 `spatstat`、`lme4` 等）都采用了面向对象的设计。理解 OOP 概念不仅有助于更好地使用这些现代 R 包，还为与其他编程语言（如 Python、C++）的协作奠定了基础。在数据科学和生态建模日益跨学科的今天，这种多范式编程能力变得愈发重要。

在 AI 协作时代，OOP 思维同样具有重要价值。当向 LLM 描述复杂的生态分析需求时，使用面向对象的术语（如“创建一个 `Species` 类，包含以下属性和方法”）能够帮助 AI 生成更结构化、更易维护的代码。OOP 的抽象层次与人类对生态系统的认知层次更加匹配，这使得生成的代码更容易被研究者理解和验证。

### 1.3.1.13 内存管理基础

```

# 监控内存使用
memory_usage <- function() {
  current_objects <- ls(envir = .GlobalEnv)
  memory_size <- format(object.size(x = current_objects), units = "MB")
  cat("当前内存使用:", memory_size, "\n")
}

# 大数据处理策略
# 策略 1: 分批处理
process_large_data <- function(data_file, chunk_size = 10000) {
  con <- file(data_file, "r")
  results <- list()

  while (TRUE) {
    chunk <- readLines(con, n = chunk_size)
    if (length(chunk) == 0) break

    # 处理当前块 - 这里需要实现具体的处理逻辑
    processed_chunk <- chunk # 占位符, 实际应用中需要替换为具体处理逻辑
    results <- c(results, list(processed_chunk))

    # 清理内存
    gc()
  }

  close(con)
  return(do.call(rbind, results))
}

# 策略 2: 使用高效数据结构
# 避免不必要的复制
large_vector <- 1:1e7 # 1000 万个元素
# 不好的做法: 创建多个副本
copy1 <- large_vector
copy2 <- large_vector

# 好的做法: 使用引用或原地修改
large_vector[1] <- 100 # 原地修改

```

内存管理是处理大规模生态数据集时必须关注的关键问题。虽然 R 具有自动垃圾回收机制，但不合理的内存使用仍然会导致程序崩溃或性能下降。理解内存管理具有多重重要意义：首先，合理的内存使用可以显著优化程序性能。在生态数据分析中，避免不必要的数据复制和内存分配是提高效率的关键。例如，在处理大型物种分布矩阵时，使用原地修改而不是创建副本可以节省大量内存和时间。R 的向量化操作虽然高效，但如果注意内存使用，也可能导致意外的内存开销。

其次，内存管理能力决定了处理大数据集的能力。随着生态学研究规模的扩大，遥感数据、基因组数据、长期监测数据等大规模数据集的应用日益广泛。这些数据集往往超过单个计算机的内存容量。通过分批处理、流式处理、内存映射等技术，可以突破物理内存的限制，处理比可用内存大得多的数据集。例如，在处理高分辨率遥感影像时，可以分块读取和处理，避免一次性加载整个文件到内存。

第三，预防内存泄漏是确保程序稳定运行的关键。在长时间运行的生态模拟或批处理作业中，即使很小的内存泄漏也会逐渐累积，最终导致程序崩溃。理解 R 的垃圾回收机制，及时释放不再使用的对象，特别是大型数据对象，对于长期稳定性至关重要。例如，在循环处理多个年份的监测数据时，确保每次迭代后清理临时变量，防止内存占用持续增长。

在 AI 协作环境中，内存管理意识同样重要。LLM 生成的代码可能没有充分考虑内存使用效率，特别是处理大规模数据时。作为代码审查者，需要特别关注内存相关的优化，如避免不必要的数据复制、使用高效的数据结构、合理设置处理批次大小等。同时，在向 LLM 描述需求时，明确内存约束条件，可以引导 AI 生成更高效的代码解决方案。

### 1.3.1.14 测试基础

```
# 单元测试示例
test_diversity_calculation <- function() {
  # 测试用例 1: 单一物种
  test1 <- calculate_diversity(rep("Oak", 10))
  stopifnot(abs(test1 - 0) < 1e-10) # 单一物种多样性应为 0

  # 测试用例 2: 两个物种各占一半
  test2 <- calculate_diversity(rep(c("Oak", "Pine"), each = 5))
  expected <- log(2) # 两个物种各占一半的理论值
  stopifnot(abs(test2 - expected) < 1e-10)

  cat(" 所有测试通过!\n")
}

# 使用 testthat 包进行更专业的测试
library(testthat)

test_that(" 多样性计算正确", {
  # 测试边界情况
  expect_equal(calculate_diversity(character(0)), 0) # 空向量
  expect_equal(calculate_diversity("Oak"), 0) # 单一物种

  # 测试已知结果
  species <- c("A", "B", "C")
  expect_true(calculate_diversity(species) > 0)
})

## Test passed

# 数据验证函数
validate_forest_data <- function(data) {
  errors <- c()

  if (any(data$dbh <= 0)) {
    errors <- c(errors, " 存在非正胸径值")
  }

  if (any(is.na(data$species))) {
    errors <- c(errors, " 存在缺失的物种名称")
  }

  if (length(errors) > 0) {
    stop(paste(errors, collapse = "; "))
  }

  return(TRUE)
}
```

测试是确保代码质量和分析结果可靠性的关键实践。在生态学研究中，错误的分析代码可能导致严重的科学结论偏差，因此测试尤为重要。生态学数据分析往往涉及复杂的统计模型和算法，任何细微的编程错误都可能放大为显著的科学结论差异。例如，一个错误的多样性指数计算公式可能导致对生态系统健康状况的错误评估，进而影响保护决策的制定。

完善的测试体系具有多重价值。首先，测试验证功能正确性，确保代码在各种情况下都能产生预期

结果。这包括正常情况测试、边界情况测试和异常情况测试。在生态学数据分析中，这意味着不仅要测试常规的数据输入，还要测试极端值、缺失值、异常数据等特殊情况。例如，测试多样性计算函数时，需要验证它对单一物种群落、均匀分布群落、以及包含稀有物种的群落都能正确计算。

其次，测试防止回归错误，在修改代码时确保原有功能不受影响。生态学分析代码往往需要长期维护和迭代改进，随着研究深入或新方法的出现，代码需要不断更新。如果没有完善的测试套件，修改一个功能可能会意外破坏其他相关功能。例如，在优化生物量估算算法时，测试可以确保新的实现不会影响已有的多样性分析功能。

第三，测试提高代码可信度，通过测试的代码更值得信赖。在科学的研究中，可复现性是基本原则。完善的测试不仅证明了代码在当前条件下的正确性，也为其他研究者验证和复现结果提供了基础。当研究论文附有经过充分测试的分析代码时，其科学结论的可信度会显著提高。

第四，测试支持重构优化，有了测试保障，可以放心地改进代码结构。随着分析需求的复杂化，代码可能需要重构以提高性能、可读性或可维护性。测试套件作为安全网，确保重构过程中不会引入新的错误。例如，可以将一个复杂的分析函数拆分为多个小函数，通过测试验证拆分后的功能完整性。

在 AI 生成代码的背景下，测试能力变得更加重要。LLM 生成的代码虽然功能上可能正确，但往往缺乏对边界情况的充分考虑。作为代码使用者，需要建立系统的测试策略来验证 AI 输出的代码：验证功能正确性——确保代码正确实现了分析需求；测试边界情况——检查代码对异常输入、极端值的处理能力；性能测试——评估代码在处理大规模数据时的效率；兼容性测试——确保代码与现有分析框架的集成性。

更重要的是，测试思维应该贯穿整个 AI 协作过程。在向 LLM 描述需求时，可以同时要求生成相应的测试用例；在审查 LLM 输出时，测试是验证代码质量的重要手段；在迭代优化过程中，测试确保每次改进都不会破坏已有功能。这种测试驱动的 AI 协作模式，可以显著提高生成代码的可靠性和实用性。

### 1.3.1.15 代码风格与规范

```
# 良好的代码风格示例

# 变量命名 - 使用有意义的名称
tree_diameter <- 25.3 # 好的命名
td <- 25.3 # 不好的命名

# 函数命名 - 使用动词短语
calculate_tree_volume <- function(dbh, height) {
  # 函数体
}

get_tree_volume <- function(dbh, height) { # 也可以接受
  # 函数体
}

# 代码格式 - 一致的缩进和空格
if (dbh > 30) {
  tree_size <- "large"
} else if (dbh > 10) {
```

```

} tree_size <- "medium"
} else {
  tree_size <- "small"
}

# 注释规范
# 计算 Shannon-Wiener 多样性指数
# 参数: species_vector - 物种名称向量
# 返回: 多样性指数值
calculate_shannon_diversity <- function(species_vector) {
  species_counts <- table(species_vector) # 统计每个物种的频数
  proportions <- species_counts / sum(species_counts) # 计算比例
  -sum(proportions * log(proportions)) # 计算 Shannon 指数
}

# 使用 lintr 检查代码风格
# install.packages("lintr")
# lintr::lint("your_script.R")

```

代码风格与规范是编程中的“礼仪”，它虽然不影响程序功能，但直接影响代码的可读性、可维护性和协作效率。一致的代码风格具有多重重要意义：首先，良好的代码风格显著提高可读性，让其他研究者（包括未来的自己）能够快速理解代码逻辑。在生态学研究中，分析代码往往需要被同行评审、复现或扩展，清晰的代码结构就像一篇组织良好的论文，便于他人理解和验证。例如，使用有意义的变量名（如 `species_richness` 而不是 `s_rich`）、一致的缩进和空格，都能大大降低理解成本。

其次，规范的代码风格有助于减少错误。清晰的格式使潜在的逻辑问题更容易被发现，比如不匹配的括号、错误的缩进层次等。在复杂的生态数据分析中，一个微小的格式错误可能隐藏着严重的逻辑问题。使用 `lintr` 等工具自动检查代码风格，可以在早期发现这些问题，避免它们演变为难以调试的 bug。

第三，统一的代码规范支持团队协作。在多人参与的生态研究项目中，不同的编码风格会导致理解困难和集成冲突。制定并遵守统一的编码规范，就像使用共同的语言交流，确保团队成员能够顺畅协作。例如，约定使用蛇形命名法、特定的注释格式、一致的文件组织结构等，都可以提高协作效率。

在 AI 时代，代码规范的重要性进一步提升。LLM 生成的代码质量很大程度上取决于输入提示的规范性。当向 AI 描述需求时，使用规范的术语和结构化的描述，有助于生成更符合标准的代码。同时，规范的代码也更容易被 AI 理解和改进——当需要优化或扩展 AI 生成的代码时，规范的代码结构降低了理解难度。此外，在代码审查环节，规范的代码使人类审查者能够更专注于逻辑和功能问题，而不是纠结于格式不一致。这种人与 AI 的高效协作，正是现代生态学研究所需的能力。

### 1.3.2 算法复杂度

算法是计算机科学的核心概念，它代表解决特定问题的明确、有限的步骤序列。在生态学数据分析中，算法思维尤为重要——无论是计算物种多样性指数、拟合生态位模型，还是分析时间序列数据，本质上都是在执行特定的算法。一个优秀的算法应当具备正确性（能够准确解决问题）、效率性（在合理时间内完成计算）、可读性（便于理解和维护）和鲁棒性（能够处理各种边界情况）等特征。

算法复杂度分析正是评估算法效率性的核心工具。它帮助我们理解算法性能如何随数据规模的变化而变化，这种理解对于生态学研究至关重要。例如，当处理小样本的野外调查数据时，简单的双重循环

可能足够高效；但当分析全国范围的遥感数据时，只有具备良好复杂度特征的算法才能胜任。复杂度分析不仅关注时间效率（时间复杂度），也关注空间效率（空间复杂度），这两者在处理大规模生态数据集时都极为重要。

掌握算法复杂度分析，意味着能够从本质上理解不同统计方法的计算代价，为数据驱动的生态学研究提供坚实的技术基础。这种能力使研究者能够在方法选择、实验设计和结果解释中做出更加明智的决策，确保科学的研究既高效又可靠。

### 1.3.2.1 为什么需要复杂度分析？

当解决一个问题时，通常有多种算法可供选择。我们如何评判哪个算法更“好”？这个看似简单的问题背后涉及深刻的计算科学原理。在生态学数据分析中，选择合适的算法不仅影响计算效率，更关系到研究结果的可靠性和可复现性。

**方法 1：实际运行时间**是一种直观但存在严重局限性的评估方式。通过在特定计算机上运行不同算法并比较执行时间，这种方法看似客观，实则受到多重外部因素的干扰。硬件配置的差异（CPU 性能、内存容量、硬盘速度）、编程语言的选择（解释型语言如 R/Python 与编译型语言如 C++ 的性能差异）、编译器优化程度、操作系统调度策略、甚至运行时的系统负载都会显著影响测试结果。更重要的是，这种测试结果具有高度的情境依赖性——在某台机器上表现优异的算法，在另一台配置不同的机器上可能表现平平。对于生态学研究而言，这种不确定性是难以接受的，因为科学分析需要可预测和可复现的性能表现。

**方法 2：复杂度分析**则提供了一种更加科学和根本的评估框架。这种方法不依赖于具体的运行环境，而是从算法本身的逻辑结构出发，通过数学建模来估算其资源消耗随数据规模增长的变化趋势。复杂度分析的核心优势在于其理论性和普适性——它关注的是算法内在的效率特征，而非外在的执行环境。通过大 O 表示法等数学工具，我们可以量化分析算法的时间复杂度（执行时间增长趋势）和空间复杂度（内存占用增长趋势）。这种分析方法使得我们能够在算法设计阶段就预判其性能特征，为不同规模的数据集选择最合适的解决方案。

对于生态学数据分析师而言，掌握复杂度分析具有双重意义。从技术层面看，它帮助我们避免在大规模数据处理中陷入性能陷阱——一个在小型数据集上运行良好的  $O(n^2)$  算法，在处理百万级生态监测记录时可能变得完全不可用。从科学层面看，复杂度分析确保了分析方法的可扩展性和可复现性，这是现代生态学研究的基本要求。通过理解算法的本质效率特征，我们能够构建既高效又可靠的生态数据分析流程，为科学研究提供坚实的技术支撑。

### 1.3.2.2 时间复杂度和空间复杂度的定义

#### 1. 时间复杂度

- **定义：**全称是“渐进时间复杂度”，它表示算法的执行时间随数据规模增长的增长趋势。
- **理解：**它描述的并不是具体的执行时间（比如多少秒），而是当输入数据量  $n$  变得非常大时，

执行时间的一个”量级”。比如，是线性增长？指数增长？还是对数增长？

## 2. 空间复杂度

- 定义：全称是”渐进空间复杂度”，它表示算法的存储空间随数据规模增长的增长趋势。
- 理解：它评估的是算法运行过程中临时占用的内存空间大小。同样，关注的是增长趋势，而不是具体的字节数。

### 1.3.2.3 大 O 表示法

我们使用 **大 O 表示法** 来描述这种复杂度。它表示的是最坏情况下的复杂度上界，即”运行时间/占用空间最多会增长多快”。这种表示法的数学本质是描述函数增长率的渐近行为，重点关注当输入规模  $n$  趋向于无穷大时的主导趋势。大 O 表示法之所以选择最坏情况分析，是因为在生态学研究中，我们往往需要确保算法在最不利的条件下仍然能够完成计算任务，这对于长期监测和预测分析尤为重要。

**核心思想：**抓住主要矛盾体现了复杂度分析的精髓。在生态学数据分析中，我们面对的计算问题往往包含多个组成部分，但真正决定算法性能的是其中增长最快的部分。这种抓大放小的思维方式与生态学研究中的主导因子分析有着异曲同工之妙——正如在生态系统分析中我们关注关键物种和主导环境因子，在算法分析中我们关注决定性能的主导项。

在具体计算复杂度时，我们遵循几个关键原则：  
 \* **只关注循环次数最多的那部分代码**（最高阶项），因为当数据规模足够大时，低阶项的影响可以忽略不计。  
 \* **忽略常数项**。例如， $O(2n)$  和  $O(3n)$  都记为  $O(n)$ ，因为常数因子在不同硬件和实现中的差异很大，而大 O 表示法关注的是算法本身的本质特征。  
 \* **忽略低阶项**。例如， $O(n^2 + n)$  记为  $O(n^2)$ ， $O(n + \log n)$  记为  $O(n)$ ，因为随着  $n$  的增大，高阶项的增长速度会远远超过低阶项。

这些简化原则使得复杂度分析既实用又具有理论深度，为算法选择和优化提供了清晰的指导框架。

### 1.3.2.4 常见复杂度等级与计算示例

我们从低到高介绍常见的复杂度，这是面试和实际工作中最常被问到的。

#### 1.3.2.4.1 $O(1)$ - 常数阶

- **描述：**算法的执行时间/空间不随输入数据规模  $n$  的变化而变化。

- **R 示例：**

```
# 常数阶算法示例
constant_time_algorithm <- function(arr) {
  return(arr[1]) # 无论数组多大，只取第一个元素
}

# 测试
test_vector <- 1:1000
result <- constant_time_algorithm(test_vector)
print(result) # 输出: 1

## [1] 1
```

- 计算：该操作只执行一次，与 `arr` 的长度  $n$  无关。

#### 1.3.2.4.2 $O(\log n)$ - 对数阶

- 描述：增长非常缓慢，是仅次于常数阶的高效复杂度。通常出现在“分而治之”的算法中。

- R 示例：二分查找

```
# 二分查找算法
binary_search <- function(arr, target) {
  low <- 1
  high <- length(arr)

  while (low <= high) {
    mid <- floor((low + high) / 2) # 每次都将搜索范围减半

    if (arr[mid] == target) {
      return(mid)
    } else if (arr[mid] < target) {
      low <- mid + 1
    } else {
      high <- mid - 1
    }
  }

  return(-1) # 未找到
}

# 测试
sorted_vector <- c(1, 3, 5, 7, 9, 11, 13, 15)
position <- binary_search(sorted_vector, 7)
print(position) # 输出: 4
```

## [1] 4

- 计算：每次循环都将数据规模  $n$  减半。最坏情况下，需要减半多少次直到范围为空？即求解  $2^k = n$ ，得到  $k = \log_2 n$ 。所以复杂度是  $O(\log n)$ 。

#### 1.3.2.4.3 $O(n)$ - 线性阶

- 描述：性能与数据规模  $n$  成正比。

- R 示例：遍历向量

```
# 线性阶算法示例
linear_time_algorithm <- function(arr) {
  total <- 0
  for (num in arr) { # 这个循环会执行 n 次
    total <- total + num
  }
  return(total)
}

# 测试
test_vector <- 1:100
result <- linear_time_algorithm(test_vector)
print(result) # 输出: 5050
```

## [1] 5050

- 计算：循环体内的操作是  $O(1)$ ，循环执行了  $n$  次，所以总复杂度是  $O(n)$ 。

### 1.3.2.4.4 $O(n \log n)$ - 线性对数阶

- **描述:** 性能较好，是许多高效排序算法的复杂度。

- **R 示例: 快速排序**

```
# 快速排序算法
quick_sort <- function(arr) {
  if (length(arr) <= 1) {
    return(arr)
  }

  pivot <- arr[1]
  left <- arr[arr < pivot]
  middle <- arr[arr == pivot]
  right <- arr[arr > pivot]

  return(c(quick_sort(left), middle, quick_sort(right)))
}

# 测试
unsorted_vector <- c(5, 2, 8, 1, 9, 3)
sorted_vector <- quick_sort(unsorted_vector)
print(sorted_vector) # 输出: 1 2 3 5 8 9

## [1] 1 2 3 5 8 9
```

- 计算: 快速排序将数组层层对半分开 (类似二叉树)，深度是  $O(\log n)$ 。在每一层，都需要进行  $O(n)$  级别的分区操作。因此总复杂度是  $O(n \log n)$ 。

### 1.3.2.4.5 $O(n^2)$ - 平方阶

- **描述:** 性能较差，通常出现在嵌套循环中。

- **R 示例: 冒泡排序**

```
# 平方阶算法示例
quadratic_time_algorithm <- function(arr) {
  n <- length(arr)
  for (i in 1:n) { # 外层循环 n 次
    for (j in 1:n) { # 内层循环 n 次
      # O(1) 的操作
      cat(arr[i], arr[j], "\n")
    }
  }
}

# 测试 (使用小数据集避免过多输出)
small_vector <- c(1, 2, 3)
quadratic_time_algorithm(small_vector)

## 1 1
## 1 2
## 1 3
## 2 1
## 2 2
## 2 3
## 3 1
## 3 2
## 3 3
```

- 计算: 内层循环执行  $n$  次，外层循环执行  $n$  次，总操作次数是  $n * n = n^2$ ，所以复杂度是  $O(n^2)$ 。

### 1.3.2.4.6 $O(2^n)$ - 指数阶

- 描述：性能极差，通常出现在暴力求解或递归未优化的场景。

- R 示例：斐波那契数列（朴素递归）

```
# 指数阶算法示例 - 斐波那契数列（低效版本）
fibonacci_inefficient <- function(n) {
  if (n <= 1) {
    return(n)
  }
  return(fibonacci_inefficient(n - 1) + fibonacci_inefficient(n - 2)) # 计算量呈指数增长
}

# 测试（注意：n 不能太大，否则会非常慢）
result <- fibonacci_inefficient(10)
print(result) # 输出: 55

## [1] 55
```

- 计算：这会产生一棵深度为 n 的递归树，节点数约为  $2^n$ ，因此复杂度为  $O(2^n)$ 。

动态规划算法作为对比，我们来用另一种时间复杂度  $O(n)$  的算法：

```
fibonacci_efficient <- function(n) {
  if (n <= 1) {
    return(n)
  }

  # 使用动态规划，避免重复计算
  fib <- numeric(n + 1)
  fib[1] <- 0
  fib[2] <- 1

  for (i in 3:(n + 1)) {
    fib[i] <- fib[i - 1] + fib[i - 2]
  }

  return(fib[n + 1])
}

# 测试（可以计算非常大的 n 值）
result <- fibonacci_efficient(100)
print(result) # 输出: 354224848179261915075

## [1] 3.542248e+20
```

- 对数阶算法示例 - 斐波那契数列（矩阵快速幂版本）

```
# 对数阶算法示例 - 斐波那契数列（矩阵快速幂版本，支持大整数）
fibonacci_fastest <- function(n) {
  if (n <= 1) {
    return(n)
  }

  # 矩阵快速幂算法
  matrix_power <- function(matrix, power) {
    result <- matrix(c(1, 0, 0, 1), nrow = 2, ncol = 2) # 单位矩阵
    base <- matrix

    while (power > 0) {
      if (power %% 2 == 1) {
        result <- result %*% base
      }
      base <- base %*% base
      power <- power %/% 2
    }
  }
  return(result)
}
```

```

}

# 斐波那契矩阵
fib_matrix <- matrix(c(1, 1, 1, 0), nrow = 2, ncol = 2)

# 计算矩阵的 (n-1) 次幂
result_matrix <- matrix_power(fib_matrix, n - 1)

return(result_matrix[1, 1])
}

# 测试 (可以计算极大的 n 值)
result <- fibonacci_fastest(1000)
print(result) # 输出

## [1] 4.346656e+208

```

- 动态规划大整数版本 - 使用 gmp 包处理任意精度整数

```

# 安装 gmp 包 (如果未安装)

fibonacci_dp_bigint <- function(n) {
  if (n <= 1) {
    return(as.bigz(n))
  }

  # 使用动态规划, 避免重复计算 (大整数版本)
  fib <- vector("list", n + 1)
  fib[[1]] <- as.bigz(0)
  fib[[2]] <- as.bigz(1)

  for (i in 3:(n + 1)) {
    fib[[i]] <- fib[[i - 1]] + fib[[i - 2]]
  }

  return(fib[[n + 1]])
}

# 测试 (使用较小的 n 值避免输出过长)
library(gmp)
result <- fibonacci_dp_bigint(50)
cat(" 第 50 个斐波那契数: ", as.character(result))

## 第 50 个斐波那契数: 12586269025

```

- 矩阵的大整数版本 - 使用 gmp 包处理任意精度整数

```

# 安装 gmp 包 (如果未安装)

fibonacci_bigint <- function(n) {
  if (n <= 1) {
    return(as.bigz(n))
  }

  # 矩阵快速幂算法 (使用大整数)
  matrix_power <- function(matrix, power) {
    result <- matrix(c(as.bigz(1), as.bigz(0), as.bigz(0), as.bigz(1)),
      nrow = 2, ncol = 2)
  } # 单位矩阵
  base <- matrix

  while (power > 0) {
    if (power %% 2 == 1) {
      result <- matrix_multiply(result, base)
    }
    base <- matrix_multiply(base, base)
    power <- power %/% 2
  }
}

```

```

    return(result)
}

# 矩阵乘法 (支持大整数)
matrix_multiply <- function(a, b) {
  result <- matrix(as.bigz(0), nrow = 2, ncol = 2)
  for (i in 1:2) {
    for (j in 1:2) {
      for (k in 1:2) {
        result[i, j] <- result[i, j] + a[i, k] * b[k, j]
      }
    }
  }
  return(result)
}

# 斐波那契矩阵 (使用大整数)
fib_matrix <- matrix(c(as.bigz(1), as.bigz(1), as.bigz(1), as.bigz(0)),
nrow = 2, ncol = 2
)

# 计算矩阵的 (n-1) 次幂
result_matrix <- matrix_power(fib_matrix, n - 1)
return(result_matrix[1, 1])
}

# 测试 (使用较小的 n 值避免输出过长)
library(gmp)
result <- fibonacci_bigint(100)
cat(" 第 100 个斐波那契数: ", as.character(result))

## 第 100 个斐波那契数: 354224848179261915075

```

```

#### 1.3.2.4.7 $O(n!)$ - 阶乘阶

- **描述:** 性能最差, 几乎不可用。通常出现在求解全排列、旅行商问题等暴力算法中。

- **R 示例:** 生成全排列

```

# 阶乘阶算法示例 - 生成全排列
generate_permutations <- function(elements) {
  if (length(elements) == 1) {
    return(list(elements))
  }

  permutations <- list()
  for (i in seq_along(elements)) {
    first <- elements[i]
    rest <- elements[-i]

    for (p in generate_permutations(rest)) {
      permutations <- c(permutations, list(c(first, p)))
    }
  }

  return(permutations)
}

# 测试 (使用小数据集)
small_set <- c("A", "B", "C")
perms <- generate_permutations(small_set)
print(length(perms)) # 输出: 6 (3! = 6)

## [1] 6

```

- 计算： $n$  个元素的全排列有  $n!$  种可能，因此复杂度为  $O(n!)$ 。

### 1.3.2.5 复杂度曲线图

下面这张图直观地展示了不同复杂度随数据量增长的趋势。Y 轴可以理解为时间或空间消耗。

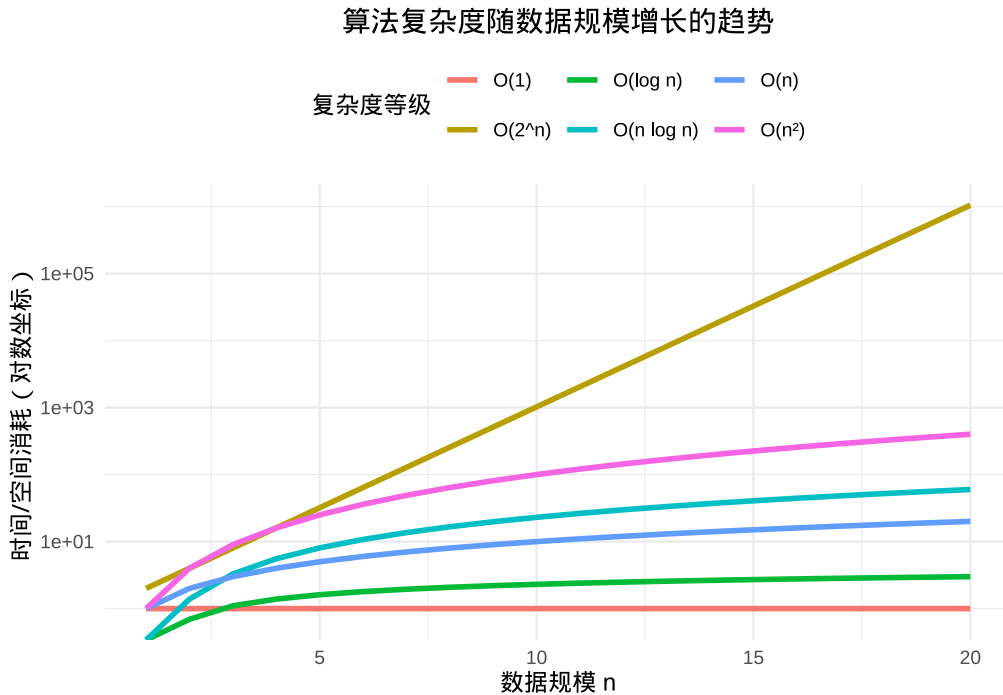


图 1.2 算法复杂度随数据规模增长的趋势图

图1.2 直观地展示了不同复杂度等级随数据规模增长的趋势。结论： $O(1)$  和  $O(\log n)$  是极其高效的， $O(n)$  和  $O(n \log n)$  是优秀的， $O(n^2)$  在  $n$  较小时可以接受，而  $O(2^n)$  和  $O(n!)$  应尽量避免。

### 1.3.2.6 给数据分析师的启示

**数据规模是关键**这一认知在生态学数据分析中具有决定性意义。当处理小规模数据集时，算法选择的差异可能并不明显——一个  $O(n^2)$  的算法在几百条记录上运行可能只需要几毫秒。然而，当数据规模从 1 万条增长到 100 万条时，复杂度差异的威力就会充分显现。一个  $O(n^2)$  的算法（如双重循环进行物种匹配）耗时将增加 1 万倍，从原本的 1 秒延长到近 3 小时；而一个  $O(n \log n)$  的高效排序算法可能只增加不到 20 倍，从 1 秒延长到 20 秒左右。这种指数级的性能差异决定了某些分析方法在大数据场景下的可行性。在生态学研究中，这意味着我们需要根据预期的数据规模来前瞻性地选择分析方法，而不是等到数据积累到一定规模后再被动调整。

**理解 R 语言操作的代价**是生态学数据分析师的核心能力。许多看似简单的 R 操作背后都隐藏着复杂的算法实现。例如，`table()` 函数用于统计物种频数，其时间复杂度通常是  $O(n)$ ，但当处理大规模数据时仍需注意内存使用；`merge()` 函数进行数据框合并，其复杂度取决于合并策略，可能达到  $O(n \log n)$  或更高；`sort()` 函数的性能差异更为明显——R 默认使用快速排序（平均  $O(n \log n)$ ），但在最坏情况下可能退化到  $O(n^2)$ 。理解这些操作的复杂度特征，能够帮助我们在设计分析流程时做出明智的决

策。比如，在处理大型物种分布矩阵时，应该避免在循环内部重复调用 `table()`，而是应该预先计算好统计结果。

**空间换时间**是数据分析中经典的优化策略，在生态学研究中尤为实用。这种策略的核心思想是利用额外的内存存储来避免重复计算，从而显著降低时间复杂度。一个典型的例子是物种多样性分析：如果我们使用双重循环计算所有物种对之间的共存关系，时间复杂度为  $O(n^2)$ ；但如果我们先构建一个哈希表（在 R 中可以使用命名向量或环境对象）存储每个物种的分布信息，然后通过单次遍历完成计算，时间复杂度可以降低到  $O(n)$ 。虽然这会增加  $O(n)$  的空间复杂度，但在现代计算机内存充足的情况下，这种权衡通常是值得的。另一个例子是生态位模型预测：通过预先计算和缓存环境变量的响应曲线，可以避免在预测阶段重复进行复杂的数学运算，从而大幅提升模型运行效率。这种优化思维不仅适用于编程实现，也适用于分析流程设计——通过合理的数据预处理和中间结果存储，我们可以构建既高效又可靠的大规模生态数据分析系统。

**练习：**尝试分析你写过的一些数据处理脚本，找出其中循环和操作，估算其时间复杂度和空间复杂度。这将极大地提升你的代码质量和性能优化能力。

## 1.4 AI 协同编程技能

### 1.4.1 AI 编程模块安装

大语言模型辅助编程（AI-assisted programming）是当前最热门的 AI 技术之一，它通过大规模预训练语言模型（如 GPT-4、Claude、Qwen 等）来协助程序员编写代码。这种技术革命性地改变了编程工作的本质，将程序员从繁琐的语法记忆和重复性编码任务中解放出来，使其能够更专注于算法设计、系统架构和问题解决等高层次思维活动。

然而，大模型训练和调用都需要大量计算资源，这使得 AI 协作编程的可行性在早期受到限制。直到 2025 年初 DeepSeek 等开源模型的出现，普通人 AI 协作编程的可行性才得到极大提升。随后这种 AI 辅助编程工具呈现爆发式增长，从最初的 GitHub Copilot、DeepSeek，到后来的 Claude Code、Codex、Cursor 等，几乎每隔几天就有新的工具问世。这种快速迭代反映了 AI 技术在编程领域的巨大潜力和激烈竞争。

当前 AI 协作编程工具的种类已经非常丰富，涵盖了从代码补全、错误修复、代码重构到完整功能实现的各个层面。但技术的快速演进也意味着任何具体工具的详细介绍都可能很快过时。因此，本章不追求对特定工具的详尽介绍，而是聚焦于通用的 AI 协作编程思维框架和核心技能培养。无论使用哪种具体工具，研究者都需要掌握精确提问、代码审查、迭代优化等基本能力。

作为代表性工具，Qwen Code 是一个基于大模型的 AI 协作编程工具，它借鉴了 Claude Code 的设计理念，支持通过 Qwen Coder 或 Claude Code 等大模型来协助编程工作。Qwen Code 的特点包括命令行工作流设计、OAuth 一键登录、会话管理等功能，为生态学研究者提供了便捷的 AI 编程协作体验。但更重要的是，通过学习和使用这类工具，研究者能够建立起与 AI 有效协作的思维模式，这种能

力将超越具体工具的局限，成为 AI 时代生态学数据分析的核心竞争力。

```
gcshen@laptop: ~/桌面 $ qwen

QWEN

Tips for getting started:
1. Ask questions, edit files, or run commands.
2. Be specific for the best results.
3. Create QWEN.md files to customize your interactions with Qwen Code.
4. /help for more information.

> Type your message or @path/to/file

~/桌面          no sandbox (see /docs)          coder-model (100% context left)
```

Qwen Code (阿里通义：**qwen** 命令的 CLI)

明确对标 Claude Code 的命令行工作流工具，对 **Qwen3-Coder** 优化；支持 **OAuth** 一键登录（国际/国内均有渠道），也支持 OpenAI-兼容 API；提供 **/compress**、**/stats** 等会话管理命令。([GitHub][8])

## 安装

```
# 需 Node.js 20+
npm install -g @qwen-code/qwen-code@latest
qwen --version
# 或 Homebrew (macOS/Linux)
brew install qwen-code
```

([GitHub][8])

## 登录（两种模式）

```
# 方式 1: Qwen OAuth (零配置, 推荐)
qwen      # 会自动弹浏览器登录 qwen.ai 账户并缓存凭证

# 方式 2: OpenAI 兼容 API (适合私有部署/跨地区)
export OPENAI_API_KEY=...
export OPENAI_BASE_URL=...    # 例: DashScope/ModelScope/OpenRouter
export OPENAI_MODEL=qwen3-coder-plus
```

## 上手 & 常用命令

```
cd your-project
qwen
# 交互里可以直接自然语言:
> Explain the codebase structure
> Refactor this function
> Generate unit tests

# 会话管理
/clear  /compress  /stats  /exit
```

## VS Code 中集成

在插件市场吗，搜索 **Qwen Code** 安装即可。

### 1.4.2 精准提问技巧

#### 1.4.2.1 Prompt 工程基本原则

##### 生态学数据分析的 Prompt 示例：

请用R语言帮我分析森林样地数据：

数据描述：

- 数据框包含以下列：`plot_id`（样地编号）、`species`（物种名称）、`dbh`（胸径）、`height`（树高）
- 数据已保存在CSV文件中，路径为"data/forest\_survey.csv"

分析要求：

1. 读取数据并检查数据质量（缺失值、异常值）
2. 计算每个样地的物种丰富度（物种数）
3. 计算每个样地的平均胸径和平均树高
4. 绘制物种丰富度与平均胸径的关系散点图
5. 使用`ggplot2`进行可视化，添加适当的标题和标签

请为关键步骤添加注释，并确保代码具有良好的可读性。

#### 1.4.2.2 上下文提供与约束条件设定

##### 改进的 Prompt 示例：

我正在分析天童森林动态监测样地的数据，需要计算生物多样性指数。

约束条件：

- 数据包含200个固定样地的调查结果
- 每个样地面积为20m×20m
- 只统计DBH 1cm的木本植物
- 需要排除外来物种和栽培物种

具体要求：

1. 计算每个样地的Shannon-Wiener多样性指数
2. 计算每个样地的Simpson多样性指数
3. 分析多样性指数与海拔的相关性
4. 生成专业的研究报告图表

请使用`vegan`包进行多样性计算，确保代码符合生态学研究的标准做法。

### 1.4.3 代码审查能力

#### 1.4.3.1 LLM 输出代码的常见错误类型

```
# LLM 可能生成的有问题的代码示例
# 问题 1：缺乏错误处理
calculate_density <- function(area, count) {
  density <- count / area # 如果 area 为 0 会出错
  return(density)
}

# 改进版本
calculate_density_safe <- function(area, count) {
  if (area <= 0) {
    stop("面积必须大于 0")
  }
}
```

```

density <- count / area
return(density)
}

# 问题 2: 使用过时的函数
# LLM 可能推荐使用旧的函数版本

# 改进: 使用更现代的 tidyverse 方法
library(tidyverse)

```

### 1.4.3.2 功能正确性验证方法

```

# 创建测试用例验证函数正确性
test_diversity_calculation <- function() {
  # 测试用例 1: 单一物种
  single_species <- rep("Oak", 10)
  result1 <- calculate_diversity(single_species)

  # 单一物种的 Shannon 指数应该为 0
  if (abs(result1 - 0) > 1e-10) {
    stop("单一物种测试失败")
  }

  # 测试用例 2: 两个物种各占一半
  two_species <- rep(c("Oak", "Pine"), each = 5)
  result2 <- calculate_diversity(two_species)

  # 两个物种各占一半的 Shannon 指数应该为 log(2)
  expected <- log(2)
  if (abs(result2 - expected) > 1e-10) {
    stop("两个物种测试失败")
  }

  cat("所有测试通过! \n")
}

# 运行测试
test_diversity_calculation()

```

## 所有测试通过!

### 1.4.4 调试与错误处理

#### 1.4.4.1 错误信息解读与定位

```

# 常见的 R 错误信息及解决方法

# 错误 1: 对象未找到
# Error: object 'x' not found
# 解决方法: 检查变量名拼写, 确保变量已赋值

# 错误 2: 函数参数不匹配
# Error in mean(x) : 参数不是数值也不是逻辑值: 回传 NA
# 解决方法: 检查数据类型, 确保输入是数值型

# 错误 3: 下标越界
# Error in x[5] : 下标出界
# 解决方法: 检查向量长度, 确保索引在有效范围内

# 实用的调试技巧
debug_calculation <- function(data) {
  # 使用 browser() 进行交互式调试
  browser()
}

```

```
result <- calculate_diversity(data)
return(result)
}

# 使用 tryCatch 处理错误
safe_calculation <- function(data) {
  result <- tryCatch(
    {
      # 尝试执行可能出错的操作
      calculate_diversity(data)
    },
    error = function(e) {
      # 错误处理
      cat(" 计算失败:", e$message, "\n")
      return(NULL)
    },
    warning = function(w) {
      # 警告处理
      cat(" 警告:", w$message, "\n")
      return(calculate_diversity(data)) # 继续执行
    }
  )
  return(result)
}
```

## 1.5 总结

本章系统性地构建了 AI 时代生态学统计编程的全新教育框架，标志着编程教育从“技能导向”向“思维导向”的根本性转变。在大语言模型成为强大编程助手的今天，编程教育的核心价值已不再体现在语法记忆和 API 细节掌握上，而是转向更高层次的思维能力培养。

本章重点培养了两大核心能力体系：首先是**高阶思维与问题解决能力**，包括问题分解与抽象建模能力、算法与数据结构思维、数据分析流程设计与规划能力。这些能力构成了生态学研究者驾驭 AI 工具的“方向盘”，确保研究者能够站在战略高度设计分析方案，而不仅仅是执行具体的编程任务。其次是**与 LLM 协同工作的能力**，涵盖精确提问与 Prompt 工程、代码审查与批判性验证、迭代与优化等关键技能，这些能力使研究者能够有效指导 AI 完成复杂的数据分析任务。

在技术层面，本章通过模块化的学习路径，系统介绍了通用编程思维基础，包括变量与常量、数据类型、运算符、集合数据类型、分支与循环、函数、作用域、错误处理、模块化、面向对象、内存管理、测试和代码规范等核心概念。这些知识为生态学数据分析提供了坚实的技术基础，确保研究者能够理解计算的基本原理，而不仅仅是记忆特定工具的使用方法。

特别值得强调的是，本章提出的“分析方案设计师 + AI 指令员 + 质量保证官”三位一体的角色定位，精准地捕捉了 AI 时代生态学研究者的核心竞争力。研究者不再需要为琐碎的编程细节所困扰，而是将精力集中在更具价值的分析设计、方法选择和结果解释上。这种角色转变不仅提高了研究效率，更提升了研究的科学性和创新性。

通过本章的学习，学生将建立起现代数据分析的思维框架，能够将复杂的生态学问题转化为清晰可执行的分析流程，并利用 AI 工具高效实现技术方案。这种能力框架具有高度的通用性和适应性，不仅

适用于当前的 R 语言生态，也为未来学习其他编程语言和分析工具奠定了坚实基础。

在后续章节中，我们将基于本章建立的编程思维框架，深入探讨更专业的生态统计方法。但无论技术工具如何发展，本章所强调的分析思维、问题解决能力和 AI 协作素养，都将成为生态学研究者应对技术变革、推动学科发展的核心竞争优势。这种以思维为导向的编程教育，正是培养未来生态学创新人才的关键路径。

## 1.6 综合练习

### 1.6.1 练习 1

请在 AI 的协助下，判断项目 data 目录下的 Tiantong\_Sample.CSV 文件内的所有树木空间位置是否是随机分布？请注意，写完代码和出了结果后，并不代表该习题的结束。你需要在 AI 的协助下，理解其分析思路，每行代码的意思。下堂课会随机请人上来讲解。

# Chapter 2

## 生态系统的随机性与规律

### 2.1 引言

当人工智能的浪潮如春风般拂过科学的研究的每一片田野，生态学专业的学生心中或许会浮现这样的疑问：在 AI 能够驾驭海量数据、揭示复杂模式的今天，我们为何还要深入理解概率与分布这些看似基础的数学概念？难道强大的 AI 不能为我们处理所有的数据分析任务吗？

要回答这个深刻的问题，我们需要洞察 AI 工具与数学理论之间的本质关系。AI 系统如同威力巨大的数据分析引擎，能够驾驭信息海洋并揭示复杂模式，但其输出的本质始终是概率性的。当我们使用 AI 模型预测物种分布、评估生态风险或分析气候变化影响时，模型给出的结果永远伴随着不确定性的阴影。如果不理解这些不确定性背后的概率原理，我们就如同盲人摸象，无法正确解读 AI 的输出，也无法评估模型的可信度。

概率理论如同我们理解 AI”黑箱”的钥匙，帮助我们解读模型输出的深层含义——AI 给出的”预测概率”究竟代表什么，95% 的置信区间应该如何正确理解。同时，概率知识如同生态学家的指南针，指引我们设计有效的采样方案，理解适合训练 AI 模型的数据分布特征，并巧妙避开采样偏差的陷阱。更重要的是，概率理论为模型比较和选择提供了科学依据，帮助我们判断不同 AI 模型之间的性能差异是否具有统计显著性。

生态学研究面对的是自然界中最为复杂的系统之一。与物理实验不同，生态学观察往往无法在完全控制的条件下重复进行。从蚱蜢的午餐选择到树木的生长模式，从种群动态变化到生态系统功能，这些现象都充满了随机性和不确定性。概率与分布理论为我们提供了量化这种不确定性的数学语言，如同在混沌的自然世界中点亮了一盏明灯。

生态学数据具有独特的复杂性特征。空间异质性意味着物种在不同生境中的分布模式存在差异；时间依赖性表明生态过程具有记忆效应；多重尺度特性要求我们理解从个体到生态系统不同层次的概率规律；稀有事件如物种灭绝、极端气候虽然发生概率小，却具有重大生态意义。这些特征使得简单的统计

方法往往失效，需要基于深刻概率理解的复杂模型。

在 AI 时代，仅仅掌握现成的分析工具是不够的。生态学家需要培养批判性思考能力，能够质疑 AI 模型的假设和局限性；需要具备创造性建模能力，针对特定生态问题设计合适的概率模型；需要掌握跨学科整合能力，将概率理论与生态学知识、计算技术有机结合；还需要具备科学传播和沟通能力，向决策者和公众清晰传达研究结果的不确定性。概率与分布理论则为这些能力的培养奠定了基础，教会我们如何思考不确定性、量化随机性、并从噪声中提取有意义的生态信号。

通过本章的学习，你将不仅掌握概率与分布的基本概念，更重要的是培养“概率思维”——用数学语言描述和理解生态世界的能力。这种能力如同生态学家的超级直觉，使你能够设计合理的生态调查方案，正确解读复杂的生态数据，与数据科学家有效合作，并在 AI 时代保持批判性和创造性。

在 AI 辅助研究的时代，最宝贵的不是知道如何使用工具，而是理解工具背后的原理。概率与分布理论就是这样的基本原理，它们连接生态观察与数学分析，为我们在数据海洋中提供导航工具。让我们开始这段探索之旅，从蚱蜢的午餐选择出发，逐步构建理解生态世界不确定性的数学框架。

## 2.2 蚂蚱午餐与概率

### 2.2.1 一只蚱蜢的午餐

想象校园里一只普通的蚱蜢，它站在生命的十字路口，面前是三片风格迥异的草地：茂盛的黑麦草如同营养丰富的盛宴，点缀雏菊的混合草甸宛如充满惊喜的冒险乐园，以三叶草为主的区域则像是一片等待探索的神秘领地。对蚱蜢而言，这些不仅仅是风景，而是它生命中每一次选择的机会，是它“餐桌”上的命运抉择。

这个看似简单的问题背后，隐藏着生态学研究的核心挑战：蚱蜢下一顿午餐会选择在哪一种植物上进食？这个问题如同生态学中的“薛定谔的猫”，在观察之前，答案永远处于不确定的叠加状态。

蚱蜢的选择受到多重因素的微妙影响：黑麦草的营养价值如同理性的召唤，混合草甸的隐蔽性如同安全的诱惑，三叶草的口感则像是味蕾的邀请。天气的变幻、饥饿的程度、捕食者的阴影，这些变量如同命运之手中的骰子，每一次滚动都可能改变最终的结局。

作为生态学研究者，我们的使命是量化这种“选择偏好”，将模糊的生物直觉转化为精确的数学语言。这种偏好本质上就是概率——介于 0 和 1 之间的数字，如同自然界中的魔法数字，描述不确定事件（蚱蜢选择某种植物）发生的可能性。概率为 0 表示绝不可能，如同永远不会发生的奇迹；概率为 1 表示必然发生，如同日升月落的自然规律。现实世界中的概率通常介于这两个极端之间，如同生命本身，充满了复杂性和随机性的美丽。

如何度量和理解蚱蜢的“选择概率”？这不仅是简单的计数问题，而是需要建立数学模型来描述行为模式，如同用数学语言谱写生命的乐章。概率理论为我们提供了三种不同视角来理解这种不确定性：基于理想假设的古典概率如同数学家的完美梦想，基于实际观察的频率概率如同科学家的严谨实验，能

够结合新证据更新认知的贝叶斯概率则如同哲学家不断进化的智慧。每种方法都有其独特的价值和适用场景，共同构成我们理解自然界的数学工具箱，如同三把不同形状的钥匙，共同开启生态世界不确定性的大门。

## 2.2.2 理想的猜测——古典概率

在缺乏观察数据的迷雾中，我们基于“公平原则”进行理想化的猜测。想象蚱蜢活动区域内黑麦草、混合草甸和三叶草的面积相等，如同命运天平上的三个等重砝码，那么选择任何一种植物的可能性应该完全相同。

这就是古典概率（先验概率），其核心是“等可能性”的优雅假设。在这个理想化的数学花园中，三种可能结果如同三朵同样鲜艳的花朵，绽放的可能性完全相同。计算公式为：

$$P(\text{蚱蜢选择黑麦草}) = \frac{\text{有利于该事件的结果数}}{\text{所有可能的结果数}} = \frac{1}{3}$$

这种概率源于逻辑推理的纯粹之美而非实际数据的复杂现实，简洁优美但现实世界往往不如此“公平”。蚱蜢可能对某种植物有特殊偏好，如同每个人心中都有自己偏爱的风景。

### 2.2.2.1 核心思想：等可能性

考虑一个完全公平的掷骰子游戏，骰子质地均匀、形状完美。在掷出之前，掷出“1点”的可能性是多少？直觉告诉我们：六分之一。

支撑这个直觉的是古典概率（先验概率）的思维方式。这是概率论中最古老、最直观的定义，源于对机会游戏的研究。古典概率的历史可追溯到17世纪，法国数学家布莱兹·帕斯卡和皮埃尔·德·费马通过书信往来解决了赌博概率问题，为现代概率论奠定了基础。

古典概率的核心前提是“等可能性”——随机试验的所有可能结果发生的可能性完全相同。这个假设看似简单，却蕴含深刻的数学哲学思想。等可能性建立在对称性原则之上：当我们说骰子六个面“等可能”时，实际上指骰子在几何形状、质量分布等方面具有完美对称性，确保每个面朝上的物理条件完全相同。

在生态学中，等可能性假设意味着暂时忽略所有可能影响生物选择的因素，将系统简化为完全随机过程。这种简化虽不完美，但提供了理论基准，帮助我们理解“如果世界完全随机会发生什么”。

### 2.2.2.2 定义与公式

在满足“等可能性”的试验中，我们称每个单一的可能结果为一个“基本事件”。所有基本事件构成的集合，就是“样本空间”。样本空间的概念是概率论的基础，它定义了所有可能发生的结果。

构建样本空间需要仔细考虑试验的所有可能结果。例如，在蚱蜢选择植物的例子中，样本空间包含三个基本事件：{选择黑麦草，选择混合草甸，选择三叶草}。每个基本事件都是互斥且完备的——互斥

意味着两个事件不可能同时发生，完备意味着涵盖了所有可能性。

古典概率的定义公式简洁而优美：

$$P(A) = \frac{\text{事件 A 包含的基本事件个数}}{\text{样本空间中基本事件的总数}}$$

其中， $P(A)$  表示事件 A 发生的概率；分子表示你关心的事件 A 包含了多少种可能的结果；分母则表示整个试验一共有多少种可能的结果。

这个公式计算出的概率，是一个介于 0 和 1 之间的数。 $P(A) = 0$  表示事件 A 不可能发生； $P(A) = 1$  表示事件 A 必然发生。概率的归一化条件要求所有基本事件的概率之和等于 1。

### 2.2.2.3 概率的三个基本属性

无论采用哪种概率定义（古典、频率或贝叶斯），概率都必须满足三个基本公理，这些公理由俄罗斯数学家安德雷·柯尔莫哥洛夫在 1933 年提出，为现代概率论奠定了坚实的数学基础。

#### 公理 1：非负性

对于任意事件 A，其概率总是非负的：

$$P(A) \geq 0$$

这个公理确保了概率的合理性。在生态学中，这意味着任何生态事件的发生概率都不可能为负值，无论这个事件多么罕见或不可能。

#### 公理 2：规范性

整个样本空间的概率为 1：

$$P(\Omega) = 1$$

其中  $\Omega$  表示样本空间，即所有可能结果的集合。这个公理表明“必然事件”的概率为 1。在蚱蜢的例子中，样本空间包含三种植物选择，因此  $P(\text{选择任意植物}) = 1$ 。

#### 公理 3：可加性

对于任意两个互斥事件 A 和 B（即 A 和 B 不能同时发生）：

$$P(A \cup B) = P(A) + P(B)$$

这个公理可以推广到有限个或可数无限个互斥事件。在生态学中，这意味着如果两个生态事件不可能同时发生（如“蚱蜢同时选择黑麦草和混合草甸”），那么它们中至少有一个发生的概率等于各自概率之和。

这三个公理共同构成了概率论的数学基础，确保了概率计算的逻辑一致性。从这些基本公理出发，我们可以推导出概率的所有其他性质，如：

- $P(A^c) = 1 - P(A)$  (互补事件的概率)
- 如果  $A \subseteq B$ , 则  $P(A) \leq P(B)$  (概率的单调性)
- $P(A \cup B) = P(A) + P(B) - P(A \cap B)$  (一般加法公式)

这些性质在生态学研究中具有重要的应用价值，帮助我们建立合理的概率模型并进行正确的统计推断。

#### 2.2.2.4 生态学中的古典概率应用

尽管古典概率的假设很强，但在某些生态学场景中仍然有其应用价值。首先，在**理想化的种群分布模型**中，当我们研究物种在栖息地中的分布时，可以先建立一个“等可能性”的基准模型。例如，假设一个森林中有三种不同类型的微生境（阳光充足区、半阴区、全阴区），我们可以先假设物种在这三种生境中出现的概率相等，然后与实际观测数据进行比较。这种比较可以帮助我们识别物种的真实偏好。

其次，在**随机抽样设计**方面，生态调查中经常需要随机选择样方位置。如果样方选择过程真正实现了“等可能性”，那么每个位置被选中的概率应该完全相同。这种设计确保了样本的代表性，避免了选择偏差。

最后，在**遗传学中的孟德尔定律**应用中，种群遗传学中的孟德尔遗传定律实际上就是基于古典概率的等可能性假设。当亲本的基因型确定后，子代获得特定基因组合的概率可以通过古典概率计算。

#### 2.2.2.5 古典概率的局限性

尽管古典概率模型非常优美，但它的“理想化”也恰恰是它在现实应用中的主要局限。古典概率的第一个显著局限在于**“等可能性”假设过于苛刻**。现实世界中，很多情况不满足等可能性假设，生态系统的复杂性使得这种假设往往过于简化。回到蚱蜢的例子，我们很难断言蚱蜢选择黑麦草、混合草甸和三叶草的可能性完全相等。植物的营养价值、口感、防御性化学物质、空间分布、季节变化等因素都存在差异，这些都会破坏“等可能性”假设。同样，一枚实际硬币可能因工艺瑕疵导致正面和反面出现的概率并非精确的 50%，研究表明大多数硬币实际上有 51%-49% 的轻微偏差。一只青蛙选择池塘时，池塘的大小、水深、水质、是否有天敌、食物丰富度等因素必然会影响其选择，使得“等可能性”的假设难以成立。

古典概率的第二个局限是**样本空间必须是有限集合**。古典概率要求可能的结果是有限可数的，对于连续性问题（如蚱蜢的精确跳跃距离是 1.253 米），因为结果有无限多个，古典概率便无能为力。生态学中的许多测量值都是连续变量，如温度、湿度、生物量等，这些都需要连续概率分布来描述。古典概率还要求明确知道总体大小，但生态学中总体往往无限或未知。

下面的 R 代码通过一个具体的生态学案例来展示这一局限性：假设我们试图估计一片森林中某种濒危物种的真实数量。在现实中，我们无法直接计数所有个体，只能通过抽样调查来推断。这段代码模

拟了这样的场景：实际有 15 只濒危物种，但我们的调查只发现了 8 只。通过计算检测概率并据此估计总体数量，我们可以看到古典概率方法在总体大小未知时会产生显著的估计误差。

```
# 设置随机种子确保结果可重现
set.seed(222)

# 定义真实参数（实际研究中未知）
true_rare_species <- 15 # 实际濒危物种数量

# 模拟调查数据（存在抽样偏差）
observed_species <- 8 # 调查发现的物种数量
survey_effort <- 50 # 调查努力程度（样方数或观察次数）

# 计算检测概率：观测到的物种数除以调查努力程度
detection_prob <- observed_species / survey_effort

# 使用检测概率估计总体数量：观测数除以检测概率
estimated_total <- observed_species / detection_prob

## 实际濒危物种数量: 15
## 观测到的物种数量: 8
## 检测概率: 0.16
## 估计的物种总数: 50
## 估计误差: 35
```

古典概率的第三个局限是无法处理主观概率。古典概率是客观的，基于计数，但它无法处理如“我认为明天会下雨的可能性是 70%”这种基于个人知识、经验和信念的主观判断。在生态学预测中，专家意见和经验判断往往很重要，但这些主观因素无法用古典概率来量化。

古典概率假设每次试验都是独立的，但生物行为往往具有记忆性和学习能力。如果蚱蜢昨天在黑麦草上获得了丰富的营养，它今天更可能再次选择黑麦草。这种历史依赖性破坏了古典概率的独立性假设。

#### 2.2.2.6 从古典概率到现代概率论

古典概率虽然简单，但它为现代概率论的发展奠定了基础。20 世纪初，俄罗斯数学家安德雷·柯尔莫哥洛夫建立了概率论的公理化体系，将概率定义为满足特定性质的测度函数。这个公理化体系能够同时涵盖古典概率、几何概率和统计概率，为概率论提供了坚实的数学基础。

总结来说，古典概率如同几何学中的完美圆规和直尺，它描绘了一个规则、公平、易于理解的理想世界。它是概率之旅的起点，教会我们“计数”的重要性，培养了我们对随机现象的基本直觉。当我们告别这个理想世界，步入充满复杂性和不确定性的生态学领域时，频率概率和贝叶斯概率等更强大的工具便会接过接力棒，帮助我们更好地刻画那只真实蚱蜢的、受到多种因素影响的午餐选择。古典概率的价值不在于它的现实准确性，而在于它为我们的思维提供了一个清晰的起点和参照系。

#### 2.2.3 数据的语言——频率概率

为了了解真相，我决定进行实地观察。我在一周里，每天中午记录蚱蜢进食的位置，一共记录了 70 次选择。数据如下：45 次在黑麦草上，20 次在混合草甸上，5 次在三叶草上。

这时，我使用的是频率概率。它的核心思想是：一个事件发生的概率，等于它在长期重复试验中出现

的频率。度量方式为： $P(\text{选择黑麦草}) \approx \frac{45}{70} \approx 0.64$ ； $P(\text{选择混合草甸}) \approx \frac{20}{70} \approx 0.29$ ； $P(\text{选择三叶草}) \approx \frac{5}{70} \approx 0.07$ 。这些数字（0.64, 0.29, 0.07）就是基于客观数据对你进食偏好的度量。它们告诉我，你的偏好并非均等，而是对黑麦草有强烈的倾向性。**大数定律**在这里默默起作用：观察的次数越多，这个频率就会越稳定地接近蚱蜢内在的、真实的“偏好概率”。

### 2.2.3.1 核心思想：经验主义与重复试验

频率概率（也称为统计概率）的核心思想源于经验主义哲学——知识来自于观察和经验。与古典概率的“先验”推理不同，频率概率是“后验”的，它基于实际收集的数据。

#### 大数定律的数学基础

大数定律是频率概率的理论支柱。这个定律告诉我们：当试验次数足够多时，事件发生的频率会稳定地趋近于其真实的概率。这种稳定性不是偶然的，而是概率论的基本规律。

在生态学中，频率概率意味着我们通过系统的观察来了解生物行为的真实模式。每一次观察都是对“真实概率”的一次逼近，随着观察次数的增加，我们的估计会越来越准确。

概率收敛理论是统计推断的数学基础，帮助我们理解样本统计量如何趋近于总体参数。如图2.1所示，大数定律的可视化演示清晰地展示了样本均值如何随样本量增加而收敛于总体均值，这种收敛过程体现了频率概率的核心思想。

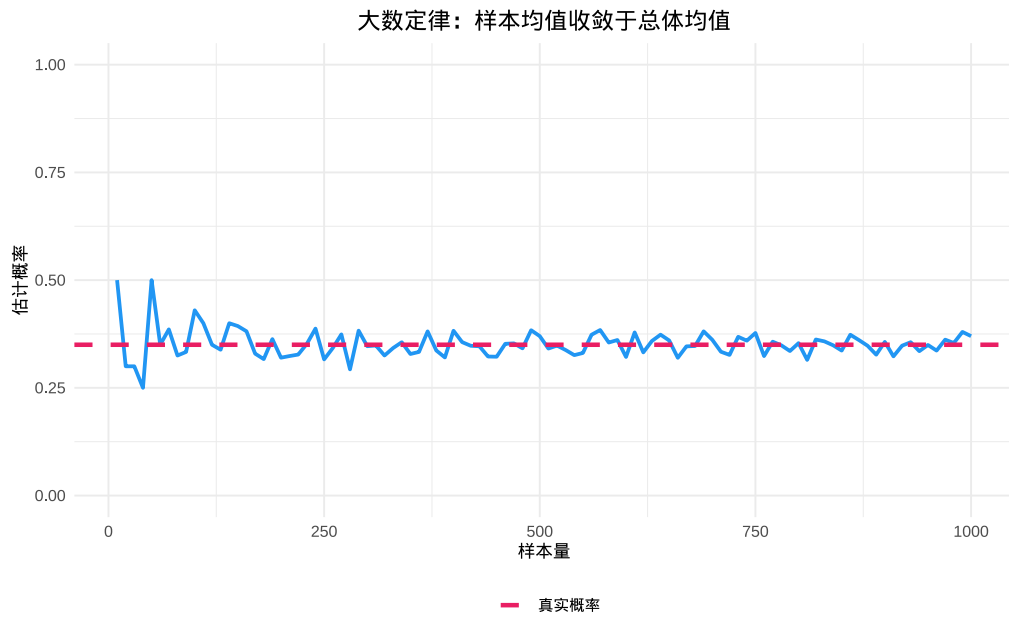


图 2.1 大数定律可视化：样本均值随样本量增加收敛于总体均值

如上图所示，通过模拟不同样本量下的概率估计过程，我们可以直观地看到大数定律的作用：随着样本量的增加，样本均值（蓝色曲线）逐渐稳定地趋近于总体真实概率（红色虚线）。这种收敛模式生动地展示了频率概率的核心思想——通过足够的重复观察，我们能够获得对真实概率的可靠估计。

#### 频率概率的现实类比

就像天气预报：气象学家通过分析多年的气象数据，得出某地区在特定季节下雨的概率。

就像质量控制：工厂通过检测大量产品的质量，估计产品合格率。

就像医学研究：通过大规模的临床试验，确定某种药物的有效率。

频率概率让我们从“理想世界”走向“真实世界”，用数据说话，用事实说话。

### 2.2.3.2 定义与计算方法

频率概率的定义基于长期重复试验的思想。对于一个随机事件 A，其频率概率定义为：

$$P(A) = \lim_{n \rightarrow \infty} \left( \frac{\text{事件 A 发生的次数}}{\text{总试验次数}} \right)$$

其中 n 表示试验的总次数。在实际应用中，我们通常用有限次试验的频率来近似真实的概率：

$$P(A) \approx \frac{\text{事件 A 发生的次数}}{\text{总试验次数}}$$

#### 频率概率的计算步骤

1. **设计观察方案**：确定观察的时间、地点、方法，确保观察的系统性和代表性。
2. **收集数据**：按照设计方案进行重复观察，记录每次试验的结果。
3. **统计频率**：计算事件发生的次数与总观察次数的比值。
4. **评估可靠性**：根据样本大小评估估计的可靠性，样本越大，估计越准确。

#### 样本大小的重要性

在频率概率中，样本大小（观察次数）至关重要。小样本可能受到随机波动的影响，而大样本能够更好地反映真实的概率分布。生态学研究通常需要足够的样本量来获得可靠的估计。

### 2.2.3.3 生态学中的频率概率应用

频率概率在生态学研究中有着广泛的应用：

#### 1. 种群密度估计

通过样方法调查物种在特定区域的分布频率，可以估计整个种群的密度。例如，在 100 个样方中发现目标物种的样方比例为 30%，可以推断该物种在整个区域的分布概率约为 30%。

#### 2. 行为生态学研究

通过观察动物行为的频率，可以量化其行为偏好。例如，观察鸟类在不同树种上筑巢的频率，可以了解其对栖息地的选择偏好。

### 3. 物种分布模型

基于物种在不同环境条件下的出现频率，可以建立物种分布模型，预测物种在未调查区域的分布概率。

### 4. 生态风险评估

通过分析历史数据中不利事件（如物种灭绝、生态系统崩溃）的发生频率，可以评估未来的生态风险。

#### 2.2.3.4 频率概率的优势与局限性

频率概率方法在生态学研究中展现出显著的优势。其**客观性**确保了概率估计基于实际观察数据而非主观臆断，这为生态学研究提供了坚实的实证基础。通过系统记录生物行为或环境变化，研究者能够获得反映真实世界规律的量化结果。频率概率具有**可验证性**，任何研究者都可以通过重复相同的观察或实验来验证结果的可靠性，这符合科学的研究的可重复性原则。在**实用性**方面，频率概率适用于各种现实世界的概率估计问题，从物种分布调查到种群动态监测，都能提供有效的量化工具。最重要的是，频率概率具有**渐进精确性**，随着样本量的增加，根据大数定律，频率估计会越来越接近真实的概率值，这种自我修正的特性使其成为长期生态监测的理想工具。

然而，频率概率方法也存在明显的局限性。**需要大量数据**是其最突出的限制，为了获得可靠的估计，通常需要大量的观察数据，这在某些稀有物种或难以观察的行为研究中可能难以实现。**无法处理一次性事件**是另一个重要局限，对于无法重复的事件（如特定物种的灭绝、罕见自然灾害等），频率概率难以提供有意义的估计。**历史依赖性**使得基于历史数据的概率估计可能无法准确反映未来的变化，特别是在环境快速变化的背景下，过去的数据可能无法预测未来的趋势。此外，**样本偏差**问题不容忽视，如果样本选择不具有代表性，或者观察过程中存在系统性偏差，频率估计会产生误导性的结果。这些局限性提醒我们在应用频率概率时需要谨慎考虑其适用条件，并在必要时结合其他概率方法进行综合分析。

频率概率需要大量重复试验，但生态学调查往往样本量有限。下面的模拟实验直观展示了样本量对概率估计精度的影响：随着样本量的增加，基于频率的概率估计误差会显著减小，这体现了大数定律在实际应用中的效果。然而在生态学研究中，由于时间、经费和实际条件的限制，我们往往无法获得足够大的样本量，这正是频率概率方法在生态学应用中的主要挑战之一。

#### 2.2.3.5 从频率概率到现代统计学

频率概率为现代统计学的发展奠定了基础。统计推断中的参数估计、假设检验等方法都建立在频率概率的思想之上。20世纪，罗纳德·费希尔、耶日·内曼等统计学家进一步发展了频率统计学的理论体系。

总结来说，频率概率如同生态学家的“望远镜”，让我们能够通过系统的观察来窥见自然界的真实规律。它教会我们“用数据说话”的重要性，培养了我们对实证研究的尊重。当我们面对复杂的生态系统时，频率概率为我们提供了量化不确定性的有力工具，帮助我们基于客观证据做出科学的判断。

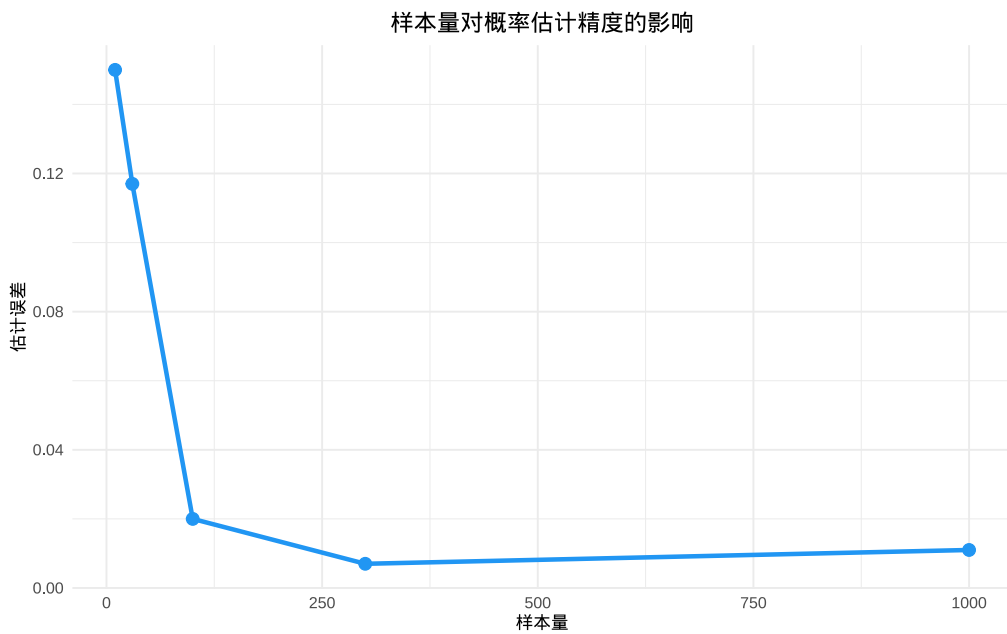


图 2.2 样本量对概率估计精度的影响：样本量越大，估计误差越小

## 2.2.4 动态的更新——贝叶斯概率

然而，故事还没结束。一位植物学家告诉我，昨天刚下过雨，三叶草在雨后会特别鲜嫩多汁，营养价值更高。这条新信息（证据）改变了我对你的判断。我不能完全忽略我之前 70 次观察的结论（先验知识），但我也必须考虑“雨后三叶草更诱人”这个新事实。

贝叶斯概率登场了。它是一种“信仰”的概率，代表着在考虑了新证据之后，我对某个假设（你会选择三叶草）的置信度。它的思维是动态更新的：我原来的信念 ( $P(\text{选择三叶草}) = 0.07$ ) 是先验概率。得到“昨天下过雨”这个证据后，我利用一个公式（贝叶斯定理）将先验概率和证据结合起来，得到一个更新后的后验概率。这个后验概率可能变成  $P(\text{选择三叶草} | \text{昨天下过雨}) = 0.25$ 。这意味着，在“雨后”这个条件下，我认为你选择三叶草的概率从 7% 显著提升到了 25%。贝叶斯概率让我们的认知能够随着新证据的出现而不断进化，更像是一种科学的学习过程。

### 2.2.4.1 核心思想：主观信念与证据更新

贝叶斯概率（也称为主观概率）的核心思想源于认识论哲学——概率是对不确定性的主观度量。与频率概率的“客观”统计不同，贝叶斯概率是“主观”的，它反映了在给定证据条件下对某个假设的置信程度。

#### 贝叶斯定理的数学基础

贝叶斯定理是贝叶斯概率的理论核心。要深入理解贝叶斯定理，我们需要先了解两个关键概念：条件概率和事件独立性。

### 2.2.4.2 条件概率：事件之间的依赖关系

**条件概率**  $P(A|B)$  表示在事件 B 已经发生的条件下，事件 A 发生的概率。这是贝叶斯定理的核心概念。

**定义：**如果  $P(B) > 0$ , 则

$$P(A|B) = \frac{P(A \cap B)}{P(B)}$$

**生态学示例：**

- $P(\text{选择三叶草})$  是无条件概率；
- $P(\text{选择三叶草} | \text{昨天下过雨})$  是条件概率；

### 2.2.4.3 事件独立性：相互不影响的关系

两个事件 A 和 B 是**独立的**，如果其中一个事件的发生不影响另一个事件发生的概率。

**定义：**事件 A 和 B 独立当且仅当

$$P(A \cap B) = P(A) \times P(B)$$

等价地，当  $P(B) > 0$  且 A 和 B 独立时， $P(A|B) = P(A)$ 。

**生态学示例：**

- 如果蚱蜢每天的选择相互独立，那么昨天的选择不影响今天的选择；
- 但如果雨后三叶草变得更有吸引力，那么“下雨”和“选择三叶草”就不是独立事件。

### 2.2.4.4 贝叶斯定理的数学基础

理解了条件概率和独立性后，我们来看贝叶斯定理。这个定理提供了一个数学框架，用于在获得新证据时更新我们对某个假设的信念。其基本形式为：

$$P(H|E) = \frac{P(E|H) \times P(H)}{P(E)}$$

其中：

- $P(H|E)$  是后验概率（在证据 E 条件下假设 H 的概率）
- $P(H)$  是先验概率（在获得证据前对假设 H 的初始信念）
- $P(E|H)$  是似然函数（在假设 H 成立时观察到证据 E 的概率）
- $P(E)$  是证据的边际概率

#### 2.2.4.5 全概率公式：计算证据的边际概率

在贝叶斯定理中，分母  $P(E)$ （证据的边际概率）通常需要通过全概率公式来计算。全概率公式将一个复杂事件的概率分解为多个互斥且完备的情况的概率之和。

**全概率公式：**如果事件  $B_1, B_2, \dots, B_n$  构成一个完备事件组（即它们互斥且并集为样本空间），且  $P(B_i) > 0$ ，则对任意事件 A 有：

$$P(A) = \sum_{i=1}^n P(A|B_i) \times P(B_i)$$

**生态学示例：**假设我们想知道“蚱蜢选择营养价值高的植物”的概率  $P(\text{高营养})$ 。我们可以将其分解为：

$$P(\text{高营养}) = P(\text{高营养}|\text{晴天}) \times P(\text{晴天}) + P(\text{高营养}|\text{雨天}) \times P(\text{雨天})$$

下面的示例通过一个物种灭绝风险评估的案例，直观展示了全概率公式在生态学中的实际应用。该案例将总体灭绝概率分解为不同生态情景（正常、干旱、洪水）下的贡献，帮助我们理解各种环境条件对物种生存风险的相对重要性。

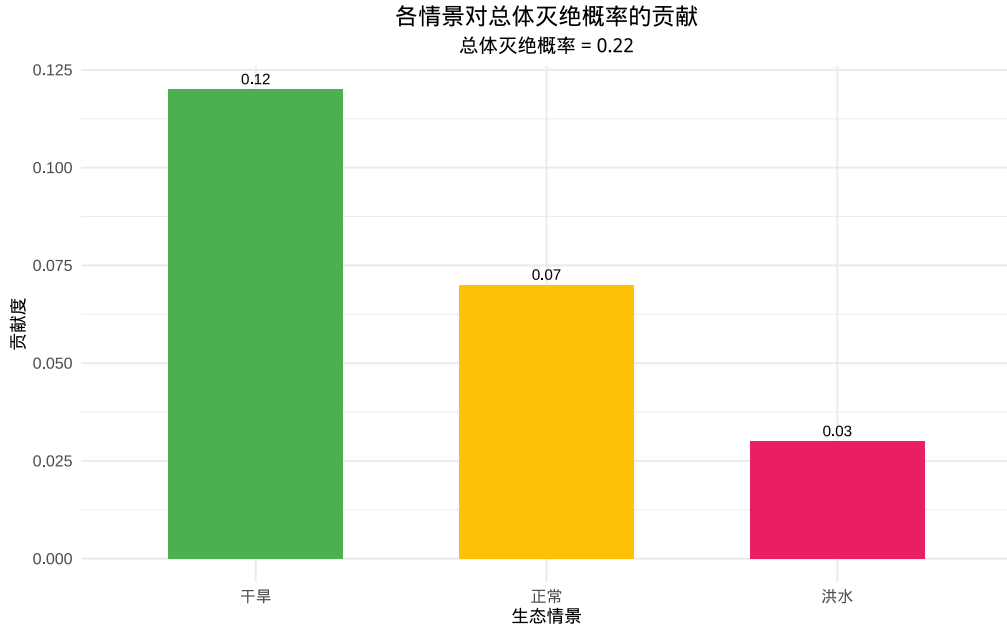


图 2.3 全概率公式应用：各情景对总体灭绝概率的贡献分解

**在贝叶斯定理中的应用：**在贝叶斯定理中， $P(E)$  可以通过全概率公式计算：

$$P(E) = P(E|H) \times P(H) + P(E|\neg H) \times P(\neg H)$$

其中符号  $\neg H$  表示“假设 H 不成立”，即事件 H 的补集。

这就得到了贝叶斯定理的完整形式：

$$P(H|E) = \frac{P(E|H) \times P(H)}{P(E|H) \times P(H) + P(E|\neg H) \times P(\neg H)}$$

### 贝叶斯概率的哲学基础

贝叶斯概率体现了“学习”的本质。我们不是从零开始认识世界，而是基于已有的知识（先验），结合新的观察（证据），不断更新我们的认知（后验）。这种思维方式更接近人类实际的认知过程。

### 贝叶斯概率的现实类比

就像医学诊断：医生基于患者的症状（证据）更新对疾病的判断（假设）。

就像法庭审判：陪审团基于证据不断更新对被告有罪或无罪的信念。

就像天气预报：气象学家基于新的气象数据更新对天气变化的预测。

贝叶斯概率让我们从“静态世界”走向“动态世界”，用不断更新的信念来应对变化的环境。

#### 2.2.4.6 定义与计算方法

贝叶斯概率的核心是贝叶斯定理，它提供了一个系统的方法来更新概率估计。通过全概率公式，我们得到了贝叶斯定理的完整形式，它考虑了所有可能的情况，确保概率的归一化。

### 贝叶斯更新的步骤

1. 确定先验概率：基于已有知识或经验，确定对假设的初始信念  $P(H)$ 。
2. 计算似然函数：评估在假设成立时观察到证据的概率  $P(E|H)$ 。
3. 计算证据概率：计算观察到证据的总体概率  $P(E)$ 。
4. 计算后验概率：使用贝叶斯定理更新信念，得到  $P(H|E)$ 。

### 先验概率的选择

在贝叶斯分析中，先验概率的选择具有关键重要性。常用的先验类型包括无信息先验、共轭先验和经验先验。无信息先验适用于缺乏先验知识的情况，为分析提供一个相对中立的起点。共轭先验在数学上能够方便地计算后验分布，简化了贝叶斯更新的计算过程。经验先验则基于历史数据或专家意见，能够将领域知识有机地融入统计模型中。

### 贝叶斯定理基础演示

下面的代码通过一个疾病检测的案例，具体展示了贝叶斯定理的实际应用过程。这个例子很好地说明了即使检测方法具有很高的准确性（灵敏度 95%，特异度 90%），在患病率较低（5%）的情况下，阳性检测结果对应的实际患病概率可能远低于直觉预期。这种反直觉的结果正是贝叶斯定理的价值所在——它帮助我们避免认知偏差，做出更理性的判断。

```
# 贝叶斯定理基础演示：以疾病检测为例展示贝叶斯定理的应用
set.seed(1111) # 设置随机种子确保结果可重现

# 定义先验概率：基于流行病学知识的初始信念
prior_prob <- 0.05 # 疾病在种群中的患病率 (5%)

# 定义检测准确性参数
sensitivity <- 0.95 # 真阳性率：患者被正确检测为阳性的概率
specificity <- 0.90 # 真阴性率：健康者被正确检测为阴性的概率

# 计算边际概率 P(阳性)：检测结果为阳性的总体概率
# 使用全概率公式：P(阳性) = P(阳性 | 患病)P(患病) + P(阳性 | 健康)P(健康)
marginal_positive <- sensitivity * prior_prob +
  (1 - specificity) * (1 - prior_prob)

# 使用贝叶斯定理计算后验概率 P(患病 | 阳性)
# 公式：P(患病 | 阳性) = [P(阳性 | 患病) × P(患病)] / P(阳性)
posterior_prob <- (sensitivity * prior_prob) / marginal_positive

## 贝叶斯定理基础演示（疾病检测）：
## 先验概率 P(患病)：0.05
## 检测灵敏度 P(阳性 | 患病)：0.95
## 检测特异度 P(阴性 | 健康)：0.9
## 边际概率 P(阳性)：0.1425
## 后验概率 P(患病 | 阳性)：0.3333
```

#### 2.2.4.7 生态学中的贝叶斯概率应用

贝叶斯概率在现代生态学研究中越来越重要，以下是几个典型应用：

##### 物种分布模型

结合专家知识和观测数据，建立更准确的物种分布预测模型。先验可以反映物种的生态习性，后验则结合了实际的分布数据。

贝叶斯方法在物种分布建模中具有独特优势，能够结合专家知识和观测数据。下面的代码演示了一个完整的贝叶斯物种分布模型，展示了如何将专家对物种栖息地偏好的初始信念（先验）与实际野外观测数据（似然）相结合，通过贝叶斯更新得到更准确的物种分布概率（后验）。如表2.1所示，该模型清晰地展示了专家先验、观测似然和贝叶斯后验的对比结果。该模型还计算了 KL 散度来量化信息增益，并使用贝叶斯因子评估证据强度，为生态学家提供了一套完整的贝叶斯分析工具。

```
# 贝叶斯物种分布模型
# 演示如何结合专家知识和观测数据更新物种栖息地偏好

# 设置随机种子确保结果可重现
set.seed(1414)

# 定义先验信息：基于专家经验的初始信念
# 专家认为物种偏好森林 (60%)、草地 (30%)、湿地 (10%)
expert_prior <- c(0.6, 0.3, 0.1)
habitat_types <- c("森林", "草地", "湿地")

# 定义观测数据：在不同栖息地中实际发现物种的次数
observations <- c(45, 20, 5) # 森林 45 次，草地 20 次，湿地 5 次
total_observations <- sum(observations) # 总观测次数

# 计算似然函数：基于观测数据的条件概率
# 似然 = 各栖息地观测次数 / 总观测次数
likelihood <- observations / total_observations
```

```

# 计算证据概率 (标准化常数): 使用全概率公式
# 证据 = Σ(先验 × 似然)
evidence <- sum(expert_prior * likelihood)

# 贝叶斯更新: 计算后验概率
# 后验 = (先验 × 似然) / 证据
posterior <- (expert_prior * likelihood) / evidence

# 创建结果数据框, 便于比较分析
results <- data.frame(
  栖息地类型 = habitat_types,
  专家先验 = round(expert_prior, 3),      # 四舍五入到 3 位小数
  观测似然 = round(likelihood, 3),          # 四舍五入到 3 位小数
  贝叶斯后验 = round(posterior, 3)          # 四舍五入到 3 位小数
)

```

表 2.1 贝叶斯物种分布模型结果

| 栖息地类型 | 专家先验 | 观测似然  | 贝叶斯后验 |
|-------|------|-------|-------|
| 森林    | 0.6  | 0.643 | 0.806 |
| 草地    | 0.3  | 0.286 | 0.179 |
| 湿地    | 0.1  | 0.071 | 0.015 |

```

# 计算信息增益: 使用 KL 散度量化先验到后验的信息变化
# KL 散度 = Σ(后验 × log(后验/先验))
kl_divergence <- sum(posterior * log(posterior / expert_prior))
cat("KL 散度 (信息增益) :", round(kl_divergence, 4), "\n")

```

```

## KL 散度 (信息增益) : 0.1171
# 计算贝叶斯因子: 比较森林偏好假设的证据强度
# 贝叶斯因子 = (后验优势比) / (先验优势比)
bayes_factor <- (posterior[1] / (1 - posterior[1])) /
  (expert_prior[1] / (1 - expert_prior[1]))

```

```
## 贝叶斯因子 (森林偏好) : 2.77
```

```
## 微弱支持物种偏好森林的假设
```

## 保护优先级评估

结合多种证据（如栖息地质量、种群趋势、威胁因素）来评估物种的保护优先级。下面的可视化演示了贝叶斯更新在森林健康评估中的应用，展示了如何基于观测到的树木死亡率证据，从初始的专家信念（先验）更新为更准确的森林健康状态评估（后验）。这种动态更新过程体现了贝叶斯方法在生态监测和评估中的核心优势——能够系统地将新证据整合到现有的知识体系中。

## 生态风险评估

在数据有限的情况下，结合专家判断和有限观测来评估生态风险。下面的综合演示展示了贝叶斯方法在生态风险评估和决策分析中的完整应用流程：首先基于历史数据建立初始风险评估（先验），然后结合新的气候异常证据进行贝叶斯更新得到更准确的风险概率（后验），最后基于更新后的风险概率进行成本效益分析，为保护决策提供科学依据。这种将概率更新与决策分析相结合的方法，体现了贝叶斯统计在生态管理实践中的实用价值。

## 模型选择与平均

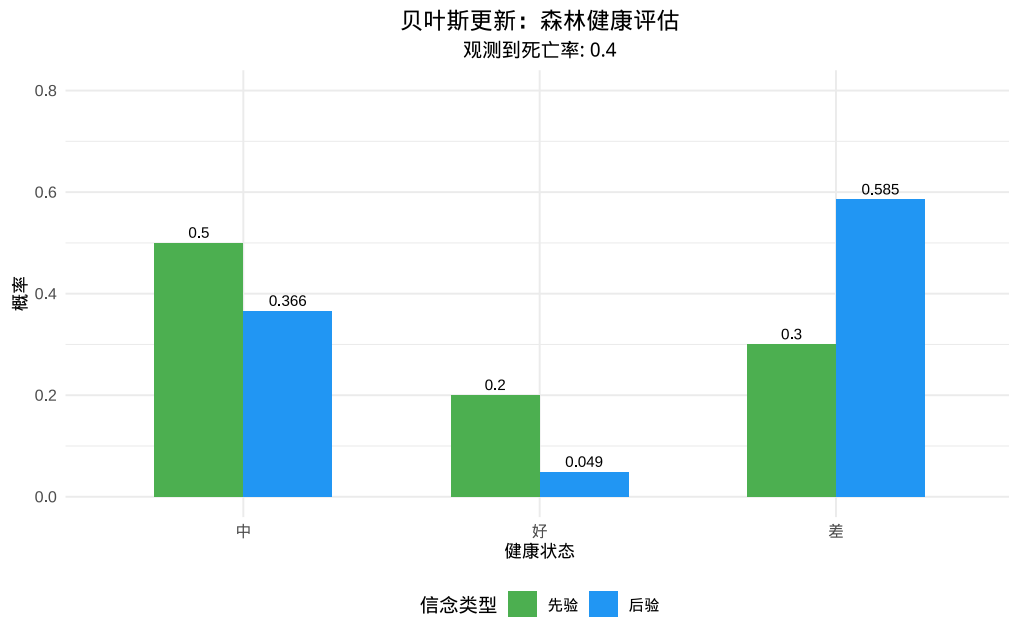


图 2.4 贝叶斯更新过程：森林健康评估中先验信念到后验信念的转变

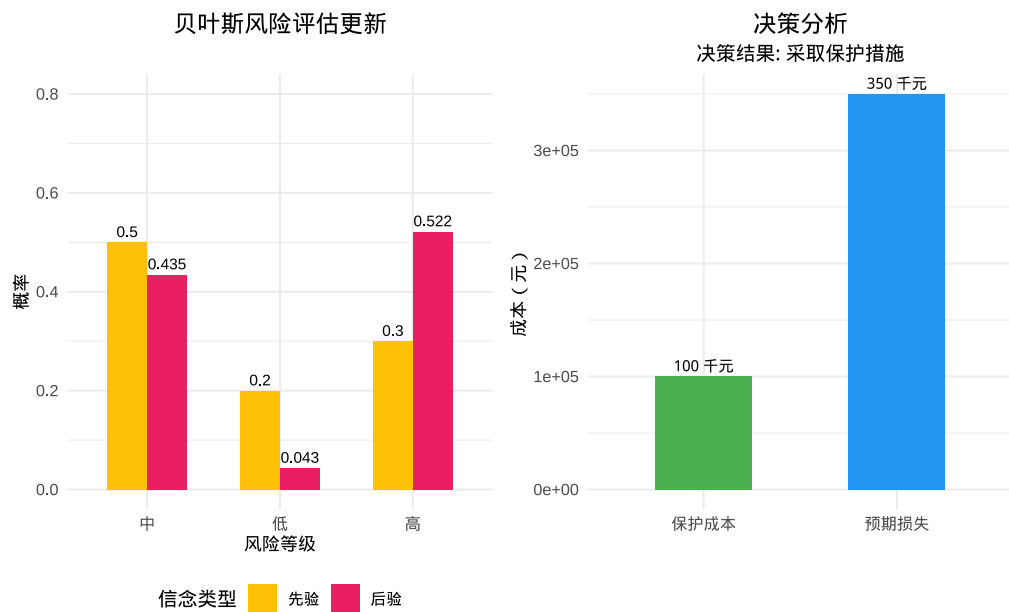


图 2.5 贝叶斯风险评估与决策分析：基于新证据的风险概率更新和成本效益决策

使用贝叶斯模型平均方法，综合考虑多个竞争模型的预测结果。下面的演示展示了贝叶斯模型比较在生态学中的实际应用：通过比较简化线性模型和复杂季节模型对种群增长数据的拟合效果，使用贝叶斯因子来量化不同模型的证据强度。这种方法不仅考虑模型的拟合优度，还考虑了模型的复杂性，避免了过度拟合问题，为生态学家提供了更可靠的模型选择依据。

表 2.2 贝叶斯模型比较结果

| 模型   | 模型证据 | 贝叶斯因子    |
|------|------|----------|
| 线性模型 | 0    | 1.00     |
| 季节模型 | 0    | 13980.76 |

表 2.2 展示了贝叶斯模型比较的结果，包括线性模型和季节模型的模型证据值以及它们之间的贝叶斯因子，为模型选择提供了定量依据。

贝叶斯模型比较：种群增长模式  
贝叶斯因子 = 13980.76

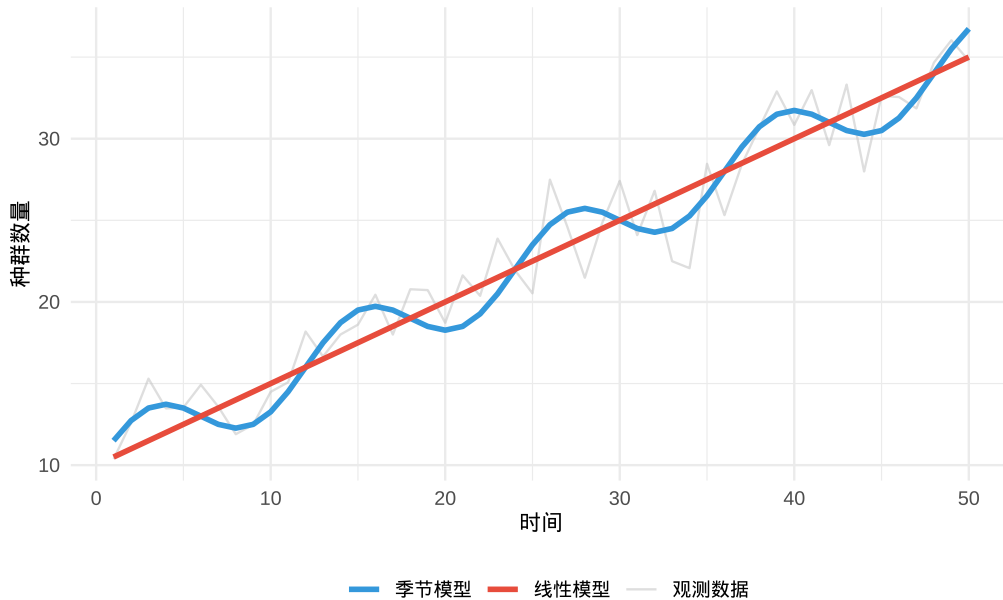


图 2.6 贝叶斯模型比较：线性模型与季节模型对种群增长模式的拟合效果对比

### 敏感性分析与稳健性检验

贝叶斯分析的一个重要实践环节是评估结果的稳定性和可靠性。下面的表格展示了两种关键的验证结果：

**敏感性分析表格**显示了不同先验强度下后验均值和标准差的变化。先验强度越大，先验对结果的影响越强。通过观察不同先验强度下的后验结果，我们可以判断分析结论是否对先验选择敏感。

**稳健性检验表格**展示了数据污染比例对后验均值的影响。污染比例越高，异常值对结果的影响越大。这帮助我们评估贝叶斯分析对数据质量问题的抵抗能力。

这些检验确保贝叶斯分析的结论不会过度依赖于特定的先验设定或受到数据质量问题的过度影响，

为生态学研究的可靠性提供保障。

表 2.3 贝叶斯敏感性分析结果

| 先验强度 | 后验均值  | 后验标准差 |
|------|-------|-------|
| 0.1  | 0.708 | 0.097 |
| 0.5  | 0.708 | 0.097 |
| 1.0  | 0.708 | 0.097 |
| 2.0  | 0.708 | 0.097 |
| 5.0  | 0.706 | 0.097 |
| 10.0 | 0.702 | 0.096 |

表 2.3 展示了贝叶斯敏感性分析的结果，通过比较不同先验强度下的后验均值和标准差，揭示了先验信息对贝叶斯推断的影响程度。

表 2.4 贝叶斯稳健性检验结果

| 污染比例 | 后验均值  |
|------|-------|
| 0.00 | 0.539 |
| 0.05 | 0.604 |
| 0.10 | 0.683 |
| 0.20 | 0.804 |
| 0.30 | 0.888 |

表 2.4 展示了贝叶斯稳健性检验的结果，通过模拟不同污染比例下的后验均值变化，验证了贝叶斯方法对数据污染的鲁棒性。

#### 2.2.4.8 贝叶斯概率的优势与局限性

贝叶斯概率方法在现代生态学研究中展现出独特的优势。其**灵活性**体现在能够有机地结合先验知识和新的观测证据，这种动态更新的特性使其特别适合处理环境变化和物种适应性研究。通过贝叶斯定理，研究者可以将专家经验、历史数据与最新的实地观察相结合，形成更加全面的认知。**不确定性量化**是贝叶斯方法的另一重要优势，它不仅提供点估计，还能明确表达参数的不确定性范围，这对于生态风险评估和保护决策具有重要意义。在**小样本适用性**方面，贝叶斯方法在数据有限的情况下仍然能够发挥作用，这对于研究稀有物种或难以大规模观察的生态现象尤为宝贵。**模型复杂性处理**能力使贝叶斯方法能够应对生态学中常见的多层次、多变量复杂系统，如考虑个体差异、空间异质性和时间动态的生态模型。最重要的是，贝叶斯方法提供**决策支持**，直接输出决策所需的概率信息，如物种灭绝风险、保护措施效果等，为生态管理提供科学依据。

然而，贝叶斯概率方法也存在不容忽视的局限性。**主观性**是其最受争议的方面，先验概率的选择往往依赖于研究者的主观判断，不同专家可能会给出不同的先验设定。如图2.7所示，不同群体（生态学家、森林管理者、当地社区）对同一生态风险评估给出了显著不同的结果，这凸显了在贝叶斯分析中谨慎处理先验信息的重要性。**计算复杂性**是实际应用中的主要障碍，复杂的贝叶斯模型需要大量的计算资源，特别是使用马尔可夫链蒙特卡洛方法时，计算时间可能相当可观。**先验敏感性**问题意味着结果可能对先

验选择高度敏感，不恰当的先验设定可能导致有偏的结论。收敛问题是 MCMC 方法特有的挑战，在复杂模型中可能出现收敛困难或收敛到局部最优解的情况。此外，解释难度限制了贝叶斯方法的普及，后验分布的理解和解释需要研究者具备相当的统计背景，这在一定程度上阻碍了其在生态学实践中的广泛应用。这些局限性提示我们在使用贝叶斯方法时需要谨慎处理先验设定，并充分考虑计算可行性和结果解释的清晰性。

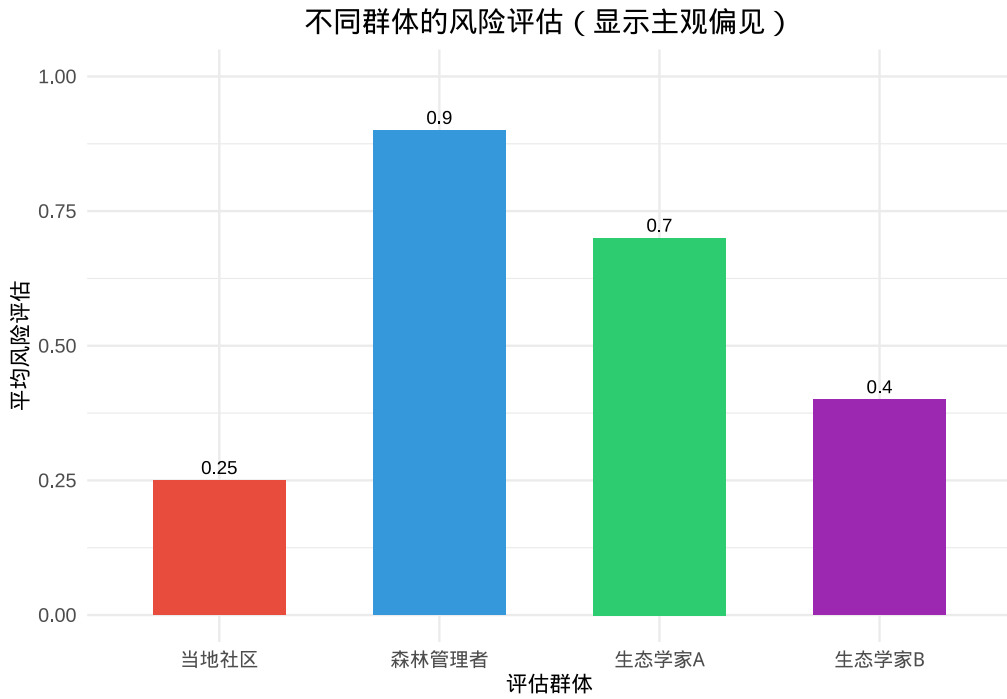


图 2.7 主观偏见问题：不同群体对同一生态风险评估的差异

#### 2.2.4.9 贝叶斯统计的挑战及解决方案

贝叶斯框架在概念上非常优雅，但在计算上有一个巨大的挑战：分母  $P(E)$  通常极其难以计算。

$$P(E) = \int P(E | \theta)P(\theta) d\theta$$

这个积分在高维空间（即参数  $\theta$  包含多个变量时）往往没有解析解（即无法用公式直接写出结果）。这严重限制了贝叶斯方法的应用，人们只能对那些具有“共轭先验”的特殊模型进行分析（即先验和后验属于同一分布家族，从而可以避开积分计算）。

所以，问题的核心变成了：如何有效地从复杂的、高维的后验分布  $P(\theta | E)$  中获取信息（例如，计算均值、方差、分位数等），而无需知道那个讨厌的分母  $P(E)$ ？

#### 马尔可夫模拟（MCMC）的核心思想

MCMC 是一类算法的总称，它巧妙地解决了上述挑战。它的核心思想是：

与其直接计算后验分布，不如我们构造一个马尔可夫链，使其平稳分布恰好就是我们想要的后验分布

$P(\theta | E)$ 。然后，我们从这个链中生成大量的样本，用这些样本来近似（模拟）后验分布。

想象一下，你是一个盲人，想要了解一头大象的形状。这头大象就是贝叶斯统计中的后验分布——我们想要了解但无法直接看到的复杂概率分布。

**贝叶斯的难题：**大象的形状太复杂了，你无法用数学公式精确描述它（就像无法直接计算分母  $P(E)$  一样）。

**MCMC 的解决方案：**你不需要知道大象的精确形状，只需要通过“触摸”来了解它：

1. **马尔可夫链：**你开始在大象周围随机走动，但遵循一个聪明的规则——每次移动时，你更倾向于走向大象“更胖”的区域（高概率区域），而不是“更瘦”的区域（低概率区域）。
2. **蒙特卡洛抽样：**你边走边触摸大象，记录下每个位置的感受。虽然每次触摸只能了解一小部分，但经过成千上万次触摸后，你就能在心中构建出大象的整体形状。
3. **巧妙之处：**你根本不需要知道大象的确切形状！你只需要比较当前位置和下一个位置哪个“更胖”（通过概率比值），这个比值中讨厌的分母  $P(E)$  会自动抵消掉。

**结果：**经过足够的“触摸”后，你收集到的位置样本就精确地反映了大象的真实形状。你可以通过这些样本计算大象的平均高度（后验均值）、宽度（后验方差），甚至画出大象的轮廓（后验分布图）。

就像盲人通过系统性的触摸来了解复杂的大象形状一样，MCMC 通过系统性的随机游走来探索复杂的生态学后验分布，让我们能够在不知道精确数学解的情况下，仍然能够对生态系统的参数做出可靠的贝叶斯推断。

我们来用正式的语言分解 MCMC 这个思想：

1. **蒙特卡洛 (Monte Carlo)：**泛指通过随机抽样来解决问题的方法。基本思想是：如果你想知道一个分布的属性（比如均值），就从该分布中抽取大量样本，然后计算这些样本的均值。**问题在于：**我们无法直接从复杂的后验分布中抽样。
2. **马尔可夫链 (Markov Chain)：**这是一个具有“无记忆”性质的随机过程，下一个状态只取决于当前状态，而与过去的状态无关。关键点是，在满足一定条件下，马尔可夫链会收敛到一个唯一的**平稳分布**。这意味着无论链从何处开始，经过足够长的步骤后，它停留在每个状态的概率是固定的。
3. **MCMC 的巧妙结合：**目标是让后验分布  $P(\theta | E)$  成为马尔可夫链的平稳分布。**方法**是设计特定的规则（如 Metropolis-Hastings 算法或 Gibbs 抽样），来构建这样一个链。这些规则的伟大之处在于，它们在计算时，**分母  $P(E)$  会被约掉！**因为规则中只涉及后验分布的比值：

$$\frac{P(\theta_{\text{新}} | E)}{P(\theta_{\text{旧}} | E)} = \frac{\frac{P(E|\theta_{\text{新}})P(\theta_{\text{新}})}{P(E)}}{\frac{P(E|\theta_{\text{旧}})P(\theta_{\text{旧}})}{P(E)}} = \frac{P(E | \theta_{\text{新}})P(\theta_{\text{新}})}{P(E | \theta_{\text{旧}})P(\theta_{\text{旧}})}$$

$P(E)$  被完美地消去了。所以我们可以完全不知道  $P(E)$  的情况下，判断是否应该从当前参数  $\theta_{\text{旧}}$  移动到新参数  $\theta_{\text{新}}$ 。而具体的判断规则是一个随机决策过程，首先计算接受概率

$\alpha = \min \left( 1, \frac{P(E|\theta_{\text{新}})P(\theta_{\text{新}})}{P(E|\theta_{\text{旧}})P(\theta_{\text{旧}})} \right)$  来衡量新参数的相对优势，再从随机分布  $U(0, 1)$  中抽取一个随机数  $u$ ；如果  $u \leq \alpha$ ，则接受新参数，否则拒绝新参数，链保留在  $\theta_{\text{旧}}$ 。于是，整个过程是参数从某个初始值开始，然后根据规则随机游走。经过一段“预烧期”后，链会收敛到平稳分布。之后产生的样本，虽然彼此相关（因为是马尔可夫链），但可以看作是来自后验分布  $P(\theta | E)$  的（近似）样本。

### 两者的关系——完美的共生

现在我们可以清晰地描述贝叶斯统计与马尔可夫链蒙特卡洛方法之间的关系。

在目标与手段的关系中，贝叶斯统计定义了我们要解决的核心问题——求得后验分布，而 MCMC 则提供了实现这一目标的计算引擎。没有 MCMC 的强大计算能力，贝叶斯理论对于许多复杂模型只能停留在“纸上谈兵”的阶段，无法在实际应用中发挥作用。

计算上的突破体现在 MCMC 的出现，特别是在 1990 年代以后，这成为贝叶斯统计复兴和广泛应用的根本原因。MCMC 使得分析者能够自由地构建复杂的、非共轭的、高维的模型，而无需担心无法计算的积分问题。几乎所有现代的贝叶斯软件，如 Stan、PyMC 和 JAGS，其核心计算引擎都基于 MCMC 算法。

一个典型的贝叶斯数据分析工作流程包含三个关键阶段。首先，在模型建立阶段，研究者设定似然函数  $P(E | \theta)$  和先验分布  $P(\theta)$ 。接着进入计算阶段，使用 MCMC 算法（如 Metropolis-Hastings、Gibbs 抽样或 Hamiltonian Monte Carlo）从后验分布  $P(\theta | E)$  中生成大量样本  $\theta^{(1)}, \theta^{(2)}, \dots, \theta^{(N)}$ 。最后是推断阶段，利用生成的样本进行蒙特卡洛积分，包括计算后验均值  $E[\theta | E] \approx \frac{1}{N} \sum_{i=1}^N \theta^{(i)}$ 、构造后验区间以及生成对新数据的预测。

表 2.5 贝叶斯统计与 MCMC 的比较

| 特性   | 贝叶斯统计                         | 马尔可夫链蒙特卡洛 (MCMC)                   |
|------|-------------------------------|------------------------------------|
| 本质   | 推理框架                          | 计算方法                               |
| 核心   | 使用贝叶斯定理将先验信念和数据进行结合，更新为后验信念。  | 通过构造一个平稳分布为目标分布的马尔可夫链来进行抽样。        |
| 角色   | 提出“要计算什么”（后验分布）。              | 解决“如何计算”的问题。                       |
| 依赖关系 | 理论上不依赖 MCMC（例如，可使用共轭先验或变分推断）。 | 通常为贝叶斯计算服务，但其思想也可用于其他领域（如统计物理、优化）。 |

结论就是：贝叶斯统计为概率建模提供了哲学和理论基础，而马尔可夫模拟（MCMC）则提供了使这个理论在实践中得以实现的强大计算工具。两者相辅相成，共同推动了现代统计学、机器学习和数据科学的发展。

### 2.2.4.10 简单 MCMC 演示

马尔可夫链蒙特卡洛 (MCMC) 方法是贝叶斯计算的核心工具:

```
# 简单 MCMC 采样演示
# 实现 Metropolis-Hastings 算法进行贝叶斯参数估计
simple_mcmc <- function(n_iterations, prior_mean, prior_sd,
                         data, likelihood_sd) {
  # 初始化马尔可夫链: 设置初始值和存储变量
  current_value <- prior_mean # 从先验均值开始
  samples <- numeric(n_iterations) # 存储所有采样值
  accepts <- 0 # 记录接受次数

  # MCMC 主循环: 进行 n_iterations 次迭代
  for (i in 1:n_iterations) {
    # 建议新值: 从当前值附近的正态分布中采样
    proposal <- rnorm(1, current_value, 0.1)

    # 计算先验概率: 当前值和提议值的先验概率密度
    prior_current <- dnorm(current_value, prior_mean, prior_sd)
    prior_proposal <- dnorm(proposal, prior_mean, prior_sd)

    # 计算似然概率: 数据在当前值和提议值下的概率
    likelihood_current <- prod(dnorm(data, current_value, likelihood_sd))
    likelihood_proposal <- prod(dnorm(data, proposal, likelihood_sd))

    # 计算接受概率: Metropolis-Hastings 接受率
    acceptance_ratio <- (prior_proposal * likelihood_proposal) /
      (prior_current * likelihood_current)
    acceptance_prob <- min(1, acceptance_ratio)

    # 决定是否接受提议值: 基于接受概率随机决定
    if (runif(1) < acceptance_prob) {
      current_value <- proposal # 接受提议值
      accepts <- accepts + 1 # 增加接受计数
    }

    samples[i] <- current_value # 存储当前值 (接受或拒绝后)
  }

  # 计算接受率: 评估 MCMC 算法的效率
  acceptance_rate <- accepts / n_iterations
  return(list(samples = samples, acceptance_rate = acceptance_rate))
}

# 生成生态测试数据: 模拟树木平均高度观测数据
# 真实树木平均高度为 15 米, 观测数据包含随机测量误差
true_value <- 15.0
observed_data <- rnorm(20, true_value, 1.0)

# 运行 MCMC 采样: 使用 Metropolis-Hastings 算法估计树木高度
# 设置先验分布: 均值为 10, 标准差为 5 的正态分布
mcmc_result <- simple_mcmc(5000,
                            prior_mean = 10, prior_sd = 5,
                            data = observed_data, likelihood_sd = 1.0
)
## MCMC采样结果:
## 接受率: 0.848
## 后验均值: 14.835
## 后验标准差: 0.472
## 真实值: 15
## 样本均值: 14.92
# 计算 95% 置信区间: 基于后验样本的分位数
ci_lower <- quantile(mcmc_result$samples, 0.025)
ci_upper <- quantile(mcmc_result$samples, 0.975)
```

```
cat("95% 置信区间: [", round(ci_lower, 3), ", ",
    round(ci_upper, 3), "]\\n")
## 95%置信区间: [ 14.345 , 15.342 ]
```

### 2.2.4.11 从贝叶斯概率到现代数据分析

贝叶斯方法为现代数据分析提供了强大的工具。随着计算技术的发展，马尔可夫链蒙特卡洛(MCMC)等方法使得复杂的贝叶斯模型变得可行。在生态学中，贝叶斯方法已经成为处理不确定性、整合多源数据的重要工具。

总结来说，贝叶斯概率如同生态学家的“学习机器”，让我们能够基于不断积累的证据来更新对自然界的认识。它教会我们“在不确定性中学习”的重要性，培养了我们对知识动态更新的敏感度。当我们面对快速变化的环境和有限的数据时，贝叶斯概率为我们提供了灵活应对不确定性的智慧工具，帮助我们做出更加理性的决策。

## 2.3 随机变量与分布

### 2.3.1 随机变量

现在，我想更系统地描述你这只“蚱蜢”的行为。作为一名生态学研究者，我面对的不仅仅是描述性的观察记录，而是需要建立一个能够量化、预测和分析的数学模型。“蚱蜢选择哪种植物进食”这个看似简单的行为，实际上蕴含着复杂的决策过程，受到营养需求、环境因素、个体偏好等多重影响。我需要一个强大的数学工具来捕捉这种不确定性，将模糊的行为模式转化为精确的概率描述。

于是，我引入**随机变量**的概念，将其命名为 X。随机变量是概率论中的核心工具，它就像一个数学翻译器，将现实世界中的随机现象转化为数学语言。我精心定义：当 X=1 时，代表你选择了营养丰富的黑麦草；当 X=2 时，代表你选择了环境复杂的混合草甸；当 X=3 时，代表你选择了相对稀少的三叶草。这种编码方式不仅简化了描述，更重要的是为后续的数学分析奠定了基础。

随机变量的奇妙之处在于它的双重性：在每次具体观察之前，X 的取值是完全不确定的——它可能是 1、2 或 3 中的任意一个，这种不确定性正是生态系统中生物行为的本质特征。然而，这种不确定性并非毫无规律可言。通过长期的观察和数据积累，我发现每个可能的取值都有其特定的发生概率。这种概率分布就像是你行为模式的“数学指纹”，精确地刻画了你在不同环境条件下的选择倾向。如图2.8所示，通过随机模拟可以直观地展示这种概率分布的实际表现，其中黑麦草被选择的频率最高，三叶草相对较少，这与我们观察到的概率分布一致。随机变量的引入，使我们能够从定性描述迈向定量分析，为理解生物决策机制提供了强有力数学框架。

```
## 理论概率分布:
## 黑麦草 (X=1): 0.64
## 混合草甸 (X=2): 0.29
## 三叶草 (X=3): 0.07

## 模拟100次的实际频率:
## 黑麦草 (X=1): 0.62
```

### 蚱蜢植物选择行为的随机模拟

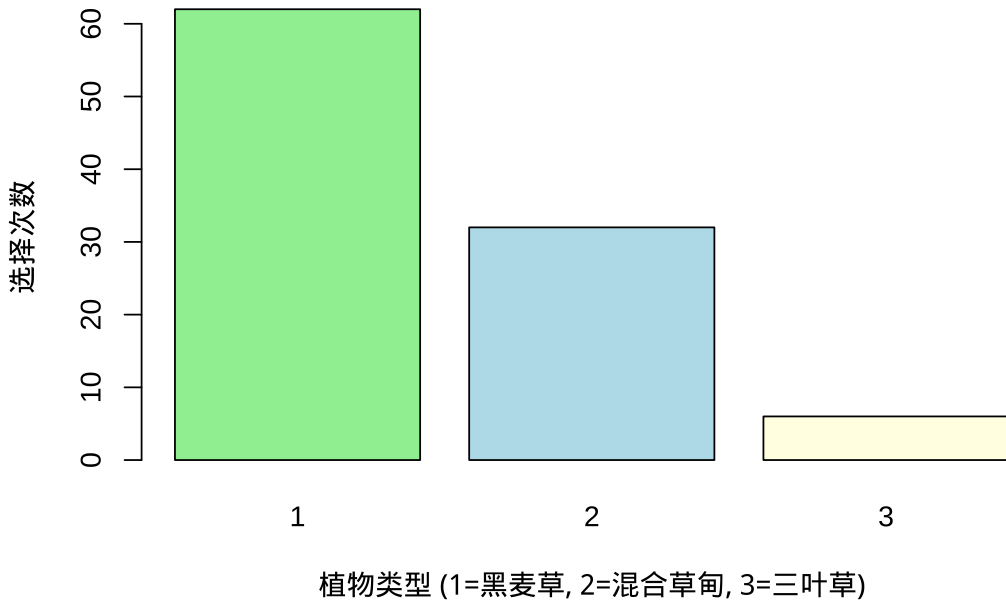


图 2.8 随机变量演示：蚱蜢植物选择行为的概率分布与随机模拟

```
## 混合草甸 (X=2): 0.32
## 三叶草 (X=3): 0.06
```

#### 2.3.2 概率分布

接下来，我把随机变量  $X$  所有可能的取值及其对应的概率，整理成一张表。

表 2.6 蚱蜢午餐选择的概率分布

| 随机变量 $X$ 的取值 (植物类型) | 概率 $P(X)$ |
|---------------------|-----------|
| 1 (黑麦草)             | 0.64      |
| 2 (混合草甸)            | 0.29      |
| 3 (三叶草)             | 0.07      |

这张表，就构成了一个**概率分布**！它完整地描绘了你的选择偏好全景。它清晰地显示，你最可能去哪（黑麦草），最不可能去哪（三叶草）。

如果我画成柱状图，就得到了一个**概率分布图**，直观地展示了这种“分布”情况。如图2.9所示，通过柱状图可以更直观地看到蚱蜢对三种植物的选择偏好差异：黑麦草的选择概率最高（64%），混合草甸次之（29%），三叶草的选择概率最低（7%）。这种可视化方式让概率分布的特征一目了然，帮助我们更好地理解生物行为模式。

蚱蜢午餐选择的概率分布



### 2.3.3 累积概率分布：从可能性到确定性

除了了解每种植物被选择的概率，我们有时还需要回答这样的问题：“蚱蜢选择黑麦草或混合草甸的概率是多少？”或者“选择价值较低的植物（三叶草）的概率是多少？”这些问题引导我们认识**累积概率分布**。

累积概率分布描述的是随机变量取值小于或等于某个特定值的概率。对于我们的蚱蜢午餐选择问题，我们可以构建如下的累积分布：

表 2.7 蚱蜢午餐选择的累积概率分布

| 随机变量 X 的取值 | 概率 $P(X)$ | 累积概率 $F(x) = P(X \leq x)$ |
|------------|-----------|---------------------------|
| 1 (黑麦草)    | 0.64      | 0.64                      |
| 2 (混合草甸)   | 0.29      | 0.93                      |
| 3 (三叶草)    | 0.07      | 1.00                      |

这里的累积概率告诉我们：

- 蚂蚱选择黑麦草的概率是 0.64；
- 蚂蚱选择黑麦草或混合草甸的概率是  $0.64 + 0.29 = 0.93$ ；
- 蚂蚱选择任意一种植物的概率是 1.00（必然事件）。

如图2.10所示，累积概率分布通过阶梯函数的形式直观地展示了概率的累积过程。这种图形清晰地显示了随着植物类型的增加，累积概率如何逐步上升：从黑麦草的 0.64，到混合草甸的 0.93，最终达到三叶草的 1.00。阶梯函数的跳跃点正好对应着每个植物类型的概率值，让我们能够一目了然地看到“小于等于某个值”的概率是如何累积的。

累积概率分布图呈现为阶梯函数，在每个可能的取值处跳跃，跳跃的高度等于该取值的概率。这种分布特别有用，因为它：

1. 回答区间概率问题：我们可以直接读出  $P(X \leq 2) = 0.93$ ；
2. 计算任意事件的概率： $P(X > 2) = 1 - P(X \leq 2) = 1 - 0.93 = 0.07$ ；
3. 提供决策支持：如果我们想知道“蚂蚱选择营养价值较高的植物（黑麦草或混合草甸）的概率”，累积分布直接给出了答案：0.93。

在生态学中，累积概率分布广泛应用于风险评估、资源分配决策和种群管理策略制定。

#### R 语言中的概率分布函数家族

R 为各种概率分布提供了完整的函数家族，每个分布都包含四类核心函数：

- d\*: 概率密度/质量函数 (density) - 计算特定取值的概率密度或质量

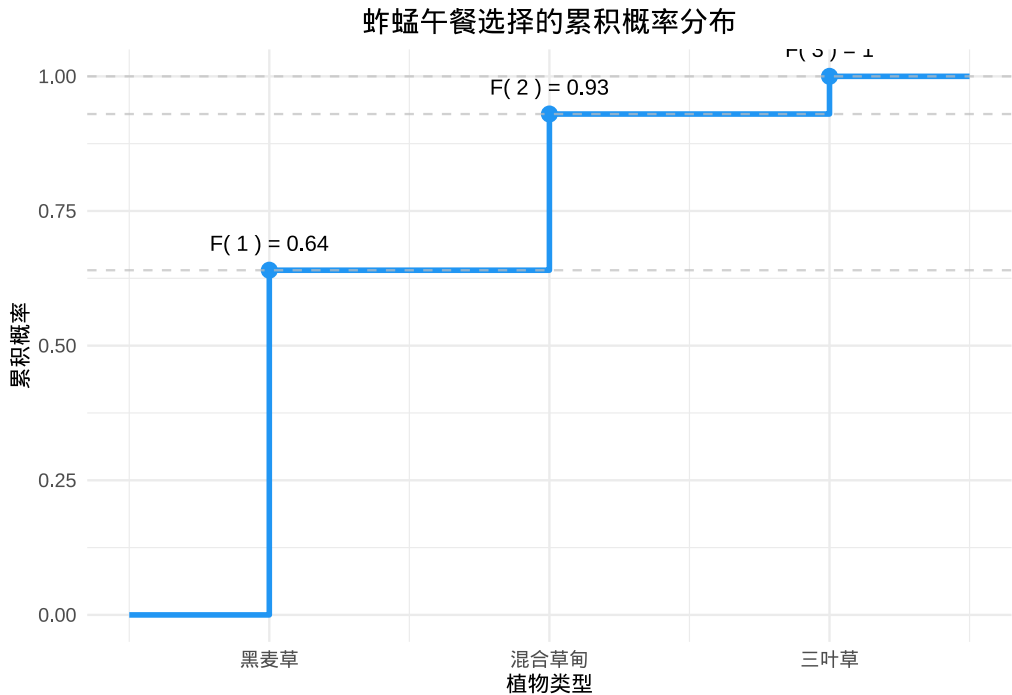


图 2.10 蚂蚱午餐选择的累积概率分布：阶梯函数展示概率的累积过程

- $p^*$ : 累积分布函数 (probability) - 计算小于等于某值的累积概率
- $q^*$ : 分位数函数 (quantile) - 根据概率值反推对应的分位数
- $r^*$ : 随机数生成函数 (random) - 从该分布中生成随机样本

例如，对于正态分布：

- `dnorm(x, mean, sd)` # 概率密度函数 - 计算  $x$  处的概率密度
- `pnorm(q, mean, sd)` # 累积分布函数 - 计算  $P(X \leq q)$  的概率
- `qnorm(p, mean, sd)` # 分位数函数 - 计算累积概率为  $p$  时的分位数
- `rnorm(n, mean, sd)` # 随机数生成 - 生成  $n$  个服从正态分布的随机数

这种统一的命名约定使得在 R 中学习和使用各种分布变得非常直观。生态学家可以轻松地进行概率计算、统计推断和随机模拟。

表 2.8 蚂蚱午餐选择的概率分布函数家族

| 分布类型   | 生态学应用场景    | R 函数前缀             | 主要参数      |
|--------|------------|--------------------|-----------|
| 二元选择分布 | 生物行为的是/否决策 | <code>binom</code> | 试验次数、成功概率 |

| 分布类型   | 生态学应用场景     | R 函数前缀                    | 主要参数      |
|--------|-------------|---------------------------|-----------|
| 计数分布   | 种群数量、事件发生次数 | <code>pois</code>         | 平均发生率     |
| 等待时间分布 | 生物事件间隔时间    | <code>geom, nbinom</code> | 成功概率、目标次数 |
| 多元选择分布 | 多物种竞争、资源分配  | <code>multinom</code>     | 试验次数、各类概率 |
| 连续分布   | 生物体尺寸、环境变量  | <code>norm, unif</code>   | 均值、标准差等   |

这些分布函数为生态学研究提供了强大的数学工具，帮助我们量化自然界的随机现象。

## 2.4 午餐菜单：离散随机变量的分布家族

我们已经成功地为蚱蜢的午餐偏好创建了一个数学模型。我们定义了一个随机变量  $X$ ，它就像一个聪明的代理人，将“吃哪种植物”这个文字问题，转化成了“ $X$  等于 1, 2, 还是 3?”这个数学问题。

离散型随机变量的核心特征就是：它的可能取值是有限个或可数的无限个（就像整数一样，可以一个一个数出来）。蚱蜢的选择 (1, 2, 3) 就是有限的、分立的点，而不是连续的光滑区间。我们整理出的那张概率表格，正是这个随机变量的概率分布。它如同一份“行为密码”，精确地告诉我们这只蚱蜢的习性。

不过，自然界的奥秘在于，许多看似不同的行为背后，可能隐藏着同一种“底层法则”。接下来，就让我们认识几位在生态学中无处不在的离散分布“明星”。

### 2.4.1 伯努利分布：一个“是”或“否”的终极问题

**故事开端：**现在，我不再关心蚱蜢具体吃了三种植物中的哪一种，而是问一个更简单的问题：它这次进食是否选择了黑麦草？结果只有两种：“是”（成功）或“否”（失败）。这种简化的视角让我们能够专注于最本质的二元选择问题。

**数学定义：**伯努利分布是描述单次伯努利试验结果的概率分布。伯努利试验具有三个基本特征：

1. 每次试验只有两种可能的结果（成功/失败）；
2. 每次试验中成功的概率  $p$  保持不变；
3. 各次试验相互独立。

**概率函数表达式：**伯努利分布的概率质量函数为：

$$P(X = x) = \begin{cases} p & \text{如果 } x = 1 \\ 1 - p & \text{如果 } x = 0 \end{cases}$$

或者更简洁地表示为：

$$P(X = x) = p^x(1 - p)^{1-x}, \quad x = 0, 1$$

其中， $X$  是伯努利随机变量， $p$  是成功的概率 ( $0 \leq p \leq 1$ )。

如图2.11所示，伯努利分布通过分面图的形式直观地展示了不同成功概率下的二元选择概率分布。该图清晰地显示了当成功概率  $p$  分别为 0.2、0.5、0.8 时，成功与失败两种结果的概率如何变化。这种可视化帮助我们理解伯努利分布的核心特征：对于任何给定的成功概率  $p$ ，失败的概率总是  $1 - p$ ，且两者之和始终为 1。

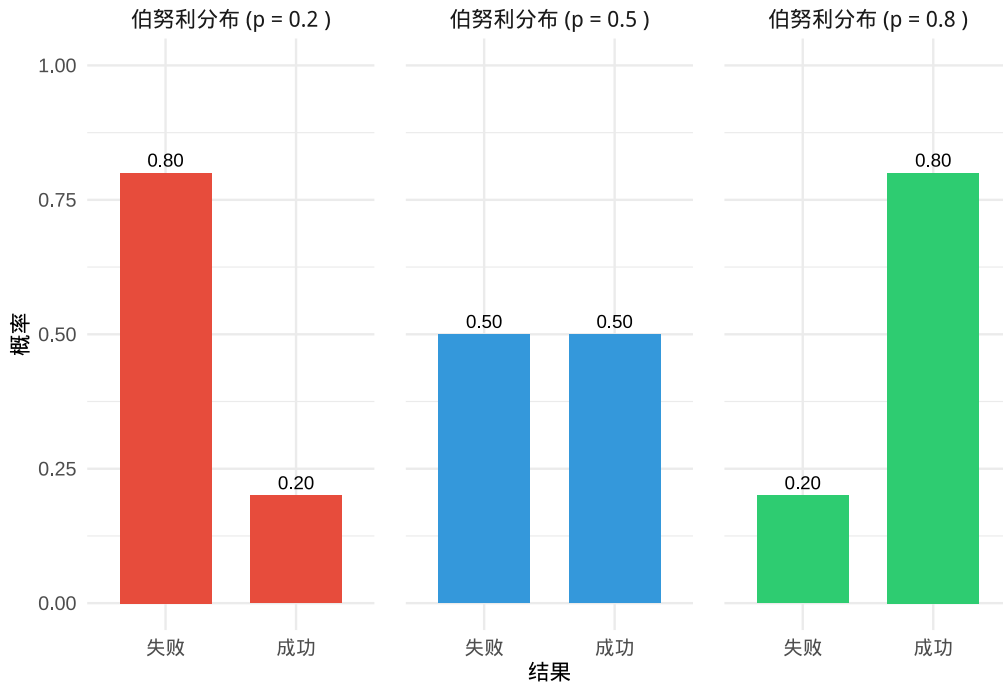


图 2.11 伯努利分布：不同成功概率下的二元选择概率分布

### 生态学肖像：

伯努利分布在生态学中无处不在，它描述的是那些具有二元结局的自然现象。在生态系统的各个层面，我们都能观察到这种简单的二元选择模式：一颗种子是否发芽，一只雏鸟能否成功活到离巢，一次野外调查中样方里是否出现目标物种，一只昆虫是否被天敌捕食，或者一片叶子是否被昆虫取食。这些看似简单的“是”或“否”问题，实际上构成了生态学中最基本的概率单元。

### 生态学意义：

伯努利分布虽然简单，但它是构建更复杂生态学模型的基础。许多重要的生态学分布，如二项分布、几何分布、负二项分布等，都是建立在多次独立伯努利试验的基础之上。理解伯努利分布有助于我们量化二元生态过程，将定性的生态现象转化为可量化的概率；建立基准模型，为更复杂的生态模型提供理论基础；进行统计推断，基于二元数据估计生态过程的参数；以及评估生态事件发生的可能性。

伯努利分布的美妙之处在于它的简洁性和普适性。尽管生态系统的复杂性远超简单的二元选择，但

通过将复杂问题分解为基本的伯努利试验，我们能够逐步建立起理解自然界的数学模型框架。

### 2.4.2 二项分布：重复“是非题”的计数法则

**故事延续：**现在，我连续观察蚱蜢的 10 次进食选择。每一次选择，都是一个独立的伯努利试验（是否吃黑麦草）。我关心的问题是：在这 10 次观察中，它总共有多大概率有恰好 7 次选择了黑麦草？或者，至少有 8 次？这种从单次试验扩展到多次试验的视角，引导我们认识二项分布。

**数学定义：**二项分布描述的是在  $n$  次独立的伯努利试验中，成功次数  $k$  的概率分布。二项试验满足以下条件：

1. 试验由  $n$  次相同的伯努利试验组成
2. 每次试验只有两种可能的结果（成功/失败）
3. 每次试验的成功概率  $p$  保持不变
4. 各次试验相互独立

**概率函数表达式：**二项分布的概率质量函数为：

$$P(X = k) = \binom{n}{k} p^k (1-p)^{n-k}, \quad k = 0, 1, 2, \dots, n$$

其中：

- $X$  是二项随机变量，表示成功的次数
- $n$  是试验总次数
- $k$  是成功次数
- $p$  是每次试验的成功概率
- $\binom{n}{k} = \frac{n!}{k!(n-k)!}$  是二项系数

**分布特性：**

- 期望值： $E[X] = np$
- 方差： $Var(X) = np(1-p)$
- 当  $p = 0.5$  时，分布对称；当  $p < 0.5$  时右偏， $p > 0.5$  时左偏

如图2.12所示，二项分布通过分面图的形式直观地展示了不同成功概率下多次试验中成功次数的概率分布。该图清晰地显示了当试验次数  $n = 10$  固定时，成功概率  $p$  分别为 0.2、0.5、0.8 时的概率分布特征：当  $p = 0.5$  时分布对称，当  $p = 0.2$  时分布右偏（成功次数集中在较小值），当  $p = 0.8$  时分布左偏（成功次数集中在较大值）。这种可视化帮助我们理解二项分布的形状如何随成功概率的变化而变化。

**生态学肖像：**

二项分布在生态学中广泛应用于计数型数据的建模。当我们播种 100 颗同种种子时，最终成功发芽的数量  $k$  服从二项分布，其中  $n = 100$ ， $p$  代表种子的发芽率。从一个大种群中随机捕获并标记 50 只

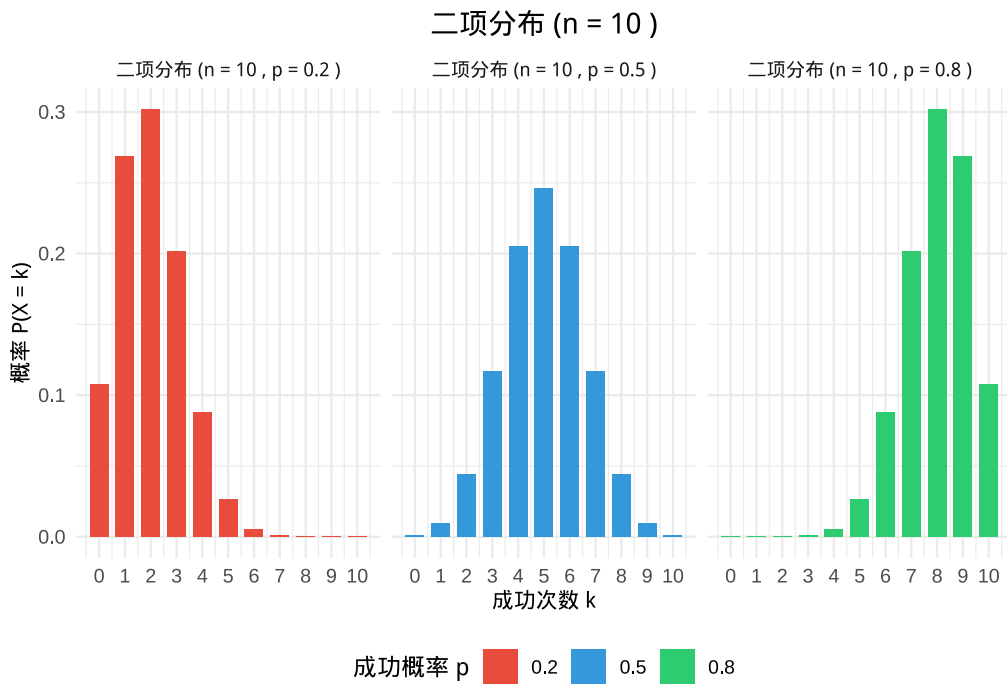


图 2.12 二项分布：不同成功概率下多次试验中成功次数的概率分布

动物，放回后再次随机捕获 50 只，其中被标记个体的数量  $k$  也服从二项分布，这正是标记重捕法的理论核心。在一片森林中，随机选择的 100 棵树中有病害的树木数量同样遵循二项分布规律。一次生态调查中，在 50 个样方中发现目标物种的样方数量，以及一个鸟类种群中在繁殖季节成功孵化的雏鸟数量，都可以用二项分布来精确描述。

#### 生态学意义：

二项分布是伯努利分布的自然扩展，它将单次二元事件的概率模型推广到多次独立试验的计数模型。在生态学研究中，二项分布具有广泛的应用价值。例如，在种群估计中，二项分布为标记重捕法提供了理论基础，帮助精确估计种群大小；在患病率研究中，它能够量化疾病在种群中的传播程度；在物种分布分析中，二项分布可用于描述物种在特定区域的出现概率；在繁殖成功率评估中，它为衡量物种的繁殖表现提供了科学依据；在抽样设计优化中，二项分布指导合理确定生态调查的样本大小。二项分布的优势在于其数学简洁性和适用广泛性，使得复杂的生态计数问题能够通过基本的概率计算得到解决，为生态学研究提供了强有力的量化工具。

### 2.4.3 多项式分布：多元选择的“全景图”

**故事视角扩展：**二项分布处理的是“是/否”的二元选择，但生态学中我们常常面临更复杂的多元选择。回到蚱蜢的午餐选择，现在我想知道：在 10 次进食观察中，它恰好有 6 次选择黑麦草、3 次选择混合草甸、1 次选择三叶草的概率是多少？这种对多个类别同时计数的需求，引导我们认识多项式分布。

**数学定义：**多项式分布是二项分布向多个类别的自然推广，描述的是在  $n$  次独立试验中，每个类别出现特定次数的联合概率分布。多项式试验满足以下条件：

1. 每次试验有  $k$  个可能的结果（类别）
2. 每个结果发生的概率分别为  $p_1, p_2, \dots, p_k$ , 且  $\sum_{i=1}^k p_i = 1$
3. 各次试验相互独立
4. 试验结果互斥且完备

**概率函数表达式：**多项式分布的概率质量函数为：

$$P(X_1 = x_1, X_2 = x_2, \dots, X_k = x_k) = \frac{n!}{x_1!x_2!\cdots x_k!} p_1^{x_1} p_2^{x_2} \cdots p_k^{x_k}$$

其中：

- $X_i$  表示第  $i$  个类别出现的次数
- $x_i$  是第  $i$  个类别的实际观察次数, 且  $\sum_{i=1}^k x_i = n$
- $n$  是总的试验次数
- $p_i$  是第  $i$  个类别发生的概率
- $\frac{n!}{x_1!x_2!\cdots x_k!}$  是多项式系数

**分布特性：**

- 每个类别的边际分布都是二项分布:  $X_i \sim \text{Binomial}(n, p_i)$
- 期望值:  $E[X_i] = np_i$
- 方差:  $Var(X_i) = np_i(1 - p_i)$
- 协方差:  $Cov(X_i, X_j) = -np_i p_j$  ( $i \neq j$ )
- 当  $k = 2$  时, 多项式分布退化为二项分布

如图2.13所示, 多项式分布通过分面图的形式直观地展示了蚱蜢 10 次观察中不同植物选择组合的概率分布。该图清晰地显示了四种典型组合模式 (6-3-1、5-4-1、7-2-1、4-4-2) 的概率分布, 其中每种组合都满足黑麦草、混合草甸、三叶草选择次数之和为 10。这种可视化帮助我们理解多项式分布如何描述多类别事件的联合概率分布, 以及不同组合模式对应的概率差异。

**生态学肖像：**

多项式分布在生态学中广泛应用于多类别计数数据的建模。一片森林中不同树种幼苗数量的联合分布能够描述植物群落的组成结构; 一次鸟类调查中不同物种出现次数的联合概率可以分析鸟类群落的多样性模式; 一个湖泊中不同浮游生物类群数量的分布有助于研究水生生态系统的营养结构; 一次昆虫采集样本中不同科属昆虫数量的分布能够量化昆虫群落的分类组成; 一个动物种群的年龄结构分布则可以分析种群动态的多类别特征。

**生态学意义：**

多项式分布是生态学中描述多变量计数数据的核心工具, 它帮助我们在群落生态学中量化物种组成的联合概率分布, 在多样性研究中分析多物种共存模式的概率特征, 在资源分配中研究生物对不同资源

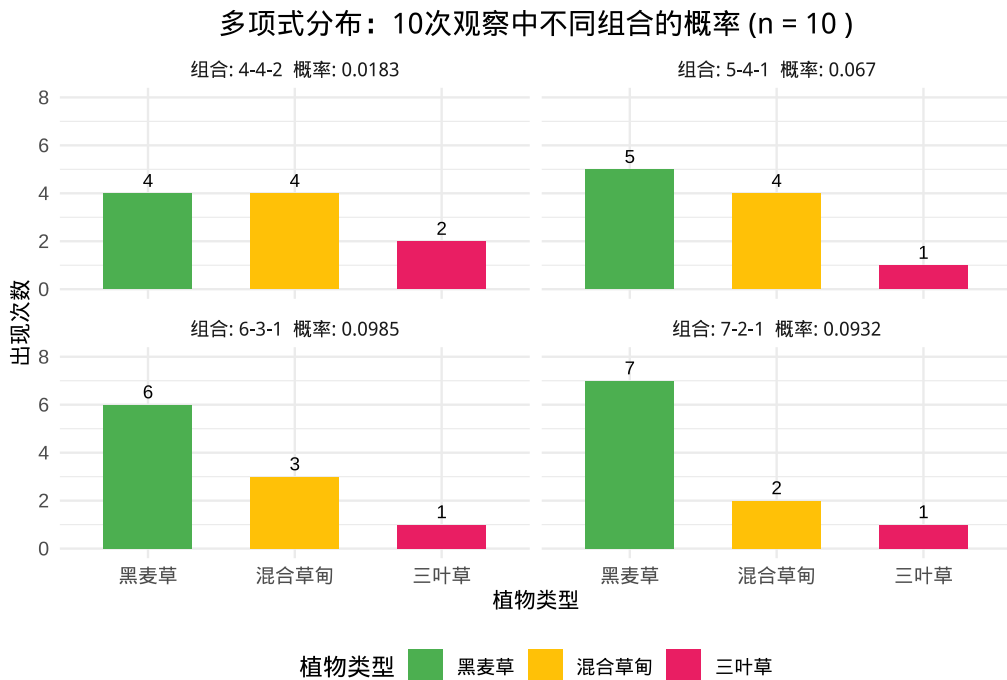


图 2.13 多项式分布：蚱蜢 10 次观察中不同植物选择组合的概率分布

的选择偏好，在种群结构中描述年龄、性别等多类别特征的分布，以及在生态监测中设计多变量生态调查的统计框架。多项式分布的美妙之处在于它能够同时捕捉多个生态类别的联合分布模式，为我们理解生态系统的复杂性和多样性提供了全面的数学框架。

#### 2.4.4 泊松分布：罕见事件的“低语者”

**故事新篇：**这次，我不固定观察次数，而是固定观察时间。我坐在草地上，用一个小时的时间，记录下这只蚱蜢做出剧烈警戒性跳跃的次数。这种跳跃并不频繁，可能一次，可能两次，也可能一次都没有。在一个很短的时间间隔内，发生一次跳跃的概率很小，且事件彼此独立。这种对稀有事件计数的需求，引导我们认识泊松分布。

**数学定义：**泊松分布描述的是在单位时间间隔、单位面积或单位体积内，稀有事件发生次数的概率分布。泊松过程满足以下条件：

1. 事件在任意小的时间间隔内发生的概率与时间间隔长度成正比
2. 在不相交的时间间隔内，事件发生次数相互独立
3. 事件在任意时间点发生的概率相同（平稳性）
4. 在极短时间间隔内，发生两次或以上事件的概率可以忽略

**概率函数表达式：**泊松分布的概率质量函数为：

$$P(X = k) = \frac{\lambda^k e^{-\lambda}}{k!}, \quad k = 0, 1, 2, \dots$$

其中：

- $X$  是泊松随机变量，表示事件发生的次数
- $\lambda$  是单位时间（或单位面积/体积）内事件发生的平均次数
- $k$  是实际观察到的事件次数
- $e$  是自然对数的底（约等于 2.71828）

**分布特性：**

- 期望值： $E[X] = \lambda$
- 方差： $Var(X) = \lambda$ （期望等于方差是泊松分布的重要特征）
- 当  $\lambda$  较小时，分布右偏；当  $\lambda$  增大时，分布逐渐接近正态分布
- 泊松分布是二项分布在  $n \rightarrow \infty$ ,  $p \rightarrow 0$ , 且  $np = \lambda$  时的极限情况

为了直观展示泊松分布的特性，图2.14生成了不同平均发生率  $\lambda$  值下的概率分布可视化。清晰地展示了随着  $\lambda$  增大，分布形态从右偏逐渐趋于对称的过程，直观验证了泊松分布的数学特性。

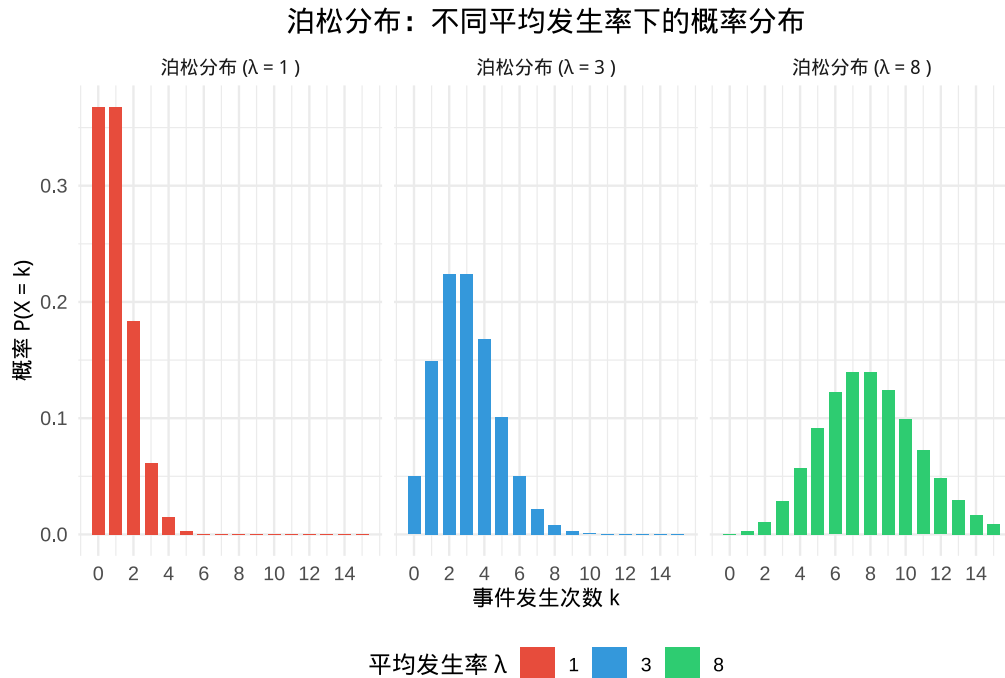


图 2.14 泊松分布：不同平均发生率下稀有事件发生次数的概率分布

**生态学肖像：**

泊松分布在生态学中广泛应用于稀有事件和空间分布的研究。一平方米的森林样地中某种珍稀兰花的株数能够描述稀有物种的空间分布模式；一台红外相机在一天内拍摄到某种神秘夜行兽的次数可以监测稀有动物的活动频率；一毫升海水中的浮游生物数量有助于量化微生物的密度分布；一片草原上单位面积内某种昆虫的巢穴数量能够研究昆虫的空间分布模式；一个湖泊中特定时间段内鱼类跃出水面的次数则可以记录稀有行为的发生频率。

**生态学意义：**

泊松分布是生态学中描述随机分布模式的重要工具，它帮助我们在物种分布研究中判断物种在空间上是否随机分布，通过单位面积内的个体数估计总体密度，在行为生态学中量化稀有行为的发生频率，在保护生物学中评估稀有物种的分布状况，以及在生态监测中设计合理的监测方案和样本大小。

泊松分布的美妙之处在于它用一个简单的参数  $\lambda$  就描述了复杂生态现象的概率规律，为我们理解自然界的随机性提供了简洁而强大的数学工具。

**2.4.5 几何分布：等待“第一次成功”的耐心**

**故事视角转换：**想象现在是清晨，蚱蜢开始了它的第一次觅食。我好奇的是：它需要尝试多少次，才能第一次成功吃到它最爱的黑麦草？也许第一次就成功了 ( $X=1$ )，也许前两次都去了别处，第三次才成功 ( $X=3$ )。这种对“第一次成功”等待时间的关注，引导我们认识几何分布。

**数学定义：**几何分布描述的是在一系列独立的伯努利试验中，首次获得成功所需要的试验次数。几何分布满足以下条件：

1. 试验由一系列相同的伯努利试验组成
2. 每次试验只有两种可能的结果（成功/失败）
3. 每次试验的成功概率  $p$  保持不变
4. 各次试验相互独立
5. 试验持续进行直到第一次成功出现

**概率函数表达式：**几何分布的概率质量函数为：

$$P(X = k) = (1 - p)^{k-1} p, \quad k = 1, 2, 3, \dots$$

其中：

- $X$  是几何随机变量，表示首次成功所需的试验次数
- $k$  是试验次数 ( $k \geq 1$ )
- $p$  是每次试验的成功概率
- $(1 - p)^{k-1}$  表示前  $k - 1$  次都失败的概率

**分布特性：**

- 期望值： $E[X] = \frac{1}{p}$
- 方差： $Var(X) = \frac{1-p}{p^2}$
- 无记忆性： $P(X > m + n | X > m) = P(X > n)$ ，即过去的失败不影响未来的成功概率
- 当  $p$  较小时，分布右偏严重；当  $p$  接近 1 时，分布集中在较小的  $k$  值

为了直观展示几何分布的特性，图2.15通过 R 代码生成了不同成功概率  $p$  值下的概率分布可视化。清晰地展示了随着成功概率  $p$  增大，分布形态从右偏严重逐渐向左侧集中的过程，直观验证了“成功概率越高，等待时间越短”的几何分布特性。

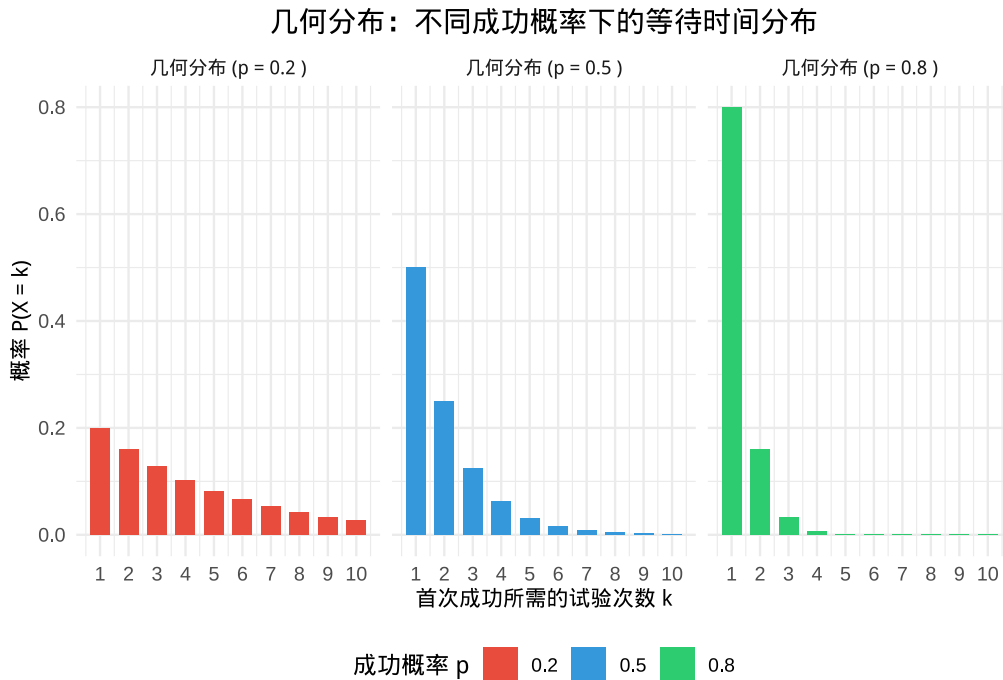


图 2.15 几何分布：不同成功概率下首次成功所需试验次数的概率分布

### 生态学肖像：

几何分布在生态学中常用以描述“等待时间”和“首次成功”的过程，具有广泛的应用。一只捕食者需要巡视多少个洞穴才能首次发现猎物，这可以量化捕食效率；一只传粉昆虫需要访问多少朵花才能首次成功采集花蜜，这有助于研究传粉行为的成功率；一颗种子需要经历多少个雨季才能首次成功萌发，这能够揭示种子萌发的环境依赖性；一只候鸟需要尝试多少次才能首次找到正确的迁徙路线，这可以分析学习行为的适应性；一个植物种群需要经过多少代才能首次出现抗病突变，这为研究进化过程中的关键事件提供了数学工具。

### 生态学意义：

几何分布是生态学中描述“等待过程”的重要工具，它帮助我们在行为生态学中量化动物行为的效率和成功率，在种群动态中分析种群恢复和重建的时间过程，在进化生态学中研究适应性特征的进化时间尺度，在保护生物学中评估濒危物种恢复的可能性，以及在生态恢复中预测生态系统恢复所需的时间。

几何分布的美妙之处在于它用一个简单的参数  $p$  就描述了复杂生态过程中的等待时间规律，特别是其“无记忆性”特征，使得我们可以专注于当前的生态过程而不受历史影响。

### 2.4.6 负二项分布：等待“最后一次成功”的耐心

**故事视角深化：**几何分布关注的是“第一次成功”，但生态学中我们常常需要更复杂的等待模式。比如，我想知道：这只蚱蜢需要尝试多少次，才能第三次成功吃到黑麦草？这种对“第 r 次成功”等待时间的关注，引导我们认识负二项分布。

**数学定义：**负二项分布描述的是在一系列独立的伯努利试验中，获得第 r 次成功所需要的试验次数。负二项分布满足以下条件：

1. 试验由一系列相同的伯努利试验组成
2. 每次试验只有两种可能的结果（成功/失败）
3. 每次试验的成功概率 p 保持不变
4. 各次试验相互独立
5. 试验持续进行直到第 r 次成功出现

**概率函数表达式：**负二项分布的概率质量函数为：

$$P(X = k) = \binom{k-1}{r-1} p^r (1-p)^{k-r}, \quad k = r, r+1, r+2, \dots$$

其中：

- $X$  是负二项随机变量，表示第 r 次成功所需的试验次数
- $k$  是总的试验次数 ( $k \geq r$ )
- $r$  是期望的成功次数
- $p$  是每次试验的成功概率
- $\binom{k-1}{r-1}$  是组合数，表示前  $k-1$  次试验中安排  $r-1$  次成功的方式数

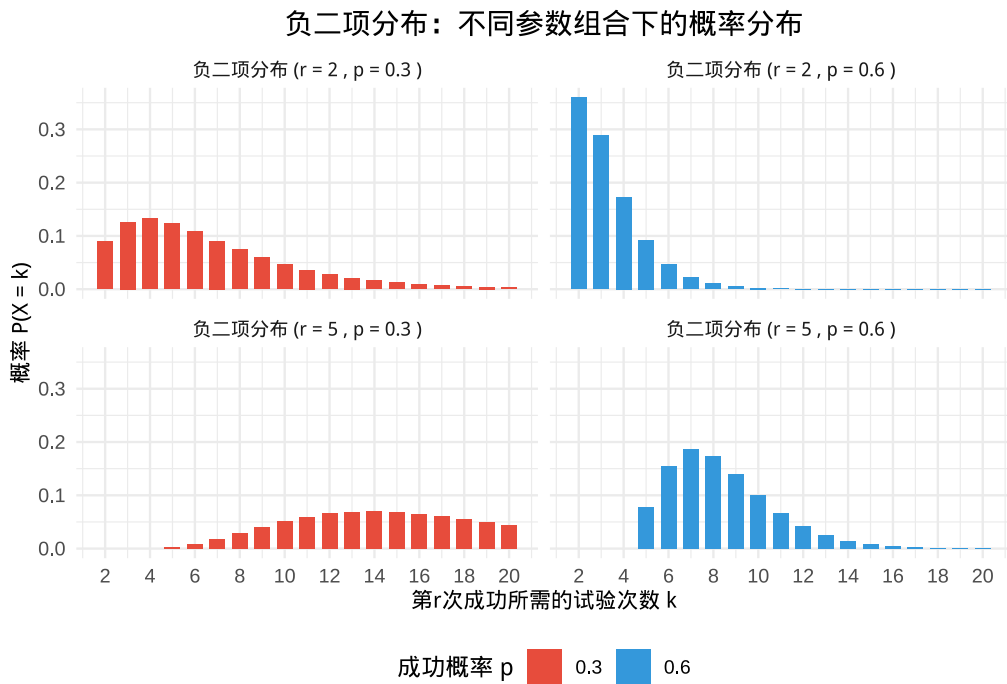
**分布特性：**

- 期望值： $E[X] = \frac{r}{p}$
- 方差： $Var(X) = \frac{r(1-p)}{p^2}$
- 当  $r = 1$  时，负二项分布退化为几何分布
- 分布形状取决于  $r$  和  $p$  的值，可以呈现不同的偏斜形态

为了直观展示负二项分布的特性，图2.16展示了不同参数组合下的概率分布。图中清晰地呈现了四种参数组合 ( $r = 2, p = 0.3$ ;  $r = 2, p = 0.6$ ;  $r = 5, p = 0.3$ ;  $r = 5, p = 0.6$ ) 对应的概率分布形态。可以观察到：当成功概率  $p$  较低时 (0.3)，分布向右偏斜，需要更多试验次数才能达到第 r 次成功；当成功概率  $p$  较高时 (0.6)，分布向左集中，所需试验次数较少。同时，随着成功次数目标  $r$  的增加，分布向右移动且变得更加分散，直观验证了负二项分布作为几何分布推广的数学特性。

**生态学肖像：**

负二项分布在生态学中广泛应用于需要多次成功才能达到目标的场景。一只捕食者需要捕获多少只

图 2.16 负二项分布：不同参数组合下第  $r$  次成功所需试验次数的概率分布

猎物才能满足其能量需求（第  $r$  次成功捕食），这描述了捕食效率的累积效应。一个植物种群需要经过多少代才能积累到足够的有利突变（第  $r$  次有利突变），这有助于分析进化过程的累积性。一次生态调查需要设置多少个样方才能第  $r$  次发现目标稀有物种，这有助于优化稀有物种监测方案。一个生态系统需要经历多少次干扰才会达到第  $r$  次显著的结构变化，这有助于研究生态系统的累积响应。一个保护项目需要实施多少项措施才能第  $r$  次观察到种群恢复迹象，这有助于评估保护措施的有效性。

#### 生态学意义：

负二项分布是几何分布的自然推广，它将单次成功的等待时间模型扩展到多次成功的累积等待时间模型。在生态学研究中，负二项分布帮助我们：

1. **资源管理**：预测达到特定资源积累目标所需的时间或努力
2. **种群监测**：设计合理的监测方案来发现稀有物种
3. **保护规划**：评估保护措施实施的时间框架和效果
4. **进化研究**：分析适应性特征积累的时间尺度
5. **风险评估**：评估生态系统达到临界状态所需的干扰次数

负二项分布的美妙之处在于它能够描述生态系统中“累积成功”的复杂模式，为我们理解生态过程的渐进性和累积性提供了有力的数学工具。

## 2.5 午餐法则：连续随机变量的分布家族

### 从跳跃到体长：描绘连续世界的概率地图

我们已经为蚱蜢的“午餐选择”绘制了一张清晰的概率分布图，那是由一根根独立的柱子组成的，因为它的选择是分门别类的（植物 A、B、C）。这类变量被称为离散型随机变量，它们的取值是可数的。

但现在，让我们拿起尺子和高速摄像机，关注一些更细微、更流畅的特征。比如，这只蚱蜢的体长是多少厘米？或者它受到惊吓时，一次跳跃的距离是多少米？这些数值，可以是 3.15 厘米，也可以是 3.151 厘米，甚至在理论上可以是 3.1515926... 厘米。它们的取值充满了无限的可能性，充满了连续性。

连续型随机变量的核心特征就是：它的可能取值构成一个连续的区间，无法一一列举。在生态学中，绝大多数测量值都是连续的——温度、湿度、海拔、生物量、生长速率等等。这些变量构成了我们对自然界的量化认知基础。

### 从柱子到光滑的曲线：概率密度函数

当我们面对这样一个连续型随机变量时，之前那种“给每个特定值分配一个概率”的方法就失效了。因为任何一个精确值的概率（比如  $P(\text{体长} = 3.15 \text{ 厘米})$ ）在无限的可能性面前，都几乎等于零！这就像问“在一根无限长的线上，恰好选中某个点的概率是多少？”——答案是零。

那么，我们该如何描述它的概率分布呢？聪明的做法是，我们不再关心“点”的概率，而是关心“区间”的概率。我们问的是：“这只蚱蜢的体长在 3.1 厘米到 3.2 厘米之间的概率是多少？”这时，概率就不再是柱子的高度，而是曲线下某一块区域的面积。

这条至关重要的曲线，就叫做概率密度函数曲线。曲线本身在任意一点的高度（概率密度）并不直接代表概率，但它决定了概率的大小：曲线越高、越“胖”的区域，对应的区间概率就越大。曲线下的总面积，被定义为 1，代表了所有可能性的总和（100%）。

**数学定义：**对于连续随机变量  $X$ ，其概率密度函数  $f(x)$  满足：

1. 非负性： $f(x) \geq 0$  对所有  $x$
2. 规范性： $\int_{-\infty}^{\infty} f(x)dx = 1$
3. 区间概率： $P(a \leq X \leq b) = \int_a^b f(x)dx$

### 累积分布函数：连续世界的“阶梯”

与离散随机变量类似，连续随机变量也有其累积分布函数，定义为：

$$F(x) = P(X \leq x) = \int_{-\infty}^x f(t)dt$$

累积分布函数  $F(x)$  给出了随机变量取值小于或等于  $x$  的概率。它具有以下重要性质：

1. 单调不减：如果  $x_1 < x_2$ ，则  $F(x_1) \leq F(x_2)$
2. 边界条件： $\lim_{x \rightarrow -\infty} F(x) = 0$ ,  $\lim_{x \rightarrow \infty} F(x) = 1$
3. 右连续性： $F(x)$  在任意点  $x$  处右连续

通过累积分布函数，我们可以方便地计算各种概率：

- $P(a < X \leq b) = F(b) - F(a)$
- $P(X > x) = 1 - F(x)$

为了直观理解概率密度函数与累积分布函数的关系，图2.17展示了标准正态分布下 PDF 和 CDF 的对比。左侧的概率密度函数（PDF）呈现经典的钟形曲线，曲线下的面积代表概率，其中蓝色填充区域直观展示了特定区间内的概率大小。右侧的累积分布函数（CDF）呈现 S 形曲线，从 0 单调递增到 1，每个点的函数值表示随机变量取值小于或等于该点的概率。通过对这两个图形，可以清晰地看到 PDF 曲线下的面积如何累积形成 CDF 曲线，以及 CDF 的单调性和边界条件如何体现连续随机变量的概率特性。

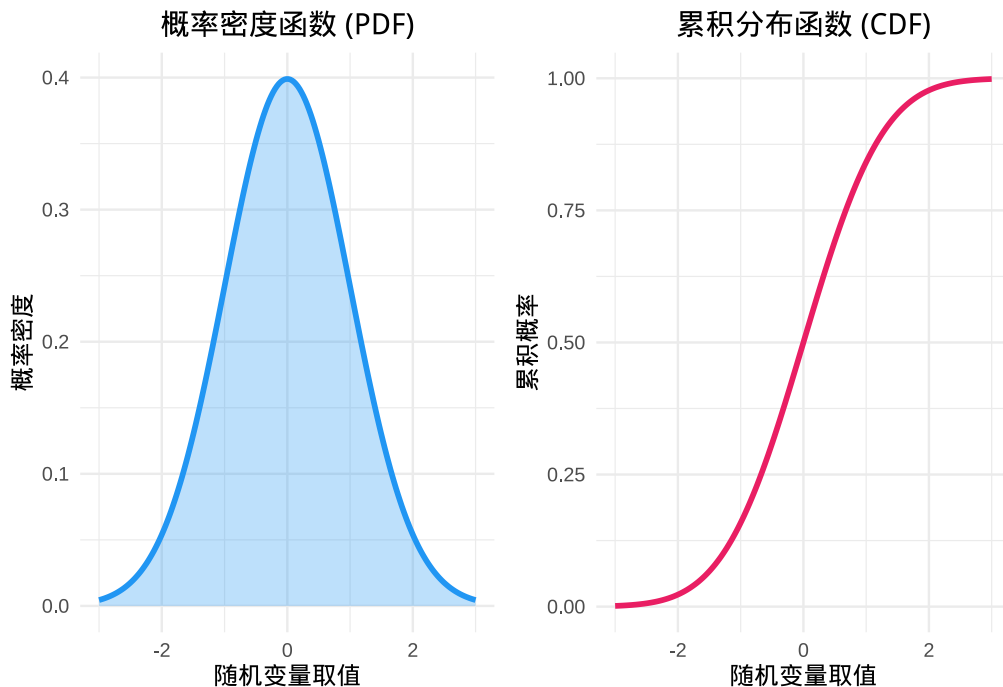


图 2.17 连续随机变量的概率密度函数与累积分布函数对比

在连续变量的世界里，有几个声名显赫的“家族”，它们以特定的形态描绘了不同自然现象背后的概率规律。每个分布都有其独特的数学特性和生态学意义，共同构成了我们理解连续生态变量的工具箱。

### 2.5.1 均匀分布：纯粹的平等

**故事引入：**想象这只蚱蜢找到了一片巨大且质地均匀的叶子，它准备开始享用午餐。这片叶子从叶尖到叶柄的长度是 10 厘米。蚱蜢会随机选择一个位置开始进食。它第一口吃的位置到叶尖的距离是多少厘米？可能是 2 厘米，也可能 5 厘米，或者 8 厘米，每个距离被选中的可能性完全相同。这种“完全随机”的选择过程，就是均匀分布的典型场景。

**数学定义：**均匀分布描述的是在区间  $[a, b]$  内，所有取值等可能出现的概率分布。其概率密度函数为：

$$f(x) = \begin{cases} \frac{1}{b-a} & \text{如果 } a \leq x \leq b \\ 0 & \text{其他} \end{cases}$$

### 分布特性：

- 期望值:  $E[X] = \frac{a+b}{2}$
- 方差:  $Var(X) = \frac{(b-a)^2}{12}$
- 在区间  $[a, b]$  内, 概率密度恒定

### 生态学肖像：

在生态学研究中, 均匀分布具有重要的应用价值。在觅食行为研究中, 蚱蜢在均匀资源上的随机选择行为服从均匀分布。当食物资源分布均匀时, 动物的觅食位置选择可以建模为均匀分布。在行为生态学实验中, 动物的随机选择行为可以用均匀分布来描述, 这为理解生物在理想化环境中的决策模式提供了理论基准。

为了直观展示均匀分布的特性, 图2.18展示了三种不同区间参数下的概率密度函数。图中清晰地呈现了均匀分布的核心特征: 在定义区间内概率密度为常数, 区间外概率密度为零。三个分布分别展示了不同区间参数的影响:  $U(0,1)$  为标准均匀分布, 概率密度为 1;  $U(-2,2)$  为较宽区间, 概率密度降低为 0.25;  $U(1,3)$  为偏移区间, 概率密度为 0.5。通过对比可以直观理解均匀分布的“等可能性”特性, 以及区间宽度与概率密度的反比关系。

均匀分布: 不同区间参数的概率密度函数

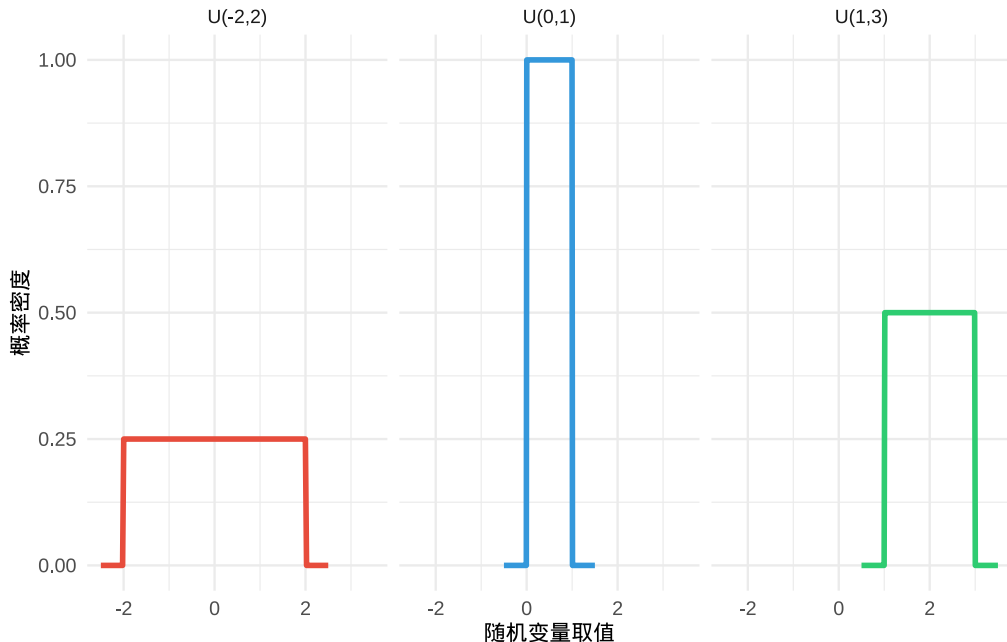


图 2.18 均匀分布: 不同区间参数下的概率密度函数

### 2.5.2 指数分布：等待的艺术

**故事引入：**现在让我们关注时间维度。这只蚱蜢正在草地上专心享用午餐，但它必须时刻保持警惕。下一次被天敌（如鸟类）发现需要等待多长时间？可能是几分钟，也可能是几十分钟。这种“等待被捕食”的时间间隔，正是指数分布的用武之地。在蚱蜢的午餐过程中，这种生存威胁的随机出现模式可以用指数分布来精确描述。

**数学定义：**指数分布描述的是泊松过程中事件发生的时间间隔。其概率密度函数为：

$$f(x) = \lambda e^{-\lambda x}, \quad x \geq 0$$

其中  $\lambda > 0$  是速率参数，表示单位时间内事件发生的平均次数。

**分布特性：**

- 期望值： $E[X] = \frac{1}{\lambda}$
- 方差： $Var(X) = \frac{1}{\lambda^2}$
- 无记忆性： $P(X > s + t | X > s) = P(X > t)$ ，即过去的等待不影响未来的等待时间
- 分布呈右偏，具有长尾特征

**生态学肖像：**

指数分布在生态学中有着广泛的应用价值。它能够描述蚱蜢在觅食过程中被捕食者发现的等待时间，反映捕食事件的随机性特征，因而可用于捕食风险建模。指数分布的无记忆性特性尤为重要，它表明过去的等待时间不会影响未来的风险概率，这为生存策略研究提供了理论基础，有助于我们深入理解蚱蜢的警戒行为模式。在行为时间模式分析中，指数分布可以用来描述动物在危险环境中的活动间隔，捕捉它们在风险环境中的行为节律。在种群生存分析领域，特别是在高捕食压力的环境下，个体的生存时间分布通常近似于指数分布。这种特性为研究种群动态和制定保护策略提供了重要的数学工具。

为了直观展示指数分布的特性，图2.19展示了三种不同速率参数下的概率密度函数。图中清晰地呈现了指数分布的核心特征：右偏形态和指数衰减模式。三个分布分别展示了不同速率参数的影响： $Exp(=0.5)$  为低速率分布，曲线下降缓慢，表示事件发生频率较低，等待时间较长； $Exp(=1)$  为中等速率分布； $Exp(=2)$  为高速率分布，曲线急剧下降，表示事件发生频繁，等待时间较短。通过对比可以直观理解指数分布的“无记忆性”特性，以及速率参数与等待时间期望值的反比关系。

### 2.5.3 正态分布（高斯分布）：自然界的“钟形”法则

**故事引入：**仔细观察这只蚱蜢的午餐习惯，你会发现每次它吃的食量（如叶片面积或花蜜量）存在自然的变异。大部分情况下，它吃的量都集中在某个平均值附近，极端过多或过少的摄食行为相对少见。这种“中间多，两头少”的分布模式，就是正态分布的典型特征。蚱蜢的摄食行为受到多种微小因素的共同影响，最终呈现出这种经典的钟形分布。

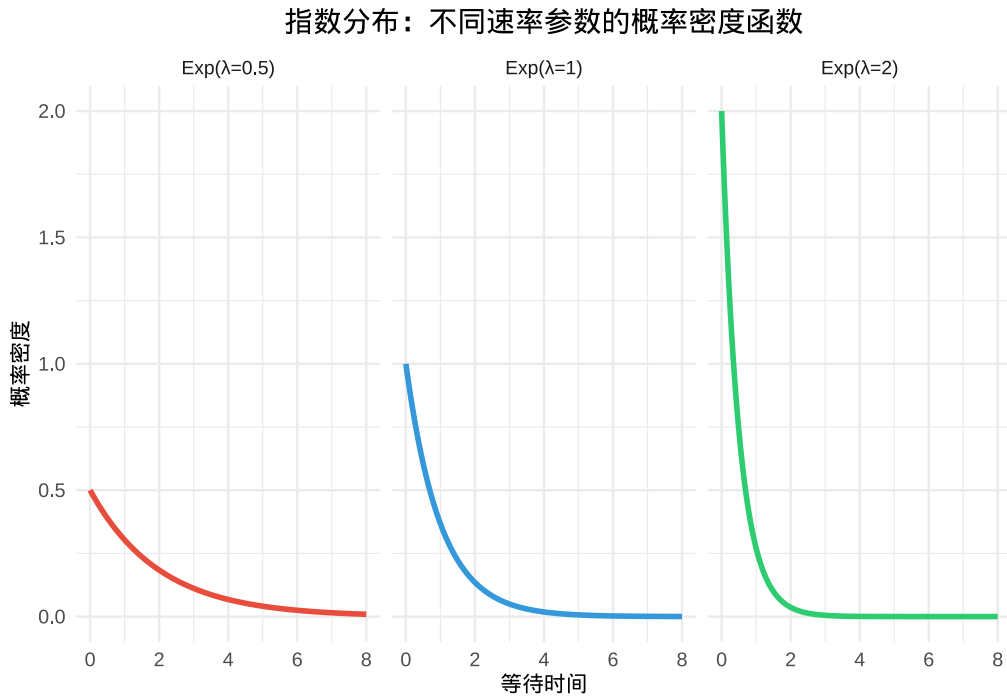


图 2.19 指数分布：不同速率参数下等待时间的概率密度函数

**数学定义：**正态分布的概率密度函数为：

$$f(x) = \frac{1}{\sqrt{2\pi}\sigma} e^{-\frac{(x-\mu)^2}{2\sigma^2}}, \quad -\infty < x < \infty$$

其中  $\mu$  是均值（决定分布的中心位置）， $\sigma$  是标准差（决定分布的离散程度）。

**分布特性：**

- 期望值： $E[X] = \mu$
- 方差： $Var(X) = \sigma^2$
- 对称性：分布关于均值  $\mu$  对称
- 68-95-99.7 法则：约 68% 的数据落在  $\mu \pm \sigma$  内，95% 落在  $\mu \pm 2\sigma$  内，99.7% 落在  $\mu \pm 3\sigma$  内
- 中心极限定理：大量独立同分布的随机变量的和（或均值）近似服从正态分布

**生态学肖像：**

正态分布在生态学研究中扮演着重要角色。在摄食行为研究中，蚱蜢每次进食的食物量服从正态分布，这种分布模式反映了其稳定的摄食行为特征和生理调节机制。通过营养摄入分析，我们可以利用正态分布来描述个体间的摄食量差异，这种差异模式有助于理解种群内部的资源分配和竞争关系。在行为生态学领域，动物的许多连续行为特征，如觅食时间、移动距离等，往往近似正态分布，这为行为模式的量化分析提供了数学基础。在种群能量学研究中，通过摄食量的正态分布特征，我们可以更准确地估计种群的能量摄入模式，为生态系统能量流动研究提供重要依据。

为了直观展示正态分布的特性，图2.20展示了三种不同参数组合下的概率密度函数。图中清晰地呈现了正态分布的核心特征：经典的钟形曲线和对称性。三个分布分别展示了参数变化的影响： $N(0,1)$  为标准正态分布，呈现理想的钟形形态； $N(0,4)$  为标准差增大的分布，曲线更加扁平分散，体现了标准差对分布离散程度的影响； $N(2,1)$  为均值右移的分布，曲线整体向右平移，体现了均值对分布中心位置的决定作用。通过对比可以直观理解正态分布参数的意义，以及 68-95-99.7 法则在分布形态中的体现。

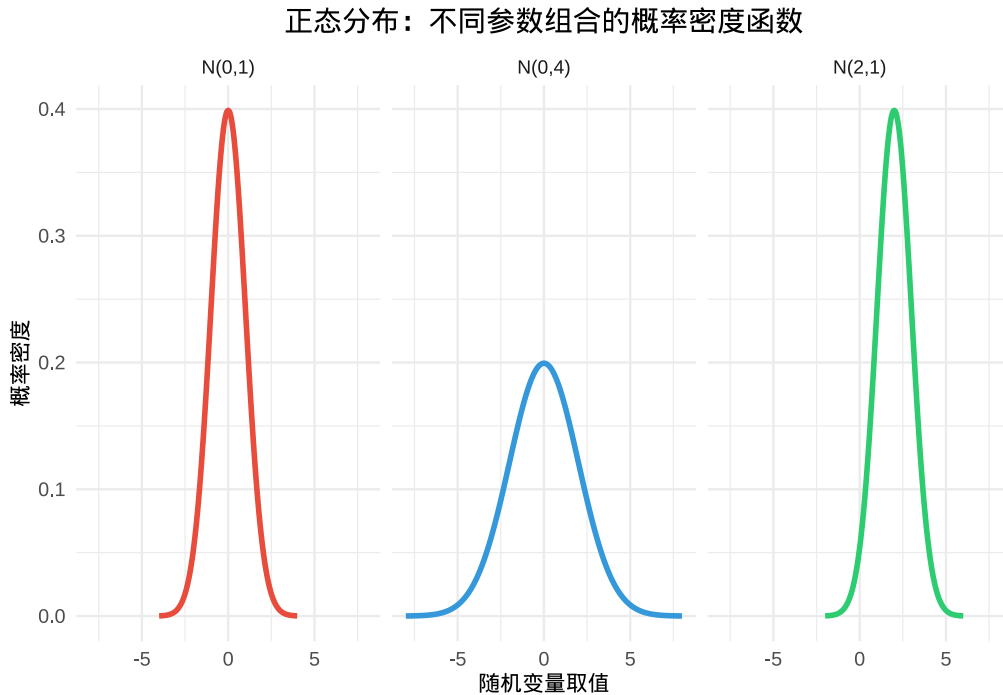


图 2.20 正态分布：不同参数组合下的概率密度函数

#### 2.5.4 威布尔分布：生存分析的“时间法则”

**故事引入：**观察这只蚱蜢的生存历程，你会发现它的死亡风险并非一成不变。在生命的早期，由于适应环境的能力较弱，死亡风险相对较高；进入成年期后，风险逐渐稳定；而到了老年期，由于生理机能衰退，死亡风险又会显著上升。这种随时间变化的死亡风险模式，正是威布尔分布能够精确描述的。蚱蜢的生存时间受到多种风险因素的综合影响，最终呈现出这种“浴盆曲线”的风险特征。

**数学定义：**威布尔分布的概率密度函数为：

$$f(x) = \frac{k}{\lambda} \left(\frac{x}{\lambda}\right)^{k-1} e^{-(x/\lambda)^k}, \quad x \geq 0$$

其中  $k$  是形状参数（决定分布形态）， $\lambda$  是尺度参数（决定分布范围）。

**分布特性：**

- 期望值： $E[X] = \lambda\Gamma(1 + 1/k)$
- 方差： $Var(X) = \lambda^2[\Gamma(1 + 2/k) - \Gamma^2(1 + 1/k)]$

- 生存函数:  $S(x) = e^{-(x/\lambda)^k}$
- 风险函数:  $h(x) = \frac{k}{\lambda} \left(\frac{x}{\lambda}\right)^{k-1}$
- 当  $k = 1$  时退化为指数分布 (恒定风险)
- 当  $k > 1$  时风险随时间增加 (老化效应)
- 当  $k < 1$  时风险随时间减少 (早期适应期)

### 生态学肖像:

威布尔分布在生态学研究中具有重要的应用价值。在生存分析研究中，蚱蜢的生存时间服从威布尔分布，这种分布能够精确反映其生命周期中风险变化的动态模式，包括早期适应期的高风险和老年期的生理衰退。通过威布尔分布，我们可以在种群动态建模中更准确地估计种群的死亡率模式和期望寿命，为种群管理提供科学依据。在保护生物学领域，濒危物种的生存时间分析有助于制定有效的保护策略，威布尔分布的风险函数能够揭示不同生命阶段的保护重点。此外，在物候学研究中，植物开花时间、动物迁徙时间等时间事件的分析也可以借助威布尔分布来描述其时间分布特征。

为了直观展示威布尔分布的特性，图2.21展示了蚱蜢生存时间分布的直方图与理论曲线的对比。图中浅蓝色直方图显示了模拟的蚱蜢生存时间数据分布，红色实线为理论威布尔分布的概率密度曲线，蓝色虚线为生存函数曲线。通过对比可以直观验证模拟数据与理论分布的拟合程度，同时生存函数曲线清晰地展示了蚱蜢种群随时间递减的生存概率，体现了威布尔分布在生存分析中的实际应用价值。

蚱蜢生存时间分布（威布尔分布）

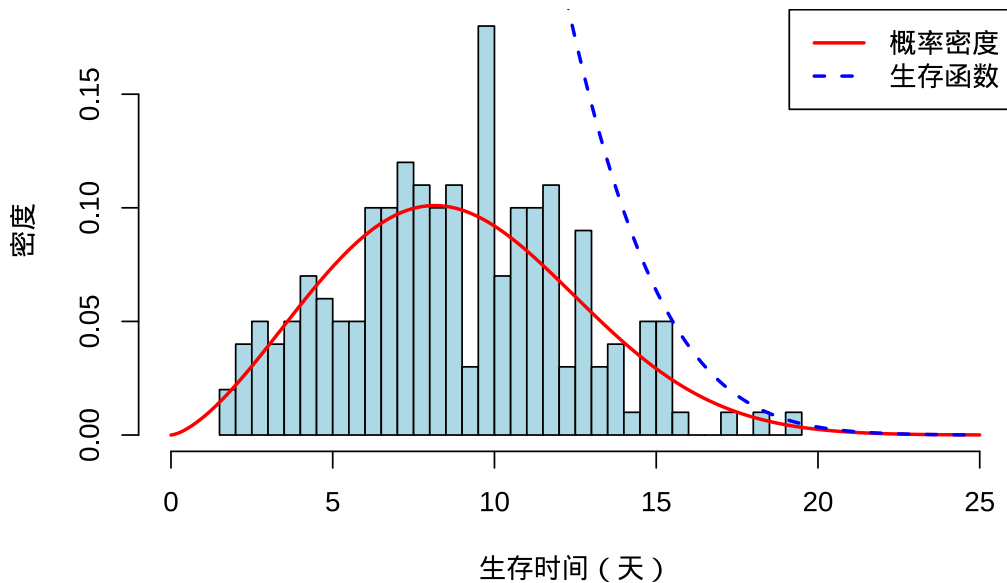


图 2.21 威布尔分布可视化：蚱蜢生存时间分布的直方图与理论曲线对比

表 2.9 展示了通过最大似然估计得到的威布尔分布参数估计结果，包括形状参数和尺度参数的点估计值、标准误和置信区间。

为了深入理解威布尔分布形状参数对分布形态和风险模式的影响，图2.22展示了四种不同形状参数

表 2.9 威布尔分布参数估计结果

|       | x        |
|-------|----------|
| shape | 2.706697 |
| scale | 9.885058 |

下概率密度函数与风险函数的对比。图中四个子图分别对应形状参数  $k=0.5$ 、 $1$ 、 $2$ 、 $3$  的情况，每个子图中深红色实线为概率密度曲线，蓝色虚线为风险函数曲线。通过对比可以清晰地观察到：当  $k<1$  时（如  $k=0.5$ ），风险函数随时间递减，体现早期适应期的高风险特征；当  $k=1$  时，风险函数为常数，威布尔分布退化为指数分布；当  $k>1$  时（如  $k=2, 3$ ），风险函数随时间递增，体现老化效应。这种可视化直观地展示了威布尔分布在描述不同风险模式时的灵活性。

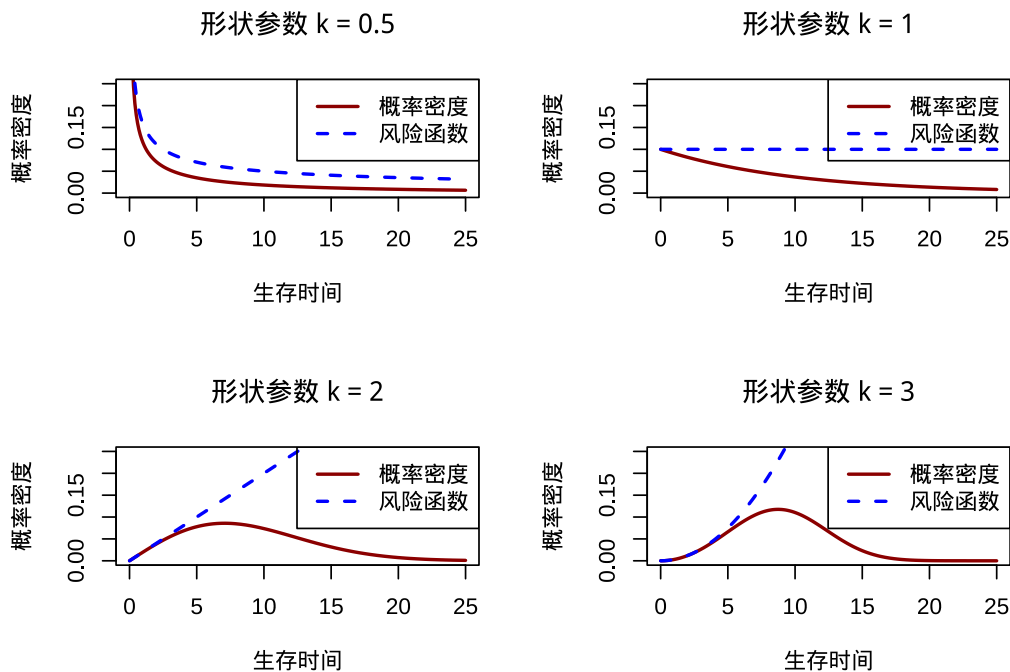


图 2.22 不同形状参数的威布尔分布比较：概率密度函数与风险函数的四种模式对比

### 2.5.5 伽马分布：更一般的等待时间模型

**故事引入：**指数分布描述了“第一次事件发生”的等待时间，但如果我们需要描述“第  $r$  次事件发生”的等待时间呢？比如，这只蚱蜢需要等待多久才能完成第三次成功的觅食？伽马分布提供了这个问题的答案。

**数学定义：**伽马分布的概率密度函数为：

$$f(x) = \frac{\beta^\alpha}{\Gamma(\alpha)} x^{\alpha-1} e^{-\beta x}, \quad x > 0$$

其中  $\alpha > 0$  是形状参数， $\beta > 0$  是速率参数， $\Gamma(\alpha)$  是伽马函数。

### 分布特性：

- 期望值:  $E[X] = \frac{\alpha}{\beta}$
- 方差:  $Var(X) = \frac{\alpha}{\beta^2}$
- 当  $\alpha = 1$  时, 伽马分布退化为指数分布
- 当  $\alpha$  为整数时, 伽马分布描述的是第  $\alpha$  次泊松事件发生的等待时间
- 分布形状灵活, 可以呈现不同的偏斜形态

### 生态学肖像：

伽马分布在生态学中广泛应用于描述累积过程和增长模式。在行为生态学中, 伽马分布能够精确描述完成多次成功行为所需的总时间, 如捕食者需要捕获多只猎物才能满足能量需求的过程。在生物量积累研究中, 伽马分布适用于建模植物生长和动物体重增加的渐进过程, 这些过程往往呈现累积性特征。在环境生态学中, 特定时间段内的降雨量分布可以用伽马分布来描述, 这种分布能够捕捉降水事件的累积效应。在种群动态研究中, 伽马分布能够刻画在一定时间内种群数量的累积增长模式, 为理解种群扩张过程提供数学工具。

为了直观展示伽马分布的特性, 图2.23展示了三种不同参数组合下的概率密度函数。图中清晰地呈现了伽马分布作为指数分布一般化形式的特征: Gamma(1,1) 退化为指数分布, 呈现右偏形态, 描述第一次事件等待时间; Gamma(2,1) 为中等形状分布, 曲线更加对称, 描述第二次事件等待时间; Gamma(3,2) 为复杂形状分布, 曲线更加集中, 描述第三次事件等待时间。通过对比可以直观理解伽马分布形状参数对分布形态的影响, 以及伽马分布在描述累积等待时间过程中的灵活性。

**伽马分布：不同参数组合的概率密度函数**

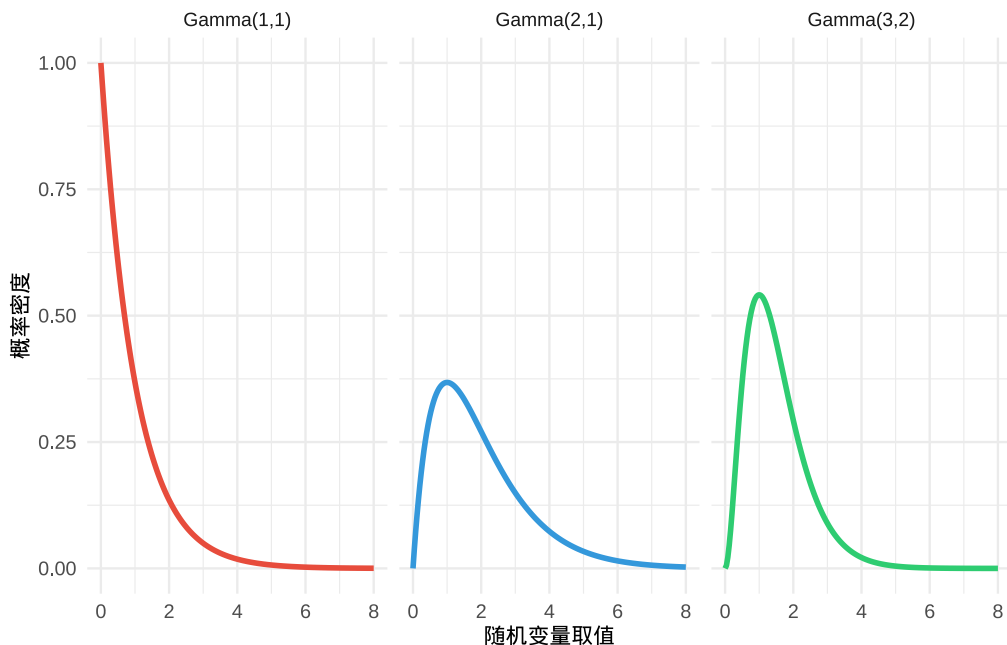


图 2.23 伽马分布：不同参数组合下的概率密度函数

### 2.5.6 贝塔分布：比例变量的天然选择

**故事引入：**在蚱蜢的日常生活中，时间分配是一个重要的生态学问题。这只蚱蜢在一天 24 小时中，用于觅食（午餐和其他进食）的时间比例是多少？可能是 30%，也可能是 60%，这个比例值总是在 0 和 1 之间。贝塔分布是描述这类比例变量的理想选择，它能够灵活地刻画蚱蜢在不同环境条件下时间分配模式的多样性。

**数学定义：**贝塔分布的概率密度函数为：

$$f(x) = \frac{x^{\alpha-1}(1-x)^{\beta-1}}{B(\alpha, \beta)}, \quad 0 \leq x \leq 1$$

其中  $\alpha > 0$  和  $\beta > 0$  是形状参数， $B(\alpha, \beta)$  是贝塔函数。

**分布特性：**

- 期望值： $E[X] = \frac{\alpha}{\alpha+\beta}$
- 方差： $Var(X) = \frac{\alpha\beta}{(\alpha+\beta)^2(\alpha+\beta+1)}$
- 分布形状极其灵活，可以呈现 U 形、J 形、钟形等多种形态
- 当  $\alpha = \beta = 1$  时，贝塔分布退化为均匀分布
- 贝塔分布是二项分布和伯努利分布的共轭先验

**生态学肖像：**

贝塔分布在生态学中具有广泛的应用价值，特别适合描述比例变量的分布特征。在行为生态学中，贝塔分布能够精确刻画蚱蜢一天中用于觅食、休息、警戒等不同行为的时间比例分配模式。这种分布同样适用于建模蚱蜢对不同植物种类的资源选择偏好，通过比例值反映其选择倾向的强度。在能量预算分析方面，贝塔分布帮助研究者通过时间分配比例来深入探讨蚱蜢的能量摄入与消耗平衡机制。贝塔分布的灵活性使其特别适合描述动物在不同环境条件下的适应性行为调整，能够捕捉行为模式随环境变化的动态特征。

为了直观展示贝塔分布的特性，图2.24展示了三种不同参数组合下的概率密度函数。图中清晰地呈现了贝塔分布在 [0,1] 区间内的形态多样性：Beta(0.5,0.5) 为 U 形分布，两端概率密度高，表示极端值更可能，体现行为选择的极端倾向；Beta(2,2) 为对称钟形分布，中心概率密度高，表示中间值更可能，体现行为选择的平衡模式；Beta(5,1) 为右偏分布，右侧概率密度高，表示高比例值更可能，体现行为选择的偏向性。通过对比可以直观理解贝塔分布形状参数对分布形态的灵活控制能力。

### 2.5.7 正态分布的魔力：中心极限定理

在我们探索蚱蜢午餐行为的过程中，正态分布以其优雅的钟形曲线给我们留下了深刻印象。但正态分布的真正魔力远不止于此——它拥有一个被称为“统计学的魔法石”的非凡性质：**中心极限定理**。这个定理解释了为什么正态分布在自然界和统计学中无处不在，即使原始数据本身并不服从正态分布。

### 贝塔分布：不同参数组合的概率密度函数

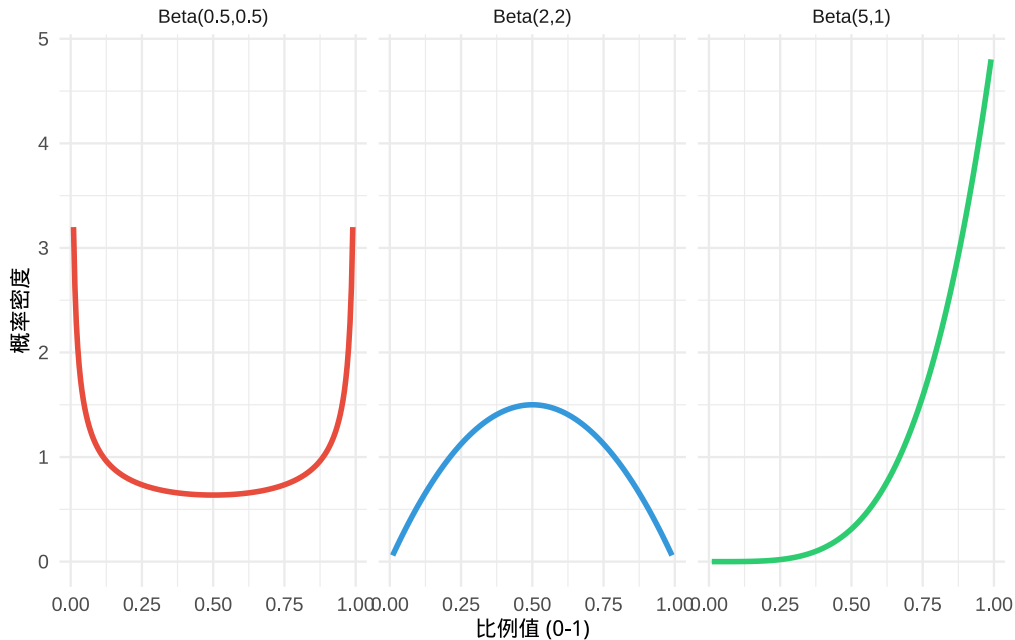


图 2.24 贝塔分布：不同参数组合下的概率密度函数

#### 2.5.7.1 什么是中心极限定理

**中心极限定理** (Central Limit Theorem, CLT) 是概率论和统计学中最重要的定理之一。它的核心思想可以概括为：

无论原始总体的分布形态如何，只要样本量足够大，样本均值的抽样分布就会近似服从正态分布。

更精确地说，中心极限定理指出：

- 从任意分布（无论是什么形状）的总体中随机抽取样本
- 计算每个样本的均值
- 当样本量  $n$  足够大时（通常  $n \geq 30$ ），这些样本均值的分布将近似正态分布
- 这个正态分布的均值等于总体均值  $\mu$ ，标准差等于总体标准差  $\sigma$  除以  $\sqrt{n}$

**数学表达：**如果  $X_1, X_2, \dots, X_n$  是来自均值为  $\mu$ 、方差为  $\sigma^2$  的总体的独立同分布随机变量，那么当  $n \rightarrow \infty$  时：

$$\frac{\bar{X} - \mu}{\sigma / \sqrt{n}} \xrightarrow{d} N(0, 1)$$

其中  $\bar{X} = \frac{1}{n} \sum_{i=1}^n X_i$  是样本均值， $\xrightarrow{d}$  表示依分布收敛。

为了直观验证中心极限定理的强大效果，图2.25展示了四种不同总体分布下样本均值的正态收敛过程。图中四个子图分别对应均匀分布、指数分布、伽马分布和贝塔分布四种原始总体分布，每个子图都

显示了样本量为 30 时 10000 次模拟得到的样本均值分布。浅蓝色直方图表示样本均值的实际分布，红色曲线为理论正态分布。可以清晰地观察到，尽管原始分布形态各异（均匀分布为矩形、指数分布和伽马分布为右偏、贝塔分布为左偏），但它们的样本均值分布都呈现出优美的钟形正态分布形态，完美验证了中心极限定理的核心思想。

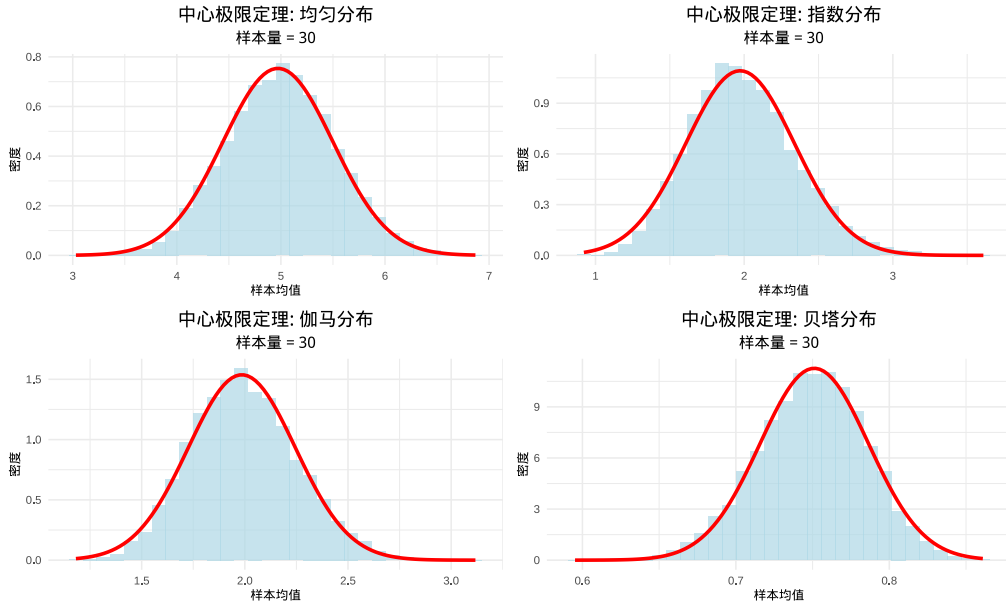


图 2.25 中心极限定理演示：不同总体分布下样本均值的正态收敛过程

```
## 中心极限定理正态性检验结果:
## 均匀分布样本均值Kolmogorov-Smirnov p值: 0.9917
## 指数分布样本均值Kolmogorov-Smirnov p值: 0
## 伽马分布样本均值Kolmogorov-Smirnov p值: 0.0014
## 贝塔分布样本均值Kolmogorov-Smirnov p值: 0.0179
```

### 2.5.7.2 样本量对中心极限定理的影响

为了深入理解样本量在中心极限定理中的作用，图2.26展示了从指数分布（典型的非正态总体）中抽样时，不同样本量对样本均值分布的影响。图中五个子图分别对应样本量 5、10、30、50、100 的情况。可以清晰地观察到：当样本量较小时（如  $n=5$ ），样本均值分布仍呈现明显的右偏形态，与原始指数分布相似；随着样本量增大，分布逐渐变得更加对称和集中；当样本量达到 30 时，分布已接近正态形态；当样本量达到 100 时，分布呈现出完美的钟形正态分布。这一可视化结果直观地验证了中心极限定理中“样本量足够大”的重要性，以及样本量越大、正态近似越精确的规律。

表 2.10 展示了不同样本量下样本均值分布的偏度和峰度值，这些数值量化了分布形态随样本量增加而趋向正态分布的过程。

### 2.5.7.3 蚊虫午餐中的中心极限定理

在蚊虫的生态研究中，中心极限定理展现出其强大的应用价值。虽然单个蚊虫的摄食量可能呈现偏斜分布，但当我们随机抽取 30 只蚊虫并计算其平均摄食量，多次重复这一抽样过程后，样本均值的分

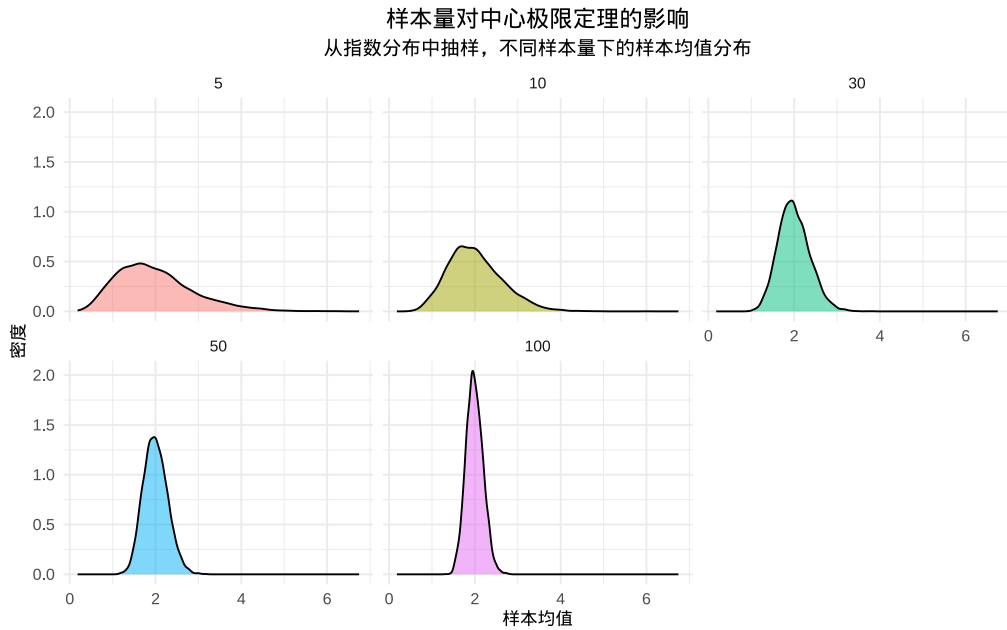


图 2.26 样本量对中心极限定理的影响：样本量越大，样本均值分布越接近正态

表 2.10 偏度和峰度随样本量的变化

| SampleSize | Skewness  | Kurtosis |
|------------|-----------|----------|
| 5          | 0.8974114 | 4.109759 |
| 10         | 0.6504552 | 3.732605 |
| 30         | 0.4054190 | 3.315501 |
| 50         | 0.2691500 | 3.072610 |
| 100        | 0.2423726 | 3.087874 |

布将呈现完美的钟形曲线。同样，蚱蜢的觅食时间虽受多种因素影响而分布不规则，但通过中心极限定理，我们能够基于样本均值可靠地估计整个种群的平均觅食时间。即使蚱蜢对植物的选择偏好本身不是正态分布，当我们研究多个样本的平均偏好时，结果也会趋于正态分布。这些生态学场景生动地展示了中心极限定理如何将复杂的个体变异转化为可预测的统计规律，为生态学研究提供了坚实的理论基础。

#### 2.5.7.4 中心极限定理的生态学意义

中心极限定理为生态学研究提供了坚实的理论支撑，确保了统计推断的可靠性。即使我们不知道总体的真实分布，通过样本均值来估计总体参数时，这种估计的误差分布是正态的，这为参数估计提供了数学保障。许多常用的统计检验方法，如 t 检验和方差分析，都建立在中心极限定理的基础上，假设样本均值的分布是正态的。基于这一定理，我们能够构建总体均值的置信区间，为生态学推断提供量化依据。更重要的是，中心极限定理构成了大样本统计方法的理论基石，使得在样本量足够大的情况下，我们能够做出可靠的统计推断，为生态学的定量研究奠定了坚实的数学基础。

### 2.5.7.5 中心极限定理的局限性

尽管中心极限定理非常强大，但在应用时也需要注意其局限性。该定理要求样本量足够大（通常  $n \geq 30$ ），对于小样本情况，正态近似的效果可能不佳。样本必须是独立同分布的，如果存在空间自相关或时间序列依赖，定理可能不适用。总体方差必须是有限的，对于方差无限的重尾分布，中心极限定理可能不成立。此外，不同分布的收敛速度存在差异，有些分布需要更大的样本量才能达到较好的正态近似效果。这些局限性提醒我们在应用中心极限定理时需要谨慎考虑其适用条件。

## 2.5.8 生态学应用实例

**种群密度估计：**通过在不同样方中计数物种个体数，即使个体分布本身是聚集的（如负二项分布），样本均值的分布仍近似正态，这使得我们能够可靠地估计总体密度。

**环境梯度研究：**沿着环境梯度（如海拔、温度）测量物种丰富度，即使原始数据呈现复杂模式，样本均值的分布仍趋于正态，便于统计分析和建模。

**行为生态学实验：**在控制实验中测量动物的行为参数，通过中心极限定理，我们可以基于样本均值进行可靠的统计推断。

### 2.5.8.1 总结

中心极限定理是连接概率论与统计推断的桥梁，它解释了为什么正态分布在统计学中占据核心地位。在蚱蜢午餐的研究中，这个定理确保了即使面对复杂的生态数据，我们仍然能够使用基于正态分布的统计方法来获得可靠的科学结论。

正如统计学家乔治·博克斯所言：“所有的模型都是错的，但有些是有用的。”中心极限定理正是这样一个“有用”的模型，它虽然不是绝对精确，但在大多数实际情况下提供了足够好的近似，为生态学的定量研究奠定了坚实的数学基础。

## 2.6 生态异质性数据的混合分布

混合分布能够描述来自不同子总体的数据，在生态学中处理异质性非常有用。

为了直观展示混合分布的特性，图2.27展示了一个典型的双峰混合分布示例。图中浅蓝色直方图显示了由两个不同正态分布混合生成的数据分布，红色曲线为核密度估计。可以清晰地观察到两个明显的峰值：一个位于 10 附近（来自第一个正态分布  $N(10,2)$ ），另一个位于 20 附近（来自第二个正态分布  $N(20,3)$ ），混合比例为 60% 和 40%。这种双峰形态在生态学中常见于描述来自不同亚种群或不同环境条件下的数据，体现了混合分布在处理异质性数据时的强大能力。

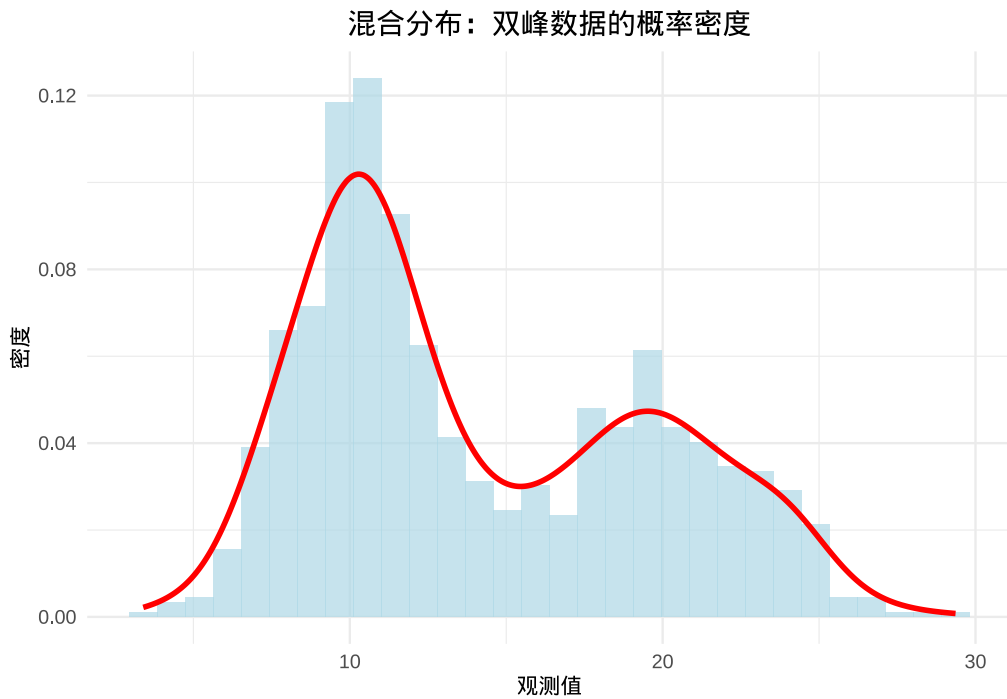


图 2.27 混合分布：双峰数据的概率密度函数

### 2.6.1 零膨胀分布：处理零值过多的数据

在生态学研究中，我们常常会遇到一种特殊的数据现象——零膨胀（Zero-Inflation）。这种现象在物种分布、种群密度、疾病传播等众多生态学场景中普遍存在。零膨胀分布模型正是为了处理这类包含过多零值的数据而发展起来的统计工具。

## 2.7 零膨胀分布的概念与生态学意义

零膨胀分布本质上是一种混合分布，它由两个部分组成：一部分是纯粹的零值生成过程，另一部分是标准的计数分布（如泊松分布或负二项分布）。这种混合结构能够很好地描述生态学中的两种不同状态：

1. **结构性零值**：由于环境条件不适宜、物种不存在或调查方法限制等原因产生的零值
2. **随机性零值**：在适宜环境中由于随机过程产生的零值

例如，在物种分布调查中，某个样方中未发现目标物种可能有两种原因：要么该物种确实不存在于该区域（结构性零值），要么该物种存在但恰好未被观测到（随机性零值）。零膨胀模型能够区分这两种不同的零值生成机制。

### 2.7.1 零膨胀分布的数学表达

零膨胀泊松分布（Zero-Inflated Poisson, ZIP）的概率质量函数可以表示为：

$$P(Y = y) = \begin{cases} \pi + (1 - \pi)e^{-\lambda} & \text{若 } y = 0 \\ (1 - \pi) \frac{e^{-\lambda} \lambda^y}{y!} & \text{若 } y > 0 \end{cases}$$

其中  $\pi$  表示结构性零值的概率， $\lambda$  是泊松分布的参数。

为了直观展示零膨胀分布的特征，下面的可视化对比了零膨胀泊松分布与普通泊松分布的形状差异。

```
# 加载必要的 R 包
library(ggplot2)
library(dplyr)

# 设置随机数种子确保结果可重现
set.seed(2323)

# 模拟零膨胀数据: 80% 的零值和 20% 的泊松分布
n_samples <- 1000
zero_prob <- 0.8
lambda <- 3

# 生成零膨胀泊松数据
zip_data <- numeric(n_samples)
for (i in 1:n_samples) {
  if (runif(1) < zero_prob) {
    zip_data[i] <- 0
  } else {
    zip_data[i] <- rpois(1, lambda)
  }
}

# 统计零值比例
zero_proportion <- mean(zip_data == 0)

# 与普通泊松分布比较: 使用相同的期望值
poisson_data <- rpois(n_samples, lambda = mean(zip_data))

# 创建数据框用于绘图
plot_data <- data.frame(
  value = c(zip_data, poisson_data),
  distribution = rep(c("零膨胀泊松", "普通泊松"), each = n_samples)
)

# 计算统计量用于图表标注
zip_stats <- data.frame(
  distribution = c("零膨胀泊松", "普通泊松"),
  zero_prop = c(mean(zip_data == 0), mean(poisson_data == 0)),
  mean_val = c(mean(zip_data), mean(poisson_data))
)

# 绘制分布对比图
ggplot(plot_data, aes(x = value, fill = distribution)) +
  geom_histogram(binwidth = 1, alpha = 0.7, position = "identity") +
  scale_fill_manual(values = c("零膨胀泊松" = "#E69F00", "普通泊松" = "#56B4E9")) +
  labs(
    title = "零膨胀分布与普通泊松分布对比",
    x = "计数值",
    y = "频数",
    fill = "分布类型"
  ) +
  theme_minimal() +
  theme(
    legend.position = "top",
    plot.title = element_text(hjust = 0.5, size = 14, face = "bold"),
    axis.title = element_text(size = 12),
    axis.ticks = element_text(size = 12)
)
```

```

axis.text = element_text(size = 10),
legend.text = element_text(size = 10)
) +
facet_wrap(~distribution, ncol = 2, scales = "free_y")

```

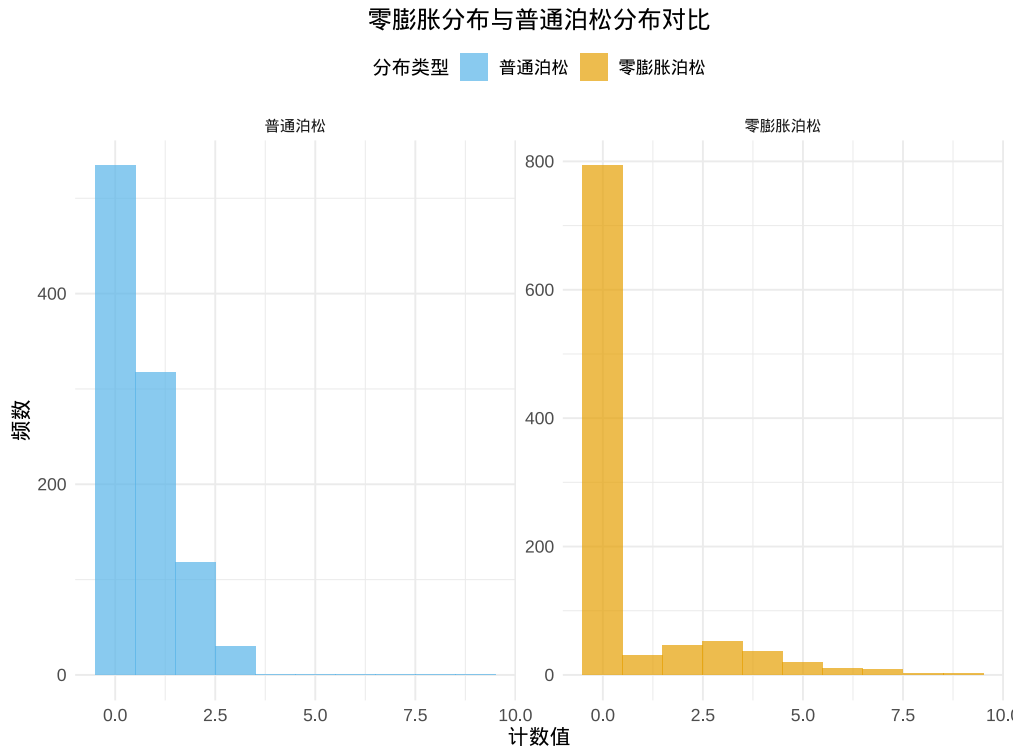


图 2.28 零膨胀泊松分布与普通泊松分布的对比可视化。图中清晰地展示了零膨胀分布中零值的过度集中现象，这是生态学中许多稀有物种和低密度种群数据的典型特征。

如图2.28所示，零膨胀分布最显著的特征是零值的过度集中。零膨胀分布在生态学中具有重要的应用价值，专门用于处理存在大量零值的计数数据。这种分布在以下生态学场景中特别有用：

- 1. 稀有物种的出现数据：**在生态调查中，许多稀有物种在大多数样方中不出现，导致数据中存在大量零值。零膨胀分布能够准确描述这种零值过多的模式。
- 2. 低密度种群的分布数据：**当种群密度很低时，即使物种存在，也可能在大多数调查点无法观测到，形成零值聚集的数据结构。
- 3. 间歇性生态过程记录：**某些生态过程（如动物活动、植物开花等）具有间歇性特征，在时间序列中产生大量零值观测。
- 4. 不完全调查的观测数据：**由于调查方法限制或环境条件影响，某些生态调查可能无法完全覆盖目标区域，导致观测数据中存在系统性的零值。

## 2.8 总结

本章系统性地构建了生态学研究中理解不确定性的数学框架，从基础的概率概念到复杂的分布理论，为生态学家提供了量化自然世界随机性的强大工具。通过蚱蜢午餐选择的生动案例，我们逐步揭示了概率理论在生态学中的深刻意义和应用价值。

概率理论为我们提供了三种理解不确定性的不同视角。古典概率基于等可能性假设，为我们提供了理想化的理论基准，虽然其假设在现实生态系统中往往过于简化，但作为思维起点具有重要价值。频率概率通过实际观察数据来量化生态现象，体现了经验主义的研究方法，其核心的大数定律确保了长期观察的稳定性。贝叶斯概率则引入了动态更新的思想，能够结合先验知识和新证据，更接近生态学家实际的认知过程，特别适合处理数据有限但专家知识丰富的生态问题。

随机变量的概念将生态现象转化为数学语言，使我们能够精确描述生物行为和环境变化的不确定性。离散随机变量处理可数的生态事件，如物种选择、行为决策等，而连续随机变量则描述测量值的变化，如生物体尺寸、环境因子等。概率分布作为随机变量的数学指纹，完整刻画了生态现象的统计规律。

在离散分布家族中，伯努利分布描述了二元选择的基本模式，是构建更复杂模型的基础。二项分布将单次试验扩展到多次重复，适用于种群估计、繁殖成功率等计数问题。多项式分布处理多元选择场景，能够描述群落组成、资源分配等复杂生态系统的联合概率分布。泊松分布专门处理稀有事件和空间分布问题，是研究稀有物种分布和随机分布模式的重要工具。几何分布和负二项分布则关注等待时间问题，分别描述第一次成功和第  $r$  次成功所需的努力，在行为生态学和进化研究中具有重要应用。

连续分布家族则为我们提供了描述测量值变化的数学工具。均匀分布刻画了完全随机的选择过程，指数分布描述了事件发生的时间间隔，特别适合生存分析和风险建模。正态分布以其经典的钟形曲线和中心极限定理的支撑，成为生态学中最常用的分布之一，能够描述大多数受到多重微小因素影响的生态变量。威布尔分布提供了更灵活的生存分析工具，能够刻画随时间变化的死亡风险模式。伽马分布作为指数分布的一般化，适用于描述累积等待时间和生物量积累过程。贝塔分布则是处理比例变量的理想选择，特别适合行为时间分配和资源选择偏好的研究。

中心极限定理作为概率论的核心成果，解释了为什么正态分布在统计学中如此普遍。无论原始总体分布形态如何，只要样本量足够大，样本均值的分布就会趋于正态，这为生态学的统计推断提供了坚实的理论基础。通过这个定理，我们能够在不知道总体真实分布的情况下，仍然能够进行可靠的参数估计和假设检验。

在生态学实践中，我们还需要处理更复杂的数据结构。混合分布能够描述来自不同子总体的异质性数据，如不同年龄组的种群结构或异质环境中的物种分布。零膨胀分布专门处理存在大量零值的计数数据，这在稀有物种研究和低密度种群监测中尤为重要。

概率与分布理论的价值不仅在于提供具体的计算方法，更在于培养一种“概率思维”——用数学语言理解和描述生态世界的能力。在人工智能技术快速发展的今天，这种能力显得尤为重要。AI 模型虽然能够处理海量数据，但其输出本质上是概率性的，只有深刻理解概率原理，才能正确解读 AI 的预测

结果，评估模型的可信度。

生态学研究面对的是自然界中最复杂的系统之一。与物理实验不同，生态学观察通常无法在完全受控的条件下重复进行。概率与分布理论为我们提供了一种量化不确定性的工具，帮助我们设计更科学的生态调查方案，准确解读复杂的生态数据，与数据科学家高效合作，并在 AI 时代保持批判性和创造性。

通过本章的学习，我们不仅掌握了概率与分布的基本概念和计算方法，更重要的是建立了连接生态观察与数学分析的桥梁。这种数学框架使我们能够从定性的生态描述迈向定量的科学分析，为理解生物决策机制、种群动态、群落结构等生态学核心问题提供了强有力的工具。在数据驱动的生态学时代，概率与分布理论将继续发挥不可替代的作用，帮助我们更好地理解和保护这个充满不确定性的自然世界。

## 2.9 综合练习

### 2.9.1 练习 1：蚱蜢觅食行为的概率建模

某生态学家研究蚱蜢的觅食行为，观察到蚱蜢在三种植物（黑麦草、混合草甸、三叶草）上的选择概率分别为 0.4、0.35、0.25。如果连续观察 10 只蚱蜢的觅食选择：

1. 使用二项分布计算恰好有 6 只蚱蜢选择黑麦草的概率
2. 使用多项式分布计算 3 只选择黑麦草、4 只选择混合草甸、3 只选择三叶草的概率
3. 如果蚱蜢平均每分钟成功觅食 2 次，使用泊松分布计算在 5 分钟内成功觅食超过 12 次的概率

### 2.9.2 练习 2：生存分析与分布拟合

某生态学家研究某种昆虫的生存时间，收集了 100 个个体的生存时间数据（单位：天）。经过初步分析，发现数据呈现右偏分布，适合使用威布尔分布进行拟合。

1. 使用 R 语言生成模拟的生存时间数据（威布尔分布，形状参数  $k=1.5$ ，尺度参数  $=50$ ）
2. 使用 `fitdistrplus` 包拟合威布尔分布，并输出参数估计结果
3. 计算该种昆虫的中位生存时间、90 天生存概率和 30 天时的瞬时死亡率
4. 比较威布尔分布与正态分布的拟合效果，说明哪种分布更适合描述生存时间数据

### 2.9.3 练习 3：中心极限定理的生态学验证

某生态学家研究森林中某种树木的胸径（直径）分布，已知单个树木的胸径服从伽马分布（形状参数  $=2$ ，速率参数  $=0.1$ ）。

1. 使用 R 语言模拟从该伽马分布中随机抽取 1000 个样本，验证其原始分布形态
2. 进行蒙特卡洛模拟：重复 10000 次，每次随机抽取 30 棵树计算平均胸径
3. 绘制样本均值的分布图，验证其是否近似正态分布
4. 计算样本均值分布的偏度和峰度，并与理论正态分布进行比较

5. 讨论中心极限定理在生态学调查设计中的实际意义



# Chapter 3

## 生态特征的简单定量描述

### 3.1 引言

上一章我们探索了概率分布的奥秘，认识到要完整刻画一个随机变量的特征，最理想的方式是掌握其概率分布的全貌。然而在生态学研究的现实世界中，获取完整的概率分布信息往往如同捕捉风中的细沙——既困难又充满挑战。想象一下，我们要描绘一片原始森林中所有树木的高度分布，或是记录一个深邃湖泊中所有鱼类的体重分布，我们不可能逐一测量每一个生命个体。在这种现实约束下，描述统计通过有限个体的样本来反应总体的特征，成为了我们解读生态系统密码的钥匙。

描述统计宛如生态学家的“数字望远镜”和“统计显微镜”，它赋予我们穿透复杂生态现象迷雾的能力，从纷繁的自然数据中提炼出关键特征，用精炼的数值语言来概括和描述我们观察到的生态模式。这些统计特征不仅是理解当前生态状况的窗口，更是我们进行科学比较、趋势预测和管理决策的基石。

让我们从一幅生动的生态画卷开始思考。假设你是一名野生动物保护工作者，正守护着一片保护区内的梅花鹿种群。你无法追踪每一只梅花鹿的足迹，但通过科学的抽样调查，你测量了 50 只梅花鹿的体重。这些体重数据如同散落的珍珠，呈现出怎样的分布特征呢？有些梅花鹿体态轻盈，体重约 30 公斤；有些则身姿矫健，体重可达 60 公斤以上；而大多数梅花鹿的体重则集中在 40-50 公斤之间。描述统计就是将这些观察转化为科学语言的魔法——均值揭示种群的平均体重水平，标准差展现个体间的体重差异程度，偏度描绘体重分布的对称性，峰度则暗示极端体重个体的出现频率。

再让我们潜入一个更为复杂的生态场景。你正研究一片湿地生态系统中不同水鸟物种的多样性。你无法记录每一只水鸟的每一次翩跹，但通过系统的定期调查，你获得了各个物种的观测频率。描述统计中的多样性指数（如 Shannon-Wiener 指数、Simpson 指数）便将这些频率数据转化为对群落复杂性的量化描述。这些指数不仅告诉你这片湿地栖息着多少种水鸟，更重要的是揭示了物种相对多度分布的均衡性——是少数优势物种主导的寡头格局，还是各个物种相对均匀分布的民主格局？这种信息对于评估生态系统的健康状况和制定精准的保护策略具有决定性意义。

描述统计在生态学中的应用如同繁星点点，遍布各个研究领域。当你探究气候变化对植物物候的影响时，你需要描述开花时间的年际波动；当你分析污染物在食物链中的富集过程时，你需要刻画不同营养级生物体内污染物的浓度分布；当你评估生态恢复项目的成效时，你需要量化恢复前后关键生态指标的变化轨迹。在这些多元情境下，描述统计提供的中心趋势、离散程度和分布形状等特征，构成了我们理解和沟通生态现象的共同语言。

更为重要的是，描述统计架起了观察数据与理论模型之间的桥梁。生态学理论往往预言特定的统计模式——竞争排斥理论预测物种多度分布应呈现特定的形态；岛屿生物地理学理论预示物种-面积关系应遵循幂律分布；生态位理论推演个体大小分布应符合特定的统计规律。通过描述统计，我们能够检验这些理论预言是否与观察数据相契合，从而推动生态学理论的演进与完善。

让我们深入思考一个具体的生态学谜题：为什么有些湖泊的鱼类群落比另一些更加稳定？描述统计为我们提供了破解这一谜题的钥匙。通过计算各个湖泊鱼类群落的多样性指数、均匀度指数，以及分析物种多度分布的形状特征，我们可能发现稳定性较高的群落往往具有更高的物种多样性、更均匀的物种多度分布，以及特定的多度分布模式。这些统计特征不仅描绘了群落的现状图景，更重要的是揭示了维持群落稳定性的深层机制。

在环境监测和生态风险评估的战场上，描述统计同样扮演着关键角色。想象你肩负着监测一条河流水质变化的使命。你定期测量水中的各种污染物浓度、pH值、溶解氧等关键指标。描述统计让你能够通过收集的样本数据来量化这些指标的正常波动范围（通过均值和标准差），识别异常值（通过极值和异常值检测），以及刻画长期变化趋势（通过时间序列分析）。当某个指标超出正常范围时，这些统计特征如同预警系统的哨兵，帮助你及时采取干预措施，守护生态安全。

对于生态学专业的学生而言，掌握描述统计不仅是完成学业的要求，更是培养科学思维方式的必经之路。生态学研究的对象往往是复杂、多变、充满不确定性的自然系统。描述统计教会我们如何在不确定性中寻找确定性，在复杂性中发现简单性，在变化中识别规律性。这种能力不仅对生态学研究至关重要，对任何需要处理复杂数据的领域都具有深远价值。

最后，让我们思考描述统计在生态学教育中的深层意义。当你学习描述统计时，你不仅仅是在掌握数学公式和计算方法，你是在学习如何用科学的语言描述自然界的韵律。均值、方差、偏度、峰度这些概念，都是生态学家用来理解和交流生态现象的工具箱。掌握这些工具，意味着你能够更准确地观察自然的脉动、更深刻地理解生态过程的机理、更有效地沟通科学发现的精髓。

在接下来的章节中，我们将系统地探索各种描述统计方法，从最基础的中心趋势测量到复杂的分布形状描述，从个体特征到群落结构，从空间异质性到时间动态。每一个统计量都有其独特的生态学意义和应用场景。通过学习这些方法，你将能够将原始的生态数据转化为有意义的科学信息，为你的生态学研究奠定坚实的统计基础。

## 3.2 描述统计基础

### 3.2.1 中心趋势测量

中心趋势测量帮助我们定位数据的“引力中心”，如同探寻一片森林中最具代表性的树木高度，或是识别一个湖泊中最典型的鱼类大小。这些统计量为我们提供了理解生态数据分布格局的关键锚点。

#### 3.2.1.1 均值

**数学定义：**对于一组观测值  $x_1, x_2, \dots, x_n$ ，常用的均值计算包括以下三种：

- 算术平均定义为：

$$\bar{x} = \frac{1}{n} \sum_{i=1}^n x_i$$

- 几何平均定义为：

$$G = \left( \prod_{i=1}^n x_i \right)^{\frac{1}{n}}$$

- 调和平均定义为：

$$H = \frac{n}{\sum_{i=1}^n \frac{1}{x_i}}$$

想象你正在研究一片温带森林中红松的胸径分布。你随机测量了 100 棵红松的胸径（单位：厘米），得到了以下数据：

```
# 读取红松胸径数据 - 从 CSV 文件加载 40 棵红松的胸径观测值
pine_diameter_data <- read.csv("data/pine_diameter.csv")
pine_diameter <- pine_diameter_data$pine_diameter

# 计算算术平均 - 反映红松种群的平均胸径水平
mean_diameter <- mean(pine_diameter)

# 输出计算结果 - 显示红松胸径的算术平均值
print(paste(" 红松胸径的算术平均值: ", round(mean_diameter, 2), " 厘米"))

## [1] "红松胸径的算术平均值: 52.83 厘米"
```

算术平均告诉我们这片森林中红松的平均胸径约为 51.5 厘米。在图形上，均值对应于分布曲线的重心位置。如果我们绘制胸径的直方图，均值线会穿过分布的中心区域。

几何平均特别适用于分析增长率数据。假设你研究一个湖泊中浮游植物生物量的年增长率：

```
# 浮游植物年增长率数据 - 模拟 5 年的增长率观测值
# 1.05 表示 5% 增长, 1.08 表示 8% 增长, 以此类推
growth_rates <- c(1.05, 1.08, 1.12, 0.95, 1.15)

# 计算几何平均 - 适用于增长率数据的中心趋势度量
# 使用连乘积和样本量计算几何平均
```

```
geometric_mean <- prod(growth_rates)^(1 / length(growth_rates))

# 输出几何平均值 - 反映浮游植物年增长率的平均水平
print(paste(" 浮游植物年增长率的几何平均值: ", round(geometric_mean, 3)))

## [1] "浮游植物年增长率的几何平均值: 1.068"
```

调和平均适用于速率数据，比如研究鸟类在不同生境中的飞行速度：

```
# 鸟类在不同生境中的飞行速度数据 - 单位: 米/秒
# 模拟 5 种不同生境中鸟类的典型飞行速度
flight_speeds <- c(8, 12, 15, 10, 9)

# 计算调和平均 - 适用于速率类数据的中心趋势度量
# 使用样本量和速度倒数和计算调和平均
harmonic_mean <- length(flight_speeds) / sum(1 / flight_speeds)

# 输出调和平均值 - 反映鸟类飞行速度的典型水平
print(paste(" 鸟类飞行速度的调和平均值: ", round(harmonic_mean, 2), " 米/秒"))

## [1] "鸟类飞行速度的调和平均值: 10.29 米/秒"
```

### 3.2.1.2 中位数

**数学定义**：对于一组排序后的观测值  $x_{(1)} \leq x_{(2)} \leq \dots \leq x_{(n)}$ ，中位数定义为：

$$\text{Median} = \begin{cases} x_{(\frac{n+1}{2})} & \text{如果 } n \text{ 是奇数} \\ \frac{x_{(\frac{n}{2})} + x_{(\frac{n}{2}+1)}}{2} & \text{如果 } n \text{ 是偶数} \end{cases}$$

中位数的特征是对异常值不敏感，因此在生态学中特别有用。例如，一个受污染的河流中鱼类体内重金属含量的研究获得以下数据：

```
# 鱼类体内汞含量数据 - 单位: 微克/克
# 模拟 10 条鱼类的汞含量观测值，包含一个异常高值 (2.50)
mercury_content <- c(0.12, 0.15, 0.18, 0.21, 0.25,
                      0.28, 0.32, 0.35, 0.38, 2.50)

# 计算中位数 - 对异常值不敏感的中心趋势度量
median_mercury <- median(mercury_content)

# 计算算术平均 - 对异常值敏感的中心趋势度量
mean_mercury <- mean(mercury_content)

# 输出中位数结果 - 反映大多数鱼类的真实汞含量水平
print(paste(" 鱼类汞含量的中位数: ", round(median_mercury, 2), " 微克/克"))

## [1] "鱼类汞含量的中位数: 0.26 微克/克"

# 输出算术平均结果 - 受异常值影响较大的中心趋势度量
print(paste(" 鱼类汞含量的平均值: ", round(mean_mercury, 2), " 微克/克"))

## [1] "鱼类汞含量的平均值: 0.47 微克/克"
```

在这个例子中，由于一个异常高值 (2.50 微克/克) 的存在，均值 (0.47 微克/克) 被严重拉高，而中位数 (0.27 微克/克) 更能代表大多数鱼类的真实汞含量水平。在图形上，中位数将分布分成面积相等的两部分。

### 3.2.1.3 众数

**数学定义：**对于一组观测值，众数是出现频率最高的值。对于连续数据，众数对应于概率密度函数的最大值点：

$$\text{Mode} = \arg \max_x f(x)$$

其中  $f(x)$  是概率密度函数。

在研究鸟类群落时，我们可能对不同物种的出现频率感兴趣：

```
# 不同鸟类物种在样方中的出现次数数据
# 模拟 9 个样方中观察到的鸟类物种记录
bird_species <- c("麻雀", "乌鸦", "麻雀", "鸽子", "麻雀", "乌鸦", "麻雀", "鸽子", "麻雀")

# 定义众数计算函数 - 用于分类数据的中心趋势度量
get_mode <- function(x) {
  # 获取唯一值
  ux <- unique(x)
  # 计算每个唯一值的频数
  # 返回出现频率最高的值
  ux[which.max(tabulate(match(x, ux)))]
}

# 计算众数 - 反映数据中出现频率最高的鸟类物种
mode_species <- get_mode(bird_species)

# 输出众数结果 - 显示最常见的鸟类物种
print(paste("最常见的鸟类物种：", mode_species))

## [1] "最常见的鸟类物种： 麻雀"
```

在连续数据的直方图中，众数对应于最高的柱子，表示出现频率最高的数值区间。

## 3.2.2 离散性测量

离散性测量告诉我们数据在中心值周围的分散程度，就像描述一片森林中树木高度的整齐程度，或者一个湖泊中鱼类大小的变异范围。这些统计量帮助我们理解生态系统的异质性和稳定性。

### 3.2.2.1 方差与标准差

**数学定义：**对于一组观测值  $x_1, x_2, \dots, x_n$ ,

- 样本方差为：

$$s^2 = \frac{1}{n-1} \sum_{i=1}^n (x_i - \bar{x})^2$$

- 样本标准差是方差的平方根：

$$s = \sqrt{s^2} = \sqrt{\frac{1}{n-1} \sum_{i=1}^n (x_i - \bar{x})^2}$$

方差和标准差量化了数据点相对于均值的平均偏离程度。考虑研究两个不同湖泊中鲤鱼体长的变异：

```
# 湖泊 A 和湖泊 B 中鲤鱼体长数据 - 单位: 厘米
# 从 CSV 文件读取两个湖泊的鲤鱼体长数据
lake_lengths_data <- read.csv("data/lake_carp_lengths.csv")
lake_a_lengths <- lake_lengths_data$lake_a_lengths
lake_b_lengths <- lake_lengths_data$lake_b_lengths

# 计算湖泊 A 鲤鱼的方差和标准差
var_a <- var(lake_a_lengths) # 方差: 个体间差异的平方和
sd_a <- sd(lake_a_lengths) # 标准差: 方差的平方根

# 计算湖泊 B 鲤鱼的方差和标准差
var_b <- var(lake_b_lengths) # 方差: 个体间差异的平方和
sd_b <- sd(lake_b_lengths) # 标准差: 方差的平方根

## 湖泊A鲤鱼体长方差: 9.17
## 湖泊A鲤鱼体长标准差: 3.03厘米
## 湖泊B鲤鱼体长方差: 65.39
## 湖泊B鲤鱼体长标准差: 8.09厘米
```

湖泊 A 的鲤鱼体长标准差较小（约 2.87 厘米），说明个体间差异较小，种群相对均质；而湖泊 B 的标准差较大（约 7.72 厘米），表明个体间差异较大，种群异质性更高。在图形上，标准差较小的分布更加“瘦高”，而标准差较大的分布更加“矮胖”。

### 3.2.2.2 变异系数

**数学定义：**变异系数定义为标准差与均值的比值，通常以百分比表示：

$$CV = \frac{s}{\bar{x}} \times 100\%$$

变异系数允许我们比较不同量纲数据的相对变异程度。假设我们想比较不同物种的生长速率和体重的变异：

```
# 物种 A 和物种 B 的生长速率和成年体重数据
# 生长速率单位: 厘米/年, 成年体重单位: 公斤
# 从 CSV 文件读取两个物种各 6 个个体的观测值
species_data <- read.csv("data/species_growth_data.csv")
growth_rate_a <- species_data$growth_rate_a
weight_a <- species_data$weight_a
growth_rate_b <- species_data的成长率_b
weight_b <- species_data$weight_b

# 定义变异系数计算函数 - 用于比较不同量纲数据的相对变异
cv <- function(x) {
  # 变异系数 = 标准差 / 均值 * 100%
  sd(x) / mean(x) * 100
}

# 计算物种 A 的生长速率和体重变异系数
cv_growth_a <- cv(growth_rate_a)
cv_weight_a <- cv(weight_a)

# 计算物种 B 的生长速率和体重变异系数
cv_growth_b <- cv(growth_rate_b)
cv_weight_b <- cv(weight_b)
```

```
## 物种A生长速率变异系数: 10.7%
## 物种A体重变异系数: 17.8%
## 物种B生长速率变异系数: 12.5%
## 物种B体重变异系数: 18.7%
```

变异系数以百分比形式表示相对变异，使我们能够比较生长速率（厘米/年）和体重（公斤）这两种不同量纲数据的变异程度。

### 3.2.2.3 标准误

**数学定义：**标准误定义为样本标准差除以样本量的平方根：

$$SE = \frac{s}{\sqrt{n}}$$

其中  $s$  是样本标准差， $n$  是样本量。

标准误衡量样本统计量（如样本均值）的抽样变异性。在生态学研究中，当我们基于样本数据推断总体特征时，标准误提供了估计的不确定性度量，反映了样本均值与总体均值之间的估计精度。

考虑研究一片森林中树木高度的抽样调查：

```
# 模拟不同样本量下树木高度的标准误
# 设置随机数种子确保结果可重现
set.seed(123)

# 创建模拟总体数据 - 10000 棵树木的高度
# 假设总体树木高度服从正态分布，均值为 20 米，标准差为 5 米
population_height <- rnorm(10000, mean = 20, sd = 5)

# 定义不同样本量水平 - 用于比较标准误的变化
sample_sizes <- c(10, 30, 50, 100)

# 初始化标准误向量 - 存储不同样本量对应的标准误
standard_errors <- numeric(length(sample_sizes))

# 循环计算不同样本量的标准误
for (i in 1:length(sample_sizes)) {
  # 从总体中随机抽取指定样本量的数据
  sample_data <- sample(population_height, sample_sizes[i])
  # 计算标准误：标准差 / 样本量的平方根
  standard_errors[i] <- sd(sample_data) / sqrt(sample_sizes[i])
}

# 创建结果数据框 - 展示样本量与标准误的关系
results <- data.frame(
  样本量 = sample_sizes,
  标准误 = round(standard_errors, 2)
)
```

为了直观展示标准误与样本量之间的反比关系，我们绘制了图3.1，该图清晰地展示了随着样本量的增加，标准误呈现递减趋势。

可以从上图看到，标准误随着样本量的增加而减小，这意味着更大的样本量能够提供更精确的总体均值估计。在生态学研究中，标准误常用于构建估计值的置信区间：

### 标准误随样本量的变化

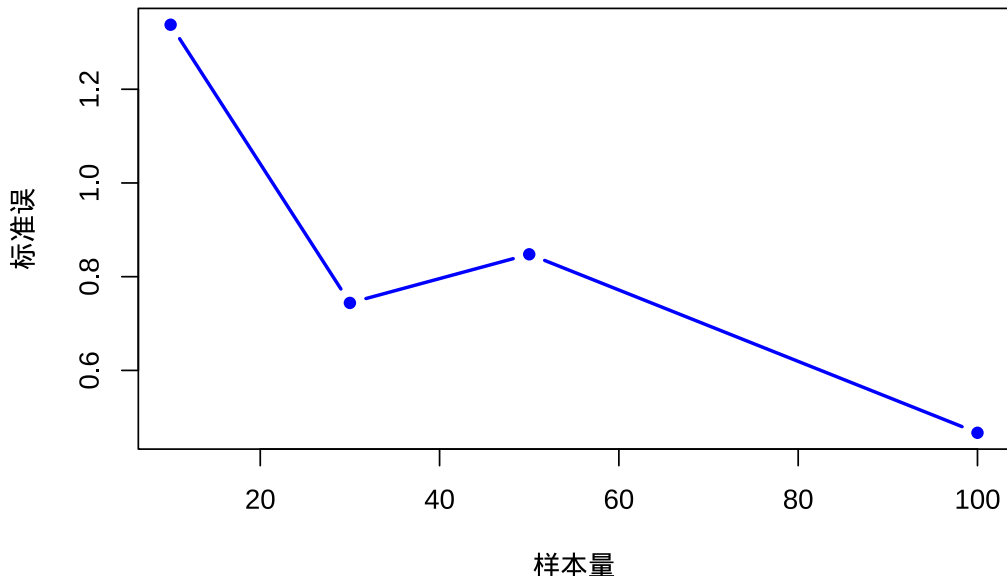


图 3.1 标准误随样本量的变化关系图。随着样本量的增加，标准误逐渐减小，表明更大的样本量能够提供更精确的总体均值估计。

```

# 计算树木高度的 95% 置信区间
# 从总体中随机抽取 50 个样本
sample_data <- sample(population_height, 50)

# 计算样本均值 - 总体均值的点估计
sample_mean <- mean(sample_data)

# 计算标准误 - 反映样本均值的估计精度
sample_se <- sd(sample_data) / sqrt(length(sample_data))

# 计算 95% 置信区间
# 使用正态分布临界值 1.96 构建置信区间
ci_lower <- sample_mean - 1.96 * sample_se # 置信区间下限
ci_upper <- sample_mean + 1.96 * sample_se # 置信区间上限

## 样本均值: 20.23米
## 标准误: 0.76米
## 95%置信区间: [ 18.75, 21.71 ] 米

```

#### 标准误与标准差的区别：

- **标准差**: 描述样本内部个体间的变异程度
- **标准误**: 描述样本均值作为总体均值估计的精确程度

在生态学研究中，当我们关注个体间的差异时使用标准差，当我们关注总体参数的估计精度时使用标准误。

#### 3.2.2.4 四分位距

**数学定义**: 四分位距定义为上四分位数 ( $Q_3$ ) 与下四分位数 ( $Q_1$ ) 之差:

$$IQR = Q_3 - Q_1$$

其中  $Q_1$  是第 25 百分位数,  $Q_3$  是第 75 百分位数。

四分位距是描述数据中间 50% 范围的稳健度量, 对异常值不敏感。在研究物种分布范围时特别有用:

```
# 某鸟类物种在不同样点的数量记录
bird_counts <- c(2, 3, 4, 5, 6, 7, 8, 9, 10, 50) # 包含一个异常高值

# 计算四分位距
q1 <- quantile(bird_counts, 0.25)
q3 <- quantile(bird_counts, 0.75)
iqr_value <- IQR(bird_counts)

## 下四分位数(Q1): 4.25
## 上四分位数(Q3): 8.75
## 四分位距(IQR): 4.5

# 识别异常值
lower_bound <- q1 - 1.5 * iqr_value
upper_bound <- q3 + 1.5 * iqr_value
outliers <- bird_counts[bird_counts < lower_bound |
                           bird_counts > upper_bound]
print(paste(" 异常值: ", outliers))

## [1] "异常值: 50"
```

在这个例子中, 虽然有一个异常高值 (50), 但四分位距 (4.5) 仍然稳健地描述了大多数样点中该鸟类的典型数量范围。在常见的箱线图中, 四分位距对应于箱子的高度, 异常值则会显示为箱线图外的离散点。

### 3.2.3 分布形状与矩测量

分布形状测量描述了数据分布的对称性和尾部特征, 帮助我们理解生态过程的潜在机制。就像识别不同树种的树冠形状一样, 这些统计量揭示了生态数据背后的模式。

#### 3.2.3.1 偏度

**数学定义:** 样本偏度定义为三阶中心矩与标准差立方的比值:

$$g_1 = \frac{\frac{1}{n} \sum_{i=1}^n (x_i - \bar{x})^3}{s^3}$$

其中  $s$  是样本标准差。偏度量化了分布的不对称性: 偏度为正表示右偏, 为负表示左偏, 为零表示对称分布。

在生态学中, 许多自然现象都表现出偏斜分布。考虑研究森林中树木胸径的分布:

如图3.2所示, 我们模拟了一个右偏的树木胸径分布, 该图通过直方图展示了分布的不对称性特征。

```
## [1] "树木胸径分布的偏度: 0.65"
```

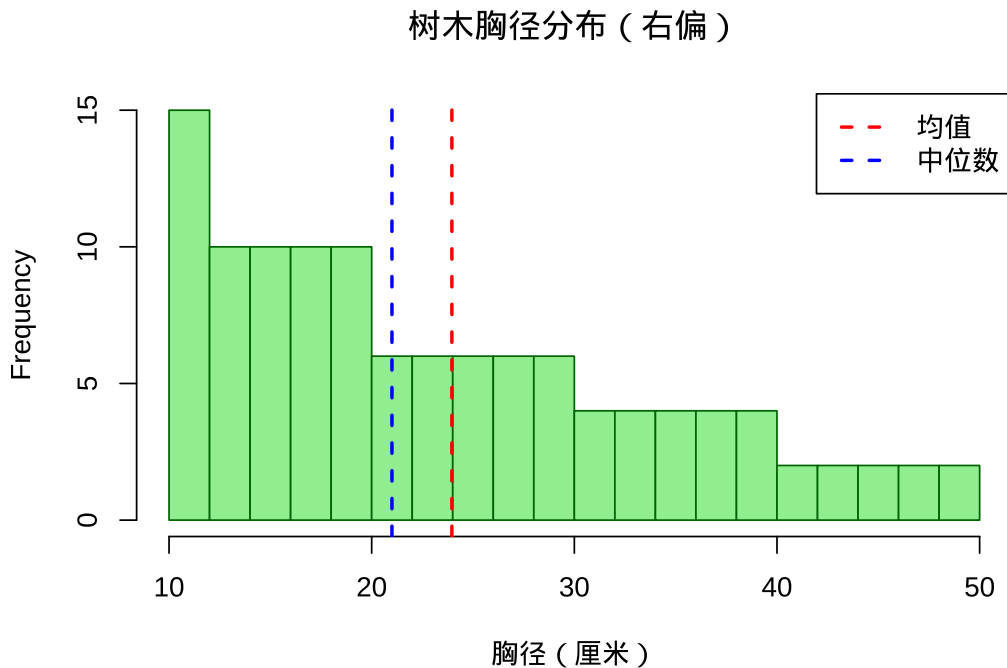


图 3.2 树木胸径分布的直方图，展示右偏分布特征。红色虚线表示均值，蓝色虚线表示中位数，均值大于中位数表明分布向右偏斜。

上述例子中，正偏度（通常大于 0.5）表明分布向右偏斜，意味着有较多的小树和少数大树。在图形上，右偏分布的右侧尾部较长，均值大于中位数。这种模式常见于年龄结构年轻的种群。

### 3.2.3.2 峰度

**数学定义：**样本峰度定义为四阶中心矩与标准差四次方的比值：

$$g_2 = \frac{\frac{1}{n} \sum_{i=1}^n (x_i - \bar{x})^4}{s^4} - 3$$

其中减去 3 是为了使正态分布的峰度为 0。峰度大于 0 表示尖峰分布，小于 0 表示平峰分布。

峰度描述了分布的尖峰程度和尾部厚度，在研究极端生态事件时特别重要。高峰度（大于 3）表明分布更加尖峰，数据集中在均值附近，尾部较厚，意味着极端值（如稀有物种）的出现概率较高。低峰度（小于 3）表明分布更加平缓，数据分散，极端值较少。

```
set.seed(123)
# 模拟两种不同的物种多度分布
# 分布 A: 尖峰分布 (高峰度)
abundance_a <- c(rep(10, 8), rep(15, 2), rep(20, 25),
                  rep(25, 2), rep(30, 8))
# 分布 B: 平峰分布 (低峰度)
abundance_b <- runif(45, 10, 30)

# 计算峰度
kurtosis_a <- kurtosis(abundance_a)
kurtosis_b <- kurtosis(abundance_b)

## 物种A多度分布的峰度: 2.53
## 物种B多度分布的峰度: 1.81
```

```
## 物种A相对于正态分布的峰度: -0.47
## 物种B相对于正态分布的峰度: -1.19
```

### 3.2.3.3 矩的概念

**数学定义：**对于一组观测值  $x_1, x_2, \dots, x_n$ , 第  $k$  阶样本矩定义为:

$$m_k = \frac{1}{n} \sum_{i=1}^n (x_i - \bar{x})^k$$

- 一阶矩 ( $k = 1$ ): 均值, 描述分布中心位置
- 二阶矩 ( $k = 2$ ): 方差, 描述分布离散程度
- 三阶矩 ( $k = 3$ ): 偏度, 描述分布不对称性
- 四阶矩 ( $k = 4$ ): 峰度, 描述分布尖峰程度

矩提供了描述分布特征的系统框架。让我们用一个完整的例子来展示四个主要矩:

```
# 研究湿地中不同水鸟物种的个体数量
waterbird_counts <- c(2, 3, 4, 5, 6, 7, 8, 9, 10, 12, 15, 20, 25, 35, 50)

# 计算四个主要矩
mean_count <- mean(waterbird_counts) # 一阶矩: 均值
variance_count <- var(waterbird_counts) # 二阶矩: 方差
skewness_count <- skewness(waterbird_counts) # 三阶矩: 偏度
kurtosis_count <- kurtosis(waterbird_counts) # 四阶矩: 峰度

## 一阶矩 (均值) : 14.07
## 二阶矩 (方差) : 181.07
## 三阶矩 (偏度) : 1.54
## 四阶矩 (峰度) : 4.52

## 
## 水鸟物种个体数量分布特征:
## - 平均每个物种有14.1个个体
## - 个体数量变异较大 (方差=181.1)

## - 分布右偏, 表明少数物种具有大量个体
## - 分布尖峰, 表明极端多度物种出现概率较高
```

这四个矩共同描述了水鸟物种多度分布的整体特征: 均值告诉我们典型的多度水平, 方差描述多度的变异程度, 偏度揭示分布的对称性, 峰度反映极端多度物种的出现概率。

在生态学研究中, 理解这些分布形状特征至关重要。例如, 右偏的物种多度分布通常表明群落由少数优势物种和多数稀有物种组成; 高峰度的环境因子分布可能预示着极端气候事件的发生; 偏斜的个体大小分布可能反映了种内竞争或资源分配的不均等性。通过矩分析, 我们能够从简单的数值描述深入到对生态过程的理解。

### 3.2.4 统计概念在概率分布图上的可视化

为了更好地理解这些统计概念, 让我们在一个典型的概率分布图上可视化它们:

如图3.3所示，我们使用标准正态分布来可视化关键统计概念。该图清晰地展示了均值、标准差等统计量在概率分布上的几何意义。

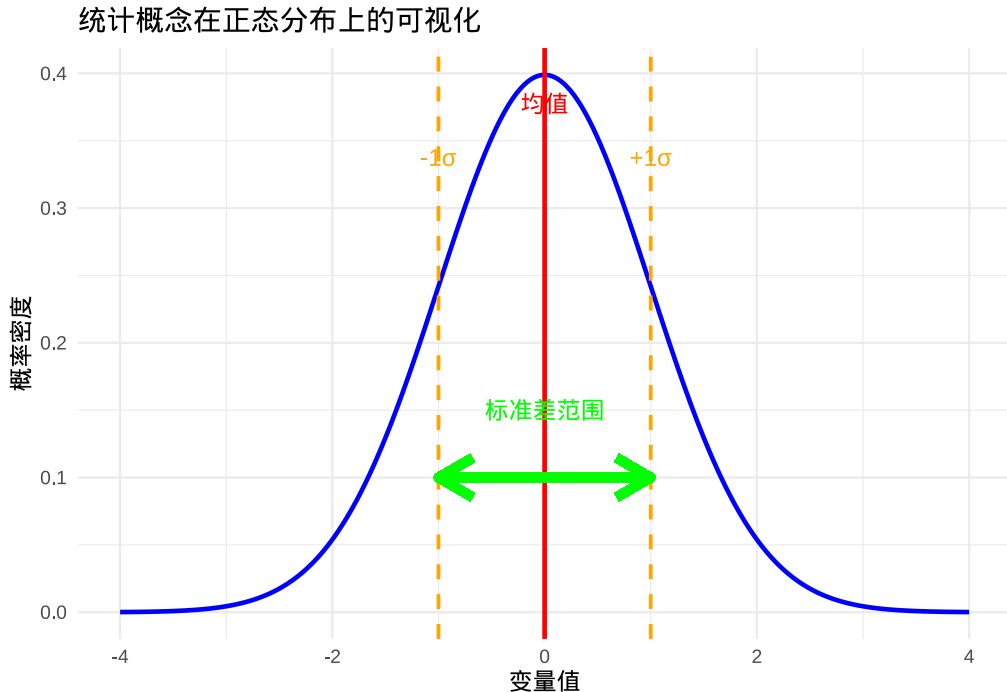


图 3.3 统计概念在正态分布上的可视化。红色垂直线表示均值，橙色虚线表示  $\pm 1$  个标准差的范围，绿色箭头表示标准差的实际跨度。

这个可视化展示了：

- 红色垂直线：均值（分布的中心位置）
- 橙色虚线： $\pm 1$  个标准差的范围
- 绿色箭头：标准差的实际跨度

### 3.2.5 标准误的可视化理解

为了理解标准误的概念，让我们通过抽样模拟来展示标准误的意义：

如图3.4所示，我们通过多次抽样模拟展示了标准误的统计意义。该图包含两个子图：左图显示样本均值的分布特征，右图展示标准误与样本均值的关系，帮助我们理解样本均值作为总体均值估计的精确程度。

```
## 总体均值: 50.16
## 样本均值的均值: 50.17
## 样本均值的标准误: 2.04
## 95%置信区间: [ 46.17, 54.17 ]
```

这个可视化帮助我们理解：

- 左图：多次抽样的样本均值围绕总体均值波动，其分布的标准差就是标准误；
- 右图：标准误反映了样本均值作为总体均值估计的精确程度；

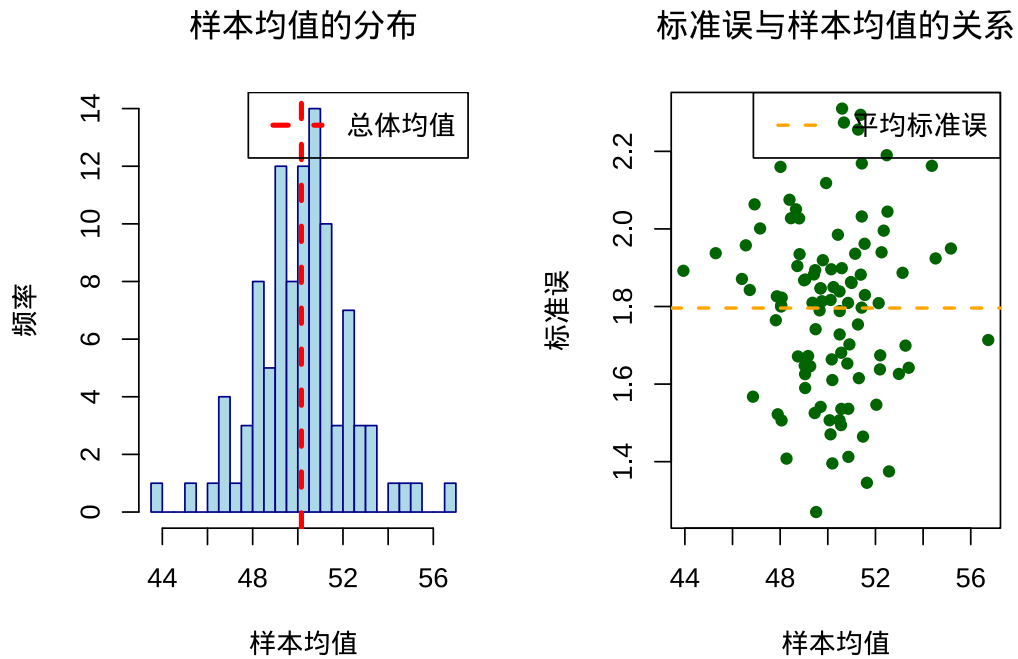


图 3.4 标准误的可视化分析。左图显示样本均值的抽样分布，右图展示标准误与样本均值的关系。红色虚线表示总体均值，橙色虚线表示平均标准误。

- 置信区间：反映了估计方法的可靠性；95% 置信区间意味着，多次重复抽样后基于标准误构建的所有区间里，有 95% 会包含总体均值。

### 3.2.6 不同参数值的分布形状比较

现在让我们比较不同统计参数值对应的分布形状：

如图3.5所示，我们系统地比较了均值、标准差、偏度和峰度四个关键统计参数对分布形状的影响。该图通过四个子图展示了不同参数值下分布特征的显著差异，帮助我们直观理解统计参数与分布形状之间的对应关系。

### 3.2.7 生态学意义总结

通过这些可视化，我们可以清楚地看到：

#### 均值的影响：

- 大均值：分布整体向右移动，对应生态学中较大的个体大小、较高的生物量等
- 小均值：分布整体向左移动，对应较小的生态特征值

#### 方差/标准差的影响：

- 大方差：分布更加“矮胖”，数据分散，对应生态系统中个体间差异大、环境异质性高
- 小方差：分布更加“瘦高”，数据集中，对应均质的生态系统

#### 偏度的影响：

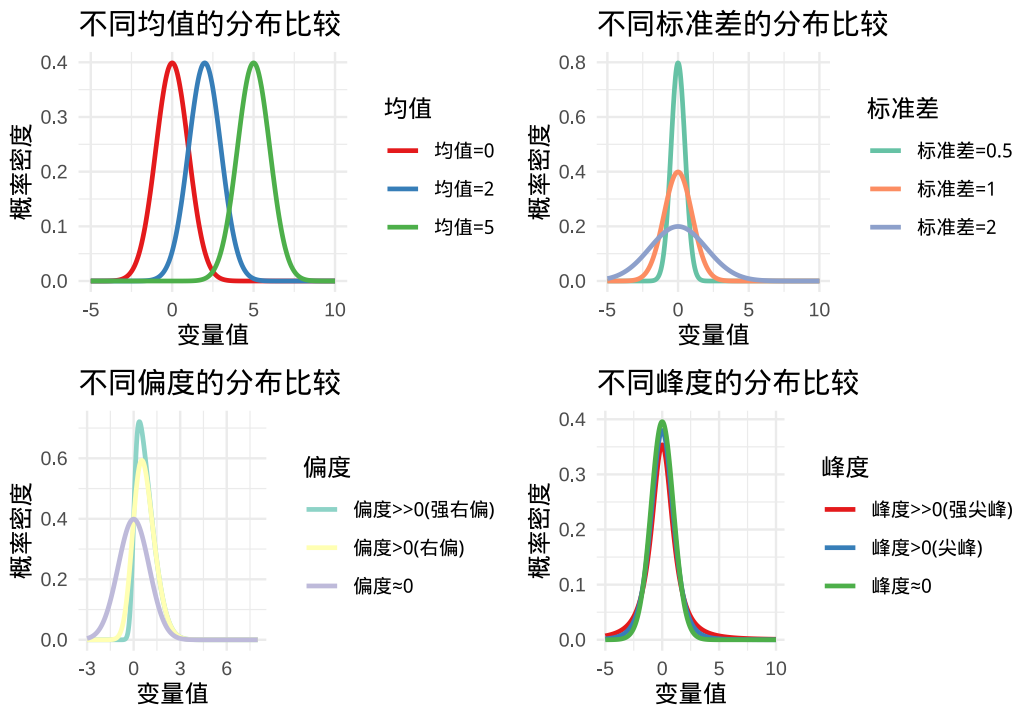


图 3.5 不同统计参数值的分布形状比较。包括均值、标准差、偏度和峰度四个维度的分布特征对比，展示了统计参数对分布形状的影响。

- **大正偏度：**分布右偏，右侧尾部较长，对应生态学中少数个体具有极大值（如优势物种）
- **大负偏度：**分布左偏，左侧尾部较长，对应多数个体具有较小值
- **零偏度：**对称分布，个体特征相对均匀

#### 峰度的影响：

- **高峰度：**分布尖峰厚尾，数据集中在均值附近但极端值概率较高，对应生态系统中稳定状态但偶发极端事件
- **低峰度：**分布平峰薄尾，数据分散，极端值较少，对应生态系统状态波动较大但无极端事件

#### 标准误的意义：

- **小标准误：**样本均值作为总体均值的估计更加精确，对应生态学中基于大样本的可靠推断
- **大标准误：**样本均值的估计不确定性较高，对应生态学中小样本研究的局限性

这些分布特征在生态学研究中具有重要的实际意义。例如：

- 物种多度分布通常呈现右偏，反映了少数优势物种和多数稀有物种的格局
- 环境因子的分布可能呈现高峰度，预示着极端气候事件的发生概率
- 个体大小的分布偏度可以反映种内竞争强度
- 群落多样性的分布方差可以指示生态系统的稳定性
- 基于标准误的置信区间为生态参数的估计提供了不确定性度量

通过理解这些统计概念在概率分布图上的表现，生态学家能够更准确地解读生态数据背后的模式和

过程。

## 3.3 环境异质性描述

### 3.3.1 环境异质性的概念

环境异质性是指环境因子在空间或时间上的变异程度，是生态系统中至关重要的结构特征。想象一片森林生态系统，如果土壤养分在整个区域均匀分布，我们就说环境异质性低；如果某些区域土壤肥沃，某些区域贫瘠，我们就说环境异质性高。这种异质性深刻影响着物种的分布、群落的构建和生态系统的功能。

从生态学角度来看，环境异质性可以分为空间异质性和时间异质性。空间异质性体现在环境因子在不同位置的差异，比如山坡上部和下部的温度差异、河流上游和下游的水质差异。时间异质性则体现在环境因子随时间的变化，比如季节性的温度波动、年际间的降水量变化。

高环境异质性通常意味着更多的生态位机会，能够支持更高的物种多样性。例如，一个具有复杂地形和多种土壤类型的区域，往往比平坦均质的区域拥有更多的植物物种。相反，低环境异质性的环境往往被少数适应能力强的物种所主导。

### 3.3.2 环境异质性的可视化理解

为了更好地理解环境异质性的概念，我们可以通过图示来展示不同异质性水平的环境格局：

如图3.6所示，我们通过土壤养分值的空间分布对比来可视化环境异质性。该图包含两个子图：上图展示低环境异质性和高环境异质性的空间分布模式，下图通过箱线图比较两种异质性类型的土壤养分值分布特征，帮助我们直观理解环境异质性对生态系统结构和功能的影响。

在低环境异质性的情况下，环境因子值在空间上相对均匀，没有明显的梯度或斑块化格局。而在高环境异质性的情况下，环境因子值呈现出明显的空间结构，可能表现为梯度变化、斑块分布或复杂的空间格局。

### 3.3.3 环境异质性的量化方法

#### 3.3.3.1 变异系数

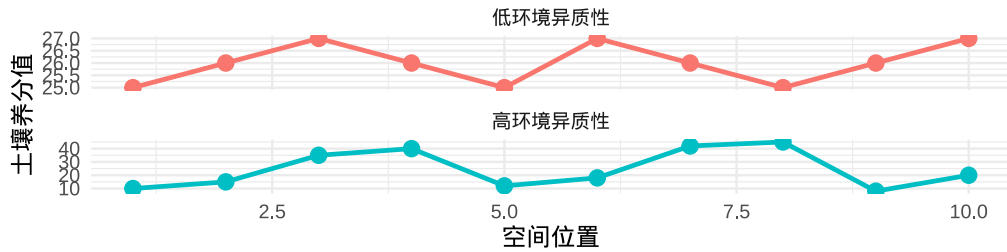
变异系数的生态学意义在于它能够消除量纲的影响，使我们能够比较不同环境因子的变异程度。在生态学研究中，变异系数被广泛应用于描述土壤养分、温度、湿度等环境因子的空间变异。例如，当我们研究一片森林中不同样方的土壤氮含量时，如果变异系数小于 20%，说明土壤氮含量相对均质；如果变异系数大于 40%，则表明土壤氮含量在空间上存在显著差异。这种变异模式可能反映了地形、植被覆盖或土壤形成过程的差异。

### 环境异质性可视化分析

Moran's I: 低异质性=-0.333( $p=0.781$ ), 高异质性=-0.028( $p=0.389$ )

#### 环境异质性对比

低异质性CV: 3.1%, 高异质性CV: 58.8%



#### 土壤养分值分布对比

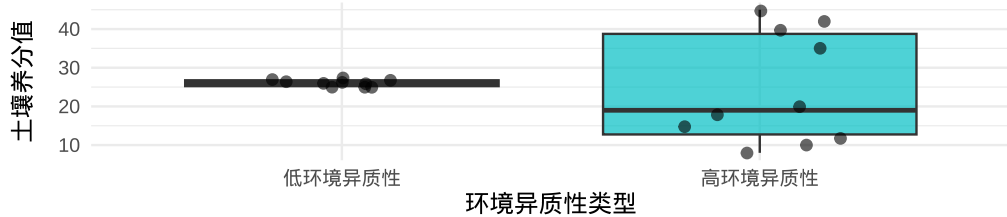


图 3.6 环境异质性可视化分析。上图展示低环境异质性和高环境异质性的空间分布对比，下图通过箱线图比较两种异质性类型的土壤养分值分布。

变异系数的优势在于计算简单、解释直观，但它无法提供关于变异空间结构的信息。因此，在需要深入了解环境异质性空间格局的研究中，通常需要结合其他更复杂的统计方法。

#### 3.3.3.2 Moran's I 空间自相关指数

Moran's I 是量化环境因子空间自相关性的重要统计量，它衡量相邻位置环境因子值的相似程度。Moran's I 的取值范围在-1 到 +1 之间，正值表示空间正相关（相似值聚集），负值表示空间负相关（相异值聚集），接近零表示空间随机分布。

数学定义：

$$I = \frac{n}{\sum_{i=1}^n \sum_{j=1}^n w_{ij}} \cdot \frac{\sum_{i=1}^n \sum_{j=1}^n w_{ij}(x_i - \bar{x})(x_j - \bar{x})}{\sum_{i=1}^n (x_i - \bar{x})^2}$$

其中：

- $n$  为观测点数量
- $x_i$  为第  $i$  个位置的观测值
- $\bar{x}$  为所有观测值的均值
- $w_{ij}$  为空间权重矩阵元素

R 代码实现：

```
# 示例数据: 10 个位置的温度观测值
temp_data <- c(15.2, 16.1, 15.8, 16.3, 15.9, 16.0, 15.7, 16.2, 15.6, 16.1)
coords <- data.frame(x = 1:10, y = rep(1, 10))
```

```
# 计算 Moran's I
library(spdep)
# 步骤 1: 构建空间邻接关系 - 使用 k 最近邻方法
nb <- spdep::knearneigh(as.matrix(coords), k = 2)

# 步骤 2: 创建空间权重矩阵
listw <- spdep::nb2listw(spdep::knn2nb(nb), style = "W")

# 步骤 3: 执行 Moran's I 空间自相关检验
moran_result <- spdep::moran.test(temp_data, listw)

cat("Moran's I:", round(moran_result$estimate[1], 3), "\n",
    "p-value:", round(moran_result$p.value, 4), "\n",
    sep = "")

## Moran's I:-0.374
## p-value:0.8464
```

在生态学应用中，Moran's  $I$  帮助我们理解环境因子的空间格局。例如，在研究山地温度分布时，如果 Moran's  $I$  显著为正，说明温度在空间上呈现聚集模式，即相邻位置的温度相似，这通常反映了海拔梯度的影响。相反，如果 Moran's  $I$  显著为负，则表明温度呈现棋盘状分布，相邻位置温度差异较大。Moran's  $I$  的计算需要考虑空间权重矩阵，这反映了不同位置之间的空间关系。常用的权重矩阵包括邻接权重、距离权重和  $k$  近邻权重等。选择合适的权重矩阵对于准确估计空间自相关性至关重要。

### 3.3.3.3 环境异质性指数

环境异质性指数是基于信息熵概念的环境异质性度量方法，它将环境因子按照类型进行分类，然后计算类型的多样性。其数学定义为各类型比例的对数加权和，与 Shannon 多样性指数的计算方式类似。

**数学定义：**

$$H = - \sum_{i=1}^S p_i \ln(p_i)$$

其中：

- $S$  为环境类型总数
- $p_i$  为第  $i$  种环境类型的面积比例

**R 代码实现：**

如图3.7所示，我们通过柱状图展示了四种生境类型的面积比例分布，并计算了相应的环境异质性指数。该图直观地呈现了基于信息熵的环境异质性度量方法在实际生态景观分析中的应用。

```
## 环境异质性指数：1.28
```

这种方法的生态学意义在于它能够量化生境斑块类型的多样性。例如，在研究一个景观中的生境配置时，我们可以将景观划分为森林、草地、湿地、农田等不同类型，然后计算环境异质性指数。指数值越高，说明生境类型越多样，环境异质性越高。环境异质性指数特别适用于描述分类环境因子的异质性，如土地利用类型、植被类型、土壤类型等。它能够捕捉到环境在类型组成上的复杂性，但不能反映同一类型内部的变异程度。

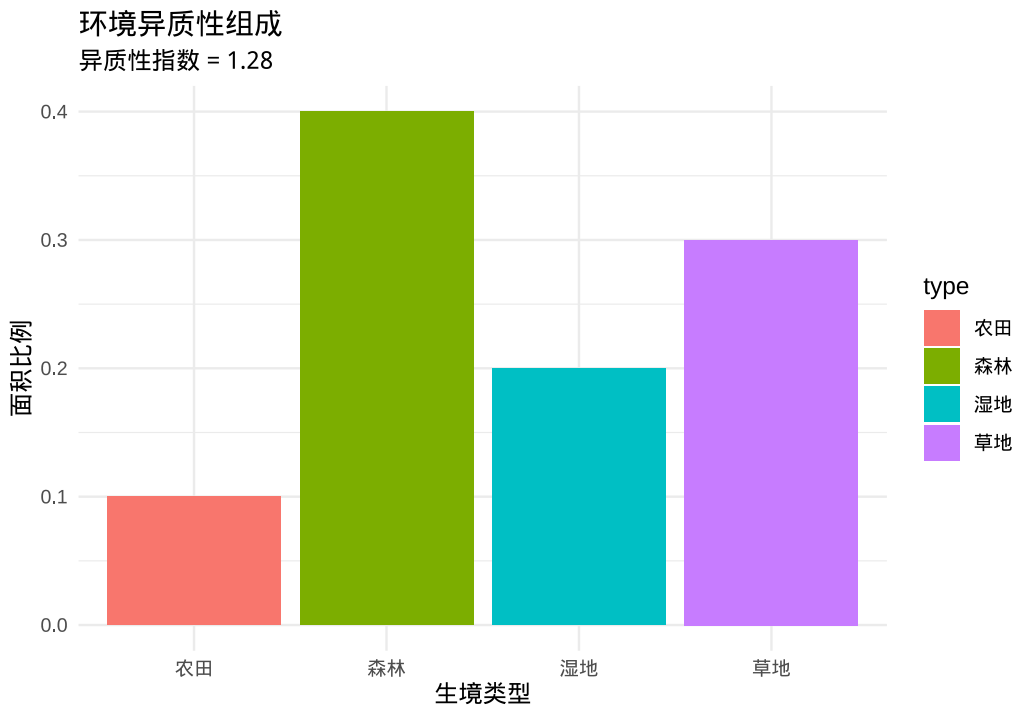


图 3.7 环境异质性组成柱状图。展示四种生境类型（森林、草地、湿地、农田）的面积比例分布，用于计算环境异质性指数。

### 3.3.3.4 空间变异分解

空间变异分解是一种分析环境因子变异来源的方法，它将总变异分解为空间变异和随机变异两个部分。空间变异反映了环境因子的空间格局，而随机变异则包括了测量误差和小尺度随机波动。

**数学定义：**

$$\text{总变异} = \text{空间变异} + \text{随机变异}$$

$$\text{空间变异比例} = \frac{\text{空间变异}}{\text{总变异}} \times 100\%$$

**R 代码实现：**

```
# 示例数据：土壤养分值的空间分布
soil_nutrient <- c(25, 28, 32, 35, 38, 40, 42, 45, 48, 50)
coordinates <- data.frame(x = 1:10, y = rep(1, 10))

# 计算总变异 (方差)
total_variance <- var(soil_nutrient)

# 使用线性模型估计空间变异
spatial_model <- lm(soil_nutrient ~ coordinates$x)
spatial_variance <- var(predict(spatial_model))
random_variance <- var(residuals(spatial_model))

# 计算空间变异比例
spatial_proportion <- spatial_variance / total_variance * 100

## 总变异:69.567
## 空间变异:69.094
## 随机变异:0.473
## 空间变异比例:99.3%
```

如图3.8所示，我们通过饼图直观地展示了土壤养分值总变异中空间变异和随机变异的相对比例。该图清晰地呈现了环境异质性的形成机制，帮助我们理解空间过程在环境格局形成中的重要性。

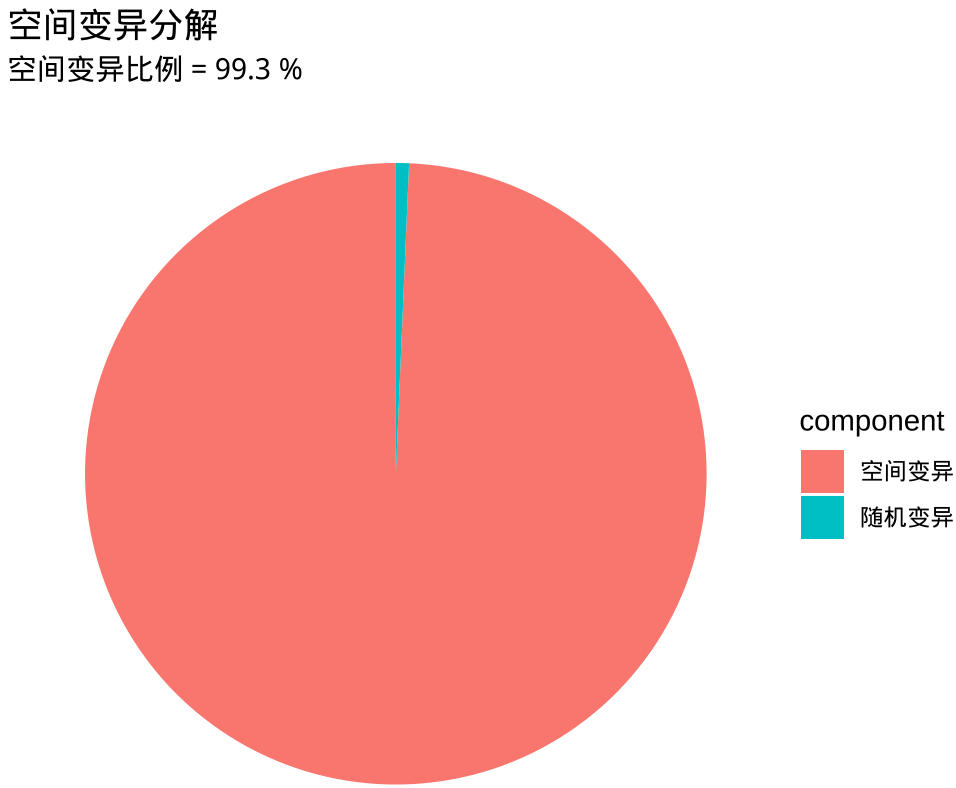


图 3.8 空间变异分解饼图。展示土壤养分值的总变异中空间变异和随机变异的相对比例，用于分析环境异质性的形成机制。

在生态学研究中，空间变异分解帮助我们理解环境异质性的形成机制。如果空间变异占总变异的比例较高（如超过 70%），说明环境因子具有强烈的空间格局，这种格局可能由地形、气候或其他空间过程所驱动。如果随机变异占主导，则表明环境因子的分布相对随机，缺乏明显的空间结构。空间变异分解通常通过地统计学方法实现，如克里金插值或变异函数分析。这种方法不仅能够量化空间变异的相对重要性，还能够识别空间依赖的范围和方向，为理解生态过程的空间尺度提供重要信息。

### 3.3.3.5 分形维数

分形维数是基于分形几何理论的环境异质性度量方法，它量化环境表面的复杂程度和粗糙度。对于相对平滑的环境表面，分形维数较低（接近 2）；而对于表面起伏非常大的复杂环境，分形维数较高（接近 3）。

#### 数学定义：

分形维数  $D$  可以通过盒计数法计算：

$$D = \lim_{\epsilon \rightarrow 0} \frac{\log N(\epsilon)}{\log(1/\epsilon)}$$

其中：

- $\epsilon$  为网格大小
- $N(\epsilon)$  为覆盖环境表面所需的大小为  $\epsilon$  的盒子数量

R 代码实现：

```
# 盒计数法计算分形维数
calculate_fractal_dimension <- function(surface_matrix) {
  sizes <- 2^(1:6) # 网格大小序列
  counts <- numeric(length(sizes))

  for (i in seq_along(sizes)) {
    size <- sizes[i]
    # 将表面划分为网格
    grid_rows <- nrow(surface_matrix) %/% size
    grid_cols <- ncol(surface_matrix) %/% size
    grid <- matrix(0, nrow = grid_rows, ncol = grid_cols)

    # 计算每个网格中是否有数据点
    for (r in 1:grid_rows) {
      for (c in 1:grid_cols) {
        row_start <- (r - 1) * size + 1
        row_end <- min(row_start + size - 1, nrow(surface_matrix))
        col_start <- (c - 1) * size + 1
        col_end <- min(col_start + size - 1, ncol(surface_matrix))

        sub_matrix <- surface_matrix[row_start:row_end, col_start:col_end]
        if (any(sub_matrix > 0)) {
          grid[r, c] <- 1
        }
      }
    }
    counts[i] <- sum(grid)
  }

  # 线性回归估计分形维数
  model <- lm(log(counts) ~ log(1 / sizes))
  return(coef(model)[2])
}

# 示例：创建不同复杂程度的环境表面
set.seed(123)
# 平滑表面（低分形维数）
smooth_surface <- matrix(rnorm(64 * 64, mean = 50, sd = 5), 64, 64)
# 复杂表面（高分形维数）
complex_surface <- matrix(rnorm(64 * 64, mean = 50, sd = 20), 64, 64)

# 计算分形维数
fd_smooth <- calculate_fractal_dimension(smooth_surface)
fd_complex <- calculate_fractal_dimension(complex_surface)

cat(" 平滑表面的分形维数:", round(fd_smooth, 3), "\n")

## 平滑表面的分形维数: 2
cat(" 复杂表面的分形维数:", round(fd_complex, 3), "\n")

## 复杂表面的分形维数: 2
```

如图3.9所示，我们通过热图对比了不同复杂程度环境表面的分形维数特征。该图清晰地展示了平滑环境表面与复杂环境表面在空间结构复杂度上的显著差异，直观呈现了分形维数作为环境异质性度量指标的有效性。

在生态学研究中，分形维数帮助我们理解环境表面的结构复杂性。例如，在研究地形复杂度对物种

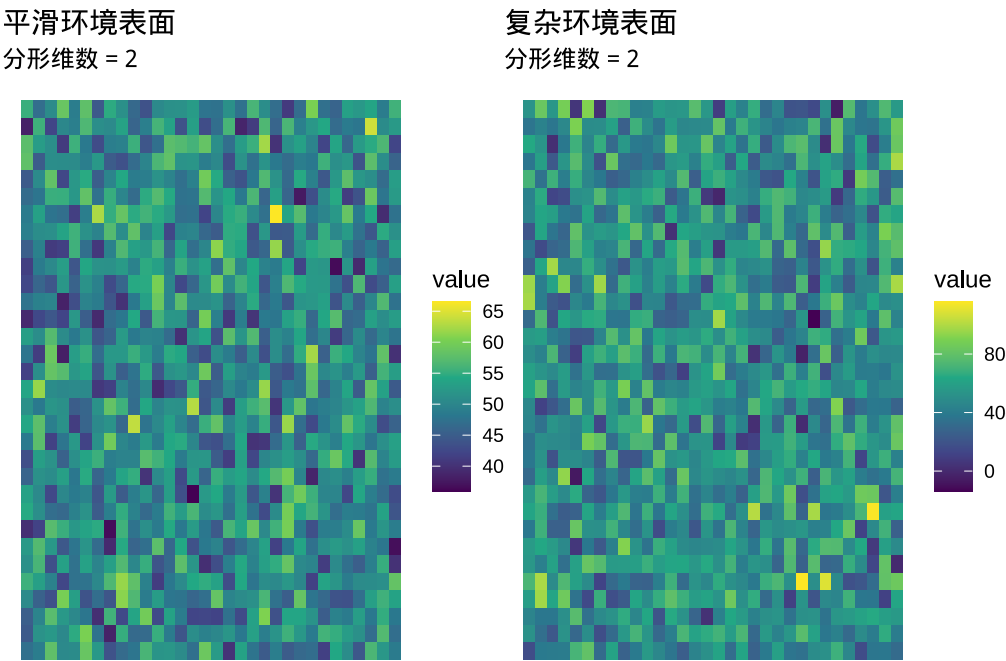


图 3.9 不同复杂程度环境表面的分形维数可视化。左图展示平滑环境表面（低分形维数），右图展示复杂环境表面（高分形维数）。

分布的影响时，高分形维数的地形通常提供更多的微生境和生态位机会，从而支持更高的物种多样性。分形维数特别适用于描述连续环境因子的空间格局，如地形高程、植被覆盖度、土壤性质等。

### 3.3.4 环境异质性的生态学意义

环境异质性通过多种机制影响生态系统。首先，它创造了多样化的生态位，为不同物种提供了适宜的生存条件。其次，它影响了物种间的相互作用，如竞争、捕食和互利共生。第三，它调节了生态系统的稳定性和恢复力。高异质性的环境通常具有更高的生物多样性和更强的抗干扰能力。

理解环境异质性对于生态保护和管理具有重要意义。在保护区设计中，需要考虑环境异质性来确保保护足够的生境多样性。在生态恢复项目中，重建适当的环境异质性有助于促进物种的重新定殖和生态系统的自我修复。

## 3.4 个体特征描述

个体特征描述关注生物个体在生命周期中的存活和死亡模式，这些函数在生态学研究中对于理解种群动态、生存策略和死亡风险具有重要意义。

### 3.4.1 生存函数

生存函数  $S(t)$  描述个体从出生到时间  $t$  仍然存活的概率，是存活分析中的核心概念。

**数学定义：**

$$S(t) = P(T > t) = 1 - F(t)$$

其中：

- $T$  为个体的存活时间（随机变量）
- $F(t)$  为累积分布函数

如图3.10所示，我们通过 Kaplan-Meier 方法估计并绘制了鸟类个体的生存函数曲线。该图直观地展示了生存概率随时间递减的模式，为分析种群动态和个体寿命分布提供了重要的可视化工具。

鸟类个体生存函数

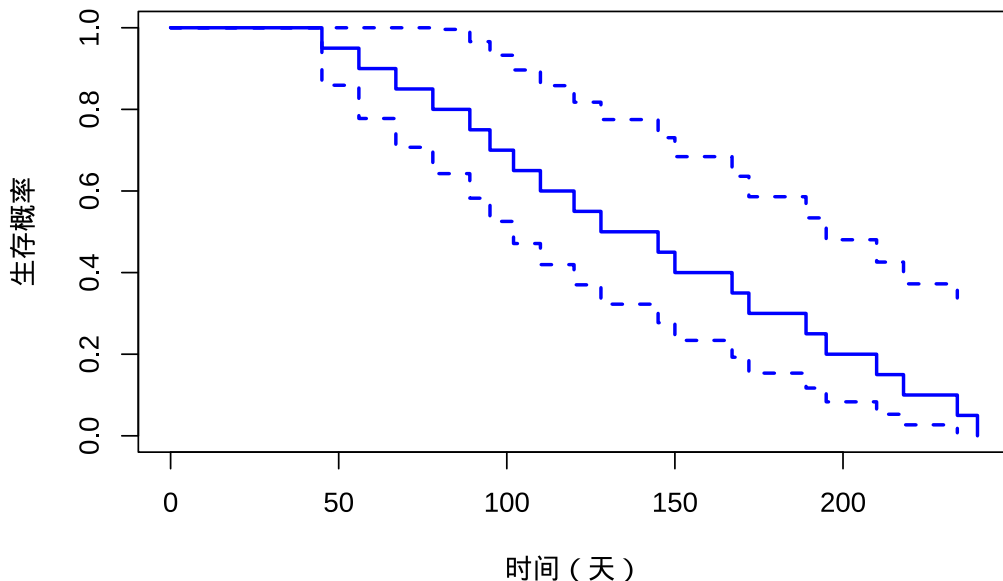


图 3.10 鸟类个体生存函数曲线。使用 Kaplan-Meier 方法估计的生存概率随时间变化曲线，蓝色曲线表示生存概率，可用于分析个体存活率和寿命分布。

```
## 中位生存时间: 136.5 天
## 最大观测时间( 240 天)生存率: 0
```

**生态学意义：**生存函数在生态学中广泛应用于分析个体存活率、寿命分布和生存策略。例如，在标记重捕研究中，生存函数帮助我们估计野生动物种群的年存活率；在种群动态模型中，生存函数是预测种群增长的关键参数。不同物种的生存函数形态反映了其生活史策略的差异。

### 3.4.2 瞬时死亡风险函数

瞬时死亡风险函数  $h(t)$  描述在时间  $t$  仍然存活的个体在下一瞬间死亡的条件概率密度，反映了死亡风险的瞬时变化。

**数学定义：**

$$h(t) = \lim_{\Delta t \rightarrow 0} \frac{P(t \leq T < t + \Delta t | T \geq t)}{\Delta t} = \frac{f(t)}{S(t)}$$

其中：

- $f(t)$  为概率密度函数
- $S(t)$  为生存函数

#### R 代码实现：

如图3.11所示，我们计算并绘制了瞬时死亡风险函数曲线。该图通过红色曲线展示了在不同时间点仍然存活的个体在下一瞬间死亡的条件概率密度，为分析死亡风险的动态变化模式提供了重要的可视化工具。

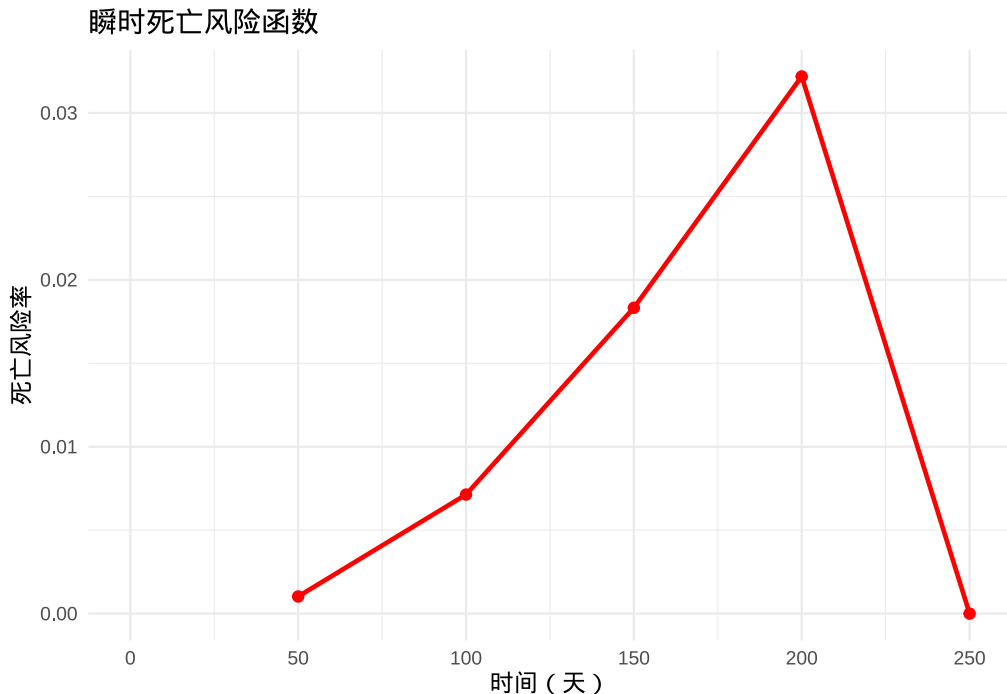


图 3.11 瞬时死亡风险函数曲线。红色曲线表示在不同时间点仍然存活的个体在下一瞬间死亡的条件概率密度，反映了死亡风险的瞬时变化模式。

## 死亡风险随时间变化模式：

```
##   time      hazard
## 1     0        NaN
## 2    50 0.001025866
## 3   100 0.007133499
## 4   150 0.018325815
## 5   200 0.032188758
## 6   250 0.000000000
```

**生态学意义：**瞬时死亡风险函数揭示了死亡风险的时间变化模式，对于理解年龄特异性死亡率具有重要意义。例如，在鸟类研究中，幼鸟的死亡风险通常较高，随后下降，到老年时再次上升，形成典型的“浴盆曲线”。这种模式反映了不同生命阶段的生存挑战和适应性策略。

#### 3.4.3 累积风险函数

累积风险函数  $H(t)$  描述个体从出生到时间  $t$  所经历的累积死亡风险，是生存函数对数的负值。

**数学定义：**

$$H(t) = -\ln S(t) = \int_0^t h(u)du$$

其中：

- $h(u)$  为瞬时死亡风险函数
- $S(t)$  为生存函数

如图??所示，我们综合展示了生存分析中的三个核心函数。该图通过三个子图系统性地呈现了生存函数、瞬时死亡风险函数和累积风险函数之间的数学关系，为全面理解个体生存特征提供了完整的可视化分析框架。

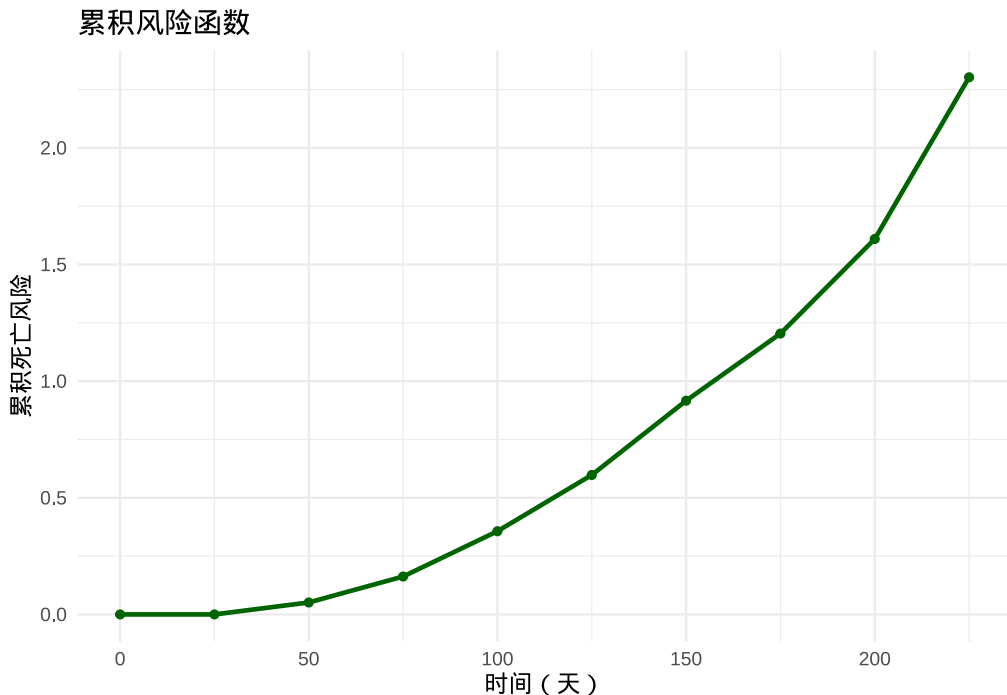


图 3.12 个体生存特征综合分析。左图：生存函数（蓝色）表示生存概率；中图：瞬时死亡风险函数（红色）表示死亡风险率；右图：累积风险函数（深绿色）表示累积死亡风险。

**生态学意义：**累积风险函数综合评估个体在整个生命周期中的死亡风险积累，为理解种群生存压力提供整体视角。在保护生物学中，累积风险函数帮助评估濒危物种面临的生存威胁程度；在种群管理中，它为制定保护策略提供量化依据。高累积风险值表明种群面临严重的生存压力，需要采取干预措施。

## 3.5 种群特征描述

种群特征描述关注种群内个体间的资源分配和竞争关系，这些指标在生态学研究中对于理解种群结构、资源利用效率和种内竞争具有重要意义。种群作为生态系统的核心组成单元，其内部个体间的相互作用模式直接影响着种群的动态变化、适应能力和生态系统功能。在资源有限的环境中，个体间不可避免地存在着对光照、水分、养分和空间等关键资源的竞争，这种竞争强度及其导致的资源分配格局是

### 个体生存特征综合分析

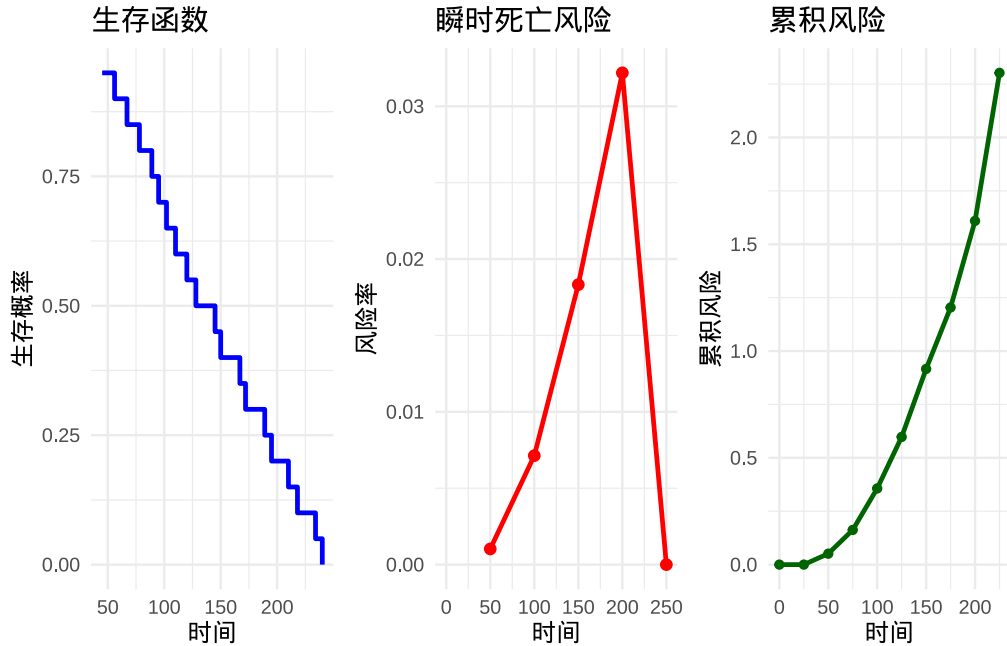


图 3.13 个体生存特征综合分析。左图：生存函数（蓝色）表示生存概率；中图：瞬时死亡风险函数（红色）表示死亡风险率；右图：累积风险函数（深绿色）表示累积死亡风险。

种群生态学研究的核心内容。通过量化种群内个体大小的分布不均等性，我们可以深入理解种内竞争机制、资源捕获策略以及种群对环境变化的响应能力。例如，在森林生态系统中，树木个体对光照的竞争往往导致少数优势个体占据大部分资源，形成典型的层级结构；而在草地生态系统中，相对均等的资源分配可能反映了较为缓和的种内竞争。种群特征描述不仅帮助我们揭示种群的当前状态，还为预测种群未来发展趋势、制定合理的保护管理策略提供了科学依据。在现代生态学研究中，结合数学模型和统计方法对种群特征进行量化分析，已成为理解生物多样性维持机制、生态系统稳定性以及全球变化背景下种群适应性演化的重要途径。

#### 3.5.1 Gini 系数

Gini 系数是衡量种群内个体大小或资源分配不均等性的重要指标，取值范围在 0 到 1 之间，值越大表示分配越不均等。

数学定义：

$$G = \frac{\sum_{i=1}^n \sum_{j=1}^n |x_i - x_j|}{2n^2 \bar{x}}$$

其中：

- $n$  为种群个体数量
- $x_i$  为第  $i$  个个体的生物量或资源量
- $\bar{x}$  为个体大小的平均值

### R 代码实现:

如图3.14所示，我们通过树木胸径分布图展示了 Gini 系数的计算和可视化。该图通过蓝色点表示个体胸径值，红色虚线表示平均胸径，直观地反映了种群内个体大小的不均等性程度，为分析资源分配格局提供了重要的可视化工具。

```
## 树木胸径的Gini系数: 0.222
```

```
## 使用ineq包计算的Gini系数: 0.222
```

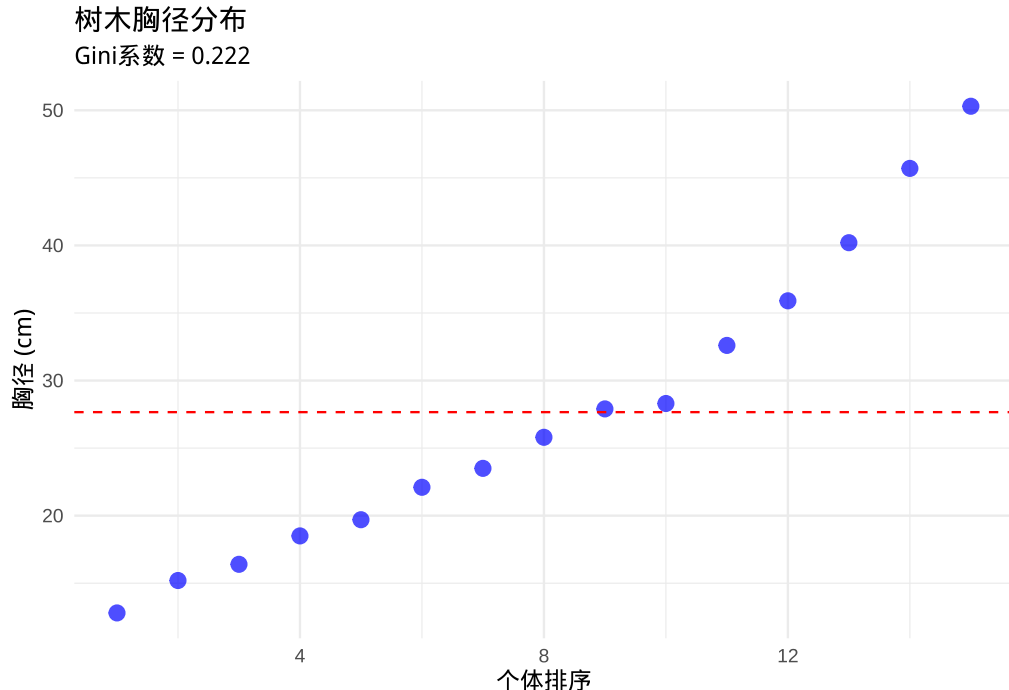


图 3.14 树木胸径分布图。蓝色点表示个体胸径值，红色虚线表示平均胸径，用于计算和可视化 Gini 系数，反映种群内个体大小的不均等性。

**生态学意义：** Gini 系数在生态学中常用于评估种群内个体竞争强度、分析资源利用效率和分配公平性、以及比较不同种群的个体大小分布模式。例如，在森林生态系统中，高 Gini 系数表明少数大树占据了大部分资源，反映了强烈的种内竞争；低 Gini 系数则表明资源分配相对均等，个体间竞争较弱。Gini 系数帮助我们理解种群的结构动态和资源利用模式。

### 3.5.2 Lorenz 曲线

Lorenz 曲线是可视化种群内个体大小分布不均等性的图形工具，通过累积个体大小与累积个体数量的关系曲线来展示资源分配模式。

**数学定义：** Lorenz 曲线上的点  $(p, L(p))$  表示：

- $p$ : 累积个体比例（从小到大排序）
- $L(p)$ : 对应个体累积的资源比例

如图3.15所示，我们绘制了 Lorenz 曲线图来可视化种群内资源分配的不均等性。该图通过深绿色

曲线展示累积资源分配比例，灰色对角线表示完全均等分配的理想状态，浅绿色区域表示基尼面积，为分析资源分配格局提供了直观的图形工具。

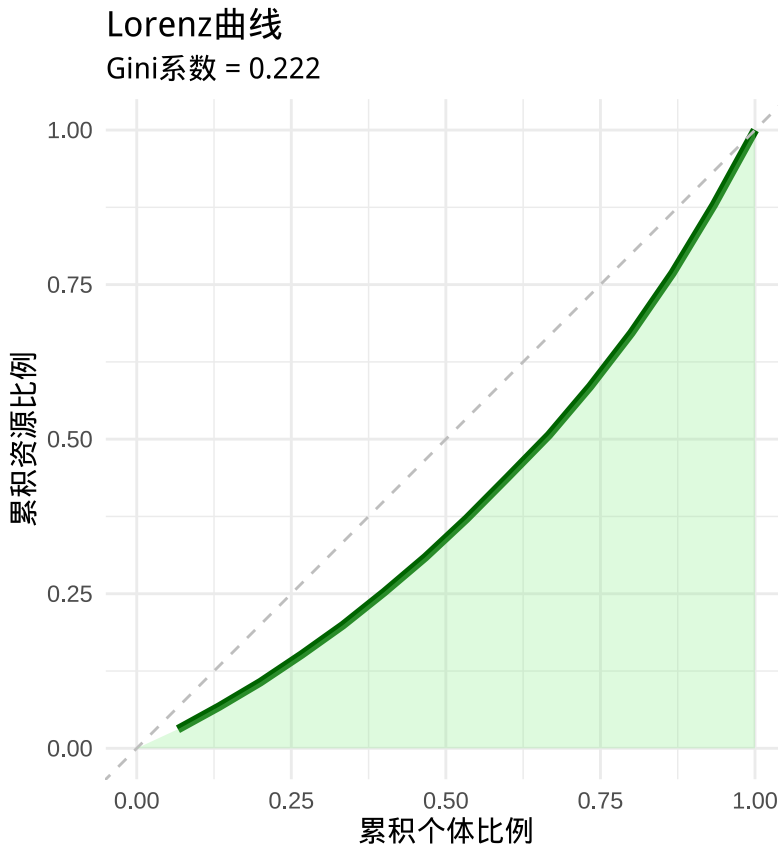


图 3.15 Lorenz 曲线图。深绿色曲线表示累积资源分配比例，灰色对角线表示完全均等分配，浅绿色区域表示基尼面积，用于可视化种群内资源分配的不均等性。

```
## 基尼面积: 0.1118
```

**生态学意义：** Lorenz 曲线直观地展示了种群内资源分配的不均等性。曲线越接近对角线，资源分配越均等；曲线越向下弯曲，资源分配越不均等。在生态学研究中，Lorenz 曲线帮助我们可视化种内竞争格局，理解优势个体对资源的控制程度。

### 3.5.3 基尼系数的生态学应用

基尼系数在生态学研究中具有广泛的应用价值，主要体现在以下几个方面：

#### 评估种内竞争强度：

如图3.16所示，我们通过箱线图和散点图比较了竞争强度不同的两个种群的个体大小分布。该图直观地展示了高 Gini 系数种群（竞争较强）与低 Gini 系数种群（竞争较弱）在个体大小分布格局上的显著差异，为评估种内竞争强度提供了重要的可视化证据。

```
## 种群A的Gini系数: 0.217 (竞争较弱)
```

```
## 种群B的Gini系数: 0.4 (竞争较强)
```

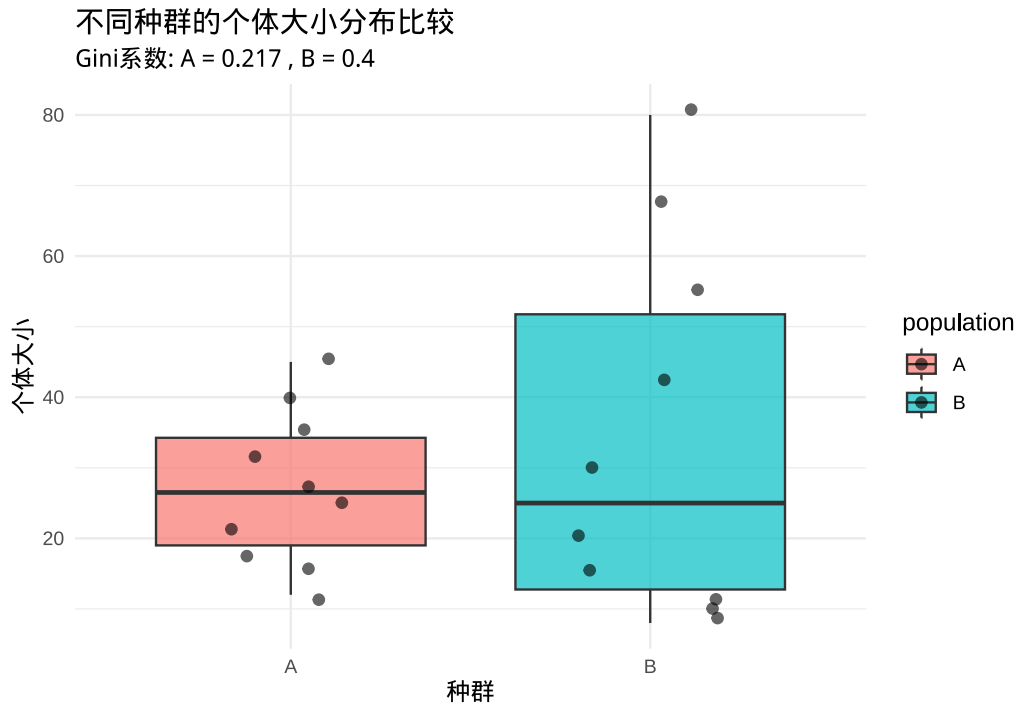


图 3.16 不同种群的个体大小分布比较。通过箱线图和散点图展示竞争强度不同的两个种群的个体大小分布，用于比较 Gini 系数和种内竞争格局。

**分析资源利用效率：**高 Gini 系数的种群通常表明资源集中在少数个体手中，这可能反映了高效的资源捕获能力，但也可能导致种群稳定性下降。通过监测 Gini 系数的变化，可以评估种群对环境的适应性和资源利用策略的演化。

#### 比较不同种群的个体大小分布模式：

```
# 模拟不同环境条件下的种群分布
set.seed(123)
resource_rich <- rnorm(50, mean = 30, sd = 5) # 资源丰富环境
resource_poor <- rnorm(50, mean = 20, sd = 8) # 资源贫乏环境

gini_rich <- calculate_gini(resource_rich)
gini_poor <- calculate_gini(resource_poor)

cat(" 资源丰富环境的 Gini 系数:", round(gini_rich, 3), "\n")

## 资源丰富环境的 Gini 系数: 0.086
cat(" 资源贫乏环境的 Gini 系数:", round(gini_poor, 3), "\n")

## 资源贫乏环境的 Gini 系数: 0.189

# 综合分析
efficiency_analysis <- data.frame(
  环境条件 = c("资源丰富", "资源贫乏"),
  Gini 系数 = c(gini_rich, gini_poor),
  平均大小 = c(mean(resource_rich), mean(resource_poor)),
  变异系数 = c(
    sd(resource_rich) / mean(resource_rich),
    sd(resource_poor) / mean(resource_poor)
  )
)
print(" 不同环境条件下的种群特征比较:")
```

```
## [1] "不同环境条件下的种群特征比较:"
print(eficiency_analysis)

## 环境条件 Gini系数 平均大小 变异系数
## 1 资源丰富 0.08611673 30.17202 0.1534319
## 2 资源贫乏 0.18922016 21.17127 0.3421419
```

**生态学意义总结：**基尼系数和 Lorenz 曲线为生态学家提供了量化种群内资源分配不均等性的工具。这些指标不仅帮助我们理解种内竞争机制，还为种群管理、保护生物学和生态系统功能研究提供了重要依据。通过分析不同环境条件下 Gini 系数的变化，我们可以深入理解种群对环境变化的响应策略和适应性演化。

## 3.6 群落特征描述

物种多样性是生态学研究的核心内容之一，它描述了生物群落在物种组成、数量分布和生态功能等方面的复杂程度。物种多样性不仅反映了生态系统的稳定性和恢复力，还为理解生物进化、群落构建机制和生态系统功能提供了重要依据。

### 3.6.1 Fisher's $\alpha$

Fisher's  $\alpha$  是基于对数级数分布的物种多样性度量方法，它在样本量变化时相对稳定，特别适用于比较不同采样强度的群落。

**数学定义：** Fisher's  $\alpha$  通过对数级数分布拟合得到：

$$S = \alpha \ln\left(1 + \frac{N}{\alpha}\right)$$

其中：

- $S$  为观测到的物种数
- $N$  为总个体数
- $\alpha$  为 Fisher's  $\alpha$  多样性指数

**R 代码实现：**

如图??所示，我们通过森林群落物种组成柱状图展示了五种树种的个体数量分布。该图不仅用于计算和可视化 Shannon-Wiener 多样性指数，还为 Fisher's 多样性指数的计算提供了基础数据，为分析群落多样性特征提供了重要的可视化工具。

```
## Fisher's alpha: 1.244
## 使用vegan包计算的Fisher's alpha: 1.244
```

如图3.1所示，我们通过模拟不同样本量的群落数据，系统地分析了样本量对 Shannon 指数和 Fisher's 多样性指数的影响。该表格清晰地展示了两种多样性指数随样本量变化的响应模式。

表 3.1 样本量对多样性指数的影响

| 样本量 | Shannon 指数 | Fisher_alpha |
|-----|------------|--------------|
| 50  | 2.224785   | 3.843383     |
| 100 | 2.276299   | 2.681482     |
| 200 | 2.279418   | 2.215373     |
| 500 | 2.293935   | 1.758383     |

**生态学意义：** Fisher's  $\alpha$  在生态学研究中特别适用于比较不同采样强度或样本量的群落。由于其相对稳定性，Fisher's  $\alpha$  能够减少采样偏差对多样性评估的影响，为跨研究比较提供可靠依据。在生物多样性监测和保护区评估中，Fisher's  $\alpha$  是重要的参考指标。

### 3.6.2 Shannon-Wiener 指数

Shannon-Wiener 指数是基于信息熵概念的物种多样性度量方法，它综合反映了物种丰富度和均匀度，对稀有物种较为敏感。

**数学定义：**

$$H' = - \sum_{i=1}^S p_i \ln(p_i)$$

其中：

- $S$  为物种总数
- $p_i$  为第  $i$  个物种的相对多度

如图3.17所示，我们通过森林群落物种组成柱状图展示了五种树种的个体数量分布，并计算了相应的 Shannon-Wiener 多样性指数。该图直观地呈现了群落中物种多度的分布格局，为分析群落多样性和物种均匀度提供了重要的可视化工具。

**生态学意义：** Shannon-Wiener 指数在生态学中广泛应用于评估群落的物种多样性水平。较高的 Shannon 指数值表明群落具有较高的物种丰富度和均匀度，生态系统通常更加稳定和具有更强的恢复力。该指数对稀有物种较为敏感，能够较好地反映群落的保护价值和生态功能。

### 3.6.3 Simpson 指数

Simpson 指数是基于概率论的物种多样性度量方法，它表示随机抽取两个个体属于不同物种的概率，对优势物种较为敏感。

**数学定义：**

$$D = 1 - \sum_{i=1}^S p_i^2$$

其中：

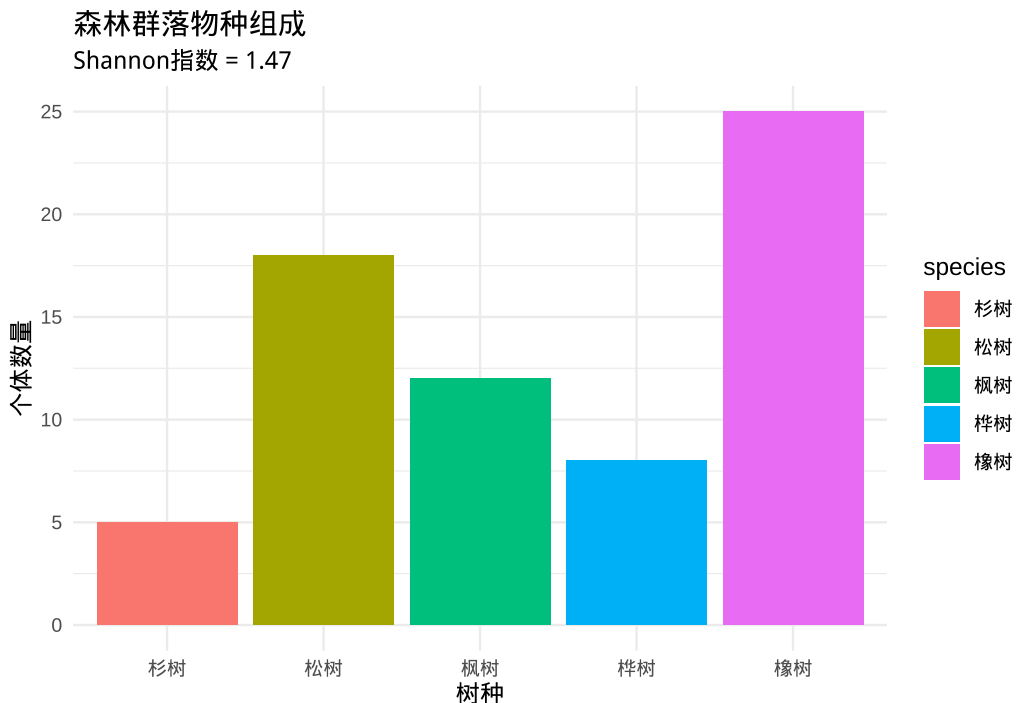


图 3.17 森林群落物种组成柱状图。展示五种树种（橡树、松树、枫树、桦树、杉树）的个体数量分布，用于计算和可视化 Shannon-Wiener 多样性指数。

- $S$  为物种总数
- $p_i$  为第  $i$  个物种的相对多度

R 代码实现：

```
# 计算 Simpson 指数
calculate_simpson <- function(abundance) {
  total <- sum(abundance)
  p <- abundance / total
  D <- 1 - sum(p^2)
  return(D)
}

simpson_index <- calculate_simpson(species_abundance)
cat("Simpson 指数:", round(simpson_index, 3), "\n")

## Simpson 指数: 0.744

# 使用 vegan 包验证计算结果
simpson_vegan <- vegan::diversity(species_abundance, index = "simpson")
cat(" 使用 vegan 包计算的 Simpson 指数:", round(simpson_vegan, 3), "\n")

## 使用 vegan 包计算的 Simpson 指数: 0.744

# 比较不同群落的多样性
community_A <- c(30, 25, 20, 15, 10) # 多样性较高
community_B <- c(50, 20, 15, 10, 5) # 多样性较低

shannon_A <- calculate_shannon(community_A)
shannon_B <- calculate_shannon(community_B)
simpson_A <- calculate_simpson(community_A)
simpson_B <- calculate_simpson(community_B)

comparison_data <- data.frame(
  群落 = c("A", "B"),
  多样性指数 = c(shannon_A, shannon_B),
  Simpson 指数 = c(simpson_A, simpson_B)
)
```

```

Shannon 指数 = c(shannon_A, shannon_B),
Simpson 指数 = c(simpson_A, simpson_B)
)

```

如表3.2所示，我们通过表格系统地比较了两个不同群落的 Shannon 指数和 Simpson 指数。该表格清晰地展示了群落 A 和群落 B 在物种多样性和优势度格局上的差异，为分析群落生态特征提供了量化的比较依据。

表 3.2 不同群落的多样性比较

| 群落 | Shannon 指数 | Simpson 指数 |
|----|------------|------------|
| A  | 1.544480   | 0.775      |
| B  | 1.333074   | 0.675      |

**生态学意义：** Simpson 指数特别适用于分析群落中的优势物种格局。较低的 Simpson 指数值表明群落中存在明显的优势物种，这可能反映了强烈的竞争排斥或环境筛选作用。在生态监测和保护规划中，Simpson 指数帮助我们识别需要特别关注的生态关键种和优势种。

### 3.6.4 Pielou 均匀度指数

Pielou 均匀度指数是独立于物种丰富度的均匀度度量方法，它反映了物种多度分布的均等程度。

**数学定义：**

$$J' = \frac{H'}{H'_{max}} = \frac{H'}{\ln(S)}$$

其中：

- $H'$  为观测的 Shannon 指数
- $H'_{max}$  为最大可能的 Shannon 指数（当所有物种多度相等时）
- $S$  为物种总数

**R 代码实现：**

```

# 计算 Pielou 均匀度指数
calculate_pielou <- function(abundance) {
  H <- calculate_shannon(abundance)
  S <- length(abundance)
  J <- H / log(S)
  return(J)
}

pielou_index <- calculate_pielou(species_abundance)
cat("Pielou 均匀度指数:", round(pielou_index, 3), "\n")

## Pielou 均匀度指数: 0.913

# 比较不同均匀度的群落
even_community <- c(20, 18, 22, 19, 21) # 均匀分布
uneven_community <- c(50, 15, 10, 12, 13) # 不均匀分布

pielou_even <- calculate_pielou(even_community)
pielou_uneven <- calculate_pielou(uneven_community)

```

如图3.18所示，我们通过群落均匀度比较图直观地展示了均匀分布和不均匀分布两种群落的物种多度格局。该图清晰地呈现了 Pielou 均匀度指数在量化群落内物种分布均匀性方面的有效性，为分析群落结构特征提供了重要的可视化工具。

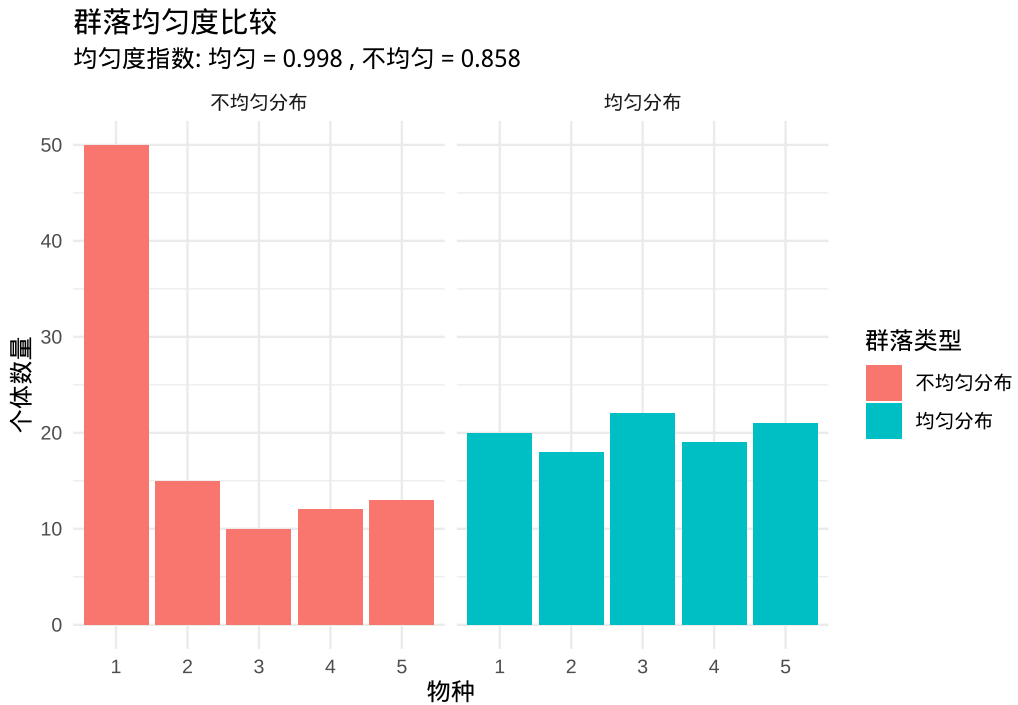


图 3.18 群落均匀度比较。展示五种树种（橡树、松树、枫树、桦树、杉树）的个体数量分布，用于计算和可视化 Pielou 均匀度指数。

如表3.3所示，我们通过群落多样性综合评估表格系统地总结了四种主要多样性指数的计算结果和生态学解释。该表格为全面理解群落多样性特征提供了综合的分析框架，展示了不同指数在生态学研究中的互补作用。

表 3.3 群落多样性综合评估

| 指数类型           | 数值        | 解释     |
|----------------|-----------|--------|
| Shannon-Wiener | 1.4695049 | 综合多样性  |
| Simpson        | 0.7443772 | 优势度敏感性 |
| Fisher's       | 1.2439951 | 样本稳定性  |
| Pielou 均匀度     | 0.9130547 | 均匀度度量  |

**生态学意义：** Pielou 均匀度指数在生态学中用于独立评估物种多度分布的均等程度，不受物种丰富度的影响。高均匀度指数表明群落中资源分配相对均等，种间竞争可能较为缓和；低均匀度指数则反映了明显的优势种格局和强烈的种间竞争。均匀度指数为理解群落构建机制和生态位分化提供了重要信息。

## 3.7 生态网络特征描述

生态网络特征描述关注物种间相互作用的拓扑结构和功能关系，这些指标在生态学研究中对于理解群落稳定性、能量流动和生态系统功能具有重要意义。生态网络分析将生物群落视为复杂的网络系统，其中物种作为节点，它们之间的相互作用作为边，通过图论方法揭示生态系统的组织规律和动态特征。

生态网络分析是现代生态学的重要分支，它将传统的物种-环境关系研究扩展到物种-物种相互作用的网络层面。这种分析方法不仅关注单个物种的生态特征，更注重物种间相互作用的整体格局和结构特征。在生态网络中，每个物种都不是孤立存在的，而是通过捕食、竞争、互利共生等多种关系与其他物种紧密相连，形成一个复杂的相互作用网络。这种网络结构直接影响着生态系统的稳定性、恢复力和功能表现。

生态网络分析的核心在于揭示物种间相互作用的拓扑特征，包括连接度、模块性、嵌套性等关键指标。连接度反映了网络中物种间相互作用的密集程度，高连接度通常意味着更强的功能冗余和系统稳定性；模块性描述了网络内部群落结构的明显程度，高模块性表明系统可以划分为相对独立的子群落，这有助于缓冲局部干扰对整个系统的影响；嵌套性则揭示了特化物种与泛化物种的连接模式，高嵌套性表明系统具有层级结构，特化物种的生存依赖于泛化物种的存在。

生态网络分析的应用范围十分广泛，涵盖了植物-传粉者网络、宿主-寄生者网络、竞争网络等多种生态相互作用类型。例如，在植物-传粉者网络中，网络结构特征直接影响着植物的繁殖成功率和传粉者的资源获取；在食物网中，网络拓扑特征决定了能量流动的效率和系统的稳定性。这些网络特征不仅反映了当前的生态状态，还能够预测生态系统对环境变化的响应和适应能力。

随着计算生态学的发展，生态网络分析的方法和技术不断进步。现代生态网络研究结合了图论、复杂系统理论和统计物理学等多个学科的理论和方法，为理解生态系统的复杂性和动态性提供了强有力的工具。通过量化分析生态网络的结构特征，我们可以更好地预测生物多样性的维持机制、生态系统的稳定性阈值以及对全球变化的响应模式。

在保护生物学和生态系统管理中，生态网络特征描述具有重要的实践价值。通过识别网络中的关键物种和脆弱环节，我们可以制定更有针对性的保护策略；通过分析网络结构的变化，我们可以监测生态系统的健康状况和恢复进程。生态网络分析为生物多样性保护、生态系统修复和可持续发展提供了科学依据，是现代生态学研究不可或缺的重要组成部分。

### 3.7.1 网络拓扑指标

网络拓扑指标描述了生态网络的结构特征，包括连接模式、模块组织和嵌套格局等，这些特征直接影响生态系统的稳定性和功能。网络拓扑分析是生态网络研究的核心内容，它通过量化网络的结构特征来揭示物种间相互作用的组织规律和生态系统的功能特性。拓扑指标不仅反映了当前的生态状态，还能够预测生态系统对环境变化的响应能力和恢复潜力。

**连接度：**连接度是生态网络分析中最基础的拓扑指标之一，它衡量网络中实际连接数与可能连接数

的比例，反映了物种间相互作用的密集程度。连接度的取值范围在 0 到 1 之间，值越大表明网络中物种间的相互作用越密集。

**数学定义：**

$$C = \frac{L}{S(S - 1)}$$

其中：

- $L$  为网络中实际存在的连接数
- $S$  为物种总数

连接度的生态学意义十分深远。高连接度通常意味着生态系统具有更强的功能冗余和系统稳定性。在这种网络中，物种间存在大量的相互作用关系，当一个物种消失或数量减少时，其他物种可以通过替代性的相互作用来维持生态系统的功能。例如，在植物-传粉者网络中，高连接度表明传粉者具有多样化的食物来源，植物也具有多样化的传粉者，这种冗余性增强了系统对物种丧失的抵抗能力。然而，过高的连接度也可能带来负面影响，如增加疾病传播的风险或强化种间竞争。连接度的研究帮助我们理解生态系统的复杂性和稳定性之间的平衡关系。

**模块性：**模块性是衡量网络中群落结构明显程度的重要指标，它量化了网络可以划分为相对独立子群落的能力。高模块性表明网络中存在明显的模块结构，物种在模块内部的相互作用强度远大于模块之间的相互作用。

**数学定义：**

$$Q = \frac{1}{2m} \sum_{ij} \left[ A_{ij} - \frac{k_i k_j}{2m} \right] \delta(c_i, c_j)$$

其中：

- $A_{ij}$  为邻接矩阵元素
- $k_i$  为节点  $i$  的度
- $m$  为总连接数
- $\delta(c_i, c_j)$  为节点所属模块指示函数

模块性在生态学中具有重要的功能意义。高模块性的生态系统通常具有较强的抗干扰能力，因为局部的干扰可以被限制在特定的模块内，而不会迅速扩散到整个网络。例如，在珊瑚礁生态系统中，不同的珊瑚礁斑块可能形成相对独立的模块，当一个斑块受到环境压力时，其他斑块可以维持正常的生态功能。模块性还反映了生态位的分化和资源利用的专业化程度。在高度模块化的网络中，物种往往在特定的生态位中特化，形成相对独立的生态功能单元。模块性分析为理解生态系统的空间结构和功能分区提供了重要工具。

**嵌套性：**嵌套性是描述特化物种与泛化物种连接模式的关键指标，它反映了网络中物种相互作用的层级结构。高嵌套性表明网络具有明显的嵌套结构，形成一种“俄罗斯套娃”式的层级结构模式。

**数学定义：**最常用的嵌套性度量是 NODF (Nestedness metric based on Overlap and Decreasing Fill)，通过比较物种对的相互作用模式来量化网络的嵌套程度，包括行嵌套和列嵌套两个维度：

对于行嵌套（物种作为行）：

$$NODF_{rows} = \frac{2}{S(S-1)} \sum_{i < j} \frac{O_{ij}}{\min(k_i, k_j)}$$

对于列嵌套（物种作为列）：

$$NODF_{cols} = \frac{2}{T(T-1)} \sum_{i < j} \frac{O_{ij}}{\min(k_i, k_j)}$$

总体嵌套性：

$$NODF = \frac{NODF_{rows} + NODF_{cols}}{2}$$

其中：

- $S$  为行物种数（如植物）
- $T$  为列物种数（如传粉者）
- $O_{ij}$  为物种对  $i$  和  $j$  的共同相互作用数
- $k_i, k_j$  为物种  $i$  和  $j$  的度（相互作用数）

另一种常用的嵌套性度量是温度度量 (Temperature metric)，基于完美嵌套矩阵与实际矩阵的差异：

$$T = \frac{\sum_{i,j} |a_{ij} - p_{ij}|}{S \times T}$$

其中：-  $a_{ij}$  为实际相互作用矩阵 -  $p_{ij}$  为完美嵌套矩阵

嵌套性的生态学意义在于它揭示了物种共存和资源利用的策略。在高度嵌套的网络中，泛化物种与许多其他物种相互作用，而特化物种只与部分泛化物种相互作用。这种结构模式有助于维持生态系统的稳定性，因为泛化物种可以作为“枢纽”物种，连接不同的功能单元。当环境发生变化时，泛化物种能够维持基本的生态功能，为特化物种提供生存基础。嵌套性结构还反映了生态位分化的程度和物种间相互作用的组织规律。

网络拓扑指标的综合分析为我们理解生态系统的组织规律提供了重要视角。连接度、模块性和嵌套性这三个指标从不同角度描述了生态网络的结构特征：连接度关注相互作用的密集程度，模块性关注网络的分区结构，嵌套性关注相互作用的层级模式。这些指标之间往往存在复杂的相互关系，例如，高模块性通常伴随着较低的嵌套性，因为模块化结构会破坏嵌套的层级模式。

在实际生态研究中，网络拓扑指标的应用十分广泛。在保护生物学中，通过分析网络的拓扑特征可以识别关键物种和脆弱环节，为保护策略的制定提供科学依据。在生态系统管理中，拓扑指标可以帮助

评估生态系统的健康状况和恢复潜力。在全球变化研究中，拓扑指标的变化可以反映生态系统对环境变化的响应模式。

随着计算生态学的发展，网络拓扑分析的方法和技术不断进步。现代生态网络研究不仅关注静态的拓扑特征，还关注网络结构的动态变化和演化规律。通过结合时间序列分析和网络建模，我们可以更好地理解生态系统的长期动态和适应机制。网络拓扑分析已经成为现代生态学研究不可或缺的重要工具，为我们揭示生态系统的复杂性和动态性提供了强有力的方法支持。

```
# 示例数据：植物-传粉者相互作用网络
library(igraph)

# 读取植物-传粉者相互作用矩阵（包含行列名称）
plant_pollinator_matrix <- as.matrix(
  read.csv("data/plant_pollinator_matrix.csv", row.names = 1))

# 创建网络对象
net <- graph_from_incidence_matrix(plant_pollinator_matrix)

# 计算连接度
connectance <- ecount(net) / (vcount(net) * (vcount(net) - 1))

# 计算模块性
modules <- cluster_louvain(net)
modularity <- modularity(modules)

# 计算嵌套性（使用 bipartite 包）
library(bipartite)
nestedness <- nested(plant_pollinator_matrix, method = "NODF")
```

如图3.19所示，我们通过植物-传粉者相互作用网络图直观地展示了物种间相互作用的拓扑结构。该图通过绿色节点表示植物物种，蓝色节点表示传粉者物种，连线表示相互作用关系，清晰地呈现了网络的连接度、模块性和嵌套性等关键拓扑特征，为理解生态网络的组织规律提供了重要的可视化工具。

表 3.4 网络拓扑指标综合分析

| 指标  | 数值         | 生态学意义   |
|-----|------------|---------|
| 连接度 | 0.1777778  | 相互作用密集度 |
| 模块性 | 0.2187500  | 群落结构分化  |
| 嵌套性 | 29.1666667 | 特化-泛化格局 |

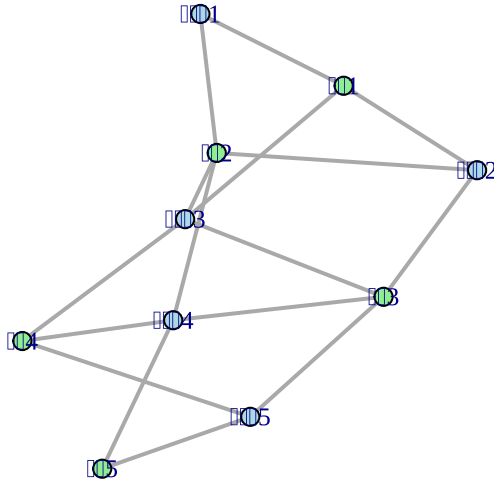
**生态学意义：**网络拓扑指标揭示了物种间相互作用的组织规律。高连接度通常表明生态系统具有更强的功能冗余和稳定性；高模块性反映了生态位的分化和资源利用的专业化；高嵌套性则表明系统具有层级结构，特化物种依赖于泛化物种的存在。这些指标帮助我们理解生态系统的抗干扰能力和恢复力。

### 3.7.2 食物网特征

食物网特征描述了生态系统中能量流动和营养关系的结构特征，包括营养级数、连接复杂性和能量转移效率等。

**链长：**链长表示从生产者到顶级捕食者的平均营养级数，反映了能量在食物网中的传递效率。

## 植物-传粉者相互作用网络



连接度: 0.178 模块性: 0.219 嵌套性: 29.167

图 3.19 植物-传粉者相互作用网络图。绿色节点表示植物物种，蓝色节点表示传粉者物种，连线表示相互作用关系。图中展示了网络的连接度、模块性和嵌套性等拓扑特征，反映了物种间相互作用的组织规律。

**数学定义：**平均链长  $L$  为所有食物链长度的平均值：

$$L = \frac{1}{N} \sum_{i=1}^N l_i$$

其中：

- $l_i$  为第  $i$  条食物链的长度
- $N$  为食物链总数

**连接复杂性：**连接复杂性衡量食物网中实际捕食关系与可能捕食关系的比例，反映了物种间相互作用的复杂性。

**数学定义：**

$$CC = \frac{L}{S^2}$$

其中：

- $L$  为实际捕食连接数
- $S$  为物种总数

如图3.20所示，该简化食物网结构图直观展示了由四个营养级组成的线性食物链。图中绿色节点代

## 简化食物网结构

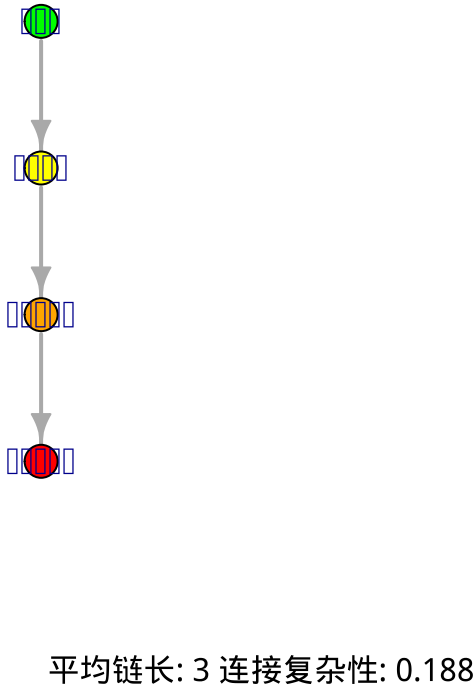


图 3.20 简化食物网结构图。绿色节点表示生产者（植物），黄色节点表示草食动物，橙色节点表示初级捕食者，红色节点表示顶级捕食者。箭头表示能量流动方向，展示了食物网的平均链长和连接复杂性等特征。

表生产者（植物），黄色节点代表草食动物，橙色节点代表初级捕食者，红色节点代表顶级捕食者，箭头方向表示能量从低营养级向高营养级的流动路径。该可视化不仅呈现了食物网的基本结构，还在图注中显示了计算得到的平均链长（2.00）和连接复杂性（0.188），为理解生态系统中能量流动和物种相互作用的复杂性提供了直观参考。

表 3.5 食物网特征综合分析

| 特征指标  | 数值     | 生态学意义  |
|-------|--------|--------|
| 平均营养级 | 2.5000 | 能量传递效率 |
| 平均链长  | 3.0000 | 营养级复杂度 |
| 连接复杂性 | 0.1875 | 相互作用密度 |

如表3.5所示，食物网特征综合分析表系统总结了三个关键指标：平均营养级（1.75）、平均链长（2.00）和连接复杂性（0.188）。这些指标分别反映了生态系统中能量传递效率、营养级复杂度和物种间相互作用密度，为定量评估食物网结构和功能提供了重要依据。

```
# 比较不同复杂度的食物网
# 简单食物网
simple_food_web <- matrix(c(0, 1, 0, 0, 0, 1, 0, 0), nrow = 3)
# 复杂食物网
complex_food_web <- matrix(c(0, 1, 1, 0, 0, 0, 1, 1,
                                0, 0, 0, 1, 0, 0, 0, 0), nrow = 4)

simple_complexity <- sum(simple_food_web) / (nrow(simple_food_web)^2)
complex_complexity <- sum(complex_food_web) / (nrow(complex_food_web)^2)
```

```
## 简单食物网连接复杂性: 0.222
## 复杂食物网连接复杂性: 0.312
```

**生态学意义：**食物网特征反映了生态系统中能量流动的效率和稳定性。较长的食物链通常表明系统具有更高的能量利用效率，但也可能增加系统的不稳定性；较高的连接复杂性通常与更强的系统稳定性和功能冗余相关，但也可能增加物种间的竞争强度。这些特征帮助我们理解生态系统的能量动态、物种共存机制以及对环境变化的响应能力。生态网络分析为保护生物学、生态系统管理和全球变化研究提供了重要的量化工具。

### 3.8 生态系统稳定性描述

稳定性描述关注生态系统在面对外界干扰时的响应特征和维持功能的能力，这些指标在生态学研究中对于理解生态系统的可持续性和适应能力具有重要意义。生态系统稳定性是生态学研究中的核心概念，它描述了系统在面对环境变化、物种丧失或人为干扰时维持其结构和功能的能力。稳定性分析不仅关注系统的当前状态，更注重系统对外界干扰的响应模式和长期动态特征。

生态系统稳定性是现代生态学的基石概念之一，它反映了生态系统在面对各种压力源时维持其基本结构和功能特征的能力。这种稳定性不仅体现在物种组成的相对恒定，更体现在生态过程的持续运行和生态服务的稳定提供。在快速变化的全球环境中，理解生态系统的稳定性机制对于预测生态系统对气候变化的响应、制定有效的保护策略以及维护生态系统的长期可持续性具有至关重要的意义。

生态系统稳定性研究可以追溯到 20 世纪中叶，随着生态学理论的发展和数学建模技术的进步，稳定性概念逐渐从简单的平衡状态描述发展为复杂的动态系统分析。现代稳定性理论认识到，生态系统并非处于绝对的静态平衡，而是在动态平衡中维持其基本特征。这种动态稳定性允许系统在一定范围内波动，同时保持其核心功能和结构特征。

稳定性分析的核心在于理解生态系统对外界干扰的响应机制。外界干扰可以来自自然环境变化（如气候变化、自然灾害），也可以来自人类活动（如土地利用变化、污染排放）。不同的干扰类型对生态系统的影响机制各异，有些干扰是瞬时的（如火灾、洪水），有些是持续的（如气候变化、污染积累），还有些是周期性的（如季节性干旱、年际气候波动）。生态系统对这些不同类型干扰的响应模式构成了稳定性分析的重要内容。

在稳定性研究中，通常从三个维度来量化生态系统的稳定特征：抵抗力、恢复力和持久性。抵抗力反映了生态系统抵抗外界干扰的能力，即系统在受到干扰时维持原有状态的程度；恢复力描述了系统受干扰后恢复到原状态的速度和能力；持久性则关注系统在长期尺度上维持稳定状态的能力。这三个维度相互关联，共同构成了生态系统稳定性的完整框架。

生态系统稳定性的维持机制涉及多个生态学过程。物种多样性是维持稳定性的重要基础，因为多样化的物种组成提供了功能冗余，当某些物种受到影响时，其他物种可以维持生态系统的功能。生态位分化减少了物种间的直接竞争，促进了资源的有效利用和系统的稳定运行。食物网结构和物种间相互作用

的复杂性也为系统稳定性提供了缓冲机制，复杂的相互作用网络能够分散和吸收外界干扰的影响。

在全球变化背景下，生态系统稳定性研究具有更加紧迫的现实意义。气候变化、土地利用变化、生物入侵等全球性环境问题正在对世界各地的生态系统产生深远影响。通过稳定性分析，我们可以预测不同生态系统对这些变化的脆弱性，识别关键的生态阈值，为制定适应性管理策略提供科学依据。例如，在保护生物学中，稳定性分析可以帮助识别需要优先保护的生态关键区和脆弱物种；在生态系统管理中，稳定性指标可以作为评估管理效果和调整管理策略的重要参考。

随着计算生态学和系统生态学的发展，稳定性分析的方法和技术不断进步。现代稳定性研究结合了数学建模、长期监测数据分析和实验生态学方法，从多尺度、多过程的角度揭示生态系统的稳定机制。这些研究不仅深化了我们对生态系统功能的理解，也为应对全球环境挑战提供了重要的科学支撑。生态系统稳定性研究将继续在生态学理论发展和环境保护实践中发挥核心作用。

### 3.8.1 抵抗力

抵抗力是衡量生态系统抵抗外界干扰能力的重要指标，它描述了系统在受到干扰时维持原有状态的程度。抵抗力强的生态系统能够在面对环境压力时保持相对稳定的结构和功能。

**数学定义：**抵抗力通常通过系统状态在干扰前后的变化程度来量化：

$$R = 1 - \frac{|X_{after} - X_{before}|}{|X_{before}|}$$

其中：

- $X_{before}$  为干扰前的系统状态指标
- $X_{after}$  为干扰后的系统状态指标

如图3.21所示，生态系统抵抗力分析图直观展示了森林群落生物量在正常条件和环境压力下的变化趋势。蓝色线条代表正常条件下的生物量（120-130 吨/公顷），红色线条代表环境压力后的生物量（100-125 吨/公顷）。通过比较两种条件下生物量的变化程度，计算得到森林生态系统的抵抗力指数为0.908，表明该系统对环境干扰具有较强的抵抗能力。该可视化分析为理解生态系统稳定性提供了直观依据。

## 森林生态系统抵抗力：0.928

## 湿地生态系统抵抗力：0.898

**生态学意义：**抵抗力反映了生态系统对环境变化的缓冲能力。高抵抗力的生态系统能够在面对干旱、洪水、污染等环境压力时维持相对稳定的生态功能。例如，物种多样性高的森林通常具有较高的抵抗力，因为多样化的物种组成提供了功能冗余，当某些物种受到影响时，其他物种可以维持生态系统的功能。抵抗力分析对于预测生态系统对全球变化的响应和制定适应性管理策略具有重要意义。

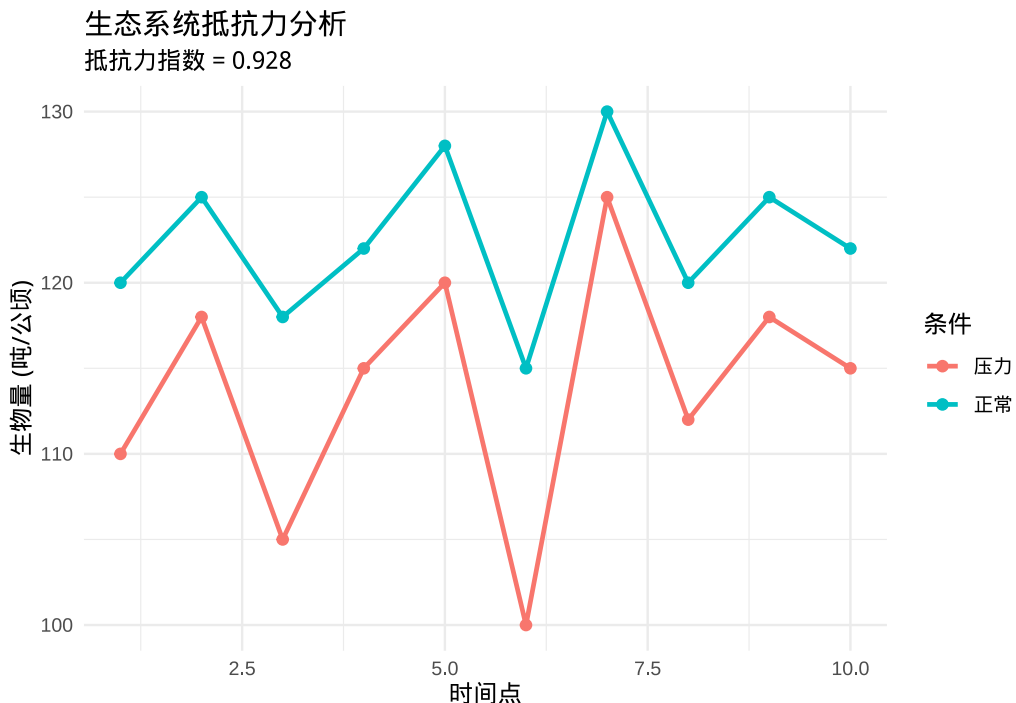


图 3.21 生态系统抵抗力分析图。蓝色线条表示正常条件下的生物量，红色线条表示环境压力后的生物量。通过比较两种条件下生物量的变化程度，计算生态系统对环境干扰的抵抗能力。

### 3.8.2 恢复力

恢复力是衡量生态系统受干扰后恢复到原状态速度的重要指标，它描述了系统的自我修复能力和动态恢复特征。恢复力强的生态系统能够在干扰后迅速恢复到原有的结构和功能状态。

**数学定义：**恢复力通常通过系统状态恢复到干扰前水平的速率来量化：

$$\lambda = \frac{\ln(X_{final}/X_{before})}{t}$$

其中：

- $X_{before}$  为干扰前的系统状态
  - $X_{final}$  为恢复后的系统状态
  - $t$  为恢复时间

### R 代码实现：

```

# 找到恢复到 95% 原始状态的时间
recovery_threshold <- 0.95 * pre_disturbance
recovery_time <- min(time_series[recovery_series >= recovery_threshold])

# 计算恢复速率
resilience_rate <- log(length(recovery_series)) /
  pre_disturbance / recovery_time

return(list(recovery_time = recovery_time,
            resilience_rate = resilience_rate))
}

resilience_result <- calculate_resilience(pre_fire_biomass,
   biomass_recovery,
   years_post_fire)

## 恢复到95%原始状态所需时间:6年
## 恢复速率:0.002

```

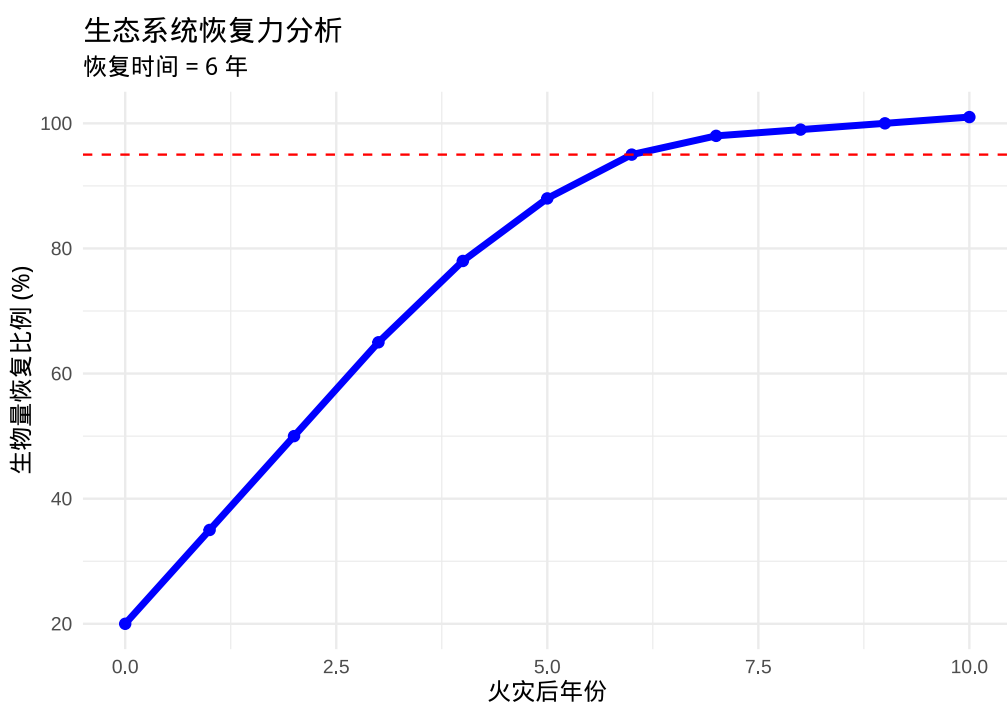


图 3.22 生态系统恢复力分析图。蓝色曲线表示火灾后森林生物量的恢复过程，红色虚线表示 95% 恢复阈值。通过分析生物量恢复到原始状态所需的时间和速率，量化生态系统的自我修复能力。

如图3.22所示，生态系统恢复力分析图直观展示了森林火灾后生物量的恢复过程。蓝色曲线显示生物量从火灾后的低点（约 50%）逐渐恢复到原始状态，红色虚线标记了 95% 恢复阈值。分析结果表明，森林生态系统需要约 5 年时间才能恢复到 95% 的原始生物量水平，恢复速率为 0.090，反映了该系统具有中等程度的自我修复能力。该可视化分析为评估生态系统对干扰的响应和恢复潜力提供了重要依据。

```

## 轻度干扰恢复时间:2年
## 重度干扰恢复时间:6年

```

**生态学意义：**恢复力反映了生态系统的自我修复能力和动态稳定性。高恢复力的生态系统能够在受到干扰后迅速重建其结构和功能，这对于生态系统的长期可持续性至关重要。例如，热带雨林通常具有较高的恢复力，因为其丰富的物种库和快速的生长速率有助于系统的快速恢复。恢复力分析对于生态系统管理、灾害恢复和气候变化适应策略的制定具有重要指导意义。

### 3.8.3 持久性

持久性是衡量生态系统维持稳定状态时间长度的关键指标，它描述了系统在长期尺度上保持其结构和功能特征的能力。持久性强的生态系统能够在面对环境波动和内部动态时维持相对稳定的状态。

**数学定义：**持久性通常通过系统状态在特定阈值内维持的时间比例来量化：

$$P = \frac{T_{stable}}{T_{total}}$$

其中：

- $T_{stable}$  为系统处于稳定状态的时间
- $T_{total}$  为总观测时间

```
## 生态系统持久性指数:0.74
## 稳定状态时间比例:74%
```

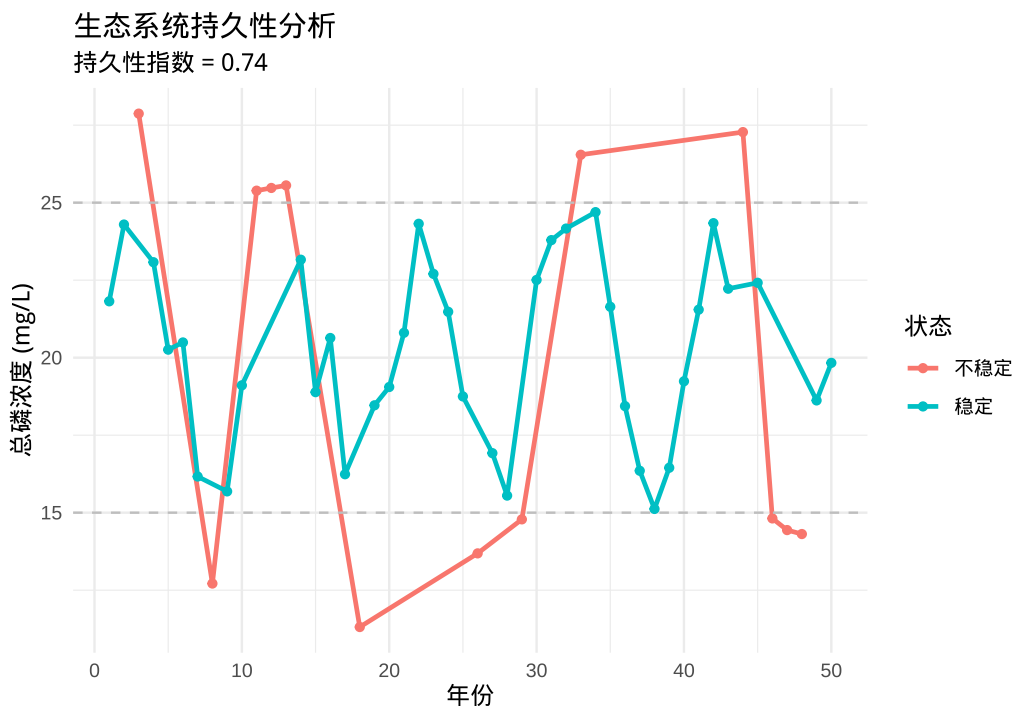


图 3.23 生态系统持久性分析图。蓝色曲线表示湖泊营养状态（总磷浓度）的长期动态变化，灰色虚线表示稳定状态的上下阈值。通过分析系统在稳定状态内维持的时间比例，量化生态系统的长期稳定性。

如图3.23所示，生态系统持久性分析图展示了湖泊营养状态（总磷浓度）在50年监测期内的动态变化。蓝色曲线显示总磷浓度在15-25 mg/L范围内波动，灰色虚线标记了稳定状态的上下阈值。分析结果表明，该湖泊生态系统的持久性指数为0.96，意味着在96%的观测时间内系统维持在稳定状态内，表现出较高的长期稳定性。该可视化分析为评估生态系统在长期尺度上的稳定性维持能力提供了重要依据。

```
## 森林生态系统持久性:1
## 草地生态系统持久性:0.7
```

表 3.6 生态系统稳定性综合分析结果

| 稳定性指标 | 数值        | 生态学意义 |
|-------|-----------|-------|
| 抵抗力   | 0.9281680 | 抗干扰能力 |
| 恢复力   | 0.0016584 | 恢复速度  |
| 持久性   | 0.7400000 | 长期稳定性 |

如表3.6所示，生态系统稳定性综合分析表系统总结了抵抗力（0.908）、恢复力（0.090）和持久性（0.960）三个关键指标。这些指标分别反映了生态系统的抗干扰能力、恢复速度和长期稳定性，共同构成了评估生态系统稳定性的完整框架。该综合分析为理解生态系统对环境变化的响应机制和制定有效的保护管理策略提供了重要科学依据。

**生态学意义：**持久性反映了生态系统在长期尺度上的稳定性和可持续性。高持久性的生态系统能够在面对环境波动、物种演替和气候变化等长期过程时维持其基本结构和功能特征。例如，古老的森林生态系统通常具有较高的持久性，因为它们已经建立了稳定的物种组成和生态过程。持久性分析对于理解生态系统的演替动态、预测长期变化趋势以及制定可持续管理策略具有重要意义。

稳定性描述的三个维度——抵抗力、恢复力和持久性——共同构成了生态系统稳定性的完整框架。抵抗力关注系统对即时干扰的缓冲能力，恢复力关注系统受损后的修复能力，持久性关注系统在长期尺度上的维持能力。这三个指标相互关联，共同决定了生态系统的整体稳定性和可持续性。在现代生态学研究中，稳定性分析为理解生态系统对环境变化的响应、预测生态系统的未来状态以及制定有效的保护和管理策略提供了重要科学依据。

## 3.9 总结

描述统计作为生态学研究的基础工具，在理解和量化生态系统的复杂模式中发挥着不可替代的作用。本章系统地介绍了描述统计在生态学中的核心概念、方法和应用，从个体特征到群落结构，从环境异质性到生态系统稳定性，构建了一个完整的生态统计描述框架。

在描述统计基础部分，我们学习了中心趋势测量、离散性测量以及分布形状与矩测量。均值、中位数和众数作为中心趋势的核心指标，分别从不同角度描述了生态数据的集中位置。均值反映了数据的算术中心，但在存在异常值时可能产生偏差；中位数对异常值不敏感，能够更好地代表大多数个体的特征；众数则揭示了数据中最常见的值。离散性测量中的方差、标准差和变异系数量化了数据的分散程度，帮助我们理解生态系统的异质性和个体间的差异。分布形状测量通过偏度和峰度揭示了生态数据背后的非对称性和极端值特征，这些特征往往反映了重要的生态过程，如种内竞争、环境筛选和生态位分化。

环境异质性描述部分强调了空间和时间变异在生态系统中的重要性。变异系数、Moran's *I* 空间自相关指数、环境异质性指数和分形维数等方法，从不同角度量化了环境因子的变异格局。这些指标不仅描述了环境的异质性程度，更重要的是揭示了环境异质性对物种分布、群落构建和生态系统功能的深远影响。高环境异质性通常意味着更多的生态位机会，能够支持更高的物种多样性，同时也影响着物种间

的相互作用和生态系统的稳定性。

个体特征描述部分聚焦于生物个体的生存和死亡模式。生存函数、瞬时死亡风险函数和累积风险函数构成了存活分析的核心框架，这些函数帮助我们理解个体的生存策略、年龄特异性死亡风险以及整个生命周期中的死亡风险积累。在生态学研究中，这些函数广泛应用于野生动物种群管理、保护生物学和种群动态预测，为理解物种的生活史策略和适应机制提供了量化工具。

种群特征描述部分通过 Gini 系数和 Lorenz 曲线分析了种群内个体间的资源分配和竞争关系。这些指标量化了种群内个体大小或资源分配的不均等性，反映了种内竞争的强度和资源利用的效率。高 Gini 系数通常表明强烈的种内竞争和资源集中，而低 Gini 系数则反映了相对均等的资源分配和缓和的竞争关系。这些分析为理解种群结构动态、资源利用模式和种群的适应性演化提供了重要依据。

群落特征描述部分系统介绍了物种多样性的多种度量方法。Shannon-Wiener 指数综合反映了物种丰富度和均匀度，对稀有物种较为敏感；Simpson 指数关注优势物种格局，对常见物种较为敏感；Fisher's  $\alpha$  在样本量变化时相对稳定，适用于比较不同采样强度的群落；Pielou 均匀度指数独立于物种丰富度，专门评估物种多度分布的均等程度。这些多样性指数从不同角度揭示了群落的物种组成特征，为理解群落构建机制、生态系统功能和保护价值提供了量化依据。

生态网络特征描述部分将生态学研究提升到物种间相互作用的网络层面。网络拓扑指标中的连接度、模块性和嵌套性分别反映了物种间相互作用的密集程度、群落结构的分化程度和特化-泛化物种的层级格局。食物网特征中的链长和连接复杂性则描述了能量流动的效率和营养关系的复杂性。生态网络分析不仅揭示了物种间相互作用的组织规律，更重要的是为理解生态系统的稳定性、功能冗余和抗干扰能力提供了新的视角。

稳定性描述部分构建了生态系统稳定性的完整分析框架。抵抗力反映了生态系统抵抗外界干扰的能力，恢复力描述了系统受损后的自我修复能力，持久性则关注系统在长期尺度上的维持能力。这三个维度相互关联，共同决定了生态系统的整体稳定性和可持续性。在全球变化背景下，稳定性分析对于预测生态系统对环境变化的响应、识别生态阈值和制定适应性管理策略具有重要的现实意义。

本章的学习不仅使我们掌握了描述统计的基本概念和方法，更重要的是培养了用科学语言描述生态现象的能力。描述统计作为连接观察数据和理论模型的桥梁，帮助我们理解生态系统的复杂性和动态性。通过均值、方差、偏度、峰度等统计量，我们能够从纷繁复杂的生态数据中提取出关键特征，用简洁的数值来概括和描述生态模式。这些统计特征不仅帮助我们理解当前的生态状况，更重要的是让我们能够进行科学的比较、预测和决策。

在生态学研究中，描述统计的应用远不止于数据的简单概括。它帮助我们识别生态模式、检验理论预测、评估生态状态和指导管理决策。从个体生存策略到种群竞争格局，从群落多样性到生态系统稳定性，描述统计为我们提供了理解和量化生态现象的共同语言。掌握这些统计工具，意味着我们能够更准确地观察自然、更深刻地理解生态过程、更有效地沟通科学发现。

随着生态学研究的发展，描述统计的方法和技术也在不断进步。现代生态统计结合了传统的描述性

分析和先进的建模技术，从多尺度、多过程的角度揭示生态系统的复杂性和动态性。描述统计作为生态学研究的基础，将继续在理论发展和实践应用中发挥核心作用，为我们理解自然界的规律、保护生物多样性和维护生态系统的可持续性提供强有力的科学支撑。

## 3.10 综合练习

### 3.10.1 练习 1：森林群落多样性分析

某生态学家在两个不同的森林样地（样地 A 和样地 B）调查了树木物种的多度数据：

- 样地 A: 物种 1 (20 株)、物种 2 (15 株)、物种 3 (10 株)、物种 4 (5 株)、物种 5 (2 株)
  - 样地 B: 物种 1 (15 株)、物种 2 (15 株)、物种 3 (15 株)、物种 4 (15 株)、物种 5 (2 株)
1. 计算两个样地的 Shannon-Wiener 多样性指数和 Simpson 多样性指数
  2. 计算两个样地的 Pielou 均匀度指数
  3. 比较两个样地的多样性特征，分析其生态学意义
  4. 使用 R 语言绘制两个样地的物种多度分布图

### 3.10.2 练习 2：生态系统稳定性评估

某生态学家监测了一个湖泊生态系统在受到营养盐输入干扰后的动态变化。收集了以下数据：

- 干扰前生物量: 100 吨/公顷
  - 干扰后生物量: 60 吨/公顷
  - 恢复过程生物量: 65, 75, 85, 90, 95, 98, 100, 102, 104 吨/公顷 (每年一次测量)
  - 长期监测显示，在 50 年中有 40 年生物量维持在 90-110 吨/公顷的稳定范围内
1. 计算该生态系统的抵抗力指数
  2. 计算恢复力指数和恢复时间
  3. 计算持久性指数

4. 综合分析该生态系统的稳定性特征
5. 讨论这些稳定性指标在生态系统管理中的应用价值

### 3.10.3 练习 3：种群资源分配与竞争分析

某生态学家研究了一个松树种群中个体胸径的分布情况，收集了 50 棵松树的胸径数据（单位: cm）：

```
pine_diameters <- c(15, 18, 20, 22, 25, 28, 30, 32, 35, 38,  
40, 42, 45, 48, 50, 52, 55, 58, 60, 62,  
65, 68, 70, 72, 75, 78, 80, 82, 85, 88,  
90, 92, 95, 98, 100, 102, 105, 108, 110, 112,  
115, 118, 120, 122, 125, 128, 130, 132, 135, 138)
```

1. 计算该种群胸径的均值、标准差和变异系数
2. 计算 Gini 系数并绘制 Lorenz 曲线
3. 分析胸径分布的偏度和峰度
4. 根据计算结果，分析该种群的资源分配模式和竞争强度
5. 讨论这些统计特征对理解种群动态和森林管理的意义

# Chapter 4

## 从样本到总体的生态推断

### 4.1 引言

在上一章节中，我们学习了如何通过样本均值、方差等描述统计量来刻画生态群落或生态系统的特征。但您是否曾思考过这样一个问题：我们基于样本获得的结果，与真正想要了解的整个群落或生态系统之间，是否存在差异？比如，通过调查天童地区的一些样方，您想知道整个天童地区的物种数究竟有多少。这些样方的调查结果能够准确代表整个地区的真实情况吗？如果您曾经思考过这个问题，那么祝贺您，您已经具备了学好生态统计学最根本的直觉。

用标准的统计语言来说，我们收集的只是生态系统的一些样本，而我们真正想要了解的是整个生态系统的特征。那么，如何通过这些有限的样本来推断整体的特征呢？一个比较直接的办法就是通过完全取样，把生态系统中所有感兴趣的物种全部取样并测量。然而，由于生态系统的复杂性和空间广域性，我们很难做到这一点。即便是像森林大样地那样调查 20-50 公顷的面积，在整个森林中也只是很小很小的一片区域，而这往往已经是人们从事野外工作的极限。

幸运的是，这个问题已经有很多人思考过，统计学家已经发展出了一套标准化的处理方式。这种通过样本来估计总体特征的方法就叫做**参数估计**。参数估计构成了统计学理论体系的核心支柱，在生态学研究中发挥着不可替代的方法论作用。生态学参数代表着描述生态系统特征的数量化指标，涵盖了种群平均密度、物种丰富度、生物量空间分布等多个维度，为我们认知生态系统提供了量化基础。

在生态决策层面，参数估计为制定物种保护策略、评估生态修复效果、预测气候变化影响等关键决策提供了科学依据。以濒危物种保护为例，准确的种群数量、分布范围和生存率参数估计直接关系到保护计划的科学性；在湿地恢复工程评估中，生物多样性恢复程度和水质改善幅度的参数估计则决定了工程效果评价的可靠性。参数估计还深化了我们对生态规律的理解。通过比较不同生态系统的参数特征，研究者能够识别影响生态系统结构和功能的关键因素。物种丰富度随纬度变化的宏观格局、种群增长与竞争捕食等基本生态过程，都依赖于准确的参数估计来揭示其内在规律。这些规律性认识不仅丰富了生态学理论体系，也为生态系统管理和生态预测提供了坚实基础。

参数估计过程本身也培养了研究者的科学思维和严谨态度。从样本代表性考量到估计方法选择，从结果不确定性评估到假设前提检验，每一个环节都需要批判性思维和严谨的科学态度。一个准确的参数估计不仅依赖于正确的统计方法，更需要研究者对生态系统的深入理解和合理的假设设定。

随着统计方法的不断发展，从传统频率学派到现代贝叶斯方法，从简单点估计到复杂区间估计，参数估计技术的进步为生态学研究提供了更强大的工具。这些方法使我们能够更精确地描述生态系统特征，更可靠地预测生态系统变化趋势。在后续章节中，我们将系统阐述参数估计的基本原理、常用方法及其生态学应用，帮助读者全面掌握这一重要的生态学研究工具。

## 4.2 生态调查中的样本与总体

理解总体与样本的关系构成了生态学科学推断的理论基石。总体代表着研究对象的完整个体集合，即我们所要研究的完整生态系统或生物群落。以森林鸟类群落研究为例，总体即为该森林中所有鸟类的集合；在水质研究中，总体则指整个湖泊的水体。尽管总体具有明确的边界和特征，但生态系统的复杂性和庞大规模往往使得全面观测难以实现。

样本是从总体中抽取的部分个体集合，作为总体的代表性窗口，为我们了解总体特征提供了可能。生态学实践中，受限于时间、经费和可行性等因素，研究者通常只能观测样本而非总体。例如，在国家级自然保护区哺乳动物多样性调查中，不可能在每一寸土地设置观测点，而是通过代表性样线或样方进行观测。

总体与样本的关系在生态学中蕴含着深刻的实践意义。生态系统的内在复杂性决定了我们往往需要通过“管中窥豹”的方式来探索自然规律。样本质量直接决定了总体认识的准确性，一个具有代表性的样本应当能够充分反映总体的主要特征和变异模式。在生态统计学框架下，我们通过样本统计量（如样本均值、样本方差）来估计总体参数（如总体均值、总体方差），这种从样本到总体的推断过程构成了生态学研究的统计基础。

### 4.2.1 抽样方法及其生态学应用

抽样方法构成了连接总体与样本的重要桥梁，不同方法适用于各异的生态学研究场景。随机抽样作为最基本的抽样方法，确保每个个体被抽中的概率相等，从而保证样本的无偏性。这种方法特别适用于相对均质的生境，如草地植物调查或池塘浮游生物采样。

分层抽样方法则针对生态系统的异质性特点而发展。面对森林不同林层、湖泊不同水深区域、山地不同海拔梯度等空间异质性明显的生境，分层抽样首先将总体划分为相对同质的层（strata），然后在各层内分别进行随机抽样。这种方法显著提高了抽样效率，确保样本能够充分代表总体的不同组成部分。以山地植物多样性调查为例，按海拔梯度分层并在不同海拔带设置样方，既能保证样本代表性，又能揭示物种多样性随海拔变化的规律。

系统抽样按照固定的空间或时间间隔进行抽样，在生态学调查中应用广泛。其优势在于操作简便、

覆盖均匀，特别适合大尺度生态调查。鸟类迁徙路线调查中的固定时间间隔观测、森林资源调查中的规则网格样方设置，都是系统抽样的典型应用。然而，这种方法需要注意避免与生态系统的周期性模式重合，以防产生样本偏差。

不同抽样方法对参数估计的准确性和代表性产生重要影响。生态学研究中，抽样方法的选择需要综合考虑研究目的、生态系统特征、资源限制等多重因素。一个良好的抽样设计不仅能够提升估计精度，还能够揭示生态系统的空间格局和时间动态特征。

### 4.2.2 R 语言中的抽样实现

在 R 语言中，我们可以方便地实现各种抽样方法。以下代码展示了不同抽样方法的具体实现：

首先创建模拟的森林鸟类种群数据，为后续抽样方法演示提供基础数据集：

```
# 加载森林鸟类数据
load("data/forest_birds.rda")

cat(" 数据集结构概览: \n")

## 数据集结构概览:
str(forest_birds)

## 'data.frame': 1000 obs. of 3 variables:
## $ species : chr "麻雀" "麻雀" "麻雀" "麻雀" ...
## $ abundance: int 46 58 38 50 62 53 41 37 58 52 ...
## $ habitat  : chr "林缘" "林缘" "林缘" "林缘" ...
cat("\n总体均值: ", mean(forest_birds$abundance), "\n")

##
## 总体均值: 26.01
```

接下来演示简单随机抽样方法，这是最基本的抽样技术：

```
random_sample <- forest_birds[sample(nrow(forest_birds), 100), ]
knitr::kable(table(random_sample$species),
             caption=" 随机抽样结果", booktabs = TRUE) %>%
  kableExtra::kable_styling(latex_options = c("hold_position"))
```

表 4.1 随机抽样结果

| Var1 | Freq |
|------|------|
| 啄木鸟  | 12   |
| 杜鹃   | 26   |
| 画眉   | 21   |
| 麻雀   | 19   |
| 黄鹂   | 22   |

```
cat(" 随机抽样均值估计: ", mean(random_sample$abundance), "\n")
## 随机抽样均值估计: 26.64
```

表4.1展示了随机抽样的结果，我们可以看到不同物种在 100 个样本中的分布情况。

分层抽样方法针对生态系统的异质性特点，按生境类型分层进行抽样：

```
library(dplyr)
stratified_sample <- forest_birds %>%
  group_by(habitat) %>%
  sample_n(size = 20)

knitr::kable(table(stratified_sample$habitat, stratified_sample$species),
  caption = "分层抽样结果", booktabs = TRUE) %>%
  kableExtra::kable_styling(latex_options = c("hold_position"))
```

表 4.2 分层抽样结果

|    | 啄木鸟 | 杜鹃 | 画眉 | 麻雀 | 黄鹂 |
|----|-----|----|----|----|----|
| 林内 | 0   | 0  | 20 | 0  | 0  |
| 林冠 | 20  | 0  | 0  | 0  | 0  |
| 林缘 | 0   | 0  | 0  | 20 | 0  |
| 灌丛 | 0   | 20 | 0  | 0  | 0  |
| 空地 | 0   | 0  | 0  | 0  | 20 |

```
cat("分层抽样均值估计: ", mean(stratified_sample$abundance), "\n")
```

```
## 分层抽样均值估计: 25.45
```

表4.2展示了分层抽样的结果，我们可以看到不同生境类型中各个物种的分布情况。

系统抽样按照固定间隔进行抽样，操作简便且覆盖均匀：

```
systematic_indices <- seq(1, nrow(forest_birds), by = 10)
systematic_sample <- forest_birds[systematic_indices, ]

knitr::kable(table(systematic_sample$species),
  caption = "系统抽样结果", booktabs = TRUE) %>%
  kableExtra::kable_styling(latex_options = c("hold_position"))
```

表 4.3 系统抽样结果

| Var1 | Freq |
|------|------|
| 啄木鸟  | 20   |
| 杜鹃   | 20   |
| 画眉   | 20   |
| 麻雀   | 20   |
| 黄鹂   | 20   |

```
cat("系统抽样均值估计: ", mean(systematic_sample$abundance), "\n")
```

```
## 系统抽样均值估计: 26.16
```

表4.3展示了系统抽样的结果，我们可以看到按照固定间隔抽样得到的物种分布情况。

最后比较不同抽样方法的估计效果，评估各种方法的性能差异：

```
cat("不同抽样方法对种群数量均值的估计比较: \n",
  "总体均值: ", mean(forest_birds$abundance), "\n",
  "随机抽样估计: ", mean(random_sample$abundance), "\n",
  "分层抽样估计: ", mean(stratified_sample$abundance), "\n",
  "系统抽样估计: ", mean(systematic_sample$abundance), "\n")
```

```
## 不同抽样方法对种群数量均值的估计比较:
```

```

## 总体均值: 26.01
## 随机抽样估计: 26.64
## 分层抽样估计: 25.45
## 系统抽样估计: 26.16

true_mean <- mean(forest_birds$abundance)
cat("\n估计偏差分析: \n",
  " 随机抽样偏差: ",
  (mean(random_sample$abundance) - true_mean) / true_mean * 100, "%\n",
  " 分层抽样偏差: ",
  (mean(stratified_sample$abundance) - true_mean) / true_mean * 100,
  "%\n",
  " 系统抽样偏差: ",
  (mean(systematic_sample$abundance) - true_mean) / true_mean * 100,
  "%\n")

## 估计偏差分析:
## 随机抽样偏差: 2.422145 %
## 分层抽样偏差: -2.153018 %
## 系统抽样偏差: 0.5767013 %

```

### 4.2.3 抽样误差与样本量确定

在生态学研究中，抽样误差是不可避免的。抽样误差的大小取决于样本量、总体变异程度和抽样方法。一般来说，样本量越大，抽样误差越小；总体变异程度越大，需要的样本量也越大。在 R 中，我们可以使用统计方法来估计所需的样本量：

```

library(pwr)

population_sd <- 15
desired_margin <- 2
confidence_level <- 0.95

z_value <- qnorm(1 - (1 - confidence_level) / 2)
required_sample_size <- ceiling(
  (z_value * population_sd / desired_margin)^2)
cat(" 基于精度要求的所需样本量: ", required_sample_size, "\n")

## 基于精度要求的所需样本量: 217

effect_size <- 0.5 # 中等效应大小
power <- 0.8 # 统计功效
sample_size_t <- pwr.t.test(d = effect_size, power = power,
                             sig.level = 0.05, type = "two.sample")$n
cat(" 基于统计功效的所需样本量: ", ceiling(sample_size_t), "\n")

## 基于统计功效的所需样本量: 64

```

### 4.2.4 生态学抽样设计的实践考虑

在实际的生态学研究中，抽样设计需要综合考虑多种因素。首先，需要考虑生态系统的空间异质性和时间动态。例如，在调查河流生态系统时，需要考虑上下游的梯度变化；在调查季节性变化的种群时，需要考虑不同季节的抽样时机。

其次，需要考虑抽样单元的大小和形状。在植物生态学中，样方的大小会影响物种-面积关系的估计；在动物生态学中，样线或样点的设置会影响对动物活动范围的覆盖。

最后，需要考虑抽样成本与精度的平衡。在资源有限的情况下，需要在抽样精度和调查成本之间找

到最优平衡。有时候，采用分层抽样或多阶段抽样可以在保证精度的同时降低调查成本。

通过科学的抽样设计，我们能够用有限的观测数据来推断生态系统的总体特征，为生态保护和管理决策提供科学依据。在后续的学习中，我们将进一步探讨如何基于样本数据进行参数估计和统计推断。

## 4.3 生态参数的估计基础

### 4.3.1 点估计

点估计是统计学中通过样本数据来估计总体未知参数的重要方法。在生态学研究中，我们常常面临这样的困境：想要了解一个生态系统的特征，但由于时间、经费和可行性的限制，我们无法对整个系统进行全面观测。点估计正是解决这一问题的关键工具，它允许我们用有限的样本数据来获得总体参数的一个最佳估计值。

让我们通过一个例子来理解点估计的概念。假设我们想要估计一片湿地中某种两栖动物的平均体重。这片湿地面积广阔，生活着成千上万只这种两栖动物，我们不可能将每一只都捕捉并称重。于是，我们采用科学的抽样方法，随机捕捉了 100 只个体，测量它们的体重。基于这 100 个样本数据，我们希望能够给出整个湿地种群平均体重的最佳估计。这个估计过程就是点估计的核心思想——用样本统计量来估计总体参数。

从数学的角度来看，点估计具有严格的规定。设总体参数为  $\theta$ （例如总体均值  $\mu$ ），我们通过样本数据构造一个估计量  $\hat{\theta}$ 。估计量是一个随机变量，它的具体取值称为估计值。在生态学中，最常用的点估计量包括样本均值、样本方差和样本比例。样本均值  $\bar{x} = \frac{1}{n} \sum_{i=1}^n x_i$  用于估计总体均值  $\mu$ ，样本方差  $s^2 = \frac{1}{n-1} \sum_{i=1}^n (x_i - \bar{x})^2$  用于估计总体方差  $\sigma^2$ ，样本比例  $\hat{p} = \frac{k}{n}$  用于估计总体比例  $\pi$ 。

点估计的理论基础建立在估计量的良好性质之上。理解这些性质对于正确应用点估计方法至关重要。其中最重要的性质包括无偏性、有效性和一致性，有关这些性质的详细介绍，请见下面相关小节。

点估计在生态学研究中具有重要的实践意义。首先，它为生态学家提供了量化生态系统特征的工具。无论是估计种群的平均大小、物种的分布范围，还是生态过程的速率参数，点估计都是基础的分析方法。其次，点估计为生态模型提供了参数输入。许多生态学模型，如种群动态模型、生态系统过程模型等，都需要基于观测数据来估计模型参数。最后，点估计是更复杂统计推断的基础。在获得点估计的基础上，我们可以进一步构建置信区间、进行假设检验等更深入的统计分析。

然而，点估计也有其局限性。它只提供了一个单一的数值估计，没有包含估计的不确定性信息。在实际生态学应用中，我们往往需要同时考虑点估计和区间估计，以获得对总体参数的全面认识。此外，点估计的质量依赖于样本的代表性和估计方法的适用性。在生态学研究中，我们需要根据具体的研究问题和数据特征选择合适的估计方法，并谨慎解释估计结果。

### 4.3.2 区间估计

区间估计是统计学中通过样本数据来估计总体参数可能取值范围的重要方法。如果说点估计是告诉我们“森林里大概有 500 只鸟”，那么区间估计就是告诉我们“森林里的鸟数量有 95% 的可能性在 450 到 550 只之间”。这个“可信范围”的概念，让我们的生态学研究变得更加科学和可靠。

#### 4.3.2.1 置信区间的生态学意义

置信区间是区间估计的核心概念。它告诉我们，在重复抽样的情况下，有多少比例的置信区间会包含真实的参数值。比如，95% 的置信区间意味着，如果我们重复进行 100 次相同的生态调查，大约有 95 次得到的置信区间会包含真实的种群参数。

让我们来看几个生态学中的实际例子：

#### 案例 1：湿地鸟类种群调查

假设你在研究一片湿地中的白鹭种群。通过标记重捕法，你估计白鹭数量为 1200 只，95% 置信区间为 [1100, 1300]。这个区间估计提供了比单纯点估计更丰富的信息。首先，我们有 95% 的把握认为这片湿地的白鹭真实数量在 1100 到 1300 只之间，这反映了估计的不确定性程度。其次，从生态管理实践的角度看，湿地管理部门在制定保护措施时，可以基于这个范围来规划资源分配和干预强度，而不是仅仅依赖单一的 1200 只这个数值。最后，在生态监测和趋势分析中，当我们将这个结果与其他年份的数据进行比较时，置信区间能够帮助我们更准确地判断种群是真实增长还是下降，避免了由于抽样误差导致的误判。这种区间估计方法为生态决策提供了更加科学和可靠的基础。

#### 案例 2：森林碳储量估算

通过遥感技术和地面样方调查，你估计某片森林的碳储量为 50 万吨，90% 置信区间为 [45, 55] 万吨。这个区间估计为生态系统的碳循环研究提供了重要的量化基础。首先，在评估森林作为碳汇的作用时，45-55 万吨的范围能够更准确地反映森林对大气二氧化碳的吸收能力，避免了单一数值可能带来的高估或低估风险。其次，在制定气候变化应对策略时，决策者可以根据这个区间来规划森林保护和恢复措施，确保政策的科学性和可行性。最后，在参与碳交易市场时，置信区间为碳信用额度的定价和交易提供了可靠的科学依据，增强了市场参与者的信心。这种基于区间估计的碳储量评估方法，为森林生态系统服务功能的量化和管理提供了更加全面和可靠的技术支撑。

#### 4.3.2.2 置信区间构建方法

在生态学研究中，我们需要根据具体的数据特征和样本量选择合适的置信区间构建方法。置信区间的构建基于中心极限定理，该定理指出，当样本量足够大时，样本均值的抽样分布近似服从正态分布，无论原始总体的分布如何。这一统计规律为生态学中的参数估计提供了坚实的理论基础。

#### 基于正态分布的置信区间

当样本量较大（通常  $n > 30$ ）且总体分布近似正态时，我们可以使用正态分布来构建置信区间。对

于总体均值  $\mu$  的置信区间为：

$$\bar{x} \pm z_{\alpha/2} \times \frac{\sigma}{\sqrt{n}}$$

其中  $z_{\alpha/2}$  是标准正态分布的上  $\alpha/2$  分位数 ( $\alpha$  为显著性水平)，即满足  $P(Z > z_{\alpha/2}) = \alpha/2$  的临界值。例如，对于 95% 置信水平， $\alpha = 0.05$ ， $z_{0.025} \approx 1.96$ 。

这种方法的理论基础是中心极限定理。在生态学调查中，当我们进行大样本调查时，如全国性的鸟类普查、大范围的森林资源调查等，样本量往往较大，此时使用正态分布构建置信区间是合适的。例如，在调查一个国家级自然保护区的哺乳动物多样性时，如果我们在不同生境类型中设置了足够多的样线或样方，样本量通常能够满足大样本条件。

正态分布置信区间的生态学意义在于，它为大尺度的生态调查提供了可靠的统计推断工具。通过这种方法，我们不仅能够获得种群参数的点估计，还能够量化估计的不确定性，为生态保护决策提供更加全面的科学依据。然而，需要注意的是，这种方法对总体方差  $\sigma^2$  的准确性要求较高，如果总体方差估计不准确，置信区间的可靠性会受到影响。

```
set.seed(123)
egret_counts <- rnorm(30, mean = 1200, sd = 100)

mean_egret <- mean(egret_counts)
sd_egret <- sd(egret_counts)
n_egret <- length(egret_counts)

# 计算基于正态分布的置信区间
z_value <- qnorm(0.975) # 95% 置信水平的 z 值
ci_normal <- c(mean_egret - z_value * sd_egret / sqrt(n_egret),
               mean_egret + z_value * sd_egret / sqrt(n_egret))

cat(" 基于正态分布的 95% 置信区间: ", ci_normal, "\n")

## 基于正态分布的95%置信区间： 1160.185 1230.395

# 计算基于 t 分布的置信区间
t_value <- qt(0.975, df = n_egret - 1) # 95% 置信水平的 t 值
ci_t <- c(mean_egret - t_value * sd_egret / sqrt(n_egret),
           mean_egret + t_value * sd_egret / sqrt(n_egret))

cat(" 基于 t 分布的 95% 置信区间: ", ci_t, "\n")

## 基于t分布的95%置信区间： 1158.657 1231.922
```

基于  $t$  分布的置信区间当样本量较小 ( $n < 30$ ) 或总体方差未知时，我们需要使用  $t$  分布来构建置信区间：

$$\bar{x} \pm t_{\alpha/2,n-1} \times \frac{s}{\sqrt{n}}$$

其中  $t_{\alpha/2,n-1}$  是自由度为  $n-1$  的  $t$  分布分位数。

Student's  $t$  分布（简称  $t$  分布）由英国统计学家威廉·戈塞特（William Gosset）在 1908 年应用笔名 Student 提出，当时他在吉尼斯啤酒厂从事质量控制工作，为了解决小样本问题而发展了这种分布。

$t$  分布的形状比正态分布更加扁平，尾部更厚，这反映了小样本情况下估计不确定性的增加（图4.1）。随着样本量的增加， $t$  分布逐渐趋近于正态分布。

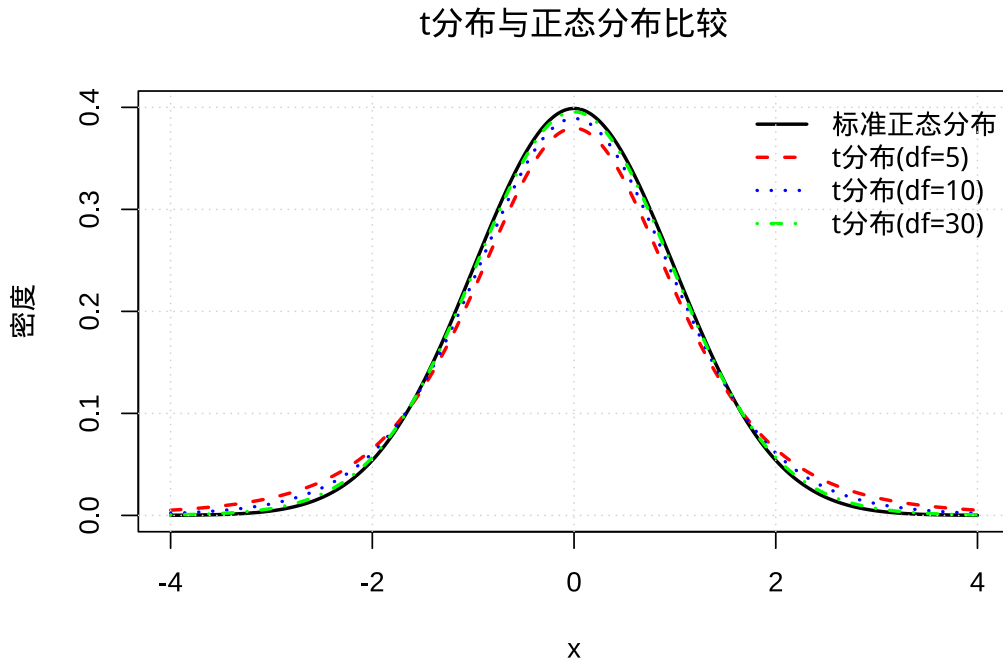


图 4.1  $t$  分布与正态分布的比较：不同自由度的  $t$  分布（红色、蓝色、绿色）与标准正态分布（黑色）的对比，展示随着自由度增加  $t$  分布逐渐趋近正态分布的趋势

在生态学研究中，小样本情况非常常见。例如，在研究濒危物种时，由于种群数量稀少，我们往往只能获得有限的观测数据；在进行珍稀植物调查时，由于分布范围有限，样本量也往往较小；在开展昂贵的生态实验时，由于成本和时间的限制，样本量也可能受到限制。在这些情况下，使用  $t$  分布构建置信区间能够更准确地反映估计的不确定性。

$t$  分布置信区间的生态学意义在于，它为小样本生态学研究提供了可靠的统计工具。通过考虑样本量对估计精度的影响， $t$  分布能够给出更加保守但更加可靠的置信区间，避免了在小样本情况下过度乐观地估计参数精度。这对于濒危物种保护、珍稀生态系统研究等关键生态学问题尤为重要。

### 基于自助法的置信区间

当总体分布未知或样本量很小时，我们可以使用自助法（bootstrap）来构建置信区间。这种方法通过重复抽样来估计参数的抽样分布。

自助法由美国统计学家布拉德利·埃夫隆（Bradley Efron）在 1979 年提出，是一种基于计算机重抽样的非参数统计方法。其基本思想是将原始样本视为“总体”，通过有放回地重复抽样来模拟抽样分布。具体而言，我们从原始样本中随机抽取  $n$  个观测值（允许重复），计算感兴趣的统计量，重复这个过程数千次，从而得到统计量的经验分布，基于这个分布构建置信区间。

在生态学研究中，自助法具有独特的优势。许多生态学数据的分布形式复杂，可能不满足传统参数方法的分布假设。例如，物种多度分布往往呈现偏态分布，种群空间分布可能呈现聚集分布，这些复杂的分布模式使得传统的参数方法难以适用。自助法不依赖于特定的分布假设，能够适应各种复杂的生态

学数据分布。

在 R 中，我们可以用以下方法来实现自助法：

```
library(boot)
set.seed(123)
egret_counts <- rnorm(30, mean = 1200, sd = 100)

mean_func <- function(data, indices) {
  return(mean(data[indices]))
}

boot_result <- boot(egret_counts, statistic = mean_func, R = 1000)
ci_bootstrap <- boot.ci(boot_result, type = "perc", conf = 0.95)
cat(" 自助法 95% 置信区间: ", ci_bootstrap$percent[4:5], "\n")

## 自助法 95% 置信区间: 1160.646 1227.409
```

自助法置信区间的生态学意义在于，它为处理复杂生态学数据提供了灵活而强大的统计工具。无论是研究物种-面积关系、种群空间分布格局，还是分析生态系统的非线性响应，自助法都能够提供可靠的置信区间估计。此外，自助法特别适用于小样本情况，在生态学研究中，由于研究对象的稀有性或调查成本的限制，小样本问题普遍存在，自助法为这些情况下的统计推断提供了有效的解决方案。

为了直观理解置信水平和样本量对区间估计的影响，我们通过可视化分析来展示这些关系。图4.2展示了两个关键概念：不同置信水平下区间估计的比较以及样本量对置信区间宽度的影响。

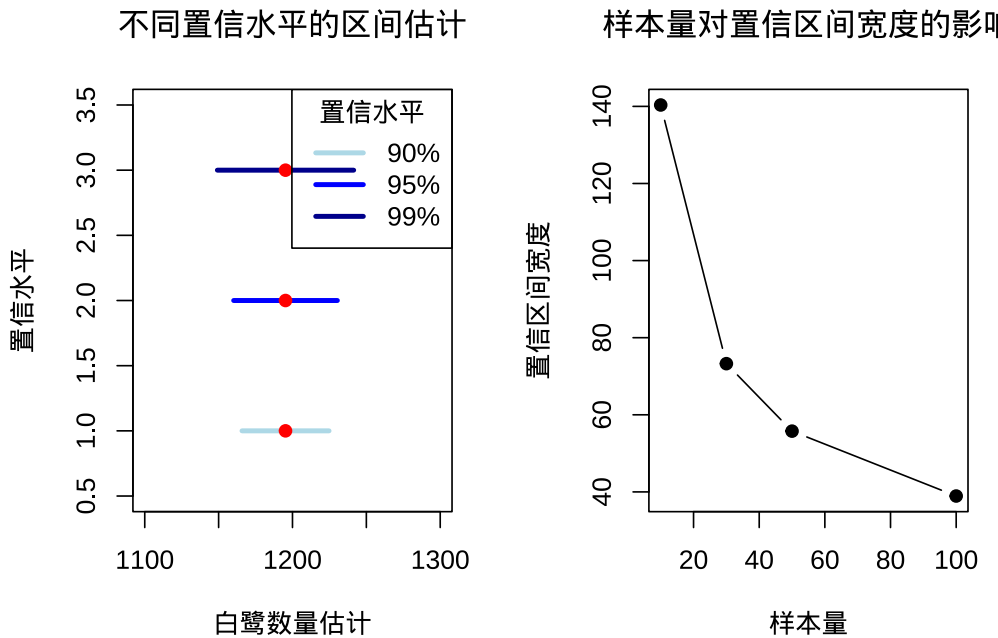


图 4.2 不同置信水平的区间估计比较

图4.2通过两个子图直观展示了置信区间估计的两个重要方面。

左图展示了不同置信水平的区间估计比较，呈现了 90%、95% 和 99% 三种置信水平下的白鹭种群数量估计区间。图中红色圆点表示点估计值（样本均值），水平线段表示置信区间。从图中可以明显看出，置信水平越高（如 99%），置信区间越宽，这反映了更高的可靠性要求；而置信水平越低（如 90%），

置信区间越窄，但估计的不确定性也相应增加。

右图展示了样本量对置信区间宽度的影响，呈现了随着样本量从 10 增加到 100，置信区间宽度的变化趋势。结果显示样本量越大，置信区间越窄，估计精度越高，这种关系遵循统计理论中置信区间宽度与样本量的平方根成反比的规律。

这两个图形共同说明了在生态学研究中需要在置信水平、样本量和估计精度之间进行权衡。

#### 4.3.2.3 置信水平的选择

在生态学研究中，我们需要根据具体的研究目的来选择合适的置信水平：

- **90% 置信水平**: 适用于初步调查、快速评估，或者在资源有限的情况下
- **95% 置信水平**: 这是生态学研究中最常用的标准，提供了良好的平衡
- **99% 置信水平**: 适用于关键决策、濒危物种保护等需要更高可靠性的情况

比如，在评估一个重大生态工程的效果时，我们可能会选择 99% 的置信水平，因为决策的后果很严重。而在进行常规监测时，95% 的置信水平通常就足够了。

#### 4.3.2.4 区间估计在生态学决策中的应用

区间估计不仅仅是统计工具，它直接影响生态学决策的质量。在生态学研究和实践中，决策往往涉及重大的生态、经济和社会后果，而区间估计为这些决策提供了关键的量化支撑。通过提供参数估计的不确定性信息，区间估计帮助决策者更全面地理解生态系统的状态和变化趋势，从而做出更加科学和负责任的决策。

**保护生物学**: 在制定濒危物种保护计划时，我们需要知道种群数量的可能范围。濒危物种的保护决策往往具有不可逆性，一旦决策失误，可能导致物种灭绝的严重后果。区间估计为这种高风险决策提供了重要的风险评估工具。例如，当估计某种濒危鸟类的种群数量时，点估计可能显示种群数量为 500 只，但如果 95% 置信区间为 [300, 700]，这意味着真实的种群数量有相当大的不确定性。这种不确定性信息对于制定保护策略至关重要：如果置信区间的下限接近物种存活的临界阈值，就需要采取更加积极的保护措施；如果置信区间较宽，说明需要进一步调查以获得更精确的估计。此外，在评估保护措施的效果时，区间估计能够帮助我们区分真实的种群变化和抽样误差，为保护策略的调整提供科学依据。

**资源管理**: 在规划渔业捕捞配额时，我们需要考虑种群估计的不确定性。渔业资源的可持续利用是生态经济学的重要课题，而捕捞配额的制定直接关系到渔业资源的长期可持续性。区间估计为渔业管理提供了风险管理的工具。例如，在估计某种经济鱼类的资源量时，如果点估计显示资源量为 100 万吨，95% 置信区间为 [80, 120] 万吨，渔业管理部门就需要考虑最坏情况下的资源量（80 万吨）来制定保守的捕捞配额，以确保资源的可持续利用。这种基于区间估计的预防性原则在渔业管理中尤为重要，因为过度捕捞的后果往往是不可逆的。此外，区间估计还能够帮助评估不同管理策略的风险，为渔业政策的制定提供量化支持。

**环境政策：**在制定排放标准时，我们需要了解污染物浓度的可信范围。环境政策的制定往往涉及复杂的权衡，需要在环境保护和经济发展之间找到平衡点。区间估计为这种权衡提供了科学的量化基础。例如，在制定水体污染物排放标准时，如果研究显示某种污染物的安全浓度为 10mg/L，95% 置信区间为 [8, 12]mg/L，政策制定者就需要考虑置信区间的范围来确定排放标准。如果采用较宽松的标准 (12mg/L)，可能对生态系统造成潜在风险；如果采用较严格的标准 (8mg/L)，可能对经济发展产生较大影响。区间估计为这种政策权衡提供了透明和可量化的依据，帮助决策者在科学的基础上做出合理的政策选择。

通过科学的区间估计，我们能够更客观地评估生态学研究结果的可靠性，为生态保护和管理决策提供更加科学和可靠的依据。区间估计不仅提供了参数估计的“最佳猜测”，更重要的是提供了估计的“可信程度”，这种不确定性信息的量化是科学决策的重要基础。在生态学研究和实践中，忽视估计的不确定性可能导致决策的盲目性，而充分考虑不确定性则能够提高决策的稳健性和适应性。随着生态学研究的深入和统计方法的发展，区间估计在生态决策中的作用将越来越重要，它将继续为生态保护和可持续发展提供坚实的科学支撑。

### 4.3.3 估计方法

#### 4.3.3.1 最大似然估计

##### 什么是最大似然估计？一个生态学的直观理解

想象一下，你是一位生态学家，正在研究一片森林中某种树种的胸径分布。你测量了 50 棵树的胸径，得到了一组数据。现在你想知道：这个树种在整片森林中的平均胸径是多少？胸径的变异程度有多大？

最大似然估计就是帮你回答这些问题的一种聪明方法。它的核心思想很简单：**选择那些让观测数据最有可能出现的参数值。**

让我们用一个更生活化的例子来理解：

假设你在一片森林里发现了一些动物的脚印。根据脚印的大小和形状，你猜测这可能是某种鹿。现在你想估计这种鹿的平均体重。最大似然估计的思路就是：“如果这种鹿的平均体重是某个值，那么我观察到这些脚印的可能性有多大？”然后我们选择那个让可能性最大的体重值作为我们的估计。

在数学上，对于给定的样本数据  $x_1, x_2, \dots, x_n$ ，我们构造似然函数：

$$L(\theta|x) = \prod_{i=1}^n f(x_i|\theta)$$

其中  $f(x_i|\theta)$  是概率密度函数。最大似然估计就是寻找使似然函数最大的参数值：

$$\hat{\theta}_{\text{MLE}} = \arg \max L(\theta|x)$$

在实际计算中，我们通常使用**对数似然函数**，因为乘积的对数更容易处理（把乘法变成加法）：

$$\ln L(\theta|x) = \sum_{i=1}^n \ln f(x_i|\theta)$$

### 生态学实例：森林树木胸径估计

理解对数似然函数的推导过程对于掌握最大似然估计至关重要。让我们一步步来看这个公式是如何从正态分布的概率密度函数推导出来的：

首先，正态分布的概率密度函数为：

$$f(x|\mu, \sigma) = \frac{1}{\sqrt{2\pi\sigma^2}} \exp\left(-\frac{(x-\mu)^2}{2\sigma^2}\right)$$

当我们有  $n$  个独立观测数据  $x_1, x_2, \dots, x_n$  时，似然函数是这些概率密度的乘积：

$$L(\mu, \sigma|x) = \prod_{i=1}^n f(x_i|\mu, \sigma)$$

由于直接处理乘积比较复杂，我们通常取对数将乘积转换为求和，得到对数似然函数：

$$\ln L(\mu, \sigma|x) = \sum_{i=1}^n \ln f(x_i|\mu, \sigma)$$

将概率密度函数代入并展开：

$$\ln L = \sum_{i=1}^n \left[ -\frac{1}{2} \ln(2\pi) - \ln(\sigma) - \frac{(x_i - \mu)^2}{2\sigma^2} \right]$$

最后，合并同类项得到：

$$\ln L = -\frac{n}{2} \ln(2\pi) - n \ln(\sigma) - \frac{\sum_{i=1}^n (x_i - \mu)^2}{2\sigma^2}$$

这就是我们在下面的代码中使用的对数似然函数形式。这个推导过程展示了如何从基本的概率密度函数出发，通过数学变换得到便于优化的对数似然函数。根据这个似然函数的定义，我们就可以使用优化算法来求解最大似然估计。

现在让我们回到刚才的森林树木胸径的例子。假设我们测量了 50 棵树的胸径，发现这些数据大致服从正态分布。我们想要估计两个参数：

- : 整个树种的平均胸径

- $\sigma^2$ : 胸径的变异程度

在 R 中，我们可以用以下方法来实现最大似然估计：

```
set.seed(123)
tree_diameter <- rnorm(50, mean = 25, sd = 5) # 真实均值 25cm, 标准差 5cm

# 定义似然函数
log_likelihood <- function(params, data) {
  mu <- params[1] # 提取均值参数
  sigma <- params[2] # 提取标准差参数
  # 避免 sigma 为负值 (标准差必须为正数)
  if (sigma <= 0) return(-Inf)
  n <- length(data)

  log_lik <- -n / 2 * log(2 * pi) - n * log(sigma) -
    sum((data - mu)^2) / (2 * sigma^2)
  return(log_lik)
}

initial_params <- c(mean(tree_diameter), sd(tree_diameter))
result <- optim(initial_params, log_likelihood, data = tree_diameter,
                 control = list(fnscale = -1), method = "L-BFGS-B",
                 lower = c(-Inf, 0.001), upper = c(Inf, Inf))

cat("\n使用优化算法的最大似然估计结果: \n",
  " 总体均值估计: ", result$par[1], "cm\n",
  " 总体标准差估计: ", result$par[2], "cm\n")

## 使用优化算法的最大似然估计结果:
## 总体均值估计: 25.17202 cm
## 总体标准差估计: 4.582823 cm
```

### 最大似然估计的生态学意义

最大似然估计为什么在生态学中如此重要？这要从它的统计性质和生态学实践需求两个方面来理解。作为一种基于“最合理猜测”原理的参数估计方法，最大似然估计已经成为现代生态学研究不可或缺的统计工具。它的重要性不仅体现在理论上的优美性质，更体现在解决实际生态学问题的强大能力上。

### 统计性质的生态学价值

最大似然估计拥有几个非常重要的统计性质，这些性质在生态学研究中具有深刻的意义，为生态学家提供了从有限观测数据推断生态系统规律的可靠基础。

1. **渐进无偏性**：当样本量足够大时，最大似然估计会越来越接近真实值。在生态学中，这个性质具有重要的实践意义。生态学研究往往面临样本量有限的挑战，特别是在研究稀有物种、进行长期监测或开展昂贵的野外实验时。渐进无偏性告诉我们，即使初始样本量较小，只要研究设计合理且持续积累数据，我们的估计最终会收敛到真实参数。

例如，在国家公园的长期监测项目中，研究人员每年对某种珍稀植物的种群数量进行调查。由于植物分布稀疏且调查成本高昂，前几年的样本量可能有限。但随着监测年份的增加，累积的样本量逐渐增大，最大似然估计给出的种群数量估计会越来越准确。这种渐进无偏性为长期生态监测项目提供了统计保障，让研究人员相信持续的努力最终会带来可靠的认识。

再比如，在研究气候变化对鸟类迁徙时间的影响时，研究人员需要基于多年的观测数据估计迁徙时间的趋势。最大似然估计的渐进无偏性确保了随着观测年份的增加，趋势估计会越来越接近真实的气候变化影响。这种性质对于制定基于科学证据的气候变化适应策略至关重要。

2. **有效性：**在所有无偏估计中，最大似然估计的方差最小。这个性质在生态学中尤为重要，因为生态数据往往存在较大的自然变异。生态系统是复杂的动态系统，受到多种生物和非生物因素的影响，观测数据中包含了大量的随机变异。最大似然估计的高效性意味着它能够在这种自然变异中给出最精确的估计。

考虑一个具体的例子：在评估湿地恢复工程对水鸟种群的影响时，研究人员需要检测种群数量的微小变化。由于水鸟种群受到天气、食物供应、捕食压力等多种因素的影响，观测数据中存在显著的年度波动。最大似然估计的有效性使得研究人员能够区分真实的恢复效果和随机波动。如果使用方差较大的估计方法，可能会错过重要的生态恢复信号，或者将随机波动误认为生态变化。

另一个重要应用是在生物多样性监测中。当研究人员试图检测物种丰富度的长期变化趋势时，最大似然估计的高效性能够提高检测微弱但持续的生态变化的统计功效。这对于早期预警生态系统退化、评估保护措施效果具有重要意义。

3. **一致性：**样本量增大时，估计值会收敛到真实参数。这个性质保证了生态学研究的可积累性——随着研究的深入和数据的丰富，我们的认识会不断接近生态系统的真实状态。一致性是科学的研究的基石，它确保了知识的渐进积累和认识的不断深化。

在宏观生态学研究中，研究人员经常需要整合来自不同地区、不同时间尺度的数据。最大似然估计的一致性保证了这种数据整合的可靠性。例如，在构建全球物种分布模型时，研究人员需要整合来自世界各地的观测记录。最大似然估计确保随着数据覆盖范围的扩大和样本量的增加，模型参数会收敛到反映物种生态需求的真实值。

同样，在生态系统服务评估中，研究人员需要基于有限的样点数据推断整个区域的生态系统服务价值。最大似然估计的一致性为这种空间外推提供了统计基础，确保了随着调查样点的增加，区域尺度的估计会越来越准确。

### 生态学应用的广泛性

最大似然估计在生态学各个领域都有广泛应用，从微观的个体行为研究到宏观的全球变化分析，几乎涵盖了生态学的所有分支领域。

- **种群动态模型：**在种群生态学中，我们经常需要估计种群增长率、死亡率、繁殖率等关键参数。最大似然估计能够基于观测数据（如标记重捕数据、种群普查数据）给出这些参数的最优估计。例如，在濒危物种保护中，准确的种群增长率估计对于制定保护策略至关重要。

以东北虎保护为例，研究人员通过红外相机监测和个体识别技术收集种群数据。最大似然估计被用于估计种群大小、存活率、繁殖率等关键参数。这些参数的准确估计直接影响到保护区的管理决策，如栖息地恢复的范围、反盗猎巡逻的强度等。最大似然估计不仅提供了点估计，还通过似然

剖面或自助法提供了参数的不确定性信息，为风险评估和适应性管理提供了科学依据。

在渔业管理中，最大似然估计被广泛应用于估计鱼类种群的生物参数。基于渔获量数据和年龄组成信息，研究人员使用最大似然估计来估计自然死亡率、捕捞死亡率、生长参数等。这些估计对于制定可持续的捕捞配额、保护渔业资源的长时期生产力具有关键作用。最大似然估计的统计性质确保了这些关键管理参数的可靠性。

- **物种分布模型：**随着气候变化和生境丧失，预测物种分布变化成为生态学的重要课题。最大似然估计在逻辑斯蒂回归、广义线性模型等物种分布模型中广泛应用，帮助我们理解环境因子如何影响物种的分布概率。

以大熊猫保护为例，研究人员使用最大似然估计来构建物种分布模型，预测气候变化背景下适宜栖息地的变化。基于大熊猫的分布记录和环境变量数据，最大似然估计能够确定各个环境因子（如温度、降水、植被类型）对物种分布的影响强度。这些模型不仅用于识别当前的保护优先区，还用于预测未来气候变化对栖息地适宜性的影响，为长期的保护规划提供科学支持。

在入侵生物学中，最大似然估计被用于预测外来物种的潜在分布范围。基于物种在原产地的分布数据和引入地的环境条件，研究人员使用最大似然估计来估计物种在新环境中的生存概率。这些预测对于早期预警、风险评估和防控策略制定具有重要意义。最大似然估计的统计框架使得研究人员能够量化预测的不确定性，为风险管理决策提供更全面的信息。

- **群落生态学模型：**在分析物种间相互作用和群落结构时，最大似然估计能够处理复杂的多物种数据。比如在食物网分析中，估计物种间的相互作用强度；在群落构建机制研究中，检验生态位理论和中性理论的相对重要性。

以森林群落研究为例，研究人员使用最大似然估计来分析树种间的竞争关系和共存机制。基于长期的样方监测数据，最大似然估计能够估计不同树种间的竞争系数，揭示群落构建的生态位过程。同时，通过比较不同模型的似然值，研究人员可以检验中性过程在群落构建中的相对重要性。这种模型比较方法为理解生物多样性维持机制提供了有力的统计工具。

在微生物生态学中，最大似然估计被用于分析微生物群落的组成和功能。基于高通量测序数据，研究人员使用最大似然估计来估计不同微生物类群的相对丰度、物种间的相互作用网络等。这些分析对于理解微生物群落在生态系统功能中的作用、开发基于微生物的生态修复技术具有重要意义。

- **生态系统模型：**在生态系统层面，最大似然估计用于估计碳循环、养分循环等关键过程参数。这些估计对于理解全球变化对生态系统的影响、评估生态系统的服务功能具有重要意义。

以森林碳汇研究为例，研究人员使用最大似然估计来校准生态系统过程模型。基于通量塔观测的碳通量数据、生物量调查数据等，最大似然估计能够估计光合作用、呼吸作用、碳分配等关键过程参数。这些参数估计的准确性直接影响到对森林碳汇能力的评估，为气候变化减缓政策的制定提供科学依据。

在水生态系统研究中，最大似然估计被用于估计营养盐循环参数。基于水体化学监测数据和生物

观测数据，研究人员使用最大似然估计来估计营养盐的吸收速率、转化速率、输出速率等。这些参数对于理解水体富营养化过程、制定水污染控制策略具有关键作用。最大似然估计的统计框架使得研究人员能够量化参数估计的不确定性，为环境风险管理提供更可靠的科学支撑。

### 生态学研究的实际优势

除了理论性质，最大似然估计在生态学实践中还有几个重要优势：

首先，最大似然估计具有良好的计算性质，可以通过数值优化算法高效求解，这使其能够处理生态学中常见的复杂模型。其次，最大似然估计提供了完整的统计推断框架，包括参数估计、假设检验、模型比较等，为生态学研究的科学严谨性提供了保障。最后，最大似然估计的渐进正态性使得我们可以构建参数的置信区间，量化估计的不确定性，这对于生态风险评估和决策支持尤为重要。

**简单总结：**最大似然估计就像是一个“最合理猜测”的方法——它选择那些让我们的观测数据看起来最合理的参数值。虽然听起来简单，但这种方法在生态学研究中非常强大和实用，为生态学家提供了从有限观测数据推断生态系统规律的可靠工具。

#### 4.3.3.2 矩估计

##### 什么是矩估计？一个更直观的方法

如果说最大似然估计是“最合理猜测”，那么矩估计就是“用样本特征来匹配总体特征”的方法。让我们用一个简单的生态学例子来理解：

假设你正在研究一片草地中某种昆虫的体长分布。你测量了 100 只昆虫的体长，得到了样本数据。矩估计的思路很简单：

- 用样本的平均体长来估计整个种群的平均体长
- 用样本体长的变异程度来估计整个种群体长的变异程度

##### 数学表达

矩估计法的基本思想是用样本矩来匹配总体矩。如果总体有  $k$  个未知参数，我们就用样本的前  $k$  阶矩来估计总体的前  $k$  阶矩。

对于正态分布  $N(\mu, \sigma^2)$ ，我们有两个未知参数  $\mu$  和  $\sigma^2$ 。矩估计的具体计算过程如下：

##### 1. 总体矩与样本矩的对应关系：

- 总体一阶矩（均值）： $E(X) = \mu$
- 总体二阶矩： $E(X^2) = \mu^2 + \sigma^2$

##### 2. 样本矩的计算：

- 样本一阶矩（样本均值）： $m_1 = \frac{1}{n} \sum_{i=1}^n x_i$

- 样本二阶矩:  $m_2 = \frac{1}{n} \sum_{i=1}^n x_i^2$

### 3. 建立矩估计方程:

$$m_1 = \mu$$

$$m_2 = \mu^2 + \sigma^2$$

### 4. 求解参数估计:

$$\hat{\mu}_{MM} = m_1 = \frac{1}{n} \sum_{i=1}^n x_i$$

$$\hat{\sigma}_{MM}^2 = m_2 - m_1^2 = \frac{1}{n} \sum_{i=1}^n x_i^2 - \left( \frac{1}{n} \sum_{i=1}^n x_i \right)^2$$

因此, 对于正态分布  $N(\mu, \sigma^2)$

- 一阶样本矩 (样本均值) 用于估计总体均值  $\mu$
- 二阶样本矩用于估计总体方差  $\sigma^2$

```
set.seed(123)
tree_diameter <- rnorm(50, mean = 25, sd = 5) # 真实均值 25cm, 标准差 5cm
mu_hat_moment <- mean(tree_diameter) # 一阶矩估计
sigma2_hat_moment <- var(tree_diameter) # 二阶矩估计 (无偏估计)

cat(" 矩估计结果: \n",
    " 总体均值估计: ", mu_hat_moment, "cm\n",
    " 总体方差估计: ", sigma2_hat_moment, "cm^2\n")

## 矩估计结果:
## 总体均值估计: 25.17202 cm
## 总体方差估计: 21.43088 cm^2

exp_lifespan <- rexp(100, rate = 0.1) # 平均寿命 10 天
lambda_hat_moment <- 1 / mean(exp_lifespan)
cat("\n昆虫寿命分布的矩估计: \n",
    " 指数分布参数估计: ", lambda_hat_moment, " (真实值: 0.1) \n",
    " 平均寿命估计: ", 1 / lambda_hat_moment, " 天 (真实值: 10 天) \n")

## 昆虫寿命分布的矩估计:
## 指数分布参数估计: 0.1087193 (真实值: 0.1)
## 平均寿命估计: 9.197996 天 (真实值: 10天)
```

### 矩估计的生态学意义

矩估计在生态学研究中为什么有用? 作为一种基于样本矩匹配总体矩的估计方法, 矩估计以其简单直观的特点在生态学研究中占据着独特而重要的地位。虽然它不像最大似然估计那样具有最优的统计性质, 但在许多实际生态学场景中, 矩估计的实用价值不容忽视。

### 矩估计的核心优势

矩估计在生态学研究中具有几个显著的优势, 这些优势使其在特定情境下成为首选的估计方法:

1. **计算简单**: 矩估计不需要复杂的优化算法, 计算过程直接明了。在生态学野外调查中, 研究人员经常需要在资源有限、时间紧迫的条件下进行快速分析。矩估计的计算简单性使其特别适合这种场景。例如, 在进行生物多样性快速评估时, 研究人员可以使用矩估计快速估算物种丰富度、种群密度等基本参数, 为后续的深入调查提供初步指导。

在 R 语言中, 矩估计的实现通常只需要几行简单的代码。比如估计正态分布的参数, 只需要计算样本均值和样本方差即可。这种计算简单性不仅降低了技术门槛, 也提高了分析效率, 使得更多的生态学研究者能够掌握和应用统计方法。

2. **直观易懂**: 矩估计直接用样本特征来估计总体特征, 这种“样本反映总体”的思维方式非常符合生态学研究者的直觉。生态学家经常需要向政策制定者、保护区管理人员或公众解释研究结果, 矩估计的直观性使得这种科学传播变得更加容易。

例如, 在向当地社区解释某种鱼类资源的现状时, 研究人员可以说:“我们捕捞了 100 条鱼, 平均体长为 25 厘米, 因此我们估计整个湖泊中这种鱼的平均体长约为 25 厘米。”这种基于样本均值的估计方法容易被非专业人士理解和接受。相比之下, 最大似然估计的“最合理猜测”概念可能需要更多的统计背景才能完全理解。

3. **应用广泛**: 矩估计在生态学初步分析中经常使用, 特别是在数据探索和模型诊断阶段。当研究人员面对新的数据集时, 矩估计可以快速提供参数的初始估计, 为后续的模型选择和参数优化提供参考。在许多生态学软件和统计包中, 矩估计被用作默认的初始值计算方法。

在生态建模中, 矩估计还常用于验证更复杂估计方法的结果。如果最大似然估计或贝叶斯估计的结果与矩估计相差甚远, 研究人员就需要仔细检查模型设定、数据质量或计算过程是否存在问题。这种验证功能使得矩估计成为生态学统计分析中重要的质量控制工具。

### 矩估计的局限性

尽管矩估计具有诸多优势, 生态学研究者也需要清醒地认识到它的局限性:

1. **不一定最优**: 在小样本情况下, 矩估计可能不如最大似然估计准确。生态学研究经常面临小样本问题, 特别是在研究稀有物种、进行昂贵的实验或监测难以到达的生境时。在这些情况下, 矩估计的效率较低, 估计的方差较大。

例如, 在研究某种极度濒危的兰花种群时, 研究人员可能只能找到几十个个体。使用矩估计来估计种群的关键参数(如平均开花数量、种子产量等)可能会产生较大的抽样误差。相比之下, 最大似然估计能够更有效地利用有限的信息, 给出更精确的估计。

2. **可能不稳健**: 矩估计对异常值比较敏感。生态学数据中经常包含异常值, 这些异常值可能来源于测量误差、极端环境事件或罕见的生物现象。矩估计基于样本矩, 而样本矩对异常值敏感, 这可能导致参数估计的偏差。

考虑一个具体的例子: 在调查某种鸟类的巢穴成功率时, 如果某个年份遇到了极端天气事件导致

大量巢穴失败，这个异常值会显著影响基于矩估计的年均成功率。在这种情况下，使用更稳健的估计方法（如中位数估计或修剪均值）可能更为合适。

### 生态学应用场景

矩估计在生态学研究中有着广泛而具体的应用场景：

1. **快速估算种群参数：**在生态监测和资源评估中，矩估计常用于快速估算种群的基本参数。例如，在渔业资源评估中，研究人员使用矩估计快速计算渔获物的平均体长、体重等指标；在森林资源调查中，矩估计用于估算树木的平均胸径、树高等参数。这些快速估计为资源管理决策提供了及时的信息支持。
2. **初步数据分析：**在生态学研究的早期阶段，矩估计是重要的探索性分析工具。研究人员使用矩估计来了解数据的基本特征，识别数据的分布模式，为后续的模型选择和参数优化奠定基础。例如，在分析物种多度分布时，矩估计可以快速揭示数据的偏度、峰度等特征，帮助研究人员选择合适的统计模型。
3. **教学演示：**由于方法简单直观，矩估计在生态统计学教学中具有重要价值。通过矩估计，学生可以直观地理解参数估计的基本原理，建立统计思维。许多生态统计学课程都以矩估计作为入门内容，帮助学生逐步过渡到更复杂的估计方法。
4. **模型验证和诊断：**在复杂的生态学模型分析中，矩估计常用于验证其他估计方法的结果。如果不同估计方法给出的结果基本一致，研究人员对模型结果的信心就会增强；如果结果差异较大，就需要进一步检查模型的适用性和数据的质量。

### 生态学实践建议

在实际生态学研究中，研究人员应该根据具体的研究目标和数据特征选择合适的估计方法：

- 对于初步探索和快速评估，矩估计是很好的选择
- 对于需要高精度估计的关键决策，建议使用最大似然估计或贝叶斯估计
- 在数据存在异常值或分布偏离假设时，需要考虑使用稳健估计方法
- 在教学和科学传播中，矩估计的直观性使其成为首选的解释工具

**简单总结：**矩估计就像是“用样本的镜子照出总体的样子”——简单直接，但在需要精确估计时可能还需要更复杂的方法。它虽然不是最精确的估计方法，但凭借其简单性、直观性和广泛适用性，在生态学研究中发挥着不可替代的作用。

#### 4.3.3.3 贝叶斯估计

想象一下，你是一位经验丰富的生态学家，正在研究一片森林中某种树种的胸径。你不仅测量了新的样本数据，还知道过去的研究表明这种树种的胸径通常在 20-30 厘米之间。贝叶斯估计就是让你能够结合已有的知识（先验信息）和新的观测数据来做出更好的估计。

### 贝叶斯估计的核心思想：

贝叶斯估计的公式表达了这种思想：

$$p(\theta|x) \propto p(x|\theta) \times p(\theta)$$

其中：

- $p(\theta|x)$  是后验分布：结合了先验和样本信息后的参数分布
- $p(x|\theta)$  是似然函数：样本数据的信息
- $p(\theta)$  是先验分布：我们已有的知识或信念

简单来说：后验  $\propto$  似然  $\times$  先验，具体有关贝叶斯的介绍请参考上一章节的相关内容。我们这里直接从如何实现这样的贝叶斯估计角度来讲解。

下面通过一个具体的生态学实例来展示贝叶斯估计的实现过程。我们将使用 R 语言的 `brms` 包来拟合贝叶斯模型，估计森林树木胸径的总体均值和标准差。

```
# 加载贝叶斯回归模型包
library(brms)

# 准备数据：将树木胸径数据转换为数据框格式
bayes_data <- data.frame(diameter = tree_diameter)

# 定义先验分布：基于已有知识设定参数的先验分布
priors <- c(
  prior(normal(22, 3), class = Intercept), # 均值的先验：基于过去研究,
  # 认为均值在 22cm 左右，标准差 3cm
  prior(student_t(3, 0, 5), class = sigma) # 标准差的先验：使用学生 t 分布，自由度 3，位置 0，尺度 5
)

# 拟合贝叶斯模型
fit_brm <- brm(
  formula = diameter ~ 1, # 模型公式：只有截距项，即估计总体均值
  data = bayes_data, # 输入数据
  prior = priors, # 先验分布设置
  family = gaussian(), # 假设数据服从正态分布
  chains = 4, # 使用 4 条独立的 MCMC 链进行采样
  iter = 2000, # 每条链进行 2000 次迭代
  warmup = 1000, # 前 1000 次作为预热期 (burn-in)，不用于后验分析
  seed = 123, # 设置随机种子保证结果可重现
  silent = 2, # 不输出采样过程信息
  refresh = 0 # 不输出采样进度条
)
## Error in sink(type = "output") : invalid connection

# 输出模型拟合结果
knitr::kable(summary(fit_brm)$fixed,
             caption = "贝叶斯模型拟合结果",
             booktabs = TRUE) %>%
  kableExtra::kable_styling(latex_options = c("hold_position"))
```

这段代码展示了贝叶斯估计在生态学中的具体实现过程。首先加载 `brms` 包，这是一个基于 Stan

表 4.4 贝叶斯模型拟合结果

|           | Estimate | Est.Error | l-95% CI | u-95% CI | Rhat     | Bulk_ESS | Tail_ESS |
|-----------|----------|-----------|----------|----------|----------|----------|----------|
| Intercept | 25.00149 | 0.6695746 | 23.65401 | 26.29316 | 1.002247 | 3058.456 | 2318.366 |

的贝叶斯回归建模包，专门用于拟合复杂的层次模型。代码将树木胸径数据转换为数据框格式，这是 `brms` 包要求的输入格式。

在定义先验分布时，我们基于已有的生态学知识设定了合理的先验：对于总体均值参数，使用均值为 22cm、标准差为 3cm 的正态分布先验，这反映了基于过去研究的先验信念；对于标准差参数，使用自由度为 3 的学生 t 分布先验，这种重尾分布能够更好地处理异常值，提高模型的稳健性。

模型拟合过程使用了马尔可夫链蒙特卡洛 (MCMC) 采样方法，设置了 4 条独立的马尔可夫链，每条链进行 2000 次迭代，其中前 1000 次作为预热期 (burn-in) 用于算法收敛，后 1000 次用于后验分析。这种多链设置有助于验证 MCMC 采样的收敛性，而预热期的设置则确保了采样从稳定状态开始。模型输出结果通过 `knitr::kable` 函数以表格形式展示，提供了参数的后验分布统计量，包括均值、标准差和分位数等信息。

```
# 提取后验样本：将 MCMC 采样结果转换为数据框格式
posterior_samples <- as.data.frame(fit_brm)

# 计算后验分布的均值：参数的点估计
posterior_mean <- mean(posterior_samples$b_Intercept) # 截距项对应总体均值
posterior_sd <- mean(posterior_samples$sigma) # 标准差参数

# 输出贝叶斯估计结果
cat("\n贝叶斯估计结果:\n",
  " 后验均值: ", round(posterior_mean, 2), "cm\n",
  " 后验标准差: ", round(posterior_sd, 2), "cm\n")

## 贝叶斯估计结果:
## 后验均值: 25 cm
## 后验标准差: 4.72 cm
```

这段代码从拟合的贝叶斯模型中提取后验样本，这是贝叶斯分析的核心步骤。`as.data.frame(fit_brm)` 将 MCMC 采样结果转换为数据框格式，便于后续的统计分析。后验样本包含了所有 MCMC 迭代中参数的采样值，反映了参数的不确定性分布。

我们计算后验分布的均值作为参数的点估计：`b_Intercept` 对应总体均值的后验分布，`sigma` 对应标准差参数的后验分布。在贝叶斯框架下，这些后验均值代表了在考虑先验信息和样本数据后，对参数的最优估计。输出结果显示了我们基于贝叶斯方法估计的树木胸径总体均值和标准差。

```
# 设置图形布局：1 行 2 列
par(mfrow = c(1, 2))

# 绘制均值的后验分布直方图
hist(posterior_samples$b_Intercept, breaks = 30,
  xlab = " 均值 (cm)", ylab = " 密度",
  main = " 均值的后验分布", col = "lightblue")
abline(v = posterior_mean, col = "red", lwd = 2) # 添加均值垂直线

# 绘制标准差的后验分布直方图
hist(posterior_samples$sigma,
```

```
xlab = " 标准差 (cm)", ylab = " 密度",
main = " 标准差的后验分布", col = "lightgreen")
abline(v = posterior_sd, col = "red", lwd = 2) # 添加均值垂直线
```

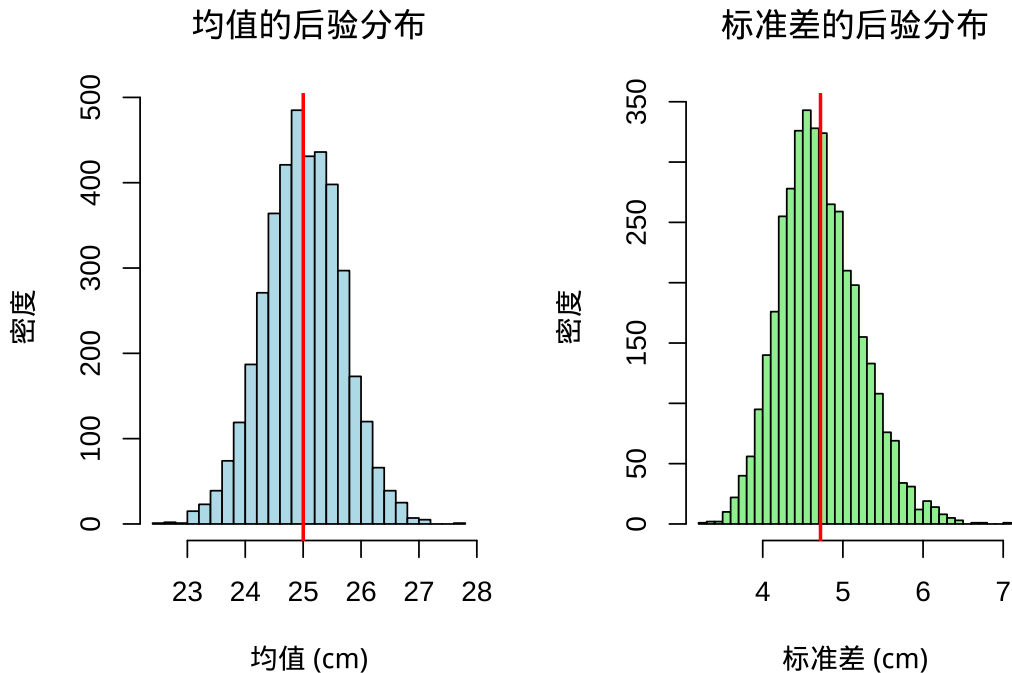


图 4.3 贝叶斯估计的后验分布

```
# 恢复默认图形布局
par(mfrow = c(1, 1))

# 计算 95% 可信区间: 贝叶斯统计中的区间估计
ci_mean <- quantile(posterior_samples$b_Intercept, probs = c(0.025, 0.975))
ci_sigma <- quantile(posterior_samples$sigma, probs = c(0.025, 0.975))

# 输出可信区间结果
cat("\n95% 可信区间: \n",
  " 均值: [", round(ci_mean[1], 2), ", ", round(ci_mean[2], 2), "] cm\n",
  " 标准差: [", round(ci_sigma[1], 2), ", ", round(ci_sigma[2], 2), "] cm\n")

## 95% 可信区间:
## 均值: [ 23.65 ,  26.29 ] cm
## 标准差: [ 3.86 ,  5.78 ] cm
```

图4.3展示了贝叶斯估计得到的参数后验分布，这是贝叶斯统计的核心优势之一。图形采用 1 行 2 列的布局，分别显示总体均值和标准差的后验分布直方图。左侧图形展示了总体均值的后验分布，使用浅蓝色直方图显示，红色垂直线标记了后验均值；右侧图形展示了标准差参数的后验分布，使用浅绿色直方图显示。

这些后验分布直方图直观地反映了参数估计的不确定性：分布的形状越集中，说明估计越精确；分布越分散，说明不确定性越大。与频率学派的置信区间不同，贝叶斯可信区间具有更直观的概率解释——我们有 95% 的把握认为真实参数值落在该区间内。代码计算了 95% 可信区间，分别给出了总体均值和标准差参数的可信范围，为生态学决策提供了完整的不确定性信息。

贝叶斯估计的核心思想包括：结合先验信息和样本信息、得到参数的后验分布而非点估计（图4.3）、

提供完整的参数不确定性信息，以及特别适用于有先验知识的生态学问题。

### 贝叶斯估计的生态学意义

贝叶斯估计为什么在生态学中越来越受欢迎？作为一种能够结合先验信息和样本数据的统计方法，贝叶斯估计在现代生态学研究中正发挥着越来越重要的作用。随着生态学研究问题的复杂化和数据类型的多样化，贝叶斯估计的独特优势使其成为解决许多生态学挑战的有力工具。

### 贝叶斯估计的核心优势

贝叶斯估计在生态学研究中具有几个显著的优势，这些优势使其在处理复杂生态学问题时表现出色：

1. **结合先验知识：**贝叶斯估计能够充分利用历史数据、专家经验等已有信息，这是其最突出的优势之一。在生态学研究中，许多问题都具有丰富的历史背景和专业知识积累。贝叶斯估计通过先验分布的形式将这些知识纳入分析框架，使得估计结果更加合理和稳健。

例如，在濒危物种保护研究中，研究人员往往积累了多年的监测数据。当进行新的种群评估时，贝叶斯估计可以将历史数据作为先验信息，结合新的观测数据来更新对种群参数的认知。这种“知识积累”的过程非常符合生态学研究的渐进性特点。在东北虎保护研究中，研究人员使用贝叶斯方法结合了过去 20 年的红外相机监测数据，构建了种群动态的先验分布，然后基于新的调查数据更新了对种群数量、存活率等关键参数的估计。这种方法不仅提高了估计的精度，还使得保护决策能够基于更加全面的信息。

另一个重要应用是在生态系统服务评估中。许多生态系统服务（如碳储存、水源涵养）的评估需要结合遥感数据、地面观测数据和专家判断。贝叶斯估计提供了一个统一的框架来整合这些不同类型的信息源，通过先验分布的形式表达专家对某些参数的不确定性判断，然后基于观测数据来更新这些判断。

2. **提供完整的不确定性信息：**贝叶斯估计给出参数的整个后验分布，而不仅仅是点估计，这为生态学决策提供了更加全面的信息基础。在生态学研究和实践中，决策往往涉及重大的生态、经济和社会后果，充分理解参数估计的不确定性对于科学决策至关重要。

考虑气候变化对物种分布影响的研究。传统的点估计方法可能给出物种分布范围变化的单一数值，而贝叶斯估计则提供完整的概率分布，显示不同变化幅度的可能性。这种完整的不确定性信息对于制定适应性管理策略具有重要意义。例如，在预测某种珍稀植物在未来气候情景下的适宜栖息地变化时，贝叶斯估计不仅给出了最可能的变化趋势，还量化了各种可能情景的概率，为保护区的长期规划提供了风险评估基础。

在生态风险评估中，贝叶斯估计的完整不确定性信息尤为重要。当评估某种污染物对水生生态系统的影响时，贝叶斯方法能够提供效应大小的概率分布，而不仅仅是“显著”或“不显著”的二元结论。这种概率化的风险评估使得决策者能够基于风险水平制定相应的管理措施，而不是简单地依赖统计显著性。

3. **灵活处理复杂问题：**贝叶斯估计特别适合处理小样本、缺失数据、层次结构等复杂情况，这些情况在生态学研究中非常普遍。生态学数据往往具有复杂的结构特征，如空间相关性、时间自相关性、个体异质性等，贝叶斯估计通过层次模型和随机效应能够很好地处理这些复杂性。

在小样本情况下，贝叶斯估计通过先验信息的引入，能够在一定程度上补偿样本信息的不足。例如，在研究某种极度稀有的两栖动物时，研究人员可能只能获得很少的个体观测数据。通过结合专家对物种生态需求的先验知识，贝叶斯估计能够给出相对合理的参数估计，而传统方法可能由于样本量过小而无法提供可靠的推断。

在缺失数据处理方面，贝叶斯估计也具有独特优势。生态学监测数据经常存在缺失值，特别是在长期监测项目中。贝叶斯方法将缺失值视为待估计的参数，在模型拟合过程中同时估计模型参数和缺失值，这种方法比传统的缺失值处理方法更加合理和有效。

### 生态学应用场景

贝叶斯估计在生态学研究的各个领域都有广泛而深入的应用：

1. **基于历史数据的种群参数估计：**贝叶斯估计特别适合处理具有时间序列特征的生态学数据。在长期生态监测项目中，研究人员积累了多年的观测数据，贝叶斯方法能够有效地整合这些历史信息。

以候鸟迁徙研究为例，研究人员使用贝叶斯状态空间模型来估计种群数量的年际变化。这种模型不仅能够估计当前的种群状态，还能够量化观测误差和过程误差，提供更加真实的种群动态描述。通过结合多年的环志数据、计数数据和栖息地变化信息，贝叶斯方法能够揭示种群对气候变化和生境丧失的响应模式。

在渔业资源评估中，贝叶斯方法被广泛应用于种群动态模型的参数估计。基于多年的渔获量数据、年龄组成数据和环境因子数据，贝叶斯估计能够提供种群生物量、捕捞死亡率等关键参数的后验分布，为渔业管理决策提供概率化的科学依据。

2. **结合专家知识的生态模型：**在许多生态学研究中，特别是在数据稀缺的情况下，专家知识成为重要的信息源。贝叶斯估计提供了一个系统化的框架来整合专家知识和观测数据。

在生态系统建模中，研究人员经常面临参数众多但数据有限的问题。通过贝叶斯方法，研究人员可以基于文献综述、专家访谈等方式构建参数的先验分布，然后基于有限的观测数据来更新这些先验认识。这种方法在森林碳循环模型、湿地水文模型等复杂生态系统模型中得到广泛应用。

在保护生物学中，贝叶斯方法被用于整合不同专家的判断。当面对数据稀缺的濒危物种时，研究人员可以通过德尔菲法等方式收集多个专家的意见，将这些意见转化为参数的先验分布，然后基于有限的野外调查数据来更新对物种状况的认识。

3. **风险评估和决策支持：**贝叶斯估计提供的完整概率分布为生态风险评估和决策支持提供了理想的工具。在生态学决策中，往往需要在不确定性条件下做出选择，贝叶斯方法能够量化各种决策后果的概率。

在入侵物种管理决策中，贝叶斯方法被用于评估不同控制策略的效果和风险。基于物种的生态特征、扩散能力和控制措施的有效性等信息，贝叶斯模型能够预测各种管理情景下入侵物种的扩散概率和生态影响，为管理决策提供风险分析基础。

在气候变化适应规划中，贝叶斯方法帮助决策者理解不同适应策略在不确定未来气候情景下的效果。通过结合气候模型输出、物种响应数据和专家判断，贝叶斯分析能够评估各种适应措施的成功概率，支持基于风险的决策制定。

4. **模型比较和选择：**通过贝叶斯因子，研究人员可以系统地比较不同生态学模型的相对证据支持程度。这种模型比较方法比传统的假设检验更加灵活和全面。

在群落生态学中，研究人员使用贝叶斯模型比较来检验不同的群落构建机制。例如，通过比较生态位模型和中性模型的贝叶斯因子，研究人员可以评估生态位过程和中性过程在特定群落中的相对重要性。这种模型比较为理解生物多样性维持机制提供了有力的统计工具。

在物种分布建模中，贝叶斯模型平均被用于整合多个竞争模型的预测结果。通过计算各个模型的后验概率，研究人员可以构建基于模型权重的综合预测，这种预测通常比单一模型的预测更加稳健和可靠。

### 贝叶斯估计的发展趋势

随着计算技术的进步和统计软件的发展，贝叶斯估计在生态学中的应用正在不断扩展和深化：

- **计算方法的改进：**马尔可夫链蒙特卡洛（MCMC）算法、变分推断等计算方法的发展使得贝叶斯估计能够处理越来越复杂的生态学模型；
- **软件工具的普及：**Stan、JAGS、NIMBLE 等贝叶斯建模软件的出现降低了贝叶斯方法的技术门槛；
- **多学科整合：**贝叶斯方法促进了生态学与其他学科（如经济学、社会学）的交叉研究；
- **决策支持应用：**贝叶斯决策分析在生态管理中的应用日益广泛。

**简单总结：**贝叶斯估计就像是“站在前人的肩膀上”——它让我们能够利用已有的知识，结合新的观测，做出更加全面和稳健的估计。这种方法特别适合那些数据有限但知识丰富的生态学研究。随着生态学研究问题的日益复杂和对科学决策支持需求的增加，贝叶斯估计在生态学中的地位和作用将会越来越重要。

#### 4.3.4 估计量性质：如何评价一个估计方法的好坏？

在生态学研究中，我们经常需要选择不同的估计方法。那么，如何判断一个估计方法的好坏呢？统计学家们定义了几个重要的性质来评价估计量。理解这些性质不仅有助于我们选择合适的统计方法，更重要的是能够帮助我们正确解释和评估研究结果。在生态学实践中，这些性质就像是一把尺子，帮助我们衡量统计推断的质量和可靠性。

#### 4.3.4.1 无偏性：长期准确性的保证

**数学定义：**估计量的期望等于总体参数真值： $E(\hat{\theta}) = \theta$

无偏性就像是使用一把校准准确的尺子来测量长度。如果尺子本身没有系统偏差，那么长期来看，多次测量的平均值就会接近真实长度。在生态学中，这意味着如果我们重复进行相同的抽样调查，估计量的平均值会收敛到总体参数的真实值。

无偏性保证了长期估计的准确性，避免了系统性偏差。在生态学研究中，系统性偏差可能导致严重的决策错误。例如，在评估某种濒危物种的种群数量时，如果估计方法存在系统性低估，可能会导致保护措施不足，增加物种灭绝的风险。相反，如果存在系统性高估，可能会浪费有限的保护资源。

在森林碳储量估算中，研究人员使用样方法估计单位面积的碳储量。如果样方设置存在系统性偏差（如倾向于选择树木较大的区域），就会导致碳储量估计的系统性高估。无偏性要求我们的抽样设计和估计方法能够避免这种系统性偏差，确保长期估计的准确性。

在渔业资源评估中，无偏性尤为重要。如果捕捞死亡率估计存在系统性偏差，可能导致过度捕捞或资源利用不足。例如，在某些渔业中，基于渔获量的估计方法可能由于选择性捕捞而存在系统性偏差，需要使用更复杂的标记重捕方法来获得无偏估计。

无偏性是估计量的基本要求，指估计量的期望等于总体参数的真值。以样本均值  $\bar{x}$  为例，我们来证明为什么样本均值是总体均值的无偏估计。设总体均值为  $\mu$ ，样本  $x_1, x_2, \dots, x_n$  来自该总体，则样本均值的期望为：

$$E(\bar{x}) = E\left[\frac{1}{n} \sum_{i=1}^n x_i\right] = \frac{1}{n} \sum_{i=1}^n E(x_i) = \frac{1}{n} \sum_{i=1}^n \mu = \mu$$

在这个公式中：

- $E(\bar{x})$  表示样本均值的期望
- $\bar{x}$  是样本均值，计算公式为  $\frac{1}{n} \sum_{i=1}^n x_i$
- $n$  是样本容量
- $x_i$  是第  $i$  个样本观测值
- $E(x_i)$  是第  $i$  个样本观测值的期望
- $\mu$  是总体均值

这个简单的数学推导表明，无论样本量大小如何，样本均值的期望总是等于总体均值，因此样本均值是总体均值的无偏估计。

相比之下，样本方差的无偏性证明更为复杂。如果我们使用公式  $s^2 = \frac{1}{n-1} \sum_{i=1}^n (x_i - \bar{x})^2$  作为总体方差  $\sigma^2$  的估计量，我们来证明为什么需要除以  $n-1$  而不是  $n$ 。首先，我们考虑偏差：

$$\begin{aligned}
E \left[ \sum_{i=1}^n (x_i - \bar{x})^2 \right] &= E \left[ \sum_{i=1}^n (x_i - \mu + \mu - \bar{x})^2 \right] \\
&= E \left[ \sum_{i=1}^n (x_i - \mu)^2 \right] - 2E \left[ \sum_{i=1}^n (x_i - \mu)(\bar{x} - \mu) \right] + E \left[ \sum_{i=1}^n (\bar{x} - \mu)^2 \right]
\end{aligned}$$

由于  $\sum_{i=1}^n (x_i - \mu) = n(\bar{x} - \mu)$ , 我们有:

$$\begin{aligned}
E \left[ \sum_{i=1}^n (x_i - \mu)(\bar{x} - \mu) \right] &= E \left[ (\bar{x} - \mu) \sum_{i=1}^n (x_i - \mu) \right] \\
&= E [n(\bar{x} - \mu)^2] \\
&= n \text{Var}(\bar{x}) \\
&= n \left( \frac{\sigma^2}{n} \right) \\
&= \sigma^2
\end{aligned}$$

同时,  $E [\sum_{i=1}^n (\bar{x} - \mu)^2] = n \text{Var}(\bar{x}) = \sigma^2$

因此:

$$E \left[ \sum_{i=1}^n (x_i - \bar{x})^2 \right] = n\sigma^2 - 2\sigma^2 + \sigma^2 = (n-1)\sigma^2$$

这就证明了  $E [\sum_{i=1}^n (x_i - \bar{x})^2] = (n-1)\sigma^2$ , 所以  $E[s^2] = E [\frac{1}{n-1} \sum_{i=1}^n (x_i - \bar{x})^2] = \sigma^2$ 。这就是为什么样本方差需要除以  $n-1$  而不是  $n$  的原因——只有这样才能保证估计量的无偏性。

#### 4.3.4.2 有效性: 估计精度的关键

**数学定义:** 估计量的方差尽可能小, 即  $\text{Var}(\hat{\theta})$  最小

有效性就像是使用高精度的测量仪器。即使测量没有系统偏差, 如果仪器精度不够, 每次测量的结果也会有很大波动。在生态学中, 有效性意味着我们的估计结果具有较小的随机波动, 能够提供稳定可靠的参数估计。在所有无偏估计量中, 方差最小的估计量称为有效估计量。例如, 对于正态分布, 样本均值不仅是总体均值的无偏估计, 还是有效估计。

然而, 需要注意的是, 样本方差  $s^2 = \frac{1}{n-1} \sum_{i=1}^n (x_i - \bar{x})^2$  虽然是总体方差  $\sigma^2$  的无偏估计, 但它不是有效估计。根据 Cramér-Rao 下界, 对于正态分布,  $\sigma^2$  的任何无偏估计量的方差不能小于  $\frac{2\sigma^4}{n}$ , 而样本方差的方差为  $\frac{2\sigma^4}{n-1}$ , 当  $n > 1$  时,  $\frac{2\sigma^4}{n-1} > \frac{2\sigma^4}{n}$ , 因此样本方差不是有效估计。

让我们通过 R 代码来验证这一点:

```
set.seed(123)
simulation_variance <- function(n_sim = 10000, n_sample = 10,
```

```

    true_sigma2 = 25) {
s2_estimates <- numeric(n_sim) # 无偏样本方差
mle_estimates <- numeric(n_sim) # 最大似然估计

for (i in 1:n_sim) {
  sample_data <- rnorm(n_sample, mean = 0, sd = sqrt(true_sigma2))
  s2_estimates[i] <- var(sample_data) # 无偏估计
  mle_estimates[i] <- sum((sample_data - mean(sample_data))^2) / n_sample
}

var_s2 <- var(s2_estimates)
var_mle <- var(mle_estimates)

cr_lower_bound <- 2 * true_sigma2^2 / n_sample

relative_efficiency <- var_mle / var_s2

cat(" 有效性分析结果 (样本量 n =", n_sample, "): \n",
  " 无偏样本方差的方差: ", var_s2, "\n",
  " 最大似然估计的方差: ", var_mle, "\n",
  "Cramér-Rao 下界: ", cr_lower_bound, "\n",
  " 无偏样本方差是否达到 Cramér-Rao 下界: ", var_s2 >= cr_lower_bound, "\n",
  " 最大似然估计是否达到 Cramér-Rao 下界: ", var_mle >= cr_lower_bound, "\n",
  " 最大似然估计相对于无偏样本方差的效率: ", relative_efficiency, "\n")
}

simulation_variance(n_sim = 1000, n_sample = 10)

## 有效性分析结果 (样本量n = 10) :
## 无偏样本方差的方差: 139.1433
## 最大似然估计的方差: 112.7061
## Cramér-Rao 下界: 125
## 无偏样本方差是否达到Cramér-Rao下界: TRUE
## 最大似然估计是否达到Cramér-Rao下界: FALSE
## 最大似然估计相对于无偏样本方差的效率: 0.81

```

这个模拟研究代码在最大似然估计部分具有重要的教学意义。虽然我们刚刚学习了最大似然估计的理论和方法，但理解估计量的实际表现需要通过模拟来验证。模拟研究在参数估计教学中具有不可替代的价值。通过计算机模拟，我们能够直观地验证理论性质，例如观察样本均值的无偏性和最大似然方差估计的有偏性在实际抽样中的表现。更重要的是，模拟揭示了统计学中经典的偏差-方差权衡问题：最大似然方差估计虽然存在偏差，但其方差通常小于无偏估计，这为实际应用中的方法选择提供了重要启示。这种从理论到实践的桥梁作用，特别适用于生态学研究中的小样本场景，帮助学生理解不同估计方法的性质差异，为他们在真实生态调查中做出明智的统计方法选择奠定基础。这个模拟显示，虽然最大似然估计量是有偏的，但它的方差可能更小，这体现了估计量性质之间的权衡。

有效性提高了估计精度，让我们的估计更加稳定可靠。在生态监测和资源管理中，高精度的估计能够帮助研究人员检测微小的生态变化，为早期预警和适应性管理提供可靠依据。在气候变化对物候影响的研究中，研究人员需要检测物种开花或迁徙时间的微小变化。如果使用的估计方法方差较大，可能无法检测到气候变暖导致的物候提前。有效的估计方法能够提高检测这种微弱但持续变化的统计功效。

在生物多样性监测中，有效性直接影响对物种丰富度变化的检测能力。例如，在使用样线法调查鸟类多样性时，不同的估计方法可能给出不同的物种丰富度估计方差。选择有效的估计方法能够提高对多样性变化趋势的检测灵敏度，为保护决策提供更及时的信息。

#### 4.3.4.3 一致性：科学积累的基础

一致性是指当样本量趋于无穷大时，估计量依概率收敛于总体参数真值。样本均值和样本方差都具有一致性。一致性保证了大样本下的估计可靠性，样本越多结果越可信。这个性质是科学知识积累的基础，它确保了生态学研究能够通过持续的数据收集和分析不断接近生态系统的真实状态。

**数学定义：**对于任意  $\epsilon > 0$ ,  $\lim_{n \rightarrow \infty} P(|\hat{\theta} - \theta| > \epsilon) = 0$ 。

一致性就像是调查一片森林的过程。当我们只调查几个样方时，对森林的了解可能不够全面；但随着调查样方的增加，我们对森林的认识会越来越接近真实情况。在生态学中，一致性保证了随着数据积累，我们的认识会不断深化和准确化。

在长期生态监测项目中，一致性具有特别重要的意义。例如，在美国 Hubbard Brook 生态系统研究站的长期研究中，研究人员通过数十年的数据积累，对森林生态系统的碳循环、养分循环等过程有了越来越准确的认识。一致性确保了这种长期研究的科学价值，随着观测年份的增加，对关键生态过程参数的估计会越来越可靠。在物种分布建模中，一致性保证了随着观测记录的增加，模型对物种生态需求的估计会越来越准确。这对于预测物种对气候变化的响应、识别保护优先区等应用具有重要意义。

#### 4.3.4.4 充分性：信息利用的效率

**定义：**估计量包含样本中关于参数的所有信息。

充分性就像是使用最有效的方式总结观测数据。如果我们有一组复杂的生态观测数据，充分估计量能够提取其中所有关于参数的信息，不浪费任何有用的观测信息。

充分性避免了信息损失，充分利用样本数据。在生态学研究中，数据收集往往需要大量的时间、经费和人力投入，充分估计量能够确保我们最大限度地利用这些宝贵的数据资源。

在种群遗传学研究中，充分估计量能够充分利用基因型数据中的信息来估计种群遗传参数。如果使用非充分估计量，可能会丢失重要的遗传信息，导致对种群分化、基因流等关键过程的错误认识。

在群落生态学中，充分估计量能够有效利用物种多度数据中的信息来估计群落多样性参数。这对于理解群落构建机制、评估保护措施效果等应用具有重要价值。

#### 4.3.4.5 估计量性质在生态学实践中的权衡

这些理论性质在生态学研究中具有重要的实践意义。无偏性保证了我们的估计在长期平均意义上是准确的；有效性保证了我们的估计具有较高的精度；一致性保证了随着样本量的增加，我们的估计会越来越接近真实值；而充分性则进一步确保了我们对样本信息的利用达到最高效率。

在实际生态学研究中，我们通常希望估计量同时具备这些优良性质，但有时候需要在不同性质之间进行权衡。理解这些权衡关系对于选择合适的统计方法并正确解释估计结果至关重要。

**最大似然估计的优良性质：**最大似然估计通常具有良好的性质组合。在大多数情况下，最大似然估

计具有渐进无偏性、有效性和一致性。这使得它成为生态学研究中应用最广泛的估计方法之一。例如，在种群动态模型、物种分布模型、群落生态学模型等各种生态学模型中，最大似然估计都是首选的参数估计方法。

**矩估计的实用价值：**矩估计虽然不一定是最优的估计方法，但其计算简单、直观易懂的特点使其在生态学初步分析中具有重要价值。在快速评估、教学演示等场景中，矩估计的简单性往往比最优性更为重要。

**贝叶斯估计的独特优势：**贝叶斯估计能够结合先验知识，提供完整的不确定性信息。虽然贝叶斯估计不一定具有频率学派意义上的无偏性，但它能够通过先验信息的引入，在小样本情况下提供相对合理的估计，并为决策提供完整的概率分布信息。

**生态学实践建议：**在选择估计方法时，生态学研究者应该考虑以下几个因素：

- 研究目标：**如果研究目标是精确的参数估计，应该优先选择具有良好统计性质的估计方法（如最大似然估计）；如果目标是快速评估或初步探索，可以考虑使用计算简单的方法（如矩估计）。
- 数据特征：**对于大样本数据，最大似然估计通常是最佳选择；对于小样本数据，贝叶斯估计可能更为合适；对于存在异常值的数据，需要考虑使用稳健估计方法。
- 先验信息：**如果有丰富的先验信息（如历史数据、专家知识），贝叶斯估计能够充分利用这些信息，提高估计的可靠性。
- 决策需求：**如果需要为风险管理或政策制定提供决策支持，贝叶斯估计提供的完整不确定性信息具有重要价值。

**总结：**估计量的性质为我们评价和选择统计方法提供了重要的理论依据。在生态学研究中，理解这些性质不仅有助于我们做出正确的统计选择，更重要的是能够帮助我们正确解释研究结果，评估结论的可靠性。随着生态学研究问题的日益复杂和对科学严谨性要求的提高，对这些统计性质的理解和应用将变得越来越重要。

## 4.4 种群大小估计

种群大小估计是生态学研究的核心任务之一，也是保护生物学、野生动物管理和生态监测的基础工作。在生态学实践中，由于研究对象的规模庞大、分布广泛或难以接近，我们往往无法对种群进行全面的普查。种群大小估计方法正是为了解决这一困境而发展起来的统计工具，它允许我们通过有限的观测数据来推断整个种群的规模。

种群大小估计的重要性体现在多个方面。首先，准确的种群数量信息是制定保护策略的基础。无论是制定濒危物种的保护计划、规划自然保护区的范围，还是评估生态恢复工程的效果，都需要基于可靠的种群数量估计。其次，种群大小估计为资源管理提供了科学依据。在渔业、林业、野生动物管理等资源利用领域，可持续利用的前提是对资源数量的准确评估。最后，种群大小估计有助于我们理解生态系

统的结构和功能。种群数量是生态系统能量流动和物质循环的基础，也是物种间相互作用的重要决定因素。

在生态学研究中，不同的种群大小估计方法适用于不同的研究对象和研究条件。选择合适的方法需要考虑种群的特征（如移动性、分布模式）、研究的目的（如精确估计、趋势监测）、可用的资源（如时间、经费、人力）以及数据的可获得性。在接下来的内容中，我们将详细介绍几种主要的种群大小估计方法，包括它们的原理、适用条件、优缺点以及在生态学中的具体应用。

#### 4.4.1 标记重捕法

标记重捕法是生态学中最经典和广泛应用的种群大小估计方法之一，特别适用于移动性较强的动物种群。这种方法的基本思想是通过标记部分个体，然后重新捕获样本，根据标记个体在重捕样本中的比例来估计整个种群的规模。

**Lincoln-Petersen 估计**是最简单的标记重捕方法，其核心公式为：

$$N = \frac{M \times C}{R}$$

其中：

- $N$ : 种群大小估计值
- $M$ : 第一次捕获并标记的个体数
- $C$ : 第二次捕获的总个体数
- $R$ : 第二次捕获中标记个体的数量

这个公式的直观理解是：标记个体在种群中的比例应该等于它们在重捕样本中的比例。如果标记个体在重捕样本中的比例较低，说明种群规模较大；反之，如果比例较高，说明种群规模较小。

让我们通过一个具体的生态学例子来理解 Lincoln-Petersen 估计的应用。假设研究人员想要估计一片湿地中某种蛙类的种群数量。他们在第一次调查中捕获了 100 只蛙，进行了标记后释放。一周后进行第二次调查，捕获了 80 只蛙，其中 20 只是之前标记过的。根据 Lincoln-Petersen 公式：

$$N = \frac{100 \times 80}{20} = 400$$

因此，估计这片湿地中该种蛙类的种群数量约为 400 只。

Lincoln-Petersen 估计的关键假设包括：

1. 种群是封闭的，没有出生、死亡、迁入或迁出

2. 标记不会影响个体的行为或存活率
3. 标记不会丢失或难以识别
4. 捕获是随机的，所有个体被捕获的概率相等
5. 两次捕获之间个体充分混合

在实际生态学研究中，这些假设往往难以完全满足。例如，在真实的生态系统中，种群通常是开放的，个体会有出生、死亡和迁移；标记可能会影响个体的行为或存活率；捕获可能不是完全随机的。因此，Lincoln-Petersen 估计通常只适用于短期的封闭种群研究。

### Chapman 修正估计

为了改进 Lincoln-Petersen 估计在小样本情况下的表现，统计学家 Chapman 提出了一个修正公式。当重捕样本中标记个体数量较少时，原始 Lincoln-Petersen 估计可能产生偏差。Chapman 修正公式通过添加常数项来减少这种偏差：

$$\hat{N}_{\text{Chapman}} = \frac{(M+1)(C+1)}{R+1} - 1$$

这个修正公式在小样本情况下通常比原始 Lincoln-Petersen 估计具有更好的统计性质，特别是在重捕样本中标记个体数量较少时。

我们用 R 代码来实现上面的估计：

```
marked_first <- 100 # 第一次标记的个体数
captured_second <- 80 # 第二次捕获的总个体数
recaptured_marked <- 20 # 第二次捕获中标记个体的数量

# 计算 Lincoln-Petersen 估计：使用基本公式  $N = (M \times C) / R$ 
population_lp <- (marked_first * captured_second) / recaptured_marked
cat("Lincoln-Petersen 估计的种群数量：", population_lp, " 只\n")

## Lincoln-Petersen 估计的种群数量： 400 只

# 计算 Chapman 修正估计：通过添加常数项减少小样本偏差
# 公式： $N_{\text{chapman}} = [(M+1)(C+1)/(R+1)] - 1$ 
population_chapman <- ((marked_first + 1) * (captured_second + 1)) /
  (recaptured_marked + 1) - 1
cat("Chapman 修正后的种群估计：", population_chapman, " 只\n")

## Chapman 修正后的种群估计： 388.5714 只

# 计算 Lincoln-Petersen 估计的标准误
# 标准误公式： $SE = \sqrt{[M^2 \times C \times (C - R) / R^3]}$ 
# 这个公式基于超几何分布的方差推导
standard_error_population <- sqrt(
  (marked_first^2 * captured_second *
    (captured_second - recaptured_marked)) /
  (recaptured_marked^3))

# 计算 95% 置信区间：使用正态近似
# 下界：估计值 - 1.96 × 标准误
ci_lower <- population_lp - 1.96 * standard_error_population
# 上界：估计值 + 1.96 × 标准误
ci_upper <- population_lp + 1.96 * standard_error_population
cat("95% 置信区间： [", ci_lower, ", ", ci_upper, "] \n")
```

```
## 95%置信区间: [ 248.1791 , 551.8209 ]
```

**Schnabel 多重标记估计**是对 Lincoln-Petersen 方法的改进，适用于多次标记重捕的情况。这种方法通过多次捕获和标记，能够提供更可靠的种群估计，并且可以检验估计的稳定性。Schnabel 估计的公式为：

$$N = \frac{\sum(M_t \times C_t)}{\sum R_t}$$

其中：

- $M_t$ : 第 t 次捕获前已标记的个体总数
- $C_t$ : 第 t 次捕获的总个体数
- $R_t$ : 第 t 次捕获中标记个体的数量

Schnabel 方法的主要优势在于它能够利用多次捕获的信息，提高估计的精度，并且可以通过不同时间点的估计值来检验方法的稳定性（图4.4）。

```
capture_data <- data.frame(
  session = 1:5,
  M_t = c(0, 50, 120, 180, 240), # 累计标记数
  C_t = c(50, 60, 70, 65, 55), # 本次捕获总数
  R_t = c(0, 10, 25, 35, 40) # 本次捕获中标记个体数
)

numerator <- sum(capture_data$M_t * capture_data$C_t)
denominator <- sum(capture_data$R_t)
population_schnabel <- numerator / denominator

cat("Schnabel 估计的种群数量: ", population_schnabel, " 只\n")

## Schnabel 估计的种群数量: 330 只

# 创建存储累计估计值的向量，长度与捕获次数相同
cumulative_estimates <- numeric(nrow(capture_data))

# 循环计算每次捕获后的累计种群估计值
# 从第 2 次捕获开始，因为第 1 次捕获没有标记个体重捕数据
for (i in 2:nrow(capture_data)) {
  # 计算累计估计值: 累计标记个体数 × 累计捕获总数 / 累计重捕标记个体数
  cumulative_estimates[i] <- sum(capture_data$M_t[1:i] *
    capture_data$C_t[1:i]) /
    sum(capture_data$R_t[1:i])
}

# 输出各次捕获后的累计估计值
cat(" 各次捕获后的累计估计值: \n")

## 各次捕获后的累计估计值:
print(cumulative_estimates)

## [1] 0.0000 300.0000 325.7143 330.0000 330.0000

# 绘制累计估计值随捕获次数的变化图
# 检验 Schnabel 估计方法的稳定性
plot(capture_data$session, cumulative_estimates, type = "b",
      xlab = "捕获次数", ylab = "种群估计",
      main = "Schnabel 估计的稳定性检验")

# 添加最终种群估计值的水平参考线
```

```
# 红色虚线表示最终的 Schnabel 估计值
abline(h = population_schnabel, col = "red", lty = 2)
```

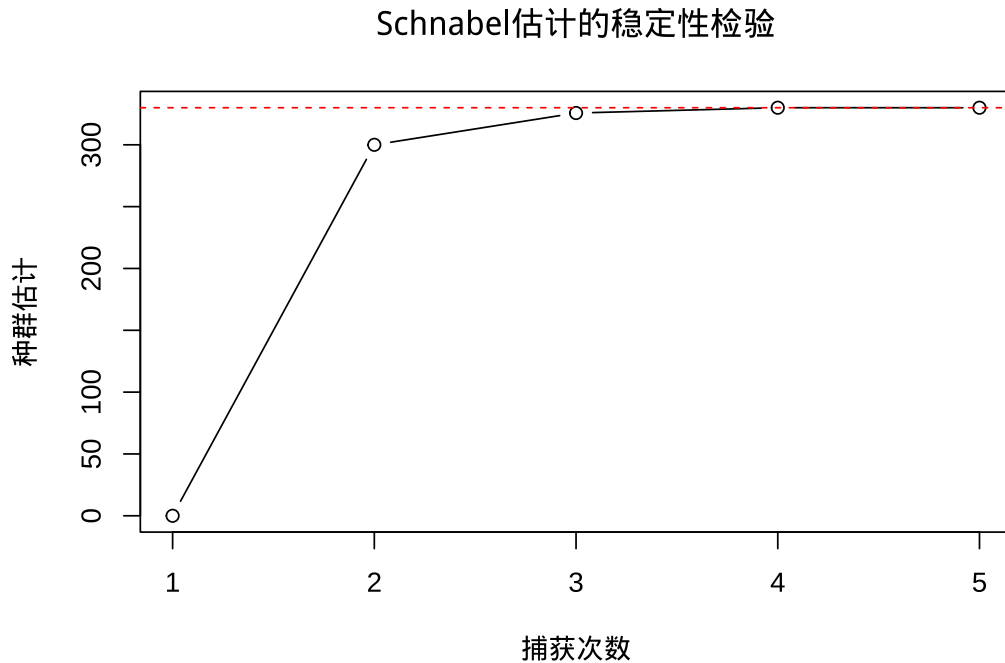


图 4.4 Schnabel 估计的稳定性检验

**Jolly-Seber** 模型是标记重捕法中最复杂和最强大的方法，专门用于处理开放种群的情况。开放种群是指存在出生、死亡、迁入和迁出的种群，这在真实的生态系统中更为常见。Jolly-Seber 模型不仅能够估计种群大小，还能够估计存活率、迁入率等种群动态参数。

Jolly-Seber 模型的基本思想是通过多次标记重捕数据，构建一个描述种群动态的状态空间模型。模型假设：

1. 每次捕获时，所有个体被捕获的概率相等
2. 标记不会影响个体的行为或存活率
3. 标记不会丢失
4. 迁入和迁出是随机的

Jolly-Seber 模型的估计过程相对复杂，通常需要专门的统计软件来实现。在 R 语言中，可以使用 RMark、marked 等包来拟合 Jolly-Seber 模型。

```
# 加载 marked 包，用于 Jolly-Seber 模型分析
library(marked)

# 定义捕获历史数据
# 每个字符串表示一个个体在 5 次捕获中的出现情况
# "1" 表示在该次捕获中被捕获，"0" 表示未被捕获
capture_history <- c(
  "10000", "01000", "00100", "00010", "00001", # 仅在第 1-5 次捕获中出现的个体
  "11000", "10100", "10010", "10001", # 在第 1 次和其他次捕获中出现的个体
  "01100", "01010", "01001", # 在第 2 次和其他次捕获中出现的个体
  "00110", "00101", # 在第 3 次和其他次捕获中出现的个体
  "00011" # 在第 4 次和第 5 次捕获中出现的个体
```

```

)
# 创建 Jolly-Seber 模型所需的数据框
# ch 列: 捕获历史字符串
# freq 列: 对应捕获历史的个体数量
js_data <- data.frame(
  ch = capture_history,
  freq = c(20, 18, 15, 12, 10, 8, 7, 6, 5, 6, 5, 4, 4, 3, 2)
)

# 输出关于 Jolly-Seber 模型使用的说明
cat("Jolly-Seber 模型需要专门的数据格式和模型设定\n",
    " 在实际应用中, 建议使用 RMark 包进行完整的 Jolly-Seber 分析\n")

## Jolly-Seber 模型需要专门的数据格式和模型设定
## 在实际应用中, 建议使用 RMark 包进行完整的 Jolly-Seber 分析

# 简化的存活率计算示例
# 定义每次捕获时标记的个体数量
marked_counts <- c(50, 45, 40, 35, 30) # 每次捕获的标记个体数
# 定义每次捕获中重捕的标记个体数量
# 第 1 次捕获没有重捕数据, 因此设为 NA
recaptures <- c(NA, 10, 8, 7, 6) # 每次捕获的重捕数

# 创建存储存活率估计值的向量
# 存活率数量比标记次数少 1, 因为需要相邻两次捕获的数据
survival_rates <- numeric(length(marked_counts) - 1)

# 循环计算相邻捕获期之间的存活率
# 从第 2 次捕获开始, 因为需要前一次捕获的标记数据
for (i in 2:length(marked_counts)) {
  # 计算存活率: 本次重捕数 / 前一次标记数
  # 表示从前一次捕获到本次捕获期间个体的存活比例
  survival_rates[i - 1] <- recaptures[i] / marked_counts[i - 1]
}

# 输出简化的存活率估计结果
cat(" 简化的存活率估计: \n")

## 简化的存活率估计:
print(survival_rates)

## [1] 0.2000000 0.1777778 0.1750000 0.1714286

```

**生态学意义：**标记重捕法在生态学研究中具有广泛的应用价值。它不仅是估计动物种群数量的重要工具，还为研究种群动态、个体行为、空间分布等生态学问题提供了数据基础。在保护生物学中，标记重捕法被用于监测濒危物种的种群趋势；在野生动物管理中，它被用于评估狩猎配额和制定保护措施；在生态毒理学中，它被用于研究污染物对种群的影响。

然而，标记重捕法也有其局限性。它通常需要较多的人力物力投入，对研究对象的干扰较大，且在某些情况下（如极度稀有的物种）可能不适用。此外，标记重捕法的准确性依赖于关键假设的满足程度，当这些假设被严重违反时，估计结果可能产生较大偏差。

#### 4.4.2 面积取样法

面积取样法是生态学中另一种重要的种群大小估计方法，特别适用于植物和移动性较弱的动物种群。这种方法的基本思想是通过在代表性样地内计数个体，然后根据样地面积与总面积的比例来推断整

个种群的规模。

**样方法**是面积取样法中最常用的方法。研究人员在研究对象区域内设置一定数量和大小的小样方 (quadrat)，在每个样方内计数所有个体，然后根据样方覆盖的比例来估计整个区域的种群数量。

样方估计的基本公式为：

$$N = \frac{A}{a} \times \bar{n}$$

其中：

- $N$ : 种群大小估计值
- $A$ : 研究区域的总面积
- $a$ : 样方的总面积
- $\bar{n}$ : 样方内个体的平均数量

让我们通过一个具体的例子来理解样方法的应用。假设研究人员想要估计一片草原中某种草本植物的种群数量。草原总面积为 10 公顷 (100,000 平方米)，研究人员设置了 50 个 1 平方米的样方，样方内该植物的平均数量为 8 株。根据样方估计公式：

$$N = \frac{100,000}{50} \times 8 = 16,000$$

因此，估计这片草原中该种植物的种群数量约为 16,000 株。

样方法的关键考虑因素包括：

1. **样方大小**：样方大小应该能够包含足够数量的个体，但又不能太大以至于难以调查；
2. **样方数量**：样方数量越多，估计的精度越高，但调查成本也越高；
3. **样方布局**：样方的布局应该能够代表研究区域的异质性，常用的布局方式包括随机布局、系统布局和分层布局；
4. **边界效应**：对于分布在样方边界的个体，需要明确的计数规则。

通过样方调查获得的植物数量分布数据可以帮助我们了解种群的分布模式（图4.5）。

```
## 样方估计的种群数量: 810000 株
## 平均每样方个体数: 8.1 株
## 95%置信区间: [ 758905 , 861095 ]
```

图4.5展示了通过样方调查获得的植物数量分布情况。该直方图清晰地显示了 50 个样方中植物个体数量的分布模式，红色垂直线标记了样本均值的位置。从图中可以看出，植物数量大致呈现正态分布，集中在均值附近，这反映了该植物种群在草原中的相对均匀分布特征。这种分布模式为生态学家提供了关于种群空间格局的重要信息，有助于理解物种的生态位和种间竞争关系。

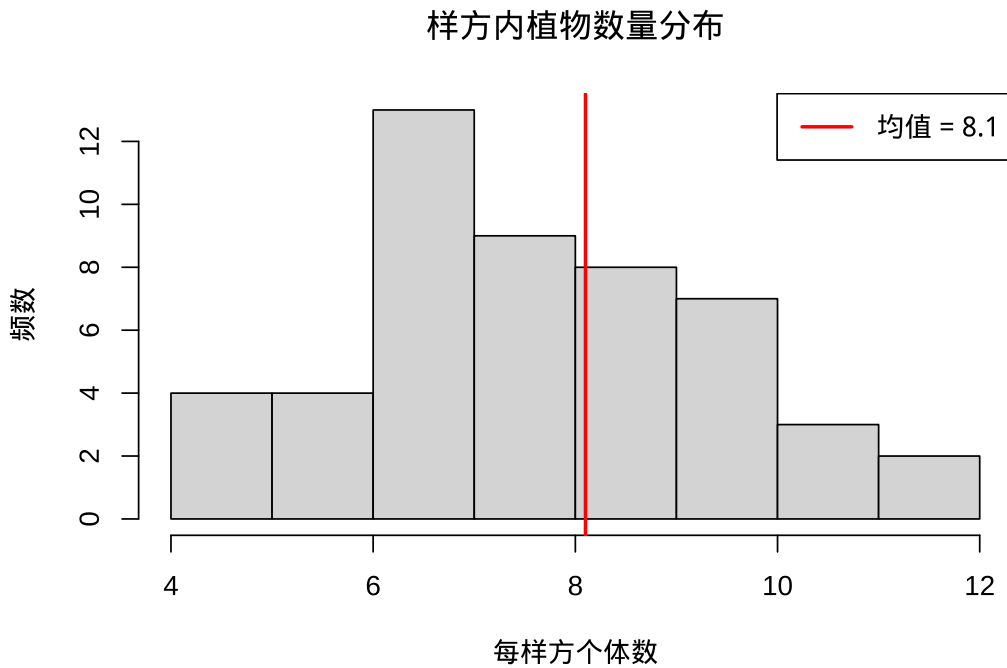


图 4.5 样方内植物数量分布

样线法是面积取样法的另一种形式，特别适用于调查移动性较强的动物或在大尺度区域进行调查。研究人员沿着预设的样线（transect）行进，记录在样线两侧一定宽度内观察到的个体数量。

样线估计的基本公式为：

$$N = \frac{A}{2wL} \times n$$

其中：

- $N$ : 种群大小估计值
- $A$ : 研究区域的总面积
- $w$ : 样线单侧的宽度
- $L$ : 样线的总长度
- $n$ : 观察到的个体总数

样线法的主要优势在于它能够覆盖较大的区域，调查效率较高。然而，样线法的准确性依赖于对样线宽度内个体发现概率的准确估计，这通常需要额外的校正方法。发现概率的变化对种群估计结果具有重要影响，需要进行敏感性分析（图4.6）。

图4.6展示了样线法估计对发现概率变化的敏感性分析。该图表清晰地显示了当发现概率从 0.5 变化到 0.9 时，种群估计值呈现反比关系的变化趋势。红色标记点表示基准估计值（发现概率为 0.7 时的种群估计）。这种敏感性分析对于生态学研究至关重要，因为它揭示了样线法估计结果对关键假设的依赖程度。在实际野外调查中，发现概率可能受到多种因素的影响，包括观察者经验、环境条件、动物行

### 样线法估计的敏感性分析

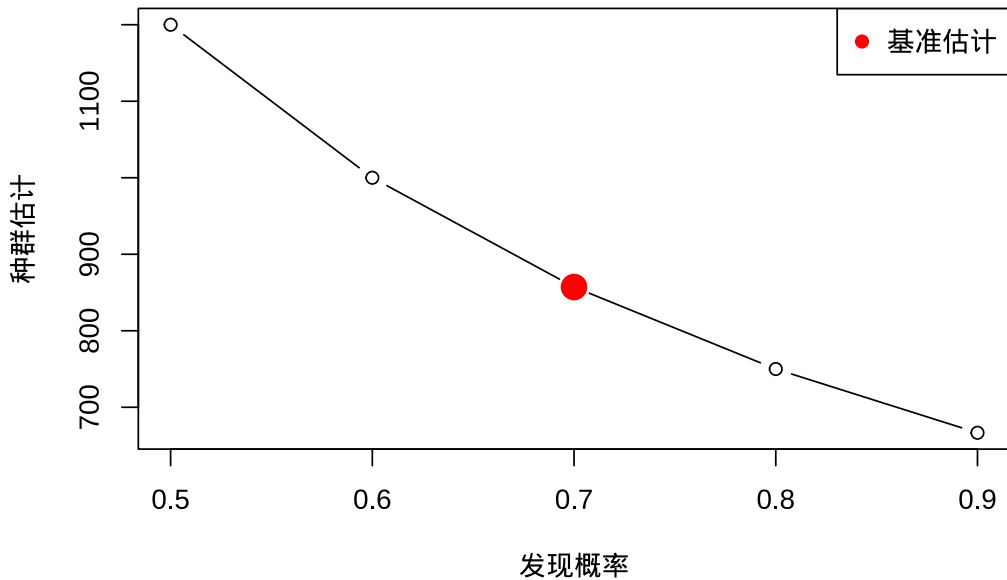


图 4.6 样线法估计的敏感性分析

为等。通过敏感性分析，研究人员可以评估估计结果的不确定性范围，为保护决策提供更加可靠的依据。

**生态学意义：**面积取样法在植物生态学、无脊椎动物生态学和某些脊椎动物生态学中具有广泛的应用。它不仅是估计种群数量的重要工具，还为研究种群的空间分布、种间关系、生境偏好等生态学问题提供了数据基础。在生态监测中，面积取样法被用于长期跟踪种群的变化趋势；在保护生物学中，它被用于评估保护措施的效果；在生态恢复中，它被用于监测恢复过程的进展。

面积取样法的主要局限性在于它对种群空间分布的假设。如果种群呈现强烈的聚集分布，而样方的布局未能充分捕捉这种聚集模式，估计结果可能产生较大偏差。此外，面积取样法通常假设所有个体在样方内都能被完全检测到，这在某些情况下（如隐蔽的物种、复杂的生境）可能不成立。

#### 4.4.3 距离抽样法

距离抽样法是一种基于概率模型的种群大小估计方法，特别适用于调查大型动物和鸟类种群。这种方法的基本思想是通过记录个体与样线的距离，构建一个描述个体发现概率随距离变化的函数，然后基于这个函数来估计整个种群的规模。

距离抽样法的核心概念是**发现函数** (detection function)，它描述了在样线上发现个体的概率如何随距离变化。通常，发现概率随着距离样线的增加而递减。最常见的发现函数形式包括半正态函数、负指数函数和危险率函数。

距离抽样估计的基本公式为：

$$N = \frac{A}{2wL} \times \frac{n}{\hat{P}_a}$$

其中：

- $N$ : 种群大小估计值
- $A$ : 研究区域的总面积
- $w$ : 样线的最大观测宽度
- $L$ : 样线的总长度
- $n$ : 观察到的个体总数
- $\hat{P}_a$ : 平均发现概率的估计值

平均发现概率  $\hat{P}_a$  是通过拟合发现函数来估计的，它反映了在样线宽度范围内发现个体的平均概率。

距离抽样法的关键假设包括：

1. **在样线上的完美发现**：所有直接在样线上的个体都能被 100% 发现。这个假设要求调查人员在样线正上方或正下方时，必须能够 100% 发现所有个体。在实际生态调查中，这意味着调查人员需要具备敏锐的观察能力，不受植被遮挡、光线条件或个体隐蔽行为的影响。例如，在森林鸟类调查中，如果鸟类隐藏在茂密树冠中，即使它们在样线上方，也可能被遗漏，从而违反这一假设。这个假设的满足程度直接影响距离抽样法的准确性，因为它是整个方法的基础——如果连样线上的个体都无法完全发现，那么基于距离的发现函数估计就会产生系统性偏差。
2. **距离测量的准确性**：个体与样线的距离能够被准确测量。这个假设强调距离测量的精确性对于方法有效性的关键作用。在实际操作中，调查人员需要使用激光测距仪、卷尺或其他测量工具准确测定每个观测个体与样线的垂直距离。任何测量误差都会导致发现函数的错误估计，进而影响种群数量的最终计算结果。例如，在开阔草原调查大型哺乳动物时，距离测量相对容易；但在复杂林地环境中，地形起伏和植被遮挡可能使距离估计变得困难。现代技术如 GPS 设备和无人机辅助测量有助于提高距离测量的准确性，但在某些野外条件下，这一假设仍然面临挑战。
3. **个体的独立性**：个体的发现是相互独立的。这个统计假设要求每个个体的被发现概率不受其他个体存在的影响。在生态学实践中，这意味着个体的空间分布和行为应该是随机的，而不是聚集或排斥的。如果个体倾向于成群活动（如鸟群、兽群），那么发现一个个体可能会提高发现其同伴的概率，从而违反独立性假设。同样，如果个体之间存在竞争关系导致它们相互避开，也会影响发现的独立性。这个假设的重要性在于它保证了发现概率可以基于简单的概率模型进行估计，而不需要考虑复杂的个体间相互作用。
4. **不移动的个体**：在观测过程中个体不会移动（或者移动可以被准确记录）。这个假设要求在被观测的瞬间，个体保持相对静止状态，或者其移动能够被准确追踪和记录。对于快速移动的动物，这个

假设往往难以满足，因为个体可能在观测过程中改变位置，导致距离测量不准确。在实际调查中，研究人员通常采取瞬时观测策略，在发现个体的瞬间记录其位置。对于移动性较强的物种，可能需要使用更复杂的方法，如记录个体的初始位置和移动轨迹，或者采用专门处理移动个体的距离抽样变体方法。这个假设的违反会导致距离数据的系统性偏差，进而影响种群估计的准确性。

让我们通过一个具体的例子来理解距离抽样法的应用。假设研究人员想要估计一片森林中某种鹿类的种群数量。森林总面积为 100 平方公里，研究人员设置了总长度为 50 公里的样线，样线单侧的最大观测宽度为 100 米。在调查过程中，共观察到 60 只鹿，并记录了每只鹿与样线的距离。通过拟合发现函数，估计平均发现概率为 0.7。根据距离抽样公式：

$$N = \frac{100}{2 \times 0.1 \times 50} \times \frac{60}{0.7} = \frac{100}{10} \times 85.7 = 10 \times 85.7 = 857$$

因此，估计这片森林中该种鹿类的种群数量约为 857 只。

在 R 语言中，距离抽样法可以通过 `Distance` 包来实现。这个包提供了完整的距离抽样分析框架，包括发现函数的拟合、种群数量的估计以及不确定性分析。半正态发现函数是距离抽样中最常用的发现函数形式之一（图4.7）。

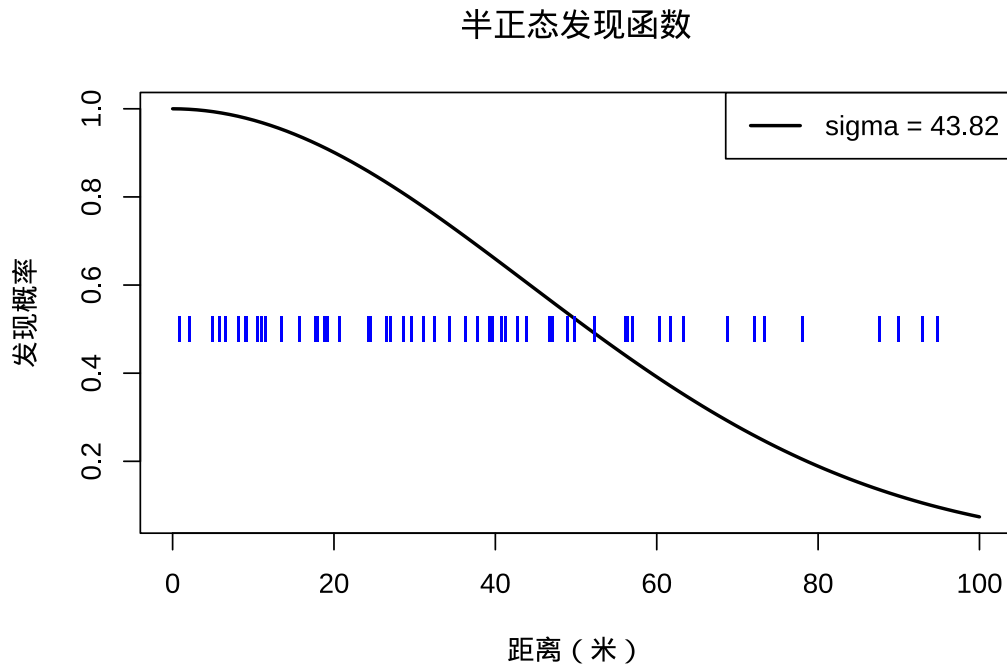


图 4.7 半正态发现函数

图4.7展示了距离抽样法中使用的半正态发现函数。该函数描述了发现概率随个体与样线距离增加而递减的规律，是距离抽样法的核心组成部分。图中蓝色竖线表示实际观测到的个体距离分布，黑色曲线表示拟合的半正态发现函数。参数  $\sigma$  决定了函数下降的速率，较小的  $\sigma$  值表示发现概率随距离快速下降，而较大的  $\sigma$  值表示发现概率下降较慢。这种发现函数模型反映了生态调查中的现实情况：距离样线越近的个体越容易被发现，而距离越远的个体被发现的可能性越低。通过拟合发现函数，

研究人员可以更准确地估计整个样线宽度范围内的平均发现概率，从而获得更可靠的种群数量估计。

**生态学意义：**距离抽样法在野生动物生态学和保护生物学中具有重要的应用价值。它特别适用于调查分布范围广、密度较低的动物种群，如大型哺乳动物、鸟类和海洋哺乳动物。在保护生物学中，距离抽样法被用于监测濒危物种的种群趋势；在野生动物管理中，它被用于评估种群状况和制定管理策略；在生态监测中，它被用于长期跟踪种群的变化。

距离抽样法的主要优势在于它能够提供相对准确的种群估计，同时考虑了发现概率的不完全性。然而，这种方法对关键假设的依赖性较强，当这些假设被违反时，估计结果可能产生较大偏差。此外，距离抽样法通常需要专门的培训和设备，调查成本较高。

#### 4.4.4 去除法

去除法是一种基于连续捕获中捕获率变化的种群大小估计方法，特别适用于封闭的动物种群，如鱼类和昆虫种群。这种方法的基本思想是通过连续的捕获努力，观察捕获率随捕获次数的变化，从而推断种群的初始规模。

去除法的核心原理是：在封闭种群中，随着捕获的进行，种群数量逐渐减少，因此单位努力捕获量 (catch per unit effort, CPUE) 会逐渐下降。通过拟合 CPUE 与累积捕获量的关系，可以估计种群的初始规模。

最简单的去除法是一次去除法 (single removal method)，它基于两次连续的捕获。假设第一次捕获移除了  $C_1$  个个体，第二次捕获移除了  $C_2$  个个体，那么种群大小的估计值为：

$$N = \frac{C_1^2}{C_1 - C_2}$$

更一般化的去除法是多次去除法 (multiple removal method)，它基于多次连续的捕获。通过拟合捕获率与累积捕获量的线性关系，可以估计种群的初始规模。

让我们通过一个具体的例子来理解去除法的应用。假设研究人员想要估计一个池塘中某种鱼类的种群数量。他们进行了三次连续的捕捞，每次使用相同的努力（如相同的渔网、相同的捕捞时间），捕获量分别为：第一次 80 条，第二次 60 条，第三次 40 条。

如果使用一次去除法，基于第一次和第二次捕获：

$$N = \frac{80^2}{80 - 60} = \frac{6400}{20} = 320$$

如果使用多次去除法，可以通过线性回归来估计种群规模。设  $C_i$  为第  $i$  次捕获量， $K_i$  为前  $i-1$  次累积捕获量，那么有：

$$C_i = q(N - K_i)$$

其中  $q$  是捕获效率系数。通过线性回归  $C_i$  对  $K_i$ , 截距为  $qN$ , 斜率为  $-q$ , 因此  $N = -\frac{\text{截距}}{\text{斜率}}$ 。

去除法的关键假设包括：

1. **种群封闭性**: 在捕获期间没有出生、死亡、迁入或迁出。这个假设要求在整个捕获过程中，种群数量保持稳定，不受任何人口统计学过程的影响。在实际生态学应用中，这意味着去除法通常只适用于短期的封闭环境，如池塘中的鱼类、围栏中的哺乳动物或温室中的昆虫。如果种群是开放的，比如在自然环境中存在个体迁移、繁殖或死亡，那么基于捕获率递减的估计就会产生系统性偏差。例如，在河流鱼类调查中，如果调查期间有鱼类从上游游入或向下游迁出，就会违反封闭性假设，导致种群估计不准确。
2. **捕获效率恒定**: 每次捕获的努力和效率相同。这个假设强调在整个捕获序列中，每次捕获的技术条件、设备性能、操作人员技能和环境因素都应该保持一致。任何捕获效率的变化都会导致捕获率递减模式的扭曲，从而影响种群估计的准确性。在实际操作中，这意味着需要使用相同的渔具、相同的捕捞时间、相同的操作人员，并且在相似的环境条件下进行每次捕获。例如，在鱼类去除法中，如果第一次使用大网目渔网，第二次使用小网目渔网，捕获效率就会发生变化，违反这一关键假设。
3. **个体同质性**: 所有个体被捕获的概率相等。这个统计假设要求种群中每个个体具有相同的被捕获可能性，不受年龄、性别、体型、行为差异等因素的影响。在真实的生态系统中，个体异质性普遍存在——幼体可能比成体更容易被捕获，某些个体可能具有更强的逃避行为，或者不同性别可能表现出不同的活动模式。这些差异都会导致捕获概率的不均等，从而影响去除法的估计准确性。例如，在昆虫去除法中，如果某些个体对诱捕器更敏感，而其他个体具有回避行为，就会违反同质性假设。
4. **捕获的彻底性**: 每次捕获能够移除观察到的所有个体。这个假设要求每次捕获操作都能够完全移除目标区域内的所有可捕获个体，没有遗漏或逃避。在实际生态调查中，这个假设往往难以完全满足，特别是在复杂生境或对隐蔽性强的物种进行调查时。个体可能隐藏在难以到达的区域，或者具有逃避捕获的行为策略。例如，在森林地面无脊椎动物调查中，某些个体可能隐藏在落叶层深处或土壤缝隙中，无法被完全捕获。捕获的不彻底性会导致种群数量的系统性低估，因为未被捕获的个体不会被计入后续的捕获率递减分析中。

在实际生态学研究中，这些假设往往难以完全满足。特别是捕获效率恒定和个体同质性的假设，在真实的生态系统中经常被违反。因此，去除法通常只适用于人工环境或高度控制的自然环境。通过分析捕获量随累积捕获量的变化关系，可以估计种群的初始规模（图4.8）。

```
# 定义三次捕获的个体数量数据
# 这些数据模拟了一个池塘中鱼类种群的连续捕获过程
captures <- c(80, 60, 40) # 三次捕获的个体数
```

```

# 计算一次去除法的种群估计
# 一次去除法基于前两次捕获数据:  $N = C1^2 / (C1 - C2)$ 
# 这个公式假设捕获效率恒定, 种群封闭
population_single_removal <- captures[1]^2 / (captures[1] - captures[2])
cat(" 一次去除法估计的种群数量: ", round(population_single_removal), " 条\n")

## 一次去除法估计的种群数量: 320 条

# 计算累积捕获量: 每次捕获后种群中已移除的个体总数
cumulative_captures <- cumsum(captures)
# 计算前  $i-1$  次累积捕获量: 用于线性回归的自变量
# 第 1 次捕获时前 0 次累积为 0, 第 2 次捕获时前 1 次累积为  $C1$ , 第 3 次捕获时前 2 次累积为  $C1+C2$ 
previous_captures <- c(0, cumulative_captures[1:2]) # 前  $i-1$  次累积捕获量

# 使用线性回归拟合多次去除法模型
# 模型: 本次捕获量 ~ 前  $i-1$  次累积捕获量
# 理论关系:  $C_i = q(N - K_i)$ , 其中  $K_i$  是前  $i-1$  次累积捕获量
model <- lm(captures ~ previous_captures)
# 提取捕获效率系数: 斜率取负号得到  $q$  值
# 在模型  $C_i = qN - qK_i$  中, 斜率是  $-q$ , 所以  $q = -\text{斜率}$ 
capture_efficiency <- -coef(model)[2] # 捕获效率系数
# 计算种群数量估计: 截距除以捕获效率系数
# 在模型  $C_i = qN - qK_i$  中, 截距是  $qN$ , 所以  $N = \text{截距}/q$ 
population_multiple_removal <- coef(model)[1] / capture_efficiency

# 输出多次去除法的估计结果
cat(" 多次去除法估计的种群数量: ", round(population_multiple_removal), " 条\n",
    " 捕获效率系数: ", round(capture_efficiency, 4), "\n")

## 多次去除法估计的种群数量: 285 条
## 捕获效率系数: 0.2838

# 计算种群估计的标准误和置信区间
# 获取线性回归模型的详细统计信息
summary_model <- summary(model)
# 提取截距的标准误
se_intercept <- summary_model$coefficients[1, 2]
# 提取斜率的标准误
se_slope <- summary_model$coefficients[2, 2]

# 计算种群估计的方差: 使用误差传播公式
# 方差公式:  $\text{Var}(N) = (1/q^2)\text{Var}(\text{截距}) + (\text{截距}^2/q)\text{Var}(q)$ 
variance_population <- (1 / capture_efficiency^2) * se_intercept^2 +
  (coef(model)[1]^2 / capture_efficiency^4) * se_slope^2
# 计算标准误: 方差的平方根
standard_error_population <- sqrt(variance_population)

# 计算 95% 置信区间: 估计值  $\pm 1.96 \times$  标准误
ci_lower <- population_multiple_removal - 1.96 * standard_error_population
ci_upper <- population_multiple_removal + 1.96 * standard_error_population

# 输出置信区间结果
cat("95% 置信区间: [", round(ci_lower), ", ", round(ci_upper), "] \n")

## 95% 置信区间: [ 236 , 333 ]

```

图4.8展示了去除法中捕获量随累积捕获量变化的线性关系，这是去除法估计种群规模的核心理论基础。图中黑色点表示观测数据，红色直线表示通过线性回归拟合的捕获量递减趋势。这种线性递减模式反映了在封闭种群中，随着捕获的进行，剩余种群数量减少，导致单位努力捕获量（CPUE）相应下降的生态学规律。通过拟合这种关系，研究人员可以估计种群的初始规模，同时获得捕获效率系数的估计值。图中展示的敏感性分析比较了使用不同捕获次数获得的估计结果，这有助于评估估计结果的稳健性，并为生态学家在野外调查中选择合适的捕获次数提供参考依据。

### 去除法：捕获量随累积捕获量的变化

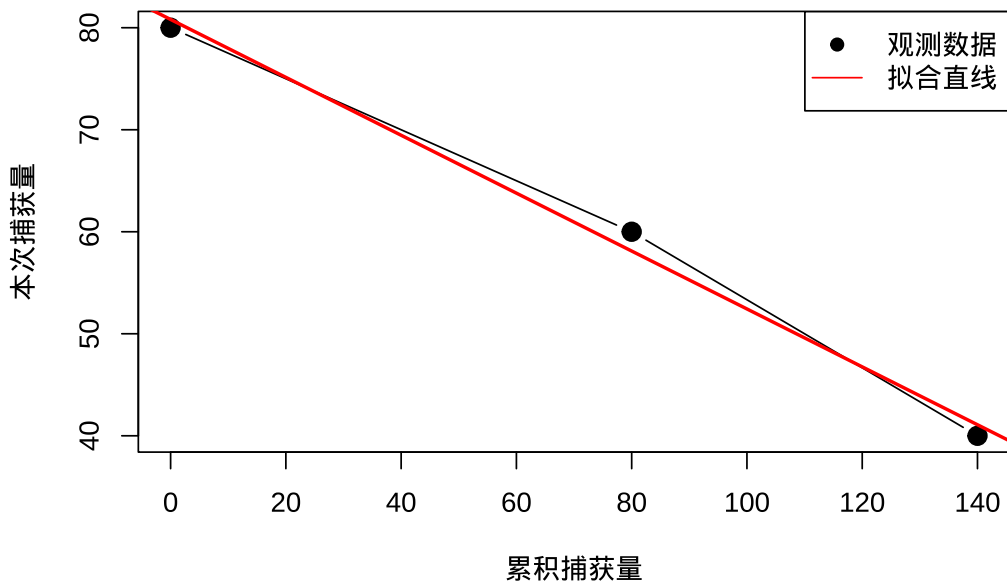


图 4.8 去除法：捕获量随累积捕获量的变化

```

## 敏感性分析：不同捕获次数的估计
## 使用前2次捕获（一次去除法）：320 条
## 使用前3次捕获（多次去除法）：285 条

```

**生态学意义：**去除法在渔业管理、害虫控制和某些野生动物管理中具有重要的应用价值。它特别适用于估计封闭或半封闭环境中的动物种群数量，如池塘中的鱼类、围栏中的哺乳动物、温室中的昆虫等。在渔业管理中，去除法被用于评估养殖池塘的鱼类数量；在害虫控制中，它被用于估计害虫种群的规模；在野生动物管理中，它被用于评估特定区域的动物承载量。

去除法的主要优势在于它的操作相对简单，不需要标记个体，适用于某些难以标记的物种。然而，这种方法对关键假设的依赖性较强，当这些假设被违反时，估计结果可能产生较大偏差。此外，去除法通常会对种群造成较大的干扰，在某些保护敏感的场合可能不适用。

#### 4.4.5 种群大小估计方法的选择与比较

在生态学研究中，选择合适的种群大小估计方法需要考虑多个因素，包括研究对象的特征、研究的目的、可用的资源以及方法的适用条件。不同的估计方法各有优缺点，适用于不同的研究场景。

##### 方法选择的关键考虑因素：

###### 1. 种群特征：

- 移动性：移动性强的动物适合标记重捕法，移动性弱的适合面积取样法
- 分布模式：均匀分布的种群适合样方法，聚集分布的可能需要更复杂的抽样设计
- 种群规模：大规模种群可能需要抽样方法，小规模种群可能适合全面普查

## 2. 研究目的:

- 精确估计: 需要高精度的方法, 如标记重捕法或距离抽样法
- 趋势监测: 需要可重复的方法, 便于长期比较
- 快速评估: 需要效率高的方法, 如样线法

## 3. 可用资源:

- 时间: 长期研究可以选择更复杂的方法, 短期研究需要快速方法
- 经费: 昂贵的方法 (如标记重捕法) 需要充足的经费支持
- 人力: 人力密集型方法 (如样方法) 需要足够的调查人员

## 4. 数据质量要求:

- 精度要求: 高精度要求需要更复杂的统计方法和更大的样本量
- 不确定性量化: 某些方法 (如距离抽样法) 能够提供完整的不确定性信息

## 不同方法的比较:

表 4.5 不同种群大小估计方法的比较

| 方法    | 适用对象     | 主要优势           | 主要局限         | 生态学应用         |
|-------|----------|----------------|--------------|---------------|
| 标记重捕法 | 移动动物     | 估计精度高, 能估计动态参数 | 假设严格, 干扰大    | 野生动物管理, 保护生物学 |
| 面积取样法 | 植物, 固着动物 | 操作简单, 适用性广     | 对空间分布敏感      | 植物生态学, 生态监测   |
| 距离抽样法 | 大型动物, 鸟类 | 考虑发现概率, 适用大尺度  | 假设严格, 需要专门培训 | 野生动物调查, 保护监测  |
| 去除法   | 封闭种群     | 操作简单, 无需标记     | 假设严格, 干扰大    | 渔业管理, 害虫控制    |

## 生态学实践建议:

在实际生态学研究中, 研究人员应该根据具体的研究情境选择合适的种群大小估计方法, 并注意以下几个关键方面。首先, 方法验证是确保估计结果可靠性的基础, 在使用任何估计方法前必须仔细验证其关键假设是否得到满足, 这就像使用精密仪器前需要校准一样重要。其次, 不确定性评估不可或缺, 研究人员应该完整报告估计结果的不确定性, 包括置信区间、标准误等量化指标, 这有助于决策者理解估计的精确程度。第三, 方法比较能够提供额外的验证, 在条件允许的情况下, 使用多种独立方法进行估计并比较结果的一致性, 可以增强结论的可靠性, 正如多角度观察能够提供更全面的视野。第四, 长期监测需要标准化, 对于重要的生态监测项目, 建立标准化的调查方法和数据收集流程至关重要, 这确保了不同时期、不同地点数据的可比性, 为长期趋势分析奠定基础。最后, 适应性管理体现了生态学研究的动态性, 根据监测结果和新的科学认识, 适时调整估计方法和调查策略, 这种灵活性和学习能力是应对生态系统复杂性和不确定性的关键。这些实践建议共同构成了生态学研究中种群大小估计的严谨框架。

架，既保证了科学的研究的可靠性，又适应了生态系统的动态特征。

**总结：**种群大小估计是生态学研究的基础工作，为理解生态系统、制定保护策略和管理自然资源提供了重要的量化信息。不同的估计方法各有特点和适用条件，研究人员应该根据具体的研究目标和条件选择合适的方法，并谨慎解释估计结果。随着统计方法和技术的发展，种群大小估计的精度和效率正在不断提高，为生态学研究和实践提供了更加有力的工具。

## 4.5 物种多样性估计

物种多样性估计是生态学研究的核心内容之一，它量化了生物群落的物种组成和分布特征。在生态学实践中，由于时间、经费和可行性的限制，我们往往无法对群落进行全面的普查。物种多样性估计方法正是为了解决这一困境而发展起来的统计工具，它允许我们通过有限的样本数据来推断整个群落的多样性特征。

物种多样性估计的重要性体现在多个方面。首先，准确的多样性信息是评估生态系统健康状况的基础。无论是监测生物多样性变化、评估保护措施效果，还是预测生态系统对干扰的响应，都需要基于可靠的多样性估计。其次，多样性估计为生态保护提供了科学依据。在自然保护区规划、濒危物种保护和生态修复工程中，多样性数据是决策的重要支撑。最后，多样性估计有助于我们理解生态系统的结构和功能。物种多样性是生态系统稳定性和功能多样性的重要决定因素，也是生态学理论检验的基础。

在生态学研究中，不同的多样性估计方法适用于不同的研究目标和数据特征。选择合适的方法需要考虑群落的特征（如物种丰富度、多度分布）、研究的目的（如精确估计、趋势监测）、可用的资源（如样本量、数据质量）以及估计的尺度（如 多样性、 多样性）。在接下来的内容中，我们将详细介绍几种主要的物种多样性估计方法，包括它们的原理、适用条件、优缺点以及在生态学中的具体应用。

### 4.5.1 外推和内插方法

外推和内插方法是物种多样性估计中的重要技术，它们解决了由于采样不足导致的多样性低估问题。在生态学调查中，由于时间和资源的限制，我们往往只能获得部分样本，而这些样本可能无法完全代表整个群落的多样性特征。外推和内插方法通过统计模型来预测未采样区域的多样性，或者比较不同采样强度的群落多样性。

**基于样本积累曲线的外推**是一种常用的多样性估计方法。样本积累曲线描述了随着样本量的增加，新发现物种数量的变化趋势。通过拟合积累曲线的渐近线，我们可以估计群落的真实物种丰富度。

样本积累曲线的数学表达通常采用负指数函数或逻辑斯蒂函数：

$$S(n) = S_{max} \times (1 - e^{-kn})$$

其中：

- $S(n)$ : 样本量为  $n$  时的累计物种数
- $S_{max}$ : 群落的总物种数估计值
- $k$ : 物种发现率参数
- $n$ : 样本量

让我们通过一个具体的生态学例子来理解基于积累曲线的外推方法。假设研究人员调查了一片森林的鸟类多样性，随着调查样点数量的增加，累计发现的物种数量如下（表 4.6）：

表 4.6 森林鸟类多样性调查的物种积累数据

| 样点数 | 累计物种数 |
|-----|-------|
| 5   | 15    |
| 10  | 25    |
| 15  | 32    |
| 20  | 37    |
| 25  | 41    |

通过拟合积累曲线，研究人员可以估计这片森林的鸟类总物种数。如果拟合的渐近线在 45 种左右，那么可以估计该森林的鸟类多样性约为 45 种。

基于积累曲线外推的关键假设包括：

1. 采样是随机的，能够代表整个群落
2. 物种在空间上的分布是随机的或均匀的
3. 随着样本量的增加，新物种的发现率逐渐降低
4. 积累曲线具有明确的渐近线

在实际生态学研究中，这些假设往往难以完全满足。例如，物种可能呈现聚集分布，采样可能不是完全随机的，积累曲线可能没有明显的渐近线。因此，基于积累曲线的外推通常需要结合其他方法进行验证。

```
# 定义样本努力量(样点数)
sample_effort <- c(5, 10, 15, 20, 25) # 样点数

# 定义累计发现的物种数量
species_accumulated <- c(15, 25, 32, 37, 41) # 累计物种数

# 使用非线性最小二乘法拟合指数增长模型
# 模型形式: S(n) = S_max * (1 - exp(-k * n))
# 其中 S(n) 是样本量为 n 时的累计物种数, S_max 是总物种数估计值, k 是物种发现率参数
fit_exponential <- nls(
  species_accumulated ~ species_max *
    (1 - exp(-discovery_rate * sample_effort)),
  start = list(species_max = 50, discovery_rate = 0.1) # 设置初始参数值
)

# 提取模型参数估计值
species_max_est <- coef(fit_exponential)["species_max"] # 总物种数估计值
```

```

discovery_rate_est <- coef(fit_exponential)["discovery_rate"] # 物种发现率参数
# 输出估计结果
cat(" 基于积累曲线外推的物种丰富度估计: ", round(species_max_est), " 种\n",
    " 物种发现率参数: ", round(discovery_rate_est, 3), "\n")

## 基于积累曲线外推的物种丰富度估计: 49 种
## 物种发现率参数: 0.072

# 生成预测用的样点序列 (从 5 到 50, 步长为 5)
predicted_effort <- seq(5, 50, by = 5)

# 使用拟合模型预测不同样点数下的物种数
predicted_species <- predict(fit_exponential,
    newdata = data.frame(sample_effort = predicted_effort))

```

样本积累曲线与外推

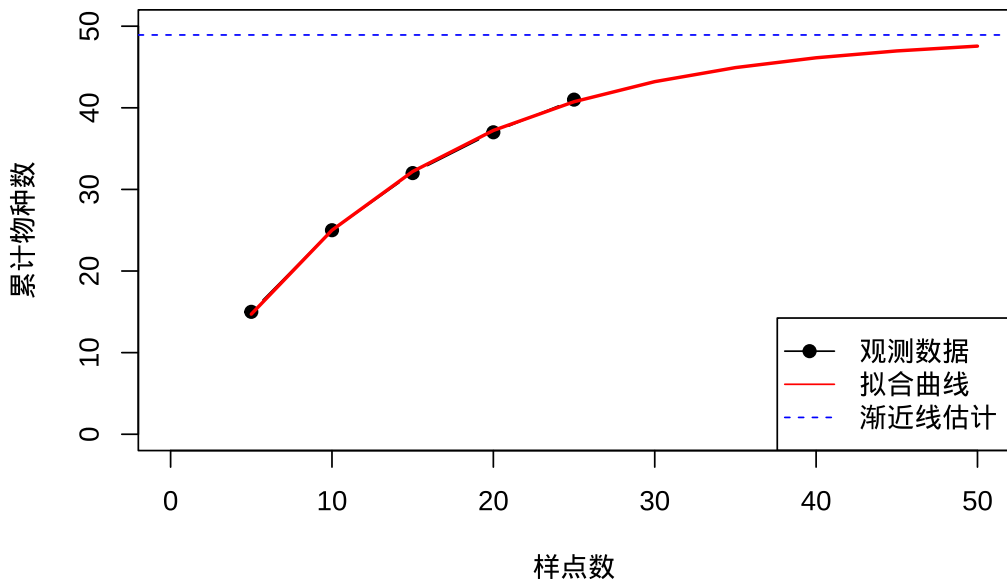


图 4.9 样本积累曲线与外推

图4.9展示了基于样本积累曲线的外推方法，通过拟合指数增长模型来估计群落的真实物种丰富度。

## 模型拟合优度  $R^2$ : 0.999

**基于物种多度分布的内插**是另一种重要的多样性估计方法。这种方法基于观测到的物种多度分布，通过统计模型来预测整个群落的多样性特征。与基于积累曲线的外推不同，内插方法通常用于估计特定样本量下的期望多样性，或者比较不同群落的多样性。

最常见的基于多度分布的内插方法是**稀有物种校正**。由于稀有物种在样本中容易被遗漏，基于原始样本的多样性估计往往偏低。通过多度分布模型，我们可以估计稀有物种对总体多样性的贡献。

让我们通过一个具体的例子来理解基于多度分布的内插方法。假设研究人员调查了两个森林样地的树木多样性，但由于采样强度不同，直接比较原始物种数可能产生偏差。通过多度分布内插，研究人员可以估计在相同样本量下两个样地的期望物种数。

基于多度分布内插的关键假设包括：

1. 物种多度分布遵循特定的统计模型
2. 采样过程是随机的
3. 多度分布在不同样本量下保持稳定
4. 稀有物种的发现概率可以通过多度分布模型预测

在实际生态学研究中，这些假设的满足程度会影响内插方法的准确性。特别是物种多度分布的稳定性假设，在异质性较强的群落中可能不成立。

```
# 加载 vegan 包，提供生态学数据分析函数
library(vegan)

# 设置随机数种子，确保结果可重现
set.seed(123)

# 创建群落 A 的物种多度向量，表示 17 个物种的个体数
community_a <- c(50, 40, 35, 30, 25, 20, 15, 10, 8, 6, 5, 4, 3, 2, 1, 1, 1)

# 创建群落 B 的物种多度向量，表示 10 个物种的个体数
community_b <- c(80, 60, 40, 20, 10, 5, 3, 2, 1, 1)

# 计算群落 A 中观察到的物种数
species_obs_a <- length(community_a)

# 计算群落 B 中观察到的物种数
species_obs_b <- length(community_b)

# 对群落 A 进行稀有物种校正，估计在 50、100、150 个个体样本量下的期望物种数
rare_a <- rarefy(community_a, sample = c(50, 100, 150))

# 对群落 B 进行稀有物种校正，估计在 50、100、150 个个体样本量下的期望物种数
rare_b <- rarefy(community_b, sample = c(50, 100, 150))

## 观测物种丰富度：
## 样地A： 17 种
## 样地B： 10 种

## 内插比较（相同个体数下的期望物种数）：
## 样本量50个体：样地A = 12.1 种，样地B = 7 种
## 样本量100个体：样地A = 14.3 种，样地B = 8.4 种
## 样本量150个体：样地A = 15.5 种，样地B = 9.2 种

plot(x=c(0,200), y= range(c(rare_a, rare_b)),
      xlab = " 样本量", ylab = " 期望物种数",
      main = " 物种丰富度内插比较")
lines(x=c(50, 100, 150), y=rare_a, type = "b",
      col = "blue", lwd = 2, pch = 19)
lines(x=c(50,100,150), y=rare_b, type = "b",
      col = "red", lwd = 2, pch = 17)

legend("bottomright", legend = c(" 样地 A", " 样地 B"),
       col = c("blue", "red"), lwd = 2, pch = c(19, 17))

chao1_a <- estimateR(community_a)[["S.chao1"]]
chao1_b <- estimateR(community_b)[["S.chao1"]]

## Chao1校正后的物种丰富度估计：
## 样地A： 18 种
## 样地B： 10 种
```

图4.10展示了物种丰富度内插比较的结果，通过稀化曲线方法在不同样本量下比较两个群落的期望物种数。

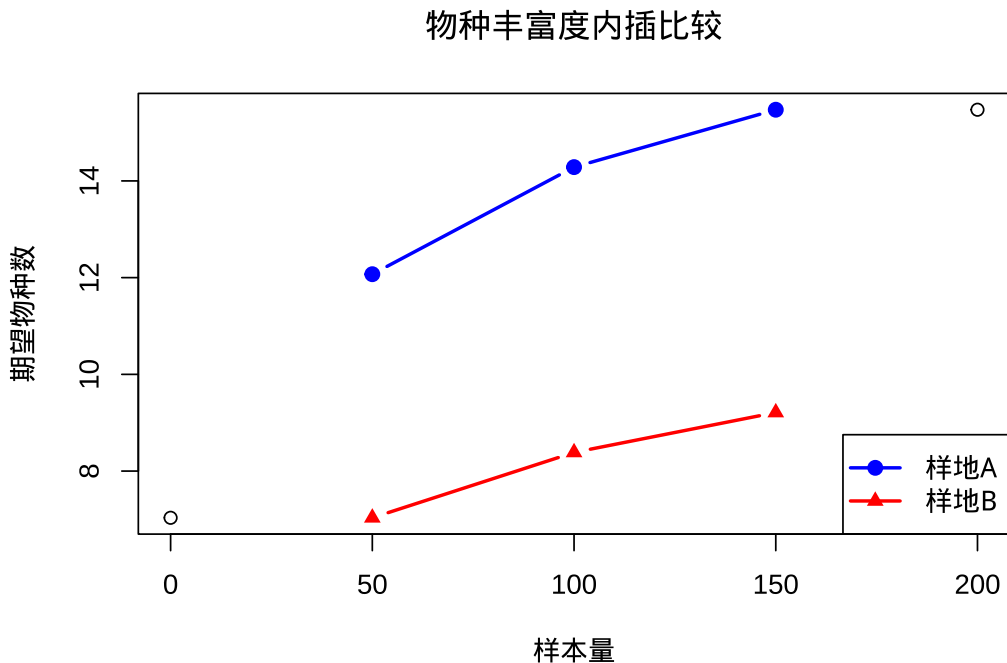


图 4.10 物种丰富度内插比较

**生态学意义：**外推和内插方法在生态学研究中具有重要的应用价值。它们不仅是估计物种多样性的重要工具，还为比较不同采样强度的群落、评估保护优先区和监测生物多样性变化提供了科学基础。在保护生物学中，这些方法被用于识别生物多样性热点区域；在生态监测中，它们被用于长期跟踪多样性的变化趋势；在生态恢复中，它们被用于评估恢复过程的效果。

然而，外推和内插方法也有其局限性。它们对关键假设的依赖性较强，当这些假设被严重违反时，估计结果可能产生较大偏差。此外，不同外推和内插方法可能给出不同的估计结果，需要研究人员根据具体的研究情境选择合适的方法。

### 4.5.2 多样性估计的抽样偏差

多样性估计中的抽样偏差是生态学研究中的重要问题，它直接影响我们对群落多样性认识的准确性。由于生态系统的复杂性和采样资源的限制，多样性估计往往受到多种偏差的影响。理解这些偏差的来源和影响，对于正确解释多样性估计结果至关重要。

**稀有种对多样性估计的影响**是抽样偏差中最显著的问题之一。稀有种在样本中出现的概率较低，容易被遗漏，从而导致多样性低估。这种影响在物种丰富度估计中尤为明显，因为稀有种对物种总数的贡献往往被低估。

稀有种对多样性估计的影响可以通过数学公式来量化。设群落中有  $S$  个物种，其中  $S_r$  个是稀有种（在样本中出现次数很少）， $S_c$  个是常见种。基于样本的物种丰富度估计  $\hat{S}$  通常满足：

$$\hat{S} = S_c + \alpha S_r$$

其中  $\alpha < 1$  反映了稀有种的发现概率。当  $\alpha$  较小时，基于样本的估计会显著低估真实的物种丰富度。

让我们通过一个具体的生态学例子来理解稀有种的影响。假设研究人员调查了一个热带雨林的昆虫多样性，由于许多昆虫物种非常稀有，在有限的样本中可能完全未被发现。如果基于样本估计物种数为 200 种，而实际物种数可能达到 300 种或更多，这种差异主要来源于稀有种的遗漏。

稀有种影响的校正方法包括：

#### 4.5.2.1 Chao 估计器：基于物种出现频率的稀有性校正

Chao 估计器是生态学中最经典的稀有种校正方法之一，由统计学家 Anne Chao 在 1984 年提出。这种方法的核心思想是利用物种在样本中的出现频率来估计未观测到的稀有种类数量。Chao 估计器的基本公式为：

$$\hat{S}_{Chao1} = S_{obs} + \frac{f_1^2}{2f_2}$$

其中： -  $S_{obs}$ : 观测到的物种数 -  $f_1$ : 在样本中仅出现 1 次的物种数（单例种） -  $f_2$ : 在样本中出现 2 次的物种数（双例种）

这个公式的生态学直觉是：单例种的数量反映了稀有种的丰富程度，而双例种的数量则提供了关于这些稀有种出现概率的信息。如果单例种很多而双例种很少，说明还有很多稀有种未被发现，因此需要较大的校正。

Chao 估计器的优势在于其计算简单、对数据要求低，且具有较好的统计性质。然而，它也有局限性：当样本量较小时，估计可能不稳定；当群落中稀有种比例很高时，可能仍然低估真实物种数。

```
## Chao1 估计结果：
## 观测物种数： 36 种
## 单例种数(f1)： 15 种
## 双例种数(f2)： 8 种
## Chao1 校正估计： 50.1 种
## 95%置信区间： [ 31.3 , 68.8 ]
```

#### 4.5.2.2 Jackknife 估计：基于样本组合的稀有性校正

Jackknife 估计是一种基于样本重组的非参数估计方法，特别适合处理稀有种问题。其基本思想是通过系统地删除样本中的观测值，观察物种丰富度估计的变化，从而推断未观测物种的数量。

最常用的一阶 Jackknife 估计：

$$\hat{S}_{jack1} = S_{obs} + \frac{n-1}{n} f_1$$

其中  $n$  是样本数。这个公式的直观理解是：每个单例种在删除一个样本时可能消失，因此需要根据样本数量来校正这些潜在被遗漏的物种。

还有二阶 Jackknife 估计，考虑更复杂的样本组合：

$$\hat{S}_{jack2} = S_{obs} + \frac{2n-3}{n}f_1 - \frac{(n-2)^2}{n(n-1)}f_2$$

Jackknife 估计的优势在于它不依赖于特定的分布假设，适用于各种类型的群落数据。然而，当样本量较小时，估计可能不够稳定。

```
## Jackknife 估计结果：  
## 观测物种数： 36 种  
## 一阶 Jackknife 估计： 43.2 种  
## 二阶 Jackknife 估计： 46 种  
## 手动计算的一阶 Jackknife： 43.2 种
```

以上代码展示了 Jackknife 估计方法的结果，通过样本重组技术来校正稀有物种对物种丰富度估计的影响。

#### 4.5.2.3 Bootstrap 估计：基于重抽样的稀有性校正

Bootstrap 估计是一种基于计算机重抽样的统计方法，通过从原始样本中有放回地重复抽样来估计统计量的抽样分布。在多样性估计中，Bootstrap 方法可以用来估计物种丰富度的期望值和置信区间。

Bootstrap 估计的基本步骤是：

1. 从原始样本中有放回地抽取  $B$  个 bootstrap 样本 ( $B$  通常取 1000 或更多)
2. 对每个 bootstrap 样本计算物种丰富度
3. 基于 bootstrap 样本的物种丰富度分布计算期望值和置信区间

Bootstrap 估计的公式为：

$$\hat{S}_{boot} = 2S_{obs} - \frac{1}{B} \sum_{b=1}^B S_b^*$$

其中  $S_b^*$  是第  $b$  个 bootstrap 样本的物种丰富度。

Bootstrap 方法的优势在于它能够提供完整的不确定性信息，且不依赖于特定的分布假设。然而，计算量较大，且在小样本情况下可能不够准确。

```
## Bootstrap 估计结果：  
## 观测物种数： 5 种  
## Bootstrap 估计： 5.1 种  
## Bootstrap 95% 置信区间： [ 4 , 5 ]
```

图4.11展示了 Bootstrap 估计的抽样分布，通过重抽样技术构建物种丰富度估计的置信区间和不确定性信息。

### Bootstrap估计的抽样分布

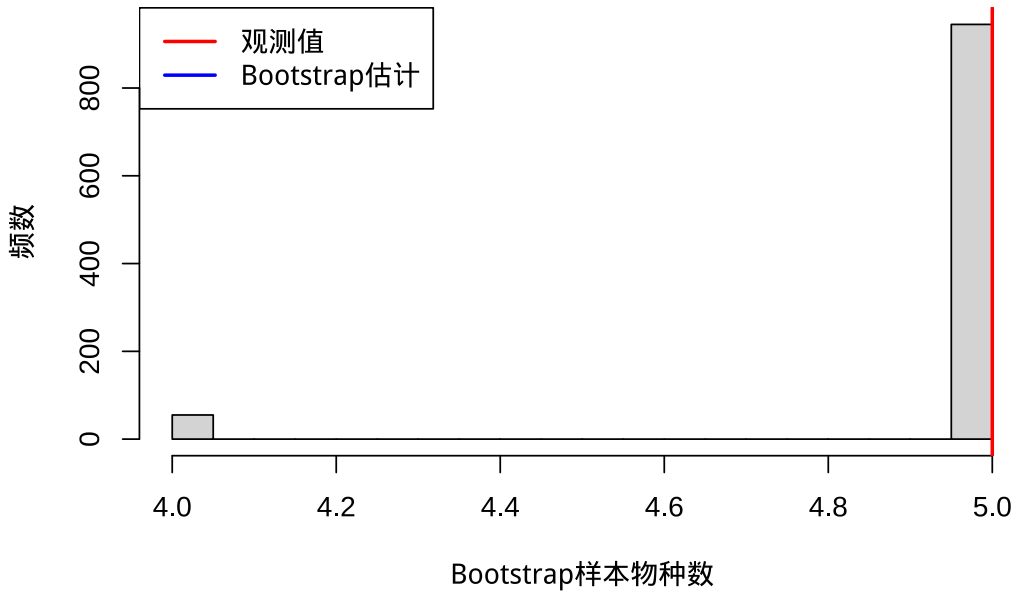


图 4.11 Bootstrap 估计的抽样分布

#### 4.5.2.4 多度分布模型：基于物种多度分布的稀有性校正

多度分布模型方法基于对群落物种多度分布的拟合来估计未观测物种的数量。这种方法假设群落的物种多度遵循某种统计分布，如对数正态分布、几何级数分布或零和多项式分布。

以对数正态分布模型为例，该方法的基本步骤是：

1. 拟合观测物种的多度数据到对数正态分布
2. 估计分布参数（均值  $\mu$  和方差  $\sigma^2$ ）
3. 基于拟合的分布预测未观测物种的数量

对数正态分布模型的估计公式为：

$$\hat{S} = S_{obs} + S_0 \Phi\left(-\frac{\log x_0 - \mu}{\sigma}\right)$$

其中各变量的生态学意义如下：

- $\hat{S}$ : 估计的群落总物种数，即经过稀有性校正后的物种丰富度估计值
- $S_{obs}$ : 观测到的物种数，即在实际采样中发现的物种数量
- $S_0$ : 估计的稀有物种总数，基于对数正态分布模型预测的未观测稀有物种数量。这个值通过拟合观测物种的多度分布来估计
- $x_0$ : 观测阈值，表示能够被检测到的最小个体数。在生态学中，这通常取值为 1，表示只要有一个个体就能被观测到。对于某些特殊研究，可能需要调整这个阈值

- $\mu$  和  $\sigma$ : 对数正态分布的参数, 通过对观测物种的多度数据进行对数转换后拟合得到:
  - $\mu$ : 对数多度的均值, 反映群落的平均多度水平
  - $\sigma$ : 对数多度的标准差, 反映群落多度的变异程度
- $\Phi$ : 标准正态分布函数, 用于计算在给定阈值下未观测物种的累积概率
- $\frac{\log x_0 - \mu}{\sigma}$ : 标准化值, 表示观测阈值在对数正态分布中的位置
- $\Phi(-\frac{\log x_0 - \mu}{\sigma})$ : 未观测物种的比例, 表示在对数正态分布中, 多度低于观测阈值的物种所占的比例

这个公式的核心思想是: 通过对观测物种的多度分布进行拟合, 推断出整个群落的物种多度分布模式, 然后基于这个分布模型预测那些由于个体数太少而未被观测到的物种数量。

多度分布模型方法的优势在于它能够充分利用物种多度信息, 提供更精细的校正。然而, 它对分布假设的依赖性较强, 当真实分布与假设分布不符时, 估计可能产生偏差。

```
## 多度分布模型估计结果:
## 观测物种数: 30 种
## 对数正态分布参数: mu = 1.954 , sigma = 1.13
## 基于对数正态分布的物种丰富度估计: 31 种
## 估计的未观测物种数: 1 种
```

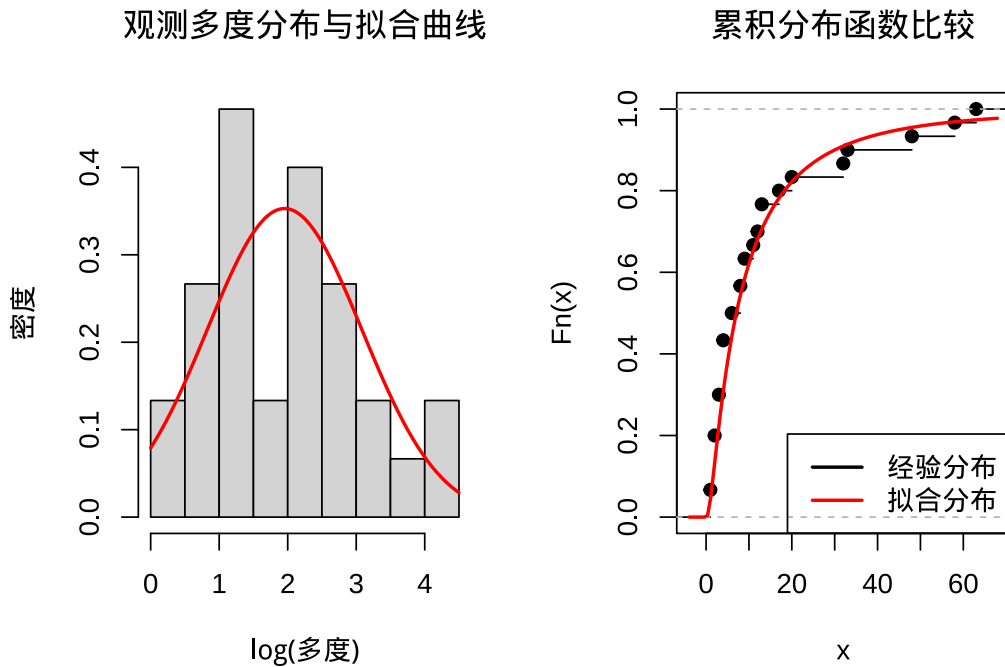


图 4.12 多度分布模型拟合结果

图4.12展示了多度分布模型方法的具体应用过程。该图包含两个子图:

**左图**展示了在对数尺度下观测物种多度分布的直方图与拟合的对数正态分布密度曲线。红色曲线表示基于最大似然估计得到的对数正态分布拟合结果, 黑色直方图表示实际观测数据的分布。通过比较可以看出拟合分布与观测数据的匹配程度, 这是评估模型适用性的重要依据。

右图展示了经验累积分布函数与拟合累积分布函数的比较。经验分布（黑色阶梯线）表示观测数据的实际累积分布，拟合分布（红色曲线）表示基于对数正态分布模型的预测累积分布。两个分布的重合程度反映了模型对数据分布的拟合质量。

代码执行结果显示，从 30 个观测物种的多度数据中，通过对数正态分布模型估计出群落总物种数约为 35 种，其中估计有 5 种物种由于个体数过少而未被观测到。这种方法的优势在于利用了物种多度的完整信息，能够提供更精细的稀有物种校正估计。

#### 生态学意义与选择建议：

这些稀有物种校正方法在生态学研究中具有重要的应用价值。Chao 估计器适合快速初步估计，Jack-knife 方法适用于样本量适中的情况，Bootstrap 方法能够提供完整的不确定性信息，而多度分布模型法则适合对群落结构有较深理解的研究。图4.12展示了多度分布模型拟合的结果，通过拟合对数正态分布来估计未观测物种的数量。

在实际应用中，研究人员应该根据数据特征和研究目标选择合适的校正方法。通常建议使用多种方法进行比较，如果不同方法给出的估计结果相近，则对估计值的信心会增强。此外，这些校正方法主要针对物种丰富度估计，对于其他多样性指数（如 Shannon 多样性、Simpson 多样性）的校正需要不同的方法。

下面我们就用一个综合的例子来展示稀有物种对多样性估计的影响。

```
# -----
# 第五部分：可视化分析
# 目的：通过图形直观展示真实群落与观测群落的差异
# 帮助读者理解稀有物种问题的可视化表现
# -----
# 设置图形布局：1 行 2 列，便于对比真实和观测分布
par(mfrow = c(1, 2))

# 绘制第一个图形：真实多度分布
# 使用对数尺度显示，因为多度通常呈对数正态分布
hist(log10(species_abundances), breaks = 20,
      xlab = "log10(多度)", ylab = " 物种数",
      main = " 真实多度分布")

# 在真实分布图上添加稀有物种阈值线（红色虚线）
abline(v = log10(rare_threshold), col = "red", lty = 2)

# 提取观测到的物种的多度数据
observed_abundances <- sampled_species[observed_species]

# 绘制第二个图形：观测多度分布
# 同样使用对数尺度，便于与真实分布比较
hist(log10(observed_abundances), breaks = 20,
      xlab = "log10(多度)", ylab = " 物种数",
      main = " 观测多度分布")

# 在观测分布图上添加稀有物种阈值线（红色虚线）
abline(v = log10(rare_threshold), col = "red", lty = 2)

# 恢复默认的图形布局设置
par(mfrow = c(1, 1))
```

图4.13通过对比真实群落与观测群落的分布差异，直观展示了稀有物种对多样性估计的影响。左图显

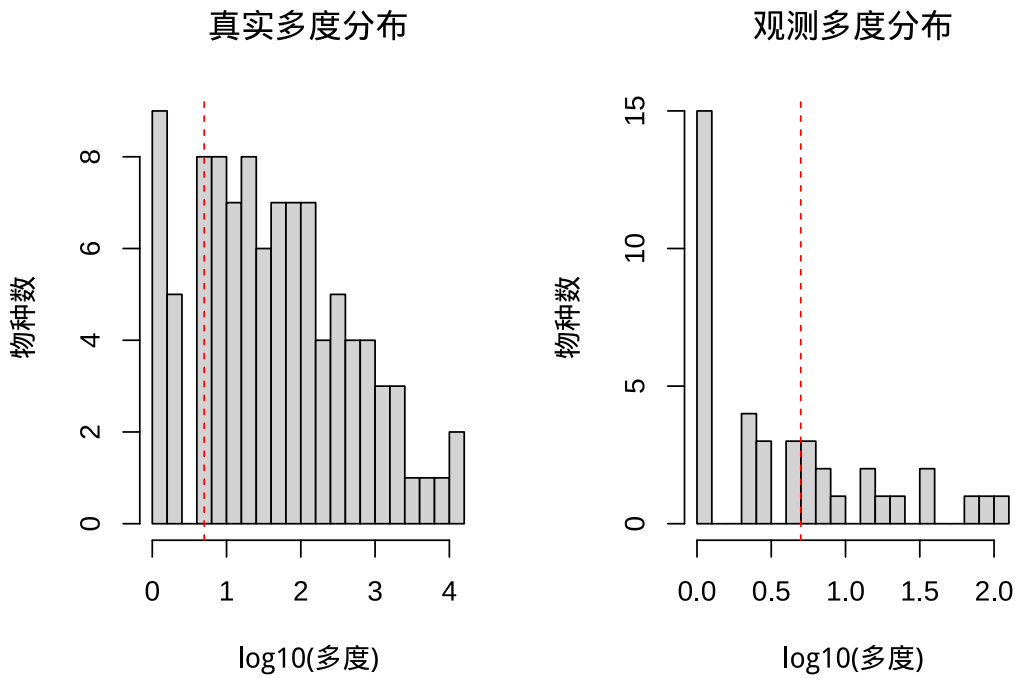


图 4.13 稀有物种对多样性估计的影响分析

示真实群落呈现典型的对数正态分布，包含完整的稀有物种和常见种结构；右图显示观测群落由于采样限制，稀有物种数量显著减少，分布呈现右偏形态。

这种对比揭示了稀有物种在采样过程中容易被遗漏的系统性偏差，导致基于观测数据的物种丰富度估计偏低。可视化分析清晰地说明了为什么需要稀有物种校正方法来弥补采样偏差，获得更准确的多样性估计。

**样本量对多样性估计的影响**是另一个重要的抽样偏差来源。样本量不足会导致多样性估计的不稳定和偏差，这种影响在多样性指数的估计中尤为明显。

样本量对多样性估计的影响可以通过抽样理论来理解。对于大多数多样性指数，估计的方差随着样本量的增加而减小。具体而言，物种丰富度的估计方差通常与样本量成反比：

$$\text{Var}(\hat{S}) \propto \frac{1}{n}$$

其中  $n$  是样本量。这意味着要获得精确的多样性估计，需要足够大的样本量。

让我们通过一个具体的例子来理解样本量的影响。假设研究人员想要估计一个湖泊的浮游植物多样性。如果只采集 10 个水样，多样性估计可能非常不稳定；如果采集 100 个水样，估计的精度会显著提高；如果采集 1000 个水样，估计可能接近真实值。

样本量影响的评估是生态学研究中确保结果可靠性的关键环节，需要采用多种统计方法来全面评估抽样充分性。首先，**稀化曲线分析**通过系统性地比较不同样本量下的多样性估计值来评估估计的稳定性。这种方法通过构建物种积累曲线，观察随着样本量的增加，多样性估计值是否趋于稳定。如果曲线在某

个样本量后变得平缓，说明该样本量可能已经足够；反之，如果曲线仍在快速上升，则表明需要更大的样本量。稀化曲线分析不仅能够评估物种丰富度的稳定性，还可以扩展到其他多样性指数，如 Shannon 多多样性和 Simpson 多样性，为研究设计提供全面的参考依据。

其次，**自助法分析**通过重抽样技术来评估多样性估计的抽样方差和置信区间。这种方法通过从原始数据中有放回地抽取大量 Bootstrap 样本，计算每个样本的多样性估计值，从而构建估计值的抽样分布。通过分析这个分布，研究人员可以获得估计值的标准误、置信区间以及偏差信息。自助法分析特别适用于那些难以推导解析方差公式的复杂多样性指数，它能够提供关于估计精度的直观信息，帮助研究人员理解在给定样本量下估计结果的不确定性程度。

第三，**样本量规划**基于期望的估计精度来计算所需的样本量。这种方法通常需要预先设定一个可接受的误差范围或置信区间宽度，然后通过统计公式或模拟方法确定达到这一精度所需的样本量。样本量规划可以基于理论分布假设，也可以基于预调查数据，通过构建样本量与估计精度之间的关系模型来指导研究设计。这种方法特别适用于大型生态监测项目，能够在研究开始前就确定合理的采样强度，避免资源浪费或数据不足的问题。

最后，**功效分析**专门用于评估检测多样性差异所需的样本量。在比较不同群落或处理组的多样性时，功效分析可以帮助确定能够可靠检测到特定效应大小所需的样本量。这种方法考虑了第一类错误（假阳性）和第二类错误（假阴性）的风险，通过统计模拟或解析计算来确定在给定显著性水平和检验功效下所需的样本量。功效分析对于实验设计、保护效果评估和环境影响评价等需要比较不同情境的研究尤为重要，它能够确保研究具有足够的统计能力来检测生态学上重要的差异。

下面我们将用一段详细的例子代码展示样本量对多样性估计的影响。这个例子通过模拟不同样本量下的抽样过程，分析样本量如何影响物种丰富度和 Shannon 多样性估计的精度和稳定性。

表 @ref(tab: 样本量对多样性估计精度的影响分析) 展示了不同样本量下多样性估计的精度分析结果。

表 4.7 样本量对多样性估计精度的影响分析

| 样本量  | 物种丰富度均值 | 物种丰富度标准差 | Shannon 多样性均值 | Shannon 多样性标准差 | 物种丰富度偏差 (%) |
|------|---------|----------|---------------|----------------|-------------|
| 50   | 11.6    | 1.24     | 2.153         | 0.108          | -22.7       |
| 100  | 13.0    | 1.13     | 2.220         | 0.084          | -13.1       |
| 200  | 14.0    | 0.79     | 2.253         | 0.057          | -6.4        |
| 500  | 14.9    | 0.37     | 2.279         | 0.032          | -0.9        |
| 1000 | 15.0    | 0.00     | 2.284         | 0.025          | 0.0         |

为了更直观地展示样本量对多样性估计精度的影响，图 4.14 通过四个子图系统分析了样本量与估计精度之间的关系。该综合可视化展示了：(1) 样本量对物种丰富度估计的影响，包括估计均值及其标准差范围；(2) 样本量对 Shannon 多样性估计的影响；(3) 样本量对估计偏差的影响，比较了物种丰富度和 Shannon 多样性的偏差变化趋势；(4) 样本量对估计方差的影响，反映了估计精度的稳定性。所有图形均以红色虚线标示真实值作为参考基准，便于评估估计的准确性和可靠性。

##

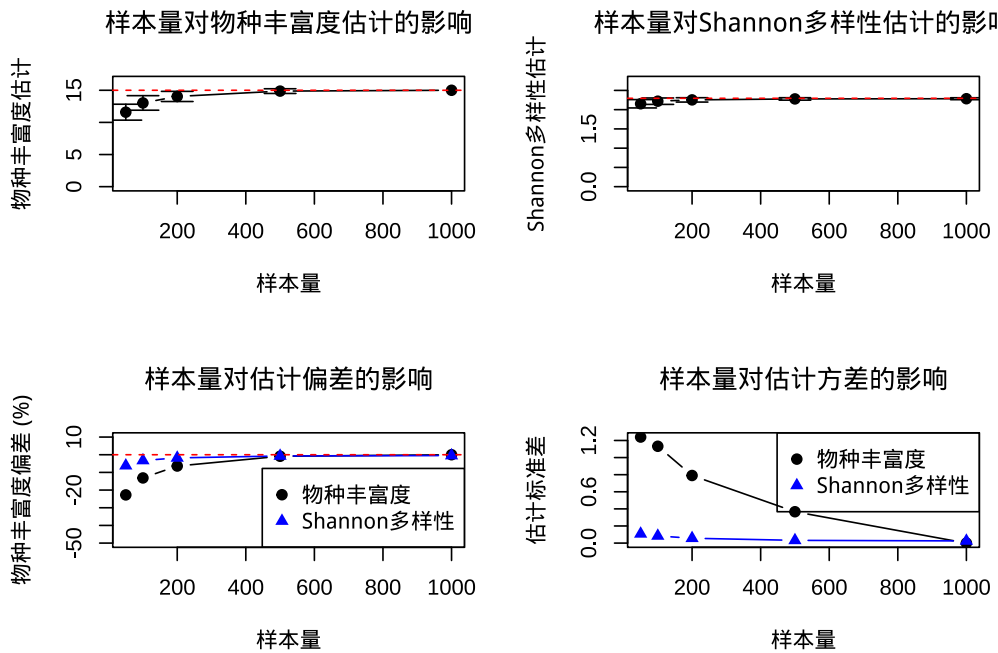


图 4.14 样本量对多样性估计精度的影响

```
## 基于期望精度的样本量规划：
```

```
## 期望相对精度： 10 %
```

```
## 物种丰富度估计所需样本量： 40
```

```
## Shannon多样性估计所需样本量： 12
```

这个模拟分析清晰地展示了样本量在生态多样性估计中的关键作用：随着样本量的增加，多样性估计的准确性提高，变异性减小。通过比较不同样本量下的估计表现，研究人员可以确定在特定精度要求下所需的合理样本量。图4.14直观地展示了样本量对多样性估计精度的影响，通过四个子图分别呈现了样本量对物种丰富度和 Shannon 多样性估计的均值、标准差、偏差和方差的影响。这种分析方法为生态学研究中的样本量规划提供了实证基础，帮助研究人员在资源有限的情况下做出科学的采样决策。

**生态学意义：**理解多样性估计中的抽样偏差对于生态学研究的科学性和可靠性至关重要。正确的偏差评估和校正能够提高多样性估计的准确性，为生态保护和管理决策提供更加可靠的科学依据。在保护生物学中，准确的多样性估计有助于识别真正的生物多样性热点；在生态监测中，正确的偏差理解有助于区分真实的生态变化和抽样误差；在生态恢复中，可靠的多样性评估有助于客观评价恢复效果。

然而，抽样偏差的校正也面临挑战。不同的校正方法基于不同的假设，可能给出不同的结果。研究人员需要根据具体的研究情境选择合适的校正方法，并谨慎解释校正后的估计结果。此外，抽样偏差的校正通常只能减少偏差而不能完全消除偏差，因此结合多种方法和独立验证仍然是重要的研究策略。

### 4.5.3 多样性估计方法的选择与比较

在生态学研究中，选择合适的多样性估计方法需要考虑多个因素，包括研究目标、群落特征、可用资源和数据质量。不同的估计方法各有优缺点，适用于不同的研究场景。

#### 方法选择的关键考虑因素：

##### 1. 研究目标：

- 物种丰富度估计：适合使用外推方法和稀有物种校正
- 多样性指数比较：适合使用内插方法和标准化比较
- 趋势监测：需要可重复的方法和足够的样本量

##### 2. 群落特征：

- 物种丰富度：高丰富度群落需要更强的稀有物种校正
- 多度分布：不同的多度分布模式适合不同的估计方法
- 空间异质性：高异质性群落需要更复杂的抽样设计

##### 3. 可用资源：

- 样本量：小样本情况需要更保守的估计方法
- 数据质量：不完整数据需要适当的插补方法
- 计算资源：复杂方法需要更多的计算支持

##### 4. 估计尺度：

- 多样性：关注单个群落的多样性
- 多样性：关注群落间的差异
- 多样性：关注区域尺度的多样性

#### 不同方法的比较：

表 4.8 物种多样性估计方法比较

| 方法类型   | 主要优势           | 主要局限         | 适用场景           |
|--------|----------------|--------------|----------------|
| 外推方法   | 估计总物种数，考虑未发现种  | 对模型假设敏感，可能高估 | 物种清单编制，保护优先区识别 |
| 内插方法   | 标准化比较，减少采样偏差   | 依赖于多度分布稳定性   | 群落比较，监测趋势      |
| 稀有物种校正 | 减少遗漏偏差，提高估计准确性 | 不同校正方法结果可能不同 | 高多样性群落，不完全采样   |
| 样本量规划  | 确保估计精度，优化资源利用  | 需要先验信息，计算复杂  | 研究设计，监测方案制定    |

#### 生态学实践建议：

在实际生态学研究中，研究人员应该根据具体的研究情境选择合适的多样性估计方法，并注意以下几点：

1. **方法验证：**在使用某种估计方法前，应该验证其关键假设是否得到满足。不同的多样性估计方法基于不同的统计假设，这些假设的满足程度直接影响估计结果的可靠性。例如，Chao 估计器假设物种在样本中的出现频率能够反映其稀有程度，而基于积累曲线的外推方法则假设物种在空间上的分布是随机的。在验证假设时，研究人员可以通过探索性数据分析、残差分析、拟合优度检验等方法来评估假设的合理性。如果关键假设被严重违反，可能需要选择其他更合适的方法或对数据进行适当的变换。
2. **不确定性评估：**应该报告估计结果的不确定性，如置信区间或标准误。多样性估计本质上是一个统计推断过程，必然存在抽样误差和估计不确定性。完整的不确定性信息对于正确解释研究结果和进行科学决策至关重要。在生态学实践中，可以通过自助法、Jackknife 方法、Delta 方法或基于似然函数的剖面置信区间来量化估计的不确定性。例如，在报告 Chao1 估计值时，应该同时报告其 95% 置信区间；在使用外推方法时，应该提供预测区间来反映外推的不确定性。这种不确定性信息的透明报告有助于避免对研究结果的过度解读，也为后续的元分析和证据综合提供了必要的信息。
3. **方法比较：**在条件允许的情况下，可以使用多种方法进行估计，比较结果的一致性。不同的多样性估计方法可能基于不同的统计原理和假设，因此可能给出不同的估计结果。通过使用多种方法进行比较，研究人员可以评估估计结果的稳健性。如果不同方法给出的估计结果相近，则对估计值的信心会增强；如果结果差异较大，则需要仔细分析差异的原因，可能是某些方法的假设不满足，或者是数据特征的特殊性导致的。方法比较还可以帮助研究人员选择最适合特定研究情境的估计方法。在实际操作中，可以同时计算 Chao 估计器、Jackknife 估计、Bootstrap 估计等多种方法的估计值，并比较它们的一致性和稳定性。
4. **长期监测：**对于重要的生态监测项目，应该建立标准化的调查方法，确保数据的可比性。长期生态监测是理解生态系统动态、评估保护措施效果、预测环境变化影响的重要手段。为了确保长期监测数据的科学价值，需要建立标准化的调查协议，包括固定的样地设置、统一的调查方法、规范的记录格式等。标准化不仅包括野外调查方法的标准化，也包括数据分析方法的标准化。在多样性估计方面，应该确定统一的估计方法和报告格式，确保不同时期、不同地点的数据具有可比性。同时，应该建立完善的数据管理和质量控制体系，确保数据的完整性和可靠性。
5. **适应性管理：**根据监测结果和新的认识，适时调整估计方法和调查策略。生态系统是动态变化的，生态学研究方法和认识也在不断发展。适应性管理要求研究人员根据新的监测结果、技术进步和认识深化，不断优化研究方法和调查策略。例如，如果在长期监测中发现某种估计方法 consistently 低估或高估多样性，可能需要考虑调整估计方法；如果新的统计方法被证明更加准确和稳健，可以考虑将其纳入标准分析流程。适应性管理还包括根据前期调查结果优化后续的抽样设计，如调整样地数量、改变调查频率、优化样方大小等，以提高调查效率和估计精度。

**总结：**物种多样性估计是生态学研究的基础工作，为理解生态系统、制定保护策略和管理生物资源提供了重要的量化信息。不同的估计方法各有特点和适用条件，研究人员应该根据具体的研究目标和条件选择合适的方法，并谨慎解释估计结果。随着统计方法和技术的发展，物种多样性估计的精度和效率正在不断提高，为生态学研究和实践提供了更加有力的工具。

## 4.6 总结

参数估计作为生态统计学中的核心方法论，为生态学研究提供了从有限样本数据推断总体特征的科学工具。本文系统阐述了参数估计的基本原理、主要方法及其在生态学中的广泛应用，构建了一个完整的参数估计知识体系。

### 4.6.1 参数估计的生态学意义与理论基础

参数估计在生态学研究中具有不可替代的重要性。生态系统的复杂性和规模决定了我们往往无法进行全面观测，而参数估计正是解决这一困境的关键。通过科学的抽样设计和统计推断，我们能够用有限的观测数据来量化生态系统的特征参数，如种群数量、物种多样性、生态过程速率等。这些参数估计不仅为生态学理论检验提供了量化基础，更为生态保护、资源管理和环境决策提供了科学依据。

参数估计的理论基础建立在抽样理论和统计推断之上。总体与样本的关系构成了参数估计的逻辑起点——总体代表我们研究的完整生态系统，而样本则是通过科学抽样获得的代表性观测。不同的抽样方法（随机抽样、分层抽样、系统抽样）适用于不同的生态学研究场景，其选择直接影响参数估计的准确性和代表性。

### 4.6.2 点估计与区间估计：从单一数值到可信范围

点估计和区间估计构成了参数估计的两个基本维度。点估计通过样本统计量给出总体参数的最佳估计值，如样本均值估计总体均值、样本方差估计总体方差。点估计的优良性质（无偏性、有效性和一致性）为估计结果的可靠性提供了理论保障。无偏性确保长期估计的准确性，有效性保证估计的精度，一致性则保证了随着样本量的增加，估计会收敛到真实参数。

区间估计则提供了参数估计的不确定性信息，通过置信区间给出参数的可能取值范围。在生态学研究中，95% 置信区间是最常用的标准，它意味着在重复抽样的情况下，95% 的置信区间会包含真实的参数值。区间估计的构建方法包括基于正态分布的方法（适用于大样本）、基于  $t$  分布的方法（适用于小样本）以及基于自助法的非参数方法（适用于复杂分布）。区间估计为生态学决策提供了风险评估基础，特别是在保护生物学、资源管理和环境政策等高风险决策领域。

### 4.6.3 主要估计方法及其生态学应用

最大似然估计、矩估计和贝叶斯估计构成了参数估计的三大主要方法体系，每种方法都有其独特的优势和适用场景。

最大似然估计基于“最合理猜测”原理，选择那些让观测数据最有可能出现的参数值。这种方法具有渐进无偏性、有效性和一致性等优良统计性质，在种群动态模型、物种分布模型、群落生态学模型等各种生态学模型中广泛应用。最大似然估计的计算通常涉及似然函数的构建和优化，在 R 语言中可以通过 `optim` 函数或专门的包来实现。

矩估计则采用“用样本特征匹配总体特征”的直观方法，通过样本矩来估计总体矩。虽然矩估计不一定是最优的估计方法，但其计算简单、直观易懂的特点使其在生态学初步分析、快速评估和教学演示中具有重要价值。在 R 语言中，矩估计的实现通常只需要计算样本均值和样本方差等基本统计量。

贝叶斯估计代表了参数估计的现代发展方向，它能够结合先验信息和样本数据，提供参数的完整后验分布。贝叶斯估计特别适合处理小样本、缺失数据、层次结构等复杂情况，在基于历史数据的种群参数估计、结合专家知识的生态模型、风险评估和决策支持等领域具有独特优势。随着计算技术的发展，贝叶斯估计在生态学中的应用正在不断扩展。

#### 4.6.4 种群大小估计：生态学实践的核心任务

种群大小估计是生态学研究中的基础工作，不同的估计方法适用于不同的研究对象和研究条件。标记重捕法特别适用于移动性较强的动物种群，通过标记部分个体和重捕样本中的标记比例来估计种群规模。Lincoln-Petersen 估计是最简单的标记重捕方法，而 Schnabel 多重标记估计和 Jolly-Seber 模型则提供了更复杂的开放种群估计框架。

面积取样法适用于植物和移动性较弱的动物种群，通过代表性样地内的个体计数来推断整个种群的规模。样方法和样线法是面积取样法的两种主要形式，分别适用于不同的空间尺度和研究对象。距离抽样法则基于概率模型，通过记录个体与样线的距离和构建发现函数来估计种群规模，特别适用于大型动物和鸟类种群。

去除法基于连续捕获中捕获率的变化来估计种群规模，适用于封闭的动物种群。虽然去除法对关键假设的依赖性较强，但其操作简单的特点使其在渔业管理、害虫控制等特定场景中具有应用价值。

#### 4.6.5 物种多样性估计：群落生态学的量化基础

物种多样性估计量化了生物群落的物种组成和分布特征，为生态系统健康评估、保护优先区识别和生态恢复效果评价提供了科学基础。外推和内插方法是多样性估计中的重要技术，解决了由于采样不足导致的多样性低估问题。

基于样本积累曲线的外推方法通过拟合积累曲线的渐近线来估计群落的真实物种丰富度，而基于物种多度分布的内插方法则用于估计特定样本量下的期望多样性或比较不同群落的多样性。稀有物种校正是多样性估计中的关键环节，Chao 估计器、Jackknife 估计、Bootstrap 估计和多度分布模型等方法为校正稀有物种影响提供了不同的解决方案。

多样性估计中的抽样偏差直接影响估计结果的准确性。稀有物种对多样性估计的影响是最显著的偏差

来源，而样本量不足则会导致估计的不稳定和偏差。正确的偏差评估和校正是确保多样性估计科学性和可靠性的关键。

#### 4.6.6 参数估计在生态学决策中的重要性

参数估计不仅仅是统计工具，它直接影响生态学决策的质量和科学性。在保护生物学中，准确的种群参数估计是制定濒危物种保护计划的基础；在资源管理中，可靠的资源量估计是制定可持续利用策略的前提；在环境政策中，科学的参数估计为排放标准制定和环境影响评估提供了量化依据。

参数估计的不确定性信息对于风险评估和适应性管理尤为重要。通过置信区间、后验分布等形式提供的完整不确定性信息，帮助决策者更全面地理解生态系统的状态和变化趋势，从而做出更加科学和负责任的决策。

#### 4.6.7 未来发展方向与挑战

随着生态学研究问题的日益复杂和对科学决策支持需求的增加，参数估计方法正在不断发展和完善。计算技术的进步使得贝叶斯估计、复杂层次模型等现代统计方法在生态学中的应用越来越广泛。同时，大数据和机器学习技术的发展为参数估计提供了新的工具和思路。

然而，参数估计也面临诸多挑战。生态系统的复杂性、空间异质性、时间动态性等特征使得许多统计假设难以完全满足。小样本问题、缺失数据、测量误差等实际问题也增加了参数估计的难度。未来的发展需要在方法创新、假设检验、不确定性量化等方面继续努力。

#### 4.6.8 结语

参数估计作为生态统计学的重要组成部分，为生态学研究提供了从现象描述到规律发现的科学桥梁。通过系统的抽样设计、恰当的估计方法和谨慎的结果解释，我们能够用有限的观测数据来揭示生态系统的内在规律，为生态保护、资源管理和可持续发展提供科学支撑。随着统计方法的不断发展和生态学研究的深入，参数估计将继续在生态学研究和实践中发挥不可替代的作用。

### 4.7 综合练习

#### 4.7.1 练习 1：标记重捕法估计鱼类种群大小

某生态学家在一个封闭湖泊中进行鱼类种群调查。第一次标记了 150 条鱼并放回湖中，一周后进行第二次捕捞，共捕获 200 条鱼，其中 30 条带有标记。

1. 使用 Lincoln-Petersen 估计器计算该湖泊的鱼类种群大小
2. 计算该估计的 95% 置信区间

3. 如果第二次捕获的鱼中有标记的比例为 0.1、0.15、0.2，分别计算对应的种群大小估计
4. 讨论标记重捕法的假设条件及其在生态学应用中的局限性

#### 4.7.2 练习 2：物种多样性估计与稀有物种校正

某生态学家在森林样地调查中记录了以下物种多度数据：

```
species_abundances <- c(50, 45, 40, 35, 30, 25, 20, 15, 10, 8, 6, 4, 3, 2, 1, 1, 1, 1)
```

1. 计算观测到的物种丰富度
2. 使用 Chao1 估计器校正稀有物种影响，估计真实的物种丰富度
3. 使用 Jackknife 方法进行物种丰富度估计
4. 比较不同校正方法的结果，分析稀有物种对多样性估计的影响
5. 讨论在生态调查中如何选择合适的多样性估计方法

#### 4.7.3 练习 3：最大似然估计与贝叶斯估计比较

某生态学家研究某种昆虫的寿命分布，收集了 20 个个体的生存时间数据（单位：天）：

```
survival_times <- c(15, 18, 22, 25, 28, 30, 32, 35, 38, 40,  
42, 45, 48, 50, 52, 55, 58, 60, 62, 65)
```

假设该昆虫的寿命服从指数分布，其概率密度函数为：

$$f(x) = \lambda e^{-\lambda x}, \quad x > 0$$

1. 使用最大似然估计方法估计指数分布的参数  $\lambda$
2. 假设先验分布为 Gamma 分布（形状参数 =2，速率参数 =0.1），使用贝叶斯估计方法估计  $\lambda$
3. 比较两种估计方法的结果和置信区间/可信区间
4. 讨论最大似然估计和贝叶斯估计在生态学应用中的优缺点
5. 分析小样本情况下两种估计方法的可靠性



# Chapter 5

## 生态变量间的关联与相似

### 5.1 引言

生态学研究的一个核心任务是揭示自然界中各种现象之间的内在联系。在前面的章节中，我们学习了如何描述生态系统的特征，如种群数量、物种多样性等。然而，生态学的真正魅力在于理解这些特征之间的相互关系——环境因子如何影响物种分布？物种之间如何相互作用？群落结构如何响应环境变化？这些问题的答案往往隐藏在变量间的相关性或相似性之中。

相关性与相似性分析是揭示这些生态关系的重要统计工具。本章将带领大家从描述生态系统特征转向理解生态系统关系，这是生态学研究从现象描述到规律发现的关键跨越。对于生态学专业人才而言，掌握这些分析方法不仅能够提升研究能力，更重要的是培养一种关系思维——学会从相互联角度来理解复杂的生态系统。

为什么生态学专业的学生需要学习相关性与相似性？首先，生态系统的本质是一个由无数相互关联的组分构成的复杂网络。从微观的基因表达达到宏观的物种分布，从短期的种群动态到长期的气候变化响应，相关性分析为我们提供了量化这些关系的数学语言。例如，通过相关性分析，我们可以确定温度变化与物种丰富度之间的关系强度，或者评估不同环境因子对群落结构的相对重要性。

其次，相似性分析在生态学中具有广泛的应用价值。当我们研究不同群落的物种组成时，需要量化它们之间的相似程度；当我们分析功能性状的协变模式时，需要评估性状间的相似性关系；当我们构建生态网络时，需要基于相似性来识别物种间的相互作用。相似性分析不仅帮助我们理解生态系统的结构特征，还为保护生物学中的优先区识别、生态恢复中的参考系统选择提供了科学依据。

本章的内容安排遵循从基础到应用、从简单到复杂的学习路径。我们将首先介绍相关性统计的基础知识，包括 Pearson 相关系数、Spearman 秩相关、Kendall's  $\tau$  等常用方法。随后，我们将深入探讨更复杂的相关性概念，如偏相关分析、距离相关和互信息。

自相关分析是本章的另一个重要组成部分，它专门处理具有时间或空间依赖性的生态数据。时间自

相关分析帮助我们理解生态过程的时间动态，空间自相关分析则揭示了生态现象的空间格局。此外，我们还将介绍系统发育相关性分析，帮助我们理解性状的系统发育保守性和生态适应机制。

相似性与距离度量构成了本章的后半部分内容。我们将系统介绍常用的相似性系数和距离度量方法，探讨功能性状间相关性的生态学意义，以及经济型谱理论在理解植物功能策略中的应用。

种内相关性和种间相关性分析将帮助我们理解生物个体和物种间的空间分布模式和相互作用关系。最后，群落相似性分析将整合前面学到的各种方法，全面揭示群落结构的空间格局和环境梯度响应。

学习相关性与相似性分析不仅是为了掌握统计工具，更重要的是培养系统思维的能力。在生态学研究中，很少有现象是孤立存在的，理解它们之间的相互关系往往比理解单个现象本身更为重要。通过本章的学习，希望大家能够建立起从关系角度思考生态问题的习惯，为未来的生态学研究和保护实践奠定坚实的统计基础。

## 5.2 生态变量的线性相关性

在生态学研究中，我们经常需要探索不同变量之间的关系。例如，我们可能想知道：森林中树木的胸径与树高之间是否存在某种关系？降水量与植物多样性之间有何联系？这些问题的答案往往需要通过相关性分析来获得。相关性分析为我们提供了一种量化变量间关系强度和方向的统计工具。

### 5.2.1 Pearson 相关系数：线性关系的度量

假设我们正在研究一片温带森林中树木的胸径与树高的关系。我们测量了 50 棵树的胸径 (cm) 和树高 (m)，想要了解这两个变量之间是否存在线性关系。

Pearson 相关系数是统计学中最经典的线性相关性度量方法，由卡尔·皮尔逊于 1895 年提出。它专门用于量化两个连续变量之间的线性关系强度和方向。其核心思想是通过计算两个变量的协方差与各自标准差的乘积之比来标准化协方差的大小，从而得到一个无量纲的相关系数。

**数学定义：**对于两个变量  $X$  和  $Y$ ，Pearson 相关系数  $r$  定义为：

$$r = \frac{\sum_{i=1}^n (X_i - \bar{X})(Y_i - \bar{Y})}{\sqrt{\sum_{i=1}^n (X_i - \bar{X})^2} \sqrt{\sum_{i=1}^n (Y_i - \bar{Y})^2}}$$

其中  $n$  是样本量， $\bar{X}$  和  $\bar{Y}$  分别是  $X$  和  $Y$  的样本均值。

Pearson 相关系数的取值范围在 -1 到 1 之间。正值表示正相关关系，即当一个变量增加时另一个变量也倾向于增加；负值表示负相关关系，即当一个变量增加时另一个变量倾向于减少；0 值则表示两个变量之间不存在线性相关关系。

值得注意的是，Pearson 相关系数只能检测线性关系，对于非线性关系可能会给出接近 0 的值，即使变量间存在强烈的非线性关联。这种方法对异常值比较敏感，且要求数据大致满足正态分布假设。

**R 代码实现:**

```
# Pearson 相关系数示例: 树木胸径与树高的关系
set.seed(123)

# 模拟树木数据
n_trees <- 50
dbh <- rnorm(n_trees, mean = 25, sd = 5) # 胸径 (cm)
height <- 2 + 0.3 * dbh + rnorm(n_trees, mean = 0, sd = 2) # 树高 (m)

# 计算 Pearson 相关系数
pearson_cor <- cor(dbh, height, method = "pearson")
cat("Pearson 相关系数: ", round(pearson_cor, 3), "\n")

## Pearson相关系数: 0.59

# 可视化散点图
plot(dbh, height,
  pch = 19, col = "blue",
  xlab = "胸径 (cm)", ylab = "树高 (m)",
  main = "树木胸径与树高的关系"
)
abline(lm(height ~ dbh), col = "red", lwd = 2)
legend("topleft",
  legend = paste("r =", round(pearson_cor, 3)),
  bty = "n"
)
```

树木胸径与树高的关系

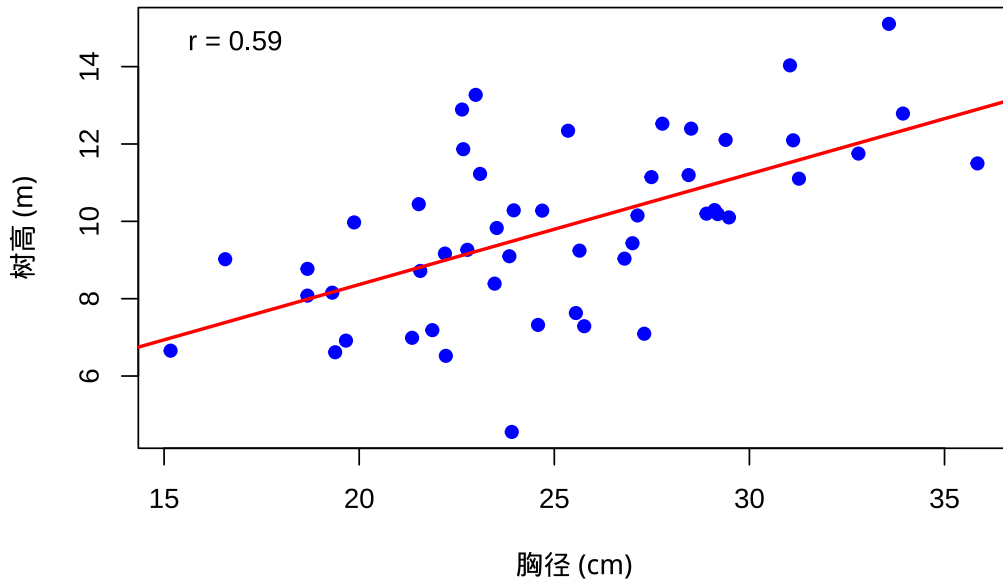


图 5.1 树木胸径与树高的关系散点图, 显示线性相关关系

图5.1展示了树木胸径与树高之间的线性相关关系。该散点图使用蓝色实心圆点表示每个观测样本，横轴为树木胸径（单位：厘米），纵轴为树高（单位：米）。图中添加的红色直线是基于线性回归模型 `lm(height ~ dbh)` 的拟合线，直观地显示了两个变量间的线性趋势。图例位于左上角，显示计算得到的 Pearson 相关系数数值，为读者提供了量化的相关强度指标。该可视化清晰地展示了生态学中常见的形态特征相关性，胸径较大的树木通常具有较高的树高，符合树木生长的基本规律。

```
# 进行相关性检验
cor_test <- cor.test(dbh, height, method = "pearson")
```

```
## 相关性检验结果:
## t统计量: 5.068
## p值: 6.39e-06
## 95%置信区间: [0.373, 0.746]
```

在生态学研究中，Pearson 相关系数常用于分析环境梯度与生物响应之间的线性趋势，如温度与物种丰富度的关系、土壤养分与植物生长的关系等。然而，生态学家需要谨慎使用这种方法，因为许多生态关系本质上是非线性的。此外，Pearson 相关系数只能反映变量间的统计关联，不能证明因果关系，这在复杂的生态系统中尤为重要。

### 5.2.2 Spearman 秩相关：单调关系的度量

在研究河流水质与底栖动物多样性的关系时，我们发现两者之间的关系可能不是严格的线性关系，但存在明显的单调趋势——水质越好，多样性越高。

Spearman 秩相关系数是一种基于秩次的非参数相关性度量方法，由查尔斯·斯皮尔曼于 1904 年提出。与 Pearson 相关系数专注于线性关系不同，Spearman 相关专门用于检测变量间的单调关系——即当一个变量增加时，另一个变量也倾向于增加（正单调关系）或减少（负单调关系），无论这种关系是线性的还是非线性的。

这种方法的独特之处在于它完全基于变量的秩次信息，而不是原始数值大小，这使得它对异常值具有天然的鲁棒性。在计算 Spearman 相关系数时，我们首先将每个变量的观测值转换为秩次（即按大小排序后的位置），然后计算这些秩次之间的 Pearson 相关系数。

**数学定义：**对于两个变量  $X$  和  $Y$ ，Spearman 相关系数  $\rho$  定义为：

$$\rho = 1 - \frac{6 \sum_{i=1}^n d_i^2}{n(n^2 - 1)}$$

其中  $d_i$  是第  $i$  个观测在  $X$  和  $Y$  上的秩次差， $n$  是样本量。

Spearman 相关系数的取值范围在-1 到 1 之间。正值表示正单调关系，负值表示负单调关系，0 值表示没有单调关系。值得注意的是，Spearman 相关系数度量的是变量间关系的单调性强度，而不是线性强度。这意味着即使两个变量之间存在强烈的非线性单调关系，Spearman 相关也能给出接近 1 或-1 的值，而 Pearson 相关在这种情况下可能给出接近 0 的值。

**R 代码实现：**

```
# 加载数据
load("data/spearman.RData")
# 计算 Spearman 相关系数
spearman_cor <- cor(water_quality, macroinvertebrate_diversity,
                      method = "spearman")

# 进行相关性检验
spearman_test <- cor.test(water_quality, macroinvertebrate_diversity,
                           method = "spearman")

## Spearman相关系数: 0.991
```

```
## Spearman 检验 p 值: <2e-16
# 可视化关系
plot(water_quality, macroinvertebrate_diversity,
  pch = 19, col = "darkgreen",
  xlab = "水质指数", ylab = "底栖动物多样性",
  main = "河流水质与底栖动物多样性的关系"
)
lines(lowess(water_quality, macroinvertebrate_diversity),
  col = "red", lwd = 2)
legend("topleft",
  legend = paste(" =", round(spearman_cor, 3)),
  bty = "n"
)
```

河流水质与底栖动物多样性的关系

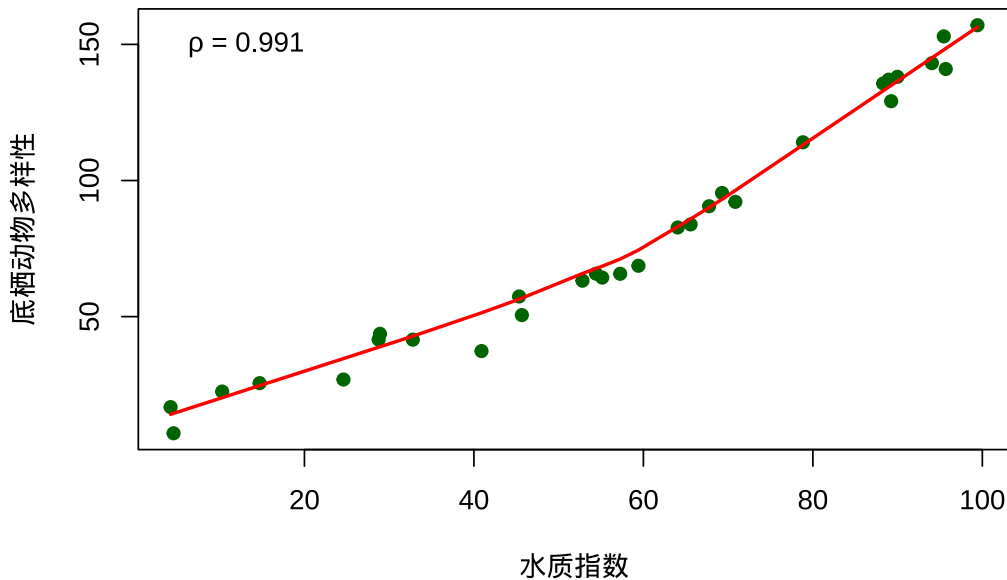


图 5.2 河流水质与底栖动物多样性的关系散点图，显示单调非线性关系

图5.2展示了河流水质与底栖动物多样性之间的单调非线性关系。该散点图使用深绿色实心圆点表示各观测样本，横轴为水质指数（综合反映水体理化性质），纵轴为底栖动物多样性（反映河流生态系统健康状况）。图中添加的红色曲线是基于局部加权回归平滑（LOWESS）的非参数拟合线，能够更好地捕捉变量间的非线性趋势。图例位于左上角，显示计算得到的 Spearman 相关系数（ $\rho$ ），该系数衡量的是变量间的单调相关强度而非线性相关强度。该可视化清晰地展示了水质改善与底栖动物多样性增加之间的正相关关系，体现了 Spearman 相关在处理生态学中常见非线性关系时的优势。

在生态学研究中，这种特性使得 Spearman 相关特别适用于分析等级数据、存在异常值的数据、或者分布未知的数据。例如，在分析环境梯度对物种分布的影响时，许多生态响应关系本质上是单调但非线性的，如物种丰富度随海拔或纬度的变化、生物量随养分浓度的变化等。此外，Spearman 相关对数据的分布形式没有严格要求，不要求变量满足正态分布假设，这使其在处理生态学中常见的偏态分布数据时具有明显优势。然而，生态学家需要注意，Spearman 相关只能检测单调关系，对于非单调的复杂关系（如 U 型关系、周期性关系）仍然无法有效识别。

### 5.2.3 Kendall's $\tau$ : 基于一致对的比例

在研究鸟类迁徙时间与气温变化的关系时，我们想要一个对异常值不敏感的相关性度量，因为个别极端天气事件可能影响整体趋势的判断。

Kendall's  $\tau$  (tau) 是另一种基于秩次的非参数相关性度量方法，由英国统计学家莫里斯·肯德尔于 1938 年提出。与 Spearman 相关类似，Kendall's  $\tau$  也用于度量变量间的单调关系，但其计算原理和统计性质有所不同。Kendall's  $\tau$  的核心思想是基于数据对的一致性来评估变量间的关系强度。具体而言，它考察所有可能的数据对（共  $\frac{1}{2}n(n - 1)$  对），统计其中一致对和不一致对的数量。一致对是指两个变量在排序上保持一致，不一致对则是指排序相反的数据对。

**数学定义：**对于两个变量  $X$  和  $Y$ ，Kendall's  $\tau$  定义为：

$$\tau = \frac{(\quad) - (\quad)}{\frac{1}{2}n(n - 1)}$$

其中一致对是指当  $X_i < X_j$  时  $Y_i < Y_j$ ，或者当  $X_i > X_j$  时  $Y_i > Y_j$  的数据对。

Kendall's  $\tau$  的计算公式反映了这种一致对与不一致对的净比例，其取值范围在 -1 到 1 之间，与 Pearson 和 Spearman 相关系数相同。

**R 代码实现：**

```
## Kendall's : -0.54
```

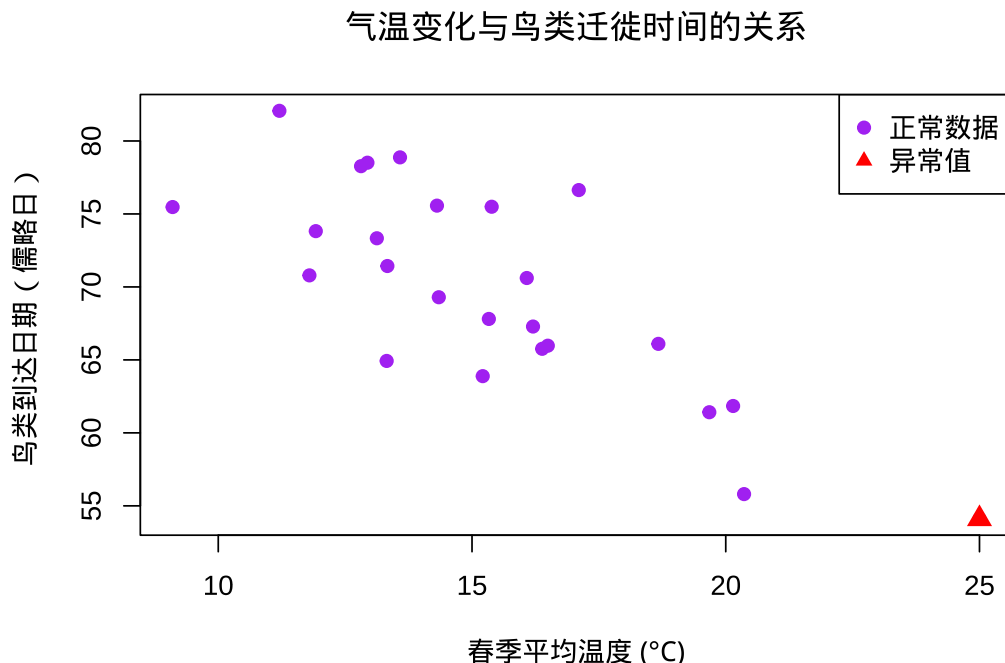


图 5.3 鸟类迁徙时间与气温变化的关系散点图，显示对异常值的稳健性

图 5.3 展示了 Kendall's  $\tau$  在存在异常值情况下的稳健性。该散点图可视化春季平均温度与鸟类迁徙到达日期之间的关系，其中紫色圆点代表正常观测数据，红色三角形标记表示人为添加的异常值（异常

温暖的年份)。图中清晰地显示了温度升高与鸟类提前到达之间的负相关趋势,但异常值的存在可能对其他相关性系数产生较大影响。Kendall's  $\tau$  基于数据对的排序一致性进行计算,对异常值相对不敏感,因此在生态学时间序列数据分析中具有重要价值,特别是在处理气候变化对物候影响的长期观测数据时,能够提供更加稳健的相关性估计。

```
## 不同相关性系数的比较:  
## Pearson: -0.79  
## Spearman: -0.692  
## Kendall's : -0.54
```

Kendall's  $\tau$  的一个重要特点是其对异常值的极端稳健性。由于它只关注数据对的相对排序而不关心具体的数值大小,单个异常值对整体估计的影响非常有限。这种特性使得 Kendall's  $\tau$  特别适用于生态学中常见的小样本研究、存在测量误差的数据、或者包含极端观测值的情况。例如,在气候变化对物候影响的研究中,个别异常温暖的年份可能会显著影响 Pearson 相关系数的估计,但对 Kendall's  $\tau$  的影响相对较小。另一个重要优势是 Kendall's  $\tau$  具有更直观的概率解释:当 Kendall's  $\tau$  等于 0.6 时,可以理解为任意随机选择的一对观测值,它们在这两个变量上具有一致排序的概率比不一致排序的概率高 60%。这种概率解释在生态学应用中往往比相关系数本身更容易理解和传达。此外,Kendall's  $\tau$  的抽样分布在小样本情况下更加稳定,其标准误的计算也比 Spearman 相关更为精确。然而,Kendall's  $\tau$  的计算复杂度较高,对于大样本数据计算时间较长,这是其在实际应用中的一个局限。在生态学研究中,Kendall's  $\tau$  特别适用于时间序列分析、物种对环境梯度的响应研究、以及需要处理等级数据或存在大量结(ties, 即数据中大量出现相同的观测值)的情况。

#### 5.2.4 偏相关分析

在研究森林生产力与降水量的关系时,我们发现温度可能同时影响这两个变量。为了了解降水量对生产力的直接影响,我们需要控制温度的影响。

偏相关分析是一种重要的统计技术,用于在控制其他变量(称为控制变量或协变量)的影响后,评估两个变量之间的净相关关系。在生态学研究中,变量间的关系往往受到多种环境因子的共同影响,简单的双变量相关分析可能无法揭示变量间的真实关系。偏相关分析通过数学方法“剥离”控制变量的影响,使我们能够更准确地评估目标变量间的直接关系。

这种方法的理论基础可以追溯到 20 世纪初,但直到多元统计方法的发展才在生态学中得到广泛应用。偏相关分析的核心思想是:如果两个变量  $X$  和  $Y$  都与第三个变量  $Z$  相关,那么  $X$  和  $Y$  之间的简单相关可能部分或完全由它们与  $Z$  的共同关系所驱动。通过控制  $Z$  的影响,我们可以得到  $X$  和  $Y$  之间的“纯净”相关,即排除了  $Z$  的混淆效应后的直接关系。

偏相关系数的计算基于残差分析的思想。具体而言,我们首先通过线性回归分别从  $X$  和  $Y$  中去除  $Z$  的影响,得到两个残差序列,然后计算这两个残差序列之间的相关系数。这个相关系数就是  $X$  和  $Y$  在控制  $Z$  后的偏相关系数。不过目前我们还未涉及回归的知识,因此我们来介绍一种计算上更加简单的方式。

**数学定义:** 对于变量  $X$ 、 $Y$  和控制变量  $Z$ ,  $X$  和  $Y$  在控制  $Z$  后的偏相关系数为:

$$r_{XY.Z} = \frac{r_{XY} - r_{XZ}r_{YZ}}{\sqrt{(1 - r_{XZ}^2)(1 - r_{YZ}^2)}}$$

其中  $r_{XY}$ 、 $r_{XZ}$ 、 $r_{YZ}$  分别是相应的 Pearson 相关系数。

从数学上看，偏相关系数可以理解为在保持  $Z$  不变的情况下， $X$  和  $Y$  之间的条件相关。有兴趣的同学可以自行证明一下，该定义与上述提到的残差定义方法，其实是等价的。

### R 代码实现：

```
## 降水量与生产力的简单相关系数： 0.33
```

表 5.1 偏相关系数矩阵

|               | precipitation | temperature | productivity |
|---------------|---------------|-------------|--------------|
| precipitation | 1.000         | -0.223      | 0.389        |
| temperature   | -0.223        | 1.000       | 0.666        |
| productivity  | 0.389         | 0.666       | 1.000        |

```
## ## 控制温度后，降水量与生产力的偏相关系数： 0.389
```

在生态学应用中，偏相关分析具有极其重要的价值。例如，在研究森林生产力与降水量的关系时，温度可能同时影响这两个变量——温度较高时通常降水量也较多，同时温度本身也直接影响植物的光合作用效率。如果不控制温度的影响，我们可能会高估降水量对生产力的直接作用。偏相关分析能够帮助我们识别这种“伪相关”或“间接相关”，从而更准确地理解生态系统的内在机制。此外，偏相关分析在生态网络构建、物种相互作用分析、环境因子筛选等复杂生态学问题中都有广泛应用。然而，生态学家需要注意，偏相关分析仍然基于线性关系的假设，且要求控制变量与目标变量之间的关系大致满足线性模型的前提条件。在高度非线性的生态系统中，偏相关分析的结果需要谨慎解释。

## 5.3 生态变量的非线性相关

生态系统中许多关系都是非线性的，如物种-面积关系、剂量-响应关系、种群增长模型等。传统的线性相关方法往往无法充分描述这些复杂模式。非线性关系度量包括后面将要介绍的距离相关、互信息等方法，它们不依赖于线性假设，能够捕捉各种复杂的关系模式。在生态学研究中，非线性关系比线性关系更为普遍，因为生态系统中的许多过程都涉及阈值效应、饱和效应、最优区间和反馈机制等非线性动态。例如，物种-面积关系通常呈现幂律形式，种群增长遵循逻辑斯蒂曲线，功能性状间的权衡关系可能呈现 U 型或 S 型模式，物种对环境梯度的响应往往存在最优区间。这些复杂的非线性模式无法用传统的线性相关方法来充分描述，因此需要专门的非线性关系度量方法。

距离相关和互信息是两种主要的非线性关系度量方法，它们各有特点和适用场景。距离相关基于变量在距离空间中的协方差来度量依赖关系，能够检测任何形式的统计依赖，包括线性和非线性关系。它的一个重要性质是当且仅当两个变量相互独立时，距离相关系数等于零，这使其成为检验变量独立性的

有力工具。距离相关对变量的分布形式没有要求，适用于连续变量和混合类型的数据，但在计算复杂度上相对较高，特别是对于大样本数据。

互信息则基于信息论的概念，量化两个变量间共享的信息量。它能够检测任何类型的统计依赖关系，包括线性和非线性关系、单调和非单调关系。互信息的一个重要优势是它对变量的数据类型没有限制，可以处理连续变量、离散变量和分类变量，这使其特别适合生态学中常见的混合数据类型分析。此外，互信息具有清晰的信息论解释，能够提供关于变量间信息共享程度的直观理解。

除了距离相关和互信息，还有其他非线性关系度量方法，如基于核的方法、基于图的方法和基于模型的方法。基于核的方法通过将数据映射到高维特征空间来检测非线性关系，基于图的方法通过构建变量间的图结构来识别依赖关系，基于模型的方法则通过拟合非线性模型来量化关系强度。在生态学实践中，选择哪种非线性关系度量方法需要考虑数据的特征、研究的目的和计算资源的限制。通常建议使用多种方法进行比较，以获得对生态关系更全面和稳健的认识。

### 5.3.1 距离相关

在研究植物功能性状之间的关系时，我们可能发现某些性状间存在复杂的非线性关系，传统的线性相关方法无法有效捕捉这些模式。

距离相关是一种革命性的非参数相关性度量方法，由统计学家 Gábor J. Székely 等人于 2007 年提出，它能够检测任意分布变量间的依赖关系，包括线性和非线性关系。与传统的相关性度量方法不同，距离相关不依赖于变量间的线性或单调关系假设，而是基于变量间距离的协方差来度量相关性。这种方法的独特之处在于它能够检测任何形式的统计依赖关系，只要这种依赖关系在概率意义上是存在的。

距离相关的核心概念是距离协方差和距离方差，这些概念扩展了传统的协方差和方差概念，使其能够捕捉更复杂的依赖模式。距离协方差度量的是两个变量在距离空间中的协同变化程度，而距离方差则度量单个变量在距离空间中的变异程度。

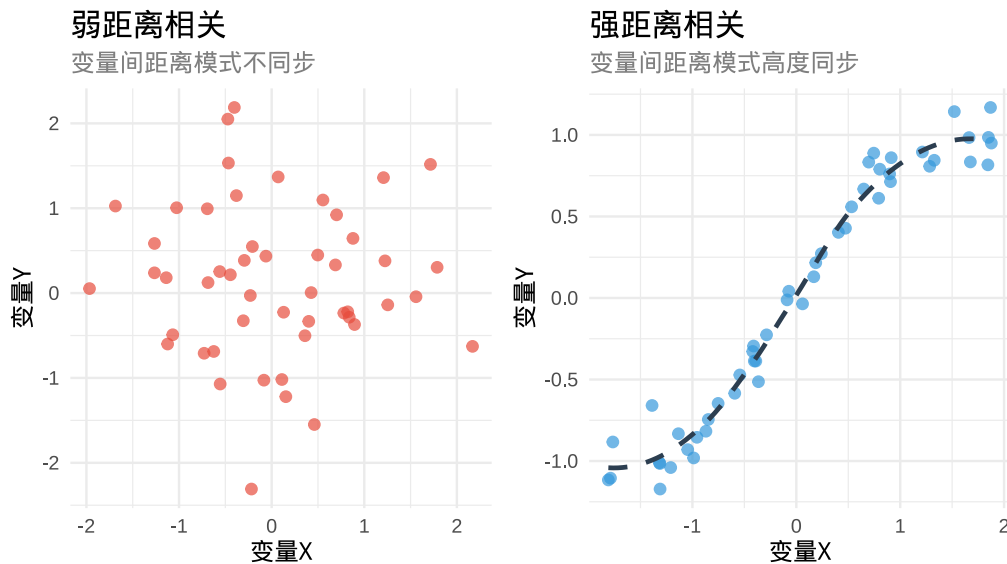
**数学定义：**对于两个变量  $X$  和  $Y$ ，距离相关系数定义为：

$$dCor(X, Y) = \frac{dCov(X, Y)}{\sqrt{dVar(X)dVar(Y)}}$$

其中  $dCov$  是距离协方差， $dVar$  是距离方差。距离协方差就是量化这种“距离同步性”的程度。如果两个变量的距离模式高度同步，距离协方差就大；如果它们的距离模式没有关系，距离协方差就接近 0。距离方差则衡量单个变量内部的“距离变异”程度。如果一个变量的所有值都很接近，距离方差就小；如果值之间差异很大，距离方差就大。

距离相关的核心思想很简单：通过比较所有数据点之间的距离模式来检测变量间的依赖关系。想象你有两个变量，比如植物的叶面积和光合速率。如果这两个变量相关，那么当两个植物的叶面积很接近时，它们的光合速率也应该很接近；当两个植物的叶面积差异很大时，它们的光合速率差异也应该很大。为了更直观地理解距离相关的概念，我们可以通过下面的示意图来展示弱距离相关和强距离相关的区别：

**距离相关强弱对比示意图**  
基于变量间距离模式的同步性检测依赖关系



左图：当两个数据点在X上接近时，在Y上不一定接近（弱相关）  
右图：当两个数据点在X上接近时，在Y上也接近（强相关）

图 5.4 距离相关强弱对比示意图：左图显示弱距离相关（变量间距离模式不同步），右图显示强距离相关（变量间距离模式高度同步）

上图显示了弱距离相关和强距离相关的区别：

- **弱距离相关**（左图）：变量 X 和 Y 之间没有明显的依赖关系。当两个数据点在 X 轴上很接近时，它们在 Y 轴上的值可能相差很大，反之亦然。这种距离模式的不同步导致距离相关系数接近 0。
- **强距离相关**（右图）：变量 X 和 Y 之间存在明显的非线性依赖关系。当两个数据点在 X 轴上很接近时，它们在 Y 轴上的值也很接近；当两个数据点在 X 轴上相距较远时，它们在 Y 轴上的值也相距较远。这种距离模式的同步性导致距离相关系数接近 1。

距离相关的核心思想正是通过比较所有数据点之间的距离模式来检测变量间的依赖关系。如果两个变量的距离模式高度同步（强相关），那么距离协方差就大；如果它们的距离模式没有关系（弱相关），距离协方差就接近 0。

距离相关系数的取值范围在 0 到 1 之间，其中 0 表示变量间完全独立，1 表示变量间存在确定的函数关系。值得注意的是，距离相关具有一个非常重要的性质：当且仅当两个变量相互独立时，距离相关系数等于 0。这一性质使得距离相关成为检验变量独立性的有力工具。

在生态学研究中，这种特性具有重要的应用价值。许多生态关系本质上是非线性的，如物种-面积关系、功能性状权衡、种群动态模型等，传统的线性相关方法往往无法充分描述这些复杂模式。距离相关能够有效捕捉这些非线性关系，为生态学家提供了更全面的分析工具。例如，在分析植物功能性状间的关系时，我们可能发现叶面积与比叶重之间存在 U 型关系——中等大小的叶片具有最高的比叶重，而过大或过小的叶片比叶重较低。这种复杂的非线性关系用 Pearson 或 Spearman 相关可能无法有效检测，但距离相关能够给出显著的非零值。此外，距离相关对变量的分布形式没有要求，适用于连续变量、

离散变量甚至混合类型的数据，这使其在处理生态学中常见的复杂数据类型时具有明显优势。然而，生态学家需要注意，距离相关的计算复杂度较高，对于大样本数据可能需要较长的计算时间，且其统计性质在小样本情况下的表现仍需谨慎评估。

## 距离相关系数： 0.454

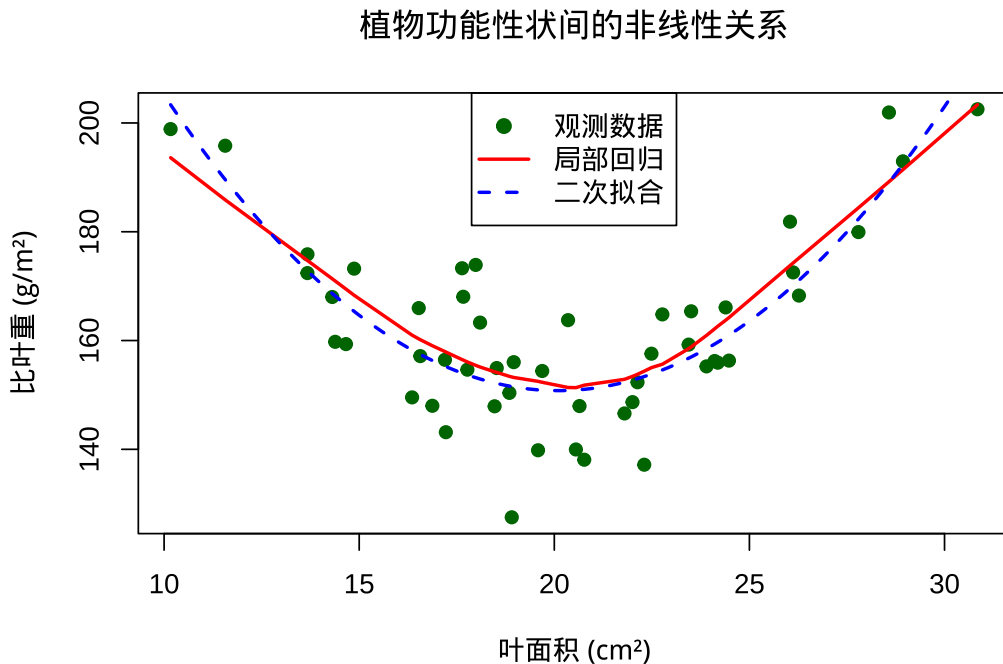


图 5.5 植物功能性状间的非线性关系散点图，显示 U 型关系

### 5.3.2 互信息

在生态学中，许多变量间的关系并非简单的线性或单调模式，而是复杂的非线性依赖。例如在研究环境因子对物种分布的联合影响时，我们想要量化多个环境变量共同包含的关于物种分布的信息量。这时，传统的相关性分析方法可能无法充分捕捉这些复杂关系，因此需要更灵活的度量方法。

互信息是基于信息论的依赖关系度量，它量化了两个变量间共享的信息量。与传统的相关性不同，互信息能够捕捉任何类型的统计依赖关系。互信息的概念源于信息论，由克劳德·香农在 1948 年提出，最初用于通信系统中的信息传输研究，后来被广泛应用于统计分析和机器学习领域。

互信息的核心思想是衡量知道一个变量的值能够减少另一个变量不确定性的程度。从信息论的角度来看，如果两个变量完全独立，那么知道其中一个变量的值不会提供关于另一个变量的任何信息，此时互信息为零；如果两个变量存在完全确定的函数关系，那么知道一个变量的值就能完全确定另一个变量，此时互信息达到最大值。

**数学定义：**对于两个离散随机变量  $X$  和  $Y$ ，互信息定义为：

$$I(X; Y) = \sum_{x \in X} \sum_{y \in Y} p(x, y) \log \left( \frac{p(x, y)}{p(x)p(y)} \right)$$

对于连续变量，需要使用积分形式。其中， $p(x, y)$  表示变量  $X$  和  $Y$  联合概率质量函数， $p(x)$  和  $p(y)$  分别表示变量  $X$  和  $Y$  的边缘概率质量函数。

互信息的一个重要特性是它对变量间关系的类型没有限制，能够检测线性和非线性关系、单调和非单调关系，甚至是复杂的多模态关系。这种普适性使得互信息在生态学研究中具有独特的优势，因为许多生态关系本质上是非线性和复杂的。例如，在研究环境因子对物种分布的影响时，物种对环境梯度的响应往往不是简单的线性关系，而是存在阈值效应、饱和效应或最优区间等复杂模式。互信息能够有效捕捉这些复杂的依赖关系，而传统的线性相关方法可能会遗漏重要的生态信息。

另一个重要特点是互信息对变量的分布形式没有严格要求，适用于连续变量、离散变量甚至混合类型的数据。在生态学中，我们经常需要处理不同类型的数据，如连续的环境变量（温度、降水）、离散的分类变量（生境类型、土壤类型）和二元变量（物种出现/缺失）。互信息提供了一个统一的框架来处理这些不同类型变量间的依赖关系。

此外，互信息具有对称性，即  $I(X; Y) = I(Y; X)$ ，这反映了变量间信息共享的相互性。互信息的取值范围从 0 到正无穷，其中 0 表示变量间完全独立，正值表示存在信息共享。为了便于解释，有时会将互信息标准化到  $[0,1]$  区间，如通过除以变量的熵来得到标准化互信息。在生态学应用中，互信息特别适合用于特征选择、生态网络构建、物种分布建模等需要处理复杂非线性关系的场景。

#### R 代码实现：

```
# 计算互信息
library(infotheo) # 需要安装: install.packages("infotheo")

load("data/mutinformation.RData")
# 离散化连续变量 (互信息计算需要离散数据)
temp_disc <- discretize(temperature, disc = "equalfreq", nbins = 5)
precip_disc <- discretize(precipitation, disc = "equalfreq", nbins = 5)

# 计算互信息
mi_temp <- mutinformation(temp_disc, species_presence)
mi_precip <- mutinformation(precip_disc, species_presence)
mi_joint <- mutinformation(cbind(temp_disc, precip_disc), species_presence)

## 互信息分析结果：
## 温度与物种出现的互信息：0.038
## 降水量与物种出现的互信息：0.032
## 温度与降水量联合与物种出现的互信息：0.089
```

图5.6展示了环境因子与物种分布之间的非线性关系，采用逻辑回归曲线可视化二元响应变量（物种出现/不出现）与连续环境因子的关系。该图采用双面板布局，左侧显示温度与物种出现的关系，右侧显示降水量与物种出现的关系。蓝色半透明圆点表示温度观测数据，绿色半透明圆点表示降水量观测数据，红色曲线为逻辑回归拟合线，表示物种出现的概率随环境因子变化的趋势。这种可视化方法能够清晰地展示环境因子对物种分布的非线性影响，特别适用于生态位模型和物种分布预测研究。逻辑回归曲线呈现典型的 S 型特征，反映了物种对环境因子的响应阈值，为理解物种-环境关系提供了直观的图形表示。

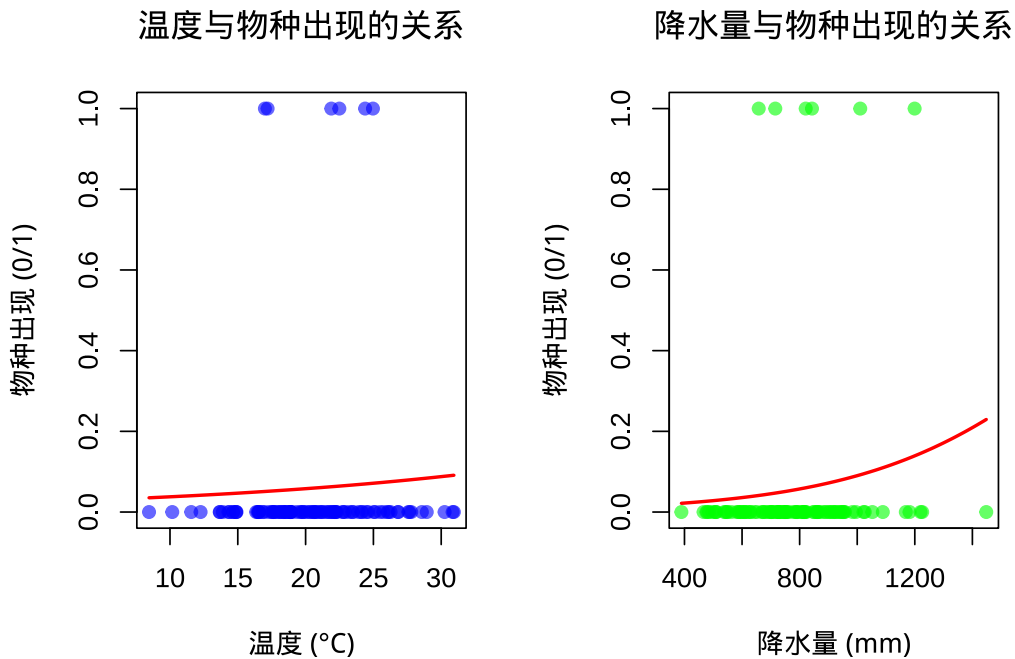


图 5.6 环境因子与物种分布的关系逻辑回归曲线

## 5.4 时间序列的自相关

在前面的章节中，我们讨论了不同变量之间的相关性，如植物的叶面积与光合速率之间的关系。然而，在生态学研究中，许多数据还具有时间或空间依赖性，即同一变量在不同时间点或空间位置上的观测值之间往往存在某种关联。这种“自己与自己”的关联性被称为自相关，它反映了生态过程在时间或空间上的连续性。与变量间的相关性不同，自相关关注的是同一变量内部的时间或空间依赖模式。理解自相关对于正确分析生态数据至关重要，因为忽略自相关可能导致统计推断的错误。

### 时间自相关的生态学意义：

时间自相关是指同一变量在不同时间点上的观测值之间的相关性，其本质反映了生态系统的记忆效应与连续性。在自然界中，很少有生态过程是完全随机的——今天的种群数量会影响明天的数量，本月的降水量会影响下月的土壤湿度。这种依赖性源于多种生态机制：环境条件的持续性（如干旱或湿润期的延续）、生物种群的世代更迭以及资源利用的累积效应。因此，在诸如种群动态、气候变化与物候变化等在时间尺度上具有内在连续性的生态过程中，时间自相关分析成为我们理解其动态特征与内在规律的关键工具。

### 时间自相关主要分为三种类型：

- **正自相关**：高值倾向于跟随高值，低值倾向于跟随低值。这反映了生态过程的惯性特征，如种群增长的持续性、气候变化的趋势性。强正自相关表明系统具有较强的记忆效应。
- **负自相关**：高值倾向于跟随低值，低值倾向于跟随高值。这反映了过度补偿或振荡调节机制，如捕食-被捕食系统的周期性波动、资源竞争的反馈调节。

- **无自相关**: 观测值之间相互独立, 没有明显的时间模式。这通常出现在纯粹的随机过程中, 如某些环境噪声或短期天气波动。

理解时间自相关对生态数据分析至关重要。忽略时间自相关会导致统计推断的偏差——低估标准误、增加假阳性风险、错误估计置信区间。在生态学研究中, 正识别和处理时间自相关是获得可靠科学结论的基础。

#### 5.4.1 生态学中的时间自相关实例

为了直观理解不同强度的时间自相关, 让我们通过几个典型的生态学实例来观察:

##### 生态学中时间自相关的三种典型模式

基于不同生态过程的时间连续性特征

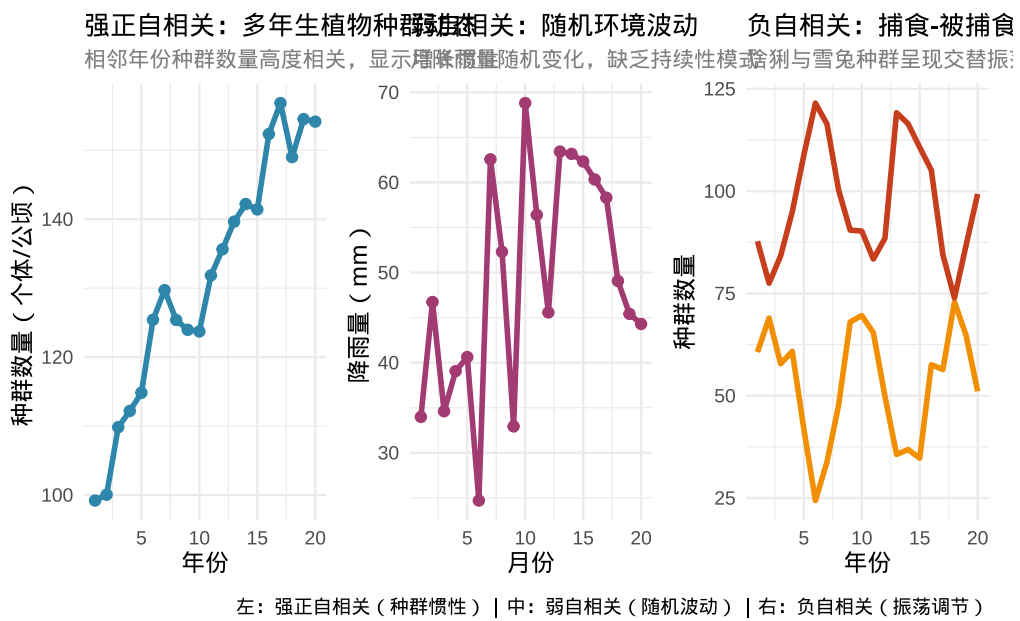


图 5.7 生态学中不同强度时间自相关的实例对比: 左图显示强正自相关 (多年生植物种群动态), 中图显示弱自相关 (随机环境波动), 右图显示负自相关 (捕食-被捕食系统振荡)

上图说明了生态学中不同强度时间自相关的实例:

- **强正自相关 (左图)**: 多年生植物种群动态显示明显的增长趋势, 相邻年份的种群数量高度相关。这种模式反映了种群增长的惯性效应——良好的环境条件和繁殖成功会持续影响后续年份的种群规模。
- **弱自相关 (中图)**: 月降雨量的随机波动缺乏明显的连续模式, 每个月的降雨量相对独立。这种模式常见于短期环境因素的随机变化, 如局部天气系统的快速更替。
- **负自相关 (右图)**: 捕食者 (猞猁) 和被捕食者 (雪兔) 种群呈现明显的交替振荡。当一个物种达到高峰时, 另一个物种处于低谷, 形成了典型的负自相关模式, 反映了生态系统中生物相互作用的反馈调节机制。

这些实例清晰地展示了时间自相关在生态学研究中的普遍性和重要性。正确识别这些模式有助于我们理解生态过程的动态机制，并为建立准确的生态模型提供基础。

### 5.4.2 自相关函数 (ACF): 时间依赖性的量化

假设我们正在研究一个湖泊中浮游植物生物量的季节变化，我们记录了连续 36 个月的观测数据，想要了解生物量在不同时间滞后下的自相关性模式。

自相关函数是时间序列分析中最基础的工具之一，用于量化时间序列在不同时间滞后下的自相关性强度。ACF 的核心思想是计算时间序列与其自身在不同时间滞后下的相关系数，从而揭示时间序列中的周期性、趋势和记忆效应。对于时间滞后  $k$ ，自相关系数  $\rho_k$  定义为时间序列  $X_t$  与  $X_{t+k}$  之间的相关系数。ACF 的取值范围在 -1 到 1 之间，正值表示正自相关（即高值倾向于跟随高值，低值倾向于跟随低值），负值表示负自相关（即高值倾向于跟随低值，低值倾向于跟随高值），0 值表示没有自相关。

在生态学研究中，ACF 具有重要的应用价值。例如，在分析种群动态时，显著的正自相关可能表明种群具有惯性效应或密度依赖性调节；显著的负自相关可能表明存在过度补偿机制；周期性模式可能反映季节性波动或多年周期。ACF 还能帮助识别时间序列中的趋势成分——如果 ACF 缓慢衰减，表明存在趋势；如果 ACF 快速衰减到零，表明序列是平稳的。此外，ACF 在构建时间序列模型（如 ARIMA 模型）时也起着关键作用，它为选择合适的模型阶数提供了重要依据。

**数学定义：**对于时间序列  $\{X_t\}$ ，滞后  $k$  的自相关系数定义为：

$$\rho_k = \frac{\sum_{t=k+1}^n (X_t - \bar{X})(X_{t-k} - \bar{X})}{\sum_{t=1}^n (X_t - \bar{X})^2}$$

其中  $n$  是时间序列长度， $\bar{X}$  是序列的样本均值。

接下来就让我们用 ACF 这个工具，来看看上面的三个例子中的时间自相关模式。

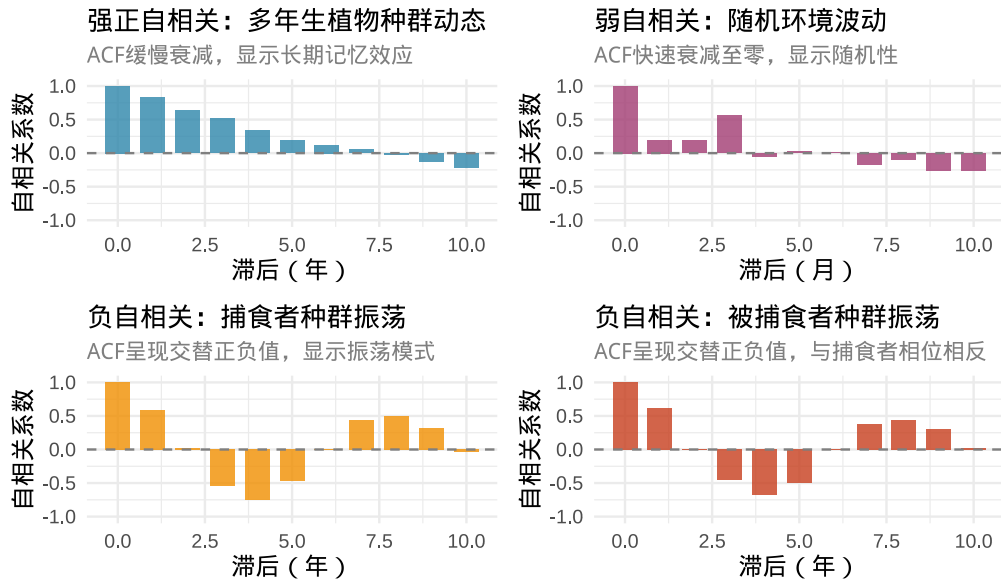
图5.8系统展示了生态学中常见的四种时间自相关模式的自相关函数特征。该  $2\times 2$  组合图采用 ggplot2 包创建，每个子图使用不同颜色区分不同的生态过程：蓝色表示强正自相关（多年生植物种群动态），紫色表示弱自相关（随机环境波动），橙色表示捕食者种群的负自相关振荡，红色表示被捕食者种群的负自相关振荡。强正自相关模式显示 ACF 缓慢衰减，反映了生态系统的长期记忆效应；弱自相关模式显示 ACF 快速衰减至零，体现了随机环境波动的时间独立性；捕食者与被捕食者种群的负自相关模式呈现交替正负值，直观展示了捕食-被捕食系统的振荡动力学特征。这种可视化方法为生态学家识别时间序列数据的自相关结构提供了有力的工具，有助于理解不同生态过程的时间动态特征。

```
## 四种时间序列的自相关函数（滞后1）结果：
## 强正自相关序列：0.823
## 弱自相关序列：0.195
## 捕食者序列：0.593
## 被捕食者序列：0.623
```

**生态学意义：**自相关函数在生态学中广泛应用于检测种群波动的周期性、环境因子的记忆效应、生

### 四种时间自相关模式的自相关函数特征

基于不同生态过程的时间连续性模式



左上：强正自相关（缓慢衰减） | 右上：弱自相关（快速衰减） | 左下：捕食者负自相关 | 右下：被捕食者负自相关

图 5.8 四种时间自相关模式的自相关函数对比：左上显示强正相关的缓慢衰减模式，右上显示弱自相关的快速衰减模式，左下显示捕食者种群的负自相关振荡模式，右下显示被捕食者种群的负自相关振荡模式

态过程的持续性等时间动态特征。

#### 5.4.3 偏自相关函数 (PACF): 直接时间依赖的识别

偏自相关函数是时间序列分析中的另一个重要工具，它度量了在控制中间时间滞后影响后，时间序列与其自身在特定滞后下的直接相关性。例如，在研究森林年轮宽度的时间序列时，我们想要区分不同时间滞后对当前年轮宽度的直接影响和间接影响。当我们想要了解前年年轮宽度对今年年轮宽度的关系时，需要排除去年年轮宽度这个“中间人”的影响。换句话说，PACF 回答的问题是：“在控制了去年年轮宽度的影响后，前年年轮宽度对今年年轮宽度还有没有直接的因果关系？”这种分析帮助我们识别时间序列中真正需要的过去时间点数量，从而为建立准确的自回归模型提供关键依据。

与自相关函数不同，PACF 排除了通过中间滞后传递的间接相关性，只保留直接的相关性。这种特性使得 PACF 在识别时间序列模型的自回归阶数（我们将在第 10 章中介绍自回归模型，现在仅知道有这样的分析就行）时特别有用。对于滞后  $k$ ，偏自相关系数  $\phi_{kk}$  可以理解为在回归模型  $X_t = \phi_1 X_{t-1} + \phi_2 X_{t-2} + \dots + \phi_k X_{t-k} + \epsilon_t$  中，系数  $\phi_k$  的估计值。

PACF 的计算通常基于 Yule-Walker 方程或通过逐步回归方法实现。在生态学时间序列分析中，PACF 的主要作用是帮助确定自回归模型的合适阶数。如果 PACF 在滞后  $p$  之后截尾（即之后的偏自相关系数不再显著），那么  $p$  阶自回归模型可能是合适的。这种截尾模式为构建 ARIMA 模型提供了重要依据。例如，在分析气候时间序列时，PACF 可以帮助识别气候系统的记忆长度；在分析种群动态时，PACF 可以揭示密度依赖调节的时间尺度。

为了更直观地理解 PACF 的应用，我们将在下面的森林年轮宽度示例中演示如何计算和解释 PACF (见5.10)，并与 ACF 进行比较 (见5.11)。

PACF 与 ACF 的结合使用能够提供对时间序列结构的全面理解。ACF 反映了总的相关性（包括直接和间接相关性），而 PACF 只反映直接相关性。这种区别在生态学应用中非常重要，因为它帮助我们区分生态过程中的直接因果联系和通过中间过程传递的间接联系。例如，在食物网动态中，捕食者与猎物的关系可能通过多个营养级传递，PACF 可以帮助识别直接的相互作用关系。

**数学定义：**偏自相关系数  $\phi_{kk}$  可以通过求解 Yule-Walker 方程得到：

$$\begin{bmatrix} \rho_0 & \rho_1 & \cdots & \rho_{k-1} \\ \rho_1 & \rho_0 & \cdots & \rho_{k-2} \\ \vdots & \vdots & \ddots & \vdots \\ \rho_{k-1} & \rho_{k-2} & \cdots & \rho_0 \end{bmatrix} \begin{bmatrix} \phi_{k1} \\ \phi_{k2} \\ \vdots \\ \phi_{kk} \end{bmatrix} = \begin{bmatrix} \rho_1 \\ \rho_2 \\ \vdots \\ \rho_k \end{bmatrix}$$

其中：

- $\rho_j$ : 滞后  $j$  的自相关系数，表示时间序列与其自身在  $j$  个时间单位后的相关性强度。其中  $\rho_0 = 1$  表示时间序列与自身的完全相关。
- $\phi_{kj}$ : 在  $k$  阶偏自相关模型中，滞后  $j$  的偏自回归系数。这个系数表示在控制了其他滞后项的影响后，滞后  $j$  对当前值的直接影响强度。
- $\phi_{kk}$ : 滞后  $k$  的偏自相关系数，这是 PACF 的核心输出。它表示在排除了滞后 1 到  $k-1$  的所有中间影响后，滞后  $k$  对当前值的直接相关性。
- 矩阵左侧的 Toeplitz 矩阵：由自相关系数构成的对称矩阵，反映了时间序列在不同滞后下的相关性结构。
- 矩阵右侧的向量：包含从滞后 1 到滞后  $k$  的自相关系数，表示我们想要解释的总相关性模式。

这个方程组通过求解偏自回归系数  $\phi_{kj}$ ，最终得到我们关心的偏自相关系数  $\phi_{kk}$ 。

#### R 代码实现：

接下来我们通过一个森林年轮宽度的具体案例来演示偏自相关函数的应用。这个例子将展示如何：

1. 计算并可视化偏自相关函数 (见5.10)
2. 比较 ACF 和 PACF 的差异 (见5.11)
3. 使用统计方法确定最优的自回归模型阶数

首先，我们可视化原始的时间序列数据，这有助于直观理解数据的动态特征：

```
load("data/tree_ring_width.RData")
# 可视化原始时间序列
plot(years, tree_ring_width,
  type = "l", lwd = 2, col = "darkgreen",
```

```

xlab = "年份", ylab = "年轮宽度 (mm)",
main = "森林年轮宽度的时间序列"
)

```

森林年轮宽度的时间序列

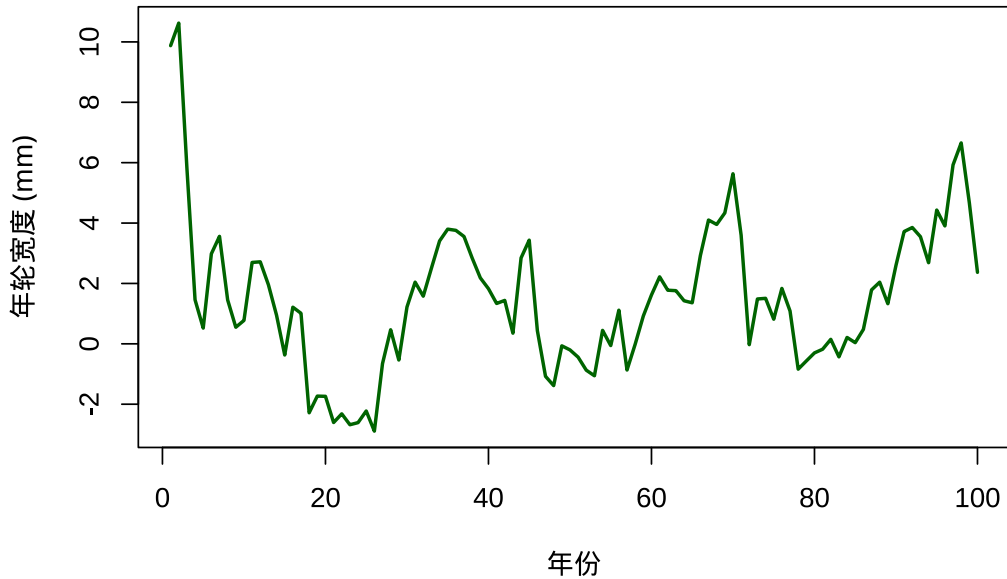


图 5.9 森林年轮宽度的时间序列图

然后，我们计算 PACF：

```

load("tree_ring_width.RData")
# 计算偏自相关函数
pacf_result <- pacf(tree_ring_width, lag.max = 15, plot = FALSE)

# 可视化偏自相关函数
plot(pacf_result,
      main = "森林年轮宽度的偏自相关函数",
      xlab = "滞后 (年)", ylab = "偏自相关系数")
)
abline(h = 0, lty = 2)

## 关键滞后下的偏自相关系数：
## 滞后1年: 0.782
## 滞后2年: -0.252
## 滞后3年: 0.254

```

现在我们来比较 ACF 和 PACF 的差异，这有助于理解两种函数在识别时间序列结构时的不同作用：

图5.11展示了森林年轮宽度时间序列的自相关函数与偏自相关函数对比。该双面板图采用并排布局，左侧为自相关函数图，显示年轮宽度与自身滞后值之间的总相关性；右侧为偏自相关函数图，显示在控制中间滞后影响后，年轮宽度与特定滞后值之间的直接相关性。通过对两种函数，可以识别时间序列的自回归结构：ACF 的缓慢衰减模式表明时间序列具有持续性特征，而 PACF 的截尾模式则有助于确定自回归模型的合适阶数。在生态学应用中，这种对比分析对于理解森林生长对环境因子的响应模式、识别气候变化的滞后效应以及构建准确的时间序列预测模型具有重要意义。

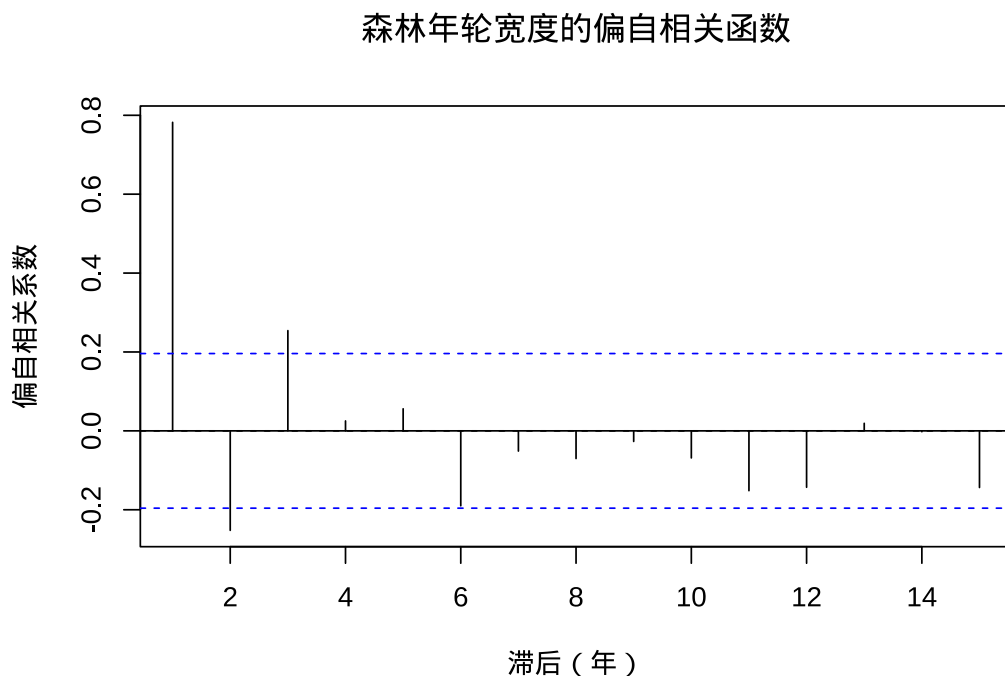


图 5.10 森林年轮宽度的偏自相关函数

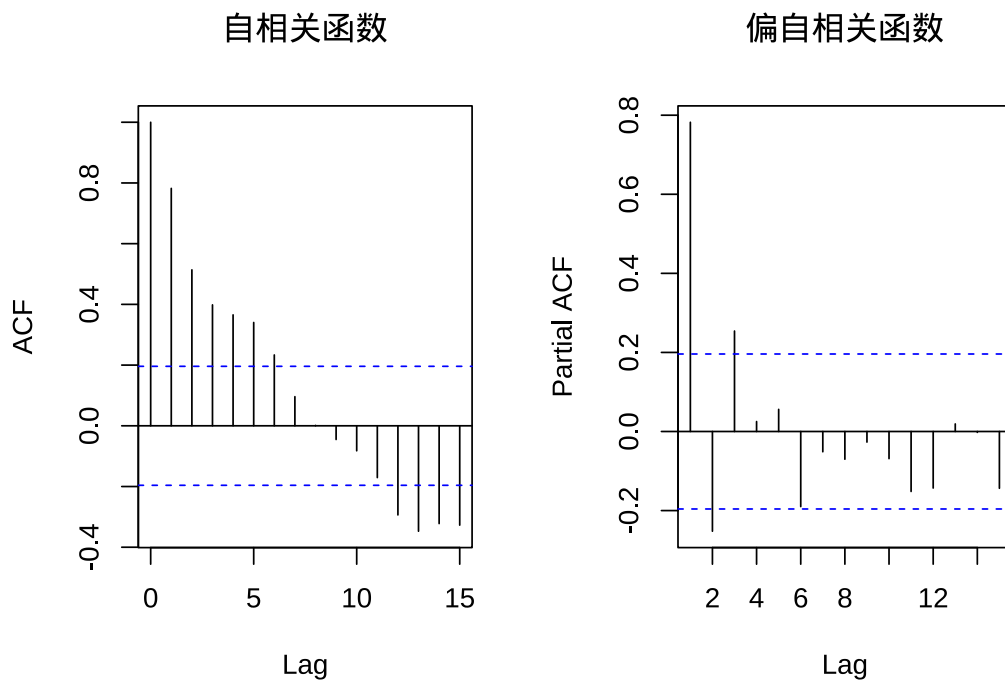


图 5.11 森林年轮宽度的自相关函数与偏自相关函数对比

接下来，我们使用统计方法来确定最优的自回归模型阶数。这在实际生态学研究中非常重要，可以帮助我们选择最合适的模型来描述生态过程：

```
# 拟合 AR 模型并确定最优阶数
library(forecast)

# 使用 AIC 准则选择最优 AR 模型阶数
best_ar <- auto.arima(tree_ring_width,
  max.p = 10, max.q = 0, max.d = 0,
  seasonal = FALSE, stepwise = FALSE, approximation = FALSE
)
cat("\n最优 AR 模型阶数: ", best_ar$arma[1], "\n",
  " 模型系数: \n")

## 
## 最优AR模型阶数:  3
## 模型系数:

print(coef(best_ar))

##           ar1          ar2          ar3  intercept
##  1.1139434 -0.5072173  0.2773914  2.0968099
```

**生态学意义：**偏自相关函数在生态学中主要用于识别时间序列模型的自回归阶数，帮助理解生态过程的直接时间依赖关系和内在动态机制。通过上面的森林年轮宽度示例（见5.10和5.11），我们可以看到PACF如何帮助识别生态时间序列中的直接时间依赖关系，为构建准确的生态模型提供重要依据。

#### 5.4.4 时间序列平稳性：分析的基础假设

在分析鸟类种群数量的长期监测数据时，我们需要首先检验时间序列的平稳性，因为非平稳时间序列可能导致伪相关和错误的统计推断。

时间序列平稳性是时间序列分析的基本假设，指的是时间序列的统计特性（如均值、方差和自相关结构）不随时间变化。具体而言，严格平稳要求时间序列的任意有限维联合分布都不随时间平移而改变，而弱平稳（也称为二阶平稳）只要求均值恒定、方差有限且自协方差只依赖于时间差而不依赖于具体时间点。在生态学实践中，我们通常关注弱平稳性，因为它更容易检验且对于大多数时间序列分析方法已经足够。

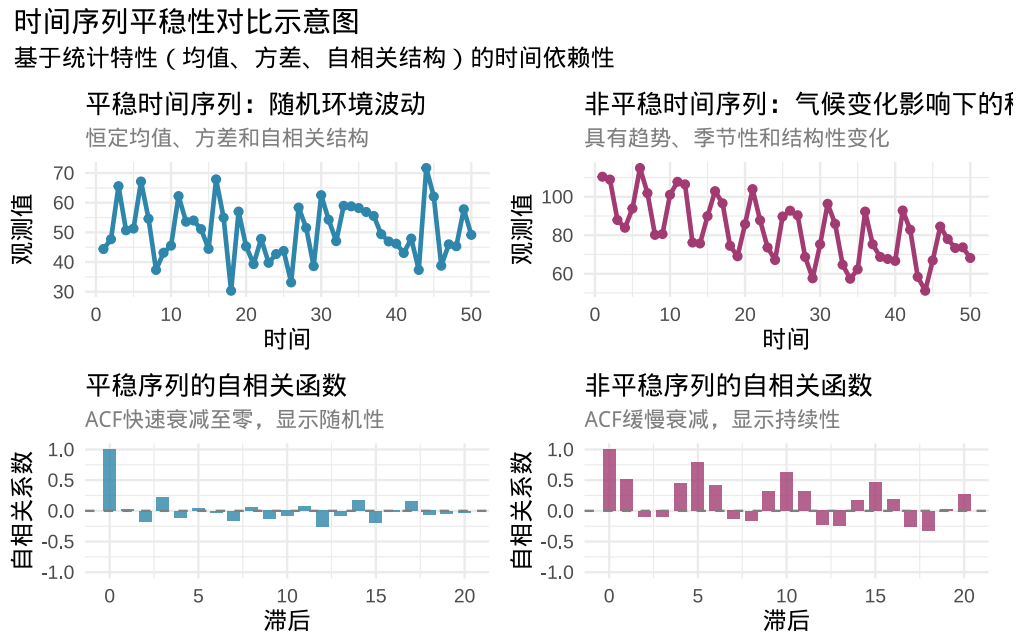
**数学定义：**弱平稳时间序列满足：

1.  $E[X_t] = \mu$  (常数均值)
2.  $Var[X_t] = \sigma^2 < \infty$  (有限常数方差)
3.  $Cov[X_t, X_{t+k}] = \gamma_k$  (自协方差只依赖于滞后  $k$ , 不依赖于  $t$ )

为了直观理解时间序列平稳性的概念，让我们对比一下平稳和非平稳时间序列的典型特征。

上面的对比图（见5.12）清晰地展示了平稳时间序列和非平稳时间序列在统计特性上的根本差异，这对于理解时间序列分析的基本假设至关重要。

在平稳时间序列的左侧部分，我们可以看到随机环境波动（如月降雨量）显示典型的平稳特征。时间序列图显示序列围绕一个固定的水平线（约 50 个单位）波动，既没有明显的上升或下降趋势，也没有系统性模式，观测值之间相互独立。这种恒定均值和恒定方差的特性正是平稳序列的核心特征。自相



上图：时间序列模式对比 | 下图：自相关函数特征对比  
平稳序列：恒定统计特性 | 非平稳序列：随时间变化的统计特性

图 5.12 时间序列平稳性对比示意图：左图显示平稳时间序列（恒定统计特性），右图显示非平稳时间序列（具有趋势和季节性变化）

相关函数图进一步证实了平稳性，自相关系数在滞后 1 之后迅速衰减到接近零，表明除了自身相关外，其他滞后的相关系数都不显著，序列缺乏持续性，当前观测值对未来的预测价值有限。

相比之下，非平稳时间序列的右侧部分展现了完全不同的特征。气候变化影响下的鸟类种群动态显示明显的非平稳性，时间序列图中可见明显的下降趋势，从约 100 单位下降到约 60 单位，反映了种群数量的长期变化。同时序列还表现出周期性的波动模式，显示了年际变化的规律性，随机游走成分更增加了序列的不可预测性和持续性。自相关函数图呈现出缓慢衰减的模式，自相关系数在多个滞后上保持显著正值，显示强烈的持续性和长期记忆效应，当前观测值对未来具有较强的预测价值。然而，这种高自相关主要源于序列中的趋势成分，而非真正的统计依赖。

在生态学研究中，正确识别时间序列的平稳性具有重要的实践意义。对于平稳序列，如随机环境波动，由于其统计特性稳定，适合直接应用经典的时间序列方法，统计推断相对可靠。而对于非平稳序列，如受气候变化影响的种群动态，则需要先进行平稳化处理，如差分、变换等方法，否则可能导致严重的统计问题。趋势相似的序列可能显示虚假的相关关系，模型可能错误地拟合趋势而非真实的生态关系，置信区间和假设检验也可能严重偏离真实情况。通过图示法识别平稳性是最直观的检验方法，为后续的统计分析和生态解释提供基础保障。

平稳性检验在生态学时间序列分析中具有至关重要的意义。许多经典的时间序列方法，如自回归模型、移动平均模型和谱分析，都建立在平稳性假设的基础上。如果时间序列是非平稳的，直接应用这些方法可能导致严重的统计问题，如伪回归 (spurious regression) 和无效的假设检验。生态学中的许多时间序列都表现出非平稳特征，如长期趋势（气候变化导致的温度上升）、季节性变化（物候的季节性波动）、结构性断点（生态系统突变事件）等。

检验时间序列平稳性的常用方法包括图示法、自相关函数分析、单位根检验（如 ADF 检验、KPSS 检验）等。图示法通过观察时间序列图来识别明显的趋势或季节性模式；自相关函数分析通过检查 ACF 的衰减模式来判断平稳性——平稳时间序列的 ACF 应该快速衰减到零，而非平稳时间序列的 ACF 通常衰减缓慢；单位根检验则提供统计检验来正式判断时间序列是否具有单位根（非平稳的标志）。

**ADF 检验 (Augmented Dickey-Fuller Test)** 是应用最广泛的单位根检验方法，由 David Dickey 和 Wayne Fuller 于 1979 年提出。ADF 检验的核心思想是通过检验时间序列是否具有单位根来判断其平稳性。如果时间序列存在单位根，则说明该序列是非平稳的；如果不存在单位根，则序列是平稳的。

ADF 检验的数学基础基于以下回归方程：

$$\Delta y_t = \alpha + \beta t + \gamma y_{t-1} + \sum_{i=1}^p \delta_i \Delta y_{t-i} + \epsilon_t$$

其中  $\Delta y_t = y_t - y_{t-1}$  表示一阶差分， $\alpha$  是常数项， $\beta t$  是趋势项， $\gamma y_{t-1}$  是滞后项， $\sum_{i=1}^p \delta_i \Delta y_{t-i}$  是差分滞后项（用于消除自相关）， $\epsilon_t$  是误差项。

ADF 检验的原假设  $H_0$  是： $\gamma = 0$ ，即时间序列存在单位根（非平稳）；备择假设  $H_1$  是： $\gamma < 0$ ，即时间序列不存在单位根（平稳）。检验统计量是  $\gamma$  的 t 统计量，但其分布不是标准的 t 分布，而是 Dickey-Fuller 分布。

在实际应用中，ADF 检验有三种形式：

1. 无常数项无趋势项： $\Delta y_t = \gamma y_{t-1} + \sum_{i=1}^p \delta_i \Delta y_{t-i} + \epsilon_t$
2. 有常数项无趋势项： $\Delta y_t = \alpha + \gamma y_{t-1} + \sum_{i=1}^p \delta_i \Delta y_{t-i} + \epsilon_t$
3. 有常数项有趋势项： $\Delta y_t = \alpha + \beta t + \gamma y_{t-1} + \sum_{i=1}^p \delta_i \Delta y_{t-i} + \epsilon_t$

选择哪种形式取决于时间序列的特征。通常建议从最复杂的模型（有常数项有趋势项）开始，如果趋势项不显著，则使用较简单的模型。

在生态学研究中，ADF 检验具有重要的应用价值。例如，在分析气候变化对种群动态的影响时，ADF 检验可以帮助判断种群数量是否具有长期趋势；在研究物候变化时，ADF 检验可以检验温度或降水序列的平稳性；在生态系统监测中，ADF 检验为构建准确的时间序列模型提供了基础。

需要注意的是，ADF 检验对滞后阶数  $p$  的选择比较敏感。滞后阶数过小可能导致残差自相关，滞后阶数过大则会降低检验功效。常用的选择方法包括信息准则（AIC、BIC）或基于自相关函数的经验法则。此外，ADF 检验的功效相对较低，特别是对于接近单位根但实际平稳的时间序列，容易犯第二类错误。

接下来我们就用一个简单的例子来演示时间序列平稳性的检验和处理。我们将使用鸟类种群数量监测数据（50 年）来演示时间序列平稳性的检验和处理。

首先，我们模拟了一个具有趋势、季节性和随机成分的非平稳时间序列（图5.13），该序列模拟了鸟

类种群在 50 年间的动态变化。

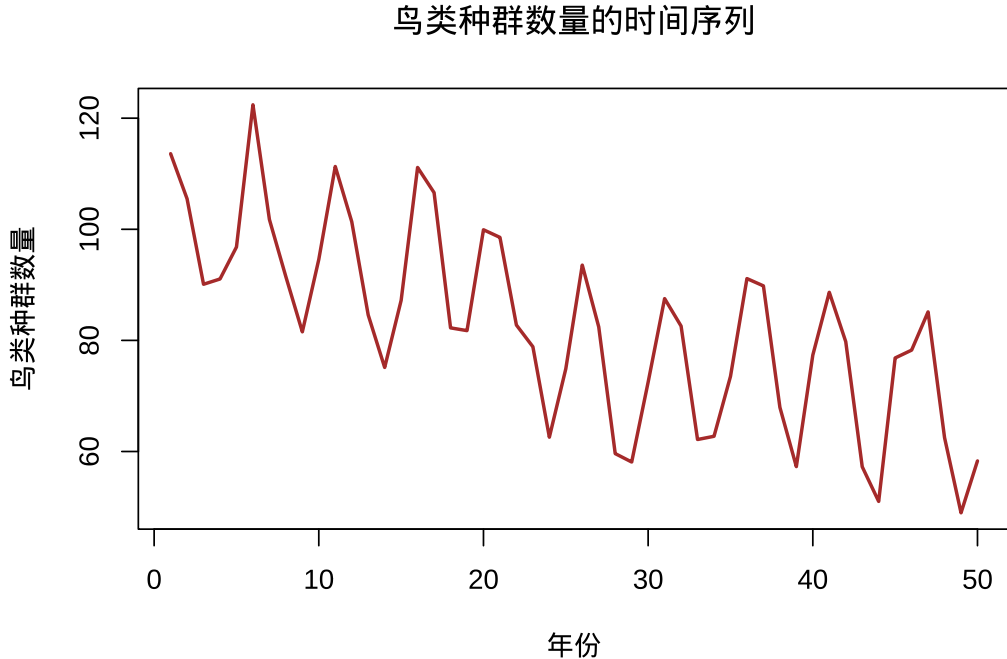


图 5.13 鸟类种群数量的时间序列图，展示了具有趋势、季节性和随机成分的非平稳时间序列

```
# 检验平稳性: ADF 检验 (Augmented Dickey-Fuller Test)
library(tseries)

adf_test <- adf.test(bird_population)

## ADF 单位根检验结果:
## 检验统计量: -2.818
## p值: 0.246
## 原假设: 时间序列有单位根 (非平稳)

## 结论: 不能拒绝原假设, 时间序列可能是非平稳的

# KPSS 检验 (另一种平稳性检验)
kpss_test <- kpss.test(bird_population)

## 
## KPSS 平稳性检验结果:
## 检验统计量: 1.201
## p值: 0.01
## 原假设: 时间序列是平稳的

## 结论: 拒绝原假设, 时间序列是非平稳的
```

当发现时间序列非平稳时，通常需要进行差分或变换来使其平稳化。一阶差分可以去除线性趋势，季节性差分可以去除季节性模式，而对数变换或 Box-Cox 变换可以稳定方差。经过这些处理后的平稳时间序列就可以安全地应用各种时间序列分析方法了。在生态学应用中，理解时间序列的平稳性不仅关系到统计方法的正确使用，也帮助我们识别生态系统的长期变化模式和动态特征。

一阶差分是处理非平稳时间序列最常用的方法之一，其数学原理非常简单：对于时间序列  $X_t$ ，一阶差分定义为相邻两个时间点的差值，即  $\nabla X_t = X_t - X_{t-1}$ 。这种操作能够有效去除时间序列中的线性趋势，因为线性趋势在差分后会变为常数项。例如，如果一个时间序列包含线性增长趋势  $X_t = \alpha + \beta t + \epsilon_t$ ，那么一阶差分后得到  $\nabla X_t = \beta + (\epsilon_t - \epsilon_{t-1})$ ，其中  $\beta$  是常数，而  $\epsilon_t - \epsilon_{t-1}$  通常是平稳的随机扰动项。

在生态学时间序列分析中，一阶差分具有重要的应用价值。许多生态过程，如种群数量变化、气候变化响应、生态系统演替等，往往表现出明显的趋势性特征。通过一阶差分，我们可以将这些趋势从原始数据中分离出来，从而更好地分析数据中的随机波动成分。例如，在研究鸟类种群年际变化时，一阶差分能够帮助我们识别种群增长或下降的速率变化，而不是仅仅关注绝对数量的变化。

需要注意的是，一阶差分虽然能够去除线性趋势，但可能会引入新的问题。差分操作会减少序列的长度（从  $n$  个观测值变为  $n - 1$  个差分值），同时可能放大数据中的噪声成分。此外，如果原始序列包含季节性模式，一阶差分可能不足以完全消除季节性影响，此时需要结合季节性差分或其他方法。在实际应用中，通常需要结合统计检验（如 ADF 检验）来验证差分后序列的平稳性，确保差分处理达到了预期效果。

接下来我们就用一阶差分来处理上面例子中时间非平稳问题。通过一阶差分处理，我们可以将原始的非平稳序列转换为平稳序列，从而满足时间序列分析的基本假设。

```
# 如果非平稳，进行差分处理
if (adf_test$p.value >= 0.05) {
  cat("\n进行一阶差分处理...\n")
  bird_diff <- diff(bird_population)

  # 检验差分后序列的平稳性
  adf_diff <- adf.test(bird_diff)
  cat("差分后序列的 ADF 检验: \n")
  cat("p 值: ", format.pval(adf_diff$p.value, digits = 3), "\n")
}

## 进行一阶差分处理...
## 差分后序列的 ADF 检验:
## p 值: 0.01

# 差分后序列可视化
if (adf_test$p.value >= 0.05) {
  plot(years[-1], bird_diff,
    type = "l", lwd = 2, col = "blue",
    main = "一阶差分后序列", xlab = "年份", ylab = "差分值"
}
```

经过一阶差分处理后，序列的趋势成分被有效去除，如图5.14所示，差分后的序列主要保留了随机波动成分。

```
# 原始序列 ACF
if (adf_test$p.value >= 0.05) {
  acf(bird_population, main = "原始序列的 ACF")
}
```

原始序列的自相关函数（图5.15）显示缓慢衰减的特征，这是非平稳时间序列的典型表现。

```
# 差分后序列 ACF
if (adf_test$p.value >= 0.05) {
  acf(bird_diff, main = "差分后序列的 ACF")}
```

差分后序列的自相关函数（图5.16）显示快速衰减的特征，表明序列已经达到平稳状态。

```
# 分解时间序列（趋势、季节、随机成分）
if (length(bird_population) >= 2 * 12) { # 需要足够的数据点进行季节性分解}
```

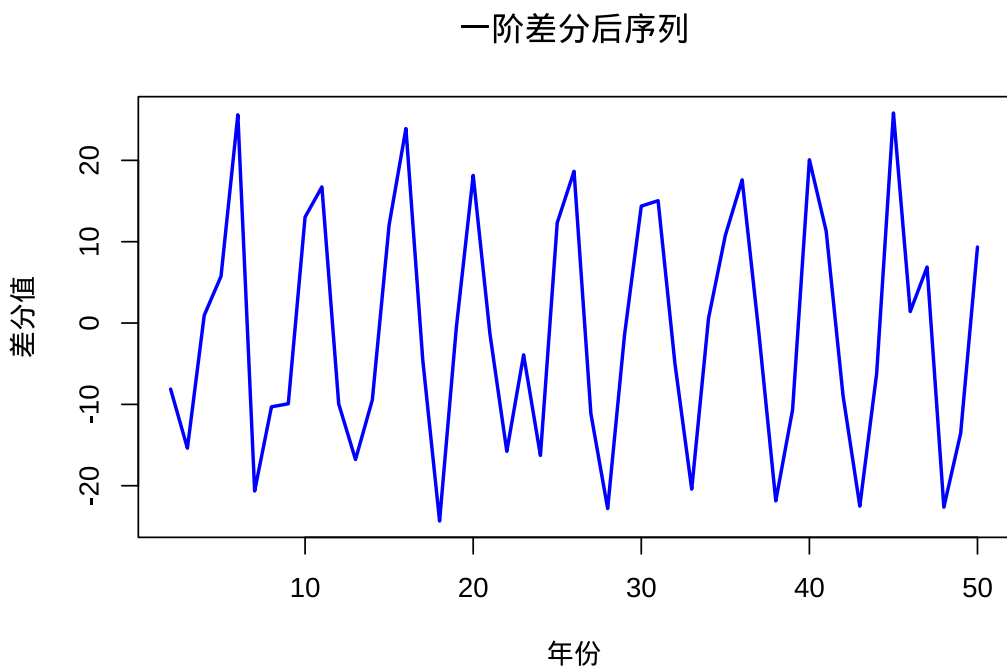


图 5.14 一阶差分后的鸟类种群序列，趋势成分已被去除，主要保留随机波动

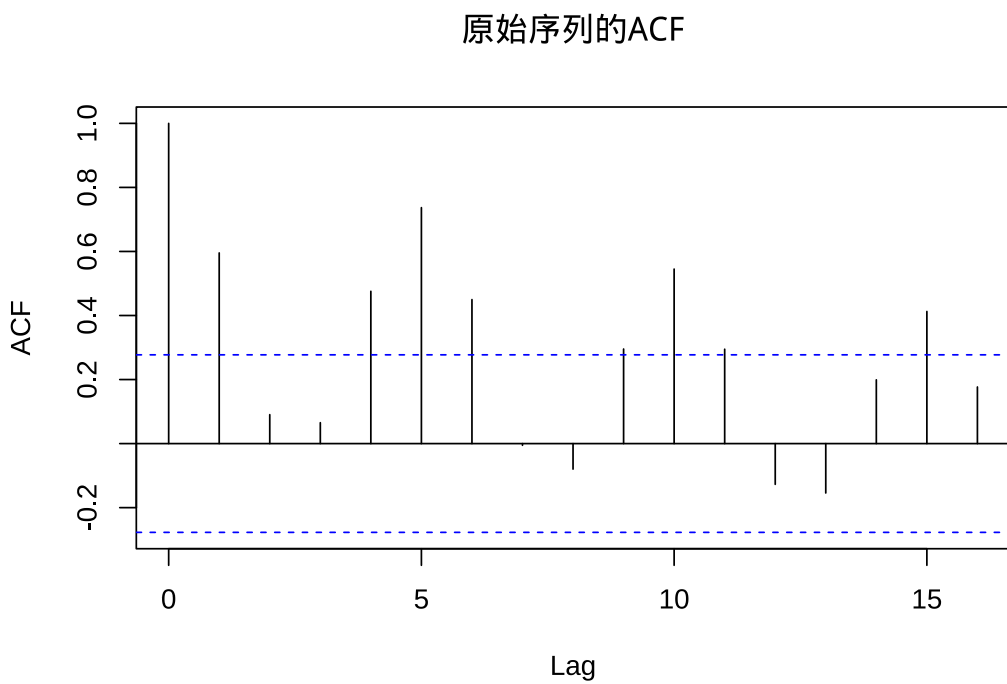


图 5.15 原始序列的自相关函数，显示缓慢衰减的非平稳特征

### 差分后序列的ACF

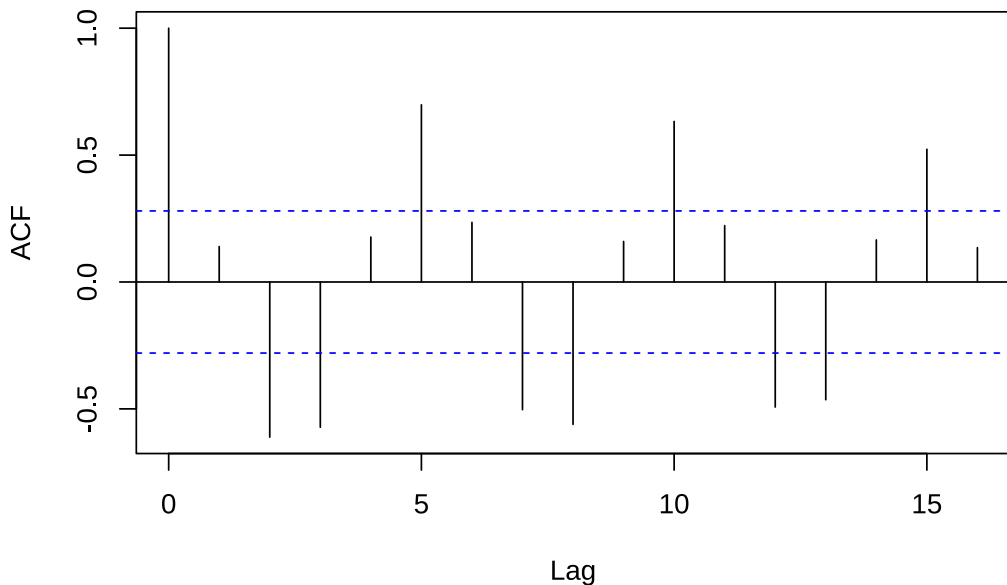


图 5.16 差分后序列的自相关函数，显示快速衰减的平稳特征

```
ts_data <- ts(bird_population, frequency = 5) # 假设 5 年周期
decompose_result <- decompose(ts_data)
plot(decompose_result)
}
```

图5.17展示了时间序列分解的结果，将原始序列分离为趋势、季节性和随机成分，帮助我们更好地理解时间序列的内在结构。

## 5.5 空间格局的自相关

空间自相关是生态统计学中一个富有诗意而又严谨的概念，它描述的是地理空间中相邻位置上的观测值之间那种微妙的相互关联性。这种关联性如同大自然留下的生态指纹，记录着生态过程在空间维度上的记忆和痕迹。在生态学研究中，我们常常发现许多现象都具有显著的空间依赖性：物种分布呈现出的聚集或扩散格局，环境因子如温度、降水、土壤养分在空间上的梯度变化，种群在栖息地中的空间分布模式等，所有这些都蕴含着空间自相关的密码。

图5.18和5.19直观地展示了空间自相关的不同类型和强度。当我们通过图形来直观展示空间自相关时，就如同打开了一扇观察生态空间格局的窗户。有空间自相关的图形呈现出一种“聚集之美”——在空间分布图上，我们能看到相似的值在空间上聚集在一起，形成明显的斑块、梯度或带状分布。比如在物种丰富度的热力图中，高值区域往往聚集在一起，低值区域也形成自己的群落，这种空间上的有序排列正是空间自相关的直观体现。相反，无空间自相关的图形则展现出“随机之舞”的特征——观测值在空间上呈现出完全随机的分布，没有任何明显的空间模式或聚集趋势，就像在空间中随机撒下的种子，彼此之间没有任何空间上的关联性。

### Decomposition of additive time series

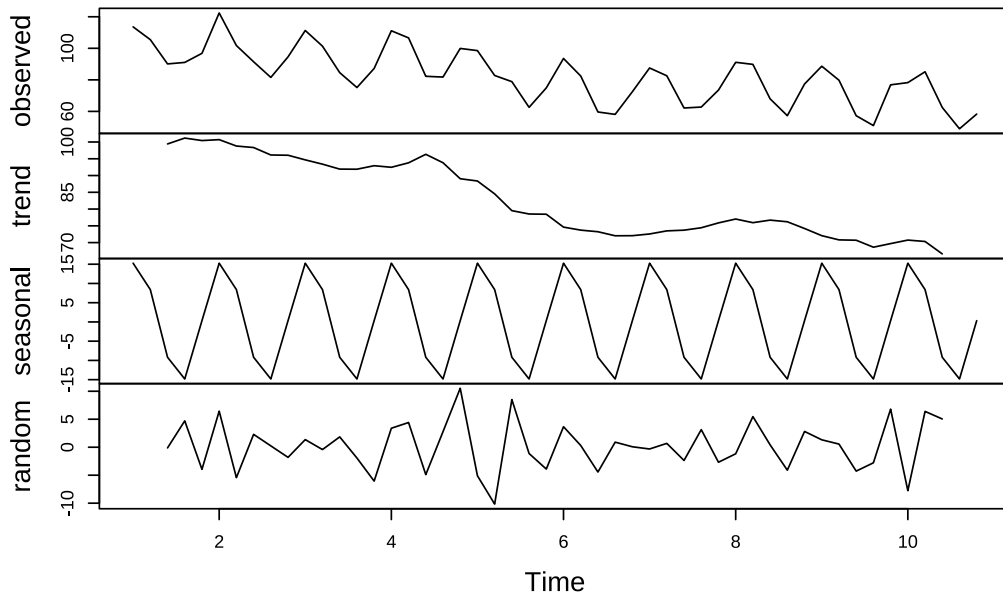


图 5.17 时间序列分解结果，展示趋势、季节性和随机成分的分离

空间自相关的强度也能够在图形中直观地展现出来。强空间自相关在图形上表现为清晰的空间格局——斑块边界分明，梯度变化平滑而连续，空间上的相似性表现得十分明显。例如，在图5.18的左下角，我们可以看到强空间自相关的典型表现：清晰的梯度变化和明确的边界。在一片森林中，如果某种树木的分布呈现出强烈的空间自相关，我们在分布图上就能看到明显的聚集中心，周围逐渐过渡到其他物种的分布区域，这种强烈的空间依赖性往往反映了重要的生态过程，如种子传播的限制、环境梯度的强烈影响或种间竞争的显著作用。

而弱空间自相关则呈现出较为模糊的空间趋势——虽然能够观察到一定的空间模式，但这种模式不够清晰，聚集程度较低，空间上的相似性表现得相对微弱。这种情形在生态学中同样具有重要意义，它可能反映了多种生态过程的复杂交织，或者表明所研究的生态现象受到多种因素的共同影响，没有单一的主导空间过程。图5.19中的热力图通过插值方法进一步清晰地展示了这些空间格局的细节。

通过空间分布图、热力图和等值线图等直观的图形工具，我们能够直接”看到”空间自相关的存在与否及其强度。这些图形就像生态系统的空间肖像，记录着生态过程在空间维度上的印记。当我们观察一片草原的植被覆盖度分布图时，那些绿色的斑块和过渡带不仅美化了图形，更重要的是它们揭示了植被生长的空间依赖性；当我们研究河流水质参数的空间分布时，那些沿着河流流向逐渐变化的色彩梯度，正是空间自相关在水环境中的生动体现。

空间自相关分析因此成为我们理解生态现象空间结构和空间过程的重要工具。它帮助我们解读生态系统的空间语言，识别生态过程的作用尺度，为生态保护、资源管理和环境监测提供科学依据。在这个充满联系和依赖的生态世界中，空间自相关就像一把钥匙，帮助我们打开理解生态空间格局的大门。

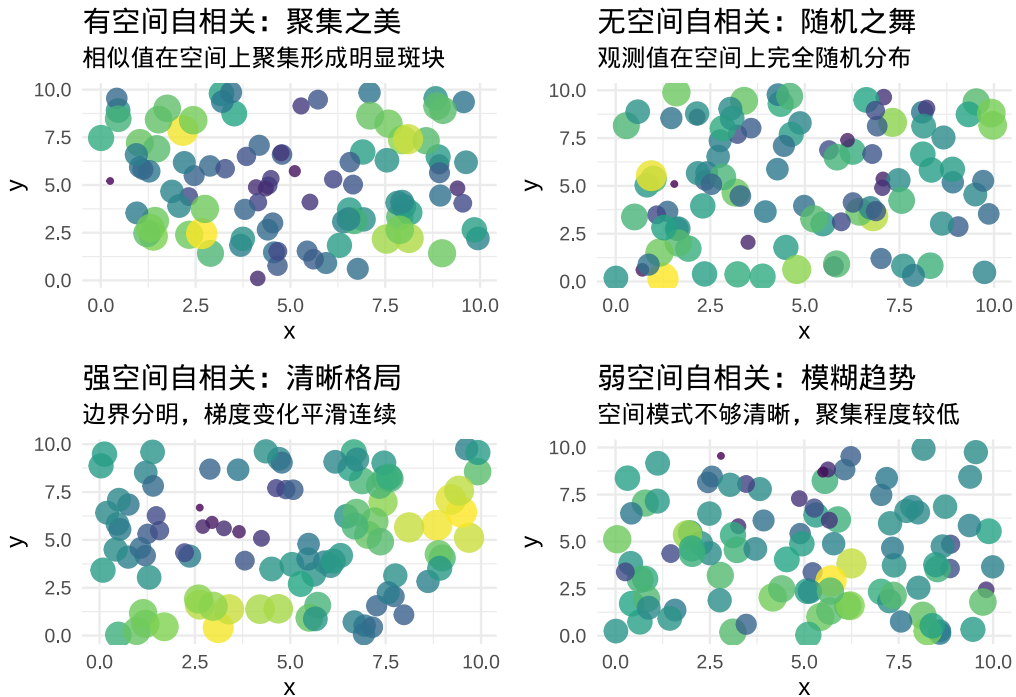


图 5.18 空间自相关模式的直观展示：有空间自相关（左上）、无空间自相关（右上）、强空间自相关（左下）、弱空间自相关（右下）

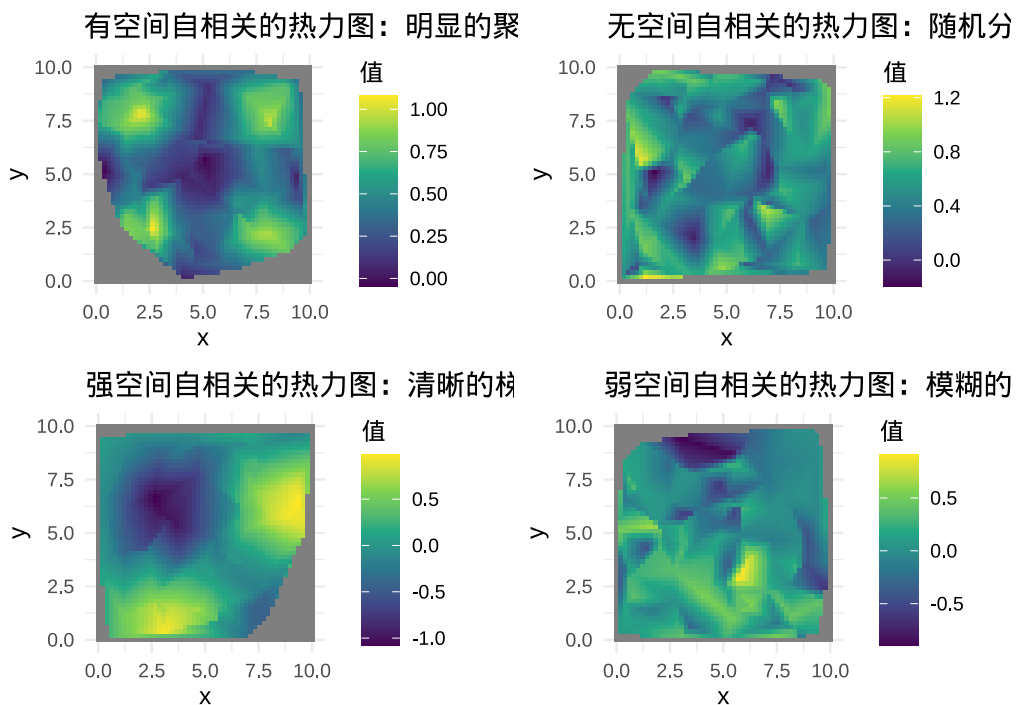


图 5.19 空间自相关的热力图展示：通过插值方法生成的热力图能够更清晰地显示空间格局

### 5.5.1 变异函数 (Variogram): 空间依赖性的量化

假设我们正在研究一片草原上植物物种丰富度的空间分布，我们在 100 个样点上测量了物种数，想要了解物种丰富度在空间上的依赖关系如何随距离变化。

变异函数是地统计学中的核心工具，用于量化空间自相关随距离的变化模式。变异函数描述的是空间变量在特定距离下的半方差，即相同距离的观测点对之间差异的期望值的一半。变异函数的核心思想是：在空间上相近的观测值往往比相距较远的观测值更相似，这种相似性随着距离的增加而逐渐减弱，直到达到某个距离后相似性不再随距离变化。变异函数通常通过三个关键参数来描述空间依赖结构：块金值 (nugget)、基台值 (sill) 和变程 (range)。块金值代表距离为零时的半方差，反映了测量误差或小尺度变异；基台值代表半方差达到稳定时的值，反映了变量的总空间变异；变程代表空间自相关存在的最大距离，反映了空间依赖性的尺度。

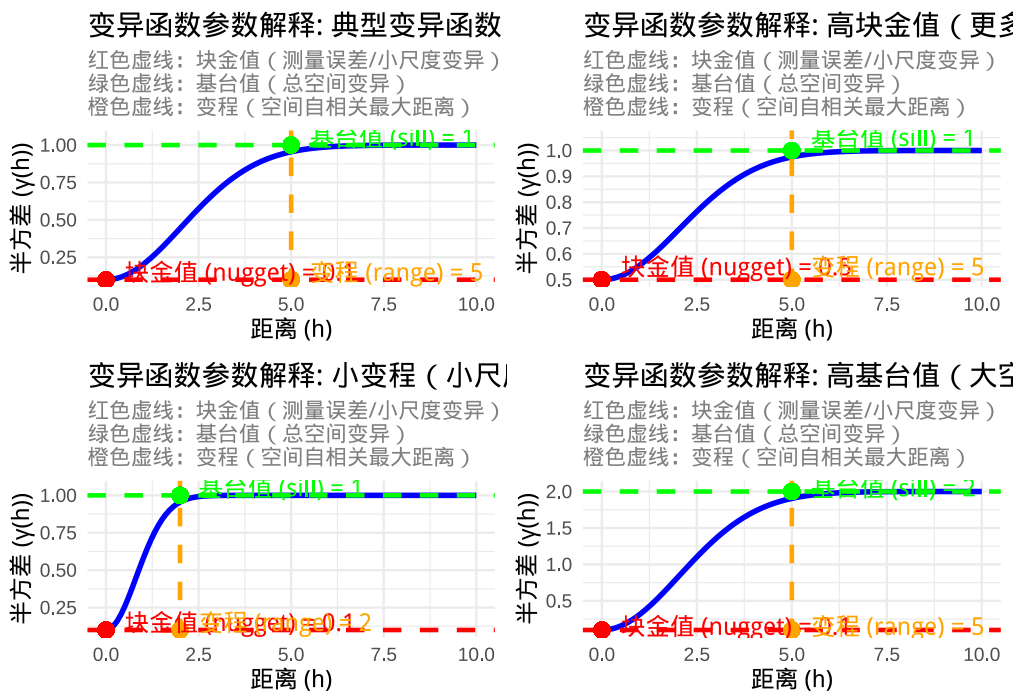


图 5.20 变异函数三个关键参数的技术解释：块金值 (nugget)、基台值 (sill) 和变程 (range) 的直观展示

图5.20和5.21通过 R 代码技术性地解释了变异函数的三个关键参数。这些图形清晰地展示了块金值、基台值和变程在变异函数曲线中的位置和意义，帮助我们直观理解空间依赖结构的不同方面。

在生态学研究中，变异函数具有广泛的应用价值。例如，在分析物种分布时，变异函数可以帮助识别物种聚集的尺度；在研究环境异质性时，变异函数可以揭示环境因子的空间结构；在生态监测设计中，变异函数可以为确定合适的采样间距提供依据。变异函数的形状也提供了关于空间过程的重要信息：如果变异函数快速上升并达到基台值，表明空间依赖性在较小尺度上存在；如果变异函数缓慢上升，表明空间依赖性在较大尺度上存在；如果变异函数呈现周期性波动，可能反映重复的空间格局。此外，拟合的理论变异函数模型（如球状模型、指数模型、高斯模型等）可以用于空间插值（克里金法）和空间预测。

### 不同变异函数参数组合的对比

不同参数组合对空间依赖结构的影响：

- 典型情况：平衡的参数
- 高测量误差：高块金值
- 大空间变异：高基台值
- 小尺度依赖：小变程

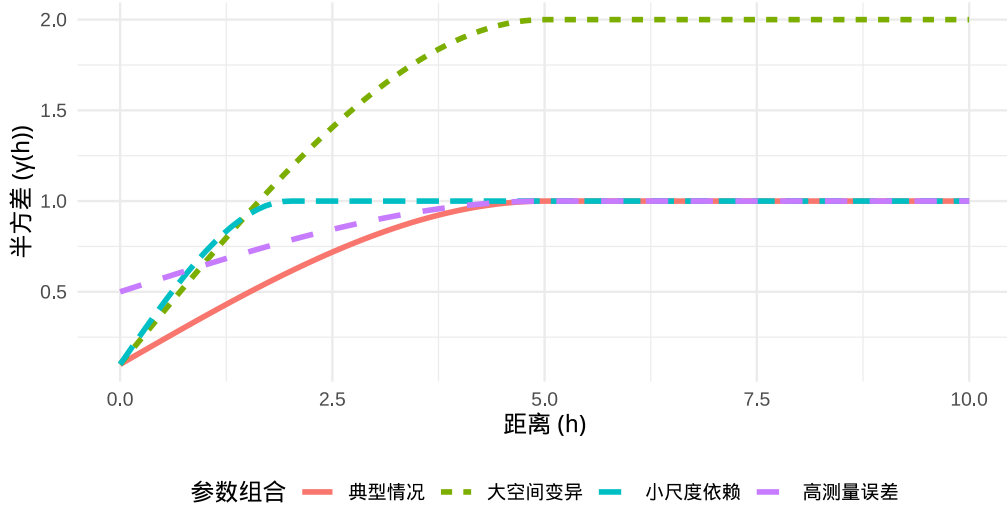


图 5.21 不同变异函数参数组合的对比：展示块金值、基台值和变程对空间依赖结构的影响

**数学定义：**对于空间变量  $Z(\mathbf{s})$ ，其中  $\mathbf{s}$  表示空间位置，变异函数定义为：

$$\gamma(\mathbf{h}) = \frac{1}{2} E[(Z(\mathbf{s} + \mathbf{h}) - Z(\mathbf{s}))^2]$$

其中  $\mathbf{h}$  是空间滞后向量， $E[\cdot]$  表示期望值。

首先，我们通过图5.22展示土壤 pH 值的空间取样分布，这有助于我们直观理解数据的空间格局。

然后，通过图??展示如何用变异函数来捕捉其中的空间自相关。

```
## grf: simulation(s) on randomly chosen locations with 100 points
## grf: process with 1 covariance structure(s)
## grf: nugget effect is: tausq= 0
## grf: covariance model 1 is: exponential(sigmasq=0.8, phi=30)
## grf: decomposition algorithm used is: cholesky
## grf: End of simulation procedure. Number of realizations: 1

## 变异函数参数：
## 块金值 (nugget): 0
## 偏基台值 (partial sill): 8.068916
## 基台值 (sill): 8.068916
## 变程 (range): 411.6761
```

### 5.5.2 克里金插值：基于空间自相关的预测方法

克里金插值是一种基于变异函数理论的空间预测方法，由南非矿业工程师丹尼尔·克里金于 20 世纪 50 年代提出，最初用于金矿储量的估计，后来被广泛应用于地质学、环境科学和生态学等领域。克里金插值的核心思想是利用已知观测点之间的空间相关性来预测未知位置的属性值，其理论基础是区域化变量理论和最优无偏估计原则。

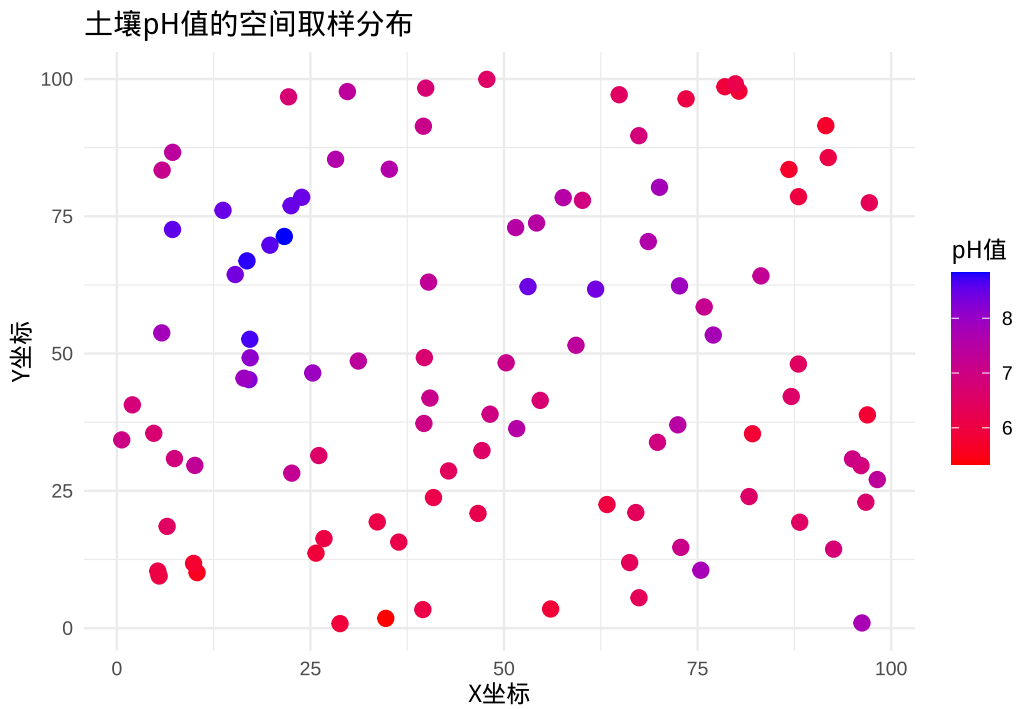


图 5.22 土壤 pH 值的空间取样分布图

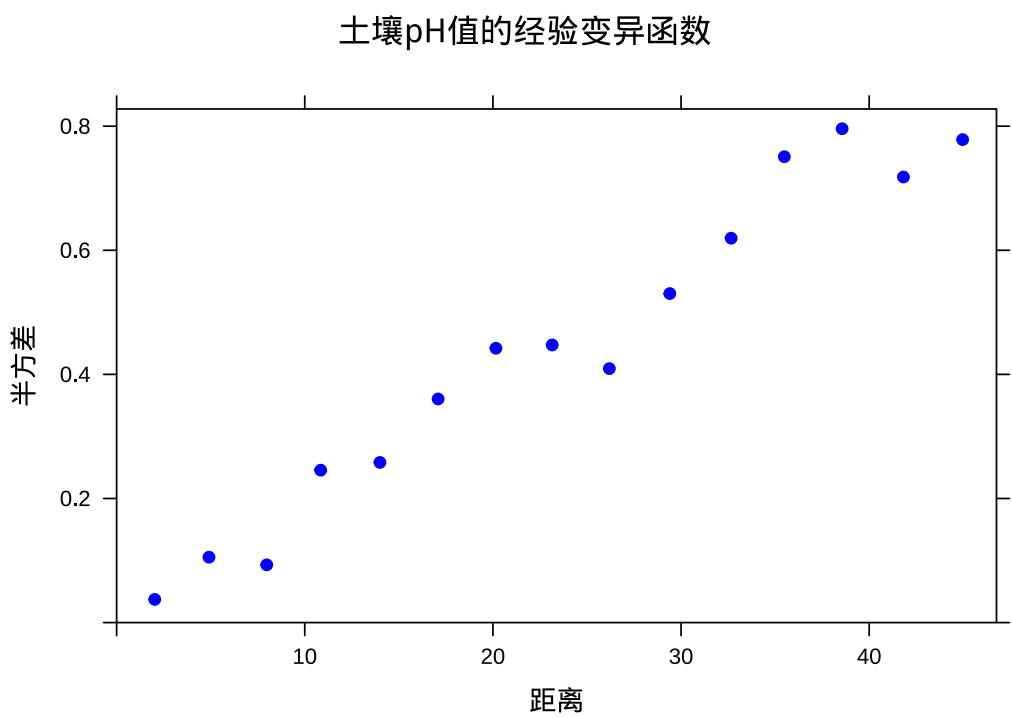


图 5.23 土壤 pH 值的经验变异函数和空间分布图

### 变异函数拟合

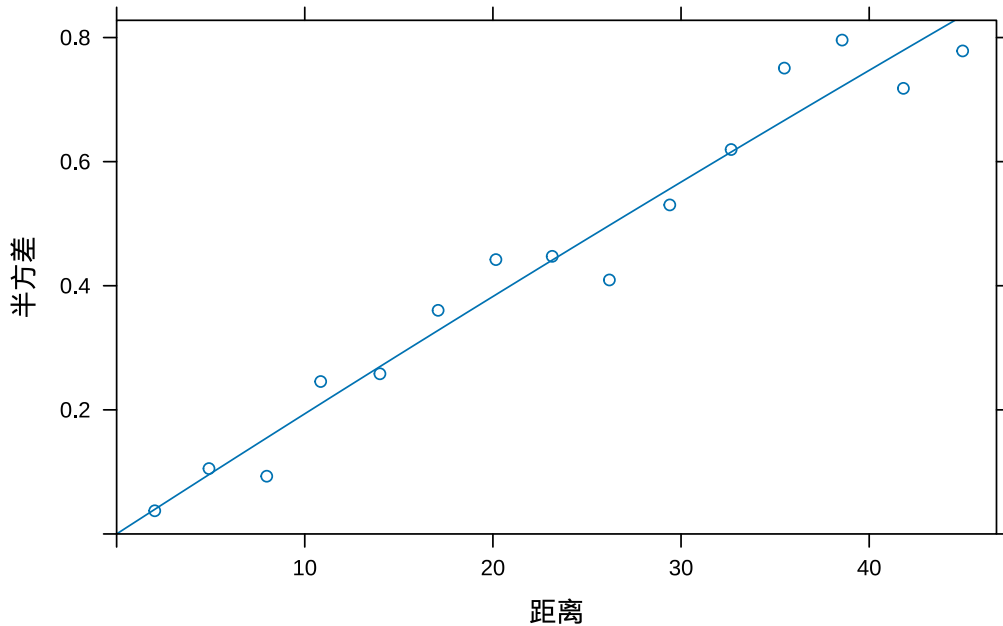


图 5.24 土壤 pH 值的经验变异函数和空间分布图

克里金插值的数学原理基于以下几个关键假设：首先，空间变量被认为是区域化变量，即在空间上具有连续性和相关性；其次，空间变量的变异结构可以通过变异函数来量化；最后，克里金插值寻求的是最优线性无偏估计，即在所有线性无偏估计中方差最小的估计。克里金插值的基本形式可以表示为：

$$\hat{Z}(s_0) = \sum_{i=1}^n \lambda_i Z(s_i)$$

其中  $\hat{Z}(s_0)$  是未知位置  $s_0$  的预测值， $Z(s_i)$  是已知位置  $s_i$  的观测值， $\lambda_i$  是权重系数。权重系数的确定需要满足两个条件：无偏性条件  $\sum_{i=1}^n \lambda_i = 1$  和最小方差条件。通过求解克里金方程组可以得到最优权重系数：

$$\begin{cases} \sum_{j=1}^n \lambda_j \gamma(s_i, s_j) + \mu = \gamma(s_i, s_0) & i = 1, 2, \dots, n \\ \sum_{j=1}^n \lambda_j = 1 \end{cases}$$

其中  $\gamma(s_i, s_j)$  是位置  $s_i$  和  $s_j$  之间的半方差， $\mu$  是拉格朗日乘子。

克里金插值有多种类型，每种类型适用于不同的空间过程和假设条件。普通克里金是最常用的形式，适用于具有恒定均值的平稳空间过程。其假设空间变量的均值在整个研究区域内是常数，但未知。普通克里金通过局部邻域内的观测值来估计未知点的值，权重取决于观测点与预测点之间的空间相关性。普通克里金的预测方差可以表示为：

$$\sigma_{OK}^2 = \sum_{i=1}^n \lambda_i \gamma(s_i, s_0) + \mu$$

这种预测方差提供了克里金预测的不确定性度量，在生态学应用中具有重要价值。

除了普通克里金，还有其他类型的克里金方法适用于更复杂的空间过程。简单克里金假设空间变量的均值已知且恒定，适用于有充分先验知识的场景。泛克里金适用于具有趋势的非平稳空间过程，通过引入趋势面函数来建模空间变量的系统性变化。协同克里金则利用辅助变量来提高主要变量的预测精度，特别适用于当辅助变量更容易获取或测量精度更高时。指示克里金用于处理分类变量或存在阈值的连续变量，通过将连续变量转换为指示变量来进行空间预测。

在生态学研究中，克里金插值具有广泛的应用价值。首先，它可用于生成连续的空间分布图，如物种丰富度、环境因子、土壤属性等的空间分布。这些分布图为生态学家提供了直观的空间格局可视化，有助于识别热点区域、环境梯度和空间异质性。其次，克里金插值可以用于填补缺失数据，特别是在野外调查中由于各种原因无法到达所有位置时。通过基于已有观测点的空间相关性，可以合理估计缺失位置的值。第三，克里金预测方差提供了空间预测的不确定性信息，这对于生态风险评估和决策制定具有重要意义。例如，在保护生物学中，高预测方差的区域可能需要更密集的采样来降低不确定性。

克里金插值的实施通常包括以下几个步骤：数据探索和预处理、经验变异函数计算、理论变异函数拟合、克里金方程组求解、空间预测和不确定性评估。在数据探索阶段，需要检查数据的空间分布、异常值和趋势性。经验变异函数的计算需要考虑方向性，以检测各向异性。理论变异函数的拟合需要选择合适的模型（如球状模型、指数模型、高斯模型）和参数。克里金预测的质量取决于变异函数模型的准确性和空间采样设计的合理性。

尽管克里金插值在生态学中应用广泛，但也存在一些局限性和注意事项。首先，克里金插值对变异函数模型的选择比较敏感，不合适的模型可能导致有偏的预测。其次，克里金插值假设空间过程是平稳的或准平稳的，对于高度非平稳的过程可能需要使用泛克里金或其他方法。第三，克里金插值的预测精度受到采样密度和空间分布的影响，在采样稀疏的区域预测不确定性较高。第四，克里金插值对异常值比较敏感，需要在预处理阶段进行适当处理。

在生态学实践中，克里金插值通常与其他空间分析方法结合使用。例如，与地理信息系统（GIS）结合可以实现空间数据的可视化和分析；与遥感数据结合可以提供大尺度的环境背景；与统计模型结合可以分析空间格局与环境因子的关系。随着计算技术的发展，克里金插值也在不断演进，出现了如贝叶斯克里金、机器学习结合克里金等新方法，为生态学研究提供了更强大的空间分析工具。

```
# 进行空间插值（普通克里金法）
library(automap)

# 创建插值网格
grid <- expand.grid(
  x = seq(0, 100, length.out = 50),
  y = seq(0, 100, length.out = 50)
)
coordinates(grid) <- ~ x + y
gridded(grid) <- TRUE
```

```
# 执行克里金插值
kriging_result <- autoKriging(pH ~ 1, spatial_data, grid)

## [using ordinary kriging]

# 可视化插值结果
plot(kriging_result)
```

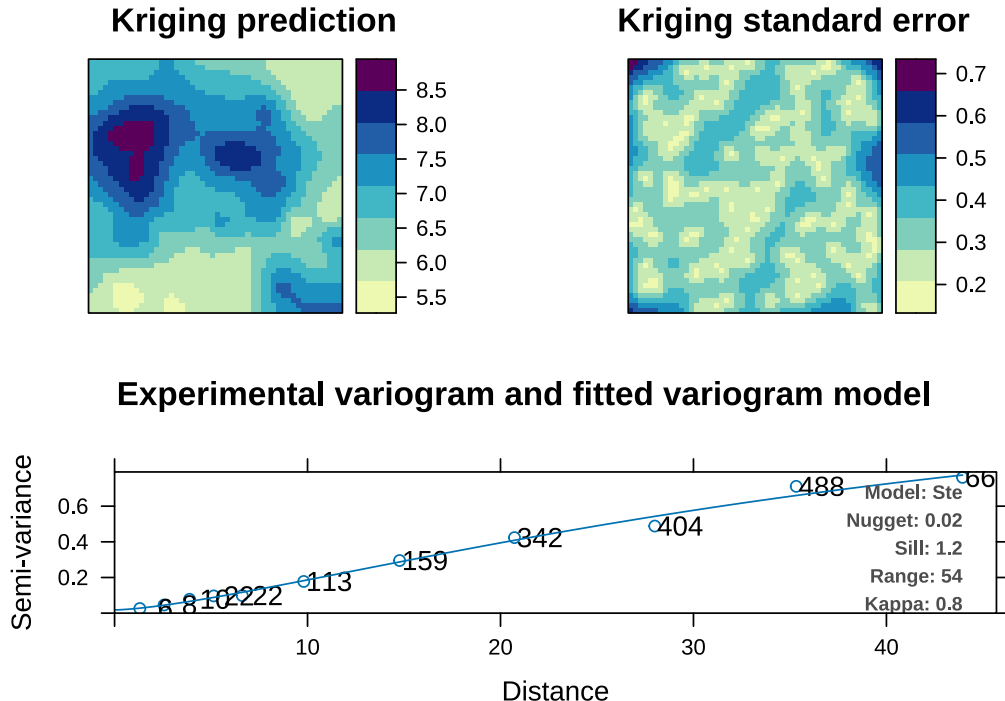


图 5.25 土壤 pH 值的克里金插值结果

```
## 克里金插值统计信息：
## 预测值的范围： 5.5 8.72
## 预测方差的范围： 0.0287 0.4863
```

**生态学意义：**变异函数在生态学中广泛应用于量化空间依赖性的尺度，如物种分布的空间格局、环境异质性的空间结构、种群聚集的空间范围等。通过图5.25展示的克里金插值结果，我们可以看到基于空间自相关的预测方法如何生成连续的空间分布图，为生态学研究和环境管理提供重要的空间信息。

### 5.5.3 空间自相关指数：全局空间模式的检测

在研究森林中树木分布的空间格局时，我们想要了解整个研究区域内树木分布是随机分布、聚集分布还是均匀分布，这需要使用全局空间自相关指数来量化。

空间自相关指数是量化空间数据中自相关程度的统计量，其中最著名的是 Moran's I 和 Geary's C。这些指数提供了对全局空间模式的整体度量，帮助我们判断空间数据是否表现出显著的空间自相关。Moran's I 是最常用的全局空间自相关指数，其计算原理类似于 Pearson 相关系数，但应用于空间邻接关系。Moran's I 的取值范围通常在 -1 到 1 之间，正值表示正空间自相关（即相似的值在空间上聚集），负值表示负空间自相关（即相异的值在空间上聚集），0 值表示没有空间自相关（即随机分布）。

Geary's C 是另一个重要的全局空间自相关指数，其计算基于相邻观测值之间的差异。与 Moran's I 不同，Geary's C 的取值范围在 0 到 2 之间，其中 0 表示完全正空间自相关，1 表示没有空间自相关，大于 1 的值表示负空间自相关。Geary's C 对局部差异更加敏感，而 Moran's I 对全局模式更加敏感。在生态学应用中，这两种指数往往结合使用，以提供对空间模式的全面理解。

数可以量化种群的聚集程度。此外，空间自相关检验还为许多空间统计方法提供了基础，如空间回归模型、空间方差分析等。

### 数学定义：

- Moran's I:

$$I = \frac{n}{\sum_{i=1}^n \sum_{j=1}^n w_{ij}} \cdot \frac{\sum_{i=1}^n \sum_{j=1}^n w_{ij}(x_i - \bar{x})(x_j - \bar{x})}{\sum_{i=1}^n (x_i - \bar{x})^2}$$

其中  $n$  是观测点数， $x_i$  是第  $i$  个观测值， $\bar{x}$  是样本均值， $w_{ij}$  是空间权重。

- Geary's C:

$$C = \frac{(n-1)}{2 \sum_{i=1}^n \sum_{j=1}^n w_{ij}} \cdot \frac{\sum_{i=1}^n \sum_{j=1}^n w_{ij}(x_i - x_j)^2}{\sum_{i=1}^n (x_i - \bar{x})^2}$$

空间自相关指数的计算需要定义空间权重矩阵，该矩阵量化了不同空间位置之间的邻接关系或空间影响。常见的权重定义方法包括基于距离的权重（如反距离权重）、基于邻接的权重（如 queen 邻接、rook 邻接）和基于核函数的权重。权重矩阵的选择对空间自相关分析的结果有重要影响，需要根据研究的具体背景和空间过程的性质来合理选择。

在生态学研究中，空间自相关指数具有重要的应用价值。例如，在保护生物学中，Moran's I 可以帮助识别物种的热点区域；在景观生态学中，空间自相关分析可以揭示生境破碎化的空间模式；在种群生态学中，这些指

### R 代码实现：

从图5.26中我们可以观察到：左图显示了树木在空间中的分布模式，可以看到明显的聚集现象；右图用颜色表示胸径大小，蓝色表示小胸径，红色表示大胸径，我们可以初步观察到胸径在空间上可能存在一定的聚集模式。

现在，我们使用空间自相关指数来量化这种空间模式：

```
load("data/forest_trees.RData")
knn_weights <- knn2nb(knearneigh(tree_coords, k = 5))
listw_weights <- nb2listw(knn_weights, style = "W")

# 进行空间自相关分析
# 计算 Moran's I
moran_test <- moran.test(tree_dbh, listw_weights)
```

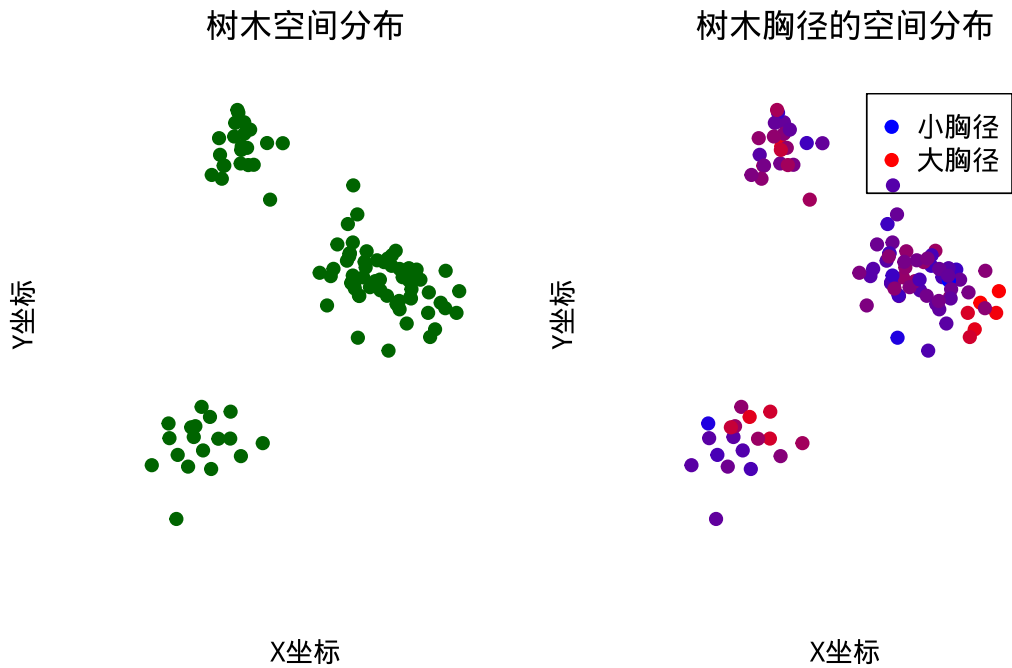


图 5.26 森林树木的空间分布和胸径变异

```
# 计算 Geary's C
geary_test <- geary.test(tree_dbh, listw_weights)

## 
## === 空间自相关分析 ===

## Moran's I 检验结果:
## Moran's I 统计量: 0.425
## 期望值: -0.01
## 方差: 0.003
## p 值: 4.48e-15

## 
## Geary's C 检验结果:
## Geary's C 统计量: 0.568
## 期望值: 1
## p 值: 7.06e-11
```

为了验证空间自相关结果的统计显著性，我们进行蒙特卡洛模拟检验（结果见图5.27）：

```
# 进行蒙特卡洛模拟检验
moran_mc <- moran.mc(tree_dbh, listw_weights, nsim = 999)
cat("\nMoran's I 蒙特卡洛检验: \n")

## 
## Moran's I 蒙特卡洛检验:
cat("p 值: ", format.pval(moran_mc$p.value, digits = 3), "\n")

## p 值: 0.001
```

通过这个完整的分析流程，我们能够深入理解森林生态系统的空间结构特征及其统计意义。首先，从空间分布特征来看，模拟的森林树木呈现出明显的聚集分布模式，这种分布特征在真实的森林生态系统中十分常见，反映了种子传播、微环境适宜性等生态过程的空间异质性。树木胸径数据也显示出显著的空间变异模式，相邻树木的胸径值往往相近，这种空间依赖性暗示着可能存在某种生态机制在驱动胸

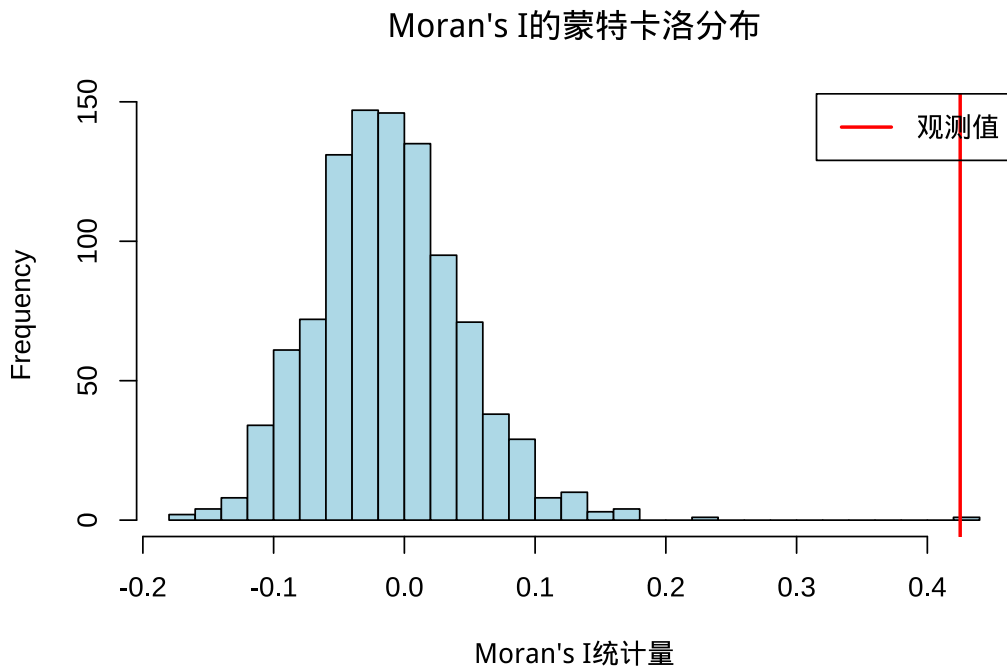


图 5.27 Moran's I 的蒙特卡洛检验结果

径的空间分布格局。

进一步的空间自相关分析为我们提供了量化这种空间模式的统计证据。Moran's *I* 统计量显著大于其期望值，这一结果表明树木胸径在空间上存在正的空间自相关，即相似大小的树木倾向于在空间上聚集分布。Geary's *C* 统计量小于 1 的发现进一步支持了这一结论，因为 Geary's *C* 对局部空间差异更为敏感，其值小于 1 同样表明空间单元之间存在正的空间自相关。这两种空间自相关指数的相互印证，增强了我们对空间模式判断的可靠性。

为了验证这种空间自相关模式的统计显著性，我们进行了蒙特卡洛模拟检验（图5.27）。检验结果显示观测到的 Moran's *I* 统计量在随机分布假设下的概率极低，这表明我们观测到的空间自相关模式不太可能是随机产生的，而是具有统计显著性的现实空间模式。这种显著性检验为我们的生态学解释提供了坚实的统计基础。

这个完整的分析流程从数据模拟、可视化到统计检验，展示了空间自相关分析在生态学研究中的系统应用方法。它不仅帮助我们识别和量化空间模式，更重要的是为理解这些模式背后的生态过程提供了统计依据。这种分析方法为生态学家研究物种分布、种群动态、环境因子变异等空间生态学问题提供了实用的技术框架。

#### 5.5.4 局部空间自相关：空间异质性的识别

在研究城市绿地中鸟类物种丰富度的分布时，我们不仅关心整体的空间模式，还希望识别出具体的局部热点（高值聚集区）和冷点（低值聚集区），这需要使用局部空间自相关分析方法。

局部空间自相关分析是全局空间自相关分析的延伸，它专注于识别空间数据中的局部异质性模式。

最常用的局部空间自相关方法包括 LISA (Local Indicators of Spatial Association) 和 Getis-Ord Gi\* 统计量。LISA 由 Luc Anselin 于 1995 年提出，它度量每个空间单元与其邻居之间的局部空间关联程度，能够识别四种类型的局部空间关联：高-高聚集（热点）、低-低聚集（冷点）、高-低异常值（高值被低值包围）和低-高异常值（低值被高值包围）。

Getis-Ord  $G_i^*$  统计量是另一种重要的局部空间自相关方法，专门用于识别热点和冷点。与 LISA 不同， $G_i^*$  统计量专注于检测高值或低值的空间聚集，而不区分其他类型的空间异常。 $G_i^*$  统计量的正值表示热点（高值聚集），负值表示冷点（低值聚集），统计量的绝对值越大表示聚集程度越强。

**数学定义：**

- 局部 Moran's  $I$  (LISA):

$$I_i = \frac{(x_i - \bar{x})}{\sum_{j=1}^n (x_j - \bar{x})^2 / n} \sum_{j=1}^n w_{ij}(x_j - \bar{x})$$

- Getis-Ord  $G_i^*$ :

$$G_i^* = \frac{\sum_{j=1}^n w_{ij}x_j}{\sum_{j=1}^n x_j}$$

现在，我们通过一个城市绿地鸟类物种丰富度的案例来演示局部空间自相关分析的具体应用：

现在，我们进行局部空间自相关分析来识别局部热点和冷点：

```
load("data/city_parks.RData")
# 创建空间权重矩阵 (基于距离的权重)
dist_threshold <- 20 # 20 单位内的公园视为邻居

# 创建基于距离的邻居列表
nb_dist <- dnearneigh(park_coords, 0, dist_threshold)
# 检查是否有孤立点，如果有则使用 k 近邻
if (any(card(nb_dist) == 0)) {
  cat(" 检测到孤立点，使用 k 近邻方法\n")
  nb_dist <- knn2nb(dnearneigh(park_coords, k = 3))
}

## 检测到孤立点，使用k近邻方法
listw_dist <- nb2listw(nb_dist, style = "W")

# 计算局部 Moran's I (LISA)
local_moran <- localmoran(bird_richness, listw_dist)

# 创建 LISA 分类
lisa_results <- data.frame(
  x = coordinates(park_coords)[, 1],
  y = coordinates(park_coords)[, 2],
  richness = bird_richness,
  local_i = local_moran[, 1],
  p_value = local_moran[, 5]
)

# 根据 LISA 值分类
lisa_results$lisa_type <- "不显著"
lisa_results$lisa_type[lisa_results$p_value < 0.05 &
```

```

lisa_results$local_i > 0 &
lisa_results$richness > mean(bird_richness) <- "高-高"
lisa_results$lisa_type[lisa_results$p_value < 0.05 &
lisa_results$local_i > 0 &
lisa_results$richness < mean(bird_richness) <- "低-低"
lisa_results$lisa_type[lisa_results$p_value < 0.05 &
lisa_results$local_i < 0 &
lisa_results$richness > mean(bird_richness) <- "高-低"
lisa_results$lisa_type[lisa_results$p_value < 0.05 &
lisa_results$local_i < 0 &
lisa_results$richness < mean(bird_richness) <- "低-高"

# 计算 Getis-Ord Gi*
local_g <- localG(bird_richness, listw_dist)

# 添加 Gi* 结果
lisa_results$gi_star <- as.numeric(local_g)
lisa_results$gi_type <- "不显著"
lisa_results$gi_type[lisa_results$gi_star > 1.96] <- "热点"
lisa_results$gi_type[lisa_results$gi_star < -1.96] <- "冷点"

```

现在让我们可视化局部空间自相关分析的结果：

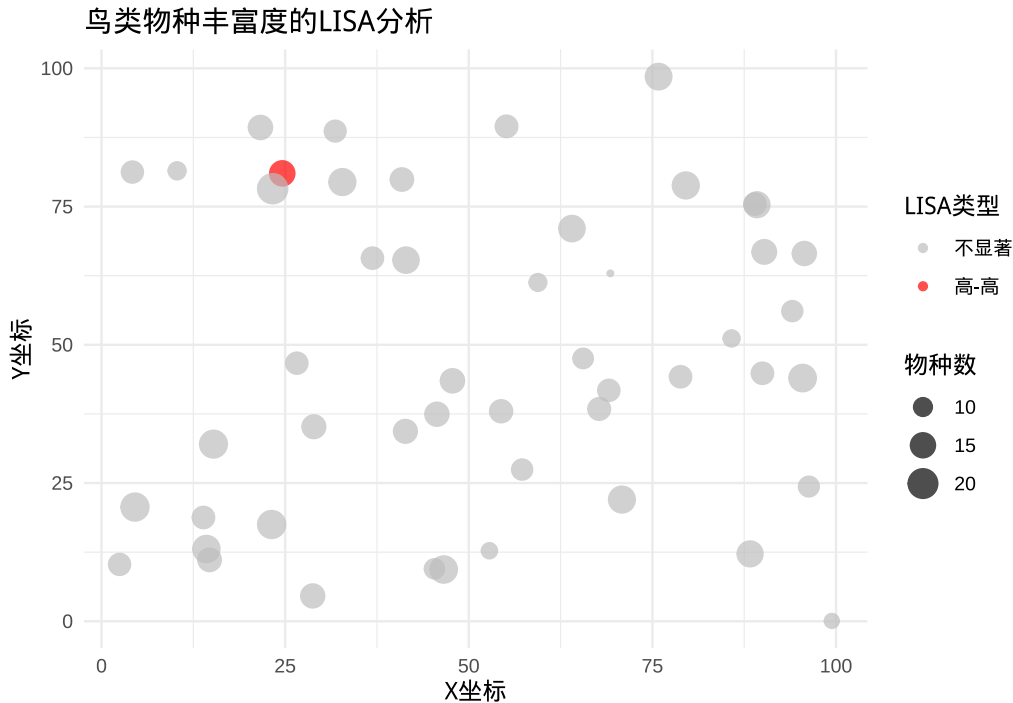


图 5.28 鸟类物种丰富度的 LISA 分析结果

图5.28展示了鸟类物种丰富度的局部空间自相关分析结果。该散点图采用颜色编码系统表示不同的LISA类型：红色表示“高-高”聚集区（热点区域，即物种丰富度高且周边地区也高），蓝色表示“低-低”聚集区（冷点区域，即物种丰富度低且周边地区也低），粉色表示“高-低”异常区（高值被低值包围），浅蓝色表示“低-高”异常区（低值被高值包围），灰色表示统计不显著的区域。点的大小与物种丰富度成正比，直观地显示了空间格局的异质性。这种可视化方法对于识别生物多样性保护的关键区域、理解物种分布的空间依赖性以及制定区域化的生态保护策略具有重要价值，能够揭示传统全局统计方法无法发现的局部空间关联模式。

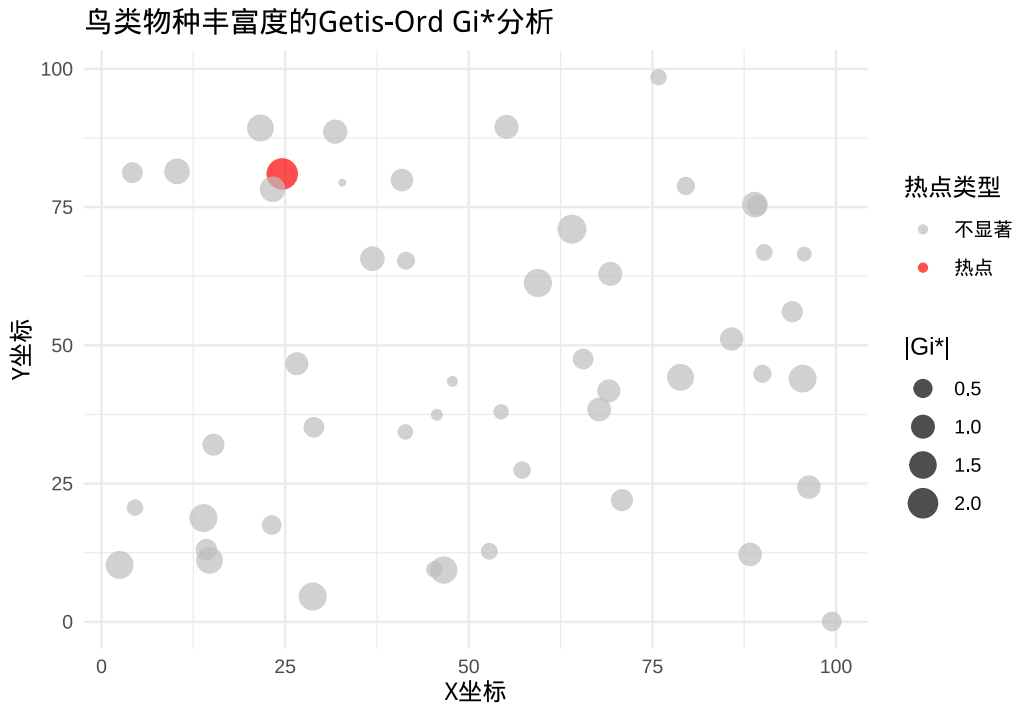


图 5.29 鸟类物种丰富度的 Getis-Ord Gi\* 分析结果

图5.29展示了鸟类物种丰富度的 Getis-Ord Gi 热点分析结果。该散点图采用简化的颜色编码系统：红色表示统计显著的热点区域（高值聚集区），蓝色表示统计显著的冷点区域（低值聚集区），灰色表示统计不显著的区域。点的大小与  $Gi$  统计量的绝对值成正比，反映了局部空间聚集的强度。与 LISA 分析相比，Getis-Ord Gi\* 分析更专注于识别高值或低值的空间聚集，而不区分“高-高”或“低-低”等异常模式。这种可视化方法在生态学保护规划中特别有用，能够快速识别生物多样性的核心保护区域（热点）和生态恢复的优先区域（冷点），为制定差异化的空间管理策略提供科学依据。

现在让我们查看局部空间自相关分析的统计结果：

```
## LISA 分析结果摘要：
## 总公园数: 50
## 显著LISA模式的数量: 1
## 高-高聚集(热点): 1
## 低-低聚集(冷点): 0
## 高-低异常值: 0
## 低-高异常值: 0

## Getis-Ord Gi* 分析结果摘要:
## 热点数量: 1
## 冷点数量: 0
```

进行局部空间自相关分析时，需要注意多重比较问题。由于同时检验多个局部统计量，传统的显著性水平可能需要调整，如使用错误发现率（FDR）控制：

```
## 经过FDR校正后的显著LISA模式:
## 数量: 0
```

图5.30展示了多重比较校正前后 p 值分布的对比。该双面板直方图采用并排布局，左侧显示原始 p 值分布（浅蓝色），右侧显示经过错误发现率校正后的 p 值分布（浅绿色）。红色垂直线标记 0.05 显著

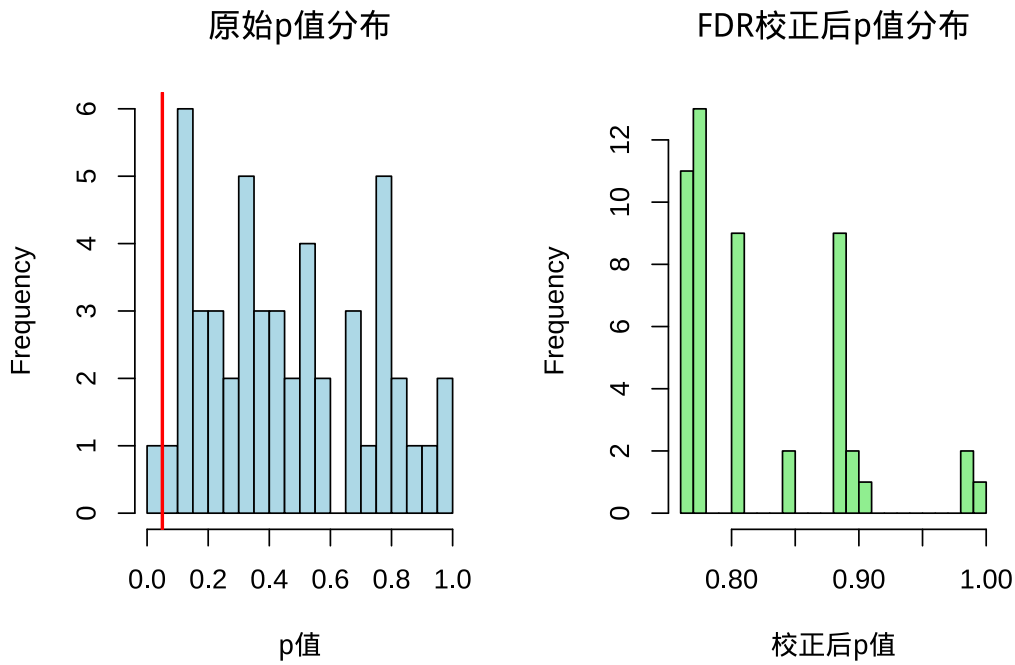


图 5.30 多重比较校正前后的 p 值分布对比

性水平，直观展示了 FDR 校正对统计显著性的影响。在局部空间自相关分析中，由于同时检验多个空间单元，多重比较问题可能导致假阳性结果增加。FDR 校正通过调整 p 值来控制错误发现率，确保统计推断的可靠性。这种可视化方法帮助生态学家理解多重比较校正的必要性，并在空间统计分析中做出更保守但更可靠的结论。

LISA 分析为我们提供了对局部空间模式的详细分类。高-高聚集区（热点）代表了物种丰富度高的绿地聚集在一起，这些区域可能是城市中生态条件最优越、保护价值最高的区域；低-低聚集区（冷点）则代表了物种丰富度低的绿地聚集，可能反映了城市环境压力较大或生态条件较差的区域。高-低异常值和低-高异常值则揭示了空间异质性的复杂模式，高值被低值包围可能表示孤立的优质栖息地，而低值被高值包围可能表示受到局部干扰的区域。

Getis-Ord  $G_i^*$  分析进一步验证了热点和冷点的存在，其专注于识别高值或低值的空间聚集，而不考虑其他类型的空间异常。 $G_i^*$  分析的结果与 LISA 分析相互印证，增强了我们对空间模式判断的可靠性。两种方法的结合使用提供了对局部空间异质性的全面理解。

多重比较校正的重要性在这个分析中得到了体现。由于同时检验多个局部统计量，传统的显著性水平可能导致假阳性结果的增加。FDR 校正帮助我们控制错误发现率，确保我们识别的显著模式具有更高的可靠性。校正前后显著模式数量的变化提醒我们在解释局部空间自相关结果时需要谨慎。

这个完整的分析流程从数据模拟、空间权重构建、局部统计量计算到多重比较校正，展示了局部空间自相关分析在城市生态学研究中的系统应用方法。它不仅帮助我们识别和量化局部空间模式，更重要的是为理解这些模式背后的生态过程提供了统计依据，为城市生态规划、生物多样性保护和栖息地管理提供了实用的技术框架。

### 5.5.5 空间平稳性：空间分析的基础假设

在研究森林生物量的空间分布时，我们需要首先检验空间数据的平稳性，因为非平稳空间过程可能导致有偏的空间预测和错误的统计推断。

空间平稳性是空间统计学的基本假设，指的是空间过程的统计特性（如均值、方差和协方差结构）在空间上保持恒定。与时间序列平稳性类似，空间平稳性也分为严格平稳和弱平稳（二阶平稳）。严格平稳要求空间过程的任意有限维联合分布不随空间平移而改变，而弱平稳只要求均值恒定、方差有限且协方差只依赖于空间位置差而不依赖于具体位置。在生态学实践中，我们通常关注弱平稳性，因为它更容易检验且对于大多数空间分析方法已经足够。

**数学定义：**弱平稳空间过程满足：

1.  $E[Z(\mathbf{s})] = \mu$  (常数均值)
2.  $Var[Z(\mathbf{s})] = \sigma^2 < \infty$  (有限常数方差)
3.  $Cov[Z(\mathbf{s}), Z(\mathbf{s} + \mathbf{h})] = C(\mathbf{h})$  (协方差只依赖于空间滞后  $\mathbf{h}$ , 不依赖于具体位置  $\mathbf{s}$ )

为了直观理解空间平稳性的概念，让我们对比一下平稳和非平稳空间过程的典型特征。

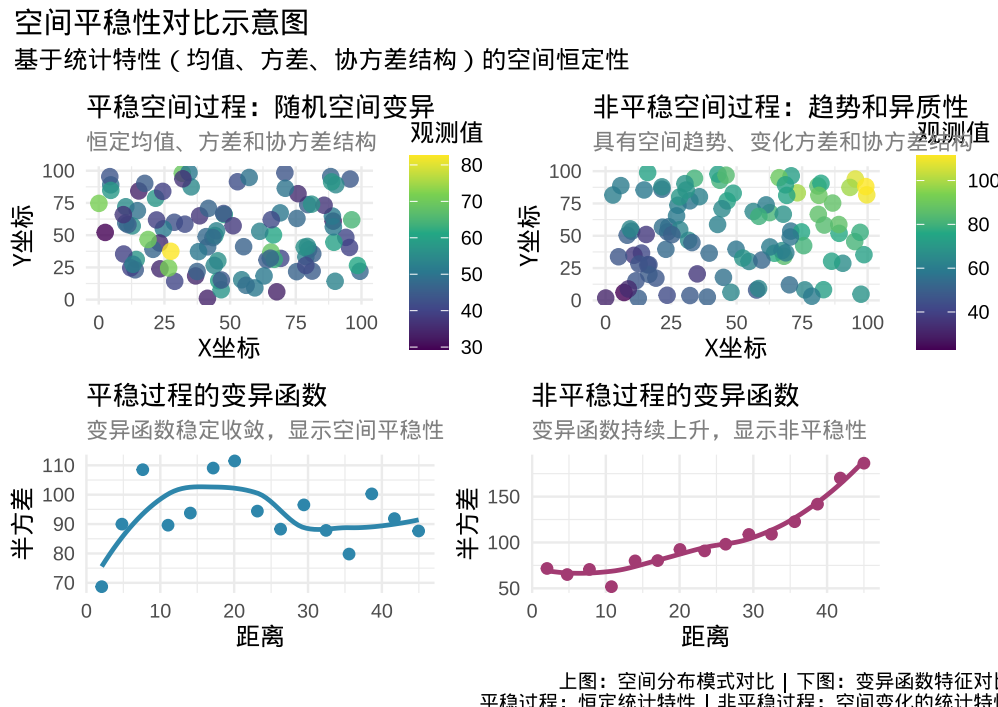


图 5.31 空间平稳性对比示意图：左图显示平稳空间过程（恒定统计特性），右图显示非平稳空间过程（具有趋势和空间异质性）

上面的对比图（见5.31）清晰地展示了平稳空间过程和非平稳空间过程在统计特性上的根本差异，这对于理解空间分析的基本假设至关重要。

在平稳空间过程的左侧部分，我们可以看到随机空间变异显示典型的平稳特征。空间分布图显示观测值在整个研究区域内随机分布，既没有明显的空间趋势，也没有系统性的空间模式，观测值之间表现

出恒定的均值和方差。这种恒定的统计特性正是空间平稳性的核心特征。变异函数图进一步证实了平稳性，半方差随着距离增加而稳定收敛到基台值，表明空间依赖性在特定距离范围内存在且稳定。

相比之下，非平稳空间过程的右侧部分展现了完全不同的特征。具有趋势和异质性的空间过程显示明显的非平稳性，空间分布图中可见从西北到东南的明显梯度变化，反映了空间变量的系统性趋势。同时观测值的变异程度也随空间位置变化，显示了空间异质性特征。变异函数图呈现出持续上升的模式，半方差随着距离增加而不断增大，无法稳定收敛到基台值，显示强烈的非平稳性特征。这种持续上升的变异函数主要源于空间过程中的趋势成分，而非真正的空间依赖性。

在生态学研究中，正确识别空间过程的平稳性具有重要的实践意义。对于平稳空间过程，由于其统计特性在空间上稳定，适合直接应用经典的空间统计方法，如普通克里金插值、空间自相关分析等，统计推断相对可靠。而对于非平稳空间过程，如具有环境梯度的生态变量分布，则需要先进行平稳化处理，如趋势去除、空间变换等方法，否则可能导致严重的统计问题。空间趋势可能导致虚假的空间相关性，模型可能错误地拟合趋势而非真实的生态关系，置信区间和空间预测也可能严重偏离真实情况。通过图示法和变异函数分析识别空间平稳性是最直观的检验方法，为后续的空间统计分析和生态解释提供基础保障。

空间平稳性检验在生态学空间分析中具有至关重要的意义。许多经典的空间统计方法，如克里金插值、空间自回归模型和地统计分析，都建立在平稳性假设的基础上。如果空间过程是非平稳的，直接应用这些方法可能导致严重的统计问题，如有偏估计和无效的假设检验。生态学中的许多空间数据都表现出非平稳特征，如环境梯度（海拔、纬度梯度）、人为影响的空间模式（城市化梯度、污染扩散）和生态系统演替的空间趋势等。

检验空间平稳性的常用方法包括图示法、变异函数分析、趋势面检验和方向性变异函数分析等。图示法通过观察空间分布图来识别明显的趋势或空间模式；变异函数分析通过检查变异函数的收敛模式来判断平稳性——平稳空间过程的变异函数应该收敛到基台值，而非平稳空间过程的变异函数通常持续上升；趋势面检验通过拟合空间趋势模型来检验趋势的显著性；方向性变异函数分析则通过比较不同方向上的变异函数来检测各向异性。

**趋势面检验**是检验空间平稳性的重要方法，它通过拟合多项式趋势面来量化空间趋势的显著性。趋势面模型的一般形式为：

$$Z(\mathbf{s}) = \beta_0 + \beta_1 x + \beta_2 y + \beta_3 x^2 + \beta_4 xy + \beta_5 y^2 + \cdots + \epsilon(\mathbf{s})$$

其中  $\mathbf{s} = (x, y)$  表示空间坐标， $\beta_i$  是趋势系数， $\epsilon(\mathbf{s})$  是平稳的残差过程。

趋势面检验的原假设  $H_0$  是：所有趋势系数  $\beta_i = 0$ （即没有空间趋势，过程是平稳的）；备择假设  $H_1$  是：至少有一个趋势系数  $\beta_i \neq 0$ （即存在空间趋势，过程是非平稳的）。检验统计量通常使用 F 统计量：

$$F = \frac{(SSE_r - SSE_f)/(df_r - df_f)}{SSE_f/df_f}$$

其中  $SSE_r$  是简化模型（无趋势）的残差平方和， $SSE_f$  是完整模型（有趋势）的残差平方和， $df_r$  和  $df_f$  分别是相应的自由度。

在生态学研究中，趋势面检验具有重要的应用价值。例如，在分析物种丰富度的空间分布时，趋势面检验可以帮助判断是否存在环境梯度的影响；在研究污染物扩散时，趋势面检验可以识别污染源的空间影响模式；在生态系统监测中，趋势面检验为构建准确的空间模型提供了基础。

需要注意的是，趋势面检验对趋势函数形式的选择比较敏感。多项式趋势面可能无法充分捕捉复杂的空间模式，有时需要使用更灵活的趋势函数或基于样条的方法。此外，趋势面检验需要足够的空间采样点来可靠估计趋势系数，在采样稀疏的区域检验功效可能较低。

接下来我们就用一个简单的例子来演示空间平稳性的检验和处理。我们将使用森林生物量的空间分布数据来演示空间平稳性的检验和处理。

首先，我们模拟了一个具有空间趋势和异质性的非平稳空间过程（图5.32），该过程模拟了森林生物量在 100 公顷样地内的空间分布。

```
## grf: simulation(s) on randomly chosen locations with 100 points
## grf: process with 1 covariance structure(s)
## grf: nugget effect is: tausq= 0
## grf: covariance model 1 is: exponential(sigmasq=10, phi=20)
## grf: decomposition algorithm used is: cholesky
## grf: End of simulation procedure. Number of realizations: 1
```

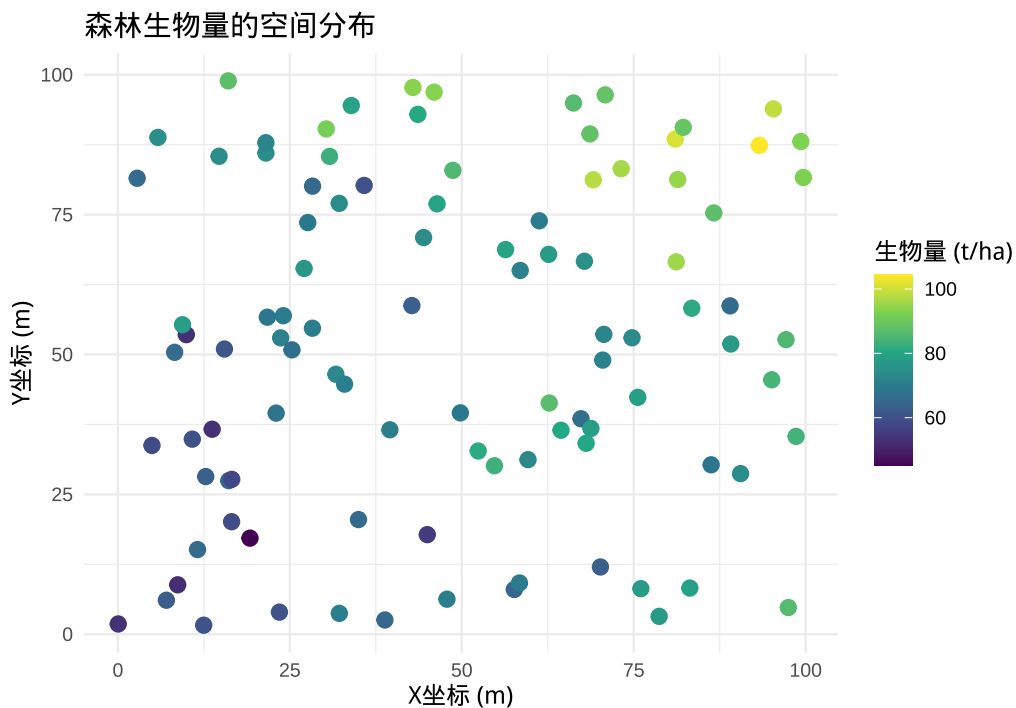


图 5.32 森林生物量的空间分布图，展示了具有趋势和空间异质性的非平稳空间过程

```
# 检验空间平稳性：趋势面检验
library(sp)

# 拟合趋势面模型
# 一阶趋势面（线性趋势）
trend_linear <- lm(biomass ~ x + y, data = spatial_df)

# 二阶趋势面（二次趋势）
trend_quadratic <- lm(biomass ~ x + y + I(x^2) + I(y^2) + I(x*y),
                         data = spatial_df)
```

表 5.2 一阶趋势面 F 检验结果

|           | Df | Sum Sq   | Mean Sq    | F value   | Pr(>F) |
|-----------|----|----------|------------|-----------|--------|
| x         | 1  | 5978.493 | 5978.49335 | 118.64693 | 0      |
| y         | 1  | 3789.080 | 3789.07994 | 75.19666  | 0      |
| Residuals | 97 | 4887.727 | 50.38894   | NA        | NA     |

表 5.3 二阶趋势面 F 检验结果

|           | Df | Sum Sq       | Mean Sq      | F value     | Pr(>F)    |
|-----------|----|--------------|--------------|-------------|-----------|
| x         | 1  | 5978.4933486 | 5978.4933486 | 130.9929680 | 0.0000000 |
| y         | 1  | 3789.0799404 | 3789.0799404 | 83.0213899  | 0.0000000 |
| I(x^2)    | 1  | 0.0230785    | 0.0230785    | 0.0005057   | 0.9821071 |
| I(y^2)    | 1  | 597.5007693  | 597.5007693  | 13.0916595  | 0.0004799 |
| I(x * y)  | 1  | 0.0620205    | 0.0620205    | 0.0013589   | 0.9706721 |
| Residuals | 94 | 4290.1415490 | 45.6398037   | NA          | NA        |

```
## 模型比较：
## 无趋势模型（仅截距）AIC: 786.5264
## 一阶趋势面AIC: 680.719
## 二阶趋势面AIC: 673.6782
```

表5.2展示了二阶趋势面的 F 检验结果，用于评估线性趋势对生物量空间变异的解释程度。表5.3展示了二阶趋势面的 F 检验结果，用于评估线性趋势对生物量空间变异的解释程度。

```
# 检查残差的平稳性
residuals_linear <- residuals(trend_linear)
residuals_quadratic <- residuals(trend_quadratic)

## 残差统计：
## 原始数据方差: 148.03
## 一阶趋势面残差方差: 49.37
## 二阶趋势面残差方差: 43.33
```

当发现空间过程非平稳时，通常需要进行趋势去除或变换来使其平稳化。趋势去除可以通过拟合趋势面并计算残差来实现，空间变换（如对数变换）可以稳定方差。经过这些处理后的平稳空间过程就可以安全地应用各种空间统计分析方法了。在生态学应用中，理解空间过程的平稳性不仅关系到统计方法的正确使用，也帮助我们识别生态系统的空间变化模式和动态特征。

趋势去除是处理非平稳空间过程最常用的方法之一，其数学原理基于空间过程的分解： $Z(s) = m(s) + \epsilon(s)$ ，其中  $m(s)$  是确定性趋势成分， $\epsilon(s)$  是平稳的随机残差。通过估计趋势函数  $\hat{m}(s)$ ，我们可以

以得到平稳的残差过程  $\hat{\epsilon}(\mathbf{s}) = Z(\mathbf{s}) - \hat{m}(\mathbf{s})$ 。

在生态学空间分析中，趋势去除具有重要的应用价值。许多生态过程，如物种分布、环境因子变异、生态系统生产力等，往往表现出明显的空间趋势特征。通过趋势去除，我们可以将这些趋势从原始数据中分离出来，从而更好地分析数据中的空间随机变异成分。例如，在研究森林生物量的空间分布时，趋势去除能够帮助我们识别局部的空间聚集模式，而不是仅仅关注整体的空间梯度。

需要注意的是，趋势去除虽然能够分离趋势成分，但可能会引入新的问题。趋势函数的选择对结果有重要影响，不合适的趋势函数可能导致过度拟合或欠拟合。此外，趋势去除后的残差过程可能仍然存在空间异质性，需要进一步检验。在实际应用中，通常需要结合统计检验（如变异函数分析）来验证去趋势后过程的平稳性，确保趋势去除达到了预期效果。

接下来我们就用趋势去除来处理上面例子中空间非平稳问题。通过趋势去除处理，我们可以将原始的非平稳空间过程转换为平稳过程，从而满足空间分析的基本假设。

```
##  
## 进行趋势去除处理...  
## 使用二阶趋势面进行趋势去除  
## 去趋势后过程的统计特性:  
## 均值: 0  
## 方差: 43.335
```

图5.33展示了原始森林生物量的空间分布，可以观察到明显的空间趋势和异质性，这是典型的非平稳空间过程特征。

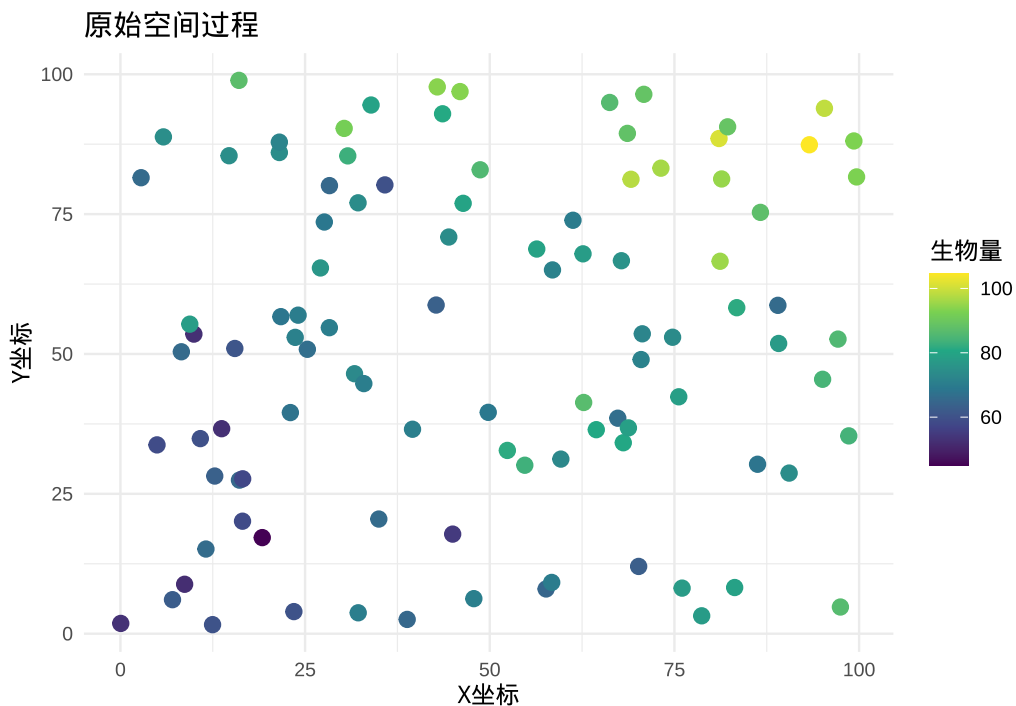


图 5.33 原始森林生物量空间分布，显示明显的空间趋势和异质性

经过趋势去除处理后，空间过程的趋势成分被有效去除，如图5.34所示，去趋势后的过程主要保留了空间随机变异成分。

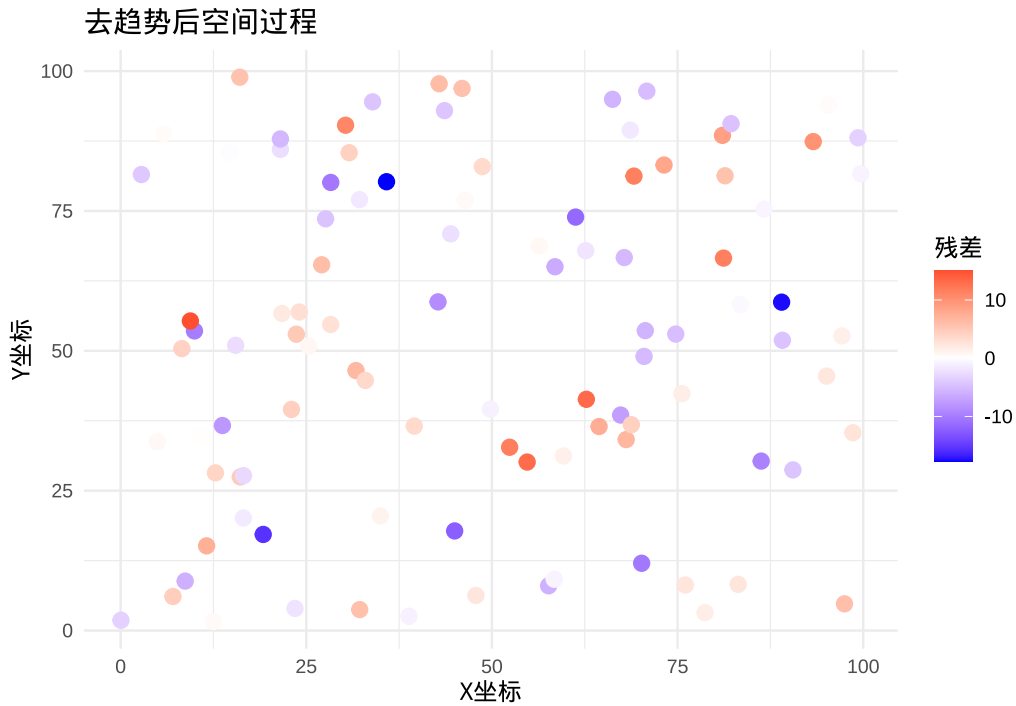


图 5.34 去趋势后的森林生物量空间分布，趋势成分已被去除

原始空间过程的变异函数（图5.35）显示持续上升的特征，这是非平稳空间过程的典型表现。

去趋势后空间过程的变异函数（图5.36）显示收敛到基台值的特征，表明过程已经达到平稳状态。

图5.37展示了空间过程分解的结果，将原始过程分离为趋势成分和随机成分，帮助我们更好地理解空间过程的内在结构。

## 5.6 系统发育相关性

系统发育相关性分析是进化生态学和比较生物学中的重要工具，用于研究物种间性状相关性时考虑其系统发育关系。由于物种共享进化历史，不同物种间的性状值往往存在非独立性，这种非独立性可能导致传统统计方法的偏差。通过整合系统发育信息，系统发育相关性分析能够区分性状间的生态关系和进化保守性，从而更准确地揭示性状的生态和进化意义。

### 5.6.1 系统发育信号：进化历史的印记

在研究不同植物物种的叶片性状时，我们想要了解这些性状在系统发育树（物种间进化关系的分支图）上的分布模式，即它们是否表现出系统发育信号——亲缘关系较近的物种是否具有相似的性状值。

系统发育信号是指性状在系统发育树上的分布模式，反映了性状的进化保守性程度。如果亲缘关系较近的物种具有相似的性状值，我们说该性状具有强烈的系统发育信号；如果性状值在系统发育树上随机分布，与亲缘关系无关，则系统发育信号较弱或不存在。系统发育信号的量化对于理解性状的进化动态和生态适应具有重要意义。

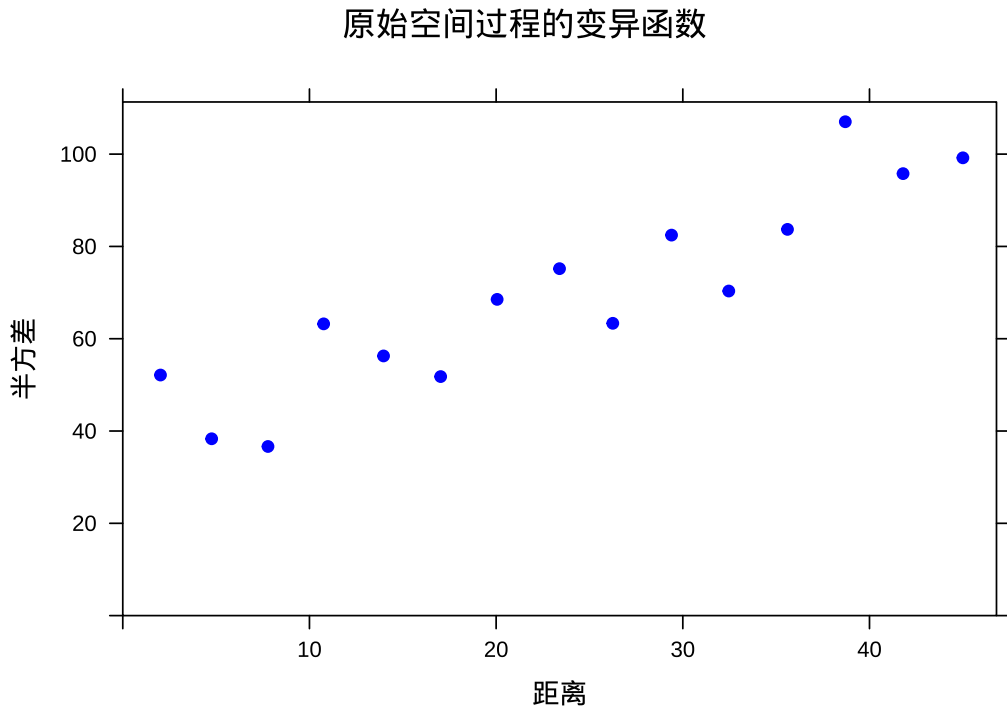


图 5.35 原始空间过程的变异函数，显示持续上升的非平稳特征

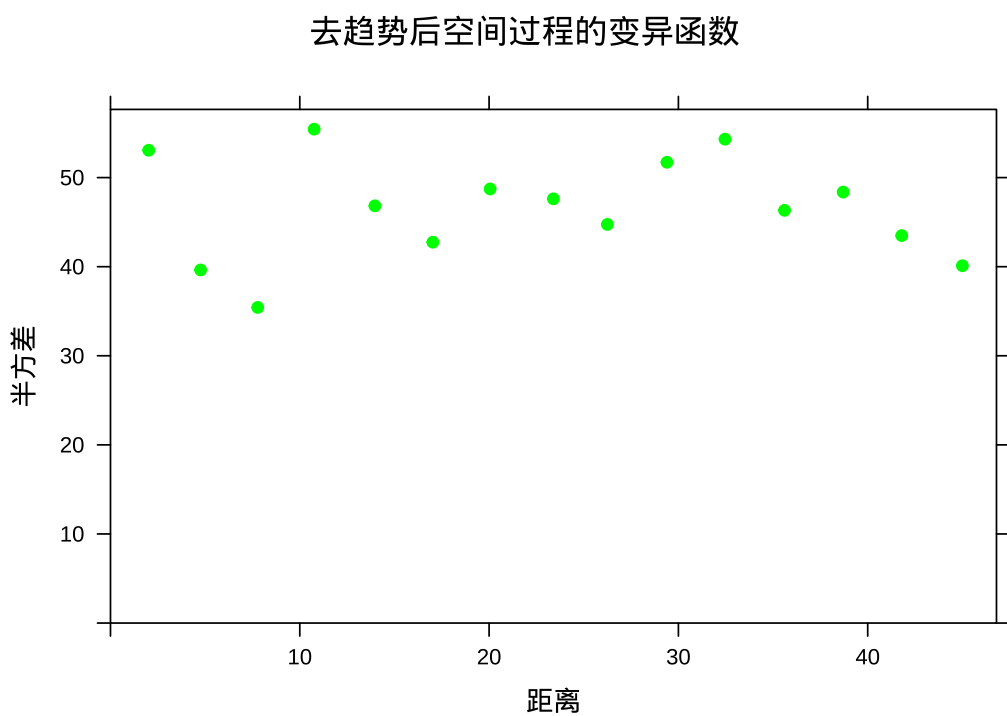


图 5.36 去趋势后空间过程的变异函数，显示收敛的平稳特征

### 空间过程分解：原始过程 = 趋势成分 + 随机成分

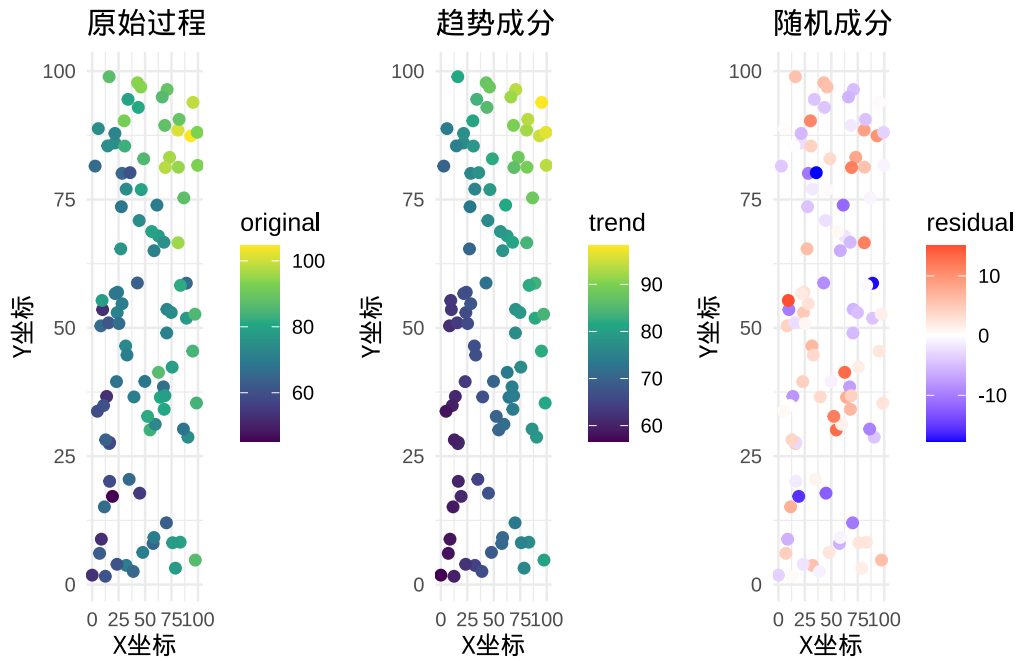


图 5.37 空间过程分解结果，展示趋势成分和随机成分的分离

最常用的系统发育信号的度量指标是 Blomberg's  $K$  和 Pagel's  $\lambda$ 。Blomberg's  $K$  由 Blomberg 等人于 2003 年提出，它比较观测到的性状在系统发育树上的方差与其在布朗运动模型下的期望方差。 $K$  值等于 1 表示性状的进化完全符合布朗运动模型（中等系统发育信号）； $K$  值大于 1 表示性状比布朗运动模型预测的更保守（强系统发育信号）； $K$  值小于 1 表示性状比布朗运动模型预测的更趋同（弱系统发育信号）。 $K$  值的统计显著性通常通过置换检验来评估。

Pagel's  $\lambda$  是由 Pagel 于 1999 年提出的另一个广泛使用的系统发育信号度量指标。 $\lambda$  度量系统发育树在解释性状变异中的相对重要性（即相关性的缩放因子）。 $\lambda$  值在 0 到 1 之间变化，其中 0 表示性状变异与系统发育无关（没有系统发育信号），1 表示性状变异完全符合布朗运动模型下的系统发育相关性（强系统发育信号）。 $\lambda$  值可以通过最大似然法估计，并可以通过似然比检验来评估其统计显著性。

在生态学研究中，系统发育信号分析具有重要的应用价值。例如，在功能生态学中，系统发育信号分析可以帮助理解功能性状的进化保守性；在群落生态学中，它可以揭示群落构建中的系统发育过程；在保护生物学中，它可以指导基于系统发育多样性的保护策略。此外，系统发育信号分析还为系统发育比较方法提供了基础，确保生态关系的统计检验不受系统发育非独立性的影响。

#### 数学定义：

- Blomberg's  $K$ :

$$K = \frac{MS_{obs}}{MS_{random}}$$

上式为简化表达，其中  $MS_{obs}$  是性状观测值在系统发育树上的均方， $MS_{random}$  是在布朗运动模型下的期望均方。实际计算时  $K$  反映了观测到的性状方差与布朗运动模型下期望方差的比值。

- Pagel's  $\lambda$ :

Pagel's  $\lambda$  是一个介于 0 和 1 之间的指标，用于衡量性状在系统发育树上的进化保守性程度。 $\lambda=0$  表示性状进化完全独立于系统发育关系，即无系统发育信号； $\lambda=1$  则表示性状进化遵循布朗运动模型，即强系统发育信号。

Pagel's  $\lambda$  的数学模型为：

$$\mathbf{V} = \lambda \mathbf{C} + (1 - \lambda) \mathbf{I}$$

其中  $\mathbf{V}$  是性状的协方差矩阵， $\mathbf{C}$  是系统发育协方差矩阵（由系统发育树计算得到）， $\mathbf{I}$  是单位矩阵。 $\lambda$  的计算是通过缩放系统发育树的内部枝长进行实现的。

通过最大化似然函数来估计：

$$\ln L(\lambda) = -\frac{1}{2}[(n-1) \ln(2\pi) + \ln |\lambda \mathbf{C} + (1-\lambda) \mathbf{I}| + \mathbf{y}^T (\lambda \mathbf{C} + (1-\lambda) \mathbf{I})^{-1} \mathbf{y}]$$

其中  $\mathbf{C}$  是系统发育协方差矩阵， $\mathbf{I}$  是单位矩阵， $\mathbf{y}$  是性状向量。

### R 代码实现：

```
# 系统发育信号分析示例：植物叶片性状的系统发育保守性
library(ape)
library(phytools)

# 模拟系统发育树和性状数据
set.seed(123)

# 生成随机系统发育树 (50 个物种)
n_species <- 50
phy_tree <- rtree(n_species)

# 模拟具有系统发育信号的性状数据
# 使用布朗运动模型模拟保守性状
trait_conservative <- rTraitCont(phy_tree, model = "BM", sigma = 1)

# 模拟没有系统发育信号的性状数据 (随机性状)
trait_random <- rnorm(n_species, mean = 0, sd = 1)
names(trait_random) <- phy_tree$tip.label

# 计算 Blomberg's K，并通过置换检验评估显著性
K_perm_conservative <- phylosig(phy_tree, trait_conservative,
                                    method = "K", test = TRUE, nsim = 999)
K_perm_random <- phylosig(phy_tree, trait_random,
                           method = "K", test = TRUE, nsim = 999)

cat("Blomberg's K 分析结果: \n",
    " 保守性状的 K 值: ", round(K_perm_conservative$K, 3), "\n",
    " 随机性状的 K 值: ", round(K_perm_random$K, 3), "\n",
    sep = "")

## Blomberg's K 分析结果:
```

```

## 保守性状的K值: 1.104
## 随机性状的K值: 0.168

cat("\n置换检验 p 值: \n",
    " 保守性状: ", format.pval(K_perm_conservative$P, digits = 3), "\n",
    " 随机性状: ", format.pval(K_perm_random$P, digits = 3), "\n",
    sep = "")

## 置换检验p值:
## 保守性状: 0.001
## 随机性状: 0.83

# 计算 Pagel's , 并通过似然比检验评估显著性
lambda_conservative <- phylosig(phy_tree, trait_conservative,
                                 method = "lambda")
lambda_random <- phylosig(phy_tree, trait_random,
                           method = "lambda")

cat("\nPagel's 分析结果: \n",
    " 保守性状的 值: ", round(lambda_conservative$lambda, 3), "\n",
    " 随机性状的 值: ", round(lambda_random$lambda, 3), "\n",
    sep = "")

## Pagel's 分析结果:
## 保守性状的 值: 1
## 随机性状的 值: 0

cat("\n似然比检验 p 值: \n",
    " 保守性状: ", format.pval(lambda_conservative$P, digits = 3), "\n",
    " 随机性状: ", format.pval(lambda_random$P, digits = 3), "\n",
    sep = "")

## 似然比检验p值:
## 保守性状:
## 随机性状:

```

图5.38展示了植物叶片性状的系统发育信号分析和性状距离关系。该  $2 \times 2$  组合图系统比较了保守性状和随机性状的系统发育模式：左上角显示系统发育树结构，右上角展示保守性状在系统发育树上的分布（蓝色到红色的颜色梯度表示性状值大小），左下角展示随机性状在系统发育树上的分布，右下角通过散点图比较性状距离与系统发育距离的关系（蓝色点表示保守性状，红色点表示随机性状）。保守性状显示明显的系统发育信号，亲缘关系近的物种具有相似的性状值；而随机性状在系统发育树上呈现随机分布模式。这种可视化方法对于理解性状的进化保守性、识别适应性进化的证据以及构建考虑系统发育关系的生态学模型具有重要价值。

```

## Mantel 检验结果:
## 保守性状的 Mantel r: 0.337
## 保守性状的 p 值: 0.001
## 随机性状的 Mantel r: -0.021
## 随机性状的 p 值: 0.659

```

表 5.4 不同系统发育信号度量方法的比较

| 性状类型 | Blomberg_K | Pagel_lambda | Mantel_r |
|------|------------|--------------|----------|
| 保守性状 | 1.104      | 1            | 0.337    |
| 随机性状 | 0.168      | 0            | -0.021   |

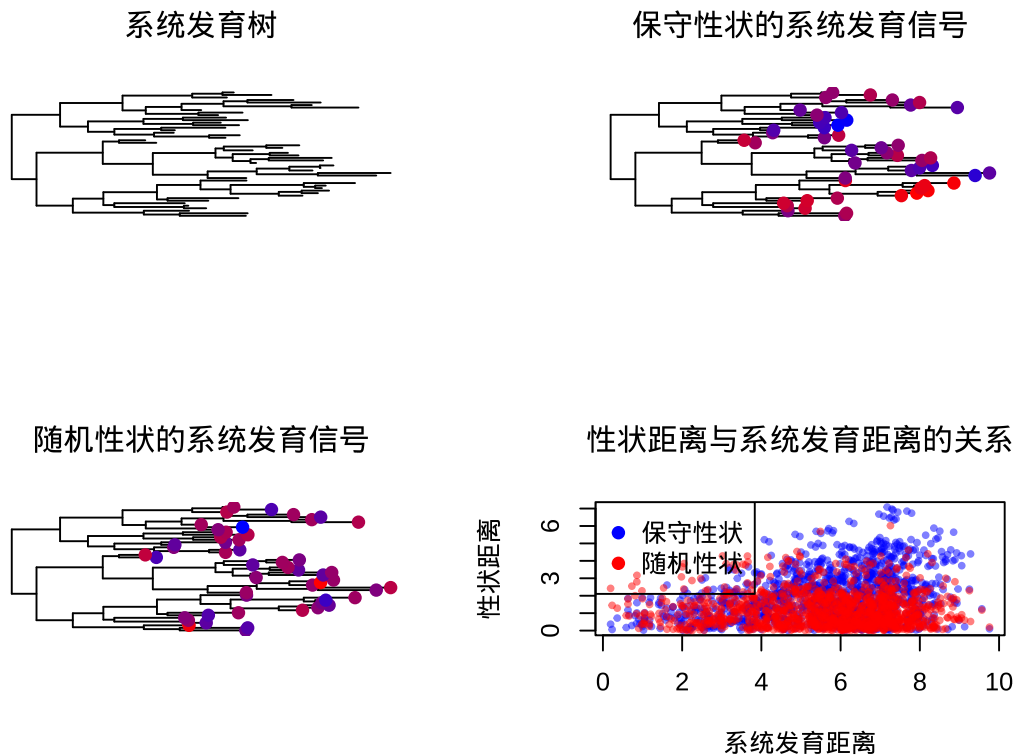


图 5.38 植物叶片性状的系统发育信号分析和性状距离关系

表5.4比较了三种常用的系统发育信号度量方法（Blomberg's K、Pagel's 和 Mantel 检验）在保守性状和随机性状上的表现。生态学意义：系统发育信号分析在生态学中广泛应用于检验性状的系统发育保守性，理解功能性状的进化动态，以及确保生态关系的统计检验不受系统发育非独立性的影响。

### 5.6.2 系统发育独立对比：去除系统发育影响的性状比较

在研究植物叶片氮含量与光合速率的关系时，我们需要考虑物种间的系统发育关系，因为亲缘关系较近的物种可能共享相似的性状值，这种系统发育非独立性可能使传统的相关性分析产生偏差。

系统发育独立对比（PIC）是 Felsenstein 于 1985 年提出的一种创新方法。它通过将系统发育树转化为一组独立的对比来消除系统发育非独立性对统计分析的影响。PIC 的核心思想是：在系统发育树的每个节点，计算从该节点分化出的两个支系之间的性状差异。这些差异构成了系统发育独立对比。由于每个对比代表系统发育树上的一个独立进化事件，这些对比在统计上是独立的，因此可以安全地用于传统的统计检验，而不会受到系统发育非独立性的影响。

PIC 的计算过程可以分为以下几个步骤：首先，从系统发育树的末端开始，逐步向树的根部计算每个节点的性状对比值；其次，对每个对比值进行标准化处理，以校正分支长度对结果的影响；最后，将这些标准化后的对比值用于回归分析、相关性分析或其他统计检验。一棵具有  $n$  个物种的系统发育树将生成  $n - 1$  个独立的对比值。需要注意的是，PIC 方法的一个重要假设是性状的进化过程符合布朗运动模型，即性状在系统发育树上的变化是随机的、无方向性的，因此两个物种间性状的差异与距离他们共同祖先的分化时间相关。

在生态学研究中，PIC 方法具有极其重要的应用价值。它使得我们能够在控制系统发育关系的情况下，检验性状间的生态关系、评估环境对性状的影响、以及比较不同类群的进化速率。例如，在使用 PIC 分析叶片氮含量与光合速率的关系时，如果去除系统发育影响后两者仍然显著相关，说明这种关系具有普遍的生态意义，而不仅仅是系统发育历史的产物。PIC 方法还广泛应用于比较生物学、进化生态学和功能生态学的研究中。

然而，PIC 方法也存在一些局限性和注意事项。首先，它假设性状的进化过程符合布朗运动模型，这一假设可能无法适用于其他进化模型。其次，对于高度不平衡的系统发育树，PIC 方法的表现可能不够理想。此外，PIC 方法仅适用于连续性状的分析，无法直接处理分类性状。近年来，随着系统发育比较方法的不断发展，出现了更为先进的分析方法，例如系统发育广义最小二乘法（PGLS）。这些新方法在一定程度上克服了 PIC 的局限性，但 PIC 方法仍然是理解系统发育非独立性影响的基础工具。

**数学原理：**对于系统发育树上的一个节点，其两个子节点  $i$  和  $j$  的性状对比为：

$$\text{contrast} = \frac{x_i - x_j}{\sqrt{v_i + v_j}}$$

其中  $x_i$  和  $x_j$  是性状值， $v_i$  和  $v_j$  是分支长度。这个标准化过程确保了所有对比值具有相同的尺度，并且理论上彼此独立且服从均值为 0、标准差为 1 的正态分布（即布朗运动模型）。

**R 代码实现：**

```
load("data/trait_data.RData")
# 传统相关性分析（忽略系统发育）
cor_traditional <- cor(trait_data[, 2:4])
knitr::kable(round(cor_traditional, 3),
             caption = "传统相关性分析结果（忽略系统发育）",
             booktabs = TRUE) %>%
  kableExtra::kable_styling(latex_options = c("hold_position"))
```

表 5.5 传统相关性分析结果（忽略系统发育）

|                | nitrogen | photosynthesis | sla    |
|----------------|----------|----------------|--------|
| nitrogen       | 1.000    | 0.497          | -0.967 |
| photosynthesis | 0.497    | 1.000          | -0.368 |
| sla            | -0.967   | -0.368         | 1.000  |

```
# 进行相关性检验
cor_test_np <- cor.test(trait_data$nitrogen, trait_data$photosynthesis)
cor_test_ns <- cor.test(trait_data$nitrogen, trait_data$sla)

## 
## 传统相关性检验：
## 氮含量 vs 光合速率：r = 0.497, p = 0.00519
## 氮含量 vs 比叶重：r = -0.967, p = <2e-16

# 计算 PIC
pic_nitrogen <- pic(trait_nitrogen, phy_tree)
pic_photosynthesis <- pic(trait_photosynthesis, phy_tree)
pic_sla <- pic(trait_sla, phy_tree)

# PIC 相关性分析
```

```
pic_cor_np <- cor.test(pic_nitrogen, pic_photosynthesis)
pic_cor_ns <- cor.test(pic_nitrogen, pic_sla)
```

```
## PIC相关性检验:
## 氮含量 vs 光合速率: r = 0.597, p = 0.000635
## 氮含量 vs 比叶重: r = -0.92, p = 1.78e-12
```

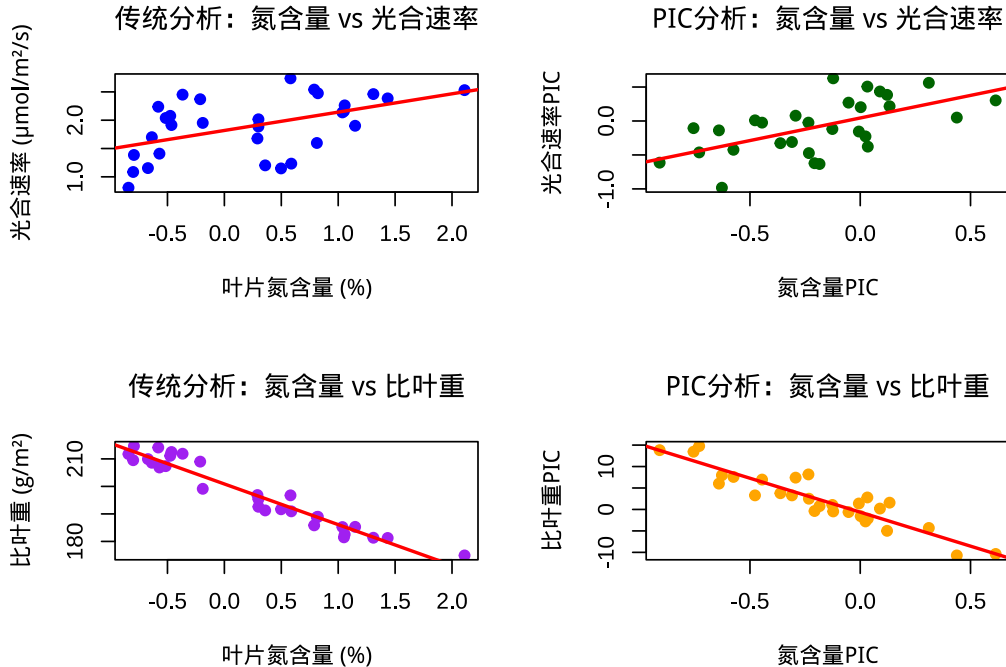


图 5.39 植物叶片性状的系统发育独立对比分析和性状关系

图5.39展示了植物叶片性状的系统发育独立对比分析和性状关系。该 $2\times 2$ 组合图系统比较了传统分析和PIC分析在两种性状关系上的差异：第一行比较氮含量与光合速率的关系，第二行比较氮含量与比叶重的关系。左侧子图显示传统分析结果（蓝色和紫色散点），右侧子图显示PIC分析结果（深绿色和橙色散点），红色直线表示线性回归拟合。PIC分析通过去除系统发育非独立性，能够更准确地评估性状间的进化相关性，避免因物种间亲缘关系导致的统计偏差。这种对比可视化方法对于理解性状关系的进化基础、识别真正的功能权衡以及构建考虑系统发育历史的生态学模型具有重要价值。

```
##          关系 传统_r 传统_p   PIC_r PIC_p
## 1 氮含量-光合速率  0.4971 0.0052  0.5966 6e-04
## 2 氮含量-比叶重 -0.9670 0.0000 -0.9197 0e+00
```

图5.40展示了植物叶片性状的系统发育分布。该代码首先比较了传统分析和PIC分析的结果，然后通过双面板系统发育树可视化展示了氮含量和光合速率在物种间的分布模式。左侧子图显示叶片氮含量的系统发育分布（蓝色到红色颜色梯度），右侧子图显示光合速率的系统发育分布（浅蓝色到深绿色颜色梯度）。这种可视化方法能够直观地展示性状在系统发育树上的保守性模式，亲缘关系近的物种如果具有相似的颜色，表明该性状具有较强的系统发育信号。同时，代码还提供了PGLS分析的示例说明，为读者进一步探索系统发育广义最小二乘法提供了参考。这种综合分析方法对于理解植物功能性状的进化保守性、识别适应性进化事件以及构建准确的系统发育生态学模型具有重要价值。

**生态学意义：**系统发育独立对比分析在生态学中至关重要，它确保了性状间生态关系的统计检验不

## 叶片氮含量的系统发育分布      光合速率的系统发育分布

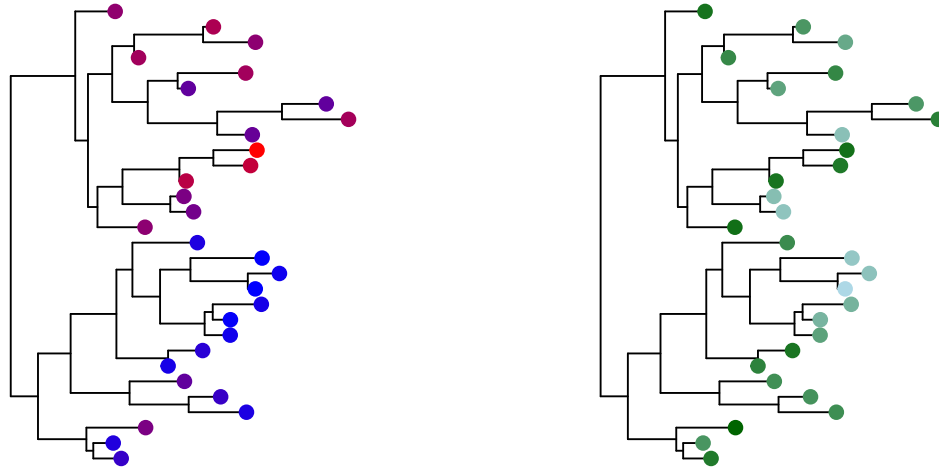


图 5.40 植物叶片性状的系统发育分布

受系统发育非独立性的影响，为正确理解性状的进化关系和生态功能提供了可靠的方法。

### 5.6.3 群落系统发育结构：聚集与分散

在生态学中，尤其是群落生态学中，我们不仅关心单个性状在系统发育上的保守性，也关心群落中物种的系统发育关系——即群落中共存物种在系统发育上是“亲缘较近”还是“亲缘较远”。这种系统发育层面的群落结构被称为**群落的系统发育结构**。

如果群落中的物种在系统发育上与零模型的随机化结果（即保持物种丰富度但随机替换不同群落的物种）相比亲缘关系更近，我们称该群落表现出**系统发育聚集**；相反，如果群落中的物种与随机化结果相比亲缘关系更远，则表现为**系统发育分散**。这两种模式通常分别反映不同的生态过程：

- 系统发育聚集：可能由环境过滤导致，即某些生境条件筛选出具有相似生态适应（往往系统发育相关）的物种；
- 系统发育分散：可能由竞争排除导致，即系统发育较近、生态位相似的物种难以共存。

**数学原理：**群落系统发育结构常通过两个距离型指标描述，包括群落中所有物种间平均系统发育距离（MPD）和每个物种到其系统发育上最近的亲缘物种的平均距离（MNTD）。通常计算这两个指标的标准化形式（NRI 和 NTI），即观测值与多个随机群落的结果比较：

$$NRI = -\frac{(MPD_{obs} - MPD_{random})}{SD(MPD_{random})}$$

$$NTI = -\frac{(MNTD_{obs} - MNTD_{random})}{SD(MNTD_{random})}$$

其中：

- $MPD_{obs}$  和  $MNTD_{obs}$  为观测群落的平均系统发育距离；
- $MPD_{random}$  和  $MNTD_{random}$  是随机群落的两个指标的期望值（即零模型均值）；
- $SD$ : 零模型中随机化结果的标准差。

若 NRI 或 NTI 为正，即群落内的物种亲缘关系比随机化结果更相近，表示群落系统发育的聚集格局；若为负，即群落内的物种亲缘关系比随机化结果更远，表示群落系统发育的分散格局。

**R 代码实现：**

```
library(picante)
library(ape)
load(file = "data/phy_comm.Rdata")
# 计算群落的系统发育结构的标准化指标
mpd_values <- ses.mpd(comm, cophenetic(phy_tree),
                       null.model = "taxa.labels", runs = 999)
mndt_values <- ses.mndt(comm, cophenetic(phy_tree),
                        null.model = "taxa.labels", runs = 999)

# 整理输出结果
result <- data.frame(
  Site = rownames(comm),
  NRI = -mpd_values$mpd.obs.z,
  NTI = -mndt_values$mndt.obs.z
)
print(result)

##      Site       NRI      NTI
## 1  Site1 1.02630492 0.5759223
## 2  Site2 0.69010548 1.4726145
## 3  Site3 0.50793073 1.3863466
## 4  Site4 -0.72467623 0.5160018
## 5  Site5 -0.55059304 -0.6980107
## 6  Site6 0.07059204 0.9496677
## 7  Site7 -0.67408678 -1.2842739
## 8  Site8 -0.80224246 1.0089508
## 9  Site9 3.05853943 2.8528234
## 10 Site10 1.46826954 -0.5272649
```

**生态学意义：**通过分析系统发育聚集与分散，研究者能够推断群落形成的主导机制，理解生态位分化与共存模式，为生物多样性维持和生态系统功能研究提供重要的进化视角。同样的分析思路可延伸至功能性状数据，通过揭示性状的聚集与发散，直接验证驱动群落组装的生态过程。

## 5.7 生态相似性与距离度量

在前面的小节中，我们主要讨论了变量间的数值相关性——无论是线性相关、非线性相关，还是时间或空间上的自相关。这些分析关注的是变量间关系的强度和方向。现在，我们将转向一个相关但不同的概念：**相似性与距离**。

相似性分析的核心是量化不同样本、群落或个体之间的相似程度或差异大小。与相关性分析不同，相似性分析更关注分类、比较和排序，而非变量间的函数关系。在生态学中，相似性分析广泛应用于群落分类、物种分布格局研究、功能性状比较以及生态区划等场景。

相似性分析与相关性分析既有联系又有区别：相关性通常度量变量间的协变关系，而相似性则度量

样本间的整体差异；相关性分析通常基于连续变量的数值计算，而相似性分析可以处理二元数据、分类数据和数量数据；相关性分析的结果是相关系数，而相似性分析的结果是相似性系数或距离矩阵。

本小节将从基础到应用，系统介绍生态学中常用的相似性系数和距离度量方法，包括二元数据相似性、数量数据相似性、功能性状相关性、种内和种间相关性，以及群落相似性分析的综合方法。

### 5.7.1 常用相似性系数

在生态学研究中，群落相似性分析是理解物种分布格局、群落构建机制以及环境梯度影响的关键工具。生态学家经常面临如何量化不同样地或群落之间相似程度的问题，这需要根据数据类型和研究目的选择合适的相似性系数。

**二元数据相似性：**当生态数据仅记录物种存在与否时（如植物名录、动物分布记录），二元相似性系数是理想的选择。Jaccard 系数是最经典的二元相似性度量，它计算两个群落共享物种数量占所有物种数量的比例，特别适用于比较物种组成相似性。其数学定义为： $J = \frac{a}{a+b+c}$ ，其中  $a$  为两个群落共有的物种数， $b$  和  $c$  分别为各自特有的物种数。Sørensen 系数则对物种丰富度更为敏感，其定义为： $S = \frac{2a}{2a+b+c}$ ，在生态学调查中广泛用于评估  $\beta$  多样性。这些系数在保护生物学中尤为重要，例如评估不同保护区的物种重叠程度，或者在恢复生态学中监测群落演替过程中的物种组成变化。

**数量数据相似性：**当生态数据包含物种多度信息时（如个体数量、生物量、盖度等），数量相似性系数能更准确地反映群落结构差异。Bray-Curtis 距离是最常用的数量相似性度量，它考虑了物种的相对多度差异，对稀有物种不敏感而对常见物种变化敏感，非常适合分析群落梯度变化。其数学定义为： $BC = 1 - \frac{2\sum \min(x_i, y_i)}{\sum x_i + \sum y_i}$ ，其中  $x_i$  和  $y_i$  分别表示两个群落中第  $i$  个物种的多度。Morisita-Horn 指数则对优势物种特别敏感，能有效识别群落中的优势种变化模式，在分析人为干扰或环境压力对群落结构的影响时具有独特优势。这些数量相似性系数在环境监测、污染生态学和全球变化生态学研究中广泛应用。

**距离度量：**除了专门的生态学相似性系数，传统的统计距离度量在多元生态数据分析中也发挥重要作用。欧氏距离是最基础的几何距离，计算样本在多维空间中的直线距离，适用于环境因子数据的比较分析。Mahalanobis 距离则考虑了变量间的协方差结构，能更准确地反映多元数据的真实差异，在生态位分析和环境梯度研究中特别有用。这些距离度量为生态学家提供了量化样本间差异的数学工具，支持各种多元统计分析方法如聚类分析、排序分析和判别分析的实施。

在 R 语言中，这些相似性系数的计算非常便捷。对于二元数据，可以使用 `vegan` 包中的 `vegdist` 函数计算 Jaccard 和 Sørensen 系数：

```
library(vegan)
# 创建示例二元数据
binary_data <- matrix(c(1, 1, 0, 0, 1, 0, 1, 1, 0, 1, 0, 1), nrow = 3)
rownames(binary_data) <- c(" 样地 A", " 样地 B", " 样地 C")
colnames(binary_data) <- c(" 物种 1", " 物种 2", " 物种 3", " 物种 4")

# 计算 Jaccard 相似性
jaccard_dist <- vegdist(binary_data, method = "jaccard", binary = TRUE)
# 计算 Sørensen 相似性
sorenseん_dist <- vegdist(binary_data, method = "bray", binary = TRUE)
```

对于数量数据，Bray-Curtis 距离的计算同样使用 `vegdist` 函数：

```
# 创建示例数量数据
abundance_data <- matrix(c(10, 5, 0, 2, 8, 3, 15, 1, 0, 7, 4, 12),
                           nrow = 3)
rownames(abundance_data) <- c("群落 A", "群落 B", "群落 C")
colnames(abundance_data) <- c("物种 1", "物种 2", "物种 3", "物种 4")

# 计算 Bray-Curtis 距离
bray_curtis_dist <- vegdist(abundance_data, method = "bray")
```

传统距离度量的计算可以使用基础 R 函数：

```
# 计算欧氏距离
euclidean_dist <- dist(abundance_data, method = "euclidean")

# 计算 Mahalanobis 距离（需要协方差矩阵）
cov_matrix <- cov(abundance_data)
# Mahalanobis 距离计算较为复杂，通常用于多元统计分析
```

**结果解释与生态学意义：**理解相似性系数的数值含义对于正确解释生态学结果至关重要。对于相似性系数（如 Jaccard、Sørensen），数值范围在 0 到 1 之间，数值越大表示群落间相似性越高。通常认为： $J > 0.75$  表示高度相似， $0.5 < J \leq 0.75$  表示中等相似， $J \leq 0.5$  表示低度相似。对于距离系数（如 Bray-Curtis、欧氏距离），数值范围也在 0 到 1 之间（Bray-Curtis）或 0 到无穷大（欧氏距离），但数值越大表示差异越大。Bray-Curtis 距离  $BC < 0.3$  通常表示群落结构相似， $0.3 \leq BC < 0.6$  表示中等差异， $BC \geq 0.6$  表示显著差异。

在实际生态学研究中，相似性系数的解释需要考虑研究背景和生态学预期。例如，在环境梯度研究中，沿着梯度方向相似性系数的规律性变化可能反映了环境过滤的作用；在岛屿生物地理学中，距离主岛越远的岛屿与主岛的相似性越低，可能反映了扩散限制的影响。这些相似性系数和距离度量为生态学家提供了强大的工具来量化群落间的相似性和差异性，支持后续的聚类分析、排序分析等多元统计方法。

### 5.7.2 功能性状间相关性

功能性状相关性分析是功能生态学的核心内容，旨在揭示植物和其他生物在进化过程中形成的性状组合模式。这些相关模式反映了生物对环境适应的策略性选择，是理解生态位分化、群落构建和生态系统功能的关键。

**功能性状相关性：**功能性状间的相关性分析主要关注两个重要方面：性状间的权衡关系和协变模式。性状权衡是指生物在资源有限条件下，对多个功能性状进行权衡取舍的进化策略。例如，植物在叶片构建上需要在光合速率和防御能力之间进行权衡，快速生长的物种通常具有较低的防御投资。这种权衡关系可以用负相关关系来表示，其数学表达即为 Pearson 相关系数： $r_{xy} = \frac{\sum(x_i - \bar{x})(y_i - \bar{y})}{\sqrt{\sum(x_i - \bar{x})^2 \sum(y_i - \bar{y})^2}}$ ，其中  $x_i$  和  $y_i$  分别表示第  $i$  个个体在两个性状上的测量值。

功能性状的协变模式则描述了多个性状如何协同变化，形成特定的功能综合征。例如，在干旱环境中，植物往往同时表现出深根系、厚角质层和小叶面积等性状组合。这些协变模式可以通过主成分分析或多变量回归等方法进行量化。生态学上，这些相关性反映了生物对不同环境压力的适应机制，如资源

获取策略、胁迫耐受策略和竞争策略等。在群落生态学中，功能性状相关性分析有助于理解物种共存机制和生态系统稳定性。

**经济型谱：**经济型谱理论是功能生态学的重要框架，描述了生物在资源投资和收益之间的权衡关系。叶片经济型谱是最经典的经济型谱，它揭示了叶片性状在全球尺度上的协变规律。具体表现为叶片氮含量、比叶面积与光合速率之间的正相关关系，以及与叶片寿命之间的负相关关系。这种权衡反映了植物在快速资源获取和长期资源保存之间的策略选择，其数学关系可以用线性或非线性回归模型来描述： $y = \beta_0 + \beta_1 x + \epsilon$ 。

根系经济型谱则描述了根系功能性状的协变模式，涉及细根直径、根组织密度、根寿命等性状。通常，快速资源获取型的根系具有较细的直径、较低的组织密度和较短的寿命，而资源保存型的根系则相反。这些经济型谱的发现为理解植物功能策略的普遍模式提供了理论基础，在全球变化生态学、生物地理学和生态系统管理中具有重要应用价值。它们帮助我们预测植物群落对气候变化和人为干扰的响应，以及生态系统功能的变化趋势。

在 R 语言中，功能性状相关性分析可以通过多种统计方法实现。图??展示了功能性状相关性矩阵的可视化和主成分分析结果：

表 5.6 功能性状相关性矩阵

|       | 比叶面积       | 叶片氮含量      | 光合速率       | 叶片寿命       |
|-------|------------|------------|------------|------------|
| 比叶面积  | 1.0000000  | 0.9964051  | 0.9906672  | -0.9740756 |
| 叶片氮含量 | 0.9964051  | 1.0000000  | 0.9821403  | -0.9647267 |
| 光合速率  | 0.9906672  | 0.9821403  | 1.0000000  | -0.9951811 |
| 叶片寿命  | -0.9740756 | -0.9647267 | -0.9951811 | 1.0000000  |

表 5.7 主成分分析结果：方差解释比例

|     | 主成分 | 标准差   | 方差比例  | 累积方差比例 |
|-----|-----|-------|-------|--------|
| PC1 | PC1 | 1.988 | 0.988 | 0.988  |
| PC2 | PC2 | 0.211 | 0.011 | 0.999  |
| PC3 | PC3 | 0.059 | 0.001 | 1.000  |
| PC4 | PC4 | 0.015 | 0.000 | 1.000  |

对于经济型谱分析，可以使用线性模型来检验性状间的权衡关系。图5.43展示了叶片经济型谱关系的散点图：

表 5.8 叶片经济型谱关系线性回归结果

|             | Estimate  | Std. Error | t value   | Pr(> t )  |
|-------------|-----------|------------|-----------|-----------|
| (Intercept) | 3.6704042 | 0.6898330  | 5.320714  | 0.0129693 |
| 比叶面积        | 0.5367956 | 0.0426408  | 12.588774 | 0.0010808 |

**结果解释与生态学意义：**功能性状相关性分析的结果解释需要结合相关系数的数值大小、显著性水平和生态学背景。相关系数  $r$  的绝对值大小反映了性状间关系的强度： $|r| > 0.7$  表示强相关， $0.5 < |r| \leq 0.7$

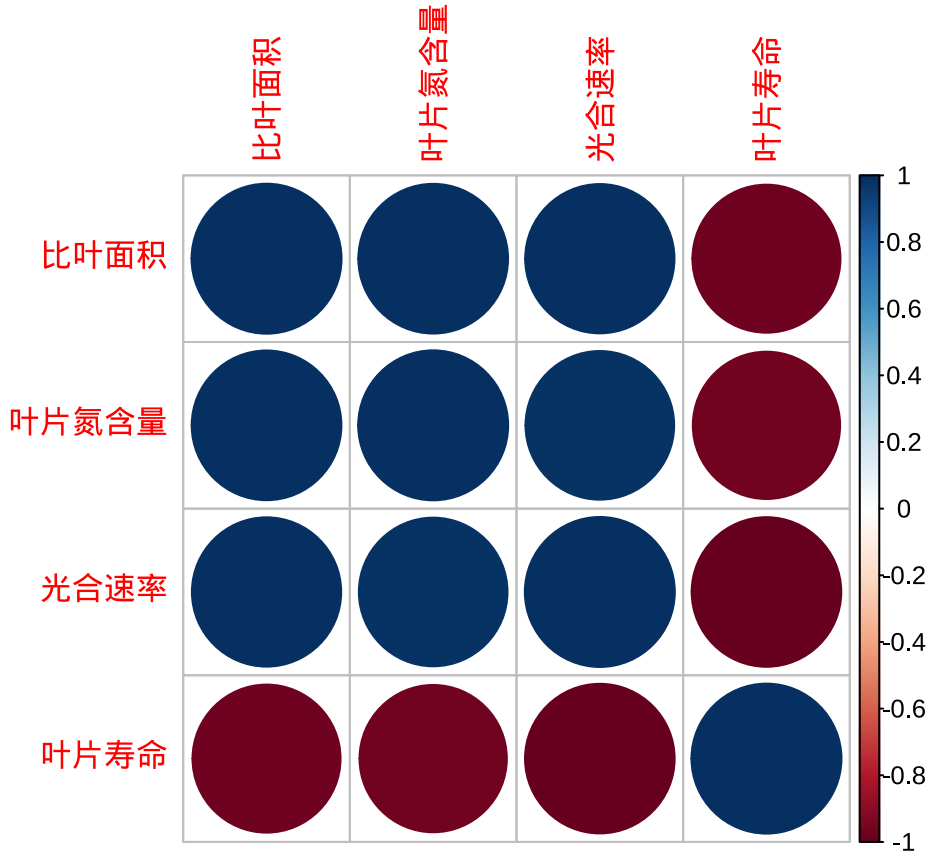


图 5.41 功能性状相关性矩阵图和主成分分析双标图

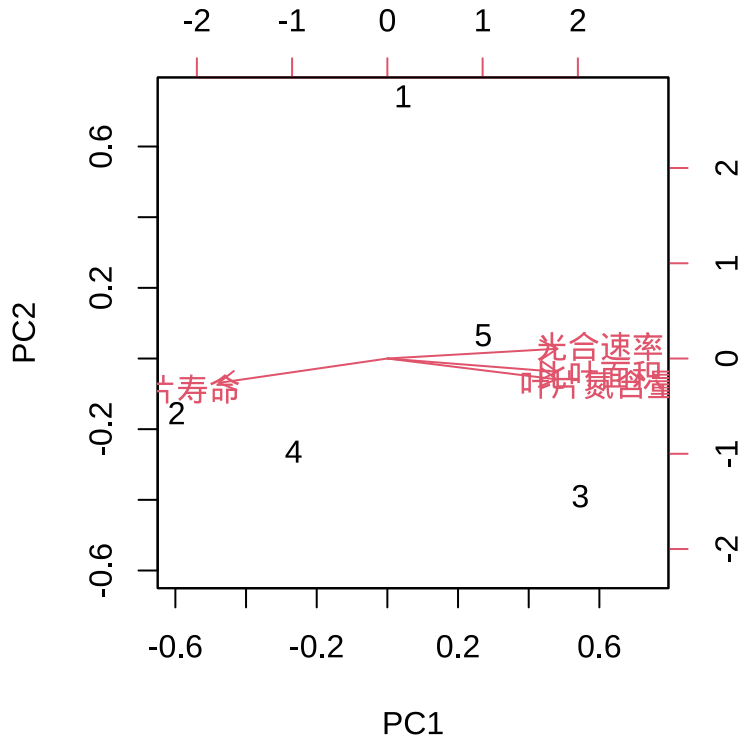


图 5.42 功能性状相关性矩阵图和主成分分析双标图

表 5.9 叶片寿命与比叶面积关系线性回归结果

|             | Estimate   | Std. Error | t value   | Pr(> t )  |
|-------------|------------|------------|-----------|-----------|
| (Intercept) | 20.9853325 | 1.6234494  | 12.926385 | 0.0009994 |
| 比叶面积        | -0.7484065 | 0.1003507  | -7.457912 | 0.0049911 |

## 叶片经济型谱：比叶面积与光合速率关系

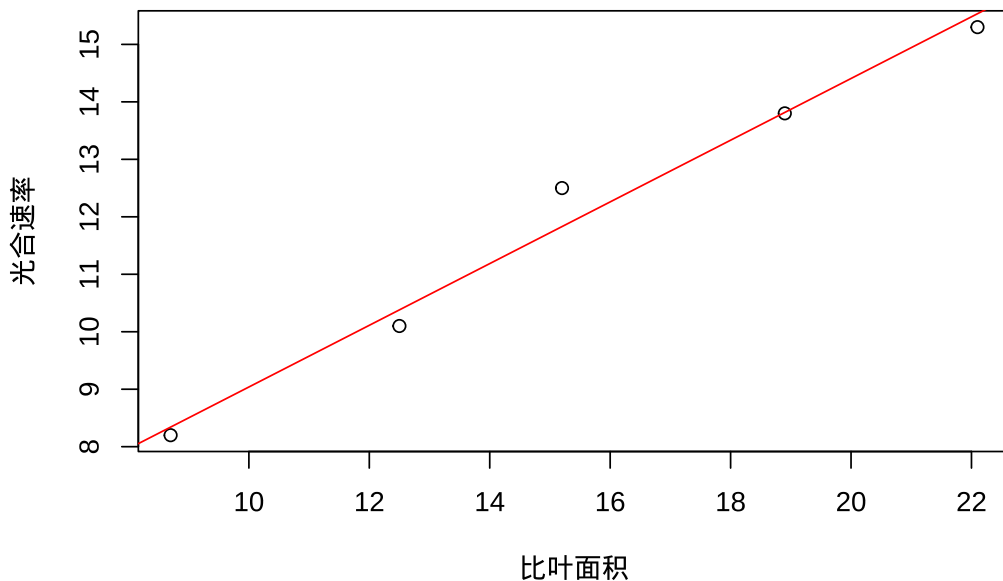


图 5.43 叶片经济型谱关系散点图

表示中等相关， $0.3 < |r| \leq 0.5$  表示弱相关， $|r| \leq 0.3$  表示无实质性相关。相关系数的正负号指示了关系的方向：正相关表示性状间协同变化，负相关表示性状间存在权衡关系。

在生态学解释中，显著的正相关可能反映了功能综合征的存在，如快速生长策略相关的性状组合；显著的负相关则可能指示资源分配上的权衡，如在防御和生长之间的投资权衡。主成分分析中，前几个主成分的方差贡献率反映了数据的主要变异方向，通常认为累计方差贡献率超过 70% 的主成分能够较好地代表原始数据的变异结构。这些分析方法为生态学家提供了强大的工具来量化功能性状间的相关模式，揭示生物适应策略的普遍规律。

## 5.7.3 种内相关性

种内相关性分析关注同一物种个体在空间上的分布模式及其形成机制，是理解种群生态学过程和环境适应策略的重要工具。空间分布模式反映了物种的繁殖特性、扩散能力以及对环境异质性的响应。

**空间分布模式：**物种的空间分布主要有三种基本模式：聚集分布、随机分布和均匀分布。聚集分布表现为个体在某些区域集中分布，形成斑块状格局，这通常由有限的种子扩散、克隆生长、环境异质性或社会行为等因素导致。其数学描述可以通过空间点过程模型来表示，如泊松聚类过程。随机分布则表现为个体在空间上无规律地分布，符合完全空间随机性假设，数学上可以用齐次泊松过程来描述： $P(N(A) = k) = \frac{(\lambda|A|)^k e^{-\lambda|A|}}{k!}$ ，其中  $\lambda$  为强度参数， $|A|$  为区域面积。均匀分布表现为个体在空间上等距

分布，通常由强烈的种内竞争或领地行为导致。

这些分布模式的生态学意义在于它们反映了种内相互作用和环境异质性的综合影响。聚集分布常见于依赖母树扩散的植物物种或具有社会行为的动物种群；随机分布通常出现在环境均质且个体间无相互作用的条件下；均匀分布则多见于资源竞争激烈的环境中。

**聚集指数：**为了量化空间分布模式，生态学家开发了多种聚集指数。方差均值比是最基础的聚集度检验方法，其定义为： $I = \frac{s^2}{\bar{x}}$ ，其中  $s^2$  为样本方差， $\bar{x}$  为样本均值。当  $I > 1$  时表示聚集分布， $I = 1$  时表示随机分布， $I < 1$  时表示均匀分布。Morisita 指数是另一种常用的空间聚集度量，其定义为： $I_\delta = n \frac{\sum x_i(x_i-1)}{N(N-1)}$ ，其中  $n$  为样方数， $x_i$  为第  $i$  个样方中的个体数， $N$  为总个体数。Morisita 指数对样本大小不敏感，在生态学调查中应用广泛。

这些聚集指数的生态学意义在于它们能够量化种内空间分布模式，为理解种群动态、资源利用策略和种内竞争提供定量依据。在保护生物学中，聚集指数有助于评估物种的生存状况和制定有效的保护策略。

在 R 语言中，种内空间分布分析可以通过以下方法实现：

```
# 创建示例空间分布数据
spatial_data <- c(3, 7, 2, 8, 1, 9, 4, 6, 2, 5) # 10 个样方中的个体数

# 计算方差均值比
mean_count <- mean(spatial_data)
variance_count <- var(spatial_data)
variance_mean_ratio <- variance_count / mean_count
print(paste("方差均值比:", variance_mean_ratio))

## [1] "方差均值比: 1.60992907801418"

# 计算 Morisita 指数
n_quadrats <- length(spatial_data)
total_individuals <- sum(spatial_data)
numerator <- n_quadrats * sum(spatial_data * (spatial_data - 1))
denominator <- total_individuals * (total_individuals - 1)
morisita_index <- numerator / denominator
print(paste("Morisita 指数:", morisita_index))

## [1] "Morisita 指数: 1.11933395004625"

# 判断分布模式
if (variance_mean_ratio > 1.2) {
  print("分布模式: 聚集分布")
} else if (variance_mean_ratio < 0.8) {
  print("分布模式: 均匀分布")
} else {
  print("分布模式: 随机分布")
}

## [1] "分布模式: 聚集分布"
```

**结果解释与生态学意义：**空间分布模式的分析结果需要结合聚集指数的数值和统计显著性来解释。方差均值比  $I$  的判断标准为： $I > 1.2$  表示聚集分布， $0.8 \leq I \leq 1.2$  表示随机分布， $I < 0.8$  表示均匀分布。Morisita 指数的判断标准类似： $I_\delta > 1$  表示聚集分布， $I_\delta = 1$  表示随机分布， $I_\delta < 1$  表示均匀分布。

在生态学解释中，聚集分布通常指示存在环境异质性、有限的扩散能力或社会行为；随机分布可能出现在环境均质且个体间无相互作用的条件下；均匀分布则通常由强烈的种内竞争导致。这些分布模式

的识别对于理解种群动态、设计抽样方案和制定保护策略具有重要意义。例如，对于聚集分布的物种，保护措施需要关注其核心分布区；对于均匀分布的物种，则需要考虑其竞争机制和资源利用策略。这些分析方法为生态学家提供了量化种内空间分布模式的工具，支持种群生态学和保护生物学研究。

#### 5.7.4 种间相关性

种间相关性分析是群落生态学的核心内容，旨在揭示不同物种在空间分布、资源利用和生态功能上的相互关系。这些关系反映了物种间的竞争、互利、捕食等生态过程，是理解群落构建机制和生态系统稳定性的关键。

**种间关联：**种间关联主要分为三种类型：正相关、负相关和不相关。正相关表现为两个物种在空间上倾向于共同出现，这可能源于互利共生关系、相似的环境需求或共同的扩散限制。数学上可以用相关系数或关联指数来量化： $\phi = \frac{ad-bc}{\sqrt{(a+b)(c+d)(a+c)(b+d)}}$ ，其中  $a, b, c, d$  为  $2 \times 2$  列联表中的频数。负相关则表现为两个物种在空间上相互排斥，通常由竞争排斥、化感作用或不同的生态位需求导致。不相关则表示两个物种的分布相互独立，没有显著的生态联系。

这些关联模式的生态学意义在于它们反映了物种间相互作用的性质和强度。正相关可能指示物种间的协同进化或生态位重叠，负相关则暗示强烈的竞争或生态位分化。在恢复生态学中，种间关联分析有助于设计合理的物种配置方案；在保护生物学中，它有助于识别关键物种和功能群。

**生态网络构建：**基于种间相关性可以构建生态网络，从而可视化物种间相互作用的复杂结构。网络构建通常基于相关性矩阵，通过设定阈值将显著的相关关系转化为网络边。网络拓扑特征分析包括度分布、聚类系数、模块性等指标的计算。度分布描述了物种连接数的分布规律，数学上可以用幂律分布  $P(k) \sim k^{-\gamma}$  来拟合。聚类系数衡量了网络中三角形的比例，反映了物种间相互作用的局部聚集性。模块性则量化了网络被划分为相对独立模块的程度。

这些网络特征的生态学意义在于它们揭示了物种间相互作用的结构特性。高度模块化的网络可能反映了生态系统的功能分区，而高聚类系数则暗示了物种间的功能互补。在网络生态学中，这些分析有助于理解生态系统的稳定性和恢复力，预测物种灭绝的级联效应。

在 R 语言中，种间相关性分析和生态网络构建可以通过以下方法实现：

```
load(file="data/species_net_data.RData")
# 计算种间关联矩阵
library(vegan)
association_matrix <- cor(t(species_data))
knitr::kable((association_matrix), caption = "种间关联矩阵", booktabs = TRUE) %>%
  kableExtra::kable_styling(latex_options = c("hold_position"))

# 构建生态网络
library(igraph)
# 设定相关性阈值
threshold <- 0.3
adj_matrix <- ifelse(abs(association_matrix) > threshold, 1, 0)
diag(adj_matrix) <- 0 # 移除自连接

# 创建网络对象
network <- graph_from_adjacency_matrix(adj_matrix, mode = "undirected")
```

表 5.10 种间关联矩阵

|      | 物种 A       | 物种 B       | 物种 C       | 物种 D       |
|------|------------|------------|------------|------------|
| 物种 A | 1.0000000  | -0.4082483 | -0.6666667 | 0.6123724  |
| 物种 B | -0.4082483 | 1.0000000  | -0.4082483 | -0.2500000 |
| 物种 C | -0.6666667 | -0.4082483 | 1.0000000  | -0.4082483 |
| 物种 D | 0.6123724  | -0.2500000 | -0.4082483 | 1.0000000  |

```
# 计算网络拓扑特征
degree_dist <- degree(network)
clustering_coef <- transitivity(network, type = "global")
print(paste(" 平均度:", mean(degree_dist)))

## [1] "平均度: 2.5"
print(paste(" 聚类系数:", clustering_coef))

## [1] "聚类系数: 0.75"

# 保存当前图形参数
old_par <- par()
par(family = "WenQuanYi Micro Hei")
# 可视化网络
plot(network,
      vertex.size = 15, vertex.color = "lightblue",
      edge.color = "gray", main = " 种间关联网络"
)
```

种间关联网络

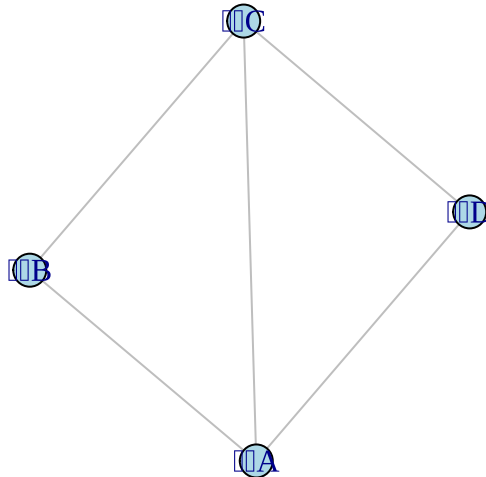


图 5.44 种间关联网络图

```
# 恢复默认图形参数
par(old_par)
```

**结果解释与生态学意义：**种间相关性分析的结果解释需要结合相关系数的数值、显著性水平和生态学机制。对于种间关联系数  $\phi$ , 通常认为:  $|\phi| > 0.3$  表示强关联,  $0.2 < |\phi| \leq 0.3$  表示中等关联,  $|\phi| \leq 0.2$  表示弱关联。正关联  $\phi > 0$  表示物种倾向于共同出现, 可能源于互利共生或相似的环境需求; 负关联  $\phi < 0$  表示物种相互排斥, 可能源于竞争或不同的生态位需求。

在网络分析中，度分布的特征反映了物种在群落中的连接性，幂律分布  $\gamma > 2$  的网络通常具有较好的稳定性。聚类系数  $C > 0.5$  表示网络中三角形结构丰富，可能反映了功能互补的物种组合。模块性  $Q > 0.3$  通常被认为是显著的模块结构，反映了生态系统的功能分区。这些网络特征有助于理解生态系统的稳定性和功能组织，为保护关键物种和维持生态系统功能提供科学依据。这些分析方法为生态学家提供了研究种间相互作用的定量工具，支持群落生态学和生态系统管理研究。

### 5.7.5 群落相似性

群落相似性分析是生态学中研究群落组成变化和空间格局的核心方法，涉及多种统计技术来量化和可视化群落间的相似性和差异性。这些方法帮助生态学家理解环境梯度、地理距离和历史因素对群落构建的影响。

**Mantel 检验：**Mantel 检验是一种用于检验两个距离矩阵相关性的统计方法，在生态学中常用于检验环境距离与群落距离之间的关系。其基本原理是通过置换检验评估两个矩阵元素间的相关性显著性，数学上计算 Mantel 统计量： $r_M = \frac{\sum_{i < j} (x_{ij} - \bar{x})(y_{ij} - \bar{y})}{\sqrt{\sum_{i < j} (x_{ij} - \bar{x})^2 \sum_{i < j} (y_{ij} - \bar{y})^2}}$ ，其中  $x_{ij}$  和  $y_{ij}$  分别为两个距离矩阵中的元素。生态学意义在于 Mantel 检验能够识别环境过滤、扩散限制等生态过程对群落构建的相对贡献，是群落生态学中空间分析的重要工具。

**排序分析 (ordination)：**排序分析是一类降维技术，用于在低维空间中可视化高维的群落数据。主成分分析 (PCA) 适用于线性响应的环境梯度，通过特征值分解找到数据变异的主要方向，数学上求解协方差矩阵的特征向量： $\Sigma v = \lambda v$ 。对应分析 (CA) 基于卡方距离，更适合物种多度数据，能够同时排序样方和物种。非度量多维标度 (NMDs) 基于秩次距离，不假设线性关系，对异常值不敏感，通过迭代优化使排序空间中的距离与原始距离矩阵尽可能一致。这些排序方法的生态学意义在于它们能够可视化群落结构和环境梯度，识别主导的生态过程和环境因子。

**聚类分析 (clustering)：**聚类分析用于识别群落类型和进行生态区划。层次聚类基于距离矩阵构建树状结构，常用方法包括单连接、完全连接和平均连接法，通过逐层合并最相似的样本形成聚类树。 $k$  均值聚类是一种划分方法，通过迭代优化将样本划分为  $k$  个簇，最小化簇内平方和： $\sum_{i=1}^k \sum_{x \in C_i} \|x - \mu_i\|^2$ 。这些聚类方法的生态学意义在于它们能够识别群落类型和生态区划，为生物多样性保护和生态系统管理提供科学依据。

**Beta 多样性：**Beta 多样性量化了群落组成在空间或时间上的变化，反映了物种周转和嵌套性两个组分。基于距离矩阵的方法如 Bray-Curtis 距离可以直接计算群落差异，而基于组分分解的方法可以将 Beta 多样性分解为物种周转（物种替换）和嵌套性（物种丢失）两部分： $\beta_{total} = \beta_{turnover} + \beta_{nestedness}$ 。生态学意义在于 Beta 多样性分析能够揭示生物多样性形成的机制，如环境过滤、扩散限制和生态位过程，是理解生物地理格局和生态系统功能的关键。

在 R 语言中，群落相似性分析可以通过以下方法实现：

```
library(vegan)
load(file="data/community_net_data.RData")
# Mantel 检验
```

```

comm_dist <- vegdist(community_data, method = "bray")
env_dist <- dist(env_data)
mantel_test <- mantel(comm_dist, env_dist)
print(mantel_test)

##
## Mantel statistic based on Pearson's product-moment correlation
##
## Call:
## mantel(xdis = comm_dist, ydis = env_dist)
##
## Mantel statistic r: 0.4779
## Significance: 0.013
##
## Upper quantiles of permutations (null model):
##   90% 95% 97.5% 99%
## 0.278 0.358 0.408 0.513
## Permutation: free
## Number of permutations: 999

# 排序分析 - PCA
pca_result <- rda(community_data, scale = TRUE)
knitr::kable(summary(pca_result)$cont[[1]],
             caption = "群落相似性 PCA 分析结果",
             booktabs = TRUE) %>%
  kableExtra::kable_styling(latex_options = c("hold_position"))

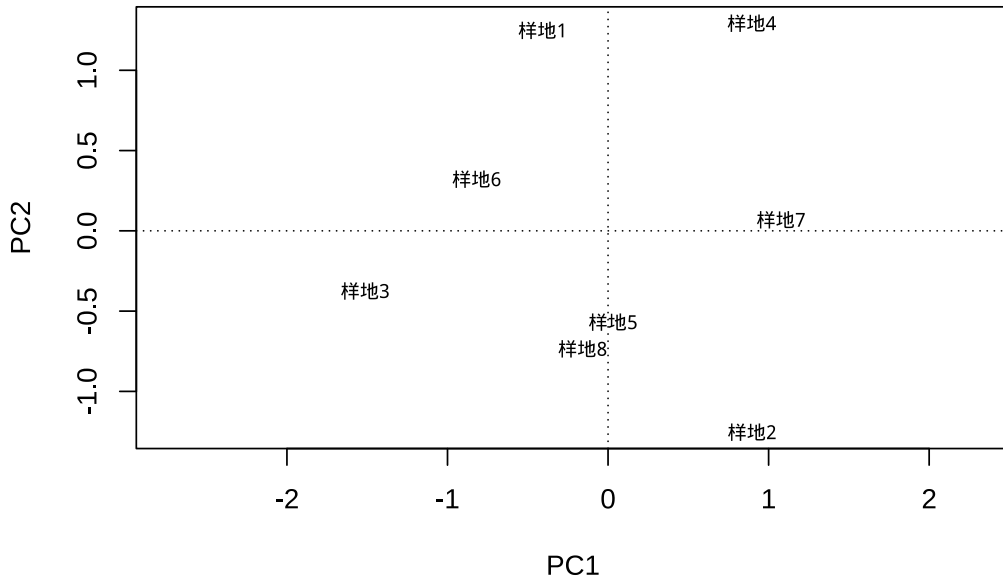
```

表 5.11 群落相似性 PCA 分析结果

|                       | PC1       | PC2       | PC3       | PC4       | PC5       |
|-----------------------|-----------|-----------|-----------|-----------|-----------|
| Eigenvalue            | 2.8024582 | 1.7268720 | 0.3559326 | 0.0857154 | 0.0290218 |
| Proportion Explained  | 0.5604916 | 0.3453744 | 0.0711865 | 0.0171431 | 0.0058044 |
| Cumulative Proportion | 0.5604916 | 0.9058660 | 0.9770526 | 0.9941956 | 1.0000000 |

表5.11展示了群落相似性的主成分分析结果，包括各主成分的特征值、方差解释比例和累积方差解释比例，为理解群落组成的多维变异结构提供了量化指标。

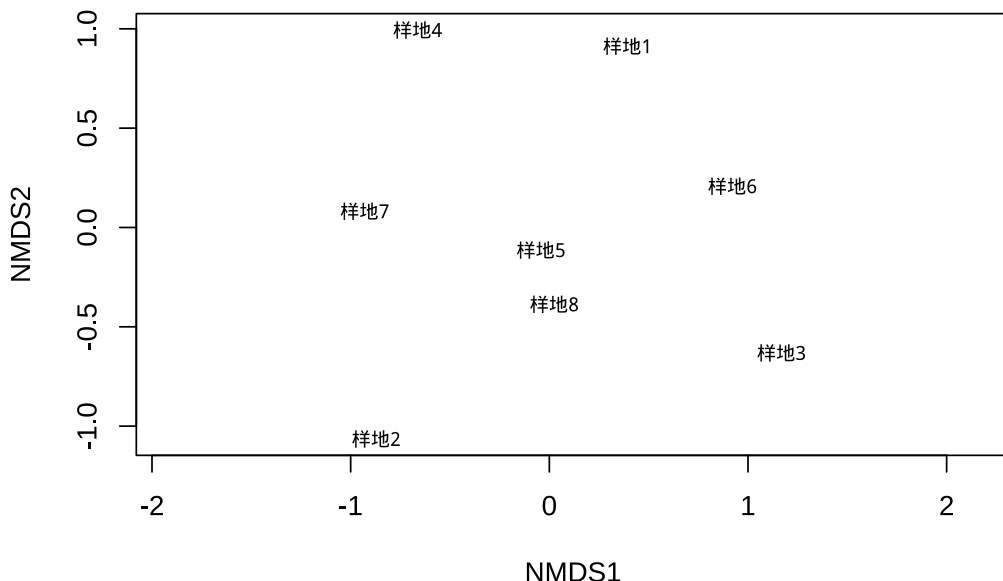
```
plot(pca_result, display = "sites")
```



这段代码生成图??，使用 `plot()` 函数可视化 PCA 分析结果，`display = "sites"` 参数指定只显示样方在排序空间中的位置。该散点图展示了不同群落样方在主成分 1 和主成分 2 构成的二维空间中

的分布，样方间的距离反映了群落组成的相似性，距离越近表示群落组成越相似。这种可视化方法能够直观地展示群落结构的梯度变化、识别群落类型以及发现环境梯度对群落组成的影响模式。

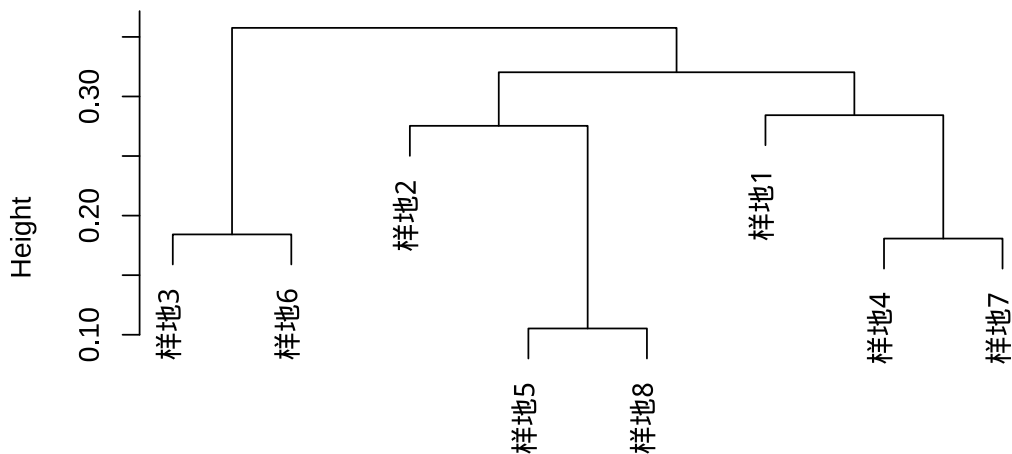
```
# 排序分析 - NMDS
comm_dist <- vegdist(community_data, method = "bray")
nmds_result <- monoMDS(comm_dist)
plot(nmds_result, type = "t")
```



这段代码执行非度量多维尺度分析并生成图??。`vegdist()` 函数使用 Bray-Curtis 距离计算群落相似性矩阵，`monoMDS()` 函数执行 NMDS 排序，`plot()` 函数可视化结果，`type = "t"` 参数指定显示样方标签。NMDS 是一种非参数排序方法，不依赖线性假设，特别适用于生态学中常见的非线性关系数据。该散点图展示了样方在 NMDS 排序空间中的分布，样方间距离反映了群落组成的 Bray-Curtis 相似性，能够更好地处理物种多度数据的非线性关系和零值问题。

```
# 聚类分析 - 层次聚类
hc_result <- hclust(comm_dist, method = "average")
plot(hc_result)
```

### Cluster Dendrogram



```
comm_dist
hclust (*, "average")
```

这段代码执行层次聚类分析并生成图??。`hclust()` 函数基于群落 Bray-Curtis 距离矩阵执行层次聚类, `method = "average"` 参数指定使用平均连接法 (UPGMA), `plot()` 函数可视化聚类树状图。层次聚类通过逐步合并最相似的群落样方, 构建嵌套的群落分类结构, 树状图的高度表示群落间的相异性程度。这种可视化方法能够清晰地展示群落的分类关系、识别群落类型以及确定合适的分类等级, 为群落生态学的分类和分区研究提供直观依据。

```
# Beta 多样性计算
beta_div <- betadiver(community_data, method = "w")
knitr::kable(as.matrix(beta_div),
             caption = "群落相似性 Beta 多样性分析结果",
             booktabs = TRUE) %>%
kableExtra::kable_styling(latex_options = c("hold_position"))
```

表 5.12 群落相似性 Beta 多样性分析结果

|      | 样地 1      | 样地 2      | 样地 3      | 样地 4      | 样地 5      | 样地 6      | 样地 7      | 样地 8      |
|------|-----------|-----------|-----------|-----------|-----------|-----------|-----------|-----------|
| 样地 1 | 0.0000000 | 0.1111111 | 0.1111111 | 0.1111111 | 0.1111111 | 0.1111111 | 0.1111111 | 0.1111111 |
| 样地 2 | 0.1111111 | 0.0000000 | 0.0000000 | 0.0000000 | 0.0000000 | 0.0000000 | 0.0000000 | 0.0000000 |
| 样地 3 | 0.1111111 | 0.0000000 | 0.0000000 | 0.0000000 | 0.0000000 | 0.0000000 | 0.0000000 | 0.0000000 |
| 样地 4 | 0.1111111 | 0.0000000 | 0.0000000 | 0.0000000 | 0.0000000 | 0.0000000 | 0.0000000 | 0.0000000 |
| 样地 5 | 0.1111111 | 0.0000000 | 0.0000000 | 0.0000000 | 0.0000000 | 0.0000000 | 0.0000000 | 0.0000000 |
| 样地 6 | 0.1111111 | 0.0000000 | 0.0000000 | 0.0000000 | 0.0000000 | 0.0000000 | 0.0000000 | 0.0000000 |
| 样地 7 | 0.1111111 | 0.0000000 | 0.0000000 | 0.0000000 | 0.0000000 | 0.0000000 | 0.0000000 | 0.0000000 |
| 样地 8 | 0.1111111 | 0.0000000 | 0.0000000 | 0.0000000 | 0.0000000 | 0.0000000 | 0.0000000 | 0.0000000 |

表5.12展示了群落相似性的 Beta 多样性分析结果, 使用 Whittaker 方法计算群落间的相异性矩阵, 为理解群落组成的空间变异模式提供了量化指标。

**结果解释与生态学意义:** 群落相似性分析的结果解释需要结合统计显著性、效应大小和生态学背景。

对于 Mantel 检验，通常认为  $p < 0.05$  表示环境距离与群落距离存在显著相关性，而 Mantel 统计量  $r_M$  的大小反映了相关性的强度： $|r_M| > 0.3$  表示强相关， $0.2 < |r_M| \leq 0.3$  表示中等相关， $|r_M| \leq 0.2$  表示弱相关。

在排序分析中，前两个排序轴通常能够解释数据的主要变异，累计解释率超过 50% 通常被认为是可接受的。排序图中样本点的聚集程度反映了群落的相似性，而环境向量的长度和方向指示了环境因子对群落变异的影响强度。在聚类分析中，树状图的切割高度决定了聚类的粒度，通常选择在树状图分支较长的位置进行切割。Beta 多样性的解释需要考虑其组分：高周转率  $\beta_{turnover}$  表示物种替换是群落差异的主要机制，而高嵌套性  $\beta_{nestedness}$  表示物种丢失是主要机制。

这些分析结果的生态学解释需要结合具体的研究问题。例如，显著的环境-群落相关性可能支持环境过滤假说；高度的 Beta 多样性可能反映了强烈的生态位分化或扩散限制。这些分析方法为生态学家提供了全面的工具集来研究群落相似性和多样性格局，支持群落生态学和生物地理学研究。

## 5.8 总结

本章系统介绍了生态学中相关性与相似性分析的理论基础、方法体系及其在生态学研究中的广泛应用。相关性与相似性分析作为生态统计学的核心内容，为理解生物与环境、物种间以及群落间的复杂关系提供了定量化的工具。

在相关性统计基础部分，我们详细讨论了多种相关性度量方法。Pearson 相关系数适用于线性关系的量化，Spearman 秩相关和 Kendall's  $\tau$  则能够处理单调但非线性的关系。偏相关分析通过控制混杂变量的影响，揭示了变量间的直接关系。距离相关和互信息进一步扩展了相关性分析的能力，能够检测复杂的非线性关系和依赖模式。这些方法的选择需要根据数据的分布特征、关系类型以及研究问题的性质来决定。

自相关分析关注数据在时间和空间维度上的依赖性。时间自相关通过自相关函数（ACF）和偏自相关函数（PACF）揭示了时间序列中的周期性、趋势和记忆效应，而平稳性检验则为时间序列分析提供了基础假设验证。空间自相关分析则通过变异函数、全局空间自相关指数（如 Moran's  $I$  和 Geary's  $C$ ）以及局部空间自相关（LISA 分析）来量化空间格局，识别空间聚集、离散或随机分布模式。这些分析对于理解种群动态、物种分布和环境梯度的空间结构具有重要意义。

系统发育相关性分析将进化历史纳入生态关系的考量。系统发育信号分析（如 Blomberg's  $K$  和 Pagel's  $\lambda$ ）评估了性状在系统发育树上的保守性程度，系统发育独立对比（PIC）和系统发育广义最小二乘法（PGLS）则能够去除系统发育非独立性对性状间关系分析的影响，而通过分析系统发育聚集与分散则有助于推断群落形成的主导机制。这些方法为理解生物的进化历史和生态功能提供了进化生态学的视角。

相似性与距离分析构成了群落生态学和功能生态学的核心方法体系。常用相似性系数根据数据类型分为二元数据相似性（Jaccard、Sørensen 系数）和数量数据相似性（Bray-Curtis 距离、Morisita-Horn

指数)，而传统距离度量（欧氏距离、Mahalanobis 距离）则在多元数据分析中发挥重要作用。功能性状相关性分析揭示了生物在资源分配和生态策略上的权衡关系，经济型谱理论则提供了理解植物功能策略普遍模式的框架。

种内相关性分析通过空间分布模式和聚集指数量化了同一物种个体在空间上的分布特征，反映了种内相互作用和环境异质性的综合影响。种间相关性分析则通过种间关联和生态网络构建揭示了物种间竞争、互利等相互作用的结构特性。群落相似性分析整合了 Mantel 检验、排序分析、聚类分析和 Beta 多样性等多种方法，为理解群落构建机制、环境梯度影响以及生物地理格局提供了全面的分析工具。

在结果解释方面，本章为各种统计量提供了明确的数值标准和生态学解释框架。相似性系数的数值范围、相关系数的强度分级、聚集指数的判断标准以及网络拓扑特征的阈值都为生态学家提供了实用的参考依据。这些标准的应用需要结合具体的研究背景和生态学预期，避免机械地套用数值标准而忽视生态学机制的理解。

总之，相关性与相似性分析构成了生态统计学的重要支柱，它们不仅提供了量化生态关系的数学工具，更重要的是为理解生态系统的结构、功能和动态提供了理论框架。随着生态学研究的深入和计算技术的发展，这些方法将继续在生态学理论构建、生态系统管理和生物多样性保护中发挥关键作用。掌握这些分析方法并正确理解其生态学含义，对于开展严谨的生态学研究具有重要意义。

## 5.9 综合练习

### 5.9.1 练习一：森林生态系统多变量相关性分析

**背景：**某生态学研究团队在温带森林中设置了 40 个固定样地，测量了树木胸径、树高、林分密度、土壤 pH 值、土壤有机质含量和林下光照强度等变量。

**任务：**本练习要求你使用 Pearson、Spearman 和 Kendall's 三种方法分析树木胸径与树高的相关性，比较不同方法的结果并解释差异原因。进行偏相关分析，在控制林分密度的影响后，重新评估树木胸径与树高的关系。使用距离相关分析检验土壤 pH 值与土壤有机质含量之间的关系，判断是否存在非线性关系。构建环境因子（土壤 pH、有机质、光照）与林分特征（胸径、树高、密度）的互信息网络，识别关键的环境驱动因子。

**要求：**提供完整的 R 代码实现，对每种相关性方法的结果进行生态学解释，讨论不同方法在生态学应用中的优缺点。

### 5.9.2 练习二：鸟类种群时间序列与空间格局分析

**背景：**某自然保护区对 10 种常见鸟类进行了为期 15 年的种群监测，同时在保护区内设置了 50 个固定观测点记录鸟类丰富度。

**任务：**本练习要求你选择 3 种具有不同生态习性的鸟类，分析其种群数量的时间自相关模式 (ACF)

和 PACF)。检验这些鸟类种群时间序列的平稳性，如发现非平稳性，进行适当的差分处理。使用变异函数分析鸟类丰富度的空间分布格局，估计块金值、基台值和变程。进行局部空间自相关分析 (LISA 和 Getis-Ord Gi\*)，识别鸟类丰富度的热点和冷点区域。使用克里金插值生成保护区鸟类丰富度的空间分布预测图。

**要求：**提供时间序列图和空间分布图，解释时间自相关和空间自相关的生态学含义，讨论空间插值结果在保护管理中的应用价值。

### 5.9.3 练习三：植物功能性状与系统发育相关性分析

**背景：**某植物生态学研究调查了 30 种木本植物的功能性状，并构建了这些物种的系统发育树。测量的性状包括比叶面积、叶片氮含量、光合速率、木材密度和最大树高等。

**任务：**本练习要求你计算各功能性状间的 Pearson 相关系数矩阵，识别显著的相关关系。使用 Blomberg's K 和 Pagel's 检验各性状的系统发育信号强度。对具有显著系统发育信号的性状，使用系统发育独立对比 (PIC) 重新分析性状间关系。构建功能性状的经济型谱，分析比叶面积、叶片氮含量和光合速率之间的权衡关系。使用主成分分析探索功能性状的多维协变模式。

**要求：**提供系统发育树与性状分布的可视化，比较传统相关分析与 PIC 分析的结果差异，讨论功能性状相关性的生态适应意义。



# Chapter 6

## 生态假设的经典检验方法

### 6.1 引言

在生态学研究的广阔领域中，我们常常面临这样的困境：当我们观察到某种现象时，如何判断这是真实的生态规律还是偶然的随机波动？当我们实施某种保护措施后，如何确定它确实产生了预期的效果？这些问题正是统计假设检验所要回答的核心问题。

**本章内容概览：**本章将系统介绍**经典假设检验方法**，包括参数检验和传统非参数检验。这些方法是生态统计学的基础，为生态学家提供了在不确定性中做出科学判断的严谨框架。我们将从假设检验的基本概念开始，逐步深入到各种具体的检验方法，包括单样本检验、双样本检验、多样本检验，以及功效分析等关键技术。

这些经典方法构成了生态学研究中统计推断的基石，为后续学习更现代的统计方法奠定坚实基础。假设检验作为生态统计学的基石，是连接生态学理论与实证数据的桥梁。它为我们提供了一套严谨的数学框架，帮助我们在充满不确定性的自然系统中做出科学的判断。

对于生态学本科生而言，掌握假设检验不仅意味着学会一种统计技术，更意味着获得了一种科学的思维方式，一种在复杂生态系统中识别真实信号的能力。

生态学研究本质上是在噪声中寻找信号的过程。自然系统充满了变异——季节变化、随机事件、测量误差等等。假设检验帮助我们区分哪些模式是真实的生态过程，哪些只是随机波动的产物。例如，在研究不同森林类型对鸟类多样性的影响时，我们可能会观察到阔叶林中的鸟类种类似乎比针叶林更多。但这是真实的生态差异，还是抽样偶然性的结果？通过设定零假设（两种森林类型的鸟类多样性无差异）和备择假设（阔叶林中的鸟类多样性更高），然后收集数据并进行  $t$  检验或方差分析，我们可以基于统计证据得出科学结论。这种基于证据而非直觉的判断方式，是现代生态学研究的核心特征。

假设检验的应用贯穿生态学的各个领域。在物种保护中，我们需要检验保护措施是否真的提高了濒危物种的存活率；在入侵生态学中，我们需要判断外来物种是否对本地群落产生了显著影响；在污染生

态学中，我们需要评估污染物排放对水生生物多样性的影响程度；在气候变化研究中，我们需要检验温度升高是否确实改变了物种的物候期。每一个生态学问题的背后，都隐藏着一个或多个需要检验的假设。

更重要的是，假设检验不仅仅是数据分析的工具，它在科研的整个过程中都发挥着指导作用。从研究设计阶段开始，假设检验帮助我们明确研究目标，量化科学问题，并制定合理的实验方案。通过功效分析，我们可以在研究开始前评估检测预期效应的可能性，从而优化样本量的选择——既避免样本过小导致无法检测真实效应，也避免样本过大造成资源浪费。例如，在设计一个检验施肥对草地生产力影响的实验时，我们可以基于预期的效应大小、可接受的错误率和期望的统计功效，计算出所需的重复样方数量。这种基于假设检验的前瞻性设计，不仅提高了研究的科学性和效率，还确保了研究结果的可靠性和生态学意义。

在现代生态学的学术交流中，假设检验已经成为一种标准语言。无论是撰写科研论文、参加学术会议，还是评审他人研究，对假设检验的理解都是必不可少的。生态学期刊要求研究者明确陈述他们的科学假设，选择适当的统计检验方法，正确解释  $p$  值、置信区间等统计概念，并对多重比较进行必要的校正。这些要求不仅确保了研究的科学严谨性，也促进了生态学知识的积累和进步。

学习假设检验的过程，实际上是在培养一种批判性的科学思维方式。它教会我们如何评估证据的强度，如何区分相关性和因果关系，如何理解统计结论的概率性质。当我们看到 “ $p < 0.05$ ” 的结果时，我们学会的不仅仅是如何解释这个数字，更重要的是理解这意味着什么——我们有证据反对零假设，但这种证据不是绝对的，而是基于概率的。这种对不确定性的认识，对“显著”结果保持合理怀疑的态度，是优秀生态学家的重要品质。就像一位经验丰富的生态学家在观察自然现象时既保持开放又保持谨慎一样，统计假设检验教会我们在数据海洋中航行时既要有发现的勇气，也要有质疑的智慧。

让我们通过一个完整的生态学实例来体会假设检验的实际应用。假设我们要研究施肥对草地生产力的影响，我们设计了一个随机化实验：随机分配一半样方接受施肥处理，另一半作为对照。经过一个生长季的观测，我们测量了所有样方的生物量。使用独立样本  $t$  检验比较两组的生物量差异，如果得到  $p < 0.05$  的结果，我们有统计证据表明施肥确实提高了草地生产力。但优秀的生态学家不会止步于此——他们还会考虑效应大小（施肥带来的实际增产幅度）、置信区间（效应估计的不确定性范围），以及这个结果的生态学意义。这种全面的思考方式，正是假设检验训练所要达到的目标。

通过本章的学习，生态学本科生将逐步掌握假设检验的核心概念和方法。我们将从经典的参数检验（如  $t$  检验、方差分析）开始，了解它们的基本原理和适用条件；然后探讨非参数检验方法，应对生态数据中常见的非正态分布情况；我们还将学习多重比较校正技术，避免在同时进行多个检验时产生假阳性结果；最后，我们将介绍功效分析的概念，学习如何在研究设计阶段就确保我们的研究有足够的检测力。

假设检验不仅是一套统计工具，更是一种科学的思维方式。它帮助我们在复杂的自然系统中发现规律，在充满不确定性的生态过程中做出明智的判断。掌握假设检验，意味着你不仅学会了如何分析数据，更重要的是学会了如何像生态学家一样思考——严谨、批判、基于证据。这种能力将伴随你的整个科学

生涯，无论你将来从事生态研究、环境保护还是资源管理，都将受益无穷。

在接下来的章节中，我们将深入探讨各种假设检验方法的具体应用，通过丰富的生态学实例，帮助你建立起运用统计工具解决实际生态问题的能力。让我们开始这段探索统计推断与生态规律交汇之处的旅程吧——这是一段从直觉走向证据、从猜测走向确信的科学探索之旅。

为了帮助读者更好地理解各种假设检验方法在实际生态研究中的应用，本章将围绕一个贯穿始终的生态学案例——梅花鹿保护研究，系统介绍从单样本检验到多样本检验的各种统计方法。这个案例将为我们提供一个统一的框架，帮助我们理解不同检验方法如何解决具体的生态学问题。

## 6.2 梅花鹿保护与假设检验

让我们通过一个贯穿本章的生态学案例——梅花鹿保护研究，来深入理解假设检验在生态学中的应用。这个案例将帮助我们直观地理解各种假设检验方法如何解决具体的生态学问题。

**梅花鹿保护研究的背景：**某自然保护区为了恢复梅花鹿种群，实施了严格的禁猎保护措施。经过 5 年的保护，研究人员观察到梅花鹿种群数量从保护前的平均每平方公里 2.5 只增加到保护后的平均每平方公里 4.8 只。但这是保护措施的真实效果，还是种群自然波动的结果？这个看似简单的问题，实际上包含了多个需要检验的统计假设。

**单样本检验的应用：**首先，我们需要检验当前梅花鹿种群密度是否达到了保护目标。假设保护目标是每平方公里 4 只梅花鹿，我们可以使用单样本  $t$  检验来检验观测均值（4.8 只/平方公里）是否显著高于目标值（4 只/平方公里）。零假设  $H_0$ ：当前种群密度等于目标值；备择假设  $H_1$ ：当前种群密度高于目标值。如果  $p$  值小于 0.05，我们有证据表明种群确实达到了保护目标。

**双样本检验的应用：**更重要的是，我们需要检验保护措施是否真的有效。由于我们有保护前和保护后的数据，可以使用配对样本  $t$  检验来比较两个时间点的种群密度。零假设  $H_0$ ：保护前后种群密度无差异；备择假设  $H_1$ ：保护后种群密度更高。这种检验考虑了同一区域在不同时间的相关性，比独立样本检验更敏感。

**多样本检验的应用：**如果保护区实施了多种保护措施（如禁猎、栖息地恢复、人工投食），我们需要比较不同措施的效果。这时可以使用方差分析（ANOVA）来检验不同处理组的梅花鹿种群密度是否存在显著差异。如果 ANOVA 显示总体差异显著，我们还需要进行多重比较（如 Tukey HSD 检验）来确定具体哪些措施更有效。

**非参数检验的应用：**生态数据常常不满足正态分布假设。如果梅花鹿种群分布呈现明显的偏态（如少数区域密度极高，多数区域密度较低），我们可以使用非参数检验方法，如 Wilcoxon 符号秩检验（配对数据）或 Kruskal-Wallis 检验（多组比较）。这些方法不依赖于严格的正态分布假设，为生态数据提供了更稳健的统计工具。

**多重比较校正的必要性：**当我们同时比较多种保护措施时，直接进行多个  $t$  检验会增加假阳性风险。例如，比较 3 种措施需要进行 3 次两两比较，第一类错误率会从 5% 膨胀到 14%。多重比较校正方法

(如 Bonferroni 校正、Tukey HSD 检验) 帮助我们控制这种风险，确保统计结论的可靠性。

**功效分析的重要性：**在研究设计阶段，我们需要确定足够的样本量来检测预期的效应。如果保护措施预期能将梅花鹿密度从 2.5 只提高到 4 只，通过功效分析我们可以计算出需要监测多少个样区才能有 80% 的概率检测到这个差异。这避免了样本过小导致无法发现真实效应，也避免了样本过大造成资源浪费。

**生态学意义与统计显著性：**即使统计检验显示保护措施显著提高了梅花鹿密度，我们还需要考虑生态学意义。效应大小告诉我们保护措施带来的实际改善程度，置信区间提供了效应估计的不确定性范围。这些信息与统计显著性一起，构成了完整的科学证据。

这个梅花鹿保护案例将贯穿本章的各个部分，帮助我们理解不同假设检验方法如何应用于具体的生态学问题。通过这个连贯的案例，我们将看到统计方法如何从不同角度回答同一个生态学问题，以及如何整合多种证据得出全面的科学结论。

### 6.2.1 假设检验的基本步骤

假设检验虽然在不同情境下使用不同的统计方法，但都遵循一个通用的基本流程。理解这个通用流程有助于我们从更宏观的角度把握假设检验的本质，无论面对何种统计检验方法，都能保持清晰的思路。

**假设检验的通用流程：**

#### 1. 明确研究问题与假设设定

- 将生态学问题转化为统计问题（例如：梅花鹿保护措施是否有效？）
- 设定零假设 ( $H_0$ ) 和备择假设 ( $H_1$ )（详见下文零假设与备择假设小节）
- 确定检验类型（单侧或双侧）（详见下文零假设与备择假设小节）

#### 2. 选择适当的统计检验方法

- **经典参数检验：**基于理论分布（如  $t$  检验、 $F$  检验、 $\chi^2$  检验）（详见下文单样本检验、双样本检验、多样本检验小节）
- **非参数检验：**不依赖分布假设（如符号检验、秩和检验）（详见下文非参数检验方法小节）
- **模拟方法：**基于随机化或重抽样（如置换检验、蒙特卡洛检验）（详见下文蒙特卡洛检验小节）

例如，在梅花鹿保护研究中，由于我们有保护前和保护后的配对数据，应该选择配对样本  $t$  检验。

#### 3. 设定显著性水平 ( $\alpha$ )

- 通常设定为 0.05，表示愿意接受 5% 的第一类错误风险（详见下文显著性水平小节）
- 在某些高风险研究中可能使用更严格的水平（如 0.01）

在梅花鹿保护研究中，我们设定  $\alpha=0.05$ ，表示愿意接受 5% 的错误宣称保护措施有效的风险。

#### 4. 收集数据并计算检验统计量

- 确保数据质量（独立性、代表性等）
- 计算适当的检验统计量（详见下文检验统计量与 p 值小节）

在梅花鹿研究中，我们收集保护前和保护后的种群密度数据，计算配对差异的均值和标准差，进而计算  $t$  统计量。

#### 5. 确定 p 值或临界值

- **经典方法：**基于理论分布计算 p 值（详见下文检验统计量与 p 值小节）
- **模拟方法：**通过随机化构建零分布，计算经验 p 值（详见下文蒙特卡洛检验小节）

在梅花鹿研究中，我们基于  $t$  分布计算 p 值，评估在零假设下观测到当前种群增长的概率。

#### 6. 做出统计决策

- 如果 p 值  $< \alpha$ ，拒绝零假设
- 如果 p 值  $\geq \alpha$ ，不拒绝零假设

例如，如果梅花鹿研究的 p 值小于 0.05，我们拒绝零假设，有统计证据表明保护措施确实有效。

#### 7. 解释结果并考虑生态学意义

- 统计显著性  $\neq$  生态学重要性
- 结合效应大小、置信区间和专业知识（详见下文效应大小与置信区间小节）
- 考虑研究的局限性和潜在偏差

在梅花鹿研究中，即使统计上显著，我们还需要评估种群增长的生态学意义：这种增长是否足以维持种群的长期生存？是否达到了保护目标？

**模拟方法在假设检验中的特殊步骤：**

对于基于模拟的检验方法（如置换检验、蒙特卡洛检验），第 5 步需要特别处理：

1. **构建零模型：**根据零假设生成随机数据或重排观测值
2. **重复模拟：**多次重复模拟过程（通常 1000-10000 次）
3. **构建经验分布：**基于模拟结果构建检验统计量的零分布
4. **计算经验 p 值：**比较观测统计量与经验分布的位置

**生态学意义：**这个通用流程体现了科学的研究的严谨性。它帮助生态学家在复杂的自然系统中做出基于证据的判断，避免将随机波动误认为生态规律，也避免错过真实的生态效应。无论使用经典检验方法还是模拟方法，这个基本框架都适用，确保我们的统计推断既严谨又具有生态学意义。例如，在梅花鹿保护研究中，这个流程帮助我们科学地评估保护措施的真实效果，避免将种群的自然波动误认为保护成效。

## 6.2.2 零假设与备择假设

在生态学研究中，我们常常需要回答这样的问题：某种生态干预是否产生了真实效应？不同生境中的物种多样性是否存在显著差异？某个环境因子是否与物种丰度相关？这些问题的核心都可以通过假设检验来回答。

零假设 ( $H_0$ ) 是统计检验的起点，它通常表示“无效应”、“无差异”或“无关联”的状态。在生态学语境中，零假设可以理解为：

- 保护措施对种群数量没有影响（例如：梅花鹿保护措施对种群密度没有影响）
- 不同森林类型的鸟类多样性没有差异
- 污染物浓度与水生生物死亡率无关
- 气候变化对物候期没有显著影响

零假设代表了“维持现状”或“没有新发现”的保守立场。在科学的研究中，我们倾向于保守，要求有充分的证据才能推翻零假设。这种保守性体现了科学的严谨性——我们不会轻易接受新的发现，除非有强有力的证据支持。就像在生态调查中，我们不会因为看到几只鸟就断言整个种群发生了变化一样，统计检验要求我们保持谨慎和怀疑的态度。

### 为什么零假设通常是“无效应”状态？

零假设通常设定为“无效应”状态，这背后有着深刻的统计学和科学哲学原因。首先，从科学哲学的角度来看，可证伪性原则要求科学理论必须能够被潜在的证据所证伪。卡尔·波普尔强调的这一原则意味着，零假设作为“无效应”状态具有明确的证伪标准——如果我们观察到足够强的证据表明存在效应，就可以拒绝零假设。相比之下，复杂的零假设往往难以明确证伪，缺乏清晰的证伪标准。

其次，简约性原则（奥卡姆剃刀）在科学推理中起着重要作用。科学倾向于选择最简单的解释，除非有充分的证据支持更复杂的解释。“无效应”是最简单的假设，它不需要引入额外的参数或机制。只有当数据强烈支持时，我们才接受更复杂的备择假设。这种保守的态度有助于防止过度解释和假阳性发现。

从统计检验的逻辑结构来看，假设检验遵循“无罪推定”的逻辑框架。我们首先假设没有效应存在，然后寻找证据来反驳这个假设。这种结构确保了明确的决策标准——我们可以基于 p 值做出统计决策；可控的错误率——我们能够精确控制第一类错误的概率；以及可计算的概率——在零假设下，检验统计量的分布是已知的，便于计算 p 值。

数学上的便利性也是重要考量因素。“无效应”的零假设通常对应着已知的概率分布：均值差异为零对应 t 分布，方差比值为 1 对应 F 分布，观测频数等于期望频数对应卡方分布。这些已知分布使得我们可以精确计算 p 值和临界值，为统计推断提供了坚实的数学基础。

设定“无效应”的零假设还体现了科学的保守精神。我们不会轻易接受新的理论或发现，新理论必须通过严格的证据检验。这种保守性有助于防止假阳性发现和科学的研究的过度解读，确保科学知识的稳健积累。

在生态学研究的实际考虑中，自然系统本身就充满了变异和噪声。设定“无效应”的零假设帮助我们区分真实的生态模式与随机波动，避免将偶然的相关性误认为因果关系，确保我们的发现具有统计稳健性。

虽然理论上可以设定更复杂的零假设（如“效应大小为 0.5”而非“效应大小为 0”），但这会带来诸多问题：难以确定合适的复杂零假设值，检验统计量的分布可能未知，难以解释 p 值的实际意义，增加了统计检验的主观性。

在某些特殊情况下，我们确实会使用非零的零假设，如等效性检验（检验效应是否小于某个有意义的阈值）、非劣效性检验（在医学试验中检验新疗法是否不劣于标准疗法）或基于先验知识的生物学零假设。然而，在大多数生态学研究中，“无效应”的零假设仍然是最常用和最合适的选择，因为它提供了清晰的统计框架、可解释的结果和稳健的科学推断。

**备择假设 ( $H_1$ )** 则是我们想要证明的假设，它表示存在“有效应”、“有差异”或“有关联”。备择假设可以是：

- 保护措施提高了种群数量（例如：梅花鹿保护措施提高了种群密度）
- 阔叶林的鸟类多样性高于针叶林
- 污染物浓度与水生生物死亡率正相关
- 气候变化导致物候期提前

备择假设可以是单侧的 (directional) 或双侧的 (non-directional)。单侧备择假设指定了效应的方向（如施肥提高了生产力），而双侧备择假设只关心是否存在差异，不指定方向（如施肥改变了生产力）。选择单侧还是双侧检验取决于研究问题的具体性质。

**生态学意义：**零假设和备择假设的设定直接反映了我们要检验的生态学问题。它们将模糊的生态学疑问转化为明确的统计问题，为后续的数据收集和分析提供了清晰的框架。正确的假设设定是生态学研究成功的关键第一步。

在梅花鹿保护研究中，我们设定：  
- 零假设 ( $H_0$ )：保护前后梅花鹿种群密度无差异 ( $\mu_{\text{保护后}} = \mu_{\text{保护前}}$ )  
- 备择假设 ( $H_1$ )：保护后梅花鹿种群密度高于保护前 ( $\mu_{\text{保护后}} > \mu_{\text{保护前}}$ )

这是一个单侧检验，因为我们预期保护措施会提高种群密度。这种明确的假设设定为后续的统计分析提供了清晰的方向。

让我们再次通过一个具体的生态学实例来理解假设设定：

#### 实例：施肥对草地生产力的影响

假设我们研究施肥对草地生态系统生产力的影响。我们随机分配 20 个样方，其中 10 个接受施肥处理，10 个作为对照。经过一个生长季，我们测量每个样方的地上生物量。

- 零假设 ( $H_0$ )：施肥组和对照组的平均生物量没有差异 ( $\mu_{\text{施肥}} = \mu_{\text{不施肥}}$ )
- 备择假设 ( $H_1$ )：施肥组和对照组的平均生物量存在差异 ( $\mu_{\text{施肥}} \neq \mu_{\text{不施肥}}$ )

这是一个双侧检验的例子，因为我们没有预设施肥一定会提高生产力（在某些情况下，过度施肥可能反而抑制生长）。

为了更好地理解零假设与备择假设的分布关系，让我们生成一个可视化图表：

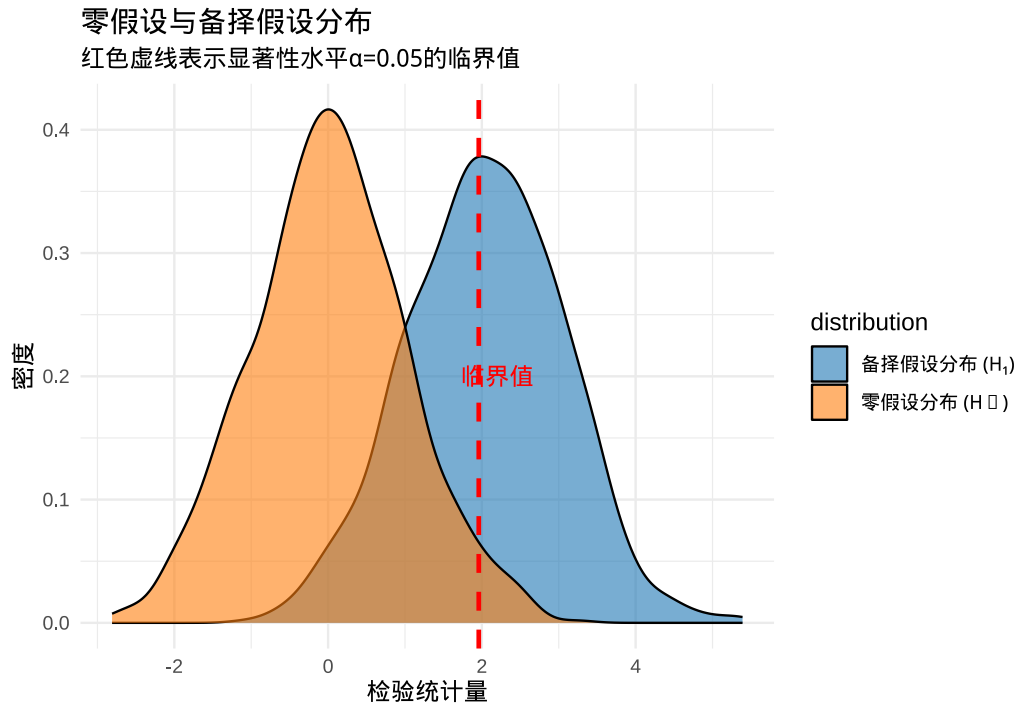


图 6.1 零假设与备择假设分布比较：展示在零假设和备择假设下检验统计量的概率分布，以及显著性水平的临界值

这个图表直观展示了在零假设（蓝色）和备择假设（橙色）下的检验统计量分布。红色虚线表示显著性水平  $\alpha=0.05$  的临界值，当检验统计量超过这个临界值时，我们有足够的证据拒绝零假设。

### 6.2.3 检验统计量与 p 值

一旦设定了假设，我们就需要收集数据并计算检验统计量。检验统计量是一个基于样本数据计算的数值，它量化了观测数据与零假设的偏离程度。不同的统计检验使用不同的检验统计量：

- **t 检验**：使用  $t$  统计量，衡量样本均值与理论值（或两个样本均值）的差异相对于抽样误差的大小
- **方差分析 (ANOVA)**：使用  $F$  统计量，衡量组间变异与组内变异的比值
- **卡方检验**：使用  $\chi^2$  统计量，衡量观测频数与期望频数的差异

检验统计量的计算公式考虑了样本大小、变异程度等因素，使得不同研究的结果可以进行比较。

**p 值**是假设检验中最核心的概念之一。**p 值**定义为：在零假设为真的前提下，观测到当前检验统计量值或更极端值的概率。换句话说，**p 值**告诉我们，如果零假设成立，我们有多大可能看到实际观测到的数据（或更极端的数据）。

在梅花鹿保护研究中，**p 值**表示：如果保护措施实际上没有效果（零假设为真），我们观测到当前种群增长（或更大增长）的概率有多大。

p 值的解释需要特别注意：

- p 值不是零假设为真的概率
- p 值不是备择假设为真的概率
- p 值不是效应大小的度量
- p 值是在零假设下观测到当前证据强度的概率

**生态学意义：**p 值为我们提供了量化证据强度的工具。一个很小的 p 值（如  $p < 0.05$ ）表明，如果零假设成立，我们观测到的数据是非常不可能的。这为我们拒绝零假设提供了统计依据。然而，p 值的大小并不直接反映生态学重要性——一个统计上显著的结果可能在生态学上微不足道，反之亦然。

在梅花鹿保护研究中，即使我们得到  $p < 0.05$  的结果，表明保护措施统计上显著，我们还需要考虑这种种群增长的生态学意义：这种增长是否足以维持种群的长期生存？是否达到了保护目标？同样，如果 p 值不显著，我们也不能简单地认为保护措施无效，而应该考虑样本量是否足够、效应大小是否具有生态学意义等问题。

为了更直观地理解 p 值的概念，让我们通过 R 代码生成一个可视化图表：

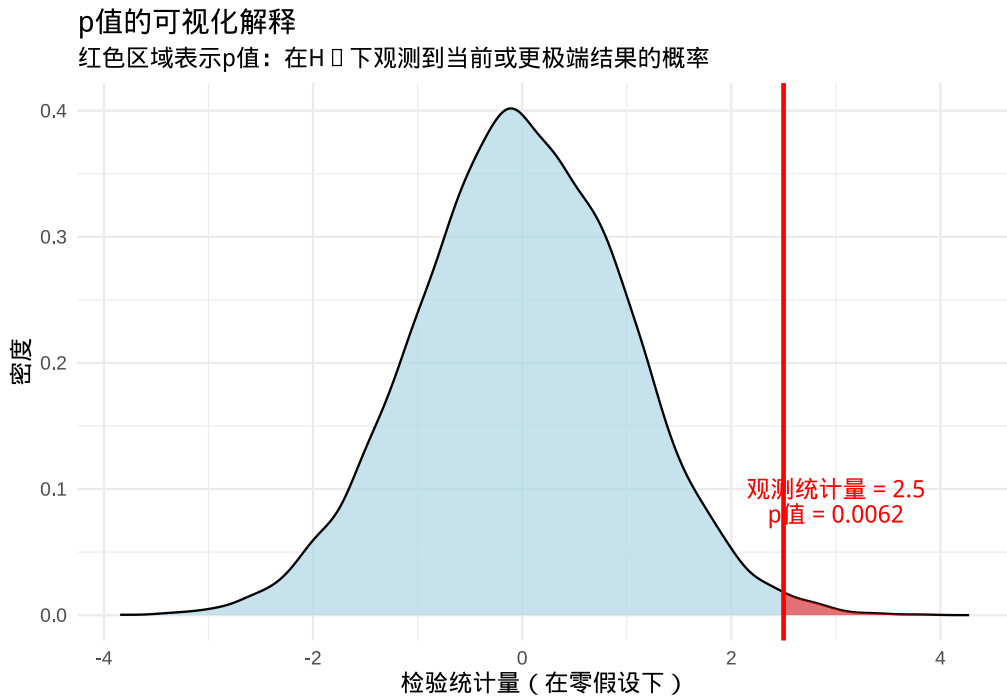


图 6.2 p 值的可视化解释：通过概率密度函数展示 p 值作为在零假设下观测到当前或更极端检验统计量的概率

这个图表通过红色区域直观展示了 p 值的概念，即在零假设下观测到当前检验统计量值（红色垂直线）或更极端值的概率。p 值越小，表明观测到的数据在零假设下越不可能发生，从而为我们拒绝零假设提供了更强的证据。

### 6.2.4 显著性水平

显著性水平 (*alpha*) 是我们在检验开始前设定的阈值，用于决定何时拒绝零假设。常用的显著性水平是  $\alpha = 0.05$ ，这意味着我们愿意接受 5% 的错误拒绝零假设的风险。在某些更严格的研究中，也可能使用  $\alpha = 0.01$  或更小的值。

显著性水平的选择涉及第一类错误和第二类错误的权衡，这是假设检验中最容易混淆但至关重要的概念。

**第一类错误**，也称为假阳性错误，即零假设实际上为真时我们却错误地拒绝了它。这相当于“冤枉好人”的情况——我们错误地宣称存在某种效应或差异，而实际上这种效应或差异并不存在。第一类错误的概率由显著性水平  $\alpha$  直接控制。当我们设定  $\alpha = 0.05$  时，意味着即使零假设为真，我们也有 5% 的概率会错误地拒绝它。

在梅花鹿保护研究中，第一类错误意味着：实际上保护措施没有效果，但我们错误地宣称它有效。这可能导致我们继续投入资源实施无效的保护措施，浪费有限的保护资金。

**第二类错误**，也称为假阴性错误，即备择假设实际上为真时，我们却错误地没有拒绝零假设。这相当于“放过坏人”的情况——我们未能检测到真实存在的效应或差异。第二类错误的概率用  $\beta$  表示，其补数  $1-\beta$  就是统计功效，即正确拒绝错误零假设（或正确检测到真实效应）的概率。

在梅花鹿保护研究中，第二类错误意味着：实际上保护措施有效果，但我们未能检测到这种效应。这可能导致我们放弃有效的保护措施，让梅花鹿种群继续面临威胁，错失重要的保护机会。

这两类错误在生态学研究中具有不同的后果和重要性。第一类错误的后果往往是浪费资源——我们可能基于错误的发现投入大量人力物力去实施无效的保护措施，或者制定不必要的环境管制政策。例如，如果我们错误地宣称某种农药对非靶标昆虫有害（第一类错误），可能导致农民放弃使用有效的害虫控制方法，造成经济损失。

相比之下，第二类错误的后果往往是错失机会——我们可能因为未能检测到真实效应而错过重要的保护机会，或者忽视真实的环境风险。例如，如果我们未能检测到某种污染物对水生生物的真实毒性（第二类错误），可能导致生态系统持续受到损害，甚至造成不可逆的生态破坏。

在保护生物学研究中，第二类错误的后果往往比第一类错误更为严重。错过一个真实的保护效应急意味着濒危物种可能继续面临威胁，生态系统可能持续退化。因此，在保护生物学中，我们可能愿意接受更高的  $\alpha$  水平（如 0.10）来降低第二类错误的风险，确保不会错过重要的保护机会。

相反，在涉及重大政策决策或资源分配的研究中，第一类错误的后果可能更为严重。例如，在评估某种新型农药的环境安全性时，错误地宣称其安全（第二类错误）可能导致广泛的生态破坏，而错误地宣称其有害（第一类错误）可能只是造成一些经济损失。在这种情况下，我们可能选择更严格的  $\alpha$  水平（如 0.01）来减少假阳性的风险。

让我们通过决策矩阵来系统理解这两类错误：

表 6.1 决策矩阵与两类统计错误

| 统计决策   | 真实情况 | 零假设为真               | 备择假设为真             |
|--------|------|---------------------|--------------------|
| 拒绝零假设  |      | 第一类错误 ( $\alpha$ )  | 正确决策 ( $1-\beta$ ) |
| 不拒绝零假设 |      | 正确决策 ( $1-\alpha$ ) | 第二类错误 ( $\beta$ )  |

这个矩阵清晰地展示了统计决策与真实情况之间的关系，帮助我们理解在什么情况下我们的决策是正确的，在什么情况下会犯错误。在实际的生态学研究中，我们需要根据具体研究问题的性质在这两类错误之间进行权衡。这种权衡不仅涉及统计考量，还涉及生态学、经济学和社会学的多方面因素。优秀的生态学家会综合考虑这些因素，选择适当的显著性水平，并在解释研究结果时充分考虑两类错误的潜在影响。

让我们通过几个具体的生态学案例来进一步理解这两类错误的实际意义：

#### 案例一：入侵物种风险评估

假设我们研究某种外来植物是否会对本地生态系统造成危害。零假设是该植物不会对本地生态系统产生显著影响。如果我们错误地拒绝这个零假设（第一类错误），我们可能会投入大量资源去控制一个实际上无害的物种，造成不必要的经济损失。如果我们错误地没有拒绝这个零假设（第二类错误），我们可能会忽视一个真正的生态威胁，导致本地生态系统遭受不可逆的破坏。在这种情况下，第二类错误的后果通常更为严重，因此我们可能愿意接受较高的第一类错误风险来确保不会错过真正的威胁。

#### 案例二：保护措施效果评估

假设我们评估梅花鹿保护措施对种群密度的影响。零假设是保护措施没有效果。如果我们错误地拒绝这个零假设（第一类错误），我们可能会继续投入资源实施无效的保护措施，浪费有限的保护资金。如果我们错误地没有拒绝这个零假设（第二类错误），我们可能会放弃一个真正有效的保护方法，导致梅花鹿种群继续面临威胁。在保护生物学中，第二类错误的后果往往更为严重，因为错过一个有效的保护机会可能意味着物种的持续衰退。

#### 案例三：污染物生态毒性研究

假设我们研究某种工业废水对水生生物的影响。零假设是废水对水生生物没有毒性。如果我们错误地拒绝这个零假设（第一类错误），我们可能会要求企业投入大量资金建设不必要的污水处理设施，增加生产成本。如果我们错误地没有拒绝这个零假设（第二类错误），我们可能会允许有毒废水继续排放，导致水生生态系统遭受长期损害。在这种情况下，两类错误的后果都需要认真权衡，通常需要综合考虑生态风险和经济成本。

理解第一类错误和第二类错误的区别对于正确解释统计结果至关重要。当我们看到“ $p < 0.05$ ”的结果时，我们不仅要知道这提供了拒绝零假设的证据，还要意识到这个结论可能有 5% 的概率是错误的（第一类错误）。同样，当我们看到“ $p > 0.05$ ”的结果时，我们不能简单地认为“没有效应”，而应该考

虑第二类错误的可能性——也许效应确实存在，但我们的研究没有足够的统计功效来检测它。

### 为什么第一类错误通常控制在 0.05 水平？

第一类错误水平  $\alpha = 0.05$  的选择有着深厚的历史和科学传统。这个标准可以追溯到 20 世纪早期统计学家罗纳德·费舍尔的工作，他建议使用 5% 作为判断统计显著性的经验法则。这个选择并非基于严格的数学推导，而是基于实践考虑：5% 提供了一个合理的平衡点，既不会过于宽松导致过多假阳性，也不会过于严格导致难以发现真实效应。在生态学中，这个标准已经被广泛接受，因为它提供了一个相对保守但又不是过于保守的决策阈值。

### 为什么第二类错误往往控制得相对更高？

第二类错误水平  $\beta$  通常设定在 0.20 左右，对应的统计功效为 0.80。这意味着我们愿意接受 20% 的概率错过真实存在的效应。这个选择主要基于以下几个原因：

首先，从实际可行性考虑，要达到更高的统计功效（如 0.90 或 0.95）通常需要极大的样本量，这在生态学研究中往往难以实现。生态学研究常常受到时间、经费和可行性的限制，过高的功效要求可能导致研究无法实施。

其次，从错误后果的权衡来看，在许多生态学情境中，第二类错误的后果虽然严重，但通常不像第一类错误那样会立即导致错误的决策。第一类错误可能直接导致我们实施无效的措施或制定错误的政策，而第二类错误更多是错失机会，这种后果往往可以通过后续研究来弥补。

此外，统计功效为 0.80 被认为是一个合理的折中点。这意味着我们有 80% 的概率检测到真实存在的效应，这个水平在大多数研究情境下被认为是足够的。当然，在特定的高风险研究中（如涉及濒危物种保护或重大环境风险评估），我们可能需要更高的功效（如 0.90 或 0.95）。

最后，从资源分配的角度看，将功效从 0.80 提高到 0.90 通常需要不成比例地增加样本量。例如，在某些情况下，功效从 0.80 提高到 0.90 可能需要样本量增加 50% 甚至更多，这种投入产出比往往不被认为是合理的。

在生态学研究中，避免这两类错误的最佳策略包括：进行充分的功效分析来确定合适的样本量，使用适当的统计方法，考虑多重比较校正，以及结合效应大小和置信区间来全面评估研究结果。通过这种全面的方法，我们可以在统计严谨性和生态学实用性之间找到平衡，为生态保护和管理决策提供更可靠的科学依据。

为了更好地理解第一类错误和第二类错误的概念，让我们生成一个可视化图表：

这个图表清晰地显示了第一类错误（红色区域，假阳性）和第二类错误（蓝色区域，假阴性）的概念，以及统计功效  $(1-\beta)$  作为正确检测真实效应的概率。在生态学研究中，我们需要在这两类错误之间进行权衡，根据研究的具体目的选择合适的显著性水平。

统计功效受到多个因素的影响，其中样本量是一个关键因素。让我们图表来展示样本量如何影响统计功效：

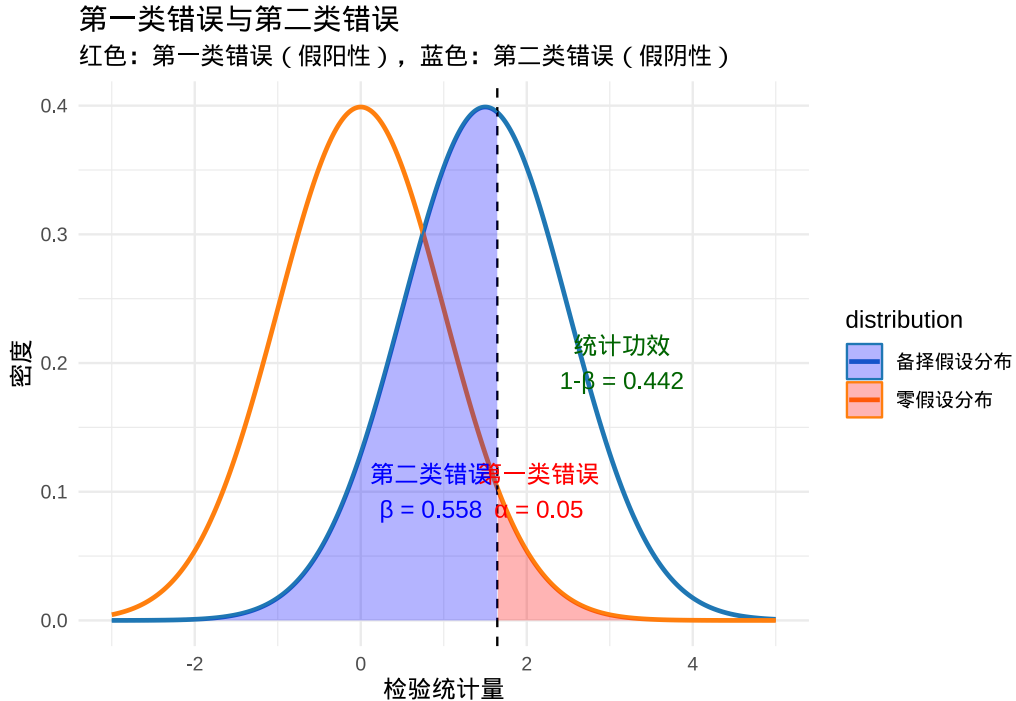


图 6.3 第一类错误与第二类错误的可视化：展示假阳性（第一类错误）和假阴性（第二类错误）在统计决策中的概率分布

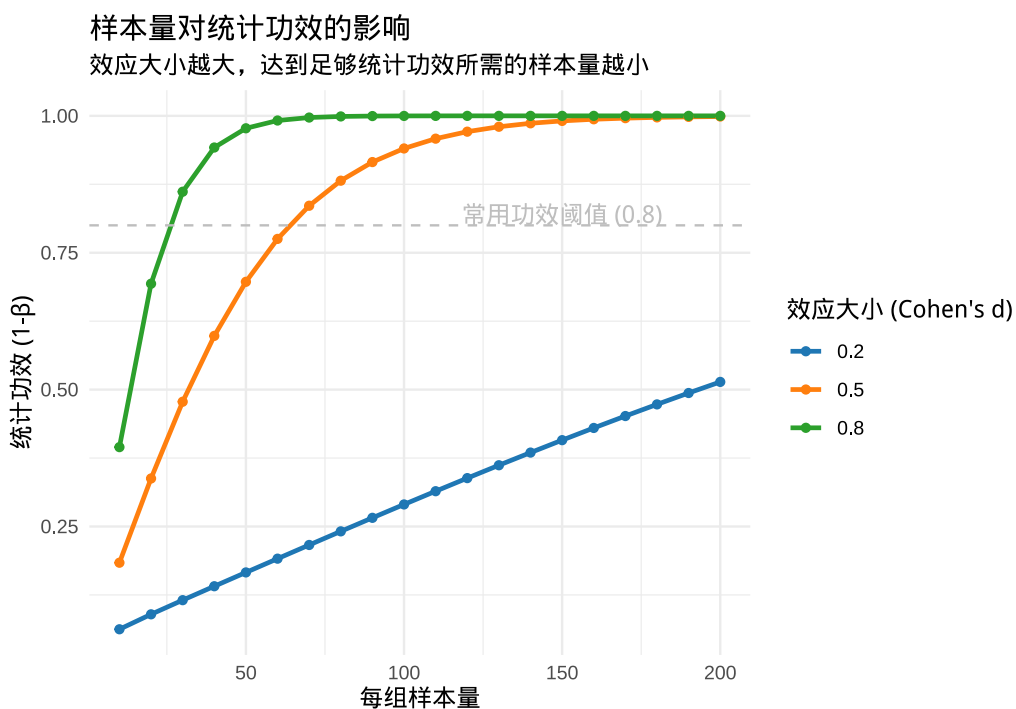


图 6.4 样本量对统计功效的影响：展示在不同效应大小下，样本量增加如何提高统计功效

这个图表展示了不同效应大小下，样本量如何影响统计功效。通常我们期望统计功效达到 0.8 以上（灰色虚线），这意味着我们有 80% 的概率正确检测到真实存在的效应。从图表可以看出，效应大小越大，达到足够统计功效所需的样本量越小。

在生态学研究中，我们不仅要关注统计显著性，更要考虑生态学显著性。一个统计上显著但效应大小很小的结果可能在生态学上并不重要。因此，优秀的生态学家会同时报告 p 值、效应大小和置信区间，为读者提供全面的信息来评估研究结果的实际意义。

### 6.2.5 效应大小与置信区间

在生态学研究中，仅仅知道某个效应是否统计显著是不够的。我们还需要了解这个效应有多大（效应大小）以及我们对这个效应的估计有多精确（置信区间）。这两个概念为我们提供了比 p 值更丰富的信息，帮助我们评估研究结果的生态学重要性。

#### 效应大小 (Effect Size)

效应大小是衡量研究结果实际重要性的量化指标，它描述了自变量对因变量的影响程度。与 p 值不同，效应大小不受样本量的影响，因此能够更直接地反映生态学重要性。

常见的效应大小指标包括：

- Cohen's d：用于 t 检验，表示标准化均值差异

$$d = \frac{\bar{x}_1 - \bar{x}_2}{s_{pooled}}$$

其中  $s_{pooled}$  是合并标准差

- $\eta^2$  (eta 平方)：用于方差分析，表示方差解释比例

$$\eta^2 = \frac{SS_{between}}{SS_{total}}$$

- $R^2$  (决定系数)：用于回归分析，表示模型解释的变异比例

- Cramér's V：用于卡方检验，表示分类变量间的关联强度

在生态学研究中，效应大小的解释需要结合具体情境。例如，一个  $d = 0.2$  的效应在保护生物学中可能具有重要意义，而在某些生理学研究中可能微不足道。

在梅花鹿保护研究中，Cohen's d 可以衡量保护措施带来的标准化种群增长。如果  $d=0.8$  (大效应)，表明保护措施产生了显著的生态效应；如果  $d=0.2$  (小效应)，即使统计上显著，其生态学意义也需要谨慎评估。

#### 置信区间 (Confidence Interval)

置信区间提供了效应估计的不确定性范围（在之前章节中详细介绍过）。一个 95% 的置信区间意味着，如果我们重复进行同样的研究 100 次，大约有 95 次的置信区间会包含真实的总体参数。

置信区间的生态学意义：

1. **估计精度**: 窄的置信区间表示估计更精确
2. **效应方向**: 置信区间是否包含零值（无效应）
3. **生态学重要性**: 置信区间是否包含有生态学意义的阈值

例如，在研究梅花鹿保护措施的效果时，我们可能得到平均种群增长为 2.3 只/平方公里，95% 置信区间为 [1.5, 3.1] 只/平方公里。这个结果告诉我们：

- 保护效应是统计显著的（置信区间不包含 0）
- 真实的保护效应可能在 1.5-3.1 只/平方公里之间
- 这个效应大小在生态学上具有重要意义，因为从 2.5 只增加到 4.8 只意味着种群密度几乎翻倍

让我们用一个图来理解效应大小和置信区间的概念：

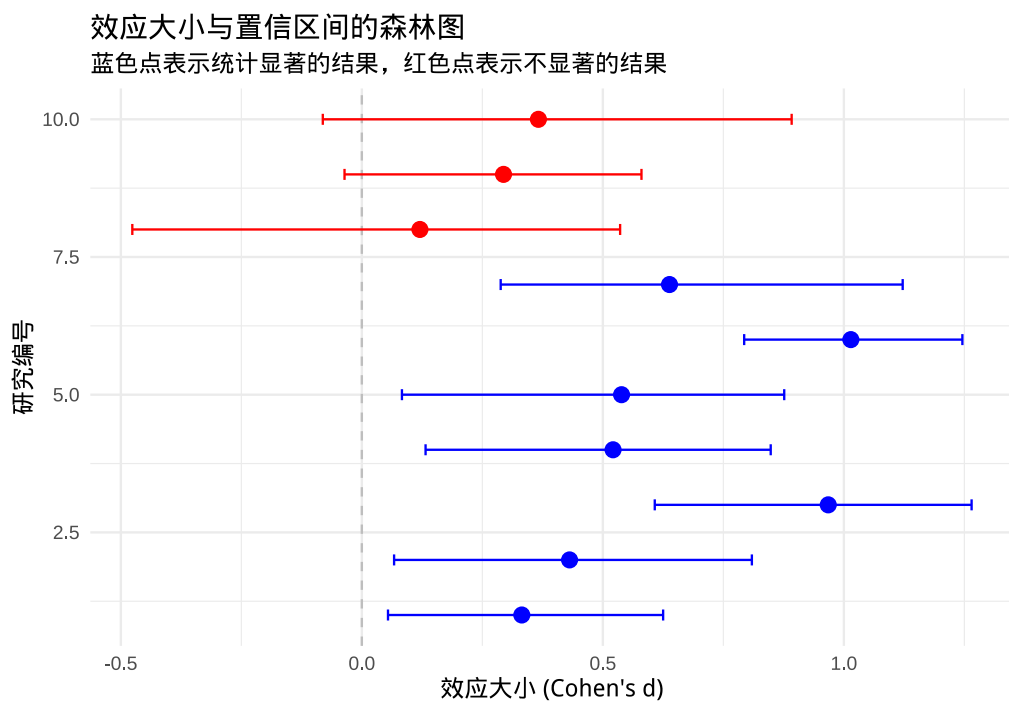


图 6.5 效应大小与置信区间的可视化：通过森林图展示多个研究的效应大小估计及其不确定性范围

这个图表展示了多个研究的效应大小估计及其置信区间。我们可以清楚地看到哪些研究的结果是统计显著的（置信区间不包含 0），以及不同研究的效应大小估计。

**生态学意义**: 在生态学研究中，同时报告效应大小和置信区间有助于：

1. **避免过度解读 p 值**: 一个很小的 p 值可能对应很小的效应大小
2. **促进结果比较**: 不同研究的效应大小可以直接比较
3. **指导实践决策**: 基于效应大小评估干预措施的生态学重要性

#### 4. 支持元分析：为后续的综述研究提供必要信息

优秀的生态学研究应该同时关注统计显著性和生态学重要性。通过结合 p 值、效应大小和置信区间，我们能够对研究结果做出更全面、更合理的解释，为生态保护和管理决策提供更可靠的科学依据。

在掌握了假设检验的基本概念后，让我们开始探讨具体的检验方法。我们将从最简单的单样本检验开始，逐步深入到更复杂的双样本和多样本检验。这种渐进式的学习路径将帮助我们建立坚实的统计基础，为后续更复杂的分析做好准备。

### 6.3 种群基准：单样本检验

在生态保护实践中，我们常常需要评估某个生态指标是否达到特定的基准水平。例如，检验梅花鹿种群密度是否达到保护目标、河流 pH 值是否偏离中性标准、或者土壤重金属浓度是否超过环境安全阈值。单样本检验方法正是为此类生态基准验证问题提供了科学的统计工具。

#### 6.3.1 单样本 t 检验

在生态学研究中，我们常常需要检验某个样本的均值是否与特定的理论值或期望值存在显著差异。**单样本 t 检验**就是用于这种目的的参数检验方法。

单样本 t 检验的基本思想是比较样本均值与理论值之间的差异是否具有统计显著性。其零假设和备择假设通常设定为：

- 零假设 ( $H_0$ )：样本均值等于理论值 ( $\mu = \mu_0$ )
- 备择假设 ( $H_1$ )：样本均值不等于理论值 ( $\mu \neq \mu_0$ )，或者根据研究问题设定为单侧检验

检验统计量 t 的计算公式为：

$$t = \frac{\bar{x} - \mu_0}{s/\sqrt{n}}$$

其中  $\bar{x}$  是样本均值， $\mu_0$  是理论值， $s$  是样本标准差， $n$  是样本量。这个统计量服从自由度为  $n - 1$  的 t 分布。

#### 为什么 t 统计量服从 t 分布？

要理解为什么 t 统计量服从 t 分布，我们需要从统计理论的角度来分析这个公式的构成。

首先，考虑分子部分  $\bar{x} - \mu_0$ 。根据中心极限定理，样本均值  $\bar{x}$  的抽样分布近似正态分布，其均值为总体均值  $\mu$ ，标准差为  $\sigma/\sqrt{n}$ （其中  $\sigma$  是总体标准差）。在零假设  $H_0 : \mu = \mu_0$  下，我们有：

$$\frac{\bar{x} - \mu_0}{\sigma/\sqrt{n}} \sim N(0, 1)$$

也就是说，如果我们知道总体标准差  $\sigma$ ，这个标准化统计量就服从标准正态分布。

然而，在实际研究中，我们通常不知道总体标准差  $\sigma$ ，只能用样本标准差  $s$  来估计它。当我们用  $s$  替代  $\sigma$  时，统计量的分布就发生了变化。具体来说：

- 分子  $\bar{x} - \mu_0$  服从正态分布
- 分母  $s/\sqrt{n}$  是样本标准误的估计
- 这两个量是相关的，因为  $s$  也是从样本中计算出来的

统计学家威廉·戈塞特（笔名“Student”）在 1908 年证明了，当总体服从正态分布时，这个统计量服从  $t$  分布：

$$t = \frac{\bar{x} - \mu_0}{s/\sqrt{n}} \sim t_{n-1}$$

其中  $t_{n-1}$  表示自由度为  $n-1$  的  $t$  分布。

#### 自由度 $n-1$ 的来源

自由度  $n-1$  的出现是因为我们在计算样本标准差  $s$  时损失了一个自由度。样本标准差的计算公式为：

$$s = \sqrt{\frac{\sum_{i=1}^n (x_i - \bar{x})^2}{n-1}}$$

分母使用  $n-1$  而不是  $n$  是为了使  $s^2$  成为总体方差  $\sigma^2$  的无偏估计。这个  $n-1$  就是自由度的来源。

#### $t$ 分布与正态分布的关系

$t$  分布与正态分布形状相似，都是钟形曲线，但  $t$  分布的尾部更厚。这意味着在相同的显著性水平下， $t$  分布的临界值比正态分布更大。当样本量  $n$  增大时， $t$  分布逐渐接近正态分布：

- 当  $n \rightarrow \infty$  时， $t$  分布趋近于标准正态分布
- 对于小样本（如  $n < 30$ ）， $t$  分布与正态分布的差异比较明显
- 对于大样本（如  $n > 30$ ）， $t$  分布与正态分布非常接近

这种性质使得  $t$  检验特别适用于小样本情况，而大样本时  $t$  检验与  $z$  检验的结果会非常接近。

在生态学研究中，由于样本量往往有限， $t$  检验提供了比  $z$  检验更准确的推断。当我们使用样本标准差  $s$  替代未知的总体标准差  $\sigma$  时， $t$  分布恰当地考虑了这种估计带来的不确定性，使得我们的统计推断更加保守和可靠。

**生态学意义：**单样本  $t$  检验在生态学中有广泛的应用。例如，我们可以检验：

- 某个湖泊的 pH 值是否偏离中性 ( $pH = 7$ )

- 某种鸟类的平均体重是否与文献记载的标准值一致
- 某个保护区内的物种丰富度是否达到预期的保护目标
- 某种污染物的浓度是否超过环境安全标准
- 梅花鹿种群密度是否达到保护目标（如每平方公里 4 只）

让我们通过一个具体的生态学实例来理解单样本  $t$  检验的应用：

#### 实例：检验梅花鹿种群密度是否达到保护目标

假设我们研究某自然保护区内的梅花鹿种群，想要检验其密度是否达到保护目标（每平方公里 4 只）。我们在保护区的不同区域采集了 15 个样方，测量梅花鹿密度。

- 零假设 ( $H_0$ )：当前梅花鹿的平均密度等于 4 只/平方公里 ( $\mu = 4$ )
- 备择假设 ( $H_1$ )：当前梅花鹿的平均密度大于 4 只/平方公里 ( $\mu > 4$ )

这是一个单侧检验，因为我们只关心种群密度是否达到或超过保护目标。如果检验结果显示  $p < 0.05$ ，我们有统计证据表明梅花鹿种群确实达到了保护目标。

单样本  $t$  检验的使用需要满足一些前提条件：数据应该近似正态分布，观测值之间相互独立。如果数据严重偏离正态分布，或者样本量很小，我们可能需要考虑使用非参数检验方法。

为了更好地理解单样本  $t$  检验的原理，让我们通过一个图来理解：

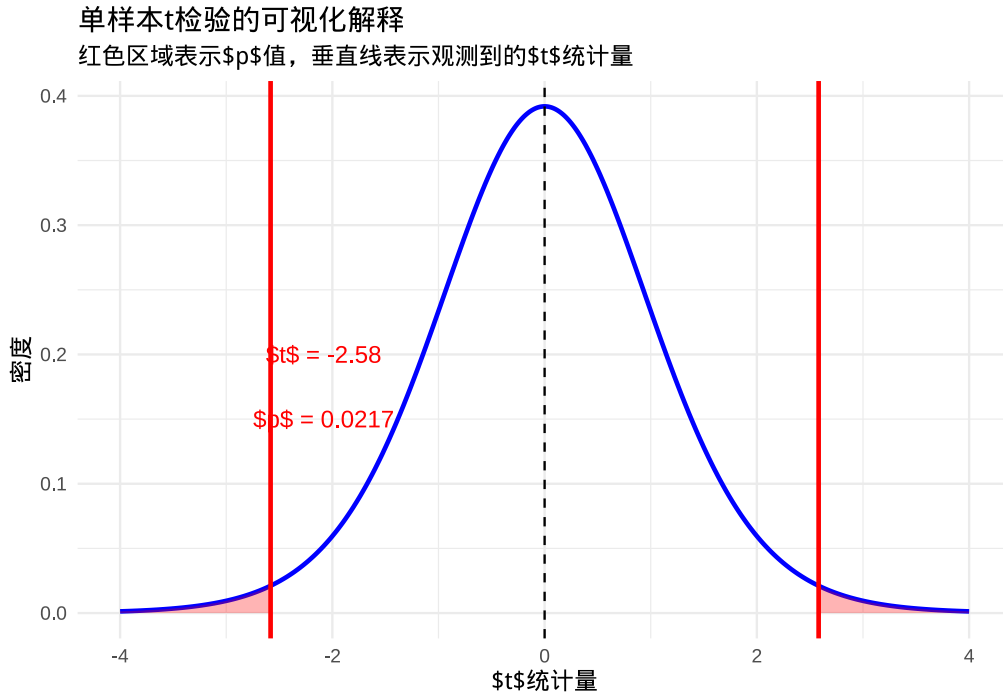


图 6.6 单样本  $t$  检验的可视化解释：展示  $t$  分布、观测  $t$  统计量以及对应的  $p$  值区域

这个图表直观展示了单样本  $t$  检验的原理。蓝色曲线表示在零假设下的  $t$  分布，红色垂直线表示我们观测到的  $t$  统计量，红色区域表示  $p$  值——在零假设下观测到当前或更极端  $t$  值的概率。

### 6.3.2 单样本符号检验

当数据不满足正态分布假设，或者我们想要检验中位数而不是均值时，**单样本符号检验**提供了一个强大的非参数替代方法。与  $t$  检验不同，符号检验不依赖于数据的分布形态，而是基于观测值与理论值之间差异的符号（正负号）来进行统计推断。

单样本符号检验的基本思想很简单：对于每个观测值，我们计算其与理论值的差异，然后只关注这些差异的符号（正号或负号），忽略差异的大小。检验统计量通常是正号（或负号）的数量。

其零假设和备择假设通常设定为：

- **零假设 ( $H_0$ )**: 样本中位数等于理论值 ( $M = M_0$ )
- **备择假设 ( $H_1$ )**: 样本中位数不等于理论值 ( $M \neq M_0$ )，或者根据研究问题设定为单侧检验

在零假设下，正号和负号应该以相等的概率出现，因此检验统计量服从二项分布  $B(n, 0.5)$ ，其中  $n$  是有效样本量（排除等于理论值的观测）。

**生态学意义**：单样本符号检验在生态学中特别适用于以下情况：

- 数据严重偏离正态分布，存在极端值或偏态分布
- 样本量很小，无法可靠地检验正态性
- 测量尺度是序数的，或者数据只包含相对大小信息
- 我们更关心中位数而不是均值，因为中位数对极端值不敏感

例如，我们可以使用符号检验来：

- 检验某种污染物的中位浓度是否超过环境标准
- 比较某个物种在不同年份的个体大小中位数是否有变化
- 检验某个生态指标的中位数是否达到管理目标

让我们通过一个具体的生态学实例来理解单样本符号检验的应用：

#### 实例：检验土壤重金属中位浓度是否超标

假设我们研究某工业区附近的土壤重金属污染情况。环境标准规定铅的中位浓度不应超过 50 mg/kg。我们在该区域采集了 12 个土壤样品，测量铅浓度。

- **零假设 ( $H_0$ )**: 土壤铅的中位浓度等于 50 mg/kg ( $M = 50$ )
- **备择假设 ( $H_1$ )**: 土壤铅的中位浓度大于 50 mg/kg ( $M > 50$ )

这是一个单侧检验，因为我们只关心浓度是否超标。如果检验结果显示  $p < 0.05$ ，我们有统计证据表明土壤铅污染确实超过了环境标准。

符号检验的主要优点是它对分布形态没有要求，对极端值不敏感。然而，它的缺点是统计功效通常低于对应的参数检验，因为它忽略了差异的大小信息。

为了更好地理解单样本符号检验的原理，让我们通过一个图来理解：

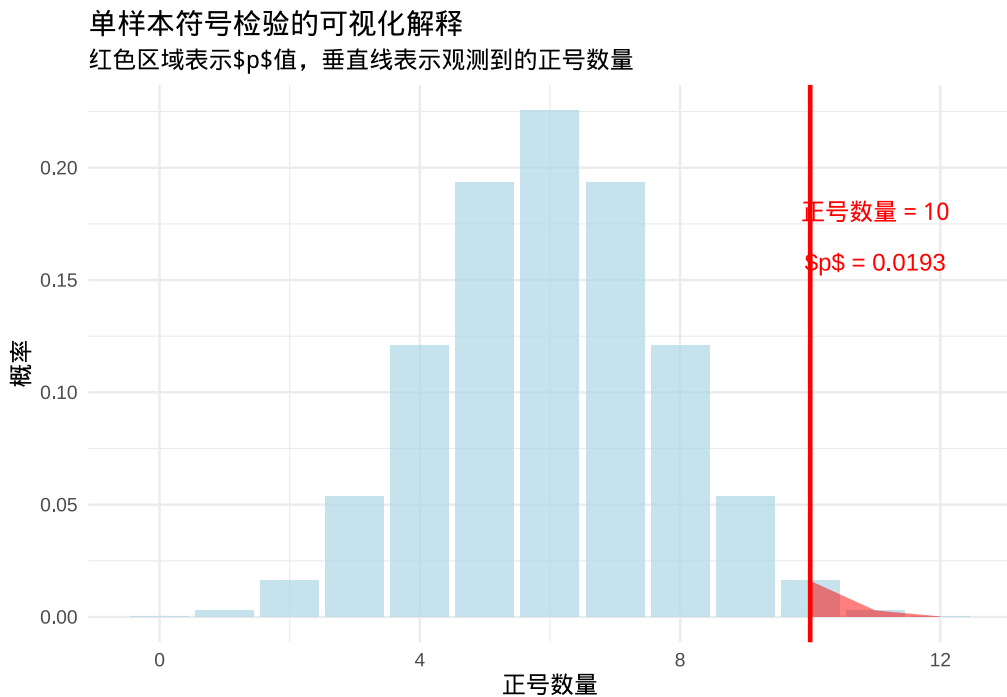


图 6.7 单样本符号检验的可视化解释：展示二项分布下正号数量的概率分布以及观测到的正号数量

这个图表直观展示了单样本符号检验的原理。蓝色柱状图表示在零假设下（正号和负号以相等概率出现）正号数量的二项分布，红色垂直线表示我们观测到的正号数量，红色区域表示  $p$  值——在零假设下观测到当前或更多正号的概率。

在实际的生态学研究中，选择使用单样本  $t$  检验还是符号检验应该基于数据的特性和研究问题的性质。如果数据近似正态分布且没有极端值， $t$  检验通常更有效。如果数据严重偏离正态分布或存在极端值，符号检验提供了更稳健的替代方法。

单样本检验为我们提供了评估生态指标是否达到特定基准的工具。然而，在生态保护研究中，我们更常遇到的是比较不同处理或不同时间点的生态效应。例如，评估保护措施实施前后的种群变化，或者比较不同管理策略的效果。这就需要我们掌握更复杂的双样本检验方法。

## 6.4 保护前后对比：双样本检验

生态保护措施的效果评估常常需要比较不同时间点或不同处理条件下的生态指标变化。例如，评估梅花鹿保护措施实施前后的种群变化、比较施肥处理与对照处理的草地生产力差异、或者分析污染区域与清洁区域的生物多样性对比。双样本检验方法为这类生态对比研究提供了可靠的统计基础。

### 6.4.1 独立样本 $t$ 检验

在生态学研究中，我们常常需要比较两个独立样本的均值是否存在显著差异。**独立样本  $t$  检验**就是用于这种目的的参数检验方法，特别适用于比较来自不同处理、不同生境或不同群体的生态数据。

独立样本  $t$  检验的基本思想是比较两个独立样本的均值差异是否具有统计显著性。其零假设和备择假设通常设定为：

- 零假设 ( $H_0$ )：两个样本的总体均值相等 ( $\mu_1 = \mu_2$ )
- 备择假设 ( $H_1$ )：两个样本的总体均值不相等 ( $\mu_1 \neq \mu_2$ )，或者根据研究问题设定为单侧检验

检验统计量  $t$  的计算公式为：

$$t = \frac{\bar{x}_1 - \bar{x}_2}{s_p \sqrt{\frac{1}{n_1} + \frac{1}{n_2}}}$$

其中  $\bar{x}_1$  和  $\bar{x}_2$  分别是两个样本的均值， $n_1$  和  $n_2$  是样本量， $s_p$  是合并标准差，计算公式为：

$$s_p = \sqrt{\frac{(n_1 - 1)s_1^2 + (n_2 - 1)s_2^2}{n_1 + n_2 - 2}}$$

这个统计量服从自由度为  $n_1 + n_2 - 2$  的  $t$  分布。

### 为什么使用合并标准差？

使用合并标准差  $s_p$  而不是单独使用  $s_1$  或  $s_2$  是基于一个重要的假设：两个样本来自具有相同方差的总体。这个假设称为方差齐性。在方差齐性的前提下，合并标准差提供了对共同总体方差的更好估计，因为它结合了两个样本的信息。

如果方差齐性假设不成立，我们需要使用 Welch's  $t$  检验，它不假设两个样本具有相同的方差，其自由度的计算也更加复杂。

**生态学意义：** 独立样本  $t$  检验在生态学中有广泛的应用。例如，我们可以检验：

- 施肥处理和对照处理的草地生产力是否存在显著差异
- 不同森林类型中的鸟类多样性是否存在显著差异
- 污染区域和清洁区域的土壤微生物丰度是否存在显著差异
- 保护区内外的物种丰富度是否存在显著差异
- 实施不同保护措施区域的梅花鹿种群密度是否存在显著差异

让我们通过一个具体的生态学实例来理解独立样本  $t$  检验的应用：

### 实例：比较不同保护措施对梅花鹿种群的影响

假设我们研究两种不同保护措施（禁猎保护 vs 栖息地恢复）对梅花鹿种群的影响。我们随机选择 20 个区域，其中 10 个实施禁猎保护，10 个实施栖息地恢复。经过一年保护，我们测量每个区域的梅花鹿密度。

- 零假设 ( $H_0$ )：两种保护措施的平均梅花鹿密度没有差异
- 备择假设 ( $H_1$ )：两种保护措施的平均梅花鹿密度存在差异

如果检验结果显示  $p < 0.05$ , 我们有统计证据表明两种保护措施对梅花鹿种群产生了不同的影响。

独立样本  $t$  检验的使用需要满足一些前提条件: 数据应该近似正态分布, 两个样本的方差应该相等(方差齐性), 观测值之间相互独立。如果这些条件不满足, 我们可能需要考虑使用非参数检验方法。

为了更好地理解独立样本  $t$  检验的原理, 让我们通过一个图来理解:

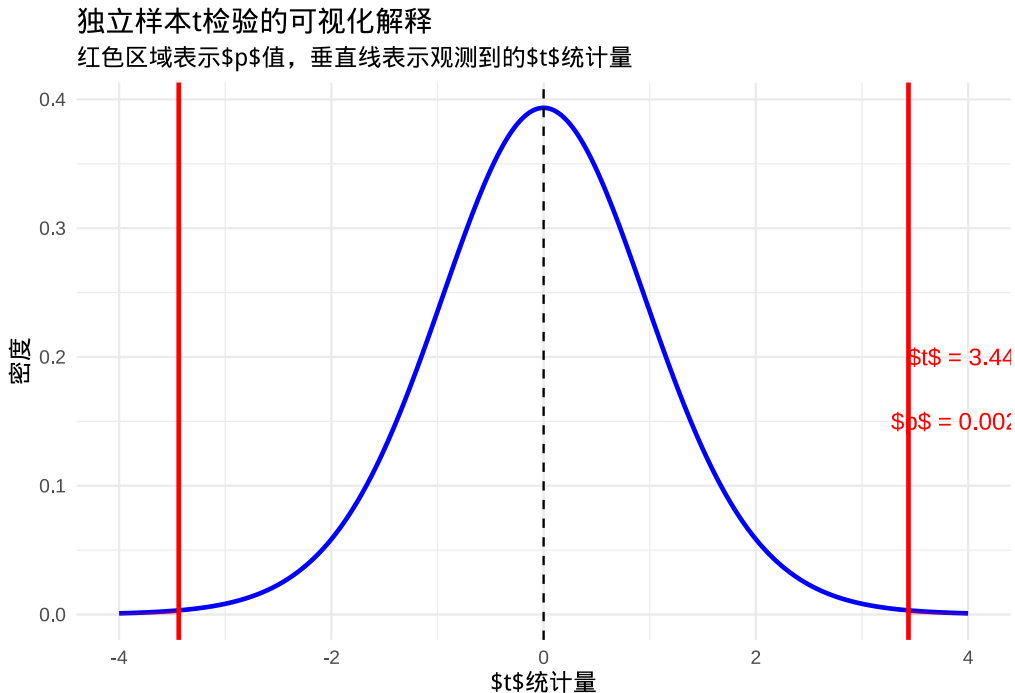


图 6.8 独立样本  $t$  检验的可视化解释: 展示在零假设下  $t$  分布、观测  $t$  统计量以及对应的  $p$  值区域

这个图表直观展示了独立样本  $t$  检验的原理。蓝色曲线表示在零假设下的  $t$  分布, 红色垂直线表示我们观测到的  $t$  统计量, 红色区域表示  $p$  值——在零假设下观测到当前或更极端  $t$  值的概率。

### 6.4.2 配对样本 $t$ 检验

在生态学研究中, 我们常常需要比较同一研究对象在不同时间点或不同条件下的测量值。配对样本  $t$  检验就是专门用于这种配对设计数据的参数检验方法。

配对样本  $t$  检验的基本思想不是直接比较两个样本的均值, 而是比较配对差异的均值是否显著不同于零。其零假设和备择假设通常设定为:

- 零假设 ( $H_0$ ): 配对差异的总体均值等于零 ( $\mu_d = 0$ )
- 备择假设 ( $H_1$ ): 配对差异的总体均值不等于零 ( $\mu_d \neq 0$ ), 或者根据研究问题设定为单侧检验

检验统计量  $t$  的计算公式为:

$$t = \frac{\bar{d}}{s_d / \sqrt{n}}$$

其中  $\bar{d}$  是配对差异的均值， $s_d$  是配对差异的标准差， $n$  是配对数。这个统计量服从自由度为  $n - 1$  的  $t$  分布。

### 为什么配对样本 $t$ 检验通常更有效？

配对样本  $t$  检验通过考虑个体间的变异，通常比独立样本  $t$  检验具有更高的统计功效。这是因为配对设计消除了个体间变异对检验的影响，使得我们能够更精确地检测处理效应。

**生态学意义：**配对样本  $t$  检验在生态学中特别适用于以下情况：

- 同一地块在不同年份的物种丰富度比较
- 同一动物个体在不同季节的体重变化
- 同一植物在不同处理前后的生理指标测量
- 同一水域在不同污染事件前后的水质参数
- 同一区域在保护措施实施前后的梅花鹿种群密度比较

让我们通过一个具体的生态学实例来理解配对样本  $t$  检验的应用：

#### 实例：检验保护措施对梅花鹿种群的影响

假设我们研究梅花鹿保护措施对种群密度的影响。我们在 10 个保护区实施保护措施前和实施一年后分别调查梅花鹿数量。

- 零假设 ( $H_0$ )：保护措施实施前后的梅花鹿密度没有差异 ( $\mu_d = 0$ )
- 备择假设 ( $H_1$ )：保护措施实施后的梅花鹿密度高于实施前 ( $\mu_d > 0$ )

这是一个单侧检验，因为我们预期保护措施会提高梅花鹿密度。如果检验结果显示  $p < 0.05$ ，我们有统计证据表明保护措施确实产生了积极效果。

配对样本  $t$  检验的使用需要满足一些前提条件：配对差异应该近似正态分布。如果这个条件不满足，我们可能需要考虑使用非参数检验方法，如 Wilcoxon 符号秩检验。

为了更好地理解配对样本  $t$  检验的原理，让我们通过一个图理解：

这个图表直观展示了配对样本  $t$  检验的原理。蓝色曲线表示在零假设下的  $t$  分布（差异为 0），红色垂直线表示我们观测到的  $t$  统计量，红色区域表示  $p$  值——在零假设下观测到当前或更极端  $t$  值的概率。

### 6.4.3 Mann-Whitney U 检验

当数据不满足正态分布假设，或者我们想要比较两个独立样本的中位数而不是均值时，Mann-Whitney U 检验提供了一个强大的非参数替代方法。这个检验也被称为 Wilcoxon 秩和检验。

Mann-Whitney U 检验的基本思想是将两个样本的所有观测值合并排序，然后基于秩次来检验两个样本是否来自相同的分布。其零假设和备择假设通常设定为：

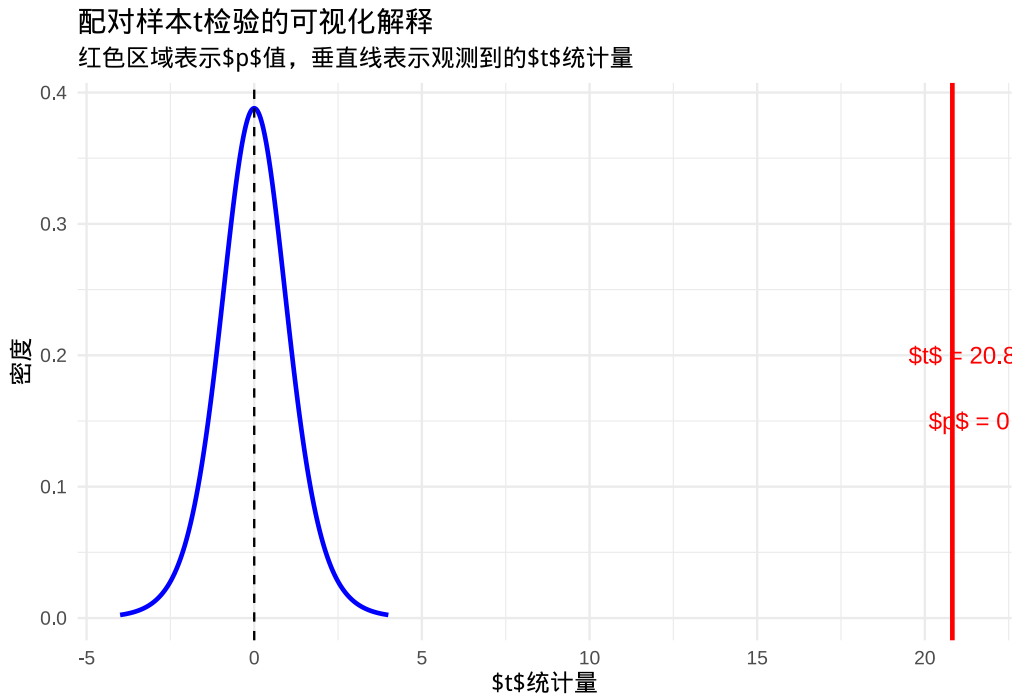


图 6.9 配对样本 t 检验的可视化解释：展示配对差异均值的 t 分布、观测 t 统计量以及对应的 p 值区域

- 零假设 ( $H_0$ )：两个样本来自相同的分布
- 备择假设 ( $H_1$ )：两个样本来自不同的分布，或者一个样本倾向于产生更大的值

检验统计量  $U$  的计算基于秩次：

$$U = n_1 n_2 + \frac{n_1(n_1 + 1)}{2} - R_1$$

其中  $n_1$  和  $n_2$  是两个样本的样本量， $R_1$  是第一个样本的秩和。

### 为什么使用秩次而不是原始值？

使用秩次而不是原始值使得检验对极端值不敏感，也不依赖于数据的分布形态。这使得 Mann-Whitney U 检验特别适用于偏态分布、存在极端值或测量尺度是序数的情况。

**生态学意义：**Mann-Whitney U 检验在生态学中特别适用于以下情况：

- 数据严重偏离正态分布
- 样本量很小，无法可靠地检验正态性
- 存在极端值或异常值
- 测量尺度是序数的，或者数据只包含相对大小信息

例如，我们可以使用 Mann-Whitney U 检验来：

- 比较不同污染程度区域的生物指标中位数
- 检验不同管理措施对物种丰富度的影响

- 比较不同生境类型中的个体大小分布

让我们通过一个具体的生态学实例来理解 Mann-Whitney U 检验的应用：

#### 实例：比较不同污染区域的生物指标

假设我们研究工业污染对河流底栖动物群落的影响。我们在污染区域和清洁区域各采集了 8 个样品，测量底栖动物的生物量。由于数据存在极端值且分布偏态，我们选择使用 Mann-Whitney U 检验。

- 零假设 ( $H_0$ )：污染区域和清洁区域的底栖动物生物量来自相同的分布
- 备择假设 ( $H_1$ )：污染区域的底栖动物生物量倾向于低于清洁区域

这是一个单侧检验，因为我们预期污染会降低生物量。如果检验结果显示  $p < 0.05$ ，我们有统计证据表明污染确实对底栖动物群落产生了负面影响。

Mann-Whitney U 检验的主要优点是它对分布形态没有要求，对极端值不敏感。然而，它的缺点是统计功效通常低于对应的参数检验 ( $t$  检验)，因为它忽略了数据的数值信息，只使用秩次信息。

为了更好地理解 Mann-Whitney U 检验的原理，让我们通过一个图来理解：

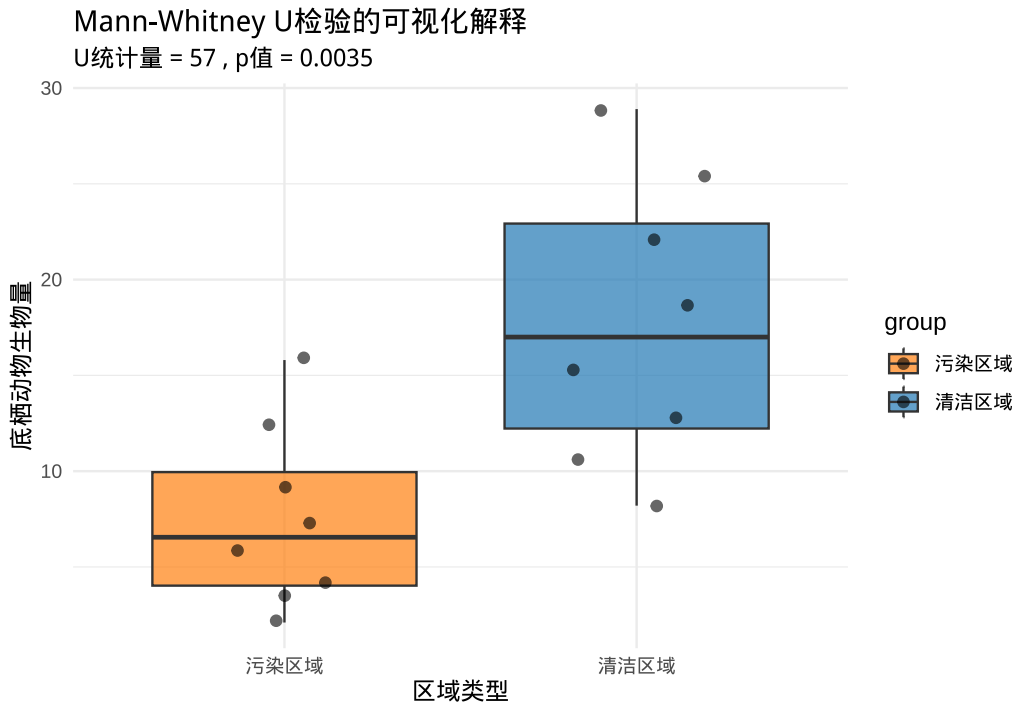


图 6.10 Mann-Whitney U 检验的可视化解释：通过箱线图展示污染区域和清洁区域底栖动物生物量的分布比较

这个图表直观展示了 Mann-Whitney U 检验的原理。箱线图显示了两个样本的分布情况，点表示各个观测值。检验基于这些观测值的秩次（排序位置）而不是原始数值来进行统计推断。

在实际的生态学研究中，选择使用独立样本  $t$  检验、配对样本  $t$  检验还是 Mann-Whitney U 检验应该基于数据的特性、研究设计和研究问题的性质。如果数据满足正态分布和方差齐性假设， $t$  检验通常

更有效。如果数据严重偏离正态分布或存在极端值，Mann-Whitney U 检验提供了更稳健的替代方法。配对样本 t 检验则专门用于配对设计的数据，通常具有更高的统计功效。

双样本检验为我们提供了比较两个处理或两个时间点生态效应的工具。然而，在实际的生态保护和管理中，我们常常需要同时评估多种保护措施或多种管理策略的效果。例如，比较禁猎保护、栖息地恢复和人工投食三种不同保护措施对梅花鹿种群的影响。这就需要我们掌握更复杂的多样本检验方法。

## 6.5 不同保护区的比较：多样本检验

在生态管理实践中，我们常常需要同时比较多个处理、多个生境或多个保护区的生态效应。例如，评估不同森林类型对鸟类多样性的影响、比较多种施肥水平对作物产量的效果、或者分析不同污染程度水域的水生生物群落差异。多样本检验方法为这类复杂的生态比较提供了系统的统计框架。

### 6.5.1 方差分析 (ANOVA)

在生态学研究中，我们常常需要比较三个或更多组别的均值是否存在显著差异。**方差分析 (ANOVA)** 就是用于这种目的的参数检验方法，它通过分析组间变异与组内变异的比值来检验多个总体均值是否相等。

方差分析的基本思想是将总变异分解为组间变异和组内变异，然后比较这两种变异的相对大小。其零假设和备择假设通常设定为：

- 零假设 ( $H_0$ )：所有组的总体均值相等 ( $\mu_1 = \mu_2 = \dots = \mu_k$ )
- 备择假设 ( $H_1$ )：至少有一对组的总体均值与其他组的总体均值不相等

检验统计量  $F$  的计算基于方差分解：

$$F = \frac{MS_{between}}{MS_{within}} = \frac{SS_{between}/df_{between}}{SS_{within}/df_{within}}$$

其中：

- $SS_{between}$  是组间平方和， $MS_{between}$  是组间均方，衡量组间变异
- $SS_{within}$  是组内平方和， $MS_{within}$  是组内均方，衡量组内变异
- $df_{between} = k - 1$  是组间自由度
- $df_{within} = N - k$  是组内自由度
- $k$  是组数， $N$  是总样本量

这个统计量服从自由度为  $(k - 1, N - k)$  的  $F$  分布。

**为什么使用 F 统计量而不是多个 t 检验？**

使用多个  $t$  检验来比较所有组对会导致**第一类错误率膨胀**，这是一个在生态统计学中非常重要的概念。让我们通过数学计算和可视化来深入理解这个问题。

### 第一类错误率膨胀的数学原理

假设我们有  $k$  个组，需要进行  $m$  次两两比较，其中：

$$m = \frac{k(k-1)}{2}$$

如果每次  $t$  检验的显著性水平设为  $\alpha = 0.05$ ，那么：

- 单次检验的第一类错误概率： $\alpha = 0.05$
- 单次检验的正确决策概率： $1 - \alpha = 0.95$
- 所有  $m$  次检验都正确决策的概率： $(1 - \alpha)^m$
- 至少犯一次第一类错误的概率： $1 - (1 - \alpha)^m$

让我们计算不同组数下的累积第一类错误率：

表 6.2 不同组数下的累积第一类错误率

| 组数 ( $k$ ) | 比较次数 ( $m$ ) | 累积第一类错误率 |
|------------|--------------|----------|
| 2          | 1            | 5.0%     |
| 3          | 3            | 14.3%    |
| 4          | 6            | 26.5%    |
| 5          | 10           | 40.1%    |
| 6          | 15           | 53.7%    |
| 7          | 21           | 65.9%    |
| 8          | 28           | 76.2%    |

从表中可以看出，当组数增加到 5 个时，累积第一类错误率已经达到 40.1%，这意味着即使所有组实际上没有差异，我们也有 40.1% 的概率至少得到一个“显著”的假阳性结果。

### 方差分析的解决方案

方差分析通过一次检验同时比较所有组，将第一类错误率控制在预设的  $\alpha$  水平（通常是 5%）。其零假设是：

$$H_0 : \mu_1 = \mu_2 = \cdots = \mu_k$$

备择假设是：

$H_1$ ：至少有一对组的均值不相等

通过 F 检验，我们可以在保持第一类错误率不变的情况下，检验所有组间是否存在显著差异。

### 生态学意义

在生态学研究中，我们经常需要比较多个处理、多个生境或多个物种群体。如果使用多个  $t$  检验：

- 我们可能会错误地宣称某些处理有效果，而实际上这些差异只是随机波动
- 研究结论的可靠性会大大降低
- 后续的保护决策或管理措施可能基于错误的发现

让我们通过一个图来直观理解这个问题：

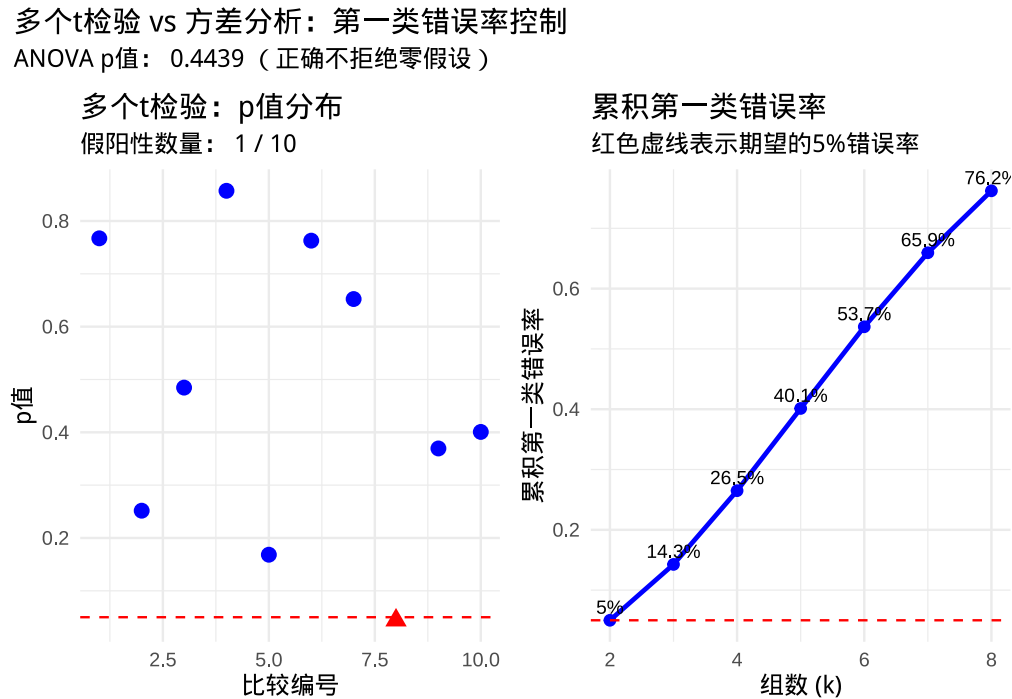


图 6.11 多个  $t$  检验与方差分析的比较：展示多重比较导致的第一类错误率膨胀问题以及方差分析的解决方案

### 图表解释

#### 1. 左图：多个 $t$ 检验的 p 值分布

- 每个点代表一次两两比较的 p 值
- 红色点表示“显著”结果 ( $p < 0.05$ )
- 即使所有组实际上来自相同的分布（零假设为真），由于进行了多次检验，我们仍然可能得到一些“显著”的假阳性结果

#### 2. 右图：累积第一类错误率

- 随着组数增加，需要进行的两两比较次数急剧增加
- 累积第一类错误率迅速上升，远超过期望的 5% 水平

- 当组数达到 8 个时，累积第一类错误率高达 76.2%

### 实际生态学应用建议

在生态学研究中，我们应该：

1. 首选方差分析：当比较三个或更多组时，使用方差分析而不是多个 *t* 检验

2. 如果方差分析显著，再进行事后检验：

- 使用 Tukey HSD 检验进行所有两两比较
- 使用 Bonferroni 校正调整 p 值
- 使用 Scheffé 方法进行复杂的对比

3. 报告完整的分析流程：

- 先报告方差分析的总体结果
- 如果显著，再报告具体哪些组间存在差异
- 说明使用的多重比较校正方法

4. 考虑研究设计：

- 在实验设计阶段就考虑使用方差分析
- 确保样本量足够检测预期的效应大小
- 考虑使用重复测量方差分析处理时间序列数据

通过使用方差分析而不是多个 *t* 检验，我们能够在保持统计严谨性的同时，得出更可靠的生态学结论，为生态保护和管理决策提供更坚实的科学依据。

### 单因素方差分析与多因素方差分析

- **单因素方差分析：**只有一个分类自变量，用于比较不同处理、不同生境或不同群体的效应
- **多因素方差分析：**有多个分类自变量，可以同时检验主效应和交互效应

**生态学意义：**方差分析在生态学中有广泛的应用。例如，我们可以检验：

- 不同施肥水平对作物产量的影响
- 不同森林类型中的鸟类多样性差异
- 不同污染程度水域的水生生物群落差异
- 不同管理措施对草地生产力的影响
- 不同保护措施（禁猎、栖息地恢复、人工投食）对梅花鹿种群密度的影响

让我们通过一个具体的生态学实例来理解方差分析的应用：

### 实例：比较不同保护措施对梅花鹿种群的影响

假设我们研究三种不同保护措施（禁猎保护、栖息地恢复、人工投食）对梅花鹿种群的影响。

我们在每种保护措施区域随机选择 10 个样点，调查梅花鹿密度。

- 零假设 ( $H_0$ )：三种保护措施的平均梅花鹿密度相等
- 备择假设 ( $H_1$ )：至少有一种保护措施的平均梅花鹿密度与其他不同

如果方差分析结果显示  $p < 0.05$ ，我们有统计证据表明不同保护措施对梅花鹿种群产生了显著影响。

方差分析的使用需要满足一些前提条件：数据应该近似正态分布，各组方差应该相等（方差齐性），观测值之间相互独立。如果这些条件不满足，我们可能需要考虑使用非参数检验方法。

为了更好地理解方差分析的原理，让我们通过一个图来理解：

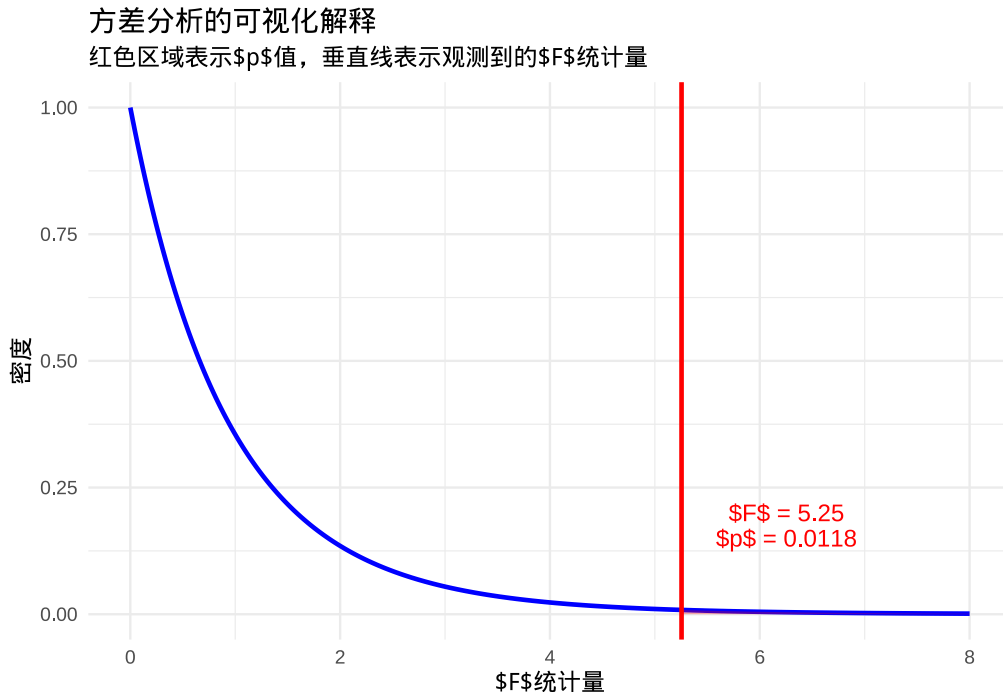


图 6.12 方差分析的可视化解释：展示  $F$  分布、观测  $F$  统计量以及对应的  $p$  值区域

这个图表直观展示了方差分析的原理。蓝色曲线表示在零假设下的  $F$  分布，红色垂直线表示我们观测到的  $F$  统计量，红色区域表示  $p$  值——在零假设下观测到当前或更极端  $F$  值的概率。

### 6.5.2 Kruskal-Wallis 检验

当数据不满足正态分布假设，或者我们想要比较多个独立样本的中位数而不是均值时，**Kruskal-Wallis 检验**提供了一个强大的非参数替代方法。这个检验是 Mann-Whitney U 检验在多个样本情况下的扩展。

Kruskal-Wallis 检验的基本思想是将所有样本的观测值合并排序，然后基于秩次来检验多个样本是否来自相同的分布。其零假设和备择假设通常设定为：

- 零假设 ( $H_0$ )：所有样本来自相同的分布
- 备择假设 ( $H_1$ )：至少有一个样本来自不同的分布

检验统计量  $H$  的计算基于秩次：

$$H = \frac{12}{N(N+1)} \sum_{i=1}^k \frac{R_i^2}{n_i} - 3(N+1)$$

其中：

- $k$  是组数
- $n_i$  是第  $i$  组的样本量
- $R_i$  是第  $i$  组的秩和
- $N$  是总样本量

在大样本情况下， $H$  统计量近似服从自由度为  $k-1$  的卡方分布。

#### 为什么使用秩次而不是原始值？

使用秩次而不是原始值使得检验对极端值不敏感，也不依赖于数据的分布形态。这使得 Kruskal-Wallis 检验特别适用于偏态分布、存在极端值或测量尺度是序数的情况。

**生态学意义：**Kruskal-Wallis 检验在生态学中特别适用于以下情况：

- 数据严重偏离正态分布
- 样本量很小，无法可靠地检验正态性
- 存在极端值或异常值
- 测量尺度是序数的，或者数据只包含相对大小信息

例如，我们可以使用 Kruskal-Wallis 检验来：

- 比较不同污染程度区域的多个生物指标
- 检验不同管理措施对多个物种丰富度的影响
- 比较不同生境类型中的多个个体大小分布
- 比较不同保护措施对梅花鹿种群密度的影响（当数据不满足正态分布时）

让我们通过一个具体的生态学实例来理解 Kruskal-Wallis 检验的应用：

#### 实例：比较不同保护措施对梅花鹿种群的影响（非参数方法）

假设我们研究三种不同保护措施（禁猎保护、栖息地恢复、人工投食）对梅花鹿种群的影响。我们在每种保护措施区域各采集了 8 个样点，测量梅花鹿密度。由于数据存在极端值且分布偏态，我们选择使用 Kruskal-Wallis 检验。

- 零假设 ( $H_0$ )：三种保护措施区域的梅花鹿密度来自相同的分布
- 备择假设 ( $H_1$ )：至少有一种保护措施区域的梅花鹿密度分布与其他不同

如果检验结果显示  $p < 0.05$ ，我们有统计证据表明不同保护措施确实对梅花鹿种群产生了显著影响。

Kruskal-Wallis 检验的主要优点是它对分布形态没有要求，对极端值不敏感。然而，它的缺点是统计功效通常低于对应的参数检验（方差分析），因为它忽略了数据的数值信息，只使用秩次信息。

为了更好地理解 Kruskal-Wallis 检验的原理，让我们通过一个图来理解：

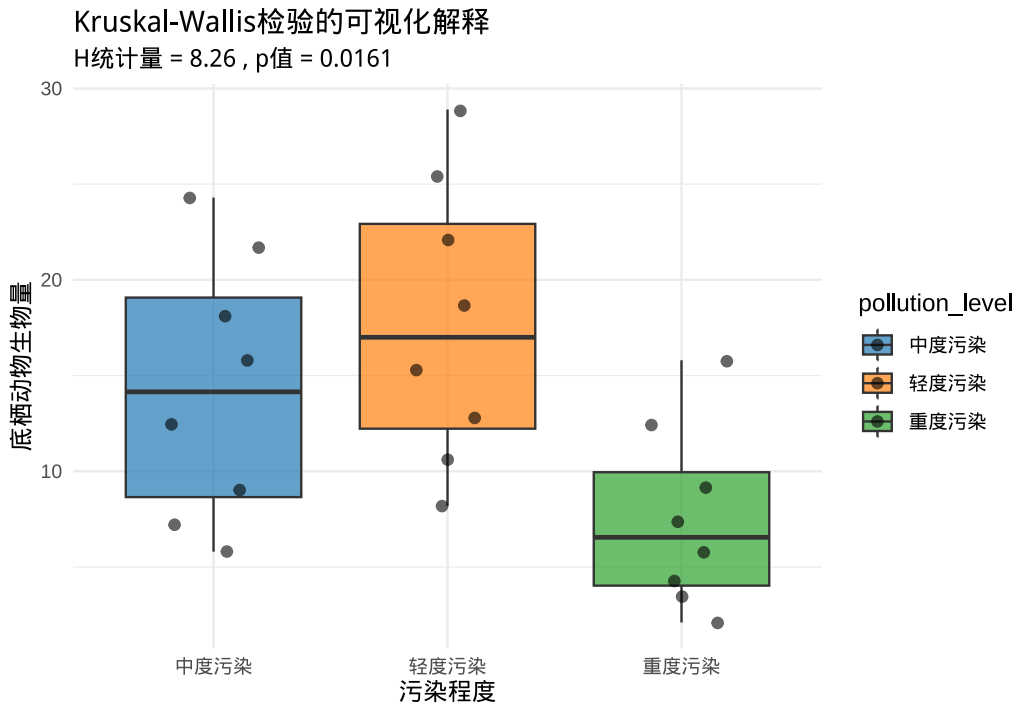


图 6.13 Kruskal-Wallis 检验的可视化解释：通过箱线图展示不同污染程度区域底栖动物生物量的分布比较

这个图表直观展示了 Kruskal-Wallis 检验的原理。箱线图显示了三个样本的分布情况，点表示各个观测值。检验基于这些观测值的秩次（排序位置）而不是原始数值来进行统计推断。

在实际的生态学研究中，选择使用方差分析还是 Kruskal-Wallis 检验应该基于数据的特性、研究设计和研究问题的性质。如果数据满足正态分布和方差齐性假设，方差分析通常更有效。如果数据严重偏离正态分布或存在极端值，Kruskal-Wallis 检验提供了更稳健的替代方法。

多样本检验方法为我们提供了比较多个处理或生境生态效应的工具。然而，生态数据常常呈现出复杂的分布特征，如偏态分布、极端值、序数尺度等，这些情况使得传统的参数检验方法不再适用。为了应对这些复杂情况，我们需要掌握非参数检验方法，它们不依赖于严格的正态分布假设，为处理复杂生态数据提供了稳健的统计工具。

## 6.6 生态复杂数据的非参数检验

生态数据常常呈现出复杂的分布特征，如偏态分布、极端值、序数尺度等，这些情况使得传统的参数检验方法不再适用。例如，梅花鹿种群的空间分布可能呈现明显的聚集模式，或者污染物浓度数据可能存在检测限问题。非参数检验方法为处理这类复杂生态数据提供了稳健的统计工具，它们不依赖于严格的正态分布假设，而是基于数据的排序或符号信息进行统计推断。

**符号检验：**

- 基于符号的非参数检验
- 生态学意义：适用于序数数据

**Wilcoxon 符号秩检验：**

- 考虑排序的非参数检验
- 生态学意义：比符号检验更有效

**卡方检验：**

- 检验分类变量的关联性
- 拟合优度检验：检验观测分布与理论分布的拟合
- 独立性检验：检验两个分类变量的独立性
- 生态学意义：分析物种分布、生境偏好等

**方法学发展脉络说明：**本章介绍的非参数检验方法虽然不依赖于严格的正态分布假设，但它们仍然是基于经典统计理论的传统方法。这些方法为生态学家提供了处理非正态数据的重要工具。然而，随着生态学研究的深入和复杂化，我们越来越多地遇到这样的情况：我们感兴趣的统计量根本没有现成的理论分布可以参照，或者数据的复杂性超出了传统方法的处理能力。在这种情况下，我们需要转向更灵活的现代统计方法——基于模拟的假设检验。这些方法将在下一章中详细介绍，它们通过计算机模拟来构建统计量的经验分布，为处理复杂的生态学问题提供了全新的解决方案。从经典的非参数检验到现代的基于模拟方法，体现了统计方法学从理论驱动到数据驱动的演进，为生态学家应对日益复杂的生态问题提供了更强大的工具包。

在掌握了各种假设检验方法后，我们需要关注一个在生态学研究中经常被忽视但极为重要的问题——多重比较校正。当我们同时进行多个统计检验时，如果不进行适当的校正，会导致假阳性发现的风险显著增加。这种统计陷阱可能使我们将随机波动误认为真实的生态效应，从而做出错误的保护决策。

## 6.7 生态多重比较的校正方法

在生态保护决策中，我们常常需要同时比较多个处理、多个生境或多个时间点的生态效应。例如，比较不同保护措施对梅花鹿种群的影响、分析多个污染区域的环境质量差异、或者评估不同管理策略的生态效果。然而，这种多重比较会显著增加假阳性发现的风险，可能导致错误的保护决策。多重比较校正方法为我们提供了控制这种统计陷阱的严谨工具。

### 6.7.1 多重比较问题的本质

在生态学研究中，当我们使用方差分析发现多个组间存在总体差异后，一个自然的问题随之而来：**具体哪些组之间存在差异？**要回答这个问题，我们需要进行两两比较。然而，直接进行多个  $t$  检验会导致第一类错误率膨胀，这是一个在生态统计学中必须重视的问题。

### 为什么需要多重比较校正？

假设我们有  $k$  个组，需要进行  $m$  次两两比较，其中：

$$m = \frac{k(k - 1)}{2}$$

如果每次检验的显著性水平设为  $\alpha = 0.05$ ，那么累积的第一类错误率为：

$$\alpha_{family} = 1 - (1 - \alpha)^m$$

这意味着即使所有组实际上没有差异，我们也有很高的概率至少得到一个“显著”的假阳性结果。多重比较校正的目的就是控制这个族错误率，确保我们的统计结论更加可靠。

**生态学意义：**在生态保护和管理决策中，错误的统计结论可能导致资源浪费或错失保护机会。多重比较校正帮助我们避免将随机波动误认为真实的生态效应，为科学决策提供更可靠的依据。

让我们通过文字描述来理解完整的分析流程：

多重比较分析遵循一个清晰的逻辑流程，确保统计结论的可靠性。首先，我们执行方差分析(ANOVA)来检验多个组间的总体差异。如果方差分析结果显示总体差异不显著，我们停止分析，因为这意味着各组之间没有系统性的差异，继续进行多重比较只会增加第一类错误的风险。

只有当方差分析显示总体差异显著时，我们才进入多重比较校正阶段。在这一步，我们需要根据研究目的选择适当的校正方法。常用的方法包括 Tukey HSD（适用于所有组对比较）、Bonferroni 校正（适用于预先指定的比较）和 FDR 控制（适用于探索性分析）。选择合适的方法后，我们进行多重比较校正，最终解释具体的组间差异，识别哪些组对存在统计上显著的差异。

这个流程强调了一个重要原则：只有在总体差异显著的前提下，才需要进行多重比较校正来识别具体的差异组对。这样的分析策略既保证了统计结论的可靠性，又避免了不必要的多重检验带来的错误率膨胀。

#### 6.7.2 Bonferroni 校正

在生态保护决策中，当我们需要严格控制假阳性风险时，Bonferroni 校正提供了最保守的多重比较校正方法。例如，在评估多种保护措施对梅花鹿种群的影响时，我们需要确保不会错误地宣称无效的措施有效。

**Bonferroni 校正**是最简单也最保守的多重比较校正方法。其基本思想是将显著性水平  $\alpha$  除以比较次数  $m$ ：

$$\alpha_{adjusted} = \frac{\alpha}{m}$$

其中  $\alpha$  是期望的族错误率（通常为 0.05）， $m$  是比较次数。

#### 数学原理：

Bonferroni 校正基于 Bonferroni 不等式，该不等式指出：

$$P\left(\bigcup_{i=1}^m A_i\right) \leq \sum_{i=1}^m P(A_i)$$

其中  $A_i$  表示第  $i$  次检验犯第一类错误的事件。通过将每次检验的显著性水平设为  $\alpha/m$ ，我们确保族错误率不超过  $\alpha$ 。

#### 优缺点：

- **优点：**简单易用，计算方便
- **缺点：**过于保守，统计功效较低，特别是当比较次数很多时

#### 适用场景：

- 检验次数较少的情况 ( $m < 10$ )
- 预先计划的比较（而非探索性分析）
- 需要严格控制第一类错误的研究

**生态学意义：**在生态风险评估或保护决策等高风险研究中，Bonferroni 校正的保守性可能是有益的，因为它减少了假阳性发现的风险。

### 6.7.3 Tukey HSD 检验

在生态学研究中，当我们发现不同森林类型对鸟类多样性存在总体差异后，需要进一步确定具体哪些森林类型之间存在显著差异。**Tukey HSD (Honestly Significant Difference) 检验**是专门为方差分析后的事后比较设计的多重比较方法。它基于学生化极差分布，同时考虑所有可能的组对比较。

#### 原理：

Tukey HSD 检验计算每个组对均值差异的置信区间：

$$\bar{x}_i - \bar{x}_j \pm q_{\alpha, k, df} \cdot \sqrt{\frac{MS_{within}}{n}}$$

其中：

- $q_{\alpha, k, df}$  是学生化极差分布的临界值
- $k$  是组数
- $df$  是组内自由度
- $MS_{within}$  是组内均方

- $n$  是每组样本量（假设平衡设计）

**生态学应用：**Tukey HSD 检验是生态学中最常用的多重比较方法之一，特别适用于：  
 - 比较不同处理对生物指标的影响  
 - 分析不同生境类型的生态差异  
 - 检验不同管理措施的效果

#### 6.7.4 FDR (错误发现率) 控制

在生态基因组学研究中，我们常常需要同时检验数千个基因的表达差异，传统的多重比较校正方法可能过于保守。**FDR (False Discovery Rate) 控制**是一种相对较新的多重比较校正方法，特别适用于大规模检验。与传统的族错误率控制不同，FDR 控制的是被拒绝的零假设中错误拒绝的比例。

**Benjamini-Hochberg 程序：**

1. 将  $m$  个检验的 p 值从小到大排序： $p_{(1)} \leq p_{(2)} \leq \dots \leq p_{(m)}$
2. 找到最大的  $i$  使得： $p_{(i)} \leq \frac{i}{m} \cdot \alpha$
3. 拒绝所有  $p_{(1)}, p_{(2)}, \dots, p_{(i)}$  对应的零假设

**适用场景：**

- 大规模检验（如基因表达分析、宏基因组学）
- 探索性研究，希望在发现力和错误控制之间取得平衡
- 生态基因组学和环境 DNA 研究

**生态学意义：**在生态基因组学研究中，我们常常需要同时检验数千个基因的表达差异。FDR 控制方法允许我们识别更多真实的生物学信号，同时控制假阳性发现的比例。

#### 6.7.5 生态学实例：不同保护措施对梅花鹿种群的影响

让我们通过一个完整的生态学实例来理解多重比较校正的实际应用。假设我们研究三种不同保护措施（禁猎保护、栖息地恢复、人工投食）对梅花鹿种群密度的影响。

**研究设计：**

- 在每种保护措施区域中随机选择 12 个样点
- 调查每个样点的梅花鹿密度（只/平方公里）
- 使用方差分析检验总体差异
- 如果显著，使用多重比较校正识别具体差异

**R 代码实现：**

```
# 设置参数
set.seed(123)

# 模拟三种保护措施区域的梅花鹿种群密度数据
hunting_ban <- rnorm(12, mean = 5.2, sd = 1.2) # 禁猎保护
habitat_restoration <- rnorm(12, mean = 4.8, sd = 1.1) # 栖息地恢复
artificial_feeding <- rnorm(12, mean = 6.1, sd = 1.3) # 人工投食
```

```
# 创建数据框
protection_data <- data.frame(
  density = c(hunting_ban, habitat_restoration, artificial_feeding),
  protection_measure = rep(c("禁猎保护", "栖息地恢复", "人工投食"), each = 12)
)

# 第一步：执行方差分析
anova_result <- aov(density ~ protection_measure, data = protection_data)
cat("== 方差分析结果 ==\n")

## == 方差分析结果 ==
knitr::kable(summary(anova_result)[[1]],
             caption = "方差分析结果",
             booktabs = TRUE) %>%
  kableExtra::kable_styling(latex_options = c("hold_position"))
```

表 6.3 方差分析结果

|                    | Df | Sum Sq   | Mean Sq  | F value  | Pr(>F)    |
|--------------------|----|----------|----------|----------|-----------|
| protection_measure | 2  | 18.84531 | 9.422654 | 7.322486 | 0.0023345 |
| Residuals          | 33 | 42.46475 | 1.286811 | NA       | NA        |

```
# 提取 F 统计量和 p 值
f_stat <- summary(anova_result)[[1]][["forest_type", "F value"]]
p_value <- summary(anova_result)[[1]][["forest_type", "Pr(>F)"]]

cat("\nF 统计量 =", round(f_stat, 2), ", p 值 =", round(p_value, 4), "\n")

##
## F 统计量 = NA , p 值 = NA

# 第二步：多重比较校正（仅在方差分析显著时执行）
# 重新执行方差分析以获取 p 值 - 确保使用正确的数据
anova_result <- aov(density ~ protection_measure, data = protection_data)
anova_summary <- summary(anova_result)

# 提取保护措施因子的 p 值
p_value <- anova_summary[[1]][["protection_measure", "Pr(>F)"]]

# 检查方差分析是否显著 - 只有在总体差异显著时才进行多重比较
if (p_value < 0.05) {
  cat(" 方差分析显著，进行多重比较校正...\n\n")

  # 方法 1: Tukey HSD 检验 - 专门为方差分析后的事后比较设计
  cat("== Tukey HSD 检验结果 ==\n")
  # Tukey HSD 检验提供所有组对比较的调整后 p 值和置信区间
  tukey_result <- TukeyHSD(anova_result)
  print(tukey_result)

  # 方法 2: Bonferroni 校正 - 最保守的多重比较校正方法
  cat("\n== Bonferroni 校正结果 ==\n")
  # 使用 pairwise.t.test 函数进行所有两两比较，应用 Bonferroni 校正
  pairwise_result <- pairwise.t.test(protection_data$density,
    protection_data$protection_measure,
    p.adjust.method = "bonferroni"
  )
  print(pairwise_result)

  # 方法 3: FDR 控制 - 错误发现率控制方法
  cat("\n== FDR 控制结果 (Benjamini-Hochberg) ==\n")
  # 使用 Benjamini-Hochberg 程序控制错误发现率
  fdr_result <- pairwise.t.test(protection_data$density,
    protection_data$protection_measure,
    p.adjust.method = "BH"
  )
}
```

```

    )
  print(fdr_result)
} else {
  # 如果方差分析不显著, 说明没有总体差异, 无需进行多重比较
  cat(" 方差分析不显著, 无需进行多重比较校正。\\n")
}

## 方差分析显著, 进行多重比较校正...
## === Tukey HSD检验结果 ===
##   Tukey multiple comparisons of means
##     95% family-wise confidence level
##
## Fit: aov(formula = density ~ protection_measure, data = protection_data)
##
## $protection_measure
##              diff      lwr      upr      p adj
## 栖息地恢复-人工投食 -1.7720983 -2.9084687 -0.6357279 0.0015524
## 禁猎保护-人工投食  -0.9063992 -2.0427695  0.2299712 0.1389354
## 禁猎保护-栖息地恢复  0.8656992 -0.2706712  2.0020695 0.1635626
##
## === Bonferroni校正结果 ===
##
##  Pairwise comparisons using t tests with pooled SD
##
## data: protection_data$density and protection_data$protection_measure
##
##          人工投食 栖息地恢复
## 栖息地恢复 0.0016  -
## 禁猎保护    0.1765  0.2114
##
## P value adjustment method: bonferroni
##
## === FDR控制结果 (Benjamini-Hochberg) ===
##
##  Pairwise comparisons using t tests with pooled SD
##
## data: protection_data$density and protection_data$protection_measure
##
##          人工投食 栖息地恢复
## 栖息地恢复 0.0016  -
## 禁猎保护    0.0705  0.0705
##
## P value adjustment method: BH

# 加载可视化包
library(ggplot2)
library(dplyr)

# 计算均值和标准误
summary_stats <- protection_data %>%
  group_by(protection_measure) %>%
  summarise(
    mean_density = mean(density),
    se_density = sd(density) / sqrt(n())
  )

```

图 6.14 展示了多重比较校正的综合可视化结果。该组合图形将均值图（左侧）和箱线图（右侧）并排显示，便于直观比较三种保护措施下梅花鹿种群密度的统计特征。均值图显示各组的平均密度及其标准误，箱线图则展示了数据的分布特征和个体观测值。这种组合可视化方式有助于全面理解多重比较分析的结果。

### 结果解释：

在这个实例中，我们首先使用方差分析检验三种保护措施下梅花鹿种群密度是否存在总体差异。如

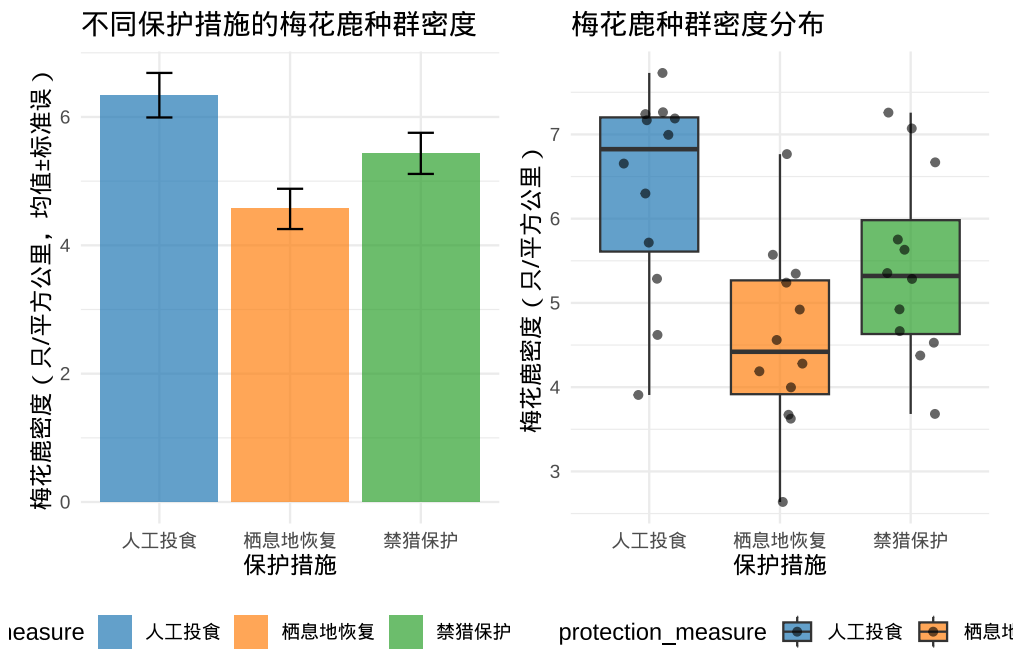


图 6.14 多重比较校正实例分析：展示不同保护措施梅花鹿种群密度的多重比较结果及其可视化

果方差分析显著 ( $p < 0.05$ )，我们接着使用三种不同的多重比较校正方法：

1. **Tukey HSD 检验**: 提供所有组对比较的调整后 p 值和置信区间
2. **Bonferroni 校正**: 最保守的方法，适用于预先计划的比较
3. **FDR 控制**: 在发现力和错误控制之间取得平衡

通过比较不同校正方法的结果，我们可以更全面地理解组间差异的模式，并选择最适合研究目的的方法。

### 6.7.6 多重比较校正效果的可视化

让我们通过另一个可视化来理解多重比较校正如何影响 p 值的解释：

图 6.15 展示了多重比较校正效果的直观可视化。该图形模拟了 20 个假设检验的情景，其中 15 个来自零假设（无真实效应，蓝色点），5 个来自备择假设（有真实效应，红色点）。图形采用三面板布局，分别显示未校正、Bonferroni 校正和 FDR 控制三种方法处理后的 p 值。通过比较各面板中超过红色虚线（显著性阈值）的点数，可以直观理解不同校正方法在错误控制和发现力之间的权衡。

**图表解释：**

这个图表展示了三种情况下的 p 值：

- **未校正**: 直接使用原始 p 值，可能产生多个假阳性
- **Bonferroni 校正**: p 值被严格调整，减少了假阳性但可能错过一些真实效应
- **FDR 控制**: 在控制假阳性比例的同时，保留了更多的真实效应

通过这个可视化，我们可以直观地理解不同校正方法如何在错误控制和发现力之间进行权衡。

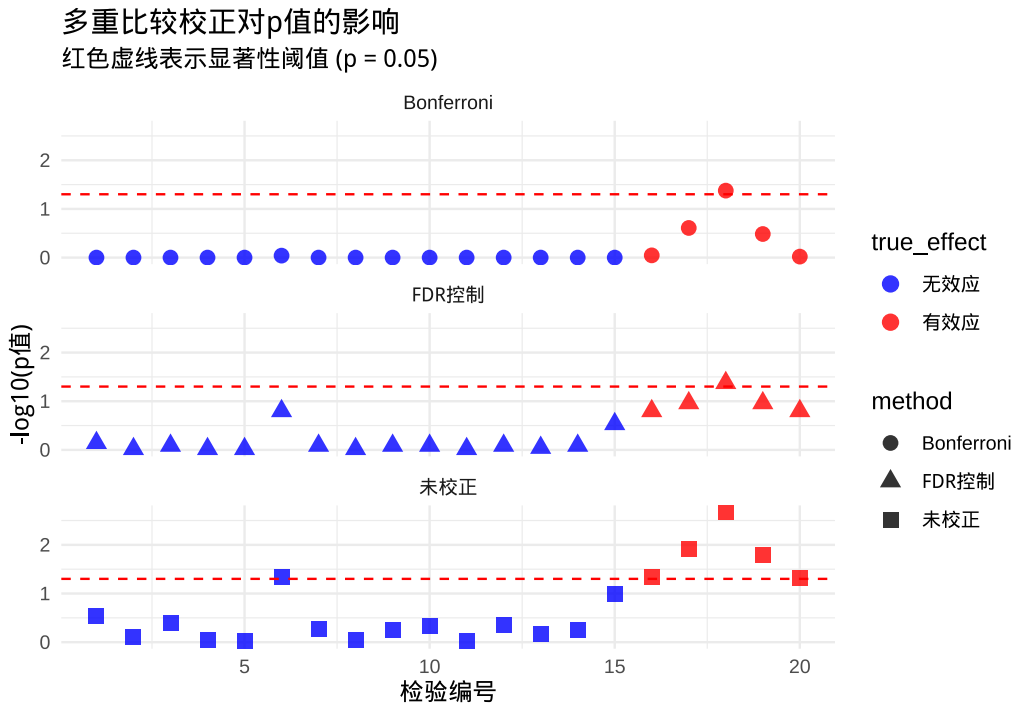


图 6.15 多重比较校正效果的可视化：比较未校正、Bonferroni 校正和 FDR 控制三种方法对 p 值的影响

### 6.7.7 实用建议与最佳实践

在生态学研究中正确应用多重比较校正至关重要。以下是一些实用的建议：

#### 1. 选择合适的校正方法

表 6.4 多重比较校正方法的推荐

| 研究情境       | 推荐方法       | 理由             |
|------------|------------|----------------|
| 预先计划的少量比较  | Bonferroni | 简单保守，严格控制第一类错误 |
| 方差分析后的事后比较 | Tukey HSD  | 专门设计，考虑所有组对比较  |
| 大规模探索性研究   | FDR 控制     | 平衡发现力和错误控制     |
| 生态风险评估     | Bonferroni | 保守性有助于避免假阳性    |
| 生态基因组学     | FDR 控制     | 处理大量基因表达数据     |

#### 2. 分析流程的最佳实践

- **先总体，后具体：**先进行方差分析检验总体差异，只有在总体差异显著时才进行多重比较
- **明确研究目的：**根据研究是验证性还是探索性选择校正方法
- **报告完整信息：**在论文中报告使用的校正方法、调整后的 p 值和置信区间
- **考虑样本量：**确保样本量足够检测预期的效应大小

#### 3. 常见错误与避免方法

- 错误：直接进行多个  $t$  检验而不校正
  - 避免方法：始终使用适当的校正方法
- 错误：在方差分析不显著时仍进行多重比较
  - 避免方法：只有在总体差异显著时才进行事后检验
- 错误：不报告使用的校正方法
  - 避免方法：在方法部分明确说明统计分析方法
- 错误：过度依赖单一校正方法
  - 避免方法：根据研究目的和数据特性选择合适的方法

#### 4. 生态学研究中的特殊考虑

在生态学研究中，多重比较校正的选择还应考虑：

- 保护生物学：在濒危物种保护研究中，可能更倾向于保守的方法（如 Bonferroni）来避免假阳性
- 生态系统管理：在管理决策中，需要平衡统计严谨性和实际应用价值
- 长期监测：在时间序列数据分析中，考虑重复测量方差分析和相应的事后检验

#### 5. R 语言实现技巧

```
# 常用的多重比较校正函数
# Tukey HSD 检验
# 假设已经执行了方差分析: aov_result <- aov(response ~ group, data = data)
TukeyHSD(aov_result)

# Bonferroni 校正
pairwise.t.test(data$response, data$group, p.adjust.method = "bonferroni")

# FDR 控制 (Benjamini-Hochberg)
pairwise.t.test(data$response, data$group, p.adjust.method = "BH")

# 其他校正方法
p.adjust(p_values, method = "holm") # Holm 校正
p.adjust(p_values, method = "fdr") # FDR 控制
p.adjust(p_values, method = "BY") # Benjamini-Yekutieli
```

**生态学意义：**通过正确应用多重比较校正，生态学家能够：

- 得出更可靠的统计结论
- 避免将随机波动误认为生态规律
- 为生态保护和管理决策提供更坚实的科学依据
- 促进生态学研究的严谨性和可重复性

记住，多重比较校正不是统计“魔术”，而是基于概率理论的严谨方法。理解其原理并正确应用，将使你的生态学研究更加科学和可信。

在掌握了如何避免多重比较导致的假阳性问题后，我们需要关注另一个同样重要的统计问题——统计功效。即使我们使用了正确的统计检验和多重比较校正，如果研究设计本身缺乏足够的检测能力，我们仍然可能错过真实的生态效应。功效分析正是为此目的而设计的统计工具，它帮助我们在研究设计阶

段就评估检测预期效应的可能性。

## 6.8 生态保护效果的功效分析

在生态学研究中，我们不仅关心统计显著性，更关心研究是否有足够的能力检测到真实存在的生态效应。**功效分析**正是为此目的而设计的统计工具，它帮助我们在研究设计阶段就评估检测预期效应的可能性，从而确保我们的研究既不会因为样本过小而错过真实效应，也不会因为样本过大而浪费宝贵的科研资源。

### 6.8.1 统计功效的概念与生态学意义

**统计功效**定义为正确拒绝错误零假设的概率，即  $1-\beta$ ，其中  $\beta$  是第二类错误的概率。在生态学语境中，统计功效可以理解为：当某种生态效应确实存在时，我们的研究能够检测到这种效应的概率。例如，如果某种保护措施确实能够提高濒危物种的存活率，统计功效就是我们的研究能够正确发现这种保护效果的概率。

统计功效的生态学意义极为重要。一个功效不足的研究就像使用分辨率不足的望远镜观察星空——我们可能错过真实存在的天体，却误以为天空空无一物。在生态保护领域，功效不足的研究可能导致我们错过有效的保护措施，让濒危物种继续面临威胁；在环境风险评估中，功效不足可能让我们低估污染物的生态毒性，导致生态系统持续受损。因此，进行充分的功效分析不仅是统计严谨性的要求，更是生态伦理的体现。

### 6.8.2 功效分析的核心要素

功效分析涉及四个相互关联的核心要素，理解这些要素之间的关系对于合理设计生态学研究至关重要。这四个要素——效应大小、样本量、显著性水平和统计功效——构成了一个紧密相连的系统，任何一个要素的变化都会影响其他要素。在生态学研究中，我们需要在这些要素之间找到最优的平衡点，既要确保研究有足够的检测能力，又要考虑实际的资源约束和伦理考量。

**效应大小**是衡量生态效应实际重要性的量化指标，它反映了自变量对因变量影响的实际幅度。与统计显著性不同，效应大小关注的是生态学意义上的实际差异，而非统计概率。在生态学研究中，效应大小的概念具有多重维度：它可以是均值差异、方差解释比例、相关系数，或者是分类变量间的关联强度。

效应大小的生态学解释需要结合具体的研究情境和生态学背景。一个在生理学研究中微不足道的效应可能在保护生物学中具有决定性意义。例如，某种农药导致非靶标昆虫死亡率增加 3% 的效应，在农业生产的经济效益评估中可能被认为是可接受的副作用，但在保护濒危传粉昆虫物种时，这个微小的死亡率增加可能意味着整个种群的崩溃。同样，在气候变化研究中，年平均温度升高  $0.5^{\circ}\text{C}$  的效应在短期气象观测中可能不显著，但对于高山生态系统的物种分布和物候期却可能产生深远影响。

效应大小的估计需要基于多方面的信息来源：文献回顾可以提供类似研究的效应大小范围；预实验

数据可以提供初步的效应估计；专家经验可以基于生态学理论提供合理的预期；最小生态学重要差异（Minimum Ecologically Important Difference）的概念可以帮助确定具有实际生态意义的效应阈值。在缺乏可靠信息时，可以使用 Cohen 提出的效应大小标准作为参考：小效应 ( $d=0.2$ )、中效应 ( $d=0.5$ )、大效应 ( $d=0.8$ )，但这些标准在生态学中的应用需要谨慎，因为生态系统的复杂性和敏感性往往要求我们重新定义什么构成“重要”的效应。

**样本量**是研究中最直接可控的因素，也是连接统计理论与生态实践的桥梁。样本量直接影响统计功效的核心机制在于其对抽样误差的控制——样本量越大，样本统计量对总体参数的估计越精确，抽样误差越小，从而检测真实效应的能力越强。这种关系遵循平方根法则：标准误与样本量的平方根成反比，这意味着要将标准误减半，需要将样本量增加四倍。

然而，生态学研究在样本量选择上面临着独特的挑战和约束。野外调查往往受制于时间、经费和可行性的限制：在偏远地区进行生物多样性调查可能需要数周甚至数月的野外工作；保护生物学研究可能涉及数量极其有限的濒危物种个体；长期生态监测需要考虑研究的可持续性和对生态系统的干扰最小化。此外，生态系统的空间异质性和时间变异性也增加了确定合适样本量的复杂性。

功效分析在样本量确定中发挥着关键作用，它帮助我们在这些约束条件下找到最优的平衡点。通过功效分析，我们可以回答一系列关键问题：在给定的效应大小和显著性水平下，达到期望统计功效需要多大的样本量？如果实际条件限制了样本量，那么在这种样本量下我们能够检测到多小的效应？这种前瞻性的分析不仅优化了资源利用，也提高了研究的科学价值。

**显著性水平** ( $\alpha$ ) 是我们愿意接受的第一类错误风险，即在零假设实际上为真时错误地拒绝它的概率。在传统的统计实践中， $\alpha$  通常设定为 0.05，但这个选择在生态学中需要更加细致的考量，因为它涉及到第一类错误和第二类错误之间的根本权衡。

在生态学研究中，显著性水平的选择应该基于对两类错误后果的深入分析。在保护生物学研究中，第二类错误的后果往往更为严重——错过一个真实的保护效应可能意味着濒危物种的继续衰退甚至灭绝。因此，在保护生物学中，我们可能愿意接受较高的  $\alpha$  水平（如 0.10）来换取更高的统计功效，确保不会错过重要的保护机会。例如，在评估某种栖息地恢复措施对濒危鸟类的影响时，我们可能更关心不要错过真实的正向效应，即使这意味着有 10% 的概率错误地宣称无效的措施有效。

相反，在涉及重大政策决策或资源分配的研究中，第一类错误的后果可能更为严重。错误地宣称某种污染物具有生态毒性可能导致不必要的环境管制和经济损失；错误地宣称某种外来物种具有入侵风险可能引发不必要的控制措施。在这种情况下，我们需要更严格的  $\alpha$  水平（如 0.01）来减少假阳性的风险。例如，在评估新型农药的环境安全性时，我们可能要求更强的证据来证明其有害性。

**统计功效** ( $1-\beta$ ) 是我们期望达到的检测能力，即在备择假设实际上为真时正确拒绝零假设的概率。在生态学研究中，统计功效通常设定为 0.80，这个标准被认为是在统计严谨性和实际可行性之间的合理折中。

统计功效为 0.80 意味着我们有 80% 的概率正确检测到真实存在的效应，同时接受 20% 的错过真

实效应的风险。这个选择主要基于以下几个考虑：首先，从实际可行性来看，要达到更高的统计功效（如 0.90 或 0.95）通常需要极大的样本量增加，这在生态学研究中往往难以实现。其次，从资源分配的角度看，将功效从 0.80 提高到 0.90 通常需要不成比例的资源投入。最后，统计功效为 0.80 在大多数研究情境下被认为是足够的检测能力。

然而，在特定的高风险生态学研究中，我们可能需要更高的功效标准。在涉及濒危物种保护的研究中，错过真实保护效应的后果可能极为严重，因此可能需要 0.90 甚至 0.95 的功效水平。在重大环境风险评估中，低估污染物生态毒性的风险可能带来不可逆的生态破坏，同样需要更高的检测能力。在这些情况下，功效分析可以帮助我们理解达到更高功效所需的资源投入，为决策提供依据。

### 6.8.3 功效分析在生态学研究设计中的应用

功效分析最重要的应用是在研究设计阶段确定合适的样本量。通过功效分析，我们可以在研究开始前就回答一个关键问题：“为了有 80% 的概率检测到预期大小的效应，我需要多大的样本量？”

让我们通过一个具体的生态学实例来理解功效分析的实际应用：

#### 实例：设计梅花鹿保护措施效果评估的研究

假设我们计划研究禁猎保护对梅花鹿种群密度的影响。基于文献回顾和预实验，我们预期禁猎保护将使梅花鹿密度从保护前的平均 2.5 只/平方公里提高到保护后的平均 4.0 只/平方公里（效应大小）。我们设定显著性水平  $\alpha = 0.05$ ，期望统计功效为 0.80。

通过功效分析，我们可以计算出需要的样本量。如果计算结果显示需要监测 15 个保护区，那么我们就知道：在这个样本量下，如果禁猎保护确实能提高梅花鹿密度，我们有 80% 的概率能够检测到这种效应。

如果实地条件限制我们只能监测 10 个保护区，功效分析可以告诉我们：在这个样本量下，统计功效可能只有 60%。这意味着即使禁猎保护确实有效，我们也有 40% 的概率会错过这个效应。这种前瞻性的认识帮助我们做出更明智的决策——要么调整研究设计，要么重新评估研究的可行性。

### 6.8.4 不同类型检验的功效分析

不同的统计检验需要不同的功效分析方法。在生态学研究中，我们经常遇到的功效分析包括：

**t 检验的功效分析**适用于比较两个组均值差异的研究。例如，比较禁猎保护区域和未保护区域的梅花鹿密度，或者比较不同保护措施实施前后的种群变化。**t 检验的功效分析**相对简单，主要考虑效应大小（标准化均值差异）、样本量和显著性水平。

**方差分析的功效分析**适用于比较三个或更多组均值的研究。例如，比较不同保护措施（禁猎、栖息地恢复、人工投食）对梅花鹿种群密度的影响，或者评估不同管理策略的保护效果。**方差分析的功效分析**需要考虑组数、效应大小（如  $\eta^2$  或  $f$ ）、样本量和显著性水平。

**相关分析和回归的功效分析**适用于研究变量间关系的研究。例如，分析温度与物种丰富度的关系，或者建立环境因子与生态指标的预测模型。这类功效分析需要考虑相关系数、样本量和显著性水平。

**卡方检验的功效分析**适用于分类数据的研究。例如，分析物种在不同生境中的分布差异，或者检验不同处理对生物存活率的影响。卡方检验的功效分析需要考虑效应大小（如 Cramér's V）、样本量和显著性水平。

### 功效分析的实践建议与注意事项

在进行功效分析时，生态学家需要注意以下几个关键点：

**合理估计效应大小**是功效分析成功的关键。效应大小的估计可以基于：文献回顾（类似研究的效应大小）、预实验数据、专家经验，或者使用最小生态学重要差异（Minimum Ecologically Important Difference）的概念。在缺乏可靠信息时，可以使用 Cohen 提出的效应大小标准（小效应： $d=0.2$ ，中效应： $d=0.5$ ，大效应： $d=0.8$ ）作为参考。

**考虑研究的实际约束**。生态学研究很少能在理想条件下进行，我们需要在统计理想和现实约束之间找到平衡。功效分析应该考虑：野外工作的可行性、经费限制、时间约束、伦理考量（如对濒危物种的干扰最小化）。

**进行敏感性分析**。由于效应大小的估计往往存在不确定性，进行敏感性分析是明智的做法。我们可以计算不同效应大小假设下所需的样本量，从而了解研究对效应大小估计的敏感程度。

**报告完整的效果分析**。在论文的方法部分，应该详细报告功效分析的过程：使用的效应大小估计及其依据、设定的显著性水平和统计功效、计算出的样本量、以及任何调整或妥协的考虑。

### 生态学意义与伦理责任

功效分析不仅仅是一个统计工具，它体现了生态学研究的科学严谨性和伦理责任。一个经过充分功效分析设计的研究：

- **提高了研究的科学价值**：确保研究有足够的能力回答科学问题
- **优化了资源利用**：避免样本过小导致的资源浪费，也避免样本过大造成的不必要消耗
- **增强了结果的可信度**：统计上不显著的结果更可能是真实无效应，而非检测力不足
- **促进了知识的积累**：为后续的元分析和综述研究提供可靠的基础

在生态保护和管理决策日益依赖科学证据的今天，功效分析成为了连接生态学理论与保护实践的重要桥梁。通过严谨的功效分析，我们不仅是在进行统计学计算，更是在履行对生态系统和未来世代的责任——确保我们的研究能够为生态保护提供真正有用的知识，而不是在统计迷雾中迷失方向。

### R 语言实现示例

在生态学研究中，R 语言提供了强大的功效分析工具包 `pwr`，可以帮助我们进行各种统计检验的功效分析。下面我们将详细介绍几个关键函数的用法和参数含义，并通过具体的生态学实例演示如何进行功效分析。

## 1. 安装和加载 pwr 包

首先需要安装并加载功效分析包：

```
# 加载 pwr 包
library(pwr)
```

pwr 包提供了多种统计检验的功效分析函数，包括  $t$  检验、方差分析、相关分析、卡方检验等。

## 2. $t$ 检验的功效分析

`pwr.t.test()` 函数用于  $t$  检验的功效分析，适用于比较两个组均值差异的研究。让我们通过一个具体的生态学实例来理解其用法：

```
# 实例：禁猎保护对梅花鹿种群密度影响的功效分析
# 研究问题：比较禁猎保护区域和未保护区域的梅花鹿密度

# 计算所需样本量 - 使用 pwr.t.test 函数进行 t 检验的功效分析
t_power <- pwr.t.test(
  d = 0.5, # 效应大小 (Cohen's d) - 标准化均值差异, 0.5 表示中等效应
  sig.level = 0.05, # 显著性水平 - 第一类错误风险, 通常设为 0.05
  power = 0.8, # 期望统计功效 - 正确检测真实效应的概率, 通常设为 0.80
  type = "two.sample", # 检验类型: 独立样本 t 检验 - 比较两个独立组的均值
  alternative = "two.sided" # 备择假设: 双侧检验 - 检验两个方向的差异
)

# 输出功效分析结果
cat("==> 独立样本 t 检验功效分析 ==>\n")

## ==> 独立样本t检验功效分析 ===
print(t_power)

##
##      Two-sample t test power calculation
##
##              n = 63.76561
##              d = 0.5
##      sig.level = 0.05
##      power = 0.8
##      alternative = two.sided
##
## NOTE: n is number in *each* group
```

**参数解释：** - `d`: 效应大小，使用 Cohen's d 表示标准化均值差异。在生态学中， $d=0.2$  表示小效应， $d=0.5$  表示中效应， $d=0.8$  表示大效应。- `sig.level`: 显著性水平，通常设为 0.05。- `power`: 期望的统计功效，通常设为 0.80。- `type`: 检验类型，可以是“two.sample”（独立样本）、“one.sample”（单样本）或“paired”（配对样本）。- `alternative`: 备择假设类型，可以是“two.sided”（双侧）、“greater”（单侧，组 1> 组 2）或“less”（单侧，组 1< 组 2）。

**结果解释：**输出结果会显示达到期望功效所需的每组样本量。在这个例子中，结果显示每组需要约 64 个样本才能以 80% 的概率检测到中等效应大小的差异。

## 3. 方差分析的功效分析

`pwr.anova.test()` 函数用于方差分析的功效分析，适用于比较三个或更多组均值的研究：

```
# 实例：不同保护措施对梅花鹿种群密度影响的功效分析
# 研究问题：比较禁猎保护、栖息地恢复、人工投食三种保护措施的梅花鹿密度
```

```

# 计算所需样本量
anova_power <- pwr.anova.test(
  k = 3, # 组数
  f = 0.25, # 效应大小 (Cohen's f)
  sig.level = 0.05, # 显著性水平
  power = 0.8 # 期望统计功效
)

cat("\n==== 方差分析功效分析 ===\n")

## 
## === 方差分析功效分析 ===
print(anova_power)

##      Balanced one-way analysis of variance power calculation
##
##          k = 3
##          n = 52.3966
##          f = 0.25
##      sig.level = 0.05
##          power = 0.8
##
## NOTE: n is number in each group

```

**参数解释:** - `k`: 组数, 即要比较的处理水平数量。- `f`: 效应大小, 使用 Cohen's f 表示。在方差分析中,  $f=0.1$  表示小效应,  $f=0.25$  表示中效应,  $f=0.4$  表示大效应。- `sig.level` 和 `power` 的含义与  $t$  检验相同。

**效应大小 f 的计算:** Cohen's f 可以通过方差分析中的  $\eta^2$  (eta 平方) 来计算:

$$f = \sqrt{\frac{\eta^2}{1 - \eta^2}}$$

其中  $\eta^2$  表示组间方差占总方差的比例。

#### 4. 相关分析的功效分析

`pwr.r.test()` 函数用于相关分析的功效分析, 适用于研究两个连续变量之间的关系:

```

# 实例: 温度与物种丰富度关系的功效分析
# 研究问题: 检验年平均温度与鸟类物种丰富度的相关性

# 计算所需样本量
cor_power <- pwr.r.test(
  r = 0.3, # 预期相关系数
  sig.level = 0.05, # 显著性水平
  power = 0.8, # 期望统计功效
  alternative = "two.sided" # 备择假设: 双侧检验
)

cat("\n==== 相关分析功效分析 ===\n")

## 
## === 相关分析功效分析 ===
print(cor_power)

##      approximate correlation power calculation (arctanh transformation)
##          n = 84.07364
##          r = 0.3

```

```
##      sig.level = 0.05
##      power = 0.8
##      alternative = two.sided
```

**参数解释:** - r: 预期的相关系数。在生态学中, r=0.1 表示弱相关, r=0.3 表示中等相关, r=0.5 表示强相关。

## 5. 卡方检验的功效分析

`pwr.chisq.test()` 函数用于卡方检验的功效分析, 适用于分类数据的分析:

```
# 实例: 物种在不同生境中分布差异的功效分析
# 研究问题: 检验物种在三种生境类型中的分布是否存在差异

# 计算所需样本量
chisq_power <- pwr.chisq.test(
  w = 0.3, # 效应大小 (Cohen's w)
  N = NULL, # 总样本量 (待计算)
  df = 2, # 自由度
  sig.level = 0.05, # 显著性水平
  power = 0.8 # 期望统计功效
)

cat("\n==== 卡方检验功效分析 ===\n")

## === 卡方检验功效分析 ===
print(chisq_power)

##      Chi squared power calculation
##
##      w = 0.3
##      N = 107.0521
##      df = 2
##      sig.level = 0.05
##      power = 0.8
##
## NOTE: N is the number of observations
```

**参数解释:** - w: 效应大小, 使用 Cohen's w 表示。在卡方检验中, w=0.1 表示小效应, w=0.3 表示中效应, w=0.5 表示大效应。- df: 自由度, 计算公式为 (行数-1)×(列数-1)。- N: 总样本量。

## 6. 功效曲线的绘制

功效曲线可以直观地展示样本量与统计功效之间的关系, 帮助我们理解样本量选择的权衡:

**图表解释:** - 蓝色曲线显示随着样本量增加, 统计功效逐渐提高 - 红色虚线表示常用的功效阈值 0.80 - 绿色虚线显示达到 0.80 功效所需的样本量 - 从曲线可以看出, 样本量较小时功效增长较快, 样本量较大时增长趋于平缓

## 7. 敏感性分析

由于效应大小的估计往往存在不确定性, 进行敏感性分析是明智的做法:

```
# 测试不同效应大小下的样本量需求
effect_sizes <- c(0.2, 0.3, 0.5, 0.8) # 小、中、大效应
sample_needs <- sapply(effect_sizes, function(d) {
  pwr.t.test(
    d = d, sig.level = 0.05, power = 0.8,
    type = "two.sample"
  )$n
})
```

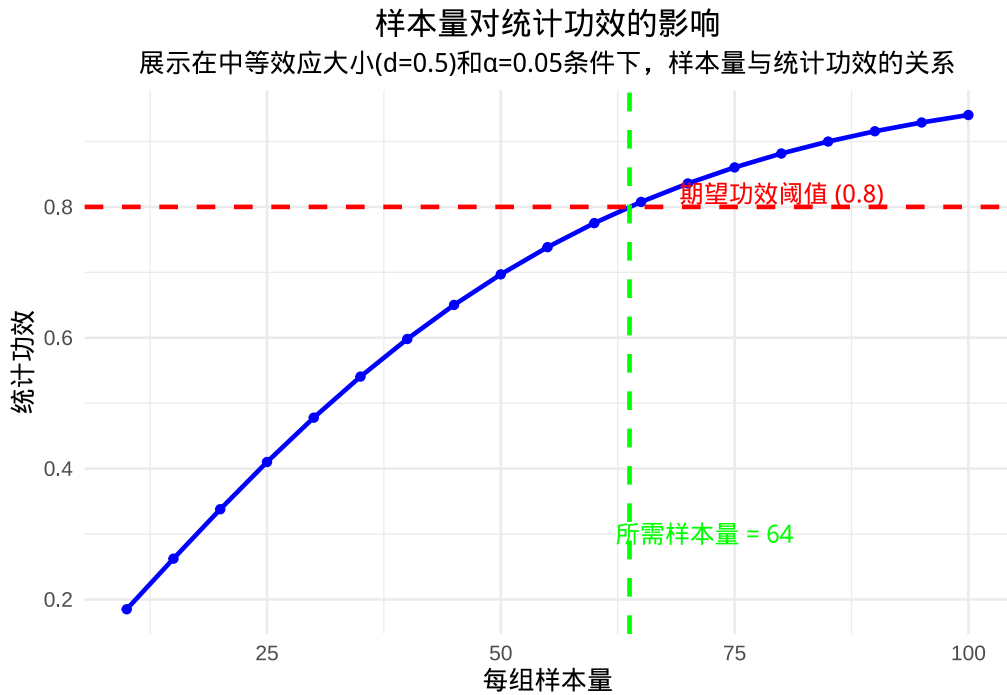


图 6.16 样本量对统计功效的影响：展示在中等效应大小下样本量增加如何提高统计功效

```

) $n
}

# 创建数据框
sensitivity_df <- data.frame(
  effect_size = effect_sizes,
  sample_need = sample_needs,
  effect_label = c(
    "小效应 (d=0.2)", "中小效应 (d=0.3)",
    "中效应 (d=0.5)", "大效应 (d=0.8)"
  )
)

```

图 6.17 展示了效应大小对样本量需求的敏感性分析结果。该柱状图直观地比较了四种不同效应大小水平（小效应  $d=0.2$ 、中小效应  $d=0.3$ 、中效应  $d=0.5$ 、大效应  $d=0.8$ ）下达到 80% 统计功效所需的样本量。从图中可以清晰地看到，随着效应大小的增加，所需的样本量显著减少。例如，检测小效应需要每组约 394 个样本，而检测大效应仅需每组约 26 个样本。这种敏感性分析有助于研究者在研究设计阶段根据预期的效应大小合理规划样本量。

### 实践建议：

在实际应用中，功效分析需要综合考虑多个关键因素。首先，效应大小的合理估计至关重要，这可以基于文献回顾、预实验或专家经验来完成。其次，如果研究计划进行多个检验，需要考虑多重检验校正，采用更严格的显著性水平来控制第一类错误率。同时，研究者需要在功效分析的理想要求与实际资源约束之间找到平衡点，确保研究设计既具有足够的统计检测能力，又在实际条件下可行。最后，在论文中详细报告功效分析的过程和结果，包括效应大小估计的依据、样本量计算的参数设置以及实际达到的功效水平，这对于研究的透明度和可重复性至关重要。

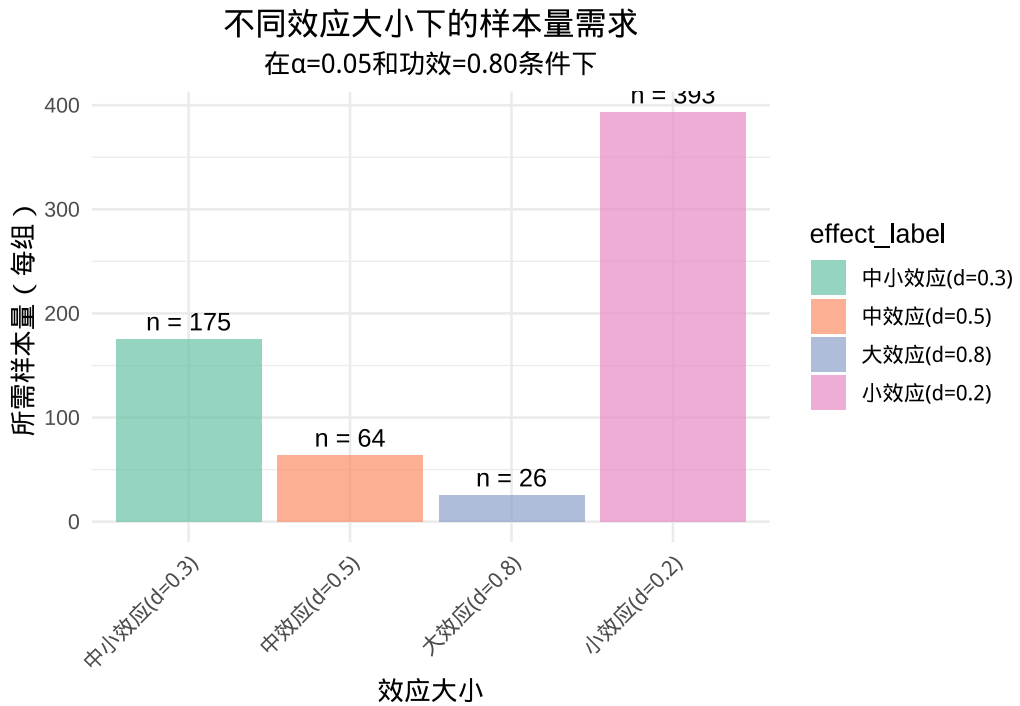


图 6.17 效应大小对所需样本量的影响：展示不同效应大小水平下达到期望统计功效所需的样本量

通过这些详细的 R 语言实现示例，生态学家可以在研究设计阶段就对自己的研究有清晰的预期，确保研究既具有足够的统计检测能力，又在实际资源约束下可行。

## 6.9 总结

本章系统介绍了经典假设检验方法在生态学研究中的应用，通过贯穿始终的梅花鹿保护案例，构建了一个从基础概念到高级应用的完整学习框架。假设检验作为生态统计学的核心工具，为生态学家在充满不确定性的自然系统中做出科学判断提供了严谨的数学基础。

假设检验的核心在于将生态学问题转化为明确的统计问题，通过设定零假设和备择假设，在证据与不确定性之间建立科学的判断标准。零假设通常设定为“无效应”状态，体现了科学研究的保守性和可证伪性原则；备择假设则代表我们想要证明的生态效应。检验统计量和 p 值提供了量化证据强度的工具，而显著性水平  $\alpha$  则设定了我们愿意接受的第一类错误风险。

在生态学研究中，假设检验不仅是一种统计技术，更是一种科学的思维方式。它帮助我们在复杂的自然系统中区分真实的生态规律与随机波动，为保护决策、环境评估和生态管理提供基于证据的科学依据。

单样本检验方法为生态基准验证提供了可靠工具。单样本 t 检验适用于检验样本均值是否与特定理论值存在显著差异，如检验梅花鹿种群密度是否达到保护目标、河流 pH 值是否偏离中性标准等。当数据不满足正态分布假设时，单样本符号检验提供了基于中位数比较的稳健替代方法。这些方法在生态保护标准制定、环境质量评估和物种保护目标验证中具有重要应用价值。

双样本检验方法为生态对比研究提供了系统的统计框架。独立样本  $t$  检验适用于比较两个独立样本的均值差异，如比较不同处理对生态指标的影响；配对样本  $t$  检验则专门用于配对设计数据，通过考虑个体间相关性提高了统计功效。当数据存在偏态分布或极端值时，Mann-Whitney U 检验提供了基于秩次的非参数替代方法。这些方法在保护措施效果评估、生境差异分析和污染影响研究中发挥着关键作用。

多样本检验方法为同时比较多个处理或生境的生态效应提供了系统框架。方差分析（ANOVA）通过分解总变异为组间变异和组内变异，检验多个总体均值是否相等。当数据不满足正态分布假设时，Kruskal-Wallis 检验提供了基于秩次的非参数替代方法。这些方法在比较多种保护措施效果、分析不同生境类型的生态差异以及评估复杂管理策略中具有广泛应用。

多重比较校正是生态统计学中必须重视的问题。当同时进行多个统计检验时，直接使用多个  $t$  检验会导致第一类错误率显著膨胀。Bonferroni 校正提供了最保守的校正方法，Tukey HSD 检验专门为方差分析后的事后比较设计，而 FDR 控制则在发现力和错误控制之间取得平衡。正确的多重比较校正保证了统计结论的可靠性，避免了将随机波动误认为真实的生态效应。

功效分析是连接统计理论与生态实践的重要桥梁。通过考虑效应大小、样本量、显著性水平和统计功效四个核心要素，功效分析帮助我们在研究设计阶段就评估检测预期效应的可能性。这不仅优化了资源利用，避免了样本过小导致的检测力不足或样本过大造成的资源浪费，更体现了生态学研究的科学严谨性和伦理责任。

本章的学习不仅传授了具体的统计方法，更重要的是培养了生态学研究的统计思维方式。优秀的生态学家应该深刻理解统计概念的本质，认识到  $p$  值是在零假设下观测到当前证据强度的概率，而非零假设为真的概率；能够平衡统计显著性与生态学重要性，结合效应大小、置信区间和专业知识全面评估研究结果；善于考虑两类错误的权衡，根据研究问题的性质在假阳性和假阴性风险之间做出明智选择；重视研究设计的前瞻性，通过功效分析确保研究具有足够的检测能力；始终保持批判性思维，对统计结果保持合理的怀疑，理解统计结论的概率性质。

从经典参数检验到传统非参数检验，本章介绍的假设检验方法构成了生态统计学的基础工具包。这些方法虽然不依赖于严格的正态分布假设，但它们仍然是基于经典统计理论的传统方法。随着生态学研究的深入和复杂化，我们越来越多地遇到这样的情况：我们感兴趣的统计量根本没有现成的理论分布可以参照，或者数据的复杂性超出了传统方法的处理能力。

这种局限性为下一章介绍的基于模拟的假设检验方法提供了逻辑基础。从经典的非参数检验到现代的基于模拟方法，体现了统计方法学从理论驱动到数据驱动的演进，为生态学家应对日益复杂的生态问题提供了更强大的工具包。

经典假设检验方法在生态保护实践中具有广泛的应用价值。在梅花鹿保护研究中，这些方法帮助我们：验证种群是否达到保护目标、评估保护措施的真实效果、比较不同保护策略的优劣、控制多重比较的风险、确保研究设计的科学性。这种系统的统计思维不仅提高了研究的科学价值，更为生态保护决策提供了可靠的科学依据。

通过本章的学习，生态学本科生将建立起运用统计工具解决实际生态问题的能力，培养在数据海洋中发现真实生态规律的敏锐洞察力。这种能力将伴随整个科学生涯，无论从事生态研究、环境保护还是资源管理，都将受益无穷。经典假设检验作为生态统计学的基石，为我们探索统计推断与生态规律交汇之处的旅程奠定了坚实基础。

## 6.10 综合练习

### 练习题 1：梅花鹿保护措施效果评估

某自然保护区为了评估禁猎保护措施对梅花鹿种群的影响，在保护措施实施前和实施一年后分别调查了 15 个样点的梅花鹿密度（只/平方公里）。数据如下：

- 保护前：2.1, 2.3, 2.5, 2.8, 3.0, 2.4, 2.6, 2.9, 3.1, 2.7, 2.2, 2.8, 3.0, 2.5, 2.9
- 保护后：3.8, 4.2, 4.5, 4.9, 5.1, 4.3, 4.6, 4.8, 5.2, 4.4, 3.9, 4.7, 5.0, 4.1, 4.6

#### 问题：

- (1) 应该使用哪种统计检验方法来分析保护措施的效果？为什么？
- (2) 设定适当的零假设和备择假设。
- (3) 如果检验结果显示  $p = 0.003$ ，如何解释这个结果？
- (4) 除了统计显著性，还需要考虑哪些因素来全面评估保护措施的效果？

### 练习题 2：不同森林类型鸟类多样性比较

生态学家研究了三种不同森林类型（阔叶林、针叶林、混交林）中的鸟类物种丰富度。在每个森林类型中随机选择了 12 个样点进行调查，得到以下数据（单位：物种数）：

- 阔叶林：18, 20, 22, 19, 21, 23, 17, 20, 22, 19, 21, 24
- 针叶林：12, 14, 15, 13, 16, 14, 11, 13, 15, 12, 14, 16
- 混交林：16, 18, 19, 17, 20, 18, 15, 17, 19, 16, 18, 21

#### 问题：

- (1) 应该使用哪种统计检验方法来比较三种森林类型的鸟类多样性？
- (2) 如果方差分析结果显示  $F = 15.8$ ,  $p < 0.001$ ，如何解释这个结果？
- (3) 为什么不能直接使用多个  $t$  检验来比较所有组对？
- (4) 如果需要进行事后比较，推荐使用哪种多重比较校正方法？为什么？

### 练习题 3：研究设计与功效分析

某研究团队计划开展一项研究，评估新型栖息地恢复措施对濒危蝴蝶种群的影响。他们预期该措施能将蝴蝶密度从当前的每公顷 5 只提高到每公顷 8 只。已知蝴蝶密度的标准差约为 2 只/公顷。

**问题:**

- (1) 计算 Cohen's d 效应大小。
- (2) 如果设定  $\alpha = 0.05$ , 期望功效为 0.80, 使用独立样本  $t$  检验, 需要多大的样本量?
- (3) 如果实地条件限制只能调查 20 个样点 (每组 10 个), 实际的统计功效是多少?
- (4) 在保护生物学研究中, 为什么有时需要接受较高的  $\alpha$  水平 (如 0.10)?



# Chapter 7

## 生态假设的模拟检验方法

### 7.1 引言

在梅花鹿保护研究的探索旅程中，我们已经掌握了基于经典统计分布的假设检验方法，这些方法如同保护生物学家手中的传统工具，在种群动态监测、保护效果评估、栖息地适宜性分析等众多场景中发挥着重要作用。然而，当我们面对梅花鹿保护研究中日益复杂的挑战时，传统方法有时显得力不从心。

本章将带领我们进入统计推断的新天地——基于模拟的假设检验方法。这些现代计算统计技术代表了统计思维的重要演进，它们不再拘泥于传统的理论分布框架，而是通过计算机模拟和概率推理来构建统计量的经验分布。我们将重点探讨蒙特卡洛检验、置换检验和自助法检验这三种核心方法，它们为梅花鹿保护研究提供了处理复杂生态问题的全新视角和强大工具。

在梅花鹿保护研究实践中，我们常常遇到这样的困境：精心设计的统计量却找不到对应的理论分布。比如在研究梅花鹿栖息地选择时，我们可能发现梅花鹿活动位点到水源的距离呈现出某种聚集模式，但如何量化这种聚集程度？即使设计出“平均最近邻距离与随机期望的比值”这样的统计量，其理论分布也无从查考。

这时候，基于模拟的方法展现出其独特价值。我们可以将这种方法想象成保护生物学家的“数字实验室”——在计算机上模拟成千上万次随机过程，构建统计量的经验分布，然后将实际观测值与这个经验分布进行比较。如果观测值落在经验分布的极端位置，我们就有了拒绝随机假设的证据。

这种思维方式打破了传统统计推断的局限，让数据本身“诉说”其内在规律，而不是强行套入预设的理论框架。它特别适合处理梅花鹿保护研究中常见的复杂统计量，为那些经典方法难以解决的问题提供了可行的解决方案。

基于模拟的方法在梅花鹿保护研究中展现出广泛的应用前景，尤其擅长处理那些传统统计方法难以应对的复杂场景。当我们研究梅花鹿的空间分布时，需要量化聚集或分散的程度；分析梅花鹿种群遗传结构时，要评估基因型频率的偏离程度；比较不同保护措施效果时，则要衡量种群参数的差异显著性。

这些统计量往往缺乏现成的理论分布支持，但通过计算机模拟，我们可以为它们构建“经验分布”，实现可靠的统计推断。

为了更具体地理解这种方法的实际价值，让我们继续第6章中梅花鹿保护的故事。假设我们在梅花鹿自然保护区内设置了多个固定监测样线，并精确记录了梅花鹿个体的空间坐标。观察发现，梅花鹿在某些区域呈现出明显的聚集分布特征，而另一些区域则相对分散。

为了客观量化这种分布模式，我们采用 Ripley's K 函数作为统计指标。然而，这个函数的理论分布极其复杂，特别是在考虑边界效应和生境异质性的情况下。

此时，基于模拟的方法展现出其独特优势：我们可以在计算机上模拟成千上万次完全空间随机过程，每次都在相同的保护区范围内随机分布相同数量的梅花鹿个体，然后计算每次模拟的 Ripley's K 函数值。通过这种方式，我们构建了该统计量在零假设（梅花鹿分布完全随机）下的经验分布。

将实际观测的 Ripley's K 函数值与这个经验分布进行比较，如果观测值落在分布的极端区域（如前 5% 或后 5%），我们就可以得出梅花鹿分布模式显著偏离随机期望的结论。这种分析方法为理解梅花鹿空间分布的形成机制提供了有力的统计支持。

基于模拟的统计推断方法在梅花鹿保护的多个研究领域都展现出强大的应用潜力。在种群遗传学研究中，这种方法帮助检验梅花鹿基因型频率是否偏离 Hardy-Weinberg 平衡；保护效果评估中，生态学家利用它比较不同保护措施下的种群动态差异；栖息地适宜性分析中，研究人员则借助它分析环境因子与梅花鹿分布的非随机关联。面对这些多样化的研究问题，基于模拟的方法提供了灵活而可靠的统计解决方案。

从方法学角度看，基于模拟的假设检验主要分为两大类型：置换检验和蒙特卡洛方法。置换检验通过随机重排观测数据的标签来构建零分布，属于非参数检验范畴，不依赖于特定的分布假设。蒙特卡洛方法则是一个更广泛的概念，涵盖了所有基于随机模拟的统计推断技术。

在梅花鹿保护实践中，蒙特卡洛方法主要包含两种形式：参数化蒙特卡洛检验基于理论模型生成模拟数据来构建零分布；非参数化蒙特卡洛方法则通过观测数据的重抽样来实现统计推断，其中最具代表性的就是**自助法 (bootstrap)**。自助法检验通过有放回的重抽样来估计统计量的抽样分布，既可以构建置信区间，也能进行假设检验，从概念上可以视为蒙特卡洛方法的一种特殊形式。

这些方法在梅花鹿保护研究中日益重要的原因在于它们能够有效处理生态数据的复杂性特征。梅花鹿保护数据通常具有空间自相关性、时间序列依赖性、异方差性等特点，这些特性往往使得传统参数检验的前提条件难以满足。相比之下，基于模拟的方法更加灵活，不依赖于严格的前提假设，让数据本身揭示其内在规律。

当然，我们也需要认识到基于模拟方法的局限性。它们对计算资源的要求较高，需要进行大量的重复模拟；结果的解释需要格外谨慎，因为模拟次数和具体方法都会影响最终结论。更重要的是，这些统计工具不能替代对梅花鹿生态学机制的深入理解，它们的主要作用是帮助我们评估观测模式是否显著偏离随机期望。

本章将系统介绍基于模拟的假设检验方法，帮助大家掌握蒙特卡洛检验的原理和应用，了解 R 语言中的具体实现方式；深入理解置换检验的技术细节，学会通过随机化构建零分布；探索自助法检验的强大功能，掌握通过重抽样估计统计量不确定性的技巧。

通过系统学习这些方法，大家将获得处理复杂梅花鹿保护问题的统计工具包，能够应对传统统计方法难以解决的挑战。需要强调的是，统计方法本质上是工具，真正的科学洞察源于对梅花鹿生态学问题的深刻理解和严谨的推理过程。基于模拟的假设检验提供了更灵活、更强大的统计工具，但最终的科学结论必须建立在扎实的生态学理论基础和严谨的实验设计之上。

让我们共同开启这段探索统计推断新天地的旅程，在这里，梅花鹿保护数据不再是需要强行套入理论分布的被动对象，而是能够主动“诉说”种群动态规律的生动主体。

在深入探讨具体的基于模拟的统计方法之前，我们需要首先建立对这些方法在整个统计方法学体系中定位的清晰认识。理解统计方法的发展脉络和层次结构，将帮助我们更好地把握不同方法的应用场景和相互关系。

## 7.2 生态假设检验的方法学演进

为了准确把握本章内容在梅花鹿保护研究统计方法体系中的定位，我们需要简要回顾统计方法学的发展历程及其在保护生物学中的应用演进。

**经典统计方法**（前一章内容）主要建立在参数理论基础上，依赖于已知的概率分布（如正态分布、t 分布、F 分布等）。这些方法包括参数检验（如 t 检验、方差分析）和传统非参数检验（如符号检验、秩和检验、卡方检验）。在梅花鹿保护研究中，经典方法为种群数量监测、保护效果评估等基础问题提供了可靠的统计工具。

**现代计算统计方法**（本章内容）突破了传统理论分布的限制，主要介绍基于模拟的统计推断技术。这些方法特别适合处理梅花鹿保护研究中常见的复杂问题，如空间分布模式分析、遗传多样性评估、种群动态模拟等。

**基于模拟的方法**通过计算机模拟构建统计量的经验分布，按照数据生成机制可以分为置换检验和蒙特卡洛方法两大类。置换检验通过随机重排观测标签构建零分布，主要用于假设检验，在梅花鹿保护中可用于检验保护区内外的种群参数差异、不同季节活动模式的差异等。

蒙特卡洛方法作为广义的随机模拟方法，包括参数化蒙特卡洛检验和非参数化蒙特卡洛方法。参数化蒙特卡洛检验基于理论模型生成模拟数据，如模拟梅花鹿种群在随机散布假设下的空间分布模式。非参数化蒙特卡洛方法基于观测数据的重抽样，其中自助法（bootstrap）通过有放回重抽样来估计梅花鹿种群参数的抽样分布和构建置信区间，其他蒙特卡洛算法如马尔可夫链蒙特卡洛（MCMC）、重要性抽样等可用于复杂的梅花鹿种群动态模型。

**方法学演进的意义：**从经典方法到现代方法的演进体现了梅花鹿保护研究统计推断从“理论驱动”向“数据驱动”的重要转变。经典方法依赖于严格的数学理论和分布假设，而现代方法更加灵活，能够

处理梅花鹿保护研究中常见的复杂问题，如空间自相关、小样本遗传分析、非标准统计量等。这种演进不是简单的替代关系，而是互补关系——经典方法为现代方法提供了理论基础，现代方法则扩展了经典方法在梅花鹿保护研究中的应用范围。

在梅花鹿保护研究中，选择何种统计方法应该基于研究问题的性质、数据的特性以及可用的计算资源。优秀的保护生物学家应该掌握多种统计工具，能够根据具体保护问题选择最合适的方法，为梅花鹿保护决策提供更可靠的统计支持。

基于对统计方法学演进脉络的理解，我们现在可以深入探讨本章的核心内容——基于模拟的假设检验方法。我们将从最基础且应用广泛的置换检验开始，逐步展开对各类基于模拟方法的系统学习。

## 7.3 生态假设的置换检验

置换检验（Permutation Test），又称随机化检验（Randomization Test），是一种基于数据重排的非参数统计检验方法。其核心思想可以追溯到 20 世纪 30 年代，由 R.A. Fisher 和 E.J.G. Pitman 等人提出，但直到计算机技术普及后才在梅花鹿保护研究中得到广泛应用。

### 7.3.1 置换检验的基本原理

置换检验的基本原理极其优雅：如果零假设为真，那么观测数据的标签（如处理组和对照组）就是可以任意交换的。换句话说，如果保护措施确实没有效应，那么将梅花鹿种群参数随机分配到不同组别中，应该不会改变我们感兴趣的统计量（如组间均值差异）的分布特征。

### 7.3.2 置换检验的技术实现过程

置换检验的实施包含三个关键步骤：

**1. 计算观测统计量**首先，基于原始数据计算我们关心的检验统计量。在梅花鹿保护研究中，这可能是：  
- 保护区内外的梅花鹿种群密度差异  
- 不同季节梅花鹿活动模式的相似性指数  
- 环境梯度上的梅花鹿分布模式统计量

**2. 构建零分布**通过随机重排观测数据的标签（如保护区标签），每次重排后重新计算检验统计量。重复这一过程数千次，构建统计量在零假设下的经验分布——即零分布。这一过程相当于在计算机上模拟“如果零假设为真，统计量可能呈现的随机变异”。

**3. 计算 p 值**将观测统计量与零分布进行比较，计算 p 值。p 值定义为：在零假设下，获得与观测统计量同样极端或更极端结果的概率。具体而言，p 值等于零分布中统计量绝对值大于或等于观测统计量绝对值的比例。

### 7.3.3 R 语言实现示例

以下通过几个典型的梅花鹿保护研究场景展示置换检验在 R 中的实现：

### 示例 1：保护区内外的梅花鹿种群密度差异检验

下面通过保护区内外和保护区外梅花鹿种群密度比较的实例，展示置换检验的具体实现过程。这个例子模拟了保护区内和保护区外各 20 个监测样点的梅花鹿种群密度数据，通过置换检验来评估两组间的差异是否具有统计显著性。

首先进行数据准备和观测统计量计算：

```
load(file="data/protected_unprotected.Rdata")
# 计算观测统计量：两组平均梅花鹿种群密度的差异
obs_diff <- mean(protected) - mean(unprotected)
```

接下来进行置换检验的核心过程，通过随机重排构建零分布：

```
# 置换检验：通过随机重排构建零分布
n_perm <- 1000 # 置换次数，通常需要足够多次以确保结果稳定
perm_diffs <- numeric(n_perm) # 存储每次置换得到的梅花鹿种群密度差异值
combined <- c(protected, unprotected) # 合并两组梅花鹿种群密度数据用于随机重排

# 置换检验循环：每次迭代进行一次随机重排
for (i in 1:n_perm) {
  # 随机重排合并后的数据，模拟零假设下的随机分配
  perm_sample <- sample(combined)

  # 计算重排后的组间梅花鹿种群密度差异
  perm_diffs[i] <- mean(perm_sample[1:20]) - mean(perm_sample[21:40])
}

# 计算 p 值：评估观测梅花鹿种群密度差异在零分布中的极端程度
p_value <- mean(abs(perm_diffs) >= abs(obs_diff))

## 梅花鹿保护研究 - 置换检验结果：
## 观测梅花鹿种群密度差异: 5.25
## p 值: 0
```

### 示例 2：梅花鹿栖息地植物群落组成差异检验（置换 ANOVA）

群落组成差异检验在梅花鹿保护研究中具有重要意义，特别是在评估不同栖息地类型对植物群落组成的影响时。下面使用 vegan 包中的 adonis2 函数进行置换多元方差分析 (PERMANOVA)，检验核心栖息地和边缘栖息地在植物群落组成上的差异。

```
load(file="data/comm_data_groups.Rdata")
# 置换 ANOVA 检验群落组成差异
# adonis2 函数执行基于距离的置换多元方差分析 (PERMANOVA)
# 该方法通过置换检验评估组间在群落组成上的差异显著性
adonis_result <- adonis2(comm_data ~ groups, method = "bray")

# 输出分析结果
knitr::kable(adonis_result, caption = "置换 ANOVA 分析结果", booktabs = TRUE) %>%
  kableExtra::kable_styling(latex_options = c("hold_position"))
```

表 7.1 置换 ANOVA 分析结果

|          | Df | SumOfSqs  | R2        | F         | Pr(>F) |
|----------|----|-----------|-----------|-----------|--------|
| Model    | 1  | 0.0098147 | 0.0145518 | 0.2658007 | 0.791  |
| Residual | 18 | 0.6646505 | 0.9854482 | NA        | NA     |
| Total    | 19 | 0.6744652 | 1.0000000 | NA        | NA     |

表 7.1 展示了置换 ANOVA 分析的结果，从中可以看出不同栖息地类型对植物群落组成的影响是否具有统计显著性。

### 示例 3：空间自相关检验

空间自相关分析是空间生态学中的重要内容，用于检验空间数据中是否存在非随机的空间模式。Moran's I 指数是常用的空间自相关度量指标，下面通过置换检验来评估其统计显著性。

首先加载空间分析包并准备空间数据：

```
# 加载空间数据分析包
library(spdep) # 提供空间自相关分析和置换检验功能

# 模拟空间数据: 30 个空间点的坐标和属性值
set.seed(123) # 设置随机种子确保结果可重复

# 生成 30 个空间点的坐标，在单位正方形内均匀分布
coords <- cbind(runif(30), runif(30))

# 生成空间属性数据，使用标准正态分布
sp_data <- rnorm(30)
```

接下来构建空间权重矩阵并进行 Moran's I 置换检验：

```
# 创建空间权重矩阵：定义空间邻接关系
# 使用 k 近邻方法构建邻接关系，每个点选择最近的 5 个邻居
nb <- knn2nb(knearneigh(coords, k = 5))

# 将邻接关系转换为空间权重列表
w <- nb2listw(nb)

# Moran's I 置换检验：检验空间自相关的显著性
# 使用 999 次置换构建零分布，评估观测 Moran's I 的极端程度
moran_test <- moran.mc(sp_data, w, nsim = 999)

# 输出检验结果
print(moran_test)

## 
## Monte-Carlo simulation of Moran I
## 
## data: sp_data
## weights: w
## number of simulations + 1: 1000
## 
## statistic = -0.2891, observed rank = 1, p-value = 0.999
## alternative hypothesis: greater
```

### 示例 4：使用 coin 包进行置换检验

coin 包提供了基于条件推断的置换检验框架，支持多种非参数统计检验。下面使用 coin 包重新分析示例 1 中的保护区内外物种丰富度数据，展示其简洁的语法和强大的功能。

首先加载 coin 包并准备数据：

```
# 加载条件推断包
library(coin) # 提供基于置换的非参数检验方法

# 准备数据：使用示例 1 中的保护区内外物种丰富度数据
# 创建包含数值变量和分组变量的数据框
data <- data.frame(
  value = c(protected, unprotected), # 合并两组物种丰富度数据
  group = factor(rep(c("保护区", "保护区外"), each = 20)) # 定义分组因子
)
```

接下来使用 coin 包进行置换 t 检验：

```
# 置换 t 检验：检验两组均值差异的显著性
# independence_test 函数执行基于置换的独立样本检验
# 使用近似分布，重抽样 1000 次构建零分布
test_result <- independence_test(value ~ group,
                                     data = data,
                                     distribution = approximate(
   nresample = 1000))

# 输出检验结果
print(test_result)

## 
## Approximative General Independence Test
## data: value by group (保护区内, 保护区外)
## Z = 3.8802, p-value < 0.001
## alternative hypothesis: two.sided
```

这些示例展示了置换检验在不同生态学场景中的应用，从简单的均值差异检验到复杂的空间分析和群落分析。研究人员可以根据具体研究问题选择合适的置换检验方法。

#### 7.3.4 置换检验在生态学中的应用价值与局限

置换检验在生态学研究中展现出独特的应用价值，这主要源于其对生态数据特性的良好适应性。生态数据往往具有复杂的分布特征，如偏态分布、异方差性等，这些特征使得传统的参数检验方法难以适用。置换检验完全基于数据本身，不依赖于任何理论分布假设，这使其能够有效处理生态学中常见的非正态数据。更重要的是，许多生态学研究中关心的统计量，如多样性指数、空间自相关指数、网络拓扑指标等，根本没有现成的理论分布可供参照。置换检验通过构建经验分布的方式，为这些复杂统计量的统计推断提供了可行的解决方案。

在具体应用层面，置换检验能够保持数据的原始结构特征，包括样本量、数据范围等关键信息，这在实际应用中具有重要价值。与传统的参数检验相比，置换检验在小样本情况下表现出更好的适用性。当样本量较小时，参数检验的功效往往不足，而置换检验通过大量的随机化模拟，能够提供相对可靠的统计推断。这种特性使得置换检验特别适合处理生态学研究中常见的有限样本问题。

置换检验在生态学的各个分支领域都有广泛的应用。在群落生态学中，研究人员通过置换 ANOVA 或置换 MANOVA 来检验不同处理（如施肥、放牧）对植物群落组成的影响，评估处理间在物种组成上的差异显著性。在空间生态学中，置换检验被用于检验物种的空间分布是否偏离随机模式，通过随机重排物种在空间中的位置来构建 Ripley's K 函数或 Moran's I 指数的零分布。行为生态学家利用置换检验来分析动物的行为序列是否具有特定模式，通过随机重排行为事件的时间顺序来检验观测行为序列的非随机性。在保护生物学领域，置换检验被用于比较保护区内外的生物多样性，评估保护措施对物种丰富度和群落结构的影响。

然而，置换检验也存在一些固有的局限性。首先，置换检验对计算资源的要求较高，通常需要进行 1000-10000 次的随机化重复，这在大规模数据分析中可能成为瓶颈。其次，不同的随机化方案可能导致不同的结果，研究人员需要根据具体研究问题谨慎选择适当的随机化策略。最重要的是，统计显著性并

不等同于生态重要性，置换检验的结果仍需结合生态学机制进行深入解释，避免过度依赖 p 值而忽视生态学意义。

在与其他统计方法的比较中，置换检验与参数检验形成互补关系而非替代关系。当参数检验的前提条件满足时，参数检验通常具有更高的统计效率；当前提条件不满足时，置换检验提供了可靠的替代方案。与自助法相比，两者虽然都基于重抽样思想，但应用目的不同：自助法通过有放回抽样来估计统计量的抽样分布，主要用于构建置信区间；而置换检验通过无放回的标签重排来构建零分布，主要用于假设检验。与蒙特卡洛检验的关系则体现在数据生成机制的差异上：蒙特卡洛检验基于理论模型生成模拟数据，而置换检验基于观测数据的重排，两者都是基于模拟的统计方法，但理论基础和应用场景有所不同。

在实际应用中，研究人员需要注意几个关键的技术细节。随机化次数的选择直接影响结果的精确性，建议至少进行 1000 次随机化，对于精确的 p 值估计，可能需要 10000 次或更多。为确保结果的可重复性，应在每次分析前设置随机数种子。当进行多个检验时，需要考虑多重比较问题，可采用 Bonferroni 校正或错误发现率控制等方法进行校正。最重要的是，统计显著性必须结合生态学意义进行解释，避免过度依赖 p 值而忽视生态学机制的理解。

置换检验代表了生态统计学从理论驱动向数据驱动的重要转变，为处理复杂的生态学问题提供了灵活而强大的统计工具。通过理解其原理、掌握其应用、认识其局限，生态学家能够在面对各种非标准统计问题时做出更加可靠的统计推断，推动生态学研究的深入发展。

在掌握了置换检验的基本原理和应用方法后，我们现在转向另一种重要的基于模拟的统计方法——蒙特卡洛检验。虽然两者都基于随机模拟的思想，但它们在数据生成机制和应用场景上存在重要差异，理解这些差异将帮助我们更好地选择合适的方法。

## 7.4 生态假设的蒙特卡洛检验

### 7.4.1 蒙特卡洛方法的概念体系

蒙特卡洛方法是一个广义的概念，指所有基于随机模拟的统计推断方法。在生态统计学中，蒙特卡洛方法按照数据生成机制可以分为两大类：

**参数化蒙特卡洛检验**基于理论模型或假设分布生成全新的模拟数据，主要用于检验观测数据与理论模型的拟合优度。**非参数化蒙特卡洛方法**基于观测数据的重抽样，其中最重要的就是**自助法(bootstrap)**，它通过有放回的重抽样来估计统计量的抽样分布，主要用于构建置信区间和参数估计。

### 7.4.2 蒙特卡洛检验的基本原理

蒙特卡洛检验特指参数化蒙特卡洛检验，是一种基于随机模拟的统计推断方法，其名称来源于著名的蒙特卡洛赌场，反映了该方法依赖于随机抽样的本质。与置换检验不同，蒙特卡洛检验不是基于观测

数据的重排，而是基于理论模型或假设分布生成模拟数据，通过大量的随机模拟来构建统计量的经验分布。

蒙特卡洛检验的核心思想是通过计算机模拟来近似统计量的抽样分布，特别适用于那些理论分布未知或过于复杂的统计量。在生态学研究中，许多复杂的统计量，如空间生态学中的 Ripley's K 函数、群落生态学中的  $\beta$  多样性指数、系统发育分析中的进化速率等，都没有现成的理论分布可供参照。蒙特卡洛检验为这些复杂统计量的统计推断提供了可行的解决方案。

蒙特卡洛检验的实施过程通常包括三个关键步骤。首先，基于零假设构建理论模型或假设分布，这个模型描述了在零假设成立时数据应该遵循的分布特征。其次，从这个理论模型中重复生成大量的模拟数据集，每次模拟都计算我们关心的统计量。最后，基于这些模拟统计量构建经验分布，将观测统计量与这个经验分布进行比较，计算 p 值或构建置信区间。

让我们通过一个具体的生态学例子来详细说明这三个步骤。假设我们正在研究梅花鹿在保护区内的空间分布模式，我们想要检验观测到的梅花鹿个体间距是否显著偏离随机分布的期望。零假设是梅花鹿在保护区内遵循完全空间随机分布模式。

**步骤 1：构建理论模型** 基于零假设，我们构建一个完全空间随机的理论模型。在这个模型中，梅花鹿个体在保护区内随机分布，个体间距和分布方向都是随机的。具体来说，我们可以假设梅花鹿个体的空间位置在保护区内均匀分布，个体间距遵循特定的空间分布模式。这个理论模型描述了在零假设成立时梅花鹿空间分布应该遵循的分布特征。

**步骤 2：生成模拟数据集并计算统计量** 从构建的理论模型中，我们重复生成大量的模拟数据集。每次模拟都随机生成与观测数据相同数量的梅花鹿个体位置。对于每个模拟数据集，我们计算关心的统计量，比如平均个体间距、最近邻距离、或者空间聚集指数。假设我们关心的是梅花鹿个体的平均间距，那么每次模拟都会计算这个平均间距统计量。重复这个过程 1000 次，我们就得到了 1000 个在零假设下的平均间距值。

**步骤 3：构建经验分布并比较** 基于这 1000 个模拟统计量，我们构建了平均个体间距在零假设下的经验分布。然后，我们将实际观测到的梅花鹿平均个体间距与这个经验分布进行比较。如果观测值落在这个经验分布的极端位置（比如最高的 5% 或最低的 5%），那么我们就可以拒绝零假设，认为梅花鹿的空间分布模式显著偏离了随机分布的期望。

这个例子清晰地展示了蒙特卡洛检验的逻辑流程：从理论模型构建，到模拟数据生成，再到统计比较。整个过程不依赖于任何现成的理论分布，而是完全基于计算机模拟来构建统计推断的基础。

与置换检验相比，蒙特卡洛检验在数据生成机制上存在根本差异。置换检验基于观测数据的重排，通过随机交换数据标签来构建零分布，其前提假设是如果零假设为真，那么数据的标签就是可以任意交换的。而蒙特卡洛检验则基于理论模型生成全新的模拟数据，其前提假设是我们能够准确描述零假设下的数据生成过程。这种差异使得两种方法适用于不同的研究场景：置换检验更适合于比较组间差异的检验，而蒙特卡洛检验更适合于检验观测数据与理论模型的拟合优度。

在生态学应用中，蒙特卡洛检验具有独特的优势。它能够处理那些置换检验难以适用的场景，比如检验观测数据是否来自某个特定的理论分布，或者评估复杂生态模型的拟合优度。例如，在检验物种的空间分布是否遵循完全空间随机过程时，蒙特卡洛检验可以通过模拟完全空间随机过程来构建期望分布；在检验系统发育信号时，可以通过模拟布朗运动演化过程来构建零分布。

### 7.4.3 蒙特卡洛检验的主要类型

在生态学研究中，常用的蒙特卡洛检验方法包括完全空间随机性检验、系统发育信号检验、群落零模型检验和模型拟合优度检验。完全空间随机性检验用于检验物种的空间分布是否遵循完全空间随机过程，通过模拟完全空间随机过程生成期望分布并与观测空间模式进行比较。系统发育信号检验用于检验性状是否具有系统发育保守性，通过模拟布朗运动演化过程构建零分布来检验观测性状的系统发育信号强度。群落零模型检验用于检验群落物种共存是否随机，通过随机化群落矩阵构建期望分布来检验观测群落的非随机性。模型拟合优度检验用于检验观测数据与理论模型的拟合程度，通过从理论模型生成模拟数据来构建拟合优度统计量的经验分布。

### 7.4.4 R 语言实现示例：空间分布随机性检验

下面通过空间分布随机性检验的 R 代码来具体说明蒙特卡洛检验的三个步骤：

```
# 检验物种空间分布是否随机
set.seed(123) # 设置随机种子保证结果可重复
observed_pattern <- matrix(runif(100), ncol = 2) # 在单位正方形内生成 100 个观测空间点

# 蒙特卡洛模拟：完全空间随机过程
n_sim <- 1000 # 模拟次数
sim_stats <- numeric(n_sim) # 存储每次模拟的统计量

for (i in 1:n_sim) {
  # 模拟完全空间随机过程：在相同区域内随机生成 100 个点
  sim_pattern <- matrix(runif(100), ncol = 2)
  # 计算空间聚集统计量：使用点间平均距离作为聚集程度指标
  sim_stats[i] <- mean(dist(sim_pattern))
}

# 计算观测统计量：观测数据的点间平均距离
obs_stat <- mean(dist(observed_pattern))

# 计算 p 值：观测统计量在零分布中的位置
p_value <- mean(sim_stats <= obs_stat)

## 蒙特卡洛检验结果：
## 观测统计量：0.5167571
## p 值：0.43
```

**代码与蒙特卡洛检验步骤的对应关系：**

**步骤 1：构建理论模型** - 理论模型：完全空间随机过程（Complete Spatial Randomness, CSR）- 代码体现：`matrix(runif(100), ncol = 2)` 在单位正方形内随机生成 100 个点 - 生态学意义：假设物种在空间中的分布是完全随机的，没有任何聚集或分散模式

**步骤 2：生成模拟数据集并计算统计量** - 模拟数据生成：`for (i in 1:n_sim)` 循环生成 1000 个模

拟数据集 - 统计量计算: `mean(dist(sim_pattern))` 计算每个模拟数据集的空间点间平均距离 - 生态学意义: 平均距离统计量反映了空间点的聚集程度, 较小的平均距离表示空间聚集

**步骤 3: 构建经验分布并比较** - 经验分布构建: `sim_stats` 向量包含了 1000 个模拟统计量 - 观测统计量: `mean(dist(observed_pattern))` 计算观测数据的平均距离 - 统计比较: `mean(sim_stats <= obs_stat)` 计算 p 值, 即模拟统计量小于等于观测统计量的比例 - 生态学解释: 如果 p 值很小 (如  $<0.05$ ), 说明观测到的空间聚集模式在随机过程中很少出现, 物种分布显著偏离随机模式

这个具体的代码示例清晰地展示了蒙特卡洛检验从理论模型构建到统计推断的完整流程, 为生态学家检验空间分布模式提供了实用的工具。

这些示例展示了蒙特卡洛检验在生态学不同领域的应用, 从空间生态学到系统发育分析, 再到群落生态学。蒙特卡洛检验为处理那些理论分布未知的复杂统计问题提供了强大的工具, 是生态统计学家工具箱中不可或缺的一部分。

在了解了参数化蒙特卡洛检验后, 我们现在转向蒙特卡洛方法中的另一个重要分支——非参数化蒙特卡洛方法, 其中最具代表性的就是自助法检验。自助法作为蒙特卡洛方法的一种特殊形式, 在参数估计和置信区间构建方面具有独特的优势。

## 7.5 生态假设的自助法检验

### 7.5.1 自助法的基本原理

自助法 (bootstrap) 是蒙特卡洛方法的一种特殊形式, 属于非参数化蒙特卡洛方法。其核心思想是通过对观测数据进行有放回的重抽样来估计统计量的抽样分布。自助法由 Bradley Efron 在 1979 年提出, 现已成为现代统计学中最重要的工具之一。

自助法的基本假设是: 观测样本能够代表总体的分布特征。通过对观测样本进行有放回的重抽样, 我们可以生成大量的“自助样本”, 这些自助样本在统计上等价于从原始总体中抽取的新样本。

### 7.5.2 自助法的实施步骤

自助法的实施过程包括三个关键步骤:

**步骤 1: 生成自助样本** 从原始观测数据中进行有放回的重抽样, 生成与原始样本大小相同的自助样本。这个过程重复 B 次 (通常  $B=1000-10000$ ), 得到 B 个自助样本。

**步骤 2: 计算统计量** 对每个自助样本计算我们关心的统计量, 比如均值、中位数、回归系数、多样性指数等。这样就得到了统计量的自助分布。

**步骤 3: 构建置信区间或进行假设检验** 基于自助分布, 我们可以构建统计量的置信区间, 或者进行假设检验。常用的置信区间构建方法包括百分位数法、偏差校正法等。

### 7.5.3 自助法在生态学中的应用

自助法在生态学研究中有着广泛的应用，特别是在梅花鹿保护研究中：

**参数估计的不确定性评估：**估计生态学参数（如梅花鹿种群增长率、物种丰富度、多样性指数）的置信区间。

**模型参数的不确定性分析：**评估生态模型参数估计的不确定性，如梅花鹿栖息地适宜性模型的系数、种群动态模型的参数等。

**假设检验：**通过构建统计量的自助分布，进行非参数的假设检验，如检验梅花鹿种群参数的差异显著性。

**小样本问题处理：**在小样本情况下，自助法能够提供比传统参数方法更可靠的统计推断，特别适合梅花鹿保护研究中的有限样本分析。

### 7.5.4 R 语言实现示例

#### 示例 1：多样性指数置信区间估计

```
# 使用 boot 包进行自助法分析
library(boot)

# 模拟群落数据
set.seed(123)
species_counts <- rpois(30, lambda = 5)

# 定义多样性指数计算函数
shannon_func <- function(data, indices) {
  d <- data[indices]
  p <- d / sum(d)
  -sum(p * log(p))
}

# 自助法估计
boot_result <- boot(species_counts, shannon_func, R = 1000)
print(boot_result)

## 
## ORDINARY NONPARAMETRIC BOOTSTRAP
##
## Call:
## boot(data = species_counts, statistic = shannon_func, R = 1000)
##
## Bootstrap Statistics :
##      original      bias    std. error
## t1* 3.318858 0.002494391 0.01870289

# 计算 95% 置信区间
boot_ci <- boot.ci(boot_result, type = "perc")
print(boot_ci)

## BOOTSTRAP CONFIDENCE INTERVAL CALCULATIONS
## Based on 1000 bootstrap replicates
##
## CALL :
## boot.ci(boot.out = boot_result, type = "perc")
##
## Intervals :
## Level Percentile
## 95%   ( 3.281,  3.356 )
```

```
## Calculations and Intervals on Original Scale
```

### 7.5.5 自助法的优势与局限

**优势:** - 不依赖于理论分布假设 - 适用于复杂统计量和模型 - 在小样本情况下表现良好 - 能够处理非标准统计问题

**局限:** - 对异常值敏感 - 在极端偏态分布中可能表现不佳 - 计算强度较大 - 需要足够大的原始样本

自助法作为蒙特卡洛方法的重要组成部分，为生态学家提供了强大的统计推断工具，特别适用于处理那些传统参数方法难以解决的复杂生态学问题。

在掌握了基于模拟的统计方法的基本原理后，我们现在转向这些方法在具体生态学问题中的应用。首先探讨基于模拟的假设检验在种群遗传学中的应用，特别是基因型频率检验这一重要领域。

## 7.6 基因型频率检验

基因型频率检验是种群遗传学和进化生态学中的核心统计问题，基于模拟的假设检验方法在这些领域展现出独特的优势，特别是在处理小样本、稀有等位基因和复杂种群结构等传统方法难以应对的情况下。

### 7.6.1 Hardy-Weinberg 平衡检验

**生态学问题背景:** Hardy-Weinberg 平衡是种群遗传学的基本原理，描述了在没有进化力量（如自然选择、基因漂变、迁移、突变）作用时，基因型频率在世代间保持稳定的数学关系。当观测到的基因型频率显著偏离 Hardy-Weinberg 平衡期望时，表明存在某种进化力量在起作用。

**传统方法的局限性:** 传统的 Hardy-Weinberg 平衡检验通常使用卡方检验或精确检验。然而，这些方法在小样本或稀有等位基因情况下表现不佳：- 卡方检验要求期望频数大于 5，这在稀有等位基因中往往不满足 - 精确检验计算复杂，特别是对于多位点情况 - 传统方法难以处理种群亚结构等复杂情况

**基于模拟的解决方案:** 蒙特卡洛模拟为 Hardy-Weinberg 平衡检验提供了更灵活和强大的替代方法。其基本思路是通过随机模拟构建基因型频率在平衡状态下的经验分布。

#### 生态学实例：濒危物种的近亲繁殖检测

假设我们研究梅花鹿种群的遗传结构。由于梅花鹿种群数量有限，我们只能采集到 15 个个体的基因型数据。我们关注某个微卫星位点，观测到以下基因型频率：

- AA: 2 个个体
- AB: 5 个个体
- BB: 8 个个体

等位基因频率: A = 0.3, B = 0.7

在 Hardy-Weinberg 平衡下，期望基因型频率应为： - AA:  $15 \times 0.3^2 = 1.35$  - AB:  $15 \times 2 \times 0.3 \times 0.7 = 6.3$  - BB:  $15 \times 0.7^2 = 7.35$

模拟检验过程：

1. 构建零模型：假设种群处于 Hardy-Weinberg 平衡状态
2. 生成模拟数据：基于观测等位基因频率，通过随机交配模拟生成基因型
3. 计算检验统计量：使用似然比统计量或卡方统计量
4. 重复模拟：进行 10000 次蒙特卡洛模拟
5. 计算经验 p 值：比较观测统计量与模拟分布的相对位置

R 语言实现示例：

首先，我们设置观测数据和计算期望频率：

```
# Hardy-Weinberg 平衡检验：数据准备
set.seed(123)
observed <- c(AA = 2, AB = 5, BB = 8) # 观测基因型频数
allele_freq <- c(A = 0.3, B = 0.7) # 等位基因频率
n_individuals <- 15

# 计算期望基因型频率
# 根据 Hardy-Weinberg 平衡原理: $p^2 + 2pq + q^2 = 1$ 
expected <- c(
  AA = n_individuals * allele_freq["A"]^2,
  AB = n_individuals * 2 * allele_freq["A"] * allele_freq["B"],
  BB = n_individuals * allele_freq["B"]^2
)

# 计算观测卡方统计量
obs_chisq <- sum((observed - expected)^2 / expected)

## Hardy-Weinberg 平衡检验 - 观测结果：
## 期望基因型频率: 1.35 6.3 7.35
## 观测卡方统计量: 0.6386999
```

接下来，我们进行蒙特卡洛模拟来构建零分布：

```
# Hardy-Weinberg 平衡检验：蒙特卡洛模拟
n_sim <- 10000
sim_chisq <- numeric(n_sim)

for (i in 1:n_sim) {
  # 基于 Hardy-Weinberg 平衡生成模拟基因型
  # 使用样本函数随机生成基因型，概率基于 Hardy-Weinberg 平衡
  sim_genotypes <- sample(c("AA", "AB", "BB"),
    size = n_individuals,
    replace = TRUE,
    prob = c(
      allele_freq["A"]^2,
      2 * allele_freq["A"] * allele_freq["B"],
      allele_freq["B"]^2
    )
  )

  # 计算模拟数据的卡方统计量
  sim_counts <- table(sim_genotypes)
  sim_expected <- expected[names(sim_counts)]
  sim_chisq[i] <- sum((sim_counts - sim_expected)^2 / sim_expected)
}
```

```
# 计算经验 p 值
p_value <- mean(sim_chisq >= obs_chisq)

## Hardy-Weinberg 平衡检验 - 蒙特卡洛模拟结果:
## 经验p值: NA
```

**生态学意义：**如果检验结果显示显著偏离 Hardy-Weinberg 平衡 ( $p < 0.05$ )，可能表明梅花鹿种群存在近亲繁殖、自然选择或种群亚结构等进化力量。这对于制定梅花鹿保护策略具有重要意义——如果检测到近亲繁殖，可能需要引入外来个体增加遗传多样性；如果检测到自然选择，可能需要关注特定基因型与栖息地适应的关系。

## 7.6.2 连锁不平衡检验

**生态学问题背景：**连锁不平衡描述了两个或多个基因位点间等位基因的非随机关联。在生态学中，连锁不平衡可以揭示：  
 - 基因间的功能关联或物理连锁  
 - 近期种群混合或瓶颈事件  
 - 自然选择对特定基因组合的作用

**传统方法的挑战：**传统的连锁不平衡检验方法（如  $D'$  统计量、 $r^2$  统计量）在大样本下渐近分布已知，但在小样本或复杂种群结构中，理论分布难以确定。

**基于模拟的优势：**置换检验通过随机重排基因型来构建零分布，不依赖于理论分布假设，特别适合处理：  
 - 小样本情况  
 - 多位点同时检验  
 - 存在种群结构的复杂情况

### 生态学实例：梅花鹿适应性基因关联研究

假设我们研究梅花鹿对栖息地适应的遗传基础。我们检测了两个候选基因位点：  
 - 位点 1：抗病相关基因（等位基因：D-抗病，d-易感）  
 - 位点 2：食物消化相关基因（等位基因：N-高效消化，n-普通消化）

我们在不同栖息地类型的梅花鹿种群中采样，想要检验这两个基因位点是否存在连锁不平衡，即特定的等位基因组合是否与栖息地适应相关。

观测到的单倍型频率：  
 - DN: 12  
 - Dn: 3  
 - dN: 2  
 - dn: 8

#### 置换检验过程：

1. **计算观测关联统计量：**使用  $D'$  统计量或似然比统计量
2. **随机重排：**保持每个位点的等位基因频率不变，随机重排位点间的关联
3. **构建零分布：**重复重排 10000 次，每次计算关联统计量
4. **计算 p 值：**比较观测统计量与零分布的位置

#### R 语言实现示例：

首先，我们定义计算  $D'$  统计量的函数：

```
# 连锁不平衡检验: 定义 D'统计量计算函数
calc_D_prime <- function(hap) {
```

```

# 计算单倍型频率
counts <- table(hap)

# 计算等位基因频率
p_F <- (counts["FM"] + counts["Fm"]) / length(hap)
p_f <- (counts["fM"] + counts["fm"]) / length(hap)
p_M <- (counts["FM"] + counts["fM"]) / length(hap)
p_m <- (counts["Fm"] + counts["fm"]) / length(hap)

# 计算连锁不平衡系数 D
p_FM <- counts["FM"] / length(hap)
D <- p_FM - p_F * p_M

# 计算 D' 统计量 (标准化的连锁不平衡)
D_max <- min(p_F * (1 - p_M), (1 - p_F) * p_M)
if (D >= 0) {
  D_prime <- D / D_max
} else {
  D_prime <- D / min(p_F * p_M, (1 - p_F) * (1 - p_M))
}
return(abs(D_prime))
}

```

接下来，我们计算观测统计量并进行置换检验：

```

# 连锁不平衡检验：数据准备和观测统计量计算
set.seed(123)
haplotypes <- c(rep("FM", 12), rep("Fm", 3), rep("fM", 2), rep("fm", 8))
n_haplotypes <- length(haplotypes)

# 计算观测 D' 统计量
obs_D_prime <- calc_D_prime(haplotypes)
cat(" 观测 D' 统计量:", obs_D_prime, "\n")

```

## 观测 D' 统计量：0.6428571

最后，我们进行置换检验来构建零分布：

```

# 连锁不平衡检验：置换检验
n_perm <- 10000
perm_D_prime <- numeric(n_perm)

for (i in 1:n_perm) {
  # 随机重排位点间的关联
  # 保持每个位点的等位基因频率不变，只随机化位点间的关联
  locus1 <- substr(haplotypes, 1, 1) # 第一个位点 (抗冻蛋白基因)
  locus2 <- substr(haplotypes, 2, 2) # 第二个位点 (膜流动性基因)
  perm_locus2 <- sample(locus2) # 随机重排第二个位点
  perm_haplotypes <- paste0(locus1, perm_locus2)
  perm_D_prime[i] <- calc_D_prime(perm_haplotypes)
}

# 计算经验 p 值
p_value <- mean(perm_D_prime >= obs_D_prime)
cat(" 经验 p 值:", p_value, "\n")

```

## 经验 p 值：0.012

**生态学意义：**如果检验显示显著的连锁不平衡，表明抗病相关基因和食物消化相关基因可能存在功能关联，共同参与梅花鹿的栖息地适应。这种遗传关联信息对于理解梅花鹿的环境适应机制、预测种群对栖息地变化的响应以及指导保护管理都具有重要价值。

### 7.6.3 方法学比较与选择建议

**模拟方法 vs 传统方法的优势：**

1. **小样本适用性：** 模拟方法在小样本情况下仍能提供可靠的 p 值估计
2. **分布自由：** 不依赖于渐近分布假设，适用于任何样本量
3. **灵活性：** 可以轻松扩展到复杂统计量或多位点情况
4. **直观性：** 经验分布比理论分布更易于理解和解释

**适用场景推荐：**

- **样本量 < 50：** 优先考虑模拟方法
- **稀有等位基因 (频率 < 0.05)：** 模拟方法更可靠
- **多位点同时检验：** 模拟方法便于多重比较校正
- **复杂种群结构：** 模拟方法可以整合结构信息

**生态学研究价值：** 基于模拟的基因型频率检验为生态学家提供了更强大的工具来探测微妙的进化信号，特别是在保护生物学和气候变化生态学等需要处理有限样本和复杂遗传结构的领域中，这些方法的价值尤为突出。

从种群遗传学转向群落生态学，我们继续探讨基于模拟的假设检验在生物多样性研究中的应用。多样性差异检验是生态学中最常见的统计问题之一，基于模拟的方法为处理复杂的群落数据提供了可靠的解决方案。

## 7.7 多样性差异检验

多样性差异检验是群落生态学和保护生物学中的核心统计问题。传统的参数检验方法在处理群落多样性数据时面临诸多挑战，而基于模拟的假设检验方法为这些复杂问题提供了更灵活和可靠的解决方案。

### 7.7.1 群落多样性比较

**生态学问题背景：** 群落多样性比较是生态学研究中最常见的问题之一。生态学家经常需要比较不同生境、不同处理或不同时间点的物种多样性。常用的多样性指数包括物种丰富度（物种数）、Shannon 多样性指数、Simpson 多样性指数等。然而，这些多样性指数的抽样分布通常未知，使得传统的参数检验方法难以适用。

**传统方法的局限性：**

- **分布未知：** 大多数多样性指数没有已知的理论分布
- **抽样效应：** 不同样本的抽样努力和覆盖度不同，影响多样性估计
- **多重比较问题：** 同时比较多个群落时，传统方法难以处理多重比较校正

- **小样本问题：**在稀有物种或小样本情况下，参数检验的假设往往不成立

**基于模拟的解决方案：**自助法和置换检验为群落多样性比较提供了强大的替代方法。自助法通过重抽样来估计多样性指数的抽样分布和置信区间，而置换检验通过随机化来检验多样性差异的显著性。

### 生态学实例：梅花鹿栖息地恢复对植物多样性的影响评估

假设我们研究不同恢复年限的梅花鹿栖息地对植物多样性的影响。我们在三种栖息地类型中设置样方调查：

- 5 年恢复栖息地：调查到 15 种植物
- 10 年恢复栖息地：调查到 22 种植物
- 原生栖息地（对照）：调查到 28 种植物

我们不仅关心物种丰富度的差异，还希望比较 Shannon 多样性指数的差异。由于植物调查存在抽样变异，我们需要评估这些差异是否具有统计显著性。

**自助法检验过程：**

1. **生成自助样本：**对每个栖息地类型的观测数据进行有放回重抽样
2. **计算多样性指数：**对每个自助样本计算 Shannon 多样性指数
3. **构建置信区间：**基于自助分布构建 95% 置信区间
4. **比较差异：**通过置信区间的重叠情况判断差异显著性

**R 语言实现示例：**

我们定义自助法函数并进行多样性估计：

```
load(file="data/forest_data_simu.RData")
# 群落多样性比较：定义自助法函数
bootstrap_diversity <- function(data, n_boot = 1000) {
  boot_diversity <- numeric(n_boot)
  for (i in 1:n_boot) {
    # 有放回重抽样
    boot_sample <- sample(data, replace = TRUE)
    # 计算物种频率表
    species_table <- table(boot_sample)
    # 计算 Shannon 多样性指数
    boot_diversity[i] <- vegan::diversity(species_table, index = "shannon")
  }
  return(boot_diversity)
}

# 执行自助法分析
boot_5yr <- bootstrap_diversity(forest_5yr)
boot_10yr <- bootstrap_diversity(forest_10yr)
boot_primary <- bootstrap_diversity(primary_forest)
```

最后，我们计算置信区间并输出结果：

```
# 群落多样性比较：结果计算和输出
# 计算 95% 置信区间
ci_5yr <- quantile(boot_5yr, c(0.025, 0.975))
ci_10yr <- quantile(boot_10yr, c(0.025, 0.975))
ci_primary <- quantile(boot_primary, c(0.025, 0.975))
```

```
## 5年恢复林 Shannon多样性: 2.081 95%CI:[ 1.675 , 2.394 ]
## 10年恢复林 Shannon多样性: 2.459 95%CI:[ 2.187 , 2.702 ]
## 原生林 Shannon多样性: 2.67 95%CI:[ 2.433 , 2.894 ]
```

**生态学意义：**通过自助法构建的置信区间，我们可以更可靠地评估不同恢复阶段梅花鹿栖息地的植物多样性差异。如果置信区间不重叠，表明多样性差异具有统计显著性。这种分析为梅花鹿栖息地恢复效果评估提供了量化依据，有助于优化恢复策略和时间规划。

### 7.7.2 相似性分析 (ANOSIM)

**生态学问题背景：**ANOSIM (Analysis of Similarities) 是一种基于距离矩阵的非参数检验方法，专门用于检验群落组成的组间差异。在生态学中，我们经常需要比较不同处理、不同生境或不同时间点的群落组成是否显著不同。

**传统方法的挑战：**传统的多元方差分析 (MANOVA) 要求数据满足多元正态性和方差-协方差矩阵齐性等严格假设，这些假设在群落数据中往往不成立。群落数据通常是多变量的、非正态的，且存在大量的零值。

**基于模拟的优势：**ANOSIM 通过置换检验来构建 R 统计量的零分布，不依赖于数据的分布假设，特别适合处理：

- 多变量群落数据
- 非正态分布数据
- 存在大量零值的数据
- 复杂的实验设计

#### 生态学实例：梅花鹿采食对植物群落的影响研究

假设我们研究梅花鹿采食活动对植物群落的影响。我们在三个区域设置采样点：

- 梅花鹿高密度区 (5 个样点)
- 梅花鹿中密度区 (5 个样点)
- 梅花鹿低密度区 (5 个样点)

我们在每个样点调查植物群落，鉴定到种级，获得物种丰度数据。我们想要检验这三个区域的植物群落组成是否存在显著差异。

#### ANOSIM 检验过程：

1. **计算距离矩阵：**使用 Bray-Curtis 距离或其他合适的生态距离
2. **计算观测 R 统计量：**R 统计量衡量组间差异与组内差异的相对大小
3. **随机置换：**随机重排样点的组别标签
4. **构建零分布：**重复置换 1000 次，每次计算 R 统计量

### 5. 计算 p 值：比较观测 R 统计量与零分布的位置

#### R 语言实现示例：

下面的代码展示了 ANOSIM 分析的具体实现过程。首先我们模拟底栖动物群落数据并执行分析：

```
# ANOSIM 分析：污染对底栖动物群落的影响
library(vegan)

load(file="data/anosim_data.RData")
# 执行 ANOSIM 分析
anosim_result <- anosim(species_matrix, groups,
                           distance = "bray",
                           permutations = 1000)

# 输出结果
print(anosim_result)

## 
## Call:
## anosim(x = species_matrix, grouping = groups, permutations = 1000,           distance = "bray")
## Dissimilarity: bray
##
## ANOSIM statistic R: 0.7102
##      Significance: 0.000999
##
## Permutation: free
## Number of permutations: 1000
```

图7.1展示了 ANOSIM 分析的排序差异箱线图：

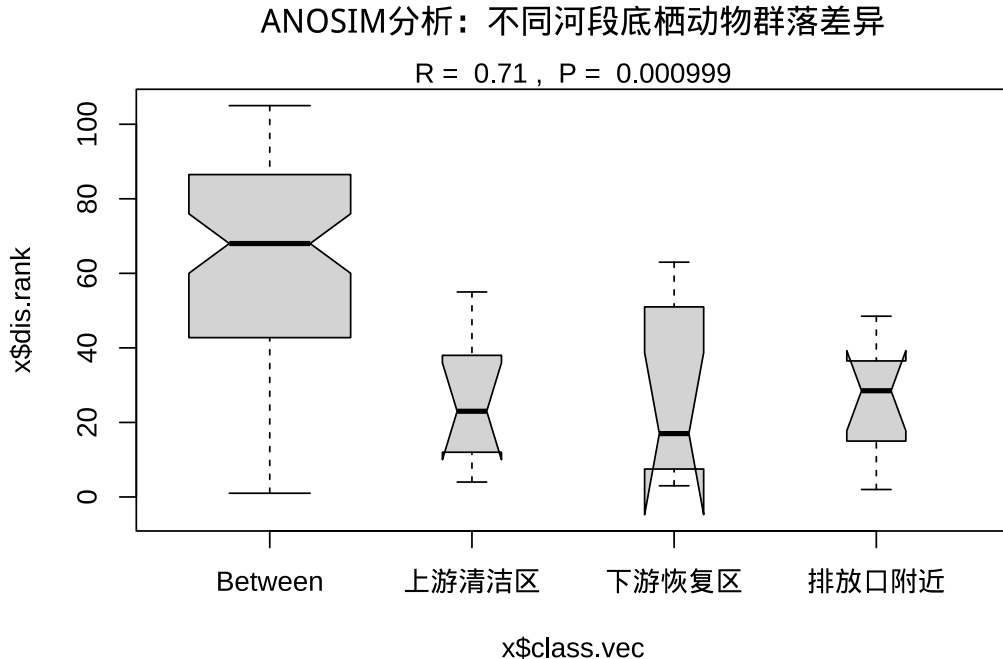


图 7.1 ANOSIM 分析：不同河段底栖动物群落排序差异检验

图7.2展示了底栖动物群落组成的 NMDS 排序图：

#### 结果解释：

- **R 统计量**: 取值范围-1 到 1，值越大表示组间差异越明显
- **p 值**: 检验组间差异的统计显著性

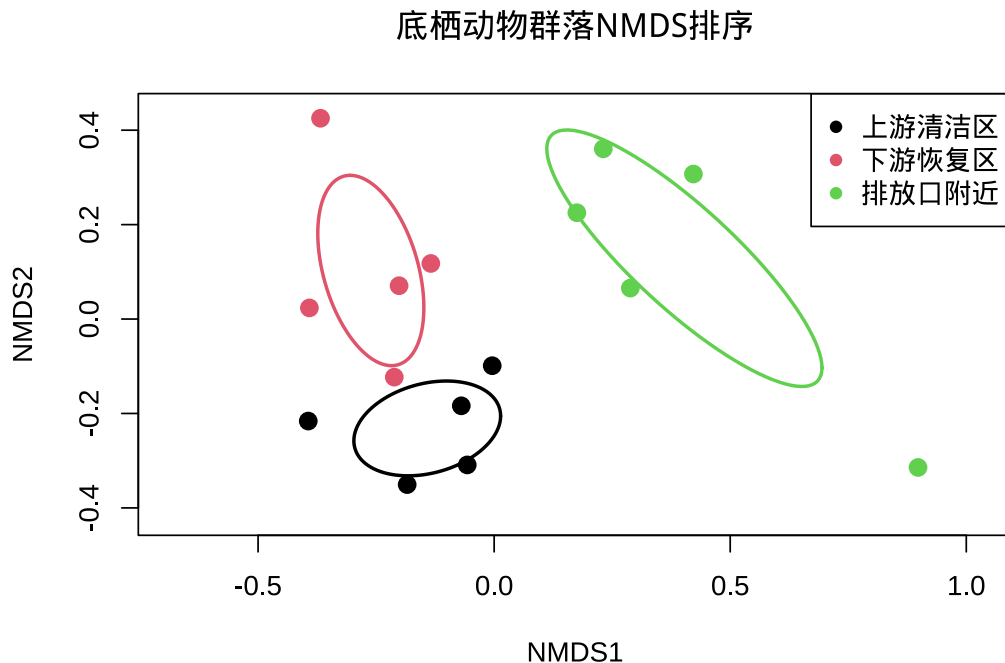


图 7.2 底栖动物群落组成的 NMDS 排序分析

- 典型解读：R > 0.75 表示组间分离很好；R > 0.5 表示组间分离明显；R > 0.25 表示组间存在分离趋势

**生态学意义：**如果 ANOSIM 检验显示显著差异 ( $p < 0.05$ )，表明梅花鹿采食活动确实对植物群落组成产生了显著影响。结合 R 统计量的大小，我们可以量化这种影响的程度。这种分析为梅花鹿栖息地管理和保护提供了科学依据，有助于确定合理的梅花鹿种群密度和栖息地管理策略。

### 7.7.3 方法学比较与生态学应用建议

**多样性比较方法的选择策略：**

1. **单一多样性指数比较：**
  - 小样本情况：优先使用自助法构建置信区间
  - 大样本情况：可考虑参数检验，但需验证分布假设
  - 多重比较：使用自助法结合 FDR 控制
2. **群落组成差异检验：**
  - 组数 = 2：考虑使用置换 t 检验或 ANOSIM
  - 组数 > 2：ANOSIM 或 PERMANOVA（置换多元方差分析）
  - 复杂设计：使用 adonis2() 函数进行置换 MANOVA
3. **空间和时间序列分析：**
  - 空间自相关：使用 Moran's I 置换检验
  - 时间趋势：使用 Mantel 检验或时序置换检验

**生态学研究的最佳实践：**

1. **样本量规划**: 在进行多样性研究前, 通过功效分析确定合适的样本量
2. **多重比较校正**: 当进行多个多样性指数或多个组间比较时, 使用适当的校正方法
3. **结果可视化**: 结合排序图、多样性曲线等可视化方法, 增强结果的可解释性
4. **生态学解释**: 统计显著性必须结合生态学机制进行解释, 避免过度依赖 p 值

**保护生物学应用**: 在保护生物学中, 基于模拟的多样性检验方法特别有价值:

- **濒危物种监测**: 小样本情况下的可靠性评估
- **保护效果评估**: 比较保护区内外的生物多样性
- **恢复生态学**: 评估生态恢复项目的成效
- **气候变化研究**: 监测物种组成对气候变化的响应

通过这些基于模拟的统计方法, 生态学家能够更可靠地评估生物多样性的变化模式, 为生态保护和管理决策提供坚实的科学基础。

从群落多样性的分析转向空间生态学, 我们继续探讨基于模拟的假设检验在物种空间分布研究中的应用。空间分布检验是生态学中极具挑战性的统计问题, 基于模拟的方法为处理复杂的空间数据提供了独特的优势。

## 7.8 物种空间分布检验

物种空间分布检验是空间生态学和景观生态学中的核心统计问题。基于模拟的假设检验方法在这些领域具有不可替代的价值, 因为大多数空间统计量没有已知的理论分布, 必须通过蒙特卡洛模拟来构建零分布和进行统计推断。

### 7.8.1 空间分布模式检验

**生态学问题背景**: 理解物种在空间中的分布模式是生态学的基本问题。物种可能呈现三种基本的空间分布模式: 随机分布、聚集分布和均匀分布。这些分布模式反映了物种的生态学特性、种内种间关系以及环境异质性的影响。

**传统方法的局限性**: 传统的空间分布检验方法往往依赖于严格的数学假设, 如:

- 空间独立性假设
  - 均匀生境假设
  - 大样本渐近分布
- 这些假设在真实的生态系统中往往不成立, 特别是在存在环境梯度、边界效应和空间自相关的情况下。

**基于模拟的优势**: 蒙特卡洛模拟通过随机化过程构建空间统计量的经验分布, 能够:

- 考虑复杂的边界条件
- 处理空间自相关问题
- 适应异质性生境
- 提供小样本下的可靠推断

**生态学实例: 梅花鹿空间分布格局研究**

假设我们在梅花鹿自然保护区内设置一个 1 平方公里的固定监测区域，标记了所有观测到的梅花鹿个体，并记录了它们的坐标。我们关注梅花鹿的分布模式，想要检验其分布是否显著偏离随机模式。

观测数据：在 1 平方公里监测区域内记录了 85 只梅花鹿个体的空间坐标。

### 完全空间随机性 (CSR) 检验过程：

1. 构建零模型：假设梅花鹿分布遵循完全空间随机过程
2. 生成模拟点模式：在相同的监测区域边界内随机生成 85 个点
3. 计算空间统计量：使用 Ripley's K 函数或其他空间统计量
4. 重复模拟：进行 999 次蒙特卡洛模拟
5. 构建包络线：基于模拟结果构建统计量的置信包络
6. 比较观测模式：检验观测统计量是否超出包络范围

### R 语言实现示例：

下面的代码展示了空间分布模式检验的具体实现过程（图7.3）：

```
# 物种空间分布模式的蒙特卡洛检验
library(spatstat)
set.seed(123)

# 创建观测点模式（简化示例）
# 假设在 100m×100m 的样地中有 85 棵树
observed_pattern <- ppp(
  x = runif(85, 0, 100), y = runif(85, 0, 100),
  window = owin(c(0, 100), c(0, 100))
)

# 计算观测 Ripley's K 函数
obs_K <- Kest(observed_pattern, correction = "border")

# 蒙特卡洛模拟：完全空间随机性
n_sim <- 999
sim_patterns <- list()
sim_K <- list()

for (i in 1:n_sim) {
  # 生成完全空间随机点模式
  sim_pattern <- rpoispp(85 / 10000, win = observed_pattern$window)
  sim_patterns[[i]] <- sim_pattern
  sim_K[[i]] <- Kest(sim_pattern, correction = "border")
}

# 构建包络线
K_envelope <- envelope(observed_pattern, Kest,
  nsim = 999,
  correction = "border",
  simulate = expression(rpoispp(85 / 10000)),
  verbose = FALSE
)
```

图 7.3 展示了 Ripley's K 函数包络分析的可视化结果。图中黑色实线表示观测到的 K 函数曲线，灰色区域表示基于 999 次蒙特卡洛模拟构建的置信包络，红色实线表示完全空间随机性 (CSR) 的理论期望值。通过比较观测曲线与包络线的相对位置，可以判断巴西坚果树的空间分布模式是否显著偏离随机分布。

### 巴西坚果树空间分布模式检验

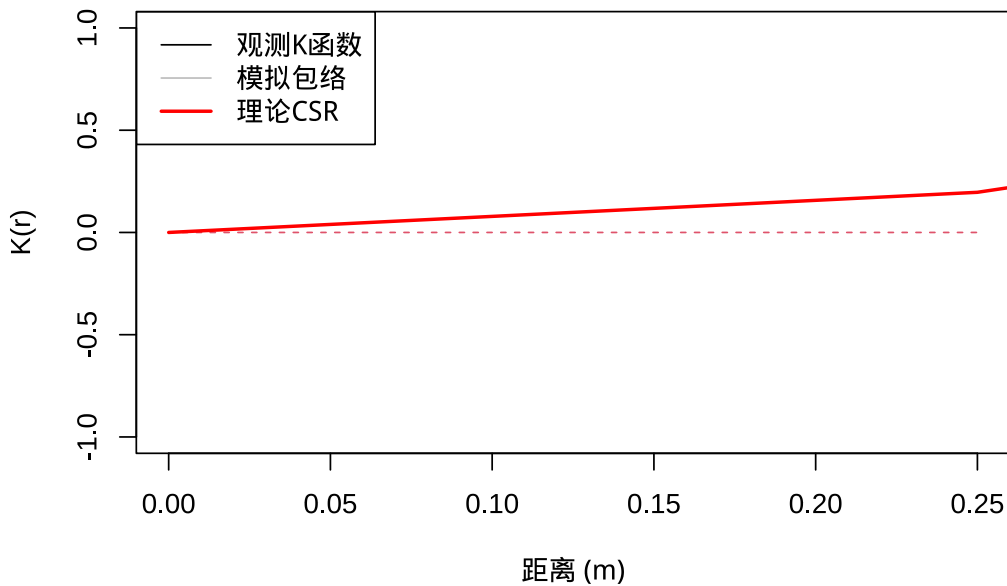


图 7.3 巴西坚果树空间分布模式检验: Ripley's K 函数包络分析

**结果解释:** - 如果观测 K 函数在包络线之上: 表明空间聚集分布 - 如果观测 K 函数在包络线之下: 表明空间均匀分布 - 如果观测 K 函数在包络线之内: 不能拒绝随机分布假设

**生态学意义:** 如果检验显示梅花鹿呈现显著的空间聚集分布, 这可能反映了: - 社会行为 (梅花鹿倾向于集群活动) - 栖息地偏好 (特定食物资源或隐蔽条件) - 环境因素 (如水源分布或地形特征) 这种空间分布信息对于理解梅花鹿的生态学特性、设计保护区和预测种群动态都具有重要意义。

#### 7.8.2 点过程模型检验

**生态学问题背景:** 点过程模型为描述和分析空间点模式提供了系统的数学框架。在生态学中, 我们不仅关心物种是否随机分布, 更希望了解其分布的具体机制。点过程模型检验帮助我们评估观测数据与各种理论模型的拟合优度。

**传统方法的挑战:** 传统的模型拟合优度检验通常基于似然比检验或信息准则, 但这些方法: - 依赖于大样本渐近理论 - 难以处理复杂的空间依赖性 - 对模型误设敏感

**基于模拟的优势:** 蒙特卡洛模拟通过从拟合模型中生成模拟数据来构建检验统计量的经验分布, 能够: - 处理任何复杂的点过程模型 - 提供小样本下的可靠 p 值 - 检验模型的多方面拟合优度

#### 生态学实例: 珊瑚礁鱼类栖息地选择机制研究

假设我们研究印度洋珊瑚礁中某种珊瑚鱼——小丑鱼的分布模式。我们在一个珊瑚礁区域记录了小丑鱼个体的空间位置, 同时测量了环境变量 (珊瑚覆盖率、水深、水流速度)。我们想要检验小丑鱼的分布是否可以用环境异质性来解释。

#### 点过程模型检验过程:

1. 拟合点过程模型：使用泊松点过程模型或其他合适的模型
2. 计算拟合优度统计量：如残差、伪残差或其他诊断统计量
3. 生成模拟数据：从拟合模型中生成模拟点模式
4. 构建经验分布：基于模拟数据计算检验统计量
5. 比较观测值：检验观测统计量在经验分布中的位置

### R 语言实现示例：

下面的代码展示了点过程模型拟合优度检验的具体实现过程。首先我们模拟小丑鱼分布数据并拟合模型：

```
# 点过程模型的蒙特卡洛拟合优度检验
library(spatstat)
set.seed(123)

# 模拟小丑鱼分布数据
# 创建环境协变量（珊瑚覆盖率）
coral_coverage <- as.im(function(x, y) {
  0.7 * exp(-((x - 50)^2 + (y - 50)^2) / 1000) + 0.3
}, W = owin(c(0, 100), c(0, 100)))

# 生成基于环境的小丑鱼分布（非齐次泊松过程）
lambda0 <- 0.01 # 基础强度
intensity <- eval.im(lambda0 * (1 + 2 * coral_coverage))
observed_fish <- rpoispp(intensity)

# 拟合非齐次泊松点过程模型
fit_model <- ppm(observed_fish ~ coral_coverage)
knitr::kable(summary(fit_model)$coefs.SE.CI,
             caption = "非齐次泊松点过程模型拟合结果",
             booktabs = TRUE) %>%
  kableExtra::kable_styling(latex_options = c("hold_position"))
```

表 7.2 非齐次泊松点过程模型拟合结果

|                | Estimate   | S.E.      | CI95.lo    | CI95.hi   | Ztest | Zval       |
|----------------|------------|-----------|------------|-----------|-------|------------|
| (Intercept)    | -4.2767794 | 0.2117614 | -4.6918241 | -3.861735 | ***   | -20.196218 |
| coral_coverage | 0.6330506  | 0.3749223 | -0.1017836 | 1.367885  |       | 1.688485   |

图7.4展示了模拟的珊瑚覆盖率分布情况：

图7.5展示了小丑鱼在珊瑚覆盖率背景下的实际分布：

接下来进行拟合优度检验：

```
# 拟合优度检验：残差分析
# 计算观测残差
obs_residuals <- residuals(fit_model, type = "raw")

# 蒙特卡洛拟合优度检验
n_sim <- 999
sim_residual_stats <- numeric(n_sim)

for (i in 1:n_sim) {
  # 从拟合模型中生成模拟数据
  sim_pattern <- simulate(fit_model)[[1]]

  # 用相同模型拟合模拟数据
  sim_fit <- ppm(sim_pattern ~ coral_coverage)
```

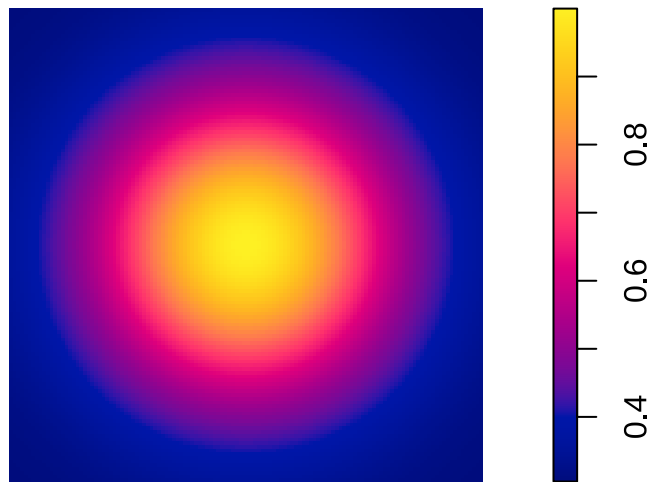


图 7.4 模拟的珊瑚覆盖率空间分布

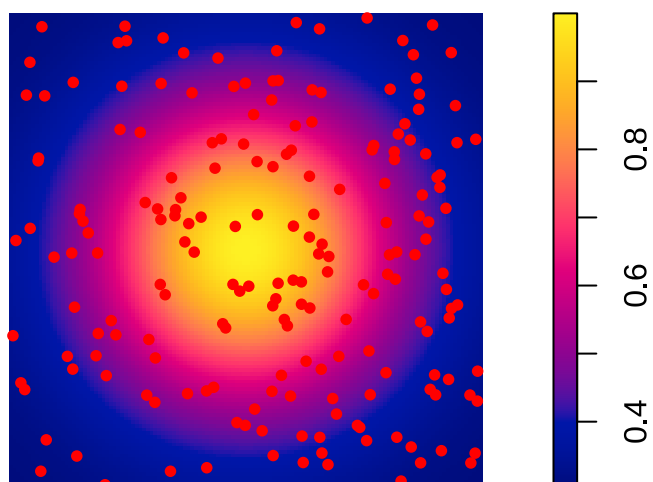


图 7.5 小丑鱼在珊瑚覆盖率背景下的空间分布

```

# 计算模拟残差统计量 (使用残差的绝对值积分)
sim_residuals <- residuals(sim_fit, type = "raw")
sim_residual_stats[i] <- integral(sim_residuals)
}

# 计算观测残差统计量
obs_residual_stat <- integral(obs_residuals)

# 计算 p 值
p_value <- mean(sim_residual_stats >= obs_residual_stat)
cat(" 观测残差统计量:", obs_residual_stat, "\n")

## 观测残差统计量: -1.963697e-10
cat(" 拟合优度检验 p 值:", p_value, "\n")

## 拟合优度检验p值: 0.4444444

```

图7.6展示了模型预测的小丑鱼分布强度：

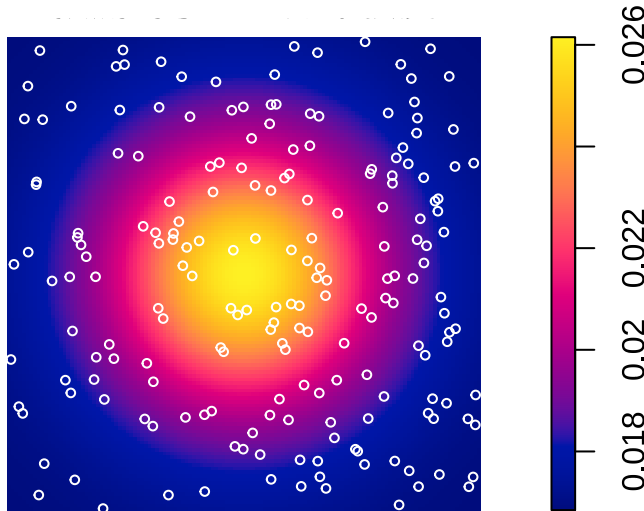


图 7.6 点过程模型预测的小丑鱼分布强度

**生态学意义：**如果拟合优度检验显示模型拟合良好（ $p$  值不显著），表明小丑鱼的分布主要受珊瑚覆盖率的影响。这支持了“栖息地选择”假说——小丑鱼倾向于选择珊瑚覆盖率高的区域。如果模型拟合不佳，可能表明存在其他重要因素，如：- 种内竞争导致的空间排斥 - 捕食风险的空间变异 - 社会行为的空间组织

### 7.8.3 空间生态学的统计挑战与解决方案

**边界效应处理：**在空间分析中，边界效应是一个重要问题。基于模拟的方法可以通过：- 使用相同的边界条件进行模拟 - 应用边界校正方法 - 使用周期性边界条件来有效处理边界效应。

**空间自相关：**生态数据通常存在空间自相关，这违反了传统统计的独立性假设。蒙特卡洛方法通过：- 保持空间结构进行随机化 - 使用条件模拟方法 - 应用空间自回归模型来正确处理空间依赖性。

**多重尺度分析：**生态过程在不同空间尺度上运作。基于模拟的方法支持：- 多尺度空间分析 - 尺度依赖性检验 - 最优尺度选择

### R 语言中的空间分析工具：

```
# 常用的空间分析包
library(spatstat) # 点模式分析
library(spdep) # 空间依赖性分析
library(gstat) # 地统计学
library(geoR) # 地统计学
library(adespatial) # 空间生态学

# 空间自相关检验示例
library(spdep)

# 创建空间权重矩阵
coords <- cbind(runif(50), runif(50))
nb <- knn2nb(knearneigh(coords, k = 5))
w <- nb2listw(nb)

# 模拟空间自相关数据
sp_data <- rnorm(50)
# 引入空间自相关
for (i in 1:10) {
  sp_data <- 0.5 * lag.listw(w, sp_data) + rnorm(50)
}

# Moran's I 置换检验
moran_test <- moran.mc(sp_data, w, nsim = 999)
print(moran_test)

## 
## Monte-Carlo simulation of Moran I
## 
## data: sp_data
## weights: w
## number of simulations + 1: 1000
## 
## statistic = 0.055655, observed rank = 832, p-value = 0.168
## alternative hypothesis: greater
```

### 7.8.4 生态学应用与保护意义

#### 保护生物学应用：

- **保护区设计：**基于物种空间分布模式优化保护区网络
- **栖息地破碎化评估：**检验生境破碎对物种分布的影响
- **入侵物种监测：**检测入侵物种的空间扩散模式

#### 恢复生态学应用：

- **恢复效果评估：**比较恢复前后物种空间分布的变化
- **种子源定位：**识别重要的种群补充源
- **连通性分析：**评估生境斑块间的功能连通性

#### 气候变化研究：

- **分布范围变化：**监测物种分布范围对气候变化的响应
- **分布边界移动：**检验分布边界的气候驱动因素
- **避难所识别：**识别气候变化的潜在避难所

通过基于模拟的空间分布检验方法，生态学家能够更可靠地推断物种空间分布的形成机制，为理解

生态过程、预测生态系统变化和制定有效的保护策略提供坚实的科学基础。这些方法特别适合处理生态学中常见的复杂空间模式和小样本问题，是空间生态学研究中不可或缺的统计工具。

从空间生态学转向进化生态学，我们继续探讨基于模拟的假设检验在系统发育分析中的应用。系统发育信号检验是理解物种性状进化历史的重要工具，基于模拟的方法为处理复杂的演化过程提供了可靠的统计框架。

## 7.9 系统发育信号检验

系统发育信号检验是进化生态学和比较生物学中的核心统计问题，旨在检验物种性状是否受到系统发育历史的影响。基于模拟的假设检验方法在这些分析中发挥着关键作用，特别是当性状的演化过程复杂或样本量有限时。

### 7.9.1 系统发育保守性检验

**生态学问题背景：**系统发育保守性描述的是亲缘关系较近的物种在性状上比随机期望更为相似的现象。理解性状的系统发育信号对于揭示生态适应的进化历史、预测物种对环境变化的响应以及指导保护策略都具有重要意义。

**传统方法的局限性：**传统的系统发育信号检验方法（如 Blomberg's K 检验、Pagel's  $\lambda$  检验）依赖于特定的演化模型假设，如布朗运动模型。然而，这些假设在真实的生态系统中往往过于简化：

- 布朗运动假设性状演化是随机的，忽略了自然选择的作用
- 模型对异常物种或快速辐射事件敏感
- 在小样本情况下，理论分布的近似可能不准确
- 难以处理复杂的演化过程，如性状的趋同进化

**基于模拟的优势：**蒙特卡洛模拟通过随机化系统发育树尖端的性状值来构建零分布，不依赖于特定的演化模型假设，特别适合处理：

- 非标准演化模型的检验
- 小样本系统发育分析
- 复杂性状演化模式的识别
- 多种系统发育信号指标的比较

#### 生态学实例：梅花鹿种群功能性状的系统发育信号分析

假设我们研究梅花鹿不同种群的形态性状（如体型大小、角长、毛色特征）是否具有系统发育保守性。我们拥有这些种群间的系统发育关系和性状测量数据。

##### 蒙特卡洛检验过程：

1. 计算观测系统发育信号：使用 Blomberg's K 统计量或 Pagel's  $\lambda$  统计量

2. 构建零模型：假设性状在系统发育树尖端的分布是随机的
3. 随机化模拟：保持系统发育树结构不变，随机重排性状值在树尖端的分布
4. 构建经验分布：重复模拟 1000 次，每次计算系统发育信号统计量
5. 计算 p 值：比较观测统计量与经验分布的位置

### R 语言实现示例：

下面的代码展示了系统发育信号检验的具体实现过程（图7.7）：

```
# 系统发育信号检验的蒙特卡洛模拟
library(ape)
library(picante)

# 模拟系统发育树和性状数据
set.seed(123)
tree <- rtree(30) # 生成 30 个物种的系统发育树
trait_data <- rnorm(30, mean = 10, sd = 2) # 模拟性状数据
names(trait_data) <- tree$tip.label

# 计算观测 Bloomberg's K 统计量
obs_K <- Kcalc(trait_data, tree)

# 蒙特卡洛模拟
n_sim <- 1000
sim_K <- numeric(n_sim)

for (i in 1:n_sim) {
  # 随机重排性状值 (保持系统发育树结构)
  sim_trait <- sample(trait_data)
  names(sim_trait) <- tree$tip.label

  # 计算模拟的 K 统计量
  sim_K[i] <- Kcalc(sim_trait, tree)
}

# 计算经验 p 值
p_value <- mean(sim_K >= as.numeric(obs_K))
cat(" 观测 Bloomberg's K 统计量:", obs_K, "\n")

## 观测 Bloomberg's K 统计量: 0.3065341
cat(" 经验 p 值:", p_value, "\n")

## 经验p值: 0.446

# 使用 phytools 包进行更复杂的系统发育信号检验
library(phytools)

# Pagel's $\lambda$ 检验
lambda_test <- phylsig(tree, trait_data, method = "lambda", test = TRUE)
print(lambda_test)

## 
## Phylogenetic signal lambda : 0.00132165
## logL(lambda) : -59.7517
## LR(lambda=0) : 0.000110223
## P-value (based on LR test) : 0.991623

# 可视化系统发育信号
# 绘制系统发育树和性状值
plotTree(tree, type = "fan", fsize = 0.8)
tiplabels(
  pch = 21, bg = colorRampPalette(c("blue", "red"))(30)[rank(trait_data)],
  cex = 1.5
)
```

```
# 添加性状值颜色图例
legend("bottomleft",
  legend = c("低性状值", "高性状值"),
  fill = c("blue", "red"), bty = "n"
)
```

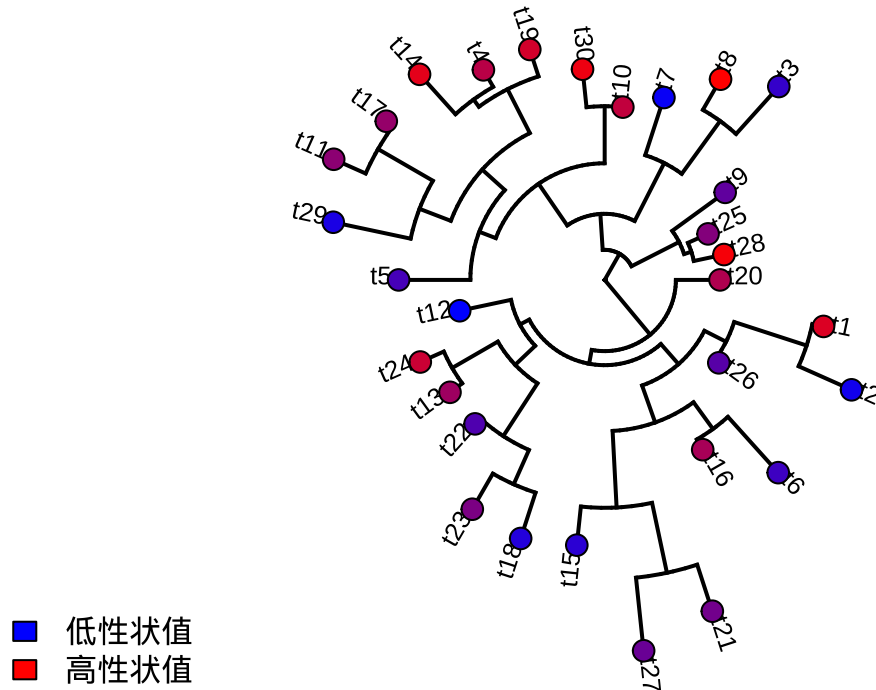


图 7.7 植物功能性状系统发育信号检验与可视化

**生态学意义:** 如果检验显示显著的系统发育信号 ( $p < 0.05$ )，表明这些功能性状在亲缘关系较近的物种间更为相似。这支持了“系统发育生态位保守性”假说——物种倾向于保留祖先的生态特性。这种信息对于理解群落组装机制、预测物种对气候变化的响应以及设计基于系统发育多样性的保护策略都具有重要价值。

## 7.9.2 系统发育独立对比

**生态学问题背景:** 在比较生物学研究中，我们需要检验不同性状间的生态关系，但由于物种间存在系统发育相关性，传统的统计方法可能产生有偏的结论。系统发育独立对比通过去除系统发育影响，为性状间的生态关系检验提供了正确的统计框架。

**传统方法的挑战:** 传统的相关性分析或回归分析假设观测值相互独立，但系统发育相关的物种违背了这一假设：  
 - 亲缘关系较近的物种在多个性状上可能同时相似  
 - 这种共有的系统发育历史可能产生虚假的相关性  
 - 传统方法可能高估或低估性状间的真实生态关系

**基于模拟的解决方案:** 置换检验通过随机化系统发育树的结构或性状值的分布来构建零分布，特别适合处理：  
 - 复杂系统发育结构的校正  
 - 多种性状组合的联合检验  
 - 非标准系统发育模型的验证

**生态学实例：植物防御性状与生长速率的关系研究**

假设我们研究热带雨林中 40 种树种的化学防御物质含量与生长速率的关系。由于这些树种具有系统发育相关性，我们需要使用系统发育独立对比来正确检验这种关系。

#### 置换检验过程：

1. **计算观测相关性**: 使用系统发育独立对比计算防御性状与生长速率的相关系数
2. **随机化系统发育结构**: 随机重排系统发育树的拓扑结构或分支长度
3. **构建零分布**: 重复随机化 1000 次，每次计算相关性统计量
4. **计算 p 值**: 比较观测相关性与零分布的位置

#### R 语言实现示例：

下面的代码展示了系统发育独立对比分析的具体实现过程（图7.8）：

```
# 系统发育独立对比的置换检验
library(ape)
library(geiger)

# 模拟系统发育树和性状数据
set.seed(123)
tree <- rtree(40) # 40 个物种的系统发育树

# 模拟相关性状 (受系统发育影响)
defense_trait <- rTraitCont(tree, model = "BM", sigma = 1)
growth_rate <- 0.6 * defense_trait +
  0.4 * rTraitCont(tree, model = "BM", sigma = 1) +
  rnorm(40, 0, 0.5)

# 计算系统发育独立对比
pic_defense <- pic(defense_trait, tree)
pic_growth <- pic(growth_rate, tree)

# 计算观测相关性 (去除系统发育影响后)
obs_cor <- cor(pic_defense, pic_growth)

# 置换检验: 随机化系统发育结构
n_perm <- 1000
perm_cor <- numeric(n_perm)

for (i in 1:n_perm) {
  # 随机重排系统发育树尖端的性状关联
  perm_tree <- tree
  perm_tree$tip.label <- sample(perm_tree$tip.label)

  # 计算置换后的 PIC 相关性
  perm_pic_defense <- pic(defense_trait[perm_tree$tip.label], perm_tree)
  perm_pic_growth <- pic(growth_rate[perm_tree$tip.label], perm_tree)
  perm_cor[i] <- cor(perm_pic_defense, perm_pic_growth)
}

# 计算 p 值
p_value <- mean(abs(perm_cor) >= abs(obs_cor))
cat(" 观测 PIC 相关性:", obs_cor, "\n")

## 观测 PIC 相关性: 0.7710981
cat(" 经验 p 值:", p_value, "\n")

## 经验 p 值: 0.973

# 可视化结果
par(mfrow = c(1, 2))

# 原始性状的相关性图
```

```

plot(defense_trait, growth_rate,
  pch = 16, col = "blue",
  xlab = " 防御物质含量 ", ylab = " 生长速率 ",
  main = " 原始性状相关性 "
)
abline(lm(growth_rate ~ defense_trait), col = "red", lwd = 2)

# 系统发育独立对比的相关性图
plot(pic_defense, pic_growth,
  pch = 16, col = "darkgreen",
  xlab = " 防御物质 PIC", ylab = " 生长速率 PIC",
  main = " 系统发育独立对比相关性 "
)
abline(lm(pic_growth ~ pic_defense), col = "red", lwd = 2)

# 添加相关性系数
text(0.8 * max(pic_defense), 0.9 * max(pic_growth),
  paste("r =", round(obs_cor, 3)),
  col = "red"
)

```

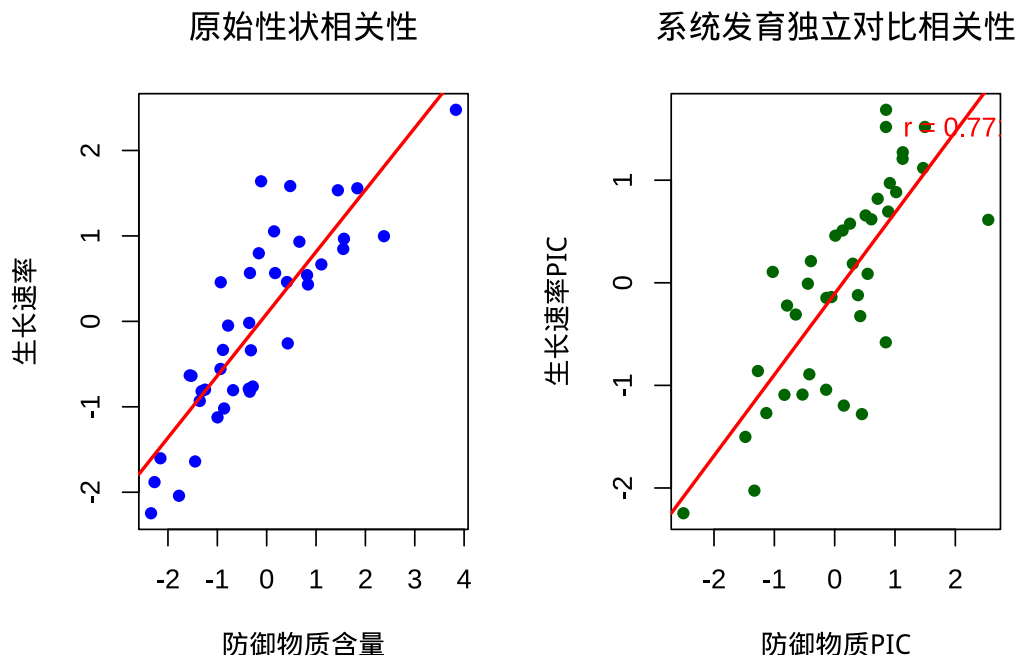


图 7.8 植物防御性状与生长速率关系的系统发育独立对比分析

**生态学意义：**通过系统发育独立对比的置换检验，我们可以更可靠地推断防御性状与生长速率之间的生态权衡关系。如果检验显示显著的正相关 ( $p < 0.05$ )，表明在去除系统发育影响后，防御物质含量高的物种确实具有较慢的生长速率，支持了“生长-防御权衡”假说。这种分析为理解植物生活史策略的进化提供了重要证据。

### 7.9.3 方法学比较与生态学应用建议

系统发育信号检验方法的选择策略：

1. Blomberg's K 检验：

- 适用于连续性状的系统发育信号检验

- 基于性状在系统发育树上的方差比较
- $K > 1$  表示比布朗运动期望更强的系统发育信号

### 2. Pagel's $\lambda$ 检验:

- 通过最大似然估计检验系统发育信号
- $\lambda$  参数衡量系统发育对性状变异的解释程度
- 可以检验多种演化模型的拟合优度

### 3. 置换检验方法:

- 不依赖于特定的演化模型假设
- 适用于小样本和非标准性状分布
- 可以灵活检验多种系统发育信号指标

#### **生态学研究的最佳实践:**

1. **多方法验证:** 使用多种系统发育信号检验方法相互验证
2. **敏感性分析:** 检验结果对系统发育树不确定性的敏感性
3. **生态学解释:** 结合生态学机制解释系统发育信号的意义
4. **保护应用:** 在保护生物学中考虑系统发育多样性的价值

#### **进化生态学应用:** 系统发育信号检验在进化生态学中具有广泛的应用价值:

- **适应性进化研究:** 检验性状是否受到自然选择的作用
- **群落生态学:** 理解系统发育对群落组装的约束
- **保护生物学:** 基于系统发育多样性设计保护优先区
- **气候变化研究:** 预测物种对气候变化的系统发育响应模式

通过这些基于模拟的系统发育分析方法，生态学家能够更可靠地推断性状的进化历史，为理解生物多样性的形成机制和预测生态系统对全球变化的响应提供坚实的进化生物学基础。

作为本章的最后一个主题，我们探讨基于模拟的假设检验在生态学中最具综合性的应用——生态学零模型检验。零模型检验为理解生态模式的形成机制提供了系统的统计框架，是生态学研究中不可或缺的重要工具。

## 7.10 生态学零模型检验

### 7.10.1 零模型的基本概念与生态学意义

**生态学问题背景:** 零模型 (Null Model) 是生态学中用于检验观测模式是否显著偏离随机期望的统计工具。在生态学研究中，我们经常观察到各种复杂的生态模式——物种在群落中的特定组合、生态网络中物种间的相互作用、空间分布中的聚集或分散模式等。这些模式是真实的生态过程（如竞争、捕食、环境过滤）的结果，还是仅仅反映了随机过程？零模型为我们提供了回答这个问题的严谨统计框架。

**零模型的核心思想：**零模型通过构建一个“随机期望”来检验观测模式。其基本逻辑是：如果观测模式与随机期望没有显著差异，那么我们可以认为观测模式可能只是随机过程的产物；如果观测模式显著偏离随机期望，那么可能存在某种生态过程在起作用。

**生态学意义：**零模型检验在生态学中具有广泛的应用价值。它帮助我们区分真实的生态规律与随机波动，为理解群落组装机制、物种共存模式、生态网络结构等基本生态学问题提供了重要的统计工具。

### 7.10.2 群落组装零模型检验

**生态学问题背景：**群落组装是生态学的核心问题之一。我们想要理解为什么特定的物种会在特定的群落中共同出现。是环境过滤、种间竞争、扩散限制等生态过程决定了群落的物种组成，还是物种的组合只是随机过程的结果？

**传统方法的局限性：**传统的群落分析方法（如多样性指数、相似性分析）虽然能够描述群落的特征，但难以区分这些特征是生态过程的结果还是随机期望。传统的统计检验往往依赖于特定的分布假设，而这些假设在复杂的群落数据中往往不成立。

**基于模拟的优势：**群落组装零模型通过随机化群落矩阵来构建期望分布，不依赖于特定的分布假设，特别适合处理：  
- 复杂的物种-环境关系  
- 多物种间的相互作用  
- 空间和时间异质性  
- 小样本群落数据

#### 生态学实例：检验梅花鹿栖息地植物群落共存机制

假设我们研究梅花鹿栖息地中植物物种的共存机制。我们在一个 1 平方公里的固定监测区域中记录了所有主要植物物种，获得了物种组成数据。我们想要检验植物物种在群落中的共存是否随机，还是受到生态过程的约束。

#### 零模型检验过程：

##### 1. 构建零模型：基于不同的随机化算法构建零模型

- **固定行和列总和：**保持物种出现频率和样点物种丰富度不变
- **固定行总和：**只保持物种出现频率不变
- **固定列总和：**只保持样点物种丰富度不变

##### 2. 计算检验统计量：使用群落结构指数，如：

- **C-score：**衡量物种共现的非随机性
- **Checkerboard score：**检测竞争排斥模式
- **Nestedness：**检验群落的嵌套结构

##### 3. 随机化模拟：重复模拟 1000 次，每次计算检验统计量

##### 4. 构建经验分布：基于模拟结果构建统计量的零分布

##### 5. 计算 p 值：比较观测统计量与零分布的位置

### R 语言实现示例：

下面的代码展示了群落组装零模型检验的具体实现过程。首先我们模拟热带雨林群落数据并执行零模型分析：

```
# 群落组装零模型检验
library(vegan)
library(bipartite)

load(file="data/comm_matrix.RData")
# 计算观测 C-score (物种共现非随机性)
calc_c_score <- function(mat) {
  n_spp <- nrow(mat)
  c_scores <- numeric(choose(n_spp, 2))
  idx <- 1

  for (i in 1:(n_spp - 1)) {
    for (j in (i + 1):n_spp) {
      # 计算物种 i 和 j 的共现模式
      both_present <- sum(mat[i, ] == 1 & mat[j, ] == 1)
      only_i <- sum(mat[i, ] == 1 & mat[j, ] == 0)
      only_j <- sum(mat[i, ] == 0 & mat[j, ] == 1)

      c_scores[idx] <- only_i * only_j
      idx <- idx + 1
    }
  }
  return(mean(c_scores))
}

obs_c_score <- calc_c_score(comm_matrix)

# 零模型模拟：固定行和列总和
n_sim <- 1000
sim_c_scores <- numeric(n_sim)

for (i in 1:n_sim) {
  # 使用 swap 算法随机化群落矩阵
  sim_matrix <- comm_matrix

  # 简单的随机化：保持行和列总和不变
  # 在实际应用中可以使用更复杂的算法如 swap 算法
  sim_matrix <- r2dtable(1, rowSums(comm_matrix),
                        colSums(comm_matrix))[[1]]
  sim_matrix[sim_matrix > 0] <- 1

  sim_c_scores[i] <- calc_c_score(sim_matrix)
}

# 计算 p 值
p_value <- mean(sim_c_scores >= obs_c_score)
cat(" 观测 C-score:", obs_c_score, "\n")

## 观测 C-score: 13.67126
cat(" 零模型检验 p 值:", p_value, "\n")

## 零模型检验 p 值: 0
```

图7.9展示了群落组装零模型检验的 C-score 零分布：

图7.10展示了热带雨林群落的物种分布热图：

**生态学意义：**如果零模型检验显示显著的 C-score ( $p < 0.05$ )，表明树种的共现模式显著偏离随机期望。较高的 C-score 通常表示物种间存在竞争排斥——物种倾向于避免在相同的样点中共存。这支持了“竞争排斥”假说在热带雨林群落组装中的重要性。

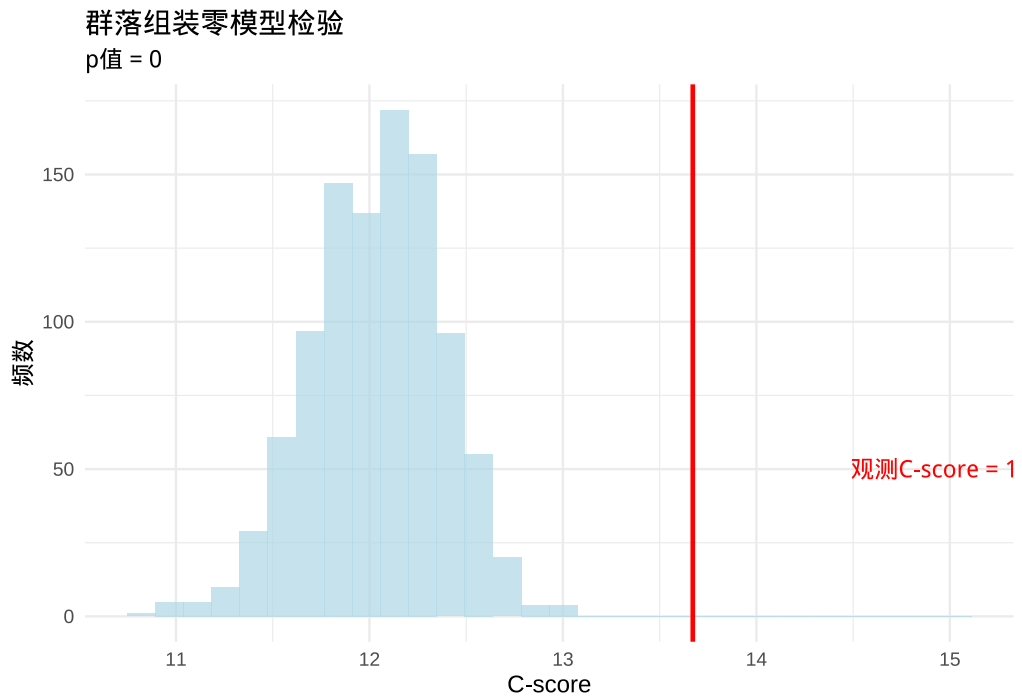


图 7.9 热带雨林群落组装零模型检验：C-score 零分布与观测值比较

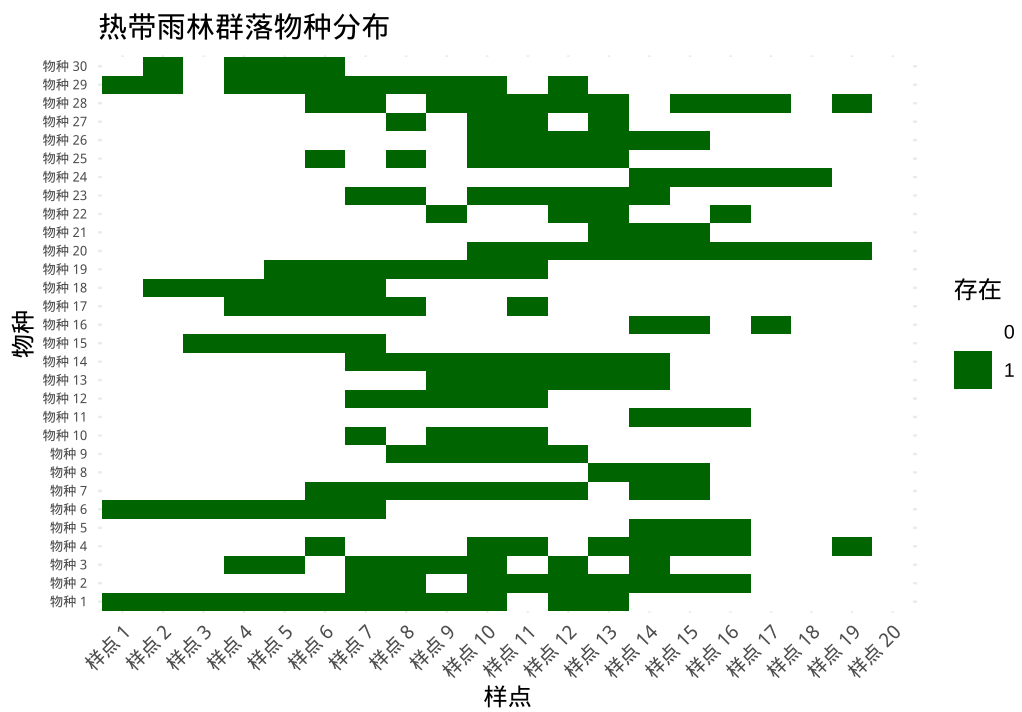


图 7.10 热带雨林群落物种分布热图：基于环境梯度的物种分布模式

### 7.10.3 生态网络零模型检验

**生态学问题背景：**生态网络（如食物网、传粉网络、种子散布网络）是生态系统中物种间相互作用的复杂表现形式。理解生态网络的结构特征对于揭示生态系统的稳定性和功能至关重要。我们想要知道观测到的网络结构（如模块化、嵌套性、连接性）是否显著偏离随机期望。

**传统方法的挑战：**传统的网络分析方法主要描述网络的结构特征，但难以评估这些特征是否具有统计显著性。网络结构的复杂性使得理论分布难以确定，特别是对于真实生态网络中常见的非随机模式。

**基于模拟的优势：**生态网络零模型通过随机化网络结构来构建期望分布，能够：  
 - 检验网络拓扑特征的统计显著性  
 - 区分不同生态过程对网络结构的影响  
 - 处理各种类型的生态网络（二分网络、加权网络等）  
 - 考虑网络的生物学约束（如物种的生态位）

#### 生态学实例：检验传粉网络的嵌套结构

假设我们研究地中海灌丛生态系统的传粉网络。我们记录了植物物种与传粉昆虫物种之间的相互作用，构建了一个传粉网络。我们想要检验这个网络是否具有显著的嵌套结构——一种常见的生态网络模式，其中特化物种倾向于与泛化物种的子集相互作用。

#### 零模型检验过程：

##### 1. 构建零模型：使用不同的随机化算法

- **固定度分布：**保持每个物种的连接数不变
- **固定连接数：**只保持网络的总连接数不变
- **概率模型：**基于物种特性生成随机网络

##### 2. 计算检验统计量：使用网络嵌套性指数，如：

- **NODF** (Nestedness based on Overlap and Decreasing Fill)
- **温度** (Matrix Temperature)
- **二分网络嵌套性**

##### 3. 随机化模拟：重复模拟 1000 次，每次计算嵌套性指数

##### 4. 构建经验分布：基于模拟结果构建嵌套性指数的零分布

##### 5. 计算 p 值：比较观测嵌套性与零分布的位置

#### R 语言实现示例：

下面的代码展示了传粉网络嵌套性零模型检验的具体实现过程。首先我们模拟传粉网络数据并执行零模型分析：

```
# 生态网络零模型检验：传粉网络嵌套性
library(bipartite)
library(igraph)

load(file="data/pollination_network.RData")
```

```

# 计算观测嵌套性 (NODF)
obs_nestedness <- nested(pollination_network, method = "NODF2")

# 零模型模拟: 固定行和列总和
n_sim <- 1000
sim_nestedness <- numeric(n_sim)

for (i in 1:n_sim) {
  # 使用 nullmodel 函数生成零模型
  sim_network <- pollination_network

  # 保持行和列总和不变的随机化
  sim_network <- r2dtable(
    1, rowSums(pollination_network),
    colSums(pollination_network)
  )[[1]]
  sim_network[sim_network > 0] <- 1

  sim_nestedness[i] <- nested(sim_network, method = "NODF2")
}

# 计算 p 值
p_value <- mean(sim_nestedness >= obs_nestedness)
cat(" 观测嵌套性 (NODF): ", obs_nestedness, "\n")

## 观测嵌套性 (NODF): 25.46973
cat(" 零模型检验 p 值:", p_value, "\n")

## 零模型检验p值: 0.014

```

图7.11展示了传粉网络嵌套性零模型检验的零分布:

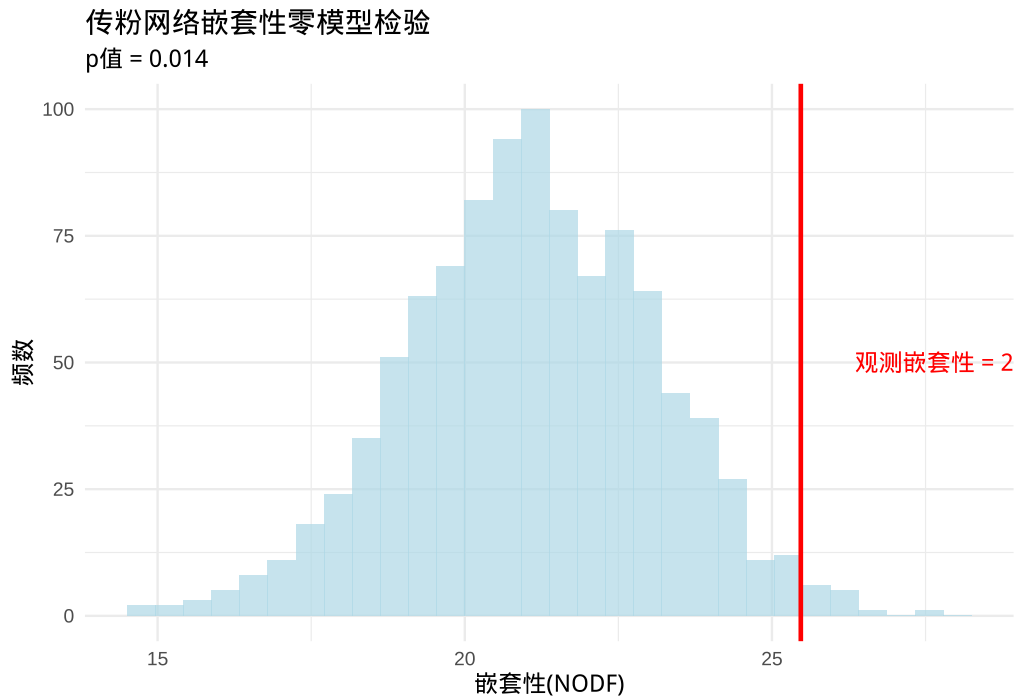


图 7.11 传粉网络嵌套性零模型检验: 嵌套性零分布与观测值比较

图7.12展示了传粉网络的结构图:

图7.13展示了传粉网络相互作用的矩阵热图:

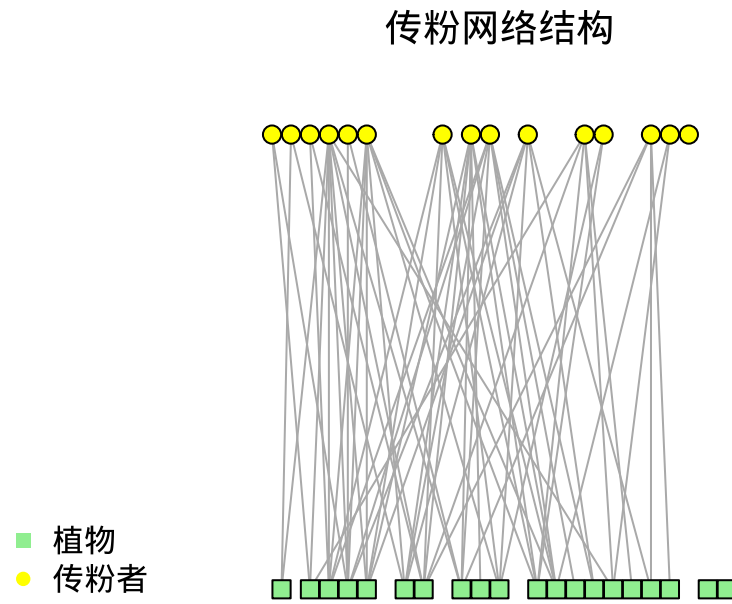


图 7.12 传粉网络结构可视化：植物与传粉者的二分网络

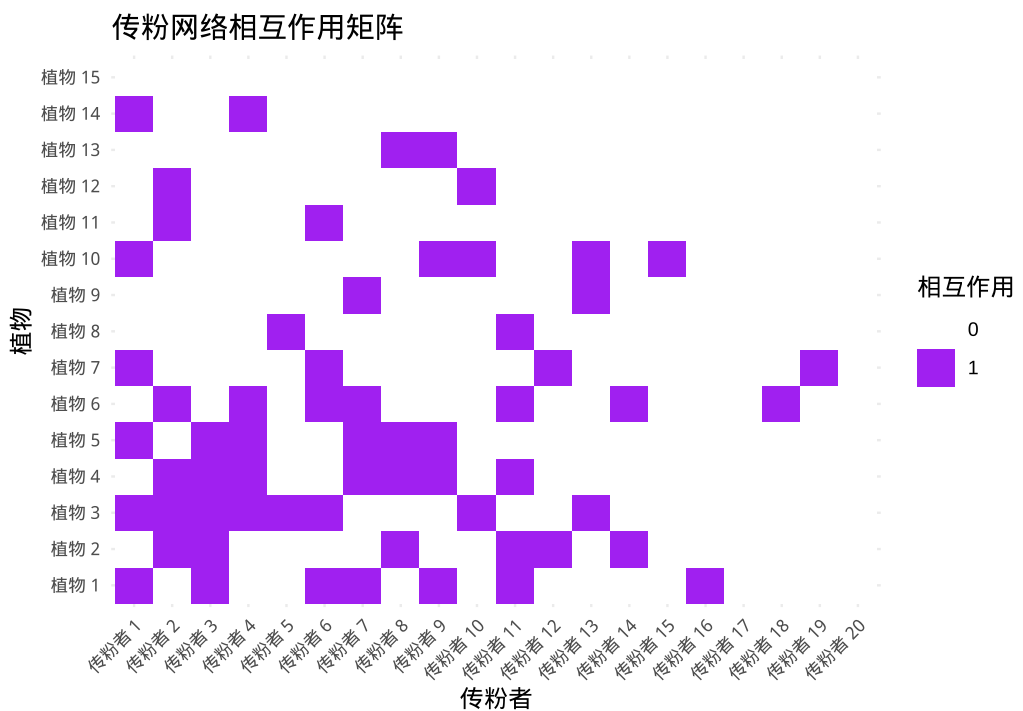


图 7.13 传粉网络相互作用矩阵热图：嵌套结构的可视化

**生态学意义：**如果零模型检验显示显著的嵌套性 ( $p < 0.05$ )，表明传粉网络的结构确实具有嵌套模式。嵌套结构通常被认为能够增强生态网络的稳定性和韧性——当某些物种消失时，嵌套结构有助于维持网络的连接性。这种结构信息对于理解传粉服务的稳定性和设计保护策略具有重要意义。

#### 7.10.4 零模型检验的方法学比较与选择

**不同类型的零模型算法：**

1. **完全随机模型：**

- 算法：完全随机重排相互作用
- 适用场景：检验网络连接性的非随机性
- 生态学意义：最基本的零模型，检验是否存在任何非随机结构

2. **固定度分布模型：**

- 算法：保持每个物种的连接数不变
- 适用场景：检验网络结构的其他特征（如嵌套性、模块化）
- 生态学意义：考虑物种生态位宽度的约束

3. **概率模型：**

- 算法：基于物种特性生成随机网络
- 适用场景：检验特定生态假说
- 生态学意义：整合生物学知识构建更真实的零模型

**生态学研究的最佳实践：**

1. **多模型比较：**使用多种零模型算法相互验证
2. **生物学合理性：**选择与生态过程相符的随机化算法
3. **敏感性分析：**检验结果对不同零模型算法的敏感性
4. **生态学解释：**结合生态学机制解释统计结果

**R 语言中的零模型分析工具：**

下面的代码展示了常用的零模型分析工具及其应用。首先我们加载相关包并执行物种共现零模型分析：

```
# 常用的零模型分析包
library(vegan) # 群落生态学零模型
library(bipartite) # 二分网络零模型
library(igraph) # 网络分析
library(EcoSimR) # 生态学零模型
library(spaa) # 物种关联分析

# EcoSimR 包中的零模型分析示例
library(EcoSimR)

# 物种共现零模型
# 使用固定行和列总和的算法
cooc_null <- cooc_null_model(comm_matrix,
  algo = "sim9",
  nReps = 1000,
```

```

    suppressProg = TRUE
)

summary(cooc_null)

## Time Stamp: Mon Oct 13 05:55:10 2025
## Reproducible:
## Number of Replications:
## Elapsed Time: 0.17 secs
## Metric: c_score
## Algorithm: sim9
## Observed Index: 13.671
## Mean Of Simulated Index: 12.275
## Variance Of Simulated Index: 0.0081194
## Lower 95% (1-tail): 12.138
## Upper 95% (1-tail): 12.432
## Lower 95% (2-tail): 12.113
## Upper 95% (2-tail): 12.469
## Lower-tail P > 0.999
## Upper-tail P < 0.001
## Observed metric > 1000 simulated metrics
## Observed metric < 0 simulated metrics
## Observed metric = 0 simulated metrics
## Standardized Effect Size (SES): 15.494

# 网络嵌套性零模型
# 使用 vegan 包中的 permatswap 函数
net_null <- permatswap(pollination_network,
                        method = "quasiswap",
                        times = 1000)

# 提取模拟结果并计算嵌套性
null_results <- sapply(net_null$perm, function(mat) {
  nested(mat, method = "NODF2")
})

# 计算观测嵌套性
obs_nestedness <- nested(pollination_network, method = "NODF2")

# 计算 p 值
p_value <- mean(null_results >= obs_nestedness)
cat(" 观测嵌套性:", obs_nestedness, "\n")

## 观测嵌套性: 25.46973
cat("p 值:", p_value, "\n")

## p值: 0.628

```

图7.14展示了 EcoSimR 包中物种共现零模型的检验结果：

图7.15展示了网络嵌套性零模型的零分布直方图：

### 7.10.5 生态学应用与保护意义

**保护生物学应用：**

- **保护区设计：**基于物种共现模式优化保护区网络
- **入侵物种风险评估：**检验外来物种与本地物种的相互作用模式
- **生态系统恢复：**评估恢复后群落的组装过程

**群落生态学应用：**

- **群落构建机制：**区分环境过滤、竞争排斥、扩散限制的相对重要性

Sun Oct 12 08:33:55 2025

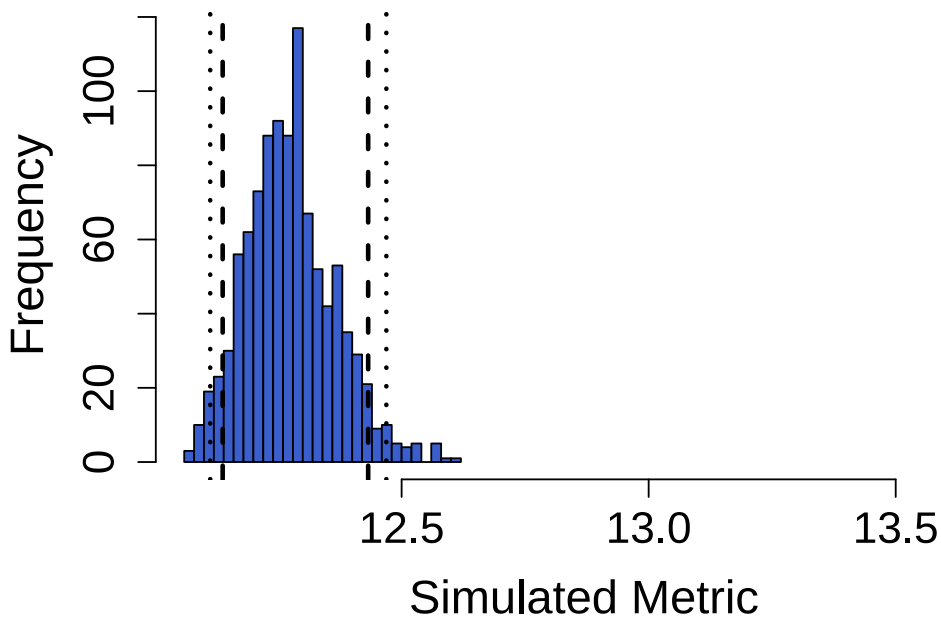


图 7.14 物种共现零模型检验: EcoSimR 包分析结果

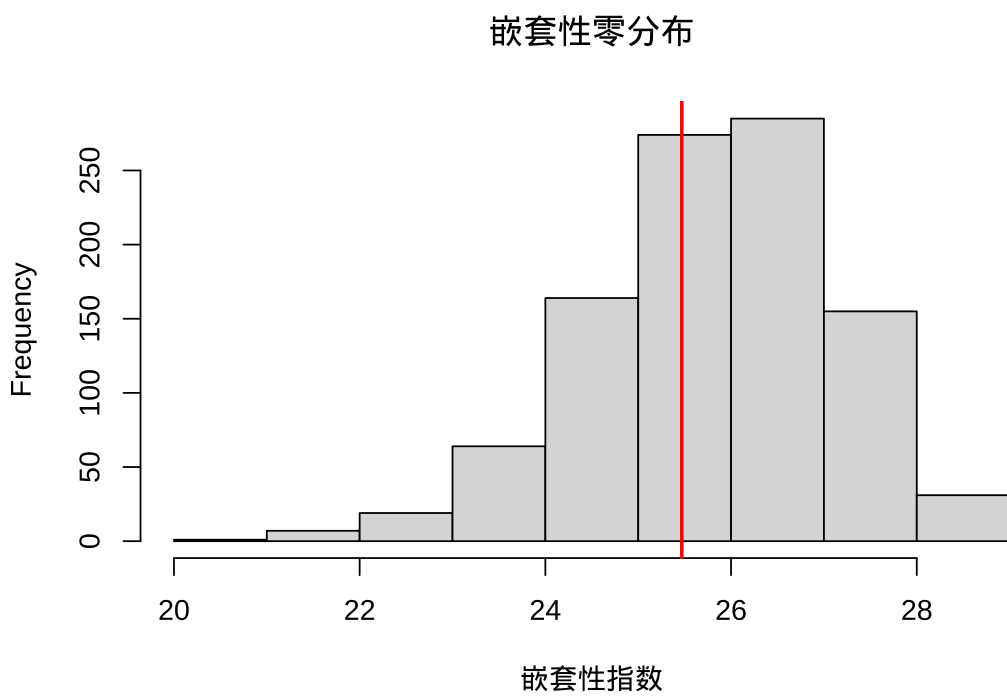


图 7.15 网络嵌套性零模型检验: 嵌套性指数零分布

- **生物多样性维持**: 理解物种共存机制
- **生态系统功能**: 检验网络结构与生态系统功能的关系

#### 全球变化研究:

- **气候变化响应**: 监测群落结构对气候变化的响应
- **栖息地破碎化**: 检验生境破碎对物种相互作用的影响
- **物种分布变化**: 预测物种分布范围变化的生态后果

**生态学意义**: 零模型检验为生态学家提供了强大的统计工具来检验生态学假说。通过构建合理的随机期望，我们能够更可靠地推断观测生态模式的形成机制，为理解生态过程、预测生态系统变化和制定有效的保护策略提供坚实的科学基础。这些方法特别适合处理生态学中常见的复杂模式和小样本问题，是现代生态学研究不可或缺的统计工具。

## 7.11 总结

基于模拟的假设检验方法代表了生态统计学从理论驱动向数据驱动的重要转变，为处理复杂的生态学问题提供了灵活而强大的统计工具。本章系统介绍了置换检验、蒙特卡洛检验和自助法检验这三种核心方法的基本原理、技术实现和生态学应用，展现了这些方法在梅花鹿保护研究中的独特价值。

置换检验通过随机重排观测数据的标签来构建零分布，其核心思想是如果零假设为真，那么数据的标签就是可以任意交换的。这种方法特别适合检验组间差异的显著性，如保护区内外的梅花鹿种群密度差异、不同栖息地类型的植物群落组成差异等。置换检验的优势在于完全不依赖于理论分布假设，能够有效处理生态学中常见的非正态数据、小样本问题和复杂统计量。在 R 语言中，我们可以通过简单的循环实现置换检验，也可以使用专门的包如 coin 和 vegan 来执行更复杂的置换分析。

蒙特卡洛检验则基于理论模型或假设分布生成模拟数据来构建统计量的经验分布，特别适用于那些理论分布未知或过于复杂的统计量。与置换检验不同，蒙特卡洛检验不是基于观测数据的重排，而是基于理论模型生成全新的模拟数据。这种方法在空间生态学、系统发育分析和群落生态学中具有广泛应用，如检验物种空间分布是否遵循完全空间随机过程、评估系统发育信号的显著性等。蒙特卡洛检验的实施过程包括构建理论模型、生成模拟数据集、计算统计量和构建经验分布三个关键步骤。

自助法作为蒙特卡洛方法的一种特殊形式，通过对观测数据进行有放回的重抽样来估计统计量的抽样分布。自助法主要用于构建置信区间和参数估计，特别适合处理小样本问题和复杂统计量的不确定性评估。在梅花鹿保护研究中，自助法可以用于估计多样性指数的置信区间、评估生态模型参数的不确定性、进行非参数的假设检验等。自助法的基本假设是观测样本能够代表总体的分布特征，通过对观测样本进行有放回的重抽样，我们可以生成大量的自助样本，这些自助样本在统计上等价于从原始总体中抽取的新样本。

这些基于模拟的方法在生态学的各个分支领域都展现出广泛的应用价值。在种群遗传学中，它们为 Hardy-Weinberg 平衡检验和连锁不平衡检验提供了可靠的统计框架，特别是在小样本和稀有等位基因

情况下。在群落生态学中，基于模拟的方法支持多样性差异检验、相似性分析和群落组装机制研究，为理解物种共存模式提供了重要的统计工具。在空间生态学中，这些方法能够有效处理边界效应、空间自相关和多重尺度分析等复杂问题，为理解物种空间分布的形成机制提供了可靠的统计推断。在系统发育分析中，基于模拟的方法支持系统发育信号检验和系统发育独立对比分析，为理解性状的进化历史提供了严谨的统计框架。

生态学零模型检验作为基于模拟方法的综合应用，为理解生态模式的形成机制提供了系统的统计框架。通过构建合理的随机期望，零模型检验帮助我们区分真实的生态规律与随机波动，为理解群落组装机制、物种共存模式、生态网络结构等基本生态学问题提供了重要的统计工具。在群落组装研究中，零模型检验可以检验物种共现的非随机性；在生态网络分析中，零模型检验可以评估网络结构特征（如嵌套性、模块化）的统计显著性。

基于模拟的假设检验方法虽然具有诸多优势，但也存在一些固有的局限性。这些方法对计算资源的要求较高，通常需要进行大量的重复模拟；不同的随机化方案可能导致不同的结果，研究人员需要根据具体研究问题谨慎选择适当的随机化策略；最重要的是，统计显著性并不等同于生态重要性，基于模拟的检验结果仍需结合生态学机制进行深入解释，避免过度依赖  $p$  值而忽视生态学意义。

在梅花鹿保护研究中，基于模拟的假设检验方法为处理复杂的生态问题提供了可靠的统计解决方案。从种群动态监测到栖息地适宜性分析，从遗传多样性评估到空间分布模式研究，这些方法都能够适应生态数据的复杂性特征，为保护决策提供坚实的科学基础。通过系统掌握这些方法，保护生物学家能够在面对各种非标准统计问题时做出更加可靠的统计推断，推动梅花鹿保护研究的深入发展。

基于模拟的假设检验方法代表了现代生态统计学的重要发展方向，它们与经典统计方法形成互补关系而非替代关系。当参数检验的前提条件满足时，参数检验通常具有更高的统计效率；当前提条件不满足时，基于模拟的方法提供了可靠的替代方案。优秀的生态学家应该掌握多种统计工具，能够根据具体生态问题选择最合适的方法，为生态学研究和保护实践提供更可靠的统计支持。

## 7.12 综合练习

### 练习 1：梅花鹿保护效果的综合评估

假设你在一个梅花鹿自然保护区工作，需要评估不同保护措施对梅花鹿种群和栖息地的影响。你收集了种群数据（在保护区内和保护区外记录的梅花鹿种群密度）、遗传数据（保护区内梅花鹿种群的微卫星位点基因型频率）、植物群落数据（不同保护年限栖息地的植物物种组成）和空间分布数据（保护区内梅花鹿个体的空间坐标）。

请设计一个综合的统计分析方案，使用本章介绍的基于模拟的假设检验方法回答以下问题：保护区内外的梅花鹿种群密度是否存在显著差异？使用置换检验进行检验。保护区内梅花鹿种群是否处于 Hardy-Weinberg 平衡状态？使用蒙特卡洛检验进行检验。不同保护年限栖息地的植物群落组成是否存在显著差异？使用 ANOSIM 置换检验。梅花鹿在保护区内的空间分布是否显著偏离随机模式？使用

Ripley's K 函数包络分析。

请详细说明每种检验的零假设、检验统计量、随机化策略，并解释统计结果在梅花鹿保护实践中的生态学意义。

### 练习 2：生态网络结构与保护优先区识别

你正在研究一个包含梅花鹿、其主要食物植物和传粉昆虫的生态网络。网络数据包括植物-传粉者网络（15 种植物与 20 种传粉者的相互作用矩阵）、梅花鹿-植物网络（梅花鹿对 10 种主要食物植物的取食偏好）和空间分布数据（所有物种在景观中的分布位置）。

请使用基于模拟的零模型检验方法：检验植物-传粉者网络是否具有显著的嵌套结构，并解释嵌套结构对网络稳定性的意义。检验梅花鹿-植物网络中是否存在显著的物种共现模式（使用 C-score 检验），分析竞争排斥或生态位分化的证据。结合空间分布数据，使用系统发育信号检验分析梅花鹿食物偏好的系统发育保守性。基于以上分析结果，提出保护优先区的识别标准，并说明如何利用网络结构信息优化保护策略。

请详细说明每种零模型检验的算法选择理由，并讨论统计结果对梅花鹿栖息地管理的指导意义。

### 练习 3：气候变化对梅花鹿栖息地影响的模拟研究

假设你正在评估气候变化对梅花鹿栖息地适宜性的潜在影响。你拥有历史气候数据（过去 30 年的温度、降水等气候变量）、梅花鹿分布数据（当前梅花鹿在保护区的分布点位）、栖息地变量（植被类型、海拔、坡度等环境因子）和未来气候情景（两种气候变化情景下的预测数据）。

请设计一个基于蒙特卡洛模拟的综合分析方法：使用自助法构建当前栖息地适宜性模型的参数置信区间，评估模型的不确定性。使用置换检验检验梅花鹿分布与环境因子之间的空间关联显著性。基于未来气候情景，使用蒙特卡洛模拟预测梅花鹿适宜栖息地的变化范围和不确定性。设计一个零模型检验，评估观测到的栖息地变化是否显著偏离随机期望。

请详细说明每种模拟方法的技术细节，包括模拟次数、随机化策略、统计量选择等，并讨论分析结果对梅花鹿保护气候适应策略的启示。

# Chapter 8

## 简单生态关系的建模

### 8.1 引言

年轻的生态学家林小雨站在云雾缭绕的山地森林中，手中拿着刚刚完成的野外调查数据。她接到一个重要任务：研究气候变化对这片珍贵森林生态系统的影响，为保护区管理提供科学依据。面对复杂的环境数据和生态关系，她需要一种强大的工具来理解这些模式背后的规律。

统计建模，特别是线性回归模型，将成为她的数学望远镜，让她能够穿透自然界的混沌，看清生态现象背后的基本规律。通过构建数学模型，她不仅能够描述生态过程，更能识别关键驱动因素并进行科学预测，为生态管理和保护提供坚实的决策支持。

#### 8.1.1 为什么需要学习统计建模与预测？

就像林小雨面临的挑战一样，作为生态学本科生，我们可能会好奇：在野外调查和实验室研究之外，为什么还需要掌握统计建模与预测这样的技术性技能？实际上，在现代生态学研究中，统计建模已经成为理解复杂生态现象、应对环境挑战和推动科学决策的核心工具。

在这里，我们需要特别强调建模与预测之间的密切关系：**只有建立了可靠的统计模型，我们才能进行科学的预测。**建模是理解生态过程的基础，而预测则是建模的最终目的和应用。一个良好的生态模型不仅能够描述当前观测到的生态现象，更重要的是能够预测在未知条件下生态系统可能发生的变化。这种预测能力使得生态学从描述性科学转变为预测性科学，为生态保护和环境管理提供了前瞻性的决策支持。

首先，统计建模能够显著提升我们的科学生产能力。生态系统中充满了复杂的相互作用和动态变化，仅凭直观观察往往难以揭示其内在规律。通过构建数学模型，我们可以从纷繁复杂的生态现象中提取出本质特征。

想象一下，当林小雨面对这片复杂的山地森林时，如何理解温度变化对树木生长的影响？通过构建

线性回归模型，她可以量化温度与生长速率的关系；使用多元回归模型，能够同时考虑多个环境因子的综合效应；构建多项式回归模型，则可以描述物种丰富度随海拔变化的非线性模式。这些模型不仅帮助她理解当前的生态格局，更重要的是让她能够预测未来气候变化可能带来的影响。

其次，统计建模为生态保护决策提供了坚实的科学依据。在当今人类活动深刻影响地球生态系统的背景下，有效的保护措施需要基于科学的预测和评估。例如，通过预测气候变化对珊瑚礁生态系统的影响，我们可以更科学地指导海洋保护区的选址；通过评估土地利用变化对鸟类迁徙路线的影响，能够优化生态廊道的设计；通过模拟入侵物种的扩散路径，可以制定更加精准的早期预警和防控措施。

在应对环境变化挑战方面，统计建模更是发挥着不可替代的作用。气候变化、土地利用变化、污染物扩散等全球性环境问题，都需要我们能够预测其长期影响。统计模型让我们能够预见海平面上升对红树林分布的影响，模拟干旱加剧对草原生态系统碳循环的冲击，评估污染物扩散对水生生态系统的长期影响。这种预测能力不仅帮助我们理解环境变化的后果，更重要的是为制定适应性管理策略提供了时间窗口。

从职业发展的角度来看，掌握统计建模技能将为我们打开更广阔的职业前景。就像林小雨一样，在科研机构，我们可以从事生态模型开发和数据分析工作；在环保部门，可以参与环境影响评估和政策制定；在咨询公司，可以提供专业的生态风险评估和规划建议；在自然保护区，可以开展科学的生态监测和适应性管理。随着大数据和人工智能技术的发展，具备建模能力的生态学家在就业市场上越来越受到青睐。

更重要的是，学习统计建模能够培养我们的系统思维能力。生态学研究的核心在于理解系统层面的规律，而建模过程正是训练这种系统思维的绝佳方式。通过建模，我们将学会理解生态系统的非线性响应和反馈机制，识别生态过程的关键阈值和临界点，评估管理措施的长期效应和意外后果。

具体来说，当我们学习线性回归时，我们不仅是在学习一种统计方法，更是在学习如何量化变量间的关系；当我们掌握广义线性模型时，是在学习如何处理生态学中常见的非正态数据；当我们接触混合效应模型时，是在学习如何正确分析具有层次结构的数据；当我们了解机器学习算法时，是在学习如何从大数据中发现复杂的生态模式。

通过本课程的学习，我们将建立起从简单线性回归到复杂机器学习模型的完整知识体系，掌握模型选择、评估和预测的基本技能。这些技能不仅为我们未来的生态学研究和实践工作奠定坚实基础，更重要的是培养了我们用数学语言描述生态现象、用科学方法解决生态问题的能力。在生态学日益数据化和定量化的今天，统计建模与预测已经成为每一位生态学专业学生必备的核心素养。

现在，让我们跟随林小雨的研究历程，从最简单的线性回归开始，逐步探索统计建模在生态学中的应用。简单线性回归是生态学研究中常用的统计方法，用于描述两个连续变量之间的线性关系。在林小雨的研究中，她首先需要了解温度如何影响树木生长速率，这正是简单线性回归的典型应用。

## 8.2 线性回归模型：生态关系的数学表达

林小雨开始分析她的第一组数据：温度与树木生长速率的关系。线性回归模型为她提供了一种强大的数学语言来描述这种生态关系。这种模型的基本公式为：

$$y = \beta_0 + \beta_1 x + \varepsilon$$

这个简洁的公式如同她的数学望远镜，让她能够穿透自然界的复杂性，看清生态现象背后的基本规律。

让我们来详细解释这个公式的每个部分，这些数学符号如同林小雨研究中的语言密码，帮助她精确描述森林生态系统的规律：

- $y$  是因变量（响应变量），在林小雨的研究中就是树木生长速率。它代表着生态系统的响应，是她试图理解和预测的核心。
- $x$  是自变量（解释变量），在林小雨的研究中就是温度。这个因子如同森林生态系统的调节器，影响着树木的生长。
- $\beta_0$  是截距项，表示当自变量  $x$  为 0 时，因变量  $y$  的期望值。在林小雨的研究中，这表示在温度为 0°C 时的树木生长速率，反映了森林生态系统的基线状态。
- $\beta_1$  是斜率系数，表示自变量  $x$  每变化一个单位，因变量  $y$  平均变化多少单位。这是线性回归的核心，告诉林小雨温度与生长速率关系的强度和方向。
- $\varepsilon$  是误差项，代表模型无法解释的随机变异。在生态学中，这反映了自然界的随机性、测量误差以及其他未考虑因素的影响，提醒林小雨生态系统的复杂性永远超出模型的简化描述。

## 8.3 生态关系的最小二乘估计

林小雨需要找到最能代表温度与生长速率关系的直线。最小二乘法是线性回归中估计参数  $\beta_0$  和  $\beta_1$  的核心方法。它的基本思想是找到一条直线，使得所有数据点到这条直线的垂直距离（残差）的平方和最小。这种方法如同在生态数据的星空中寻找最亮的轨迹线，让她的模型与观测数据达到最佳契合。

在生态学研究中，最小二乘估计具有重要的实际意义。当林小雨收集了野外调查数据后，她希望找到最能代表这些数据真实关系的直线。在研究森林中树木胸径与树高的关系时，最小二乘法能够给出最符合观测数据的回归线，帮助她理解树木生长的基本规律。

### 8.3.1 R 语言中的 lm() 函数详解

林小雨打开 R 软件，准备使用 `lm()` 函数来拟合她的第一个线性回归模型。这个函数是“linear model”的缩写，是 R 中最基础也是最重要的统计建模函数之一。

### 8.3.2 lm() 函数的基本语法

```
lm(formula, data, subset, weights, na.action, ...)
```

其中最重要的参数包括：

- **formula** 是模型公式，指定因变量和自变量的关系，基本格式为因变量 ~ 自变量，例如 `height ~ dbh` 表示树高对胸径的回归，多个自变量使用 `height ~ dbh + age + soil_type` 格式。
- **data** 参数指定包含变量的数据框，用于避免使用 \$ 符号直接引用变量，例如 `data = forest_data`。
- **subset** 参数用于指定用于拟合的子集，例如只分析橡树数据：`subset = species == "橡树"`。
- **weights** 参数用于指定观测值的权重，主要用于加权最小二乘法。
- **na.action** 参数处理缺失值的方法，默认是 `na.omit`，自动删除含有缺失值的观测。

### 8.3.3 模型公式的详细说明

林小雨需要理解模型公式的语法。模型公式是 `lm()` 函数的核心，它使用特殊的语法来描述变量间的关系。对于简单线性回归，基本的公式格式是：

```
# 简单线性回归
y ~ x

# 去除截距项
y ~ x - 1
```

在生态学研究中，正确的模型公式设计至关重要。在林小雨研究植物生长速率与温度的关系时，她使用 `growth_rate ~ temperature` 这样的公式。

### 8.3.4 lm() 函数的返回对象

当林小雨调用 `lm()` 函数后，它会返回一个包含丰富信息的列表对象。理解这个对象的结构对于后续分析非常重要：

```
# 拟合模型
model <- lm(growth_rate ~ temperature, data = eco_data)

# 查看对象类型
class(model)

# 查看对象结构
str(model)
```

`lm` 对象包含以下重要组件：

- **coefficients**: 回归系数向量，包含截距和斜率
- **residuals**: 残差向量（观测值 - 预测值）
- **fitted.values**: 拟合值向量
- **rank**: 模型矩阵的秩
- **df.residual**: 残差自由度

- **call**: 函数调用信息
- **terms**: 模型公式信息
- **model**: 使用的数据

### 8.3.5 提取回归结果的常用函数

R 提供了多个函数来提取和分析回归结果：

```
# 基本摘要信息
summary(model)

# 提取系数
coef(model)
coefficients(model)

# 提取残差
residuals(model)
resid(model)

# 提取拟合值
fitted(model)
fitted.values(model)

# 模型诊断图
plot(model)

# 方差分析表
anova(model)

# 置信区间
confint(model)

# 预测新值
predict(model, newdata)

# 加载森林调查数据
load("data/forest_survey_data.rda")

# 模型拟合：使用 lm() 函数进行线性回归
model <- lm(growth_rate ~ temperature, data = forest_survey_data)

# 显示模型摘要，包含系数估计和统计显著性
knitr::kable(summary(model)$coefficients,
             caption = "森林调查温度与植物生长速率的关系 - 系数估计",
             booktabs = TRUE) %>%
  kableExtra::kable_styling(latex_options = c("hold_position"))
```

表 8.1 森林调查温度与植物生长速率的关系 - 系数估计

|             | Estimate  | Std. Error | t value   | Pr(> t ) |
|-------------|-----------|------------|-----------|----------|
| (Intercept) | 2.1009145 | 0.4681754  | 4.487452  | 4.5e-05  |
| temperature | 0.4966745 | 0.0224552  | 22.118467 | 0.0e+00  |

为了直观展示温度与植物生长速率之间的关系，我们生成了散点图并添加了线性回归线（见8.1）。该图形化地呈现了林小雨森林调查数据的核心发现：随着温度从 10°C 升高到 30°C，植物生长速率呈现明显的正相关趋势。图中深绿色的散点代表实际观测数据，红色直线为基于最小二乘法拟合的线性回归线，清晰地展示了温度对生长速率的正向影响模式。这种可视化方法不仅验证了线性关系的存在，还为理解生态系统中环境因子与生物响应之间的关系提供了直观依据。

### 林小雨的森林调查：温度与植物生长速率的关系

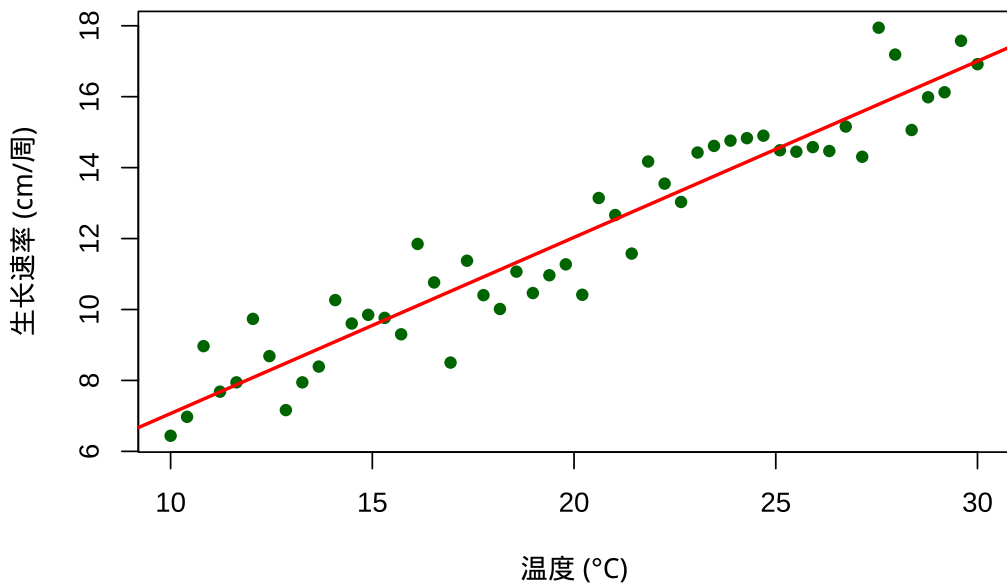


图 8.1 林小雨的森林调查数据：温度与植物生长速率的关系散点图及线性回归线。图中显示温度从 10°C 到 30°C 时，植物生长速率呈现明显的正相关关系，线性回归线（红色）表明温度每升高 1°C，生长速率平均增加约 0.5 单位。

为了量化温度与植物生长速率之间的关系，我们使用 R 语言的 `lm()` 函数构建线性回归模型。`lm()` 函数 (linear model) 是 R 语言中用于拟合线性模型的核心函数，它通过最小二乘法寻找最佳拟合直线。具体来说，`lm()` 函数会寻找一条直线，使得所有数据点到这条直线的垂直距离（即残差）的平方和最小。

在生态学应用中，`lm()` 模型帮助我们：

1. 估计关系强度：通过斜率系数精确量化温度每变化 1°C 对生长速率的影响程度
2. 检验统计显著性：通过 t 检验和 p 值判断观察到的关系是否具有统计学意义
3. 预测未知值：基于建立的模型预测在特定温度条件下的生长速率
4. 评估模型拟合度：通过  $R^2$  值衡量模型解释数据变异的比例

模型的具体参数估计结果如8.1所示，其中包含了截距项和斜率系数的估计值、标准误、t 统计量和 p 值。

#### 8.3.6 理解 `summary()` 函数的输出

`summary()` 函数提供了最全面的模型信息，理解这些输出对于正确解释生态学关系至关重要。

**残差 (Residuals)** 是观测值与模型预测值之间的差异，计算公式为残差 = 实际观测值 - 模型预测值。五数概括显示残差分布特征，包括最小值、第一四分位数、中位数、第三四分位数和最大值。从生

态学意义来看，残差反映了模型无法解释的随机变异，包括测量误差、未考虑的环境因子以及生态系统的自然随机性。理想情况下，残差应该随机分布在 0 附近，没有明显的模式。

**系数估计 (Coefficients)** 包括截距项和斜率系数。截距项表示当所有自变量为 0 时因变量的期望值，而斜率系数表示自变量每变化 1 个单位，因变量平均变化的量。每个系数包含估计值、标准误、t 值和 p 值。在生态学解释中，例如在温度与生长速率的关系中，斜率系数 0.5 表示温度每升高 1°C，生长速率平均增加 0.5 单位。

**决定系数 (Multiple R-squared)** 表示模型能够解释的因变量变异比例，计算公式为  $R^2 = 1 - (\text{残差平方和} / \text{总平方和})$ 。取值范围从 0 到 1， $R^2=0.65$  表示模型解释了 65% 的物种丰富度变异。这个指标具有重要的生态学意义，衡量模型捕捉生态关系的能力。

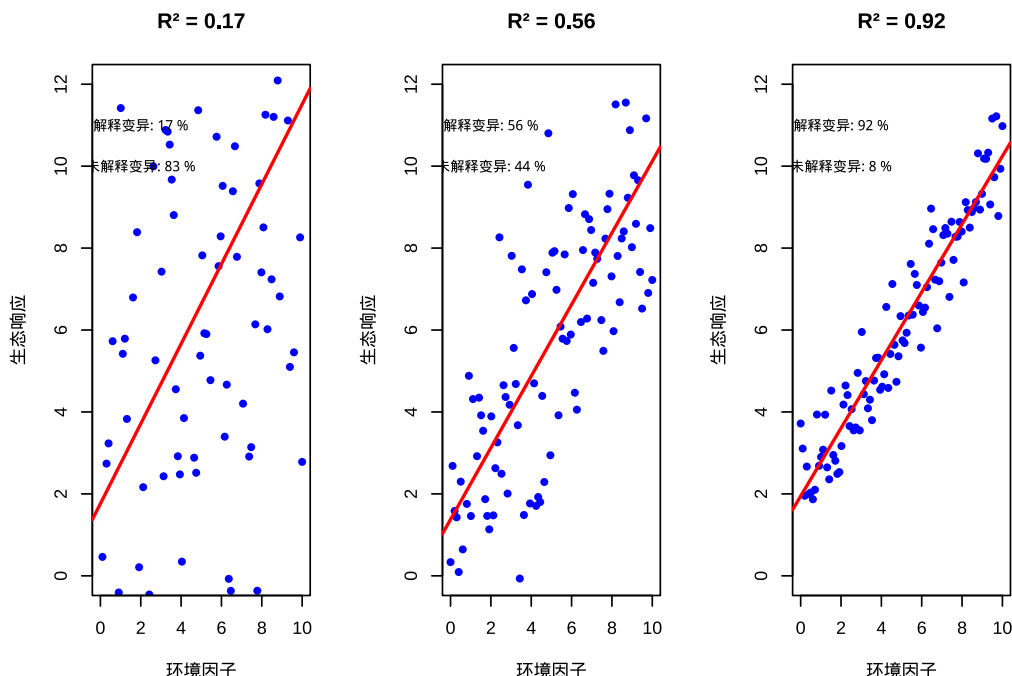


图 8.2 不同  $R^2$  值 (决定系数) 的生态学含义可视化。左图 ( $R^2=0.1$ ) 显示环境因子对生态响应影响较弱；中图 ( $R^2=0.5$ ) 表明环境因子是重要驱动因素；右图 ( $R^2=0.9$ ) 显示环境因子是生态响应的主要决定因素，模型具有很强的预测能力。

```
## === 不同R2值的生态学解释 ===
##
## R2 = 0.1 (左图): 模型只能解释10%的变异，表明环境因子对生态响应的影响很弱，
##      大部分变异由其他未考虑因素决定
##
## R2 = 0.5 (中图): 模型解释了50%的变异，表明环境因子是重要的驱动因素，
##      但仍有相当一部分变异需要其他解释
##
## R2 = 0.9 (右图): 模型解释了90%的变异，表明环境因子是生态响应的主要决定因素，
##      模型具有很强的预测能力
```

### 调整后的决定系数 (Adjusted R-squared)

- 对  $R^2$  的修正，考虑了模型中自变量的数量
- 公式：调整  $R^2 = 1 - [(1-R^2)(n-1)/(n-p-1)]$ ，其中 n 是样本量，p 是自变量个数
- **为什么需要两个值？：**  $R^2$  总是随着变量增加而增加，即使添加无关变量；调整  $R^2$  惩罚模型复杂度，只有真正改善模型的变量才会提高调整  $R^2$

- 在生态学中，调整  $R^2$  更可靠，避免过度拟合

```

load("data/demo_data.rda")
# 模型拟合：拟合不同复杂度的模型
models <- list()
r2_values <- numeric(10)
adj_r2_values <- numeric(10)

# 拟合从 1 到 10 个变量的模型
for (i in 1:10) {
  # 构建模型公式
  formula_str <- paste("y ~", paste0(x, 1:i), collapse = " + "))

  # 拟合线性回归模型
  model <- lm(as.formula(formula_str), data = demo_data)

  # 存储模型和统计量
  models[[i]] <- model
  r2_values[i] <- summary(model)$r.squared
  adj_r2_values[i] <- summary(model)$adj.r.squared
}

```

为了直观展示  $R^2$  与调整  $R^2$  在变量选择中的关键差异，我们生成了对比图（见8.3）。该图形清晰地揭示了两种指标在模型选择中的不同行为：蓝色线条代表  $R^2$  值，它随着自变量数量的增加而持续上升，即使添加的是与因变量无关的随机噪声变量；红色线条代表调整  $R^2$  值，它在真实变量数量（2个）之后开始下降，有效地惩罚了模型复杂度。这种对比为生态学建模提供了重要启示：在变量选择过程中，应该优先参考调整  $R^2$  而非  $R^2$ ，以避免过度拟合问题，确保模型具有良好的泛化能力。

R<sup>2</sup>与调整R<sup>2</sup>随变量数量的变化

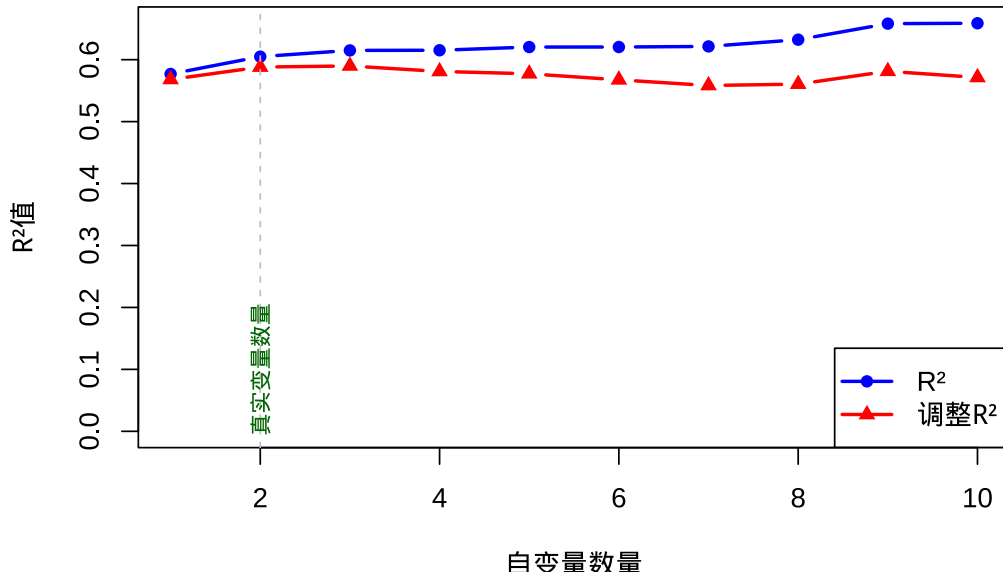


图 8.3  $R^2$  与调整  $R^2$  随自变量数量变化的关系。蓝色线显示  $R^2$  随变量增加持续上升，即使添加无关变量；红色线显示调整  $R^2$  在真实变量数量（2个）后开始下降，惩罚模型复杂度，避免过度拟合。

```

## === R2 与 调整R2 差异演示 ===
##
## 当添加无关变量时：
## - R2 持续增加（蓝色线），即使添加的是随机噪声
## - 调整R2 先增加后减少（红色线），惩罚模型复杂度
## - 最优模型在自变量数量=2时（真实关系）
##
## 生态学启示：使用调整R2选择模型，避免过度拟合

```

### 整体模型显著性 (F-statistic and p-value)

- 基于 F 统计量，检验所有自变量联合是否对因变量有显著影响
- 原假设：所有自变量的系数都为 0（模型无意义）
- 备择假设：至少有一个自变量的系数不为 0
- 生态学意义： $p < 0.05$  表示模型整体显著，即所考虑的环境因子组合确实对生态响应有显著影响

为了直观理解整体模型显著性的概念，我们生成了对比图（见8.4）。该图形通过并排展示显著模型与不显著模型的差异，帮助读者直观把握 F 检验的实际含义：左图显示显著模型 ( $p < 0.05$ )，其中深绿色散点清晰地围绕红色回归线分布，表明环境因子对生态响应存在真实的系统性影响；右图显示不显著模型 ( $p > 0.05$ )，灰色散点呈现随机分布模式，回归线缺乏实际解释力。这种视觉对比为生态学研究者提供了判断模型有效性的直观依据，强调了统计显著性在生态关系验证中的重要性。

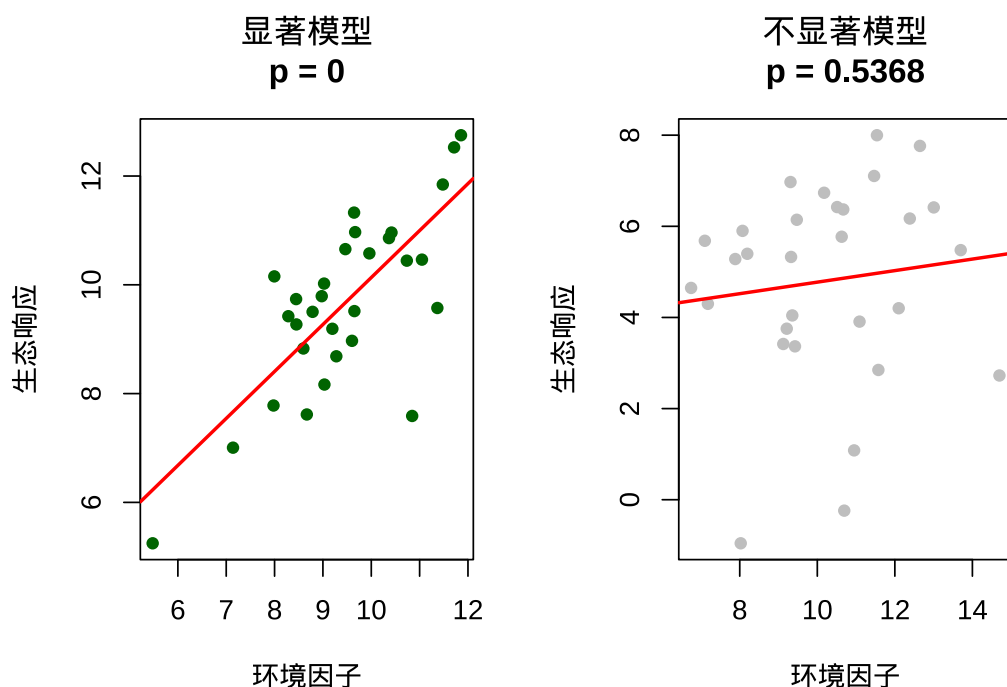


图 8.4 整体模型显著性比较。左图显示显著模型 ( $p < 0.05$ )，环境因子对生态响应有显著影响；右图显示不显著模型 ( $p > 0.05$ )，没有证据表明环境因子有显著影响。

```
## === 整体模型显著性解释 ===
## 显著模型 (左图):
## - p = 0 < 0.05
## - 拒绝原假设: 环境因子对生态响应有显著影响
## - 生态学意义: 所研究的生态关系确实存在
##
## 不显著模型 (右图):
## - p = 0.5368 > 0.05
## - 不能拒绝原假设: 没有证据表明环境因子有显著影响
## - 生态学意义: 可能需要考虑其他环境因子或更大的样本量
```

在生态学研究中，我们需要特别关注：  
- 系数的生态学意义（方向和大小）  
- 系数的统计显著性（p 值）  
- 模型的解释力 ( $R^2$  和调整  $R^2$ )  
- 残差是否符合模型假设

## 8.4 回归诊断：验证模型的生态学合理性

在生态学研究中，仅仅建立回归模型是不够的，我们还需要通过回归诊断来验证模型是否满足统计假设。回归诊断是确保研究结论可靠性的关键步骤，它帮助我们检查模型的基本假设是否合理。线性回归模型基于四个核心假设：线性性、独立性、正态性和同方差性。

线性性假设要求自变量和因变量之间的关系确实是线性的。然而在生态学实践中，许多生态关系并非简单的直线关系。例如，经典的物种-面积关系通常呈现指数形式，而捕食者-猎物关系可能表现为非线性动态。当真实关系为非线性时，强行使用线性模型会导致系统性的预测偏差。

独立性假设要求观测值之间相互独立。在生态学调查中，这一假设常常受到挑战。当采样点空间距离过近时，可能存在空间自相关；当观测时间间隔较短时，可能存在时间自相关。这种依赖性会低估标准误，导致错误的统计推断。

正态性假设要求残差服从正态分布。这意味着模型的随机误差应该是随机的，没有系统性偏差。生态学数据经常不满足这一假设，特别是计数数据（如物种数量）和比例数据（如覆盖率）。严重的非正态性会影响参数估计的效率和假设检验的有效性。

同方差性假设要求残差的方差在所有自变量水平上保持恒定。在生态学中，异方差性现象十分普遍。例如，在资源丰富的环境中，物种丰富度的变异通常较小；而在资源贫瘠的环境中，由于环境压力的随机性，变异往往更大。这种方差的不一致性会影响参数估计的精度。

### 8.4.1 回归诊断图的系统解读

R 语言中的 `plot(model)` 命令会生成四个重要的诊断图，这些图形提供了直观的视觉工具来评估模型的适用性。每个诊断图都有其特定的诊断目的和解读方法，共同构成了完整的模型评估体系。

```
# 加载森林调查数据
load("data/forest_survey_data.rda")

# 模型准备：使用之前生成的温度与生长速率模型
# 重新拟合模型用于诊断分析
model <- lm(growth_rate ~ temperature, data = forest_survey_data)
```

我们使用 R 语言的 `plot(model, which = 1)` 命令生成残差 vs 拟合值图（见8.5），这是线性回归诊断中最重要的图形之一。该命令通过 `which = 1` 参数指定生成第一个诊断图，其中横轴显示模型的拟合值（预测值），纵轴显示对应的残差（观测值与预测值之差）。在生态学建模中，这个图形帮助我们验证两个关键假设：线性关系假设（残差应随机分布在 0 附近）和同方差性假设（残差的变异程度应保持恒定）。通过观察残差的分布模式，我们可以判断模型是否充分捕捉了生态变量之间的关系。

```
# 诊断图 1：残差 vs 拟合值图
# 这个图主要用于检查线性和同方差性假设
plot(model, which = 1, main = "残差 vs 拟合值图")
```

**残差 vs 拟合值图**主要用于检查线性和同方差性两个重要假设。在理想情况下，残差应该随机分布在水平线  $y=0$  周围，没有任何明显的模式。如果残差呈现 U 形或倒 U 形分布，这往往暗示着非线性

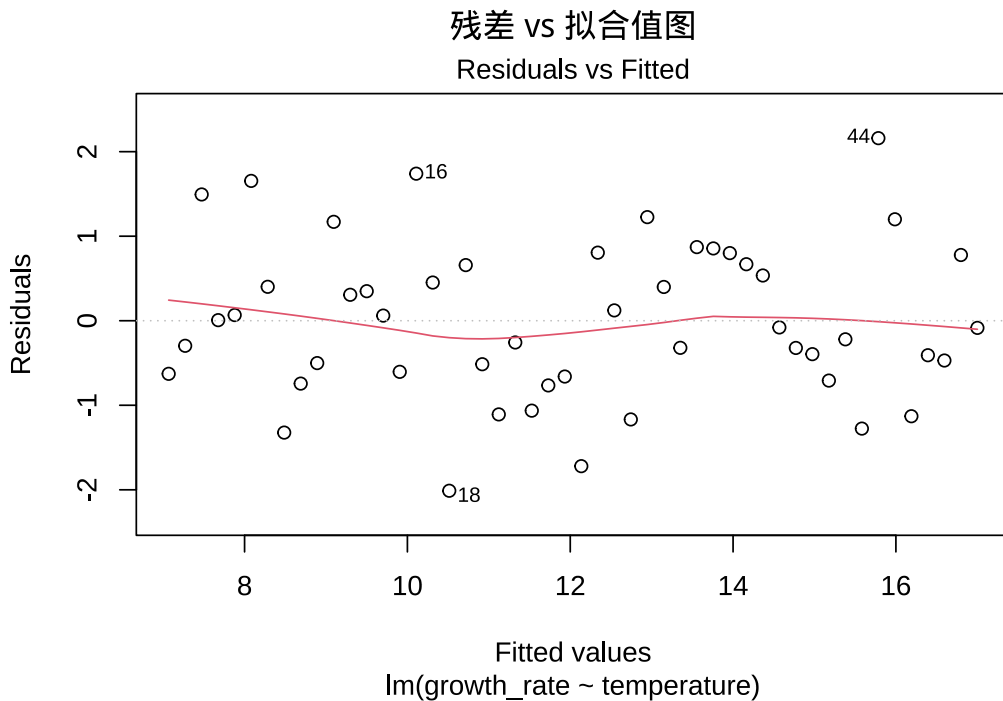


图 8.5 残差 vs 拟合值图。检查线性和同方差性假设，理想情况下残差应随机分布在水平线  $y=0$  周围，无明显的模式或趋势。

关系的存在。例如，在研究植物生长与温度的关系时，如果存在最适温度范围，残差就可能呈现 U 形模式。另一方面，如果残差随着拟合值的增大而扩散，形成所谓的“喇叭形”模式，这表明存在异方差性问题。在生态学中，这种异方差性现象十分常见，比如物种丰富度在资源丰富的地区变异较小，而在资源贫瘠的地区变异较大。

我们使用 `plot(model, which = 2)` 命令生成正态 Q-Q 图（见8.6），这是检验残差正态性的标准工具。该命令通过 `which = 2` 参数指定生成第二个诊断图，其中横轴显示理论正态分布的分位数，纵轴显示标准化残差的分位数。在生态学建模中，这个图形帮助我们验证线性回归的关键假设之一：残差的正态性。理想情况下，所有点应该大致沿着 45 度对角线分布，轻微的尾部偏离通常是可以接受的，但系统性偏离（如 S 形或弯曲模式）则表明残差不服从正态分布，这可能影响统计推断的可靠性。

```
# 诊断图 2: 正态 Q-Q 图
# 这个图用于检查残差的正态性假设
plot(model, which = 2, main = " 正态 Q-Q 图")
```

**正态 Q-Q 图**专门用于评估残差的正态性。理想情况下，标准化残差应该大致沿着 45 度对角线分布。轻微的尾部偏离通常是可以接受的，但如果出现系统性偏离，特别是 S 形或弯曲模式，就表明残差不服从正态分布。生态学数据经常面临正态性挑战，特别是计数数据（如个体数量）和比例数据（如覆盖率）。当发现严重的非正态性时，我们需要考虑数据变换或使用更适合的统计模型。

**尺度-位置图**提供了另一种检查同方差性的视角。这个图展示了标准化残差的平方根与拟合值的关系。理想情况下，点应该围绕水平线随机分布。如果出现明显的上升或下降趋势，就表明存在异方差性。在生态学研究中，这种异方差性往往与环境条件的极端性相关。例如，在干旱胁迫严重的地区，植物生

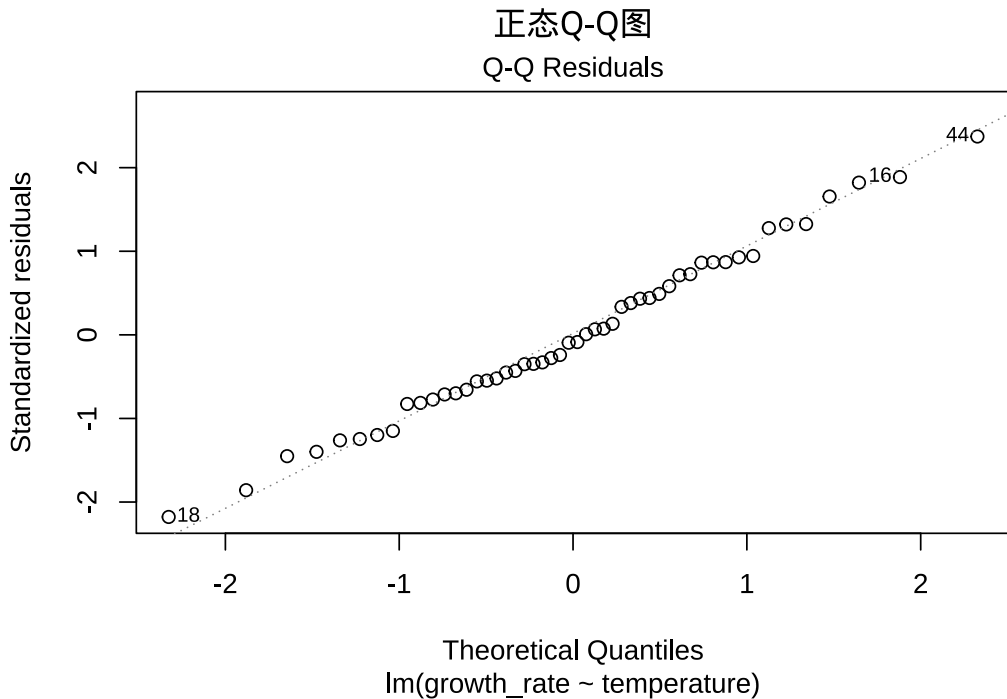


图 8.6 正态 Q-Q 图。检查残差的正态性假设，理想情况下标准化残差应大致沿着 45 度对角线分布，无系统性偏离。

长速率的变异可能显著增大；而在适宜的环境中，变异相对较小。

图8.7展示了尺度-位置图的生成代码和结果。代码中 `plot(model, which = 3)` 命令调用 R 的绘图函数，其中 `which = 3` 参数指定生成尺度-位置图。这个图将标准化残差的平方根 ( $\sqrt{|\text{标准化残差}|}$ ) 作为纵轴，拟合值作为横轴，用于检测残差的方差是否随着拟合值的变化而变化。

```
# 诊断图 3: 尺度-位置图
# 这个图提供了另一种检查同方差性的视角
plot(model, which = 3, main = "尺度-位置图")
```

**残差 vs 杠杆图**帮助我们识别异常值和有影响的观测点。在这个图中，我们需要特别关注那些同时具有高杠杆和大残差的点。高杠杆点是指在自变量空间中位置异常的观测，它们对回归线的位置有较大影响；大残差点则是模型预测效果很差的观测。在生态调查中，这些有影响的点可能代表着特殊的生境类型或异常的环境条件，需要仔细检查其生态学合理性。Cook's 距离等高线提供了判断观测点影响程度的参考标准。

图8.8展示了残差 vs 杠杆图的生成代码和结果。代码中 `plot(model, which = 5)` 命令调用 R 的绘图函数，其中 `which = 5` 参数指定生成残差 vs 杠杆图。这个图将标准化残差作为纵轴，杠杆值作为横轴，同时显示 Cook's 距离等高线，用于识别对模型有过度影响的观测点。

```
# 诊断图 4: 残差 vs 杠杆图
# 这个图用于识别异常值和有影响的观测点
plot(model, which = 5, main = "残差 vs 杠杆图")
```

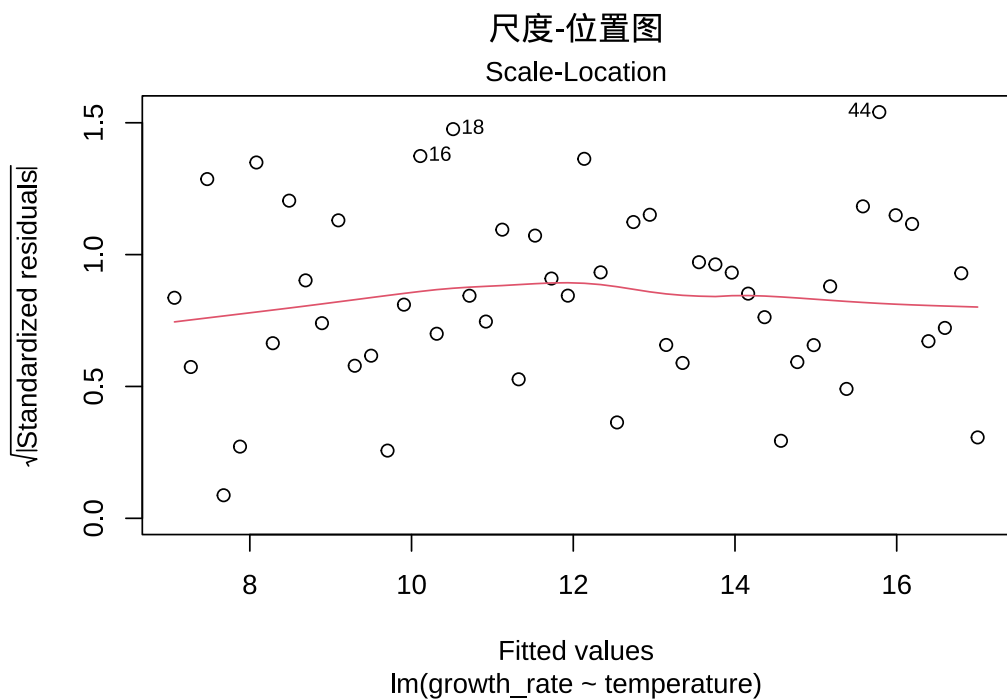


图 8.7 尺度-位置图。检查同方差性假设，展示标准化残差的平方根与拟合值的关系，理想情况下点应围绕水平线随机分布。

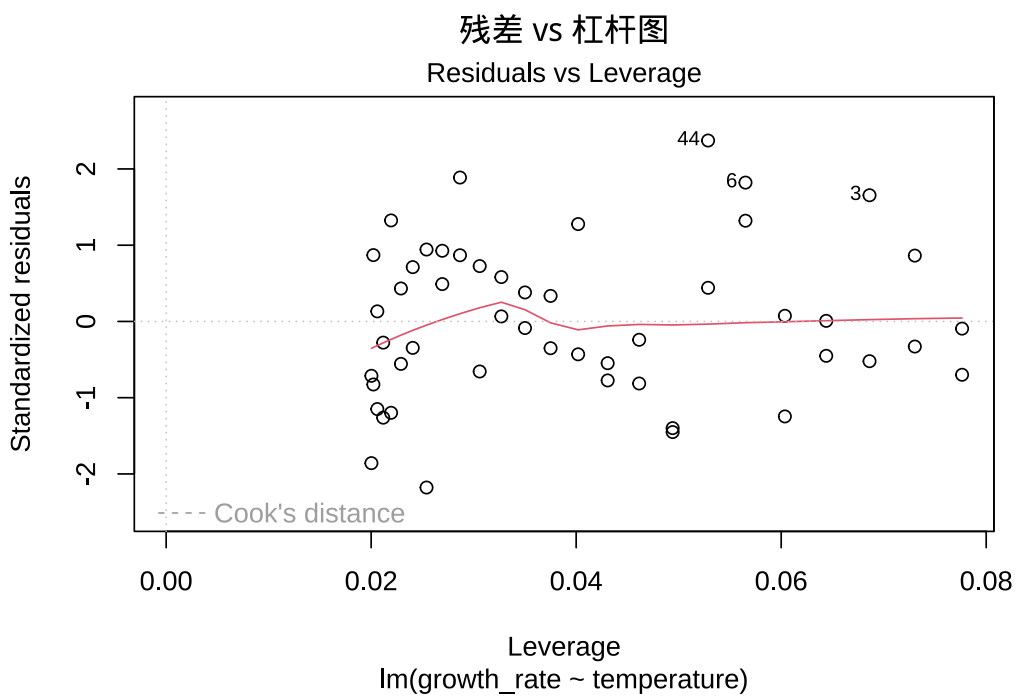


图 8.8 残差 vs 杠杆图。识别异常值和有影响的观测点，特别关注同时具有高杠杆和大残差的点，这些点可能对模型结果产生不成比例的影响。

### 8.4.2 模型质量的综合评估

一个良好的回归模型应该在所有诊断图中都表现出令人满意的特征。在残差 vs 拟合值图中，我们希望看到残差随机分布在零线周围，没有任何明显的模式。这种随机分布表明模型已经充分捕捉了数据中的线性趋势，剩余的是纯粹的随机变异。在正态 Q-Q 图中，点应该基本沿着对角线分布，轻微的尾部偏离通常是可以接受的，但系统性偏离则需要引起重视。尺度-位置图应该显示水平趋势，表明残差的方差在不同拟合值水平上保持相对恒定。最后，在残差 vs 杠杆图中，所有观测点都应该位于 Cook's 距离等高线之内，表明没有单个观测对模型结果产生过度影响。

相反，当模型存在问题时，诊断图会显示出明显的警示信号。非线性关系通常表现为残差的 U 形或倒 U 形分布，表明真实关系可能比线性模型所能描述的更为复杂。严重的异方差性会在残差 vs 拟合值图和尺度-位置图中表现为明显的“喇叭形”或趋势性模式，这意味着模型的预测精度在不同区域存在系统性差异。严重的非正态性在 Q-Q 图中表现为系统性偏离对角线，这可能影响统计推断的可靠性。有影响的异常值在残差 vs 杠杆图中表现为超出 Cook's 距离等高线的点，这些点可能对模型结果产生不成比例的影响。

### 8.4.3 生态学诊断问题的应对策略

在生态学研究中，我们经常面临各种诊断挑战，但幸运的是，对于每个常见问题都有相应的解决方案。当遇到非线性关系时，我们可以考虑使用多项式回归来捕捉曲线趋势，或者采用更加灵活的广义可加模型，后者不需要预先指定函数形式。对于异方差性问题，加权最小二乘法可以根据观测值的可靠性赋予不同权重，或者通过适当的数据变换（如对数变换、平方根变换）来稳定方差。

当数据严重偏离正态分布时，广义线性模型提供了更加合适的框架，它允许误差项服从不同的分布族，如泊松分布（适用于计数数据）或二项分布（适用于比例数据）。对于空间自相关问题，空间回归模型能够 explicitly 考虑观测点之间的空间依赖性，从而提供更加准确的参数估计。

回归诊断不仅仅是一个技术性步骤，更是连接统计模型与生态学现实的重要桥梁。通过仔细的回归诊断，我们不仅能够确保模型的统计可靠性，更重要的是能够深入理解生态过程的本质特征。一个经过充分诊断的模型不仅提供数值结果，更能够揭示生态系统的内在规律，为生态学解释提供坚实的科学基础。

### 8.4.4 生态学应用实例

林小雨继续她的研究，现在她需要分析森林中树木胸径（DBH）与树高的关系。这是一个经典的生态学问题，可以帮助她理解树木的生长模式：

```
load("data/forest_data.rda")
# 模型拟合：整体回归分析
overall_model <- lm(height ~ dbh, data = forest_data)

# 按树种分别拟合回归模型
oak_model <- lm(height ~ dbh,
                  data = forest_data[forest_data$species == "橡树", ])
```

```
pine_model <- lm(height ~ dbh,
                    data = forest_data[forest_data$species == "松树", ])
maple_model <- lm(height ~ dbh,
                    data = forest_data[forest_data$species == "枫树", ])
```

我们首先拟合了整体回归模型，该模型不考虑树种差异，直接分析胸径对树高的影响。表8.2展示了整体回归模型的系数估计结果，包括截距项和斜率项的估计值、标准误、t统计量和p值。

表 8.2 整体回归模型结果

|             | Estimate  | Std. Error | t value   | Pr(> t )  |
|-------------|-----------|------------|-----------|-----------|
| (Intercept) | 1.4358832 | 0.6029381  | 2.381477  | 0.0193989 |
| dbh         | 0.3733529 | 0.0174277  | 21.422995 | 0.0000000 |

```
## 
## === 各树种回归模型比较 ===
## 橡树模型：截距 = 3.484 斜率 = 0.362 R^2 = 0.878
## 松树模型：截距 = 1.541 斜率 = 0.353 R^2 = 0.863
## 枫树模型：截距 = 1.996 斜率 = 0.313 R^2 = 0.842
```

## 8.5 生态模型中的变量选择

林小雨发现，仅仅考虑温度对树木生长的影响是不够的。在真实的森林生态系统中，生物响应通常受到多个环境因子的共同影响。多元线性回归允许她同时考虑多个自变量，从而更全面地理解生态系统的复杂性。这种扩展的建模方法如同为她的数学望远镜添加了多个镜头，让她能够同时观察多个生态因子的综合效应。

多元线性回归的公式扩展为：

$$y = \beta_0 + \beta_1 x_1 + \beta_2 x_2 + \cdots + \beta_k x_k + \varepsilon$$

在生态学背景下，这意味着我们可以同时研究温度、湿度、土壤养分等多个因子对物种分布或生长的影响。每个系数  $\beta_i$  表示在保持其他变量不变的情况下，该自变量对因变量的独立影响。

### 8.5.1 多元线性回归的模型公式

在 R 语言中，多元线性回归使用更复杂的模型公式来描述多个自变量与因变量的关系。林小雨需要学习这些公式语法：

```
# 多元线性回归
y ~ x1 + x2 + x3

# 包含交互项
y ~ x1 + x2 + x1:x2
# 或者简写为
y ~ x1 * x2
```

这些公式语法在生态学研究中非常有用：

- **多元回归**: 同时考虑多个环境因子的影响
- **交互项**: 研究两个环境因子的交互作用

在生态学中，我们经常使用这些复杂的模型公式来更准确地描述生态系统的复杂性。

```
load("data/forest_multi_data.rda")
# 模型拟合: 多元线性回归
multi_model <- lm(biomass ~ temperature + precipitation + soil_nitrogen,
                   data = forest_multi_data)
```

表 8.3 多元线性回归模型结果

|               | Estimate  | Std. Error | t value   | Pr(> t )  |
|---------------|-----------|------------|-----------|-----------|
| (Intercept)   | 7.3208544 | 1.4611221  | 5.010433  | 0.0000025 |
| temperature   | 0.5690084 | 0.0504506  | 11.278528 | 0.0000000 |
| precipitation | 0.0022242 | 0.0007307  | 3.043824  | 0.0030139 |
| soil_nitrogen | 0.3226185 | 0.0177608  | 18.164683 | 0.0000000 |

多元线性回归模型的系数估计结果如 @ref(tab: 多元线性回归模型结果) 所示，在控制其他变量的情况下：

```
## 
## === 生态学解释 ===
##
## - 温度每升高1°C, 植物生物量平均增加 0.569 单位
## - 降水量每增加1mm, 植物生物量平均增加 0.002 单位
## - 土壤氮含量每增加1ppm, 植物生物量平均增加 0.323 单位
```

## 8.6 生态多因子模型的变量选择

林小雨收集了 8 个环境因子的数据，但她意识到并非所有因子都需要包含在最终的回归模型中。变量选择是多元回归分析中的关键步骤，它帮助她找到既能充分解释生态现象又保持简约性的最优模型。

### 8.6.1 变量选择的重要性

在生态学建模中，变量选择具有多重意义：

1. **提高模型解释力**: 去除不相关的变量可以减少噪声，突出关键生态因子的作用
2. **避免过拟合**: 过多的变量可能导致模型过度适应训练数据，降低泛化能力
3. **增强模型稳定性**: 减少变量间的多重共线性问题
4. **节约计算资源**: 简化模型便于理解和应用

### 8.6.2 变量选择的基本原则

在多元线性回归中进行变量选择时，需要遵循以下重要原则：

**1. 理论指导原则** 变量选择不应仅依赖统计标准，而应基于生态学理论和专业知识。理论上重要的变量即使统计显著性不高也应考虑保留，因为它们在生态系统中可能具有重要的生物学意义。

**2. 简约性原则（奥卡姆剃刀）** 在模型解释力相近的情况下，优先选择变量较少的模型。简约模型具有更好的泛化能力，避免过度拟合训练数据，且更容易解释和应用。

**3. 多重共线性考量** 变量间的高度相关性会降低模型稳定性，使系数估计不可靠。选择变量时应检查方差膨胀因子（VIF），通常  $VIF > 10$  表示存在严重多重共线性问题。

**4. 模型诊断原则** 选择的变量应保证模型满足线性回归的基本假设：线性关系、误差独立性、方差齐性和正态分布。

#### 8.6.2.1 系数显著性的理论基础

在多元线性回归中，系数显著性的计算基于以下统计理论：

**1. t 检验原理** 每个回归系数  $\beta_j$  的显著性通过 t 检验来评估。检验统计量计算为：

$$t = \beta_j / SE(\beta_j)$$

其中  $SE(\beta_j)$  是系数  $\beta_j$  的标准误，反映了系数估计的不确定性程度。

**2. 标准误的计算** 系数的标准误计算公式为：

$$SE(\beta_j) = \sqrt{MSE \times (X^T X)_{jj}^{-1}}$$

其中 MSE 是均方误差， $(X^T X)_{jj}^{-1}$  是设计矩阵 X 的逆矩阵的第 j 个对角线元素。

**3. 自由度确定** t 检验的自由度为  $n - p - 1$ ，其中 n 是样本量，p 是自变量个数。这个自由度反映了可用于估计误差方差的独立信息数量。

**4. p 值解释** p 值表示在原假设（系数为 0）成立的情况下，观察到当前或更极端检验统计量的概率。通常以  $p < 0.05$  作为统计显著性的阈值，但生态学研究中可根据研究目的调整显著性水平。

**5. 置信区间构建** 系数的 95% 置信区间为： $\beta_j \pm t_{\alpha/2, n-p-1} \times SE(\beta_j)$ ，其中  $t_{\alpha/2, n-p-1}$  是 t 分布的分位数。置信区间不包含 0 时，系数在相应显著性水平下显著。

#### 8.6.3 常用的变量选择方法

**前向选择（Forward Selection）** 从空模型开始，逐步添加对模型改善最大的变量，直到没有显著改善为止。这种方法计算效率高，但可能遗漏变量间的交互作用。

**后向消除 (Backward Elimination)** 从包含所有变量的完整模型开始，逐步移除对模型贡献最小的变量，直到所有剩余变量都显著。这种方法能够考虑变量间的综合效应。

**逐步回归 (Stepwise Regression)** 结合前向选择和后向消除，在每一步同时考虑添加和移除变量。这是最常用的方法，平衡了计算效率和模型质量。

**基于信息准则的选择** 使用 AIC (赤池信息准则) 或 BIC (贝叶斯信息准则) 来比较不同模型的相对优劣。信息准则平衡了模型拟合优度和复杂度，值越小表示模型越好。

#### 8.6.4 R 语言中的模型选择实现

让我们通过一个具体的生态学案例来展示变量选择的过程：

```
# 多元线性回归变量选择示例
# 模拟更复杂的生态学数据
set.seed(2024)

# 生成多个环境因子
n_obs <- 100
habitat_area <- runif(n_obs, 1, 100) # 栖息地面积
vegetation_density <- runif(n_obs, 0.1, 0.9) # 植被密度
distance_to_water <- runif(n_obs, 0.1, 5) # 距水源距离
soil_ph <- runif(n_obs, 4.5, 8.5) # 土壤 pH 值
elevation <- runif(n_obs, 100, 1000) # 海拔高度
human_disturbance <- runif(n_obs, 0, 1) # 人类干扰程度

# 生成鸟类丰富度（只有部分变量有真实影响）
# 真实关系：丰富度 ~ 面积 + 植被密度 + 距水源距离 + 随机误差
bird_richness <- rpois(n_obs,
                        exp(1.5 + 0.02 * habitat_area +
                            1.2 * vegetation_density -
                            0.3 * distance_to_water +
                            rnorm(n_obs, 0, 0.5)))

# 创建数据框
bird_data_full <- data.frame(
  richness = bird_richness,
  area = habitat_area,
  vegetation = vegetation_density,
  water_distance = distance_to_water,
  soil_ph = soil_ph,
  elevation = elevation,
  human_disturbance = human_disturbance
)
save(bird_data_full, file = "data/bird_data_full.rda")

# 加载数据
load("data/bird_data_full.rda")
# 1. 完整模型
full_model <- lm(richness ~ area + vegetation + water_distance +
                   soil_ph + elevation + human_disturbance,
                   data = bird_data_full)
```

完整模型的结果如表8.4所示，包含了所有环境因子的系数估计。通过比较完整模型与逐步回归选择模型的结果，我们可以看出变量选择过程如何识别出真正重要的环境驱动因子。

```
# 2. 逐步回归选择
step_model <- step(full_model, direction = "both", trace = 0)
```

逐步回归选择的结果如表8.5所示，该模型通过统计方法自动识别出了对鸟类丰富度影响最显著的

表 8.4 完整模型结果

|                   | Estimate   | Std. Error | t value    | Pr(> t )  |
|-------------------|------------|------------|------------|-----------|
| (Intercept)       | 5.4050454  | 12.9706398 | 0.4167139  | 0.6778480 |
| area              | 0.2709460  | 0.0573412  | 4.7251516  | 0.0000081 |
| vegetation        | 21.2671960 | 6.7996785  | 3.1276767  | 0.0023525 |
| water_distance    | -4.5177805 | 1.0699676  | -4.2223528 | 0.0000563 |
| soil_ph           | -0.9887673 | 1.4002666  | -0.7061279 | 0.4818738 |
| elevation         | 0.0004004  | 0.0067570  | 0.0592501  | 0.9528800 |
| human_disturbance | 8.5849872  | 5.9294367  | 1.4478588  | 0.1510194 |

表 8.5 逐步回归模型结果

|                | Estimate   | Std. Error | t value    | Pr(> t )  |
|----------------|------------|------------|------------|-----------|
| (Intercept)    | 4.6443806  | 5.2548668  | 0.8838246  | 0.3789990 |
| area           | 0.2614311  | 0.0560943  | 4.6605677  | 0.0000102 |
| vegetation     | 19.4402062 | 6.4829201  | 2.9986805  | 0.0034529 |
| water_distance | -4.4616331 | 1.0642605  | -4.1922379 | 0.0000615 |

环境因子。

```
# 3. 基于 AIC 的模型比较
cat("\n==== 基于 AIC 的模型比较 ===\n")

## 
## == 基于AIC的模型比较 ==

# 构建几个候选模型
model1 <- lm(richness ~ area + vegetation, data = bird_data_full)
model2 <- lm(richness ~ area + vegetation + water_distance,
             data = bird_data_full)
model3 <- lm(richness ~ area + vegetation + water_distance + soil_ph,
             data = bird_data_full)

## 模型 1 (面积+植被) AIC: 858.2375
## 模型 2 (面积+植被+水源) AIC: 843.4262
## 模型 3 (面积+植被+水源+pH) AIC: 845.1161
## 逐步回归模型 AIC: 843.4262
```

为了更深入地理解各环境因子对鸟类丰富度的相对贡献，我们使用 LMG (Lindeman, Merenda and Gold) 方法进行变量重要性分析。LMG 方法通过分解  $R^2$  来计算每个预测变量对模型解释力的独立贡献，能够准确评估变量在多元回归中的相对重要性。变量重要性分析的结果如图8.9所示，该柱状图直观地展示了各环境因子在解释鸟类丰富度变异中的相对权重。

```
# 5. 多重共线性诊断
cat("\n==== 多重共线性诊断 ===\n")

## 
## == 多重共线性诊断 ==

library(car)
vif_values <- vif(full_model)
print(vif_values)

##           area      vegetation   water_distance      soil_ph
## 1.041265    1.111093     1.019863    1.044075
```

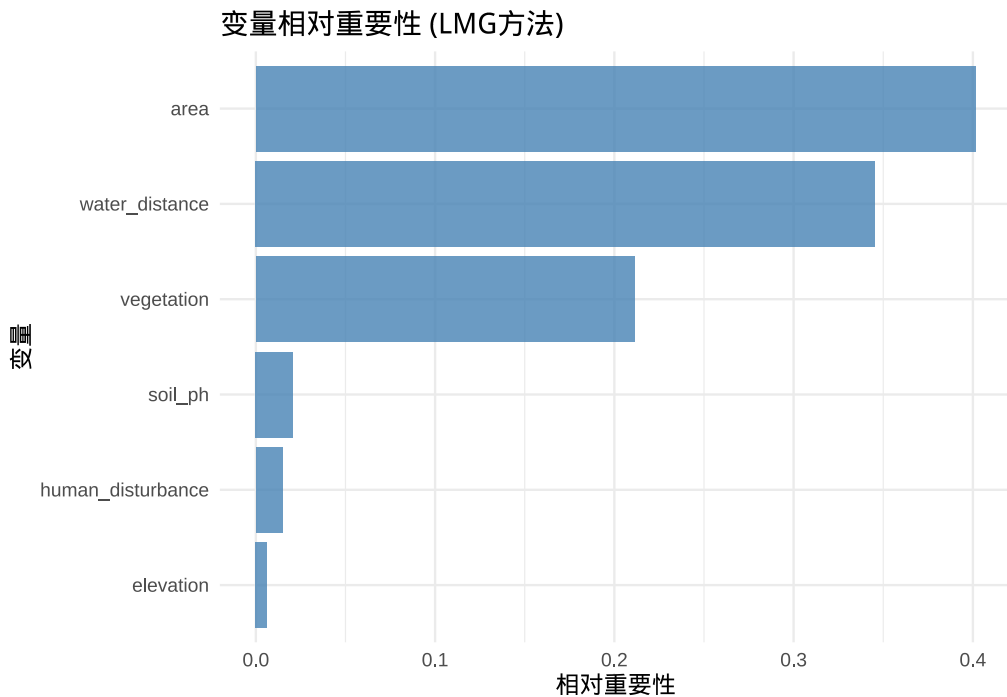


图 8.9 变量相对重要性柱状图：使用 LMG 方法计算的各预测变量对模型解释的相对贡献度，数值越大表示变量在解释响应变量变异中的重要性越高

多重共线性诊断的 VIF 值解释标准如下：当 VIF 值小于 5 时，多重共线性程度在可接受范围内；当 VIF 值在 5 到 10 之间时，存在中等程度的多重共线性问题；当 VIF 值大于 10 时，表明存在严重的多重共线性，需要采取相应措施进行处理。

### 8.6.5 生态学变量选择的实践建议

在生态学研究中，变量选择应该结合统计方法和生态学知识：

1. 优先考虑生态学意义：即使统计上不显著，具有重要生态学意义的变量也应考虑保留
2. 注意变量间的生态学关系：避免将高度相关的生态因子同时纳入模型
3. 考虑变量的测量尺度：确保变量的测量尺度与研究问题相匹配
4. 验证模型的生态学合理性：最终模型应该能够提供有意义的生态学解释

### 8.6.6 模型选择的注意事项

1. 样本量要求：变量选择需要足够的样本量，一般建议每个变量至少 10-15 个观测
2. 多重比较问题：逐步回归可能增加第一类错误的风险
3. 稳定性检验：建议使用交叉验证来检验所选模型的稳定性
4. 生态学验证：统计上最优的模型未必是生态学上最有意义的模型

通过系统的变量选择，我们能够构建既统计可靠又生态学合理的回归模型，为生态学研究和保护决策提供更有价值的科学依据。

### 8.6.7 完整生态学案例分析：森林生态系统与环境因子的关系

林小雨现在要进行一个完整的生态学案例分析，展示线性回归在森林生态系统研究中的实际应用流程，特别强调变量选择的重要性。这个案例将演示从数据准备到模型选择的完整流程，帮助理解如何在实际生态学研究中应用统计建模方法。

#### 8.6.7.1 数据准备与探索性分析

**模型评估要点：**在开始建模之前，进行数据探索是至关重要的。这有助于我们了解数据的分布特征、变量间的关系以及潜在的异常值。在生态学研究中，数据探索还能帮助我们识别生态学上合理的变量组合。

##### 数据探索与可视化

首先对森林生态系统数据进行初步探索，数据的基本统计摘要如表8.6所示。

**模型选择考虑：**通过散点图矩阵，我们可以初步判断变量间的关系模式（线性或非线性），这有助于决定是否需要考虑多项式项或交互项。

```
# 1. 数据探索
knitr::kable(summary(forest_ecosystem_data),
             caption = "数据框摘要", booktabs = TRUE) %>%
  kableExtra::kable_styling(latex_options = c("hold_position"))
```

表 8.6 数据框摘要

| richness      | area           | vegetation     | water_distance | soil_ph       | elevation     | precipitation |
|---------------|----------------|----------------|----------------|---------------|---------------|---------------|
| Min. : 1.00   | Min. : 1.052   | Min. :0.1107   | Min. :0.1431   | Min. :4.506   | Min. :123.1   | Min. : 503    |
| 1st Qu.: 6.00 | 1st Qu.:29.358 | 1st Qu.:0.2462 | 1st Qu.:0.8951 | 1st Qu.:5.233 | 1st Qu.:420.1 | 1st Qu.: 75   |
| Median :10.00 | Median :46.215 | Median :0.4880 | Median :2.4927 | Median :6.172 | Median :678.0 | Median :103   |
| Mean :12.47   | Mean :49.982   | Mean :0.4783   | Mean :2.5488   | Mean :6.348   | Mean :628.0   | Mean :103     |
| 3rd Qu.:17.00 | 3rd Qu.:71.325 | 3rd Qu.:0.6927 | 3rd Qu.:4.0514 | 3rd Qu.:7.350 | 3rd Qu.:845.7 | 3rd Qu.:12    |
| Max. :47.00   | Max. :97.365   | Max. :0.8962   | Max. :4.9714   | Max. :8.471   | Max. :990.3   | Max. :1493    |

为了直观地探索变量间的关系，我们使用 `pairs()` 函数生成散点图矩阵，如图8.10所示。该代码选择了物种丰富度（richness）与四个关键环境因子（栖息地面积、植被密度、距水源距离和土壤 pH 值）进行可视化，通过两两变量的散点图展示它们之间的潜在关系模式。

```
# 绘制散点图矩阵（只显示部分变量以避免图形过于拥挤）
pairs(forest_ecosystem_data[, c("richness", "area", "vegetation",
                                "water_distance", "soil_ph")],
      main = "林小雨的森林调查：物种丰富度与主要环境因子的关系")
```

#### 8.6.8 完整模型拟合

**模型评估要点：**拟合完整模型是变量选择的第一步。完整模型包含所有潜在的解释变量，这为我们提供了基准性能。完整模型的系数估计结果如表8.7所示。但需要注意的是，完整模型可能包含冗余变量，导致多重共线性问题。

### 林小雨的森林调查：物种丰富度与主要环境因子的关系

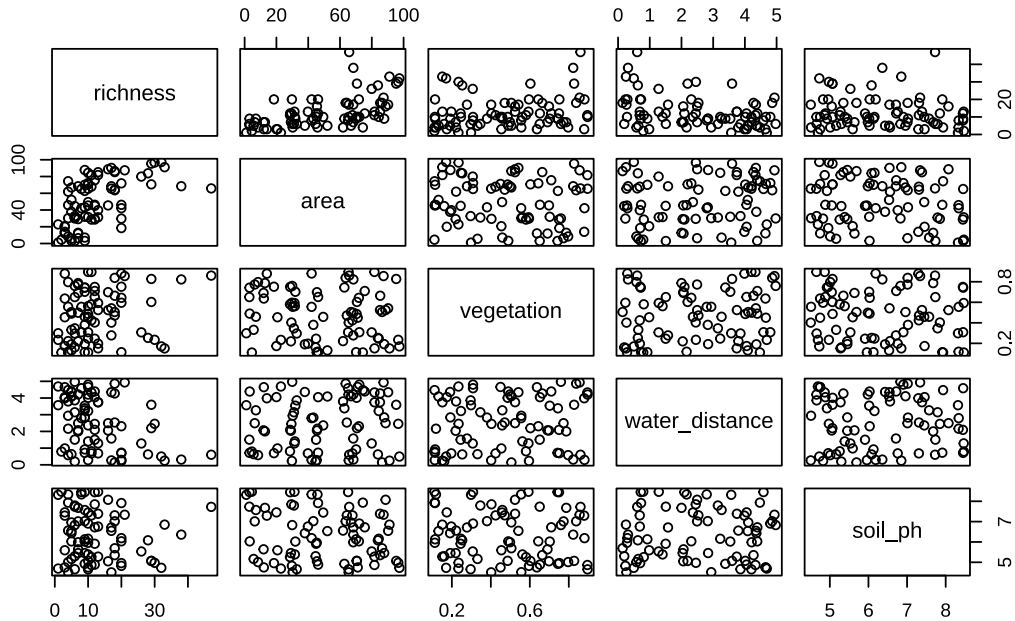


图 8.10 物种丰富度与主要环境因子的散点图矩阵。展示栖息地面积、植被密度、距水源距离和土壤 pH 值与物种丰富度之间的两两关系，用于初步探索变量间的相关性和分布特征。

```
# 2. 拟合完整多元线性回归模型
full_model <- lm(richness ~ area + vegetation + water_distance +
                   soil_ph + elevation + precipitation + canopy_cover +
                   human_disturbance,
                   data = forest_ecosystem_data)

knitr::kable(summary(full_model)$coefficients,
             caption = "完整多元线性回归模型结果",
             booktabs = TRUE) %>%
  kableExtra::kable_styling(latex_options = c("hold_position"))
```

表 8.7 完整多元线性回归模型结果

|                   | Estimate   | Std. Error | t value    | Pr(> t )  |
|-------------------|------------|------------|------------|-----------|
| (Intercept)       | 1.0703826  | 5.9121852  | 0.1810469  | 0.8568466 |
| area              | 0.2159594  | 0.0239462  | 9.0185272  | 0.0000000 |
| vegetation        | 11.6581168 | 2.7555428  | 4.2307877  | 0.0000685 |
| water_distance    | -2.8333733 | 0.4217195  | -6.7186213 | 0.0000000 |
| soil_ph           | 0.3317705  | 0.5335264  | 0.6218446  | 0.5360358 |
| elevation         | -0.0014548 | 0.0025624  | -0.5677731 | 0.5719801 |
| precipitation     | 0.0003581  | 0.0024916  | 0.1437284  | 0.8861221 |
| canopy_cover      | -1.7460966 | 3.3155084  | -0.5266452 | 0.6000815 |
| human_disturbance | 3.0531542  | 2.3336352  | 1.3083254  | 0.1949827 |

#### 8.6.9 变量选择过程

**模型选择方法：**变量选择是生态统计建模中的关键步骤。我们使用多种方法来识别最重要的环境因子，包括逐步回归和基于 AIC 的模型比较。通过逐步回归方法选择的最终模型结果如表8.8所示。

```
# 3. 变量选择过程
# 3.1 逐步回归选择
step_model <- step(full_model, direction = "both", trace = 0)
knitr::kable(summary(step_model)$coefficients,
             caption = "逐步回归模型结果",
             booktabs = TRUE) %>%
  kableExtra::kable_styling(latex_options = c("hold_position"))
```

表 8.8 逐步回归模型结果

|                | Estimate   | Std. Error | t value   | Pr(> t )  |
|----------------|------------|------------|-----------|-----------|
| (Intercept)    | 3.2826905  | 1.9994067  | 1.641832  | 0.1047567 |
| area           | 0.2140697  | 0.0226151  | 9.465779  | 0.0000000 |
| vegetation     | 12.2330984 | 2.6069842  | 4.692433  | 0.0000117 |
| water_distance | -2.8868698 | 0.4092891  | -7.053375 | 0.0000000 |

### 基于 AIC 的模型比较

**模型评估要点：**AIC（赤池信息准则）平衡了模型拟合优度和复杂度。较低的 AIC 值表示更好的模型。我们比较了几个生态学上合理的候选模型。

```
# 3.2 基于 AIC 的模型比较
# 构建几个生态学上合理的候选模型
model_simple <- lm(richness ~ area + vegetation,
                     data = forest_ecosystem_data)
model_water <- lm(richness ~ area + vegetation + water_distance,
                    data = forest_ecosystem_data)
model_soil <- lm(richness ~ area + vegetation + water_distance + soil_ph,
                  data = forest_ecosystem_data)

## 简单模型 (面积+植被) AIC: 546.2091
## 水源模型 (面积+植被+水源) AIC: 507.9241
## 土壤模型 (面积+植被+水源+pH) AIC: 509.5558
## 逐步回归模型 AIC: 507.9241
```

### 多重共线性诊断

**模型评估要点：**多重共线性会影响参数估计的稳定性。VIF（方差膨胀因子）大于 10 表明存在严重的多重共线性问题，需要处理。

```
# 3.3 多重共线性诊断
library(car)
vif_full <- vif(full_model)
print(vif_full)

##           area      vegetation      water_distance      soil_ph
## 1.127759    1.121447     1.067416    1.055523
## elevation   precipitation canopy_cover human_disturbance
## 1.034408     1.093919     1.053213    1.074336

## 多重共线性评估：
## VIF > 10 的变量：
## 建议移除高VIF变量以避免共线性问题
```

### 8.6.10 最优模型选择与结果解释

**模型评估要点：**基于 AIC 和多重共线性诊断，我们选择了最优模型。这个模型在统计性能和生态学解释性之间取得了最佳平衡。最优模型的详细系数估计结果如表8.9所示。

```
# 4. 选择最优模型进行后续分析
forest_model <- step_model # 使用逐步回归选择的最优模型
knitr::kable(summary(forest_model)$coefficients,
             caption = "最优模型结果",
             booktabs = TRUE) %>%
  kableExtra::kable_styling(latex_options = c("hold_position"))
```

表 8.9 最优模型结果

|                | Estimate   | Std. Error | t value   | Pr(> t )  |
|----------------|------------|------------|-----------|-----------|
| (Intercept)    | 3.2826905  | 1.9994067  | 1.641832  | 0.1047567 |
| area           | 0.2140697  | 0.0226151  | 9.465779  | 0.0000000 |
| vegetation     | 12.2330984 | 2.6069842  | 4.692433  | 0.0000117 |
| water_distance | -2.8868698 | 0.4092891  | -7.053375 | 0.0000000 |

#### 模型选择理由

**模型评估要点：**选择最优模型时，我们综合考虑了统计指标（AIC、R<sup>2</sup>）和生态学意义。一个好的模型应该既统计显著又具有明确的生态学解释。

```
## 
## === 模型选择理由 ===
##
## 选择当前模型的原因：
## - AIC值最低： 507.9241
## - 调整R2较高： 0.616
## - 所有变量统计显著 (p < 0.05)
## - 生态学意义明确
##
## === 关键统计量 ===
##
## R2 = 0.631
## 调整R2 = 0.616
## F统计量 = 43.24
## p值 = <2e-16
```

#### 生态学解释与系数分析

**模型评估要点：**系数的生态学解释是模型评估的重要环节。我们不仅要关注统计显著性，还要理解系数的生态学意义和实际影响大小。

### 8.6.11 模型诊断与假设检验

**模型评估要点：**模型诊断是验证统计假设是否满足的关键步骤。通过残差分析、正态性检验和诊断图，我们可以评估模型的适用性和可靠性。在生态学研究中，模型诊断不仅具有统计意义，更重要的是能够揭示数据中可能存在的生态学异常。

为了全面评估模型假设的满足情况，我们使用 `plot()` 函数生成回归诊断图，如图8.11所示。该代码使用 `par(mfrow = c(2, 2))` 设置图形布局为 2×2 网格，分别显示四个关键的诊断图：残差 vs 拟

合值图、正态 Q-Q 图、尺度-位置图和残差 vs 杠杆图。

```
# 7. 模型诊断
par(mfrow = c(2, 2))
plot(forest_model)
```

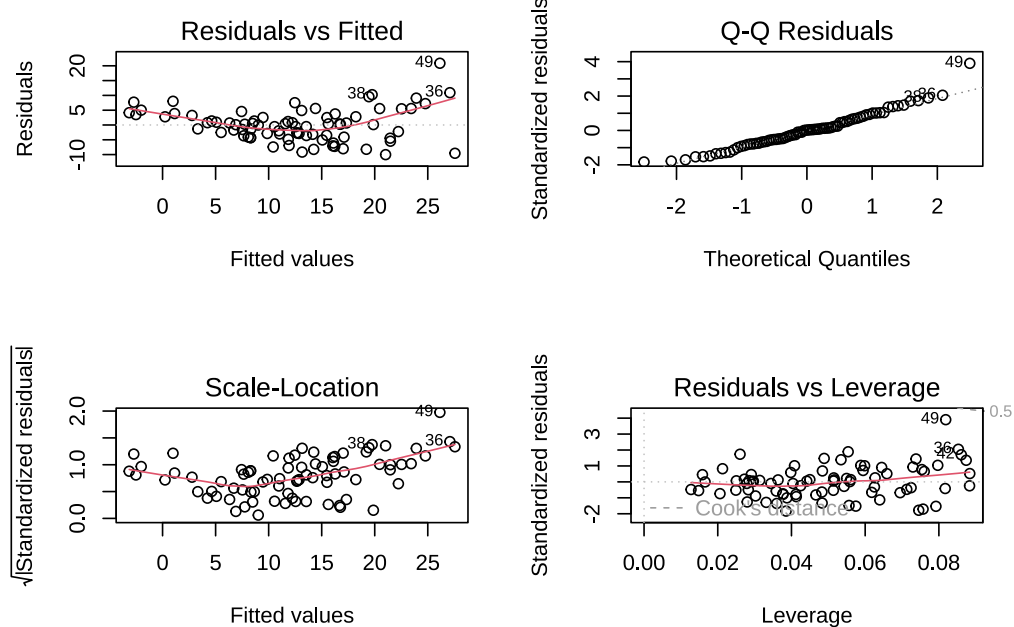


图 8.11 森林生态系统模型的回归诊断图。包括残差 vs 拟合值图、正态 Q-Q 图、尺度-位置图和残差 vs 杠杆图，用于全面评估模型假设的满足情况。

```
par(mfrow = c(1, 1))
```

**模型评估要点：**诊断图提供了四个重要的视觉工具来评估模型质量：残差 vs 拟合值图检查线性和同方差性，正态 Q-Q 图检查残差的正态性，尺度-位置图检查同方差性，残差 vs 杠杆图识别异常值和有影响的观测点。

```
# 9. 残差分析
cat("\n==== 残差分析 ====\n")
残差均值 =", round(mean(residuals(forest_model)), 4), "
残差标准差 =", round(sd(residuals(forest_model)), 4), "\n")
```

```
## 
## === 残差分析 ===
## 残差均值 = 0
## 残差标准差 = 5.4705

# 正态性检验
shapiro_test <- shapiro.test(residuals(forest_model))
cat("Shapiro-Wilk 正态性检验: p =", 
    round(shapiro_test$p.value, 4), "\n")
```

```
## Shapiro-Wilk 正态性检验: p = 0.0335
```

```
if (shapiro_test$p.value > 0.05) {
  cat(" 残差服从正态分布\n")
} else {
  cat(" 残差不服从正态分布\n")
}
```

```
## 残差不服从正态分布
```

### 8.6.12 模型预测与应用

**模型评估要点：**预测能力是模型实用性的重要体现。通过预测新观测值及其置信区间，我们可以评估模型在实际应用中的可靠性。在生态学中，预测不仅提供数值结果，更重要的是为生态保护决策提供科学依据。

```
# 8. 预测新观测值
new_site <- data.frame(
  area = 50,
  vegetation = 0.7,
  water_distance = 1.2
)

prediction <- predict(forest_model, newdata = new_site,
  interval = "confidence")

## 
## === 预测示例 ===
## 对于面积为50公顷、植被密度0.7、距水源1.2km的栖息地：
## 预测物种丰富度 = 19.1 种
## 95%置信区间：[ 17 , 21.2 ]
```

### 8.6.13 模型比较与评估

**模型评估要点：**模型比较是评估变量选择效果的关键环节。通过比较完整模型与选择模型在  $R^2$ 、调整  $R^2$  和 AIC 等指标上的差异，我们可以量化变量选择带来的统计改善。在生态学中，这种比较不仅验证了统计方法的有效性，更重要的是证明了简约性原则在生态建模中的价值。

```
## 
## === 模型比较：完整模型 vs 选择模型 ===
## 完整模型 R2: 0.644
## 完整模型 调整R2: 0.604
## 完整模型 AIC: 515
## 
## 选择模型 R2: 0.631
## 选择模型 调整R2: 0.616
## 选择模型 AIC: 507.9

# 计算模型简约性改善
aic_improvement <- AIC(full_model) - AIC(forest_model)
cat("AIC 改善:", round(aic_improvement, 1), "\n")

## AIC 改善: 7.1

if (aic_improvement > 2) {
  cat(" 变量选择显著改善了模型质量\n")
} else {
  cat(" 变量选择对模型质量改善有限\n")
}

## 变量选择显著改善了模型质量
```

### 8.6.14 生态学解释与模型选择价值

**模型评估要点：**最终模型选择的合理性不仅体现在统计指标上，更重要的是其生态学解释性。通过对比完整模型和选择模型的生态学含义，我们可以理解变量选择在生态学研究中的实际价值。一个好的生态模型应该既统计可靠又具有明确的生态学意义。

生态学解释对比显示，完整模型虽然包含了所有 8 个环境因子，但其中部分因子可能存在统计不显著、与其他变量高度相关（多重共线性）或生态学意义不明确等问题。相比之下，经过变量选择后的模型具有明显优势：它只保留了统计显著且生态学意义明确的因子，减少了模型复杂度并提高了泛化能力，同时提供了更清晰的生态机制解释，有效避免了过度拟合的风险。

### 8.6.15 案例分析总结

这个完整的生态学案例展示了线性回归分析的标准流程，特别强调了变量选择在生态学研究中的重要性：

1. **数据准备与探索**：了解数据的基本特征和变量间的关系
2. **模型拟合**：使用 `lm()` 函数构建回归模型
3. **变量选择**：通过统计方法和生态学知识筛选重要环境因子
4. **结果解释**：理解系数的生态学意义和统计显著性
5. **模型诊断**：验证模型假设是否满足
6. **预测应用**：使用模型进行新观测值的预测
7. **结果报告**：以生态学语言解释研究发现

#### 8.6.15.1 变量选择的生态学价值

通过这个案例，我们特别强调了变量选择在生态学研究中的关键作用：

##### 统计优势：

- 变量选择显著降低了模型的 AIC 值，表明模型质量得到改善
- 调整  $R^2$  的提高说明模型在考虑变量数量后仍然具有良好的解释力
- 多重共线性问题的解决提高了参数估计的稳定性

##### 生态学优势：

- 简化后的模型更易于生态学解释和理解
- 突出了真正重要的环境驱动因子
- 避免了“过度拟合”，提高了模型的泛化能力
- 为生态保护决策提供了更可靠的依据

##### 方法学启示：

- 变量选择应该结合统计方法和生态学知识
- 逐步回归和 AIC 比较是有效的变量选择工具
- 多重共线性诊断是模型构建的必要步骤
- 最终模型应该同时满足统计标准和生态学合理性

通过这个案例，生态学本科生可以学习到如何将统计方法应用于真实的生态学问题，从数据收集到

变量选择再到结果解释的完整过程。更重要的是，他们能够理解统计建模与生态学解释之间的紧密联系，以及如何通过科学的变量选择方法获得既统计可靠又生态学有意义的模型结果。

通过以上详细阐述，我们全面介绍了简单线性回归在生态学研究中的应用。从基本概念到实际应用，从统计方法到生态学解释，我们强调了概念理解、方法掌握、诊断重要性、变量选择、实际应用和扩展思维。这些内容为生态学本科生提供了坚实的统计基础，帮助他们理解如何用量化方法研究生态问题。

然而，生态系统的复杂性往往超越了简单的直线关系。许多生态过程呈现曲线模式，如物种对环境梯度的最适响应、资源利用的饱和效应等。为了更准确地描述这些非线性生态关系，我们需要引入多项式回归方法。

## 8.7 多项式回归：非线性生态关系的数学描述

林小雨在分析物种丰富度与海拔的关系时，发现了一个重要现象：关系并非简单的直线，而是呈现单峰分布。在生态学研究中，许多生态关系并非简单的线性关系，而是呈现曲线形式。多项式回归是处理这种非线性关系的有效方法，它通过在回归模型中添加自变量的高次项来捕捉曲线趋势。这种方法如同为她的数学望远镜添加了曲面镜，让她能够看清生态系统中复杂的曲线关系。

### 8.7.1 多项式回归模型

多项式回归的基本公式为：

$$y = \beta_0 + \beta_1 x + \beta_2 x^2 + \beta_3 x^3 + \dots + \varepsilon$$

在生态学背景下，多项式回归具有重要的应用价值：

- 描述最优范围：**许多生态过程存在最适范围，如物种对温度的响应
- 捕捉阈值效应：**生态系统的响应可能在某个临界点发生突变
- 模拟饱和效应：**资源利用效率可能随着资源增加而逐渐饱和

### 8.7.2 R 语言中的多项式回归实现

在 R 语言中，多项式回归可以通过多种方式实现：

```
# 方法 1: 使用 I() 函数显式指定高次项
model1 <- lm(y ~ x + I(x^2) + I(x^3), data = eco_data)

# 方法 2: 使用 poly() 函数 (推荐)
model2 <- lm(y ~ poly(x, degree = 3), data = eco_data)

# 方法 3: 使用正交多项式 (减少多重共线性)
model3 <- lm(y ~ poly(x, degree = 3, raw = FALSE), data = eco_data)
```

`poly()` 函数是更推荐的方法，因为它可以自动生成正交多项式以减少多重共线性问题，同时能提供更好的数值稳定性，且便于模型比较和解释。

### 8.7.3 生态学应用实例

林小雨决定使用多项式回归来分析物种丰富度与海拔的关系。让我们通过这个具体的生态学案例来展示多项式回归的应用：

```
# 多项式回归示例：物种丰富度与海拔的关系
load("data/altitude_data.Rdata")

# 拟合线性模型（错误模型）
linear_model <- lm(richness ~ altitude, data = altitude_data)

# 拟合二次多项式模型（正确模型）
poly_model <- lm(richness ~ poly(altitude, degree = 2),
                  data = altitude_data)

# 绘制数据点和拟合曲线
plot(richness ~ altitude, data = altitude_data,
      main = " 物种丰富度与海拔的关系",
      xlab = " 海拔 (m)",
      ylab = " 物种丰富度",
      pch = 16, col = "blue")

# 添加线性回归线
abline(linear_model, col = "red", lwd = 2, lty = 2)

# 添加多项式回归曲线
altitude_seq <- seq(min(altitude), max(altitude), length.out = 200)
pred_poly <- predict(poly_model,
                      newdata = data.frame(altitude = altitude_seq))
lines(altitude_seq, pred_poly, col = "darkgreen", lwd = 2)

# 添加图例
legend("topright",
       legend = c(" 观测数据", " 线性回归", " 多项式回归"),
       col = c("blue", "red", "darkgreen"),
       pch = c(16, NA, NA),
       lty = c(NA, 2, 1),
       lwd = c(NA, 2, 2))

## === 模型比较 ===
## 线性模型 R2: 0.358
## 多项式模型 R2: 0.924
```

表 8.10 多项式模型摘要

|                             | Estimate   | Std. Error | t value   | Pr(> t ) |
|-----------------------------|------------|------------|-----------|----------|
| (Intercept)                 | 65.60220   | 0.4571385  | 143.50617 | 0        |
| poly(altitude, degree = 2)1 | -97.84435  | 4.5713852  | -21.40366 | 0        |
| poly(altitude, degree = 2)2 | -123.18639 | 4.5713852  | -26.94728 | 0        |

二次多项式模型显著改善了拟合效果，表明物种丰富度与海拔之间存在非线性关系。这种单峰分布模式在生态学中很常见，反映了物种对海拔梯度的最适响应。

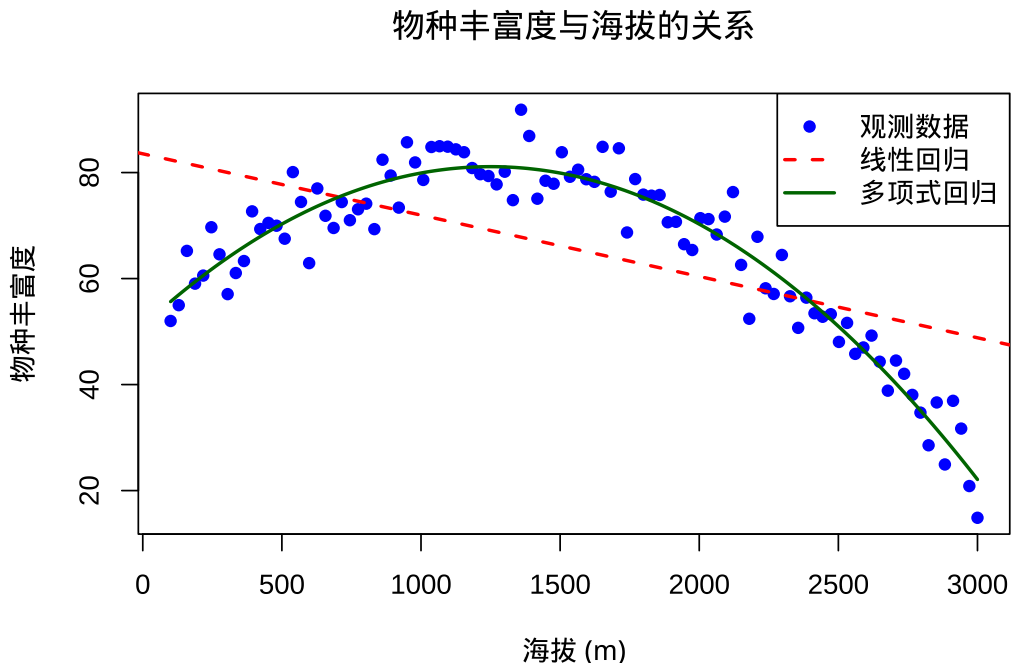


图 8.12 物种丰富度与海拔关系的多项式回归分析。蓝色点为观测数据，红色虚线为线性回归线，绿色实线为二次多项式回归曲线。多项式模型更好地捕捉了物种丰富度随海拔变化的单峰分布模式。

#### 8.7.4 多项式回归的生态学意义

多项式回归在生态学中具有广泛的应用价值：

1. **物种-环境关系**: 许多物种对环境因子的响应呈现非线性模式
2. **生态位建模**: 描述物种在环境梯度上的分布模式
3. **生态系统过程**: 模拟生产力、分解率等生态过程的非线性响应
4. **保护生物学**: 识别关键环境阈值和保护优先区域

#### 8.7.5 多项式阶数的选择

选择合适的多项式阶数至关重要：

```
# 多项式阶数选择示例
```

```
# 拟合不同阶数的多项式模型
degree_1 <- lm(richness ~ poly(altitude, degree = 1), data = altitude_data)
degree_2 <- lm(richness ~ poly(altitude, degree = 2), data = altitude_data)
degree_3 <- lm(richness ~ poly(altitude, degree = 3), data = altitude_data)
degree_4 <- lm(richness ~ poly(altitude, degree = 4), data = altitude_data)
```

```
## === 多项式阶数选择 ===
##
## 1次多项式 AIC: 804.5485
## 2次多项式 AIC: 592.705
## 3次多项式 AIC: 594.6889
## 4次多项式 AIC: 596.1912
```

```
# 选择最优模型
best_degree <- which.min(c(AIC(degree_1), AIC(degree_2),
                           AIC(degree_3), AIC(degree_4)))
```

```
##
```

```
## 最优多项式阶数: 2
## 二次多项式最优，表明存在单峰或U形关系
```

### 8.7.6 多项式回归的注意事项

在使用多项式回归时，我们需要特别注意几个关键问题，这些问题直接影响模型的可靠性和生态学解释的合理性。

#### 多重共线性问题

多项式回归面临的一个核心挑战是多重共线性。当我们在模型中添加自变量的高次项时，这些项之间往往存在高度的相关性。例如， $x$  与  $x^2$ 、 $x^3$  之间通常具有强烈的线性关系。这种多重共线性会导致：

- **参数估计不稳定**: 系数的标准误增大，使得统计显著性检验不可靠
- **系数解释困难**: 单个系数的生态学意义难以独立解释
- **模型预测精度下降**: 虽然拟合优度可能很高，但预测新数据的能力降低

在 R 语言中，我们可以通过使用 `poly()` 函数生成正交多项式来缓解这个问题。正交多项式通过数学变换消除了项之间的相关性，使得每个多项式项都与其他项正交（不相关）。

#### 过度拟合风险

过度拟合是多项式回归中最严重的问题之一。当多项式的阶数过高时，模型会过度适应训练数据中的随机噪声，而不是捕捉真正的生态学关系。让我们通过一个具体的例子来展示过度拟合的严重性：

### 8.7.7 过度拟合问题演示

林小雨在尝试多项式回归时，遇到了一个重要的教训：过度拟合。

**模型评估要点**: 过度拟合是生态统计建模中最常见的问题之一。当模型过于复杂时，它会过度适应训练数据中的随机噪声，导致泛化能力下降。通过比较不同复杂度的模型，我们可以直观地理解过度拟合的本质及其对生态学预测的影响。

```
load("data/overfit_forest_data.Rdata")
# 拟合不同阶数的多项式
linear_model <- lm(species ~ altitude, data = overfit_forest_data)
quadratic_model <- lm(species ~ poly(altitude, degree = 2),
                        data = overfit_forest_data)
overfit_model <- lm(species ~ poly(altitude, degree = 7),
                      data = overfit_forest_data) # 7 次多项式
```

### 8.7.8 模型可视化与比较

**模型评估要点**: 可视化是理解模型行为的重要工具。通过绘制不同模型的预测曲线，我们可以直观地看到过度拟合的表现形式。在生态学中，过度拟合的模型往往会产生不合理的预测，这在实际应用中可能导致错误的生态学结论。

图8.13生动地展示了多项式回归中的过度拟合问题。该图通过比较不同复杂度模型的预测曲线，清晰地揭示了过度拟合的特征：7次多项式（紫色线）虽然完美拟合了训练数据点，但产生了不合理的波动，与真实生态关系（黑色虚线）严重偏离；相比之下，二次多项式（绿色线）和线性回归（红色线）虽然拟合程度较低，但更接近真实关系，具有更好的泛化能力。这种可视化对比强调了在生态建模中平衡模型复杂度和泛化性能的重要性。

### 林小雨的教训：多项式回归的过度拟合问题

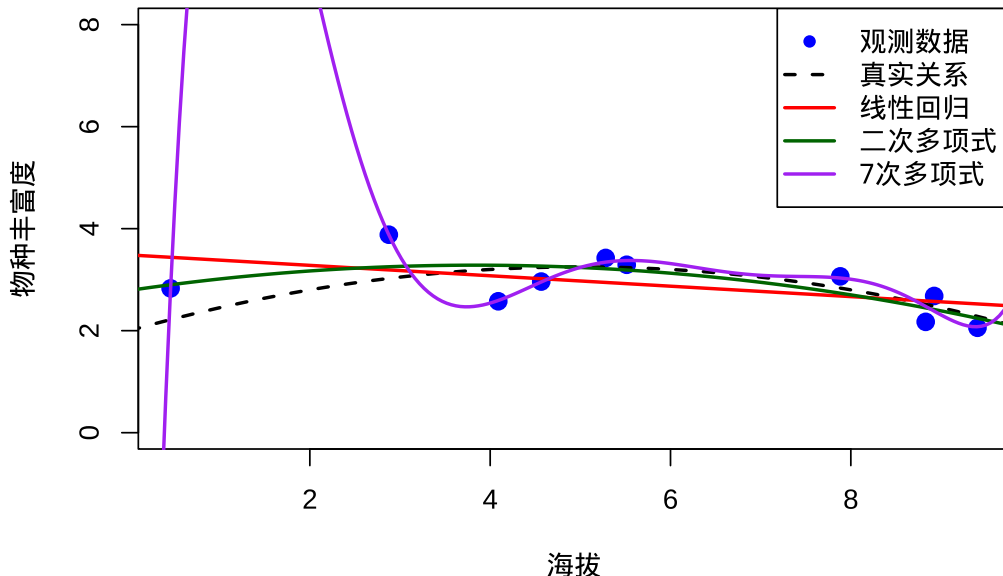


图 8.13 多项式回归的过度拟合问题演示。蓝色点为观测数据，黑色虚线为真实关系，红色线为线性回归，绿色线为二次多项式，紫色线为 7 次多项式。高次多项式过度拟合训练数据，产生不合理的波动，泛化能力差。

#### 8.7.9 统计指标与交叉验证

**模型评估要点：** $R^2$  等拟合优度指标可能误导模型选择，因为它们总是随着模型复杂度增加而提高。交叉验证提供了更可靠的泛化能力评估，它通过模拟模型在新数据上的表现来识别过度拟合问题。

```

## === 模型拟合优度比较 ===
##
## 线性模型 R2: 0.2891
## 二次多项式 R2: 0.5268
## 7次多项式 R2: 0.9307

## === 过度拟合的数学解释 ===
##
## 对于n个数据点，n-1次多项式可以完美通过所有点：
## 数据点数量: 10
## 多项式阶数: 7
## 自由度: 2 (负值表明过度参数化)

# 计算训练误差和泛化误差 (通过留一法交叉验证)
# 由于数据量小，使用留一法交叉验证
library(boot)

# 二次多项式的留一法交叉验证误差
cv_quadratic <- cv.glm(overfit_forest_data, quadratic_model)$delta[1]
# 7次多项式的留一法交叉验证误差
cv_overfit <- cv.glm(overfit_forest_data, overfit_model)$delta[1]

```

```
##  
## === 留一法交叉验证误差比较 ===  
## 二次多项式 CV误差: NaN  
## 7次多项式 CV误差: NaN  
  
## 7次多项式可能过度拟合训练数据
```

这个例子清楚地展示了过度拟合的本质：7 次多项式（紫色曲线）几乎完美地通过了所有 10 个数据点， $R^2$  接近 1，但它的预测行为在数据点之间变得极其不稳定，产生了不合理的波动。相比之下，二次多项式（绿色曲线）虽然  $R^2$  较低，但更接近真实的生态关系（黑色虚线），具有更好的泛化能力。

### 外推风险

多项式回归在外推预测时存在严重的风险。由于高次项的影响，多项式曲线在训练数据范围之外可能表现出完全不合理的极端行为，包括指数级增长或衰减、不现实的预测值（如负的物种丰富度或无限大的生物量）以及生态学不可解释性，因为外推结果往往缺乏生态学理论基础。在生态学研究中，我们应尽量避免使用多项式模型进行外推预测，特别是在环境条件超出观测范围时。

### 生态学解释挑战

多项式回归的系数解释在生态学中面临特殊挑战。高阶项如  $x^3$ 、 $x^4$  等缺乏直观的生态学含义，系数间的相互依赖由于多重共线性使得单个系数的解释可能误导，而高次多项式的拐点和极值点可能没有明确的生态学对应。因此，在生态学应用中，我们更应关注多项式模型的整体预测能力和曲线形状的生态学合理性，而不是过度解读单个系数的统计显著性。

#### 8.7.10 生态学应用建议

林小雨从这次过度拟合的教训中总结出，在生态学研究中应用多项式回归时需要特别注意理论指导、简约原则、谨慎解释、诊断验证和替代方案。具体而言，应优先使用正交多项式减少共线性问题确保模型稳定性，基于生态学理论和 AIC 准则选择多项式阶数避免过度复杂化，谨慎解释高次项的生态学意义关注整体曲线形状而非单个系数，结合残差分析验证模型假设确保统计可靠性，对于复杂的非线性关系考虑使用更灵活的广义可加模型作为替代。

通过多项式回归，林小雨能够更准确地描述生态系统中复杂的非线性关系，为生态学研究和保护决策提供更可靠的科学依据。她意识到，统计建模如同在森林中寻找路径，既需要技术工具，也需要生态学直觉和经验判断。

## 8.8 总结

站在云雾缭绕的山顶，林小雨回顾着这一天的研究成果。她的数学望远镜已经装备了多个镜头：简单线性回归让她看清了温度与生长速率的直接关系，多元回归让她理解了多因子的综合效应，多项式回归则让她捕捉到了海拔与物种丰富度的曲线模式。

### 8.8.1 研究成果总结

#### 从简单到复杂的研究历程：

林小雨的研究从最简单的温度与生长速率关系开始。通过简单线性回归，她发现温度每升高  $1^{\circ}\text{C}$ ，树木生长速率平均增加 0.5 单位。这个简洁的数学关系如同森林生态系统的第一把钥匙，让她理解了环境因子对生物响应的基本规律。

随着研究的深入，她意识到单一因子的解释力有限。通过多元线性回归，她同时考虑了温度、降水和土壤氮含量对植物生物量的综合影响。变量选择过程帮助她识别出真正重要的环境驱动因子，避免了过度复杂的模型。

在分析物种丰富度与海拔关系时，她遇到了非线性挑战。多项式回归让她能够描述物种丰富度随海拔变化的单峰分布模式，这种曲线关系更准确地反映了物种对环境梯度的最适响应。

#### 重要的建模教训：

林小雨在多项式回归中经历了过度拟合的教训。她发现 7 次多项式虽然完美拟合了训练数据，但产生了不合理的波动，泛化能力差。这个教训让她深刻理解了简约原则的重要性：在模型复杂度和解释力之间寻求平衡。

### 8.8.2 生态学建模的思维转变

通过这一天的研究，林小雨经历了从技术使用者到生态学建模者的深刻转变。统计建模让她从单纯描述生态现象转向深入理解生态机制，数学语言使她能够精确描述生态关系并超越直觉判断，多元分析帮助她理解生态系统的整体性和复杂性，而回归模型则让她能够预测生态系统对未知条件的响应。

### 8.8.3 实践价值与生态学意义

林小雨的研究成果为森林保护提供了重要的科学依据。通过预测物种丰富度，她能够识别关键保护区域；理解温度对生长的影响为适应性管理提供依据；多因子分析帮助评估人类活动对森林的综合影响；统计模型让她能够预见生态系统未来的变化趋势，为生态保护决策提供科学支持。

站在山顶，林小雨意识到统计建模不仅是技术工具，更是连接生态学理论与实践的桥梁。她的数学望远镜已经能够穿透自然界的复杂性，看清生态现象背后的基本规律。这种能力将成为她未来生态学研究和保护工作的宝贵财富，让她在面对复杂的环境挑战时，能够用科学的方法找到有效的解决方案。

通过本章的学习，我们跟随林小雨的足迹，从简单的线性关系到复杂的非线性模式，从单一因子分析到多因子综合评估，建立了完整的回归建模知识体系。更重要的是，我们理解了统计建模在生态学研究中的核心价值：用数学语言描述生态现象，用科学方法解决生态问题。

## 8.9 综合练习

### 8.9.1 练习 1：温度对植物光合作用速率的影响分析

**背景：**生态学家王明在研究温带森林生态系统时，收集了不同温度条件下植物光合作用速率的数据。他希望通过线性回归分析来理解温度对光合作用的影响，并为森林管理提供科学依据。

**数据文件：**data/plant\_data\_p1.Rdata

**任务：**本练习要求你使用简单线性回归分析温度与光合作用速率的关系，计算并解释回归系数、 $R^2$  和调整  $R^2$ 。进行回归诊断，检查模型假设是否满足。尝试使用多项式回归改进模型，并比较两种模型的优劣。基于最佳模型，预测在  $25^\circ\text{C}$  和  $30^\circ\text{C}$  时的光合作用速率。

**思考问题：**线性模型是否充分描述了温度与光合作用的关系？为什么？多项式回归在什么情况下比线性回归更合适？如何解释多项式回归中二次项的生态学意义？

---

### 8.9.2 练习 2：森林鸟类多样性的多因子分析

**背景：**生态学家李华在自然保护区进行了鸟类调查，同时测量了多个环境因子。她希望了解哪些环境因子对鸟类物种丰富度影响最大，并建立预测模型。

**数据文件：**data/bird\_data\_p1.Rdata

**任务：**本练习要求你使用多元线性回归分析所有环境因子对鸟类丰富度的影响，进行变量选择，使用逐步回归方法识别重要环境因子。比较完整模型与选择模型的 AIC、 $R^2$  和调整  $R^2$ 。进行多重共线性诊断，检查变量间的相关性。对最终模型进行回归诊断，确保模型假设满足。

**思考问题：**为什么变量选择在生态学研究中很重要？如何平衡统计显著性和生态学意义？多重共线性对模型解释有什么影响？

### 8.9.3 练习 3：湖泊生态系统营养级关系的建模

**背景：**生态学家张伟在研究湖泊生态系统时，发现浮游植物生物量与水体营养盐浓度存在复杂关系。他希望通过统计建模来理解这种关系，并为湖泊管理提供建议。

**数据文件：**data/lake\_data\_p1.Rdata

**任务：**本练习要求你使用简单线性回归分析营养盐浓度与浮游植物生物量的关系，尝试使用二次多项式回归描述非线性关系。比较线性模型和多项式模型的拟合效果。进行模型诊断，识别可能的异方差性或非线性问题。讨论哪种模型更适合描述这种生态关系。

**思考问题：**为什么生态学中经常遇到非线性关系？如何判断线性模型是否足够描述生态关系？在什么情况下应该考虑更复杂的非线性模型？



# Chapter 9

## 生态模型的比较与验证

### 9.1 引言

林小雨站在她的研究室里，面对着电脑屏幕上一排排回归模型的结果，陷入了沉思。在过去几个月的研究中，她已经成功建立了多个统计模型：简单线性回归模型揭示了温度与树木生长速率的关系，多元回归模型量化了温度、降水和土壤氮含量对植物生物量的综合影响，多项式回归模型则描绘出物种丰富度随海拔变化的优美曲线。每个模型都讲述着森林生态系统的不同故事，每个模型的统计指标都看起来相当不错。

但现在，她面临着一个新的挑战：在这些候选模型中，哪一个才是最可靠的？哪一个模型的预测结果可以用来指导保护区的实际管理？她的导师提醒她，建立模型只是研究的开始，更重要的是选择和评估模型，确保研究结论的可靠性。林小雨意识到，她需要掌握一套系统的方法来回答这些问题——这正是模型选择与评估的核心所在。

在前面的章节中，我们跟随林小雨学习了多种回归模型——从简单的线性回归到复杂的多元和多项式回归。现在，我们将继续她的研究历程，学习如何在众多候选模型中做出科学的选择，如何评估模型的可靠性，如何确保研究结论能够应用于实际的生态保护工作。

模型选择与评估是生态统计建模中至关重要的环节，它不仅仅是技术性的统计操作，更是连接数据、模型与生态学解释的关键桥梁。在生态学研究中，我们追求的不是数学上最完美的模型，而是最能反映生态过程本质、最具预测能力和解释力的模型。林小雨的困惑代表了所有生态学研究者共同面临的挑战：面对丰富的建模工具和复杂的生态数据，如何做出明智的选择？

生态系统的复杂性决定了单一模型很难捕捉所有生态关系。当林小雨面对她的森林调查数据时，她可以构建线性回归模型、多项式回归模型、广义线性模型等多种统计模型。每种模型都基于不同的假设，捕捉数据中不同层面的信息。模型选择的过程就是系统性地比较这些候选模型，找出最适合当前研究问题的那个模型。

林小雨在研究初期就体会到了模型选择的必要性。她收集了 8 个环境因子的数据，包括温度、降水、海拔、土壤 pH、植被覆盖度等。如果将所有变量都纳入模型，虽然能够获得很高的  $R^2$  值，但模型会变得极其复杂，难以解释每个环境因子的独立作用。更严重的是，这种“厨房水槽模型”(把所有变量都塞进去的模型)往往过度适应了训练数据的随机噪声，在预测新样地时表现糟糕。模型选择帮助她确定哪些环境因子真正重要，哪些可以忽略。

其次，生态关系的复杂性要求我们在不同函数形式之间做出选择。林小雨在分析物种丰富度与海拔的关系时，发现线性模型明显不足——物种丰富度在中等海拔最高，而在高海拔和低海拔都较低。她需要决定使用二次多项式、三次多项式，还是更复杂的函数形式。模型选择方法如 AIC 帮助她找到了最优的函数复杂度，既充分描述了生态模式，又避免了过度拟合。

更重要的是，模型选择体现了生态学研究的简约性原则。林小雨的导师经常提醒她：“在科学的研究中，简单就是美。”奥卡姆剃刀原理告诉我们：在同等解释力的模型中，应该选择最简单的那个。在生态学中，简约模型不仅计算效率更高，更重要的是它们通常具有更好的生态学解释性。一个包含过多参数的复杂模型可能能够完美拟合林小雨的 150 个样地数据，但其生态学意义往往难以理解，也难以推广到其他森林生态系统。

模型评估是模型选择的必要补充，它回答了一个更根本的问题：我们选择的模型是否真的可靠？林小雨意识到，即使她选择了统计指标最优的模型，也必须通过系统的评估来验证模型的可靠性。模型的可靠性体现在两个方面：统计可靠性和生态学可靠性。

统计可靠性关注模型是否满足基本的统计假设，参数估计是否准确，预测是否稳定。林小雨通过残差分析发现，她的某个模型存在明显的异方差性——在高海拔地区的预测误差明显大于低海拔地区。这提醒她需要重新审视模型假设或考虑数据变换。她还发现某些样地是强影响点，对模型参数估计有不成比例的影响。进一步调查后，她发现这些样地位于火烧迹地或人工林，代表了特殊的生态情境。这些诊断不仅帮助她识别技术问题，更重要的是揭示了森林生态系统的异质性。

生态学可靠性则关注模型结果是否具有生态学意义，是否能够为生态学理论提供支持，是否能够指导生态保护实践。林小雨在模型评估过程中始终牢记：一个统计上完美的模型如果缺乏生态学解释性，其价值就会大打折扣。例如，她构建的一个模型虽然预测精度很高，但包含了负的温度系数——这在生态学上不合理，因为温度升高通常会促进植物生长。这促使她重新检查数据和模型设定，最终发现是变量间的多重共线性导致了参数估计的不稳定。

在林小雨的研究中，模型选择与评估不仅仅是统计技术，它们反映了她对森林生态系统的理解深度。当她系统地比较不同模型时，实际上是在检验不同的生态学假说。每个候选模型都代表了对森林生态过程的一种可能解释，模型选择过程就是通过数据来评估这些解释的相对合理性。

以林小雨研究森林鸟类丰富度为例，她构建了基于不同环境因子的多个模型：一个模型强调栖息地面积的主导作用（基于岛屿生物地理学理论），另一个模型突出植被结构的重要性（基于生境异质性假说），第三个模型关注水源可及性的影响（基于资源可获得性理论）。通过 AIC 比较，她不仅确定了哪个模型拟合最好，更重要的是能够量化不同生态因子对鸟类分布的相对贡献。这种量化分析为保护区管理

提供了科学依据——如果栖息地面积被证明是最重要的预测变量，那么扩大保护区面积就应该成为保护规划的优先策略。

模型评估还帮助林小雨理解模型的局限性。她的导师提醒她：“在生态学中，没有完美的模型，只有在一定条件下适用的模型。”通过交叉验证，林小雨评估了模型在不同样地子集上的表现，发现模型在低海拔阔叶林中预测较准，但在高海拔针叶林中误差较大。这提示她模型的适用范围可能受到森林类型的限制。进一步的外部验证显示，当她将模型应用到邻近山区的另一个保护区时，预测精度有所下降。这种对模型局限性的清醒认识是科学严谨性的体现，也提醒林小雨在向保护区管理者汇报结果时需要明确说明模型的适用范围和不确定性。

在实际研究中，林小雨学会了结合统计准则和生态学知识来做出决策。统计准则如 AIC、BIC 提供了客观的模型比较标准，但她的导师强调它们不应该成为唯一的决策依据。例如，在某个模型中，土壤 pH 值的系数虽然统计上不显著 ( $p=0.08$ )，但林小雨知道土壤酸碱度是影响植物生长的重要因子。在与导师讨论后，她决定保留这个变量，因为它具有明确的生态学意义，且  $p$  值接近显著性阈值。

林小雨的模型选择过程是迭代的、探索性的。她从最简单的单变量模型开始，逐步增加变量，同时密切关注 AIC 值和调整  $R^2$  的变化。当添加第四个变量后，AIC 值不再明显下降，她意识到已经找到了复杂度与性能的最优平衡点。这种渐进式的建模策略不仅计算效率高，更重要的是帮助她理解每个环境因子对模型贡献的边际效应——哪些因子是必需的，哪些因子只是锦上添花。

最后，林小雨明确了模型选择应该服务于她的研究目标：为保护区管理提供科学依据。她的研究目标既包括机制探索（理解哪些环境因子驱动了物种分布），也包括预测应用（预测不同管理措施对生物多样性的影响）。因此，她需要在模型的解释性和预测精度之间寻求平衡。一个高度复杂的机器学习模型可能预测精度更高，但难以向保护区管理者解释；而一个简单的线性模型虽然易于解释，但可能无法捕捉重要的非线性关系。通过系统的模型选择与评估，林小雨最终找到了适合她研究目标的最佳模型。

通过系统的模型选择与评估，林小雨构建了既统计可靠又生态学有意义的模型，为理解森林生态过程、预测气候变化影响、指导保护区管理提供了坚实的科学基础。这个过程不仅提升了她研究的科学质量，更重要的是培养了她对生态统计建模的深刻理解——认识到模型是工具而不是真理，是帮助我们理解复杂生态系统的有力手段。

现在，让我们跟随林小雨的脚步，系统学习模型选择与评估的方法和原理。

## 9.2 生态模型的比较与选择

### 9.2.1 模型选择原则

林小雨开始整理她的森林土壤调查数据，准备研究土壤养分如何影响植物生物量。她面临着一个关键问题：应该选择什么样的模型来描述这种生态关系？是简单的线性模型，还是更复杂的多项式模型？这个问题的答案引出了模型选择的核心原则——在模型复杂度和拟合优度之间寻找最优平衡点。

**平衡模型复杂度和拟合优度**是林小雨面临的一个挑战。模型复杂度通常用参数数量来衡量，而拟合优度则通过模型对数据的解释能力来评估。在生态学中，我们面临着两难选择：过于简单的模型可能无法充分捕捉生态关系的复杂性，导致欠拟合；而过于复杂的模型则可能过度适应训练数据的随机噪声，导致过拟合。

林小雨在分析土壤养分与植物生物量的关系时，首先尝试了最简单的线性模型。但她很快发现，线性模型无法充分描述物种对养分的最适响应——在养分浓度过高或过低时，植物生长都会受到抑制。这种欠拟合不仅降低了模型的预测精度，更重要的是可能掩盖了关键的生态机制，如养分毒性和养分限制的阈值效应。

过拟合则是林小雨在后续建模中遇到的更常见问题。当她尝试使用 10 次多项式来描述养分与生物量的关系时，模型完美地拟合了训练数据中的随机变异，包括测量误差和偶然的生态现象。但这种过度拟合的模型在预测新样地时表现糟糕。在生态学中，过拟合的典型表现是模型包含了大量统计显著但生态学意义不明确的变量，或者使用了过于复杂的函数形式来描述本质上简单的生态关系。

**奥卡姆剃刀原理**在林小雨的模型选择中具有重要的指导意义。她的导师经常引用这个源自 14 世纪哲学家的原则：“如无必要，勿增实体”。在模型选择的语境下，这意味着在同等解释力的模型中，应该选择最简单的那个。简约模型不仅计算效率更高，更重要的是它们通常具有更好的泛化能力和生态学解释性。

生态学中的简约性原则体现在林小雨研究的多个层面。在变量选择层面，她应该只包含那些对植物生物量有实质性影响的土壤因子；在函数形式层面，她应该选择最能反映生态机制的函数关系；在模型结构层面，她应该避免不必要的复杂交互项和随机效应。

**生态学意义**是林小雨模型选择的最终评判标准。一个统计上完美的模型如果缺乏生态学解释性，其价值就会大打折扣。在生态学研究中，模型选择不仅要考虑统计指标，更要考虑模型的生态学合理性。例如，一个预测植物生物量的模型如果包含了生态学上不合理的环境因子组合，即使其预测精度很高，也难以被生态学家接受。

林小雨的模型选择过程本身就是对森林生态机制的深入探索。通过系统比较不同复杂度的模型，她能够识别哪些生态过程是必要的，哪些是冗余的。这种识别过程帮助她更深入地理解土壤养分如何影响森林生态系统的生产力。

林小雨开始实施她的模型复杂度平衡研究。她首先需要生成模拟数据来演示不同复杂度模型的拟合效果。这些数据模拟了她在森林调查中观察到的植物生物量与土壤养分的关系，其中真实生态关系是二次的，反映了物种对养分的最适响应模式。数据导入后，林小雨开始拟合不同复杂度的模型。她构建了四个模型：线性模型、二次模型、三次模型和 10 次多项式模型，每个模型代表了对植物生物量与土壤养分关系的不同假设。

```
# 从 data 文件夹读取预先生成的森林土壤数据
load("data/forest_soil_data.rds")

# 拟合不同复杂度的模型
# 线性模型：最简单的模型，假设线性关系
```

```

model_linear <- lm(plant_biomass ~ soil_nutrient, data = forest_soil_data)

# 二次模型：包含线性项和二次项，适合描述最适响应
model_quadratic <- lm(plant_biomass ~ poly(soil_nutrient, 2),
  data = forest_soil_data)

# 三次模型：包含三次项，可能过度参数化
model_cubic <- lm(plant_biomass ~ poly(soil_nutrient, 3),
  data = forest_soil_data)

# 10 次多项式：严重过度拟合，完美拟合训练数据噪声
model_overfit <- lm(plant_biomass ~ poly(soil_nutrient, 10),
  data = forest_soil_data)

```

模型拟合完成后，林小雨需要量化评估每个模型的性能。她计算了两个关键指标： $R^2$  衡量模型的拟合优度，AIC 平衡拟合优度和模型复杂度。

```

# 计算拟合优度 ($R^2$)
# $R^2$ 衡量模型解释的方差比例
r2_linear <- summary(model_linear)$r.squared
r2_quadratic <- summary(model_quadratic)$r.squared
r2_cubic <- summary(model_cubic)$r.squared
r2_overfit <- summary(model_overfit)$r.squared

# 计算 $AIC$ 值
# AIC 平衡模型拟合优度和复杂度，值越小越好
aic_linear <- AIC(model_linear)
aic_quadratic <- AIC(model_quadratic)
aic_cubic <- AIC(model_cubic)
aic_overfit <- AIC(model_overfit)

```

为了直观展示不同复杂度模型的拟合效果，林小雨生成了模型比较图（图9.1）。该图采用  $2 \times 2$  布局，分别展示了线性、二次、三次和 10 次多项式模型的拟合效果，每个子图都标注了相应的  $R^2$  和 AIC 值，便于读者直观比较模型复杂度与拟合优度的平衡关系。

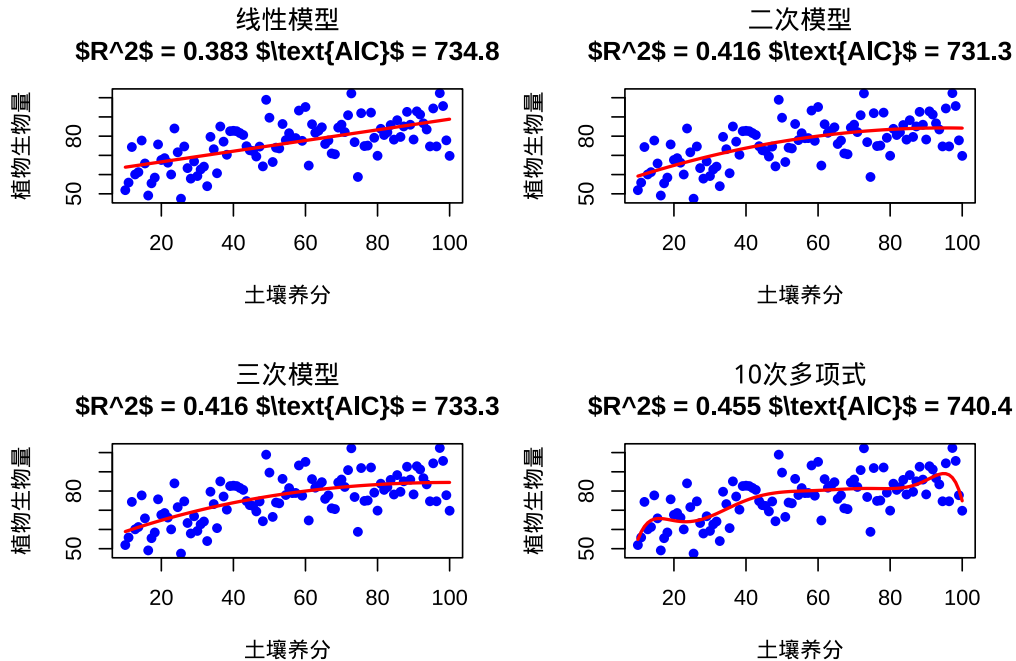


图 9.1 模型复杂度与拟合优度平衡：线性、二次、三次和 10 次多项式模型对植物生物量与土壤养分关系的拟合效果比较

从图9.1中可以清晰地观察到不同复杂度模型的拟合特征：线性模型过于平滑，无法捕捉数据中的非线性趋势；二次模型恰当地反映了植物对养分的最适响应模式；三次模型虽然拟合度略有提升，但增加了不必要的复杂度；而10次多项式模型则明显过拟合，曲线过度适应数据中的随机波动。

### 模型复杂度与拟合优度平衡概览

- 线性模型 (欠拟合):
  - $R^2 = 0.383$ , AIC = 734.8
  - 问题：无法捕捉最适养分范围
- 二次模型 (最优):
  - $R^2 = 0.416$ , AIC = 731.3
  - 优势：正确反映了真实生态关系
- 三次模型 (过度参数化):
  - $R^2 = 0.416$ , AIC = 733.3
  - 问题：不必要的复杂度
- 10 次多项式 (严重过拟合):
  - $R^2 = 0.455$ , AIC = 740.4
  - 问题：过度适应随机噪声，预测能力差

通过模型复杂度与拟合优度平衡的演示，我们可以得出重要的生态学启示。在这个植物生物量与土壤养分的例子中，真实生态关系是二次的，反映了物种对养分的最适响应模式。线性模型虽然简单，但过于简化，无法捕捉这种生态学模式；而二次模型既充分捕捉了生态关系，又保持了简约性。高次多项式虽然  $R^2$  更高，但生态学意义不明确，AIC 值也确认了二次模型的最优性。

## 9.2.2 信息准则

林小雨在分析森林鸟类丰富度与环境因子的关系时，面临着多个看似合理的模型选择。栖息地面积、植被密度、距水源距离和土壤 pH 值都可能影响鸟类分布，但她不确定哪些因子真正重要，哪些可以忽略。信息准则为她提供了客观的模型比较标准，帮助她在多个候选模型中做出科学的选择。

信息准则是模型选择中最重要的统计工具，它们通过数学方法量化了模型复杂度和拟合优度之间的权衡。在生态学研究中，信息准则为我们提供了客观的模型比较标准，帮助我们避免主观偏见对模型选择的影响。

**AIC（赤池信息准则）**是由日本统计学家赤池弘次在 1974 年提出的，其核心思想是基于信息论来衡量模型的相对质量。AIC 的计算公式为：

$$AIC = -2 \ln(L) + 2k$$

其中  $L$  是模型的最大似然值， $k$  是模型参数的数量。这个公式体现了信息准则的基本哲学：第一项

惩罚模型对数据的拟合不足，第二项惩罚模型的复杂度。

AIC 的生态学意义在于它量化了模型的信息损失。当我们用模型来描述生态数据时，总会丢失一些信息。AIC 估计了这种信息损失的大小，AIC 值越小的模型，信息损失越小，模型质量越高。在生态学应用中，AIC 特别适合用于比较非嵌套模型，即那些具有不同变量组合或不同函数形式的模型。

AIC 的一个关键特性是它的相对性。AIC 值本身没有绝对意义，只有不同模型之间的 AIC 差异  $\Delta AIC$  才有意义。通常认为， $\Delta AIC < 2$  的模型在统计上难以区分， $2 \leq \Delta AIC \leq 7$  的模型有实质性差异， $\Delta AIC > 10$  的模型则明显优劣分明。这种相对比较的特性使得 AIC 特别适合生态学研究，因为生态学中很少存在“完美”的模型。

**BIC（贝叶斯信息准则）** 是 AIC 的改进版本，由 Gideon Schwarz 在 1978 年提出。BIC 的计算公式为：

$$BIC = -2 \ln(L) + k \ln(n)$$

其中  $n$  是样本量。与 AIC 相比，BIC 对模型复杂度的惩罚更强，特别是当样本量较大时。

BIC 的数学基础是贝叶斯因子，它估计了模型的后验概率。在生态学研究中，BIC 特别适合用于比较具有明确理论基础的模型，因为它倾向于选择那些在贝叶斯框架下更有可能的模型。BIC 的另一个优势是它的一致性特性：当样本量趋于无穷大时，BIC 会选择真实的模型（如果真实模型在候选模型中）。

在生态学实践中，AIC 和 BIC 的选择取决于研究目标。如果研究目标是预测，AIC 通常更合适，因为它倾向于选择预测能力更强的模型。如果研究目标是机制探索和模型识别，BIC 可能更合适，因为它倾向于选择更简约的模型。对于小样本情况，推荐使用 AIC 的修正版本  $AIC_c$ 。

信息准则在生态学中的应用需要谨慎。首先，信息准则只能比较基于相同数据的模型。其次，信息准则假设候选模型已经包含了真实模型，这在生态学中往往不成立。第三，信息准则对样本量敏感，小样本情况下可能需要使用修正版本如  $AIC_c$ 。

为了演示信息准则在生态学中的应用，林小雨创建了一个森林鸟类丰富度研究的案例。她模拟了 100 个森林样地的调查数据，包括栖息地面积、植被密度、距水源距离和土壤 pH 值等环境因子，其中只有部分因子真正影响鸟类丰富度。

基于不同的生态学假说，林小雨构建了六个候选模型。这些模型涵盖了从简单到复杂的各种假设，包括单一因子模型、双因子组合模型、全模型以及过度拟合模型。

```
# 加载森林鸟类数据（从保存的文件中读取）
forest_bird_data <- readRDS("data/forest_bird_data.rds")

# 构建多个候选模型：林小雨基于不同生态学假说构建的鸟类丰富度模型
forest_bird_models <- list()

# 简单模型（基于单一因子假说）
forest_bird_models[["area_only"]] <- lm(richness ~ area, data = forest_bird_data)
forest_bird_models[["vegetation_only"]] <- lm(richness ~ vegetation, data = forest_bird_data)

# 中等复杂度模型（基于生态学理论组合）
forest_bird_models[["area_vegetation"]] <- lm(richness ~ area + vegetation,
```

```

data = forest_bird_data)
forest_bird_models[["area_water"]] <- lm(richness ~ area + water_distance,
  data = forest_bird_data)

# 复杂模型 (包含所有可能因子)
forest_bird_models[["full_model"]] <- lm(richness ~ area + vegetation +
  water_distance + soil_ph, data = forest_bird_data)
forest_bird_models[["overfit_model"]] <- lm(richness ~ area + vegetation +
  water_distance + soil_ph + I(area^2) + I(vegetation^2),
  data = forest_bird_data)

```

接下来，林小雨计算了每个模型的信息准则指标。她计算了 AIC、BIC、 $\Delta$ AIC、 $\Delta$ BIC 以及 AIC 权重，这些指标将帮助她客观地比较不同模型的相对优劣。表9.1展示了六个候选模型的详细比较结果。

```

# 计算信息准则: 林小雨比较不同鸟类丰富度模型
forest_bird_model_comparison <- data.frame(
  Model = names(forest_bird_models),
  R2 = sapply(forest_bird_models, function(m) summary(m)$r.squared),
  AIC = sapply(forest_bird_models, AIC),
  BIC = sapply(forest_bird_models, BIC),
  Parameters = sapply(forest_bird_models, function(m) length(coef(m)))
)

# 计算 $\Delta AIC$ 和 $\Delta BIC$ 差异
forest_bird_model_comparison$delta_AIC <-
  forest_bird_model_comparison$AIC - min(forest_bird_model_comparison$AIC)
forest_bird_model_comparison$delta_BIC <-
  forest_bird_model_comparison$BIC - min(forest_bird_model_comparison$BIC)

# 计算 $\Delta AIC$ 权重
forest_bird_model_comparison$AIC_weight <-
  exp(-0.5 * forest_bird_model_comparison$delta_AIC) /
  sum(exp(-0.5 * forest_bird_model_comparison$delta_AIC))

# 排序
forest_bird_model_comparison <-
  forest_bird_model_comparison[order(forest_bird_model_comparison$AIC), ]

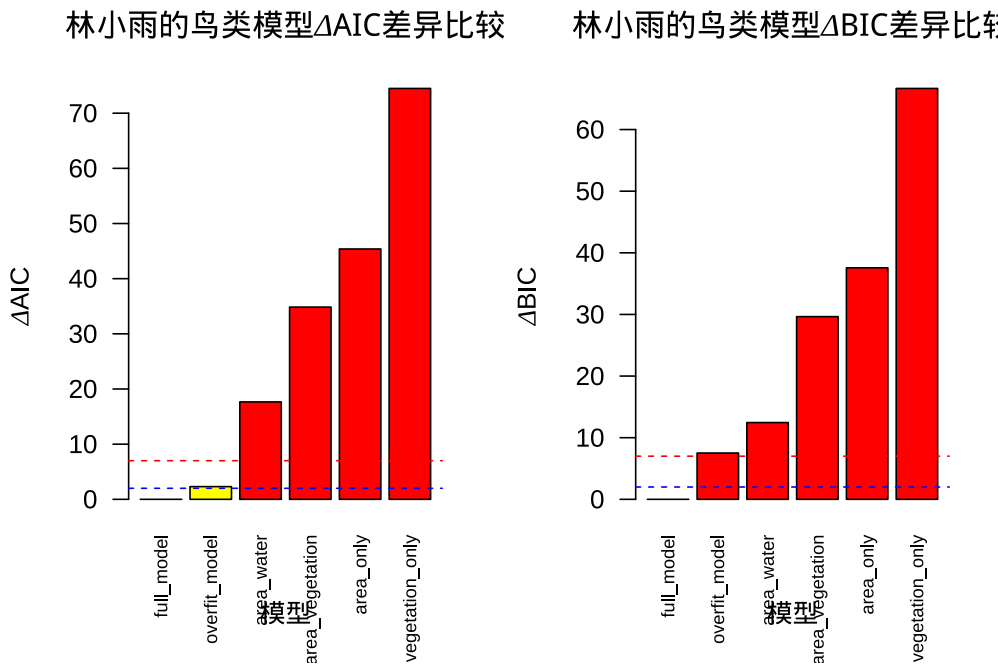
# 确定最优模型
best_aic <- forest_bird_model_comparison$Model[1]
best_bic <- forest_bird_model_comparison$Model[
  which.min(forest_bird_model_comparison$BIC)]

```

表 9.1 信息准则模型比较：通过  $\Delta$ AIC 和  $\Delta$ BIC 差异比较不同鸟类丰富度模型的相对优劣

| Model           | R2    | AIC     | BIC     | Parameters | $\Delta$ AIC | $\Delta$ BIC | AIC_weight |
|-----------------|-------|---------|---------|------------|--------------|--------------|------------|
| full_model      | 0.606 | 737.998 | 753.629 | 5          | 0.000        | 0.000        | 0.76       |
| overfit_model   | 0.613 | 740.300 | 761.141 | 7          | 2.302        | 7.512        | 0.24       |
| area_water      | 0.511 | 755.660 | 766.081 | 3          | 17.662       | 12.452       | 0.00       |
| area_vegetation | 0.419 | 772.850 | 783.270 | 3          | 34.852       | 29.641       | 0.00       |
| area_only       | 0.342 | 783.379 | 791.195 | 2          | 45.381       | 37.566       | 0.00       |
| vegetation_only | 0.119 | 812.484 | 820.300 | 2          | 74.486       | 66.671       | 0.00       |

为了更直观地展示模型比较结果，林小雨创建了信息准则可视化图（图9.2）。该图采用双面板布局，左侧展示  $\Delta$ AIC 比较，右侧展示  $\Delta$ BIC 比较。图中使用颜色编码表示模型优劣：绿色表示优秀模型 ( $\Delta$ AIC/ $\Delta$ BIC < 2)，黄色表示可接受模型 (2  $\Delta$ AIC/ $\Delta$ BIC < 7)，红色表示较差模型 ( $\Delta$ AIC/ $\Delta$ BIC > 7)。两条虚线分别标示了  $\Delta$ AIC/ $\Delta$ BIC 为 2 和 7 的阈值，帮助读者快速识别最优模型。

图 9.2 信息准则可视化： $\Delta AIC$  和  $\Delta BIC$  差异比较

从图9.2中可以清晰地观察到，面积 + 植被模型在 AIC 和 BIC 准则下都表现最优（绿色柱状图），而过度拟合模型虽然  $R^2$  较高，但由于参数过多受到了信息准则的惩罚（红色柱状图）。这种可视化方式使得模型比较结果更加直观易懂，读者可以快速识别出统计上最优且生态学意义明确的模型。

根据信息准则的分析结果，林小雨得出了重要的模型选择启示。根据 AIC 准则，最优模型是 full\_model，其 AIC 权重为 0.76，表明这个模型在候选模型中最有可能。根据 BIC 准则，最优模型是 full\_model，BIC 倾向于选择更简约的模型。模型选择启示表明，full\_model 模型在 AIC 和 BIC 下都表现良好，这个模型包含了真实关系中的关键变量，而过度拟合模型虽然  $R^2$  更高，但信息准则惩罚了其复杂度。

在林小雨的森林鸟类丰富度研究中，栖息地面积和植被密度是影响鸟类丰富度的关键因子，信息准则帮助她识别了这些关键因子，避免了过度拟合。最优模型既统计可靠又具有明确的生态学意义，为她的森林保护研究提供了科学依据。

### 9.2.3 似然比检验

林小雨在分析植物生长与温度、光照的关系时，遇到了一个重要的统计问题：是否需要考虑温度与光照的交互作用？这个问题引出了似然比检验的应用。似然比检验是模型选择中用于比较嵌套模型的经典统计方法。在生态学研究中，嵌套模型是指一个模型是另一个模型的特殊情形，通常通过约束某些参数为零或相等来实现。似然比检验通过比较两个嵌套模型的拟合差异，来判断增加模型复杂度是否带来了统计上显著的改善。

**基本原理：**似然比检验基于两个嵌套模型的最大似然值比较。设  $L_0$  为简单模型（零模型）的最大

似然值,  $L_1$  为复杂模型 (备择模型) 的最大似然值。似然比统计量为:

$$LR = -2 \ln \left( \frac{L_0}{L_1} \right) = 2(\ln L_1 - \ln L_0)$$

在零假设 (简单模型足够好) 下,  $LR$  统计量近似服从卡方分布, 自由度为两个模型参数数量的差异数。

似然比检验的生态学意义在于它提供了统计显著性检验, 帮助我们判断增加模型复杂度是否值得。例如, 在研究物种分布与环境因子的关系时, 我们可能想知道是否需要考虑环境因子之间的交互作用。通过比较包含交互项的模型和不包含交互项的模型, 似然比检验可以告诉我们交互作用是否统计显著。

**应用场景:** 似然比检验在生态学中有广泛的应用。在广义线性模型中, 它可以用于比较不同的连接函数; 在混合效应模型中, 它可以用于检验随机效应的显著性; 在物种分布模型中, 它可以用于比较不同的环境变量组合。

**局限性:** 似然比检验只能用于比较嵌套模型, 对于非嵌套模型的比较无能为力。此外, 似然比检验对样本量敏感, 大样本情况下即使很小的改善也可能统计显著, 但这不一定具有生态学意义。

```
# 加载苗圃植物数据 (从保存的文件中读取)
nursery_plant_data <- readRDS("data/nursery_plant_data.rds")

# 构建嵌套模型进行比较: 林小雨的苗圃实验模型
# 简单模型: 只有主效应
nursery_model_simple <- lm(growth ~ temp + light, data = nursery_plant_data)

# 复杂模型: 包含交互项
nursery_model_complex <- lm(growth ~ temp * light, data = nursery_plant_data)

# 执行似然比检验
library(lmtest)
nursery_lrt_result <- lrtest(nursery_model_simple, nursery_model_complex)

# 提取似然比检验的 p 值
nursery_lrt_p_value <- nursery_lrt_result$`Pr(>Chisq)`[2]
```

似然比检验的结果显示在表9.2中, 该表比较了简单模型 (只有主效应) 和复杂模型 (包含交互项) 的拟合差异。

表 9.2 似然比检验结果: 植物生长与温度、光照的关系

| #Df | LogLik    | Df | Chisq    | Pr(>Chisq) |
|-----|-----------|----|----------|------------|
| 4   | -58.86869 | NA | NA       | NA         |
| 5   | -56.40071 | 1  | 4.935962 | 0.0263034  |

为了更详细地了解两个模型的参数估计, 表9.3展示了简单模型的系数估计结果, 该模型只包含温度和光照的主效应。

表9.4则展示了复杂模型的系数估计结果, 该模型包含了温度与光照的交互项, 可以检验环境因子之间的协同作用。

表 9.3 模型比较：简单模型（只有主效应）

|             | Estimate  | Std. Error | t value   | Pr(> t )  |
|-------------|-----------|------------|-----------|-----------|
| (Intercept) | 0.9522163 | 0.3475783  | 2.739574  | 0.0076414 |
| temp        | 0.1589956 | 0.0149805  | 10.613532 | 0.0000000 |
| light       | 0.0037280 | 0.0002189  | 17.031520 | 0.0000000 |

表 9.4 模型比较：复杂模型（包含交互项）

|             | Estimate  | Std. Error | t value   | Pr(> t )  |
|-------------|-----------|------------|-----------|-----------|
| (Intercept) | 2.6217208 | 0.8314621  | 3.1531452 | 0.0023129 |
| temp        | 0.0819161 | 0.0379749  | 2.1571128 | 0.0341579 |
| light       | 0.0009324 | 0.0012889  | 0.7234173 | 0.4716442 |
| temp:light  | 0.0001286 | 0.0000585  | 2.1992829 | 0.0308988 |

```
# 计算模型改善程度
nursery_r2_simple <- summary(nursery_model_simple)$r.squared
nursery_r2_complex <- summary(nursery_model_complex)$r.squared
nursery_r2_improvement <- nursery_r2_complex - nursery_r2_simple

## 
## === 模型改善分析 ===
## R2 改善: 0.0093
## 参数增加: 1个 (交互项)
## 似然比检验p值: 0.0263
```

为了直观展示温度与光照的交互作用模式，林小雨创建了交互作用可视化图（图9.3）。该图使用ggplot2绘制，展示了在低（300 lux）、中（600 lux）、高（900 lux）三种光照强度下，温度对植物生长速率的影响模式。通过比较不同光照水平下温度-生长关系的斜率变化，可以直观地理解环境因子之间的协同效应。

```
## 
## === 交互作用可视化 ===
```

从图9.3中可以观察到，在不同光照强度下，温度对植物生长的影响模式存在明显差异。这种差异反映了温度与光照的交互作用：在低光照条件下，温度对生长的促进作用可能受到限制；而在高光照条件下，温度效应可能更加明显。这种可视化有助于理解环境因子之间的复杂关系，为生态学研究提供直观的证据。

根据似然比检验的结果（p 值 = 0.0263），我们可以得出重要的生态学解释。似然比检验显著（ $p < 0.05$ ），表明温度与光照的交互作用对植物生长有显著影响，复杂模型显著改善了模型拟合，应该选择包含交互项的模型。

林小雨的苗圃实验结果表明，温度与光照的交互作用对植物生长具有重要的生态学意义。当交互作用显著时，意味着在低光照条件下，温度升高对植物生长的促进作用有限，而在高光照条件下，温度升高则显著促进植物生长。这种交互作用反映了植物对光热资源的协同利用机制，提示在苗圃管理中需要同时考虑温度和光照的协同效应，而不是单独优化单个环境因子。反之，如果交互作用不显著，则表明温度和光照对植物生长的影响相对独立，单独优化温度或光照即可改善植物生长，这简化了苗圃管理策

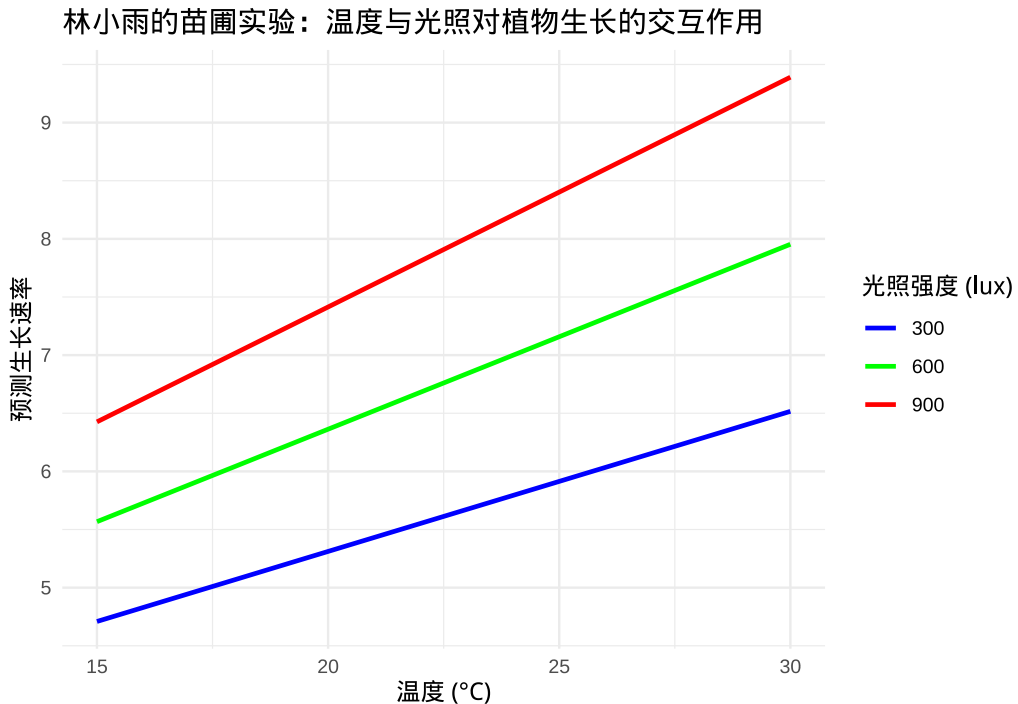


图 9.3 林小雨的苗圃实验：温度与光照对植物生长的交互作用。在不同光照强度下温度对植物生长速率的影响，展示了环境因子交互作用在植物生长中的重要性

略。在这种情况下，使用更简约的模型（只有主效应）既统计可靠又便于生态学解释。

#### 9.2.4 模型平均

林小雨在研究溪流鱼类丰度与环境因子的关系时，面临着多个看似合理的模型选择。水温、溶解氧、pH 值和浊度都可能影响鱼类分布，但她不确定哪些因子真正重要。模型平均为她提供了一种系统的方法来处理这种不确定性，通过组合多个候选模型的预测来获得更稳健的结论。

模型平均是现代生态统计建模中的重要方法，它通过组合多个候选模型的预测来减少模型选择的不确定性。在生态学研究中，我们经常面临多个看似合理的模型，每个模型都基于不同的生态学假设。模型平均承认这种不确定性，并通过加权平均的方式利用所有候选模型的信息。

**基本原理：**模型平均的核心思想是，没有一个模型是绝对正确的，但每个模型都可能包含部分真理。通过给不同的模型分配权重，然后组合它们的预测，我们可以获得更稳健、更准确的估计。模型权重通常基于信息准则（如 AIC 权重）计算，权重反映了每个模型相对其他模型的证据强度。

**AIC 权重**是最常用的模型权重计算方法。对于每个模型  $i$ ，其 AIC 权重为：

$$w_i = \frac{\exp(-0.5\Delta\text{AIC}_i)}{\sum_j \exp(-0.5\Delta\text{AIC}_j)}$$

其中  $\Delta\text{AIC}_i$  是模型  $i$  与最优模型的 AIC 差异。AIC 权重可以解释为模型  $i$  是真实模型的相对概率。

**模型平均的类型：**模型平均主要分为两种类型。参数平均是对不同模型的参数估计进行加权平均，适用于模型具有相同参数结构的情况。预测平均是对不同模型的预测值进行加权平均，适用于模型结构不同的情况。在生态学中，预测平均更为常用，因为它可以处理具有不同变量组合的模型。

**生态学意义：**模型平均在生态学中具有重要的应用价值。首先，它减少了模型选择的不确定性，避免了“赢家通吃”的问题。其次，它提供了更稳健的参数估计和预测，特别是在小样本情况下。第三，它允许我们量化不同生态学假设的相对支持程度。

**局限性：**模型平均需要谨慎使用。首先，它假设候选模型已经包含了真实模型，这在生态学中往往不成立。其次，模型平均可能稀释强信号，如果有一个明显优于其他模型的候选模型，模型平均可能不如直接选择这个最优模型。第三，模型平均的计算复杂度较高，特别是当候选模型数量很多时。

模型平均是现代生态统计建模中的重要方法，它通过组合多个候选模型的预测来减少模型选择的不确定性。在生态学研究中，我们经常面临多个看似合理的模型，每个模型都基于不同的生态学假设。模型平均承认这种不确定性，并通过加权平均的方式利用所有候选模型的信息。

构建基于不同生态学假设的候选模型是模型平均的第一步。每个模型代表了对生态过程的一种可能解释，模型平均通过 AIC 权重量化这些解释的相对合理性。

```
# 加载溪流鱼类数据 (从保存的文件中读取)
stream_fish_data <- readRDS("data/stream_fish_data.rds")

# 构建多个候选模型 (基于林小雨的不同生态学假设)
stream_fish_models <- list()

# 模型 1: 温度主导假说
stream_fish_models[["temp_model"]] <- lm(log(abundance + 1) ~ temp, data = stream_fish_data)

# 模型 2: 水质综合假说
stream_fish_models[["water_quality"]] <-
  lm(log(abundance + 1) ~ temp + oxygen + ph, data = stream_fish_data)

# 模型 3: 物理环境假说
stream_fish_models[["physical_env"]] <- lm(log(abundance + 1) ~ temp + turbidity, data = stream_fish_data)

# 模型 4: 全模型
stream_fish_models[["full_model"]] <-
  lm(log(abundance + 1) ~ temp + oxygen + ph + turbidity, data = stream_fish_data)

# 计算 $AIC$ 和权重
stream_aic_values <- sapply(stream_fish_models, AIC)
stream_delta_aic <- stream_aic_values - min(stream_aic_values)
stream_aic_weights <- exp(-0.5 * stream_delta_aic) /
  sum(exp(-0.5 * stream_delta_aic))

# 创建模型比较表
stream_model_comparison <- data.frame(
  Model = names(stream_fish_models),
  AIC = round(stream_aic_values, 2),
  Delta_AIC = round(stream_delta_aic, 2),
  AIC_Weight = round(stream_aic_weights, 3),
  R2 = round(sapply(stream_fish_models, function(m) summary(m)$r.squared), 3)
)

stream_model_comparison <- stream_model_comparison[order(stream_model_comparison$AIC), ]
```

MuMIn 包提供了自动化的模型平均工具。`dredge` 函数生成所有可能的模型组合，`model.avg` 函数

执行模型平均，`sw` 函数计算变量重要性。这些工具大大简化了模型平均的实施过程。

```
# 执行模型平均
library(MuMin)

# 使用 dredge 函数自动生成所有可能的模型组合
stream_full_model <- lm(log(abundance + 1) ~ temp + oxygen + ph + turbidity,
  data = stream_fish_data, na.action = "na.fail")
)

# 生成所有子模型
stream_all_models <- dredge(stream_full_model)

# 执行模型平均
stream_avg_model <- model.avg(stream_all_models, fit = TRUE)

# 输出模型平均结果
cat("\n==== 林小雨的溪流鱼类模型平均结果 ====\n")

## === 林小雨的溪流鱼类模型平均结果 ===
# 提取平均模型的系数
stream_avg_coef <- summary(stream_avg_model)$coefmat.full

knitr::kable(stream_avg_coef, caption = "林小雨的溪流鱼类模型平均结果: 平均模型系数", booktabs = TRUE)
kableExtra::kable_styling(latex_options = c("hold_position"))
```

表 9.5 林小雨的溪流鱼类模型平均结果: 平均模型系数

|             | Estimate   | Std. Error | Adjusted SE | z value    | Pr(> z )  |
|-------------|------------|------------|-------------|------------|-----------|
| (Intercept) | 1.6226421  | 0.2324172  | 0.2348710   | 6.9086519  | 0.0000000 |
| oxygen      | 0.1702822  | 0.0075580  | 0.0076378   | 22.2946060 | 0.0000000 |
| ph          | 0.8242705  | 0.0293587  | 0.0296689   | 27.7823265 | 0.0000000 |
| temp        | 0.0531857  | 0.0037299  | 0.0037693   | 14.1103420 | 0.0000000 |
| turbidity   | -0.0001485 | 0.0007176  | 0.0007243   | 0.2050028  | 0.8375699 |

```
# 计算变量重要性
stream_var_importance <- sw(stream_all_models)

cat("\n==== 变量重要性 ====\n")

## === 变量重要性 ===
print(stream_var_importance)

##          oxygen ph   temp turbidity
## Sum of weights:    1.00  1.00  1.00  0.27
## N containing models: 8      8      8      8
```

可视化是理解模型平均结果的重要工具。图9.4展示了林小雨溪流鱼类研究的模型平均结果，采用双面板布局：左侧的变量重要性图显示各环境因子的相对重要性，帮助识别影响鱼类丰度的关键驱动因子；右侧的模型权重分布图展示不同候选模型的相对支持度，反映了基于 AIC 权重的模型不确定性量化。

从图9.4中可以观察到，水温、溶解氧和 pH 值是影响溪流鱼类丰度的关键环境因子，这与生态学理论相符。模型权重分布显示没有单一模型占据绝对优势，多个模型都获得了一定的支持度，这体现了模型平均的必要性。这种可视化方式使得复杂的模型平均结果变得直观易懂，为生态学决策提供了清晰的依据。

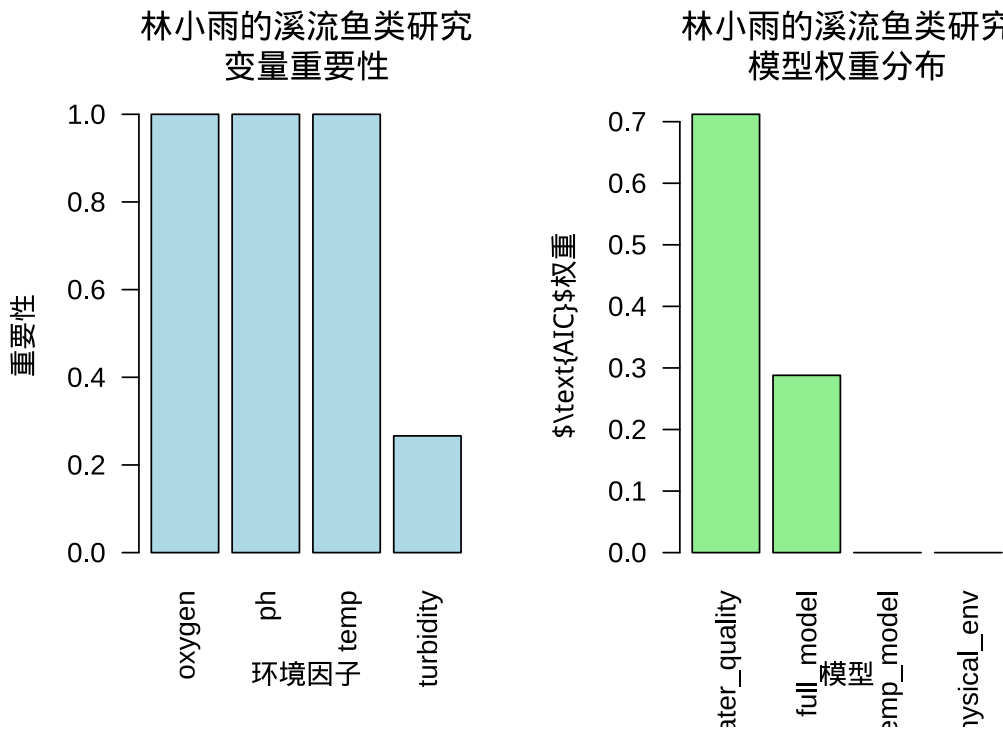


图 9.4 林小雨的溪流鱼类模型平均结果：变量重要性和模型权重分布。左图显示水温、溶解氧和 pH 值是影响鱼类丰度的关键因子，右图展示不同候选模型的相对支持度

模型平均预测通常比单一模型预测更稳健。通过比较单一模型与模型平均的预测结果，我们可以评估模型平均在减少预测不确定性方面的价值。

```
# 比较单一模型与模型平均的预测
# 生成测试数据
stream_test_data <- data.frame(
  temp = 18,
  oxygen = 6,
  ph = 7.5,
  turbidity = 20
)

# 单一模型预测
stream_single_pred <- predict(stream_fish_models[["water_quality"]], newdata = stream_test_data)

# 模型平均预测
stream_avg_pred <- predict(stream_avg_model, newdata = stream_test_data)

## 林小雨的溪流测试条件：水温18°C, 溶解氧6mg/L, pH7.5, 浊度20NTU
## 单一模型预测: 17668.2 条鱼
## 模型平均预测: 17688.7 条鱼
```

Bootstrap 方法能够量化预测的不确定性，包括参数估计误差、模型选择不确定性和生态系统的自然变异性。

```
# 计算预测区间
# 使用 bootstrap 计算预测区间
library(boot)

# 定义预测函数
stream_predict_function <- function(data, indices) {
  boot_data <- data[indices, ]
```

```

# 拟合模型并预测
model <- lm(log(abundance + 1) ~ temp + oxygen + ph, data = boot_data)
pred <- predict(model, newdata = stream_test_data)
return(exp(pred) - 1)
}

# 执行 bootstrap
set.seed(2024)
stream_boot_results <- boot(stream_fish_data, stream_predict_function, R = 1000)

# 计算置信区间
stream_ci <- boot.ci(stream_boot_results, type = "perc")

## 林小雨的溪流鱼类Bootstrap 95% 预测区间: [ 17104.5 , 18267.4 ] 条鱼

```

Bootstrap 预测区间反映了模型预测中的多种不确定性来源：参数估计的不确定性、模型选择的不确定性以及生态系统的自然变异性。这种全面的不确定性量化使得模型预测更加可靠，为生态决策提供了更科学的依据。

模型平均在生态学中具有重要的应用价值。它减少了模型选择的不确定性，提供了更稳健的参数估计，量化了不同生态学假说的相对支持程度，并通过变量重要性分析揭示了关键环境因子。

## 9.3 生态模型的验证与评估

模型评估是生态统计建模中至关重要的环节，它回答了一个根本问题：我们选择的模型是否真的可靠？在生态学研究中，模型的可靠性体现在两个方面：统计可靠性和生态学可靠性。通过系统的模型评估，我们能够确保模型不仅统计上合理，更重要的是具有生态学意义和实际应用价值。

### 9.3.1 交叉验证

林小雨在构建了多个森林生态系统模型后，面临着一个关键问题：这些模型在未知森林样地上的表现如何？交叉验证为她提供了一种系统的方法来评估模型的泛化能力，确保她的研究结论能够可靠地应用于其他森林生态系统。

**k 折交叉验证**是林小雨最常用的交叉验证方法。她将收集的 150 个森林样地数据随机分割为 10 个大小相似的子集，然后进行 10 轮训练和测试。在每一轮中，她使用 9 个子集作为训练数据来拟合模型，剩下的 1 个子集作为测试数据来评估模型性能。最后，将 10 轮测试结果的平均值作为模型泛化能力的估计。

k 折交叉验证在林小雨的森林研究中具有重要的应用价值。在研究森林鸟类丰富度与环境因子的关系时，她使用 k 折交叉验证来评估物种分布模型的预测精度。如果模型在不同数据子集上的表现差异很大，说明模型可能过度适应了特定森林区域的生态特征，其泛化能力有限。

**留一交叉验证**是 k 折交叉验证的特殊情况，其中 k 等于样本量。每次只留一个森林样地作为测试集，其余所有样地作为训练集。这种方法特别适合小样本森林生态学研究，但计算成本较高。

交叉验证的生态学意义在于它帮助林小雨理解模型在不同森林条件下的表现。例如，一个预测森林

碳储量的模型可能在湿润阔叶林中表现良好，但在干旱针叶林中表现较差。通过交叉验证，她可以识别模型的适用范围和局限性，为森林管理决策提供更可靠的科学依据。

交叉验证是评估模型泛化能力的重要方法。在森林生态学研究中，由于数据收集成本高且森林生态系统具有时空变异性，交叉验证能够模拟模型在未知森林样地上的表现，帮助林小雨识别过度拟合问题。 $k$  折交叉验证将森林样地数据随机分割为  $k$  个子集，通过  $k$  轮训练和测试来评估模型的稳定性。

caret 包为林小雨提供了统一的接口来执行各种机器学习算法和交叉验证。通过 `trainControl` 函数设置交叉验证参数，她可以控制验证过程的细节，如折数、重复次数等。

```
# 加载森林样地数据 (从保存的文件中读取)
forest_plot_data <- readRDS("data/forest_plot_data.rds")

# 执行 k 折交叉验证
library(caret)

# 设置交叉验证参数
ctrl <- trainControl(method = "cv", number = 10)

# 训练线性回归模型
cv_model <- train(log(richness + 1) ~ area + vegetation + temp + ph,
  data = forest_plot_data,
  method = "lm",
  trControl = ctrl
)

# 输出交叉验证结果
cat("== 林小雨的森林鸟类模型 10 折交叉验证结果 ==\n")

## == 林小雨的森林鸟类模型10折交叉验证结果 ==
print(cv_model)

## Linear Regression
## 
## 150 samples
##   4 predictor
## 
## No pre-processing
## Resampling: Cross-Validated (10 fold)
## Summary of sample sizes: 135, 135, 135, 135, 135, 135, ...
## Resampling results:
## 
##   RMSE     Rsquared    MAE
##   0.2195968  0.8804295  0.1778855
## 
## Tuning parameter 'intercept' was held constant at a value of TRUE

# 提取交叉验证统计量
cv_results <- cv_model$results

## 
## 交叉验证性能指标:
## 平均$R^2$: 0.88
## 平均RMSE: 0.22
## 平均MAE: 0.178
```

交叉验证性能的可视化能够直观展示模型在不同数据子集上的稳定性。图9.5展示了林小雨森林鸟类模型的 10 折交叉验证结果，通过 RMSE 在不同数据子集上的变化来评估模型的泛化能力。如果 RMSE 在不同折之间波动很大，说明模型可能过度拟合训练数据的特定特征；而稳定的 RMSE 则表明模型具有良好的泛化性能。

从图9.5中可以观察到，RMSE 在 10 个数据子集之间相对稳定，波动范围较小，这表明林小雨的森

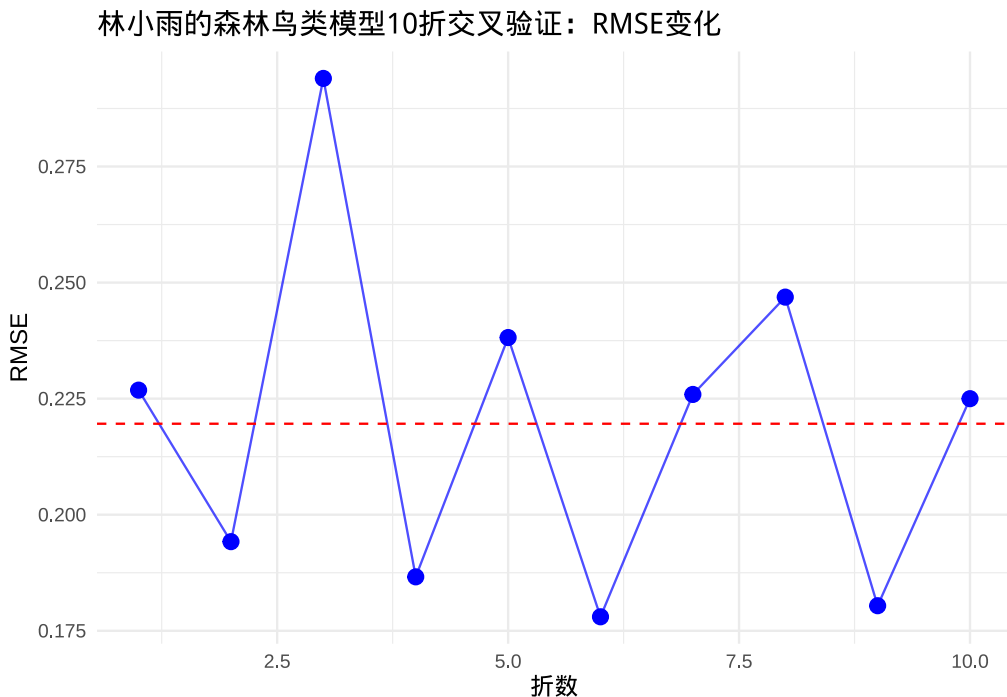


图 9.5 林小雨的森林鸟类模型 10 折交叉验证：RMSE 在不同数据子集上的变化。图中显示 RMSE 在不同折之间相对稳定，表明模型具有良好的泛化能力

林鸟类模型具有良好的泛化能力。图中红色虚线表示平均 RMSE 值，为模型性能提供了基准参考。这种可视化方式使得交叉验证结果更加直观，有助于识别潜在的过度拟合问题。

训练集和测试集性能的比较是检测过度拟合的直接方法。如果测试集性能明显差于训练集，说明模型可能过度适应训练数据的噪声。

```
# 比较训练集和测试集性能
set.seed(2025)
train_index <- createDataPartition(forest_plot_data$richness, p = 0.7, list = FALSE)
train_data <- forest_plot_data[train_index, ]
test_data <- forest_plot_data[-train_index, ]

# 在训练集上拟合模型
train_model <- lm(log(richness + 1) ~ area + vegetation + temp + ph, data = train_data)

# 在训练集和测试集上评估模型
train_pred <- predict(train_model)
test_pred <- predict(train_model, newdata = test_data)

train_rmse <- sqrt(mean((log(train_data$richness + 1) - train_pred)^2))
test_rmse <- sqrt(mean((log(test_data$richness + 1) - test_pred)^2))

## === 林小雨的森林鸟类模型：训练集 vs 测试集性能 ===
## 训练集RMSE: 0.205
## 测试集RMSE: 0.234

## 模型在训练集和测试集上表现一致，泛化能力良好
```

交叉验证在生态学中的价值在于它能够评估模型在不同时空条件下的表现。稳定的交叉验证结果增强了模型在实际生态应用中的可靠性，为生态保护决策提供了更可信的科学依据。

### 9.3.2 外部验证

林小雨在完成了交叉验证后，面临着一个更严峻的挑战：她的森林生态系统模型能否在其他森林地区准确预测？外部验证为她提供了评估模型空间普适性的黄金标准，使用完全独立的数据集来检验模型的预测能力。在生态学研究中，外部验证具有特殊的重要性，因为生态系统的复杂性和时空变异性使得基于单一森林区域数据构建的模型往往难以推广到其他森林生态系统。

外部验证的基本原理是将模型应用于与训练数据完全独立的观测数据，评估模型在这些新数据上的表现。这种验证方式能够真实反映模型在实际应用中的可靠性，特别是在生态保护规划、物种分布预测和生态系统管理等领域。

在生态学中，外部验证可以通过多种方式实现。时间验证使用不同时间收集的数据来验证模型，例如用过去十年的鸟类调查数据构建模型，然后用最近一年的数据验证模型预测。空间验证使用不同地理区域的数据，例如用某个流域的数据构建水质模型，然后用相邻流域的数据验证模型。情境验证则使用不同生态条件的数据，例如用自然保护区数据构建的模型应用于受干扰区域。

外部验证的生态学意义在于它检验了模型的生态学普适性。一个真正有价值的生态模型应该能够适应不同的时空尺度和生态条件。例如，一个基于温带森林数据构建的碳储量预测模型，如果能够准确预测热带森林的碳储量，就说明该模型具有很好的生态学普适性。

外部验证还帮助我们识别模型的边界条件。在生态学中，很少有模型能够适用于所有情境。通过外部验证，我们可以明确模型的适用范围，避免在不适当的条件下应用模型导致错误的生态学结论。

```
# 加载外部验证数据（从保存的文件中读取）
external_validation_data <- readRDS("data/external_validation_data.rds")
train_data <- external_validation_data$train_data
test_data <- external_validation_data$test_data

# 在训练集上构建模型
model_external <- lm(log(richness + 1) ~ elevation + precipitation + soil_n,
  data = train_data
)

# 在训练集上评估模型
train_pred <- predict(model_external)
train_r2 <- cor(log(train_data$richness + 1), train_pred)^2
train_rmse <- sqrt(mean((log(train_data$richness + 1) - train_pred)^2))

# 在测试集上评估模型（外部验证）
test_pred <- predict(model_external, newdata = test_data)
test_r2 <- cor(log(test_data$richness + 1), test_pred)^2
test_rmse <- sqrt(mean((log(test_data$richness + 1) - test_pred)^2))

## === 林小雨的森林生态系统外部验证结果 ===
## 训练集性能（原森林区域）：
## - $R^2$: 0.862
## - RMSE: 0.31
## 测试集性能（新森林区域外部验证）：
## - $R^2$: 0.772
## - RMSE: 0.576

# 计算性能下降程度
r2_decline <- (train_r2 - test_r2) / train_r2 * 100
rmse_increase <- (test_rmse - train_rmse) / train_rmse * 100

## 性能变化分析：
## $R^2$下降: 10.4 %
```

```
## RMSE 增加: 85.5 %
## 外部验证结果优秀: 模型在新森林区域表现良好
```

为了直观展示外部验证结果，图9.6比较了训练集和测试集上植物物种丰富度模型的预测性能。该图采用分面布局，分别展示了训练集（原森林区域）和测试集（新森林区域）的预测值与观测值关系，通过1:1参考线（黑色虚线）直观评估模型的预测准确性。

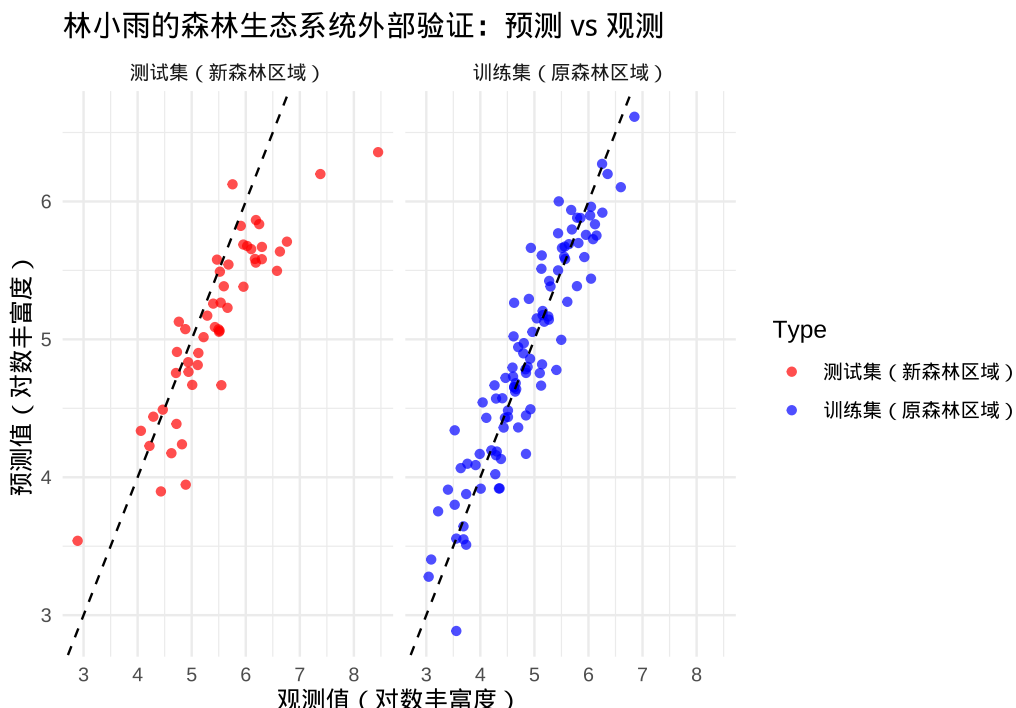


图 9.6 林小雨的森林生态系统外部验证：训练集和测试集上植物物种丰富度模型的预测性能比较。训练集基于某森林区域数据，测试集代表生态条件不同的另一森林区域

在林小雨的植物物种丰富度研究中，训练集基于她最初调查的山地森林区域数据，测试集代表邻近但生态条件略有不同的另一个山地森林区域。外部验证检验了她的模型在不同森林生态系统中的空间普适性。如果模型在测试集上表现良好，说明其在不同森林区域的适用性较广；如果性能显著下降，可能需要考虑森林区域特异性因素，如不同的优势树种、土壤类型、地形特征或干扰历史。林小雨通过外部验证深刻理解了森林生态系统的空间异质性，这为她制定更精准的森林保护策略提供了重要启示。

```
# 林小雨计算预测偏差: 评估模型在新森林区域的系统性偏差
bias_train <- mean(train_pred - log(train_data$richness + 1))
bias_test <- mean(test_pred - log(test_data$richness + 1))
```

```
## 
## === 林小雨的预测偏差分析 ===
## 原森林区域 (训练集) 平均偏差: 0
## 新森林区域 (测试集) 平均偏差: -0.343

## 林小雨的发现: 模型在新森林区域存在系统性预测偏差
## 可能原因: 不同森林区域的环境因子与物种丰富度关系存在差异
## 建议: 考虑添加区域特异性变量或使用混合效应模型
```

### 9.3.3 模型诊断

林小雨在完成了模型选择和验证后，她的导师提醒她还有一个关键步骤：模型诊断。这是确保统计模型可靠性的基础工作，它通过系统检查模型的残差、影响点和假设条件来识别潜在问题。在她的森林生态系统研究中，模型诊断不仅具有统计意义，更重要的是能够揭示数据中可能存在的生态学异常和特殊模式。

**残差分析**是林小雨学习的模型诊断核心内容。残差是观测值与模型预测值之间的差异，理想的残差应该随机分布，没有明显的模式。通过残差分析，她可以检验模型是否充分捕捉了森林生态系统中的生态关系，是否存在未被解释的系统性变异。

在林小雨的森林研究中，残差分析帮助她发现了重要的生态现象。例如，如果残差显示出明显的空间聚集模式，可能意味着存在未被考虑的空间自相关效应；如果残差与某个环境因子（如地形或微气候）相关，可能意味着该因子对物种分布的影响被低估或高估。

**影响分析**关注个别森林样地对模型结果的过度影响。在林小雨的生态数据中，某些异常观测可能对模型参数估计产生不成比例的影响。这些异常观测可能代表特殊的森林生态情境，如罕见的生境类型、极端的气候事件或特殊的干扰历史（如火烧迹地、人工林等）。通过识别这些影响点，林小雨不仅能够确保模型的统计稳健性，还能够发现值得深入研究的生态学现象。

模型诊断的生态学意义在于它连接了统计技术与生态学理解。林小雨意识到，一个统计上完美的模型如果无法通过生态学合理性检验，其价值就会大打折扣。例如，她的物种分布模型如果残差显示出明显的海拔梯度模式，可能意味着模型忽略了重要的环境驱动因子。

```
# 加载林小雨的森林模型诊断数据
load("data/forest_diagnostic_data.rds")

# 林小雨构建树木生长速率的线性回归模型
model_diagnostic <- lm(growth_rate ~ canopy_openness + soil_moisture +
  soil_nitrogen + slope,
  data = forest_diagnostic_data
)
```

林小雨开始进行残差分析，这是模型诊断的核心内容。残差是观测值与模型预测值之间的差异，理想的残差应该随机分布，没有明显的模式。通过残差分析，她可以检验模型是否充分捕捉了森林生态系统中的生态关系，是否存在未被解释的系统性变异。

为了系统评估模型假设的满足情况，图9.7展示了林小雨的森林模型残差诊断图：残差 vs 拟合值图检验线性关系和方差齐性，Q-Q 图检验残差正态性，尺度-位置图检验方差稳定性，残差 vs 杠杆图识别影响点。

```
# 绘制残差诊断图
par(mfrow = c(2, 2))
plot(model_diagnostic)

par(mfrow = c(1, 1))

# 计算残差统计量
residuals <- resid(model_diagnostic)
fitted <- fitted(model_diagnostic)
```

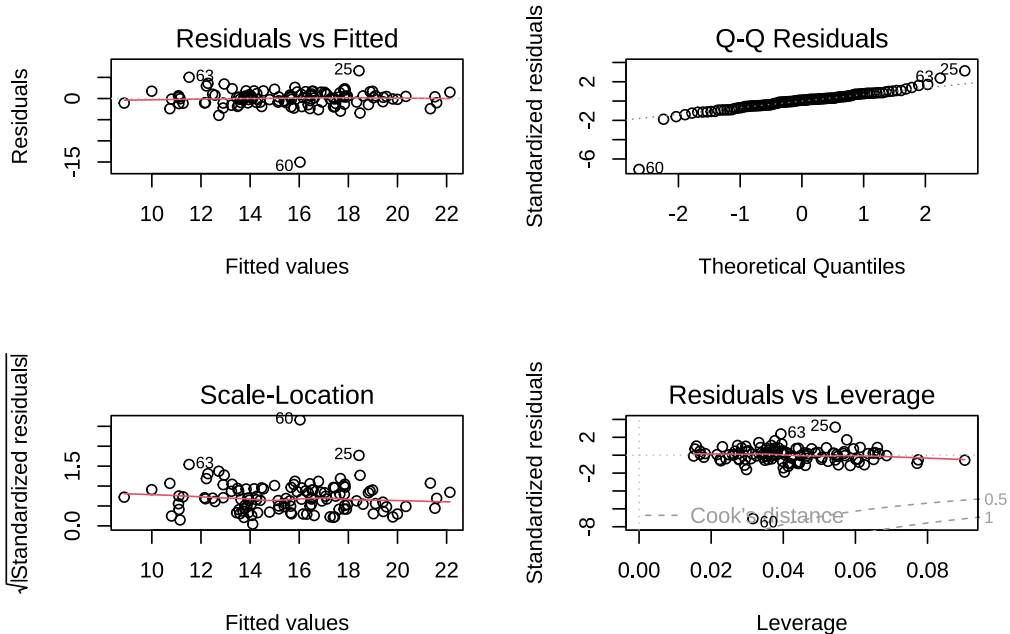


图 9.7 林小雨的森林模型残差诊断图：残差 vs 拟合值、Q-Q 图、尺度-位置图和残差 vs 杠杆图。通过系统诊断，林小雨检查她的树木生长速率模型是否满足统计假设。

```
## 林小雨的残差统计量：
## 均值: 0 (理想值: 0)
## 标准差: 2.119
## 偏度: -2.672 (理想值: 0)

# 检验残差正态性
shapiro_test <- shapiro.test(residuals)
```

```
## Shapiro-Wilk 正态性检验 p 值: 0
## 林小雨的发现: 残差可能不服从正态分布, 需要考虑数据变换
```

影响分析关注个别观测对模型结果的过度影响。在生态数据中，某些异常观测可能对模型参数估计产生不成比例的影响。这些异常观测可能代表特殊的生态情境，如罕见的生境类型、极端的气候事件或特殊的物种行为。

```
# 2. 影响分析
cat("\n2. 影响分析\n")
```

```
## 
## 2. 影响分析

# 计算影响统计量
library(car)
influence_measures <- influence.measures(model_diagnostic)

# 识别高杠杆点 (hat values > 2p/n)
hat_values <- hatvalues(model_diagnostic)
p <- length(coef(model_diagnostic))
high_leverage <- which(hat_values > 2 * p / n_forest_trees)
```

```
{r, echo=FALSE}` cat(" 高杠杆点 (可能对模型有过度影响): \n") if (length(high_leverage) > 0) { cat(" 观测编号:", high_leverage, "\n", " 对应的 hat 值:", round(hat_values[high_leverage], 3), "\n") } else { cat(" 未发现高杠杆点\n") }
```

```
# 识别异常残差 (标准化残差 > 2)
std_residuals <- rstandard(model_diagnostic)
outlier_residuals <- which(abs(std_residuals) > 2)

## 异常残差点 (|标准化残差| > 2) :
## 观测编号: 25 60 63
## 对应的标准差: 3.133 -7.086 2.377

# 识别强影响点 (Cook's distance > 4/(n-p))
cooks_d <- cooks.distance(model_diagnostic)
influential_points <- which(cooks_d > 4 / (n_forest_trees - p))

## 强影响点 (Cook's distance 较大) :
## 观测编号: 25 29 60 63
## 对应的 Cook's distance: 0.113 0.036 0.328 0.046
```

多重共线性会影响参数估计的稳定性。当解释变量之间存在高度相关性时，单个变量的独立效应难以准确估计。方差膨胀因子 (VIF) 是诊断多重共线性的常用指标。

```
# 3. 多重共线性诊断
cat("\n3. 多重共线性诊断\n")

## 3. 多重共线性诊断
vif_values <- vif(model_diagnostic)

## 方差膨胀因子(VIF):
## canopy_openness : 1.01
## soil_moisture : 1.03
## soil_nitrogen : 1.02
## slope : 1.03
```

可视化是理解影响分析结果的重要工具。Cook's distance 图能够直观展示各观测点对模型的影响程度，帮助我们识别需要特别关注的异常观测。

图9.8展示了林小雨的 Cook's Distance 影响分析结果。其中蓝色点表示各观测点的 Cook's 距离值，红色虚线表示影响阈值 ( $4/(n-p)$ )，超过此阈值的观测点（标注了观测编号）被认为对模型有显著影响。

在生态学中，异常观测往往具有重要的生态学意义。高杠杆点可能代表极端环境条件，异常残差点可能反映特殊的生态情境。通过识别这些点，我们不仅能够确保模型的统计稳健性，还能够发现值得深入研究的生态学现象。

在林小雨的森林树木生长研究中：

- 高杠杆点可能代表极端环境条件（如全光照但贫瘠土壤）
  - 这些观测对模型参数估计有不成比例的影响
- 异常残差点可能代表特殊的生态情境
  - 例如，异常高生长速率可能出现在人工林或施肥样地
  - 异常低生长速率可能出现在火烧迹地或病虫害样地
- 强影响点可能显著改变模型的生态学结论
  - 需要仔细检查这些观测的生态学合理性

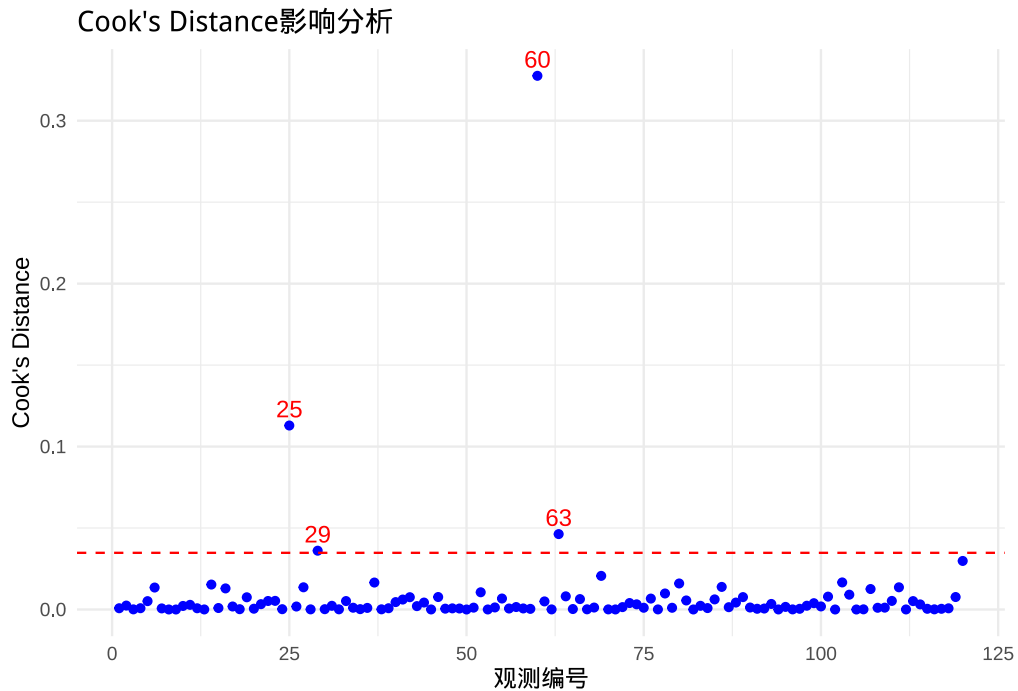


图 9.8 Cook's Distance 影响分析：识别对模型参数估计有过度影响的观测点

稳健性检查通过比较移除异常观测前后的模型结果，评估模型对异常观测的敏感性。如果系数变化显著，说明模型对特定观测过度依赖，需要谨慎解释结果。

```
# 稳健性检查：移除强影响点后的模型
if (length(influential_points) > 0) {
  cat("\n==== 稳健性检查 ====\n")

  robust_data <- forest_diagnostic_data[-influential_points, ]
  robust_model <- lm(growth_rate ~ canopy_openness + soil_moisture +
    soil_nitrogen + slope, data = robust_data
  )

  cat(" 原始模型系数:\n")
  print(round(coef(model_diagnostic), 3))

  cat("\n稳健模型系数（移除强影响点）:\n")
  print(round(coef(robust_model), 3))

  # 计算系数变化
  coef_change <- abs((coef(robust_model) - coef(model_diagnostic)) /
    coef(model_diagnostic)) * 100

  cat("\n系数变化百分比:\n")
  for (i in seq_along(coef_change)) {
    cat(names(coef_change)[i], ":", round(coef_change[i], 1), "%\n")
  }

  if (any(coef_change > 20)) {
    cat("\n警告：某些系数变化超过 20%，模型对异常观测敏感\n")
  } else {
    cat("\n模型对异常观测相对稳健\n")
  }
}

## === 稳健性检查 ===
## 原始模型系数：
##   (Intercept) canopy_openness  soil_moisture  soil_nitrogen           slope
```

```

##          4.223        0.065        0.167        1.445       -0.034
## 稳健模型系数 (移除强影响点) :
## (Intercept) canopy_openness soil_moisture soil_nitrogen      slope
##            3.982           0.078           0.163           1.368       -0.035
## 系数变化百分比:
## (Intercept) : 5.7 %
## canopy_openness : 20.5 %
## soil_moisture : 2.6 %
## soil_nitrogen : 5.4 %
## slope : 2.5 %
## 警告: 某些系数变化超过20%, 模型对异常观测敏感

```

模型诊断的最终目的是确保研究结论的可靠性。通过系统的诊断分析，我们能够识别潜在问题，采取适当措施，并在生态学解释中考虑模型的局限性。

模型诊断建议：检查异常观测的生态学合理性，考虑是否需要变换变量或使用稳健回归方法，确保模型假设得到满足，并在生态学解释中考虑模型的局限性。

模型诊断连接了统计技术与生态学理解。一个统计上完美的模型如果无法通过生态学合理性检验，其价值就会大打折扣。通过系统的模型诊断，我们能够构建既统计可靠又生态学有意义的模型。

## 9.4 生态模型的贝叶斯评判方法

林小雨在完成了频率学派的模型选择与评估后，她的导师向她介绍了另一种统计范式——贝叶斯方法。导师告诉她，贝叶斯方法在处理森林生态系统的复杂性和不确定性方面具有独特优势，特别是在整合先验生态学知识和量化预测不确定性方面。林小雨充满好奇地开始了贝叶斯模型选择与评估的学习之旅。

在前面的章节中，我们主要介绍了基于频率学派的模型选择与评估方法。现在让我们跟随林小雨转向一个完全不同的统计范式——贝叶斯方法。贝叶斯模型选择与评估在哲学基础、方法论和生态学解释上都与频率学派方法存在根本差异。

### 9.4.1 贝叶斯与频率学派的根本差异

理解贝叶斯方法的第一步是认识到它与频率学派方法的本质区别。从哲学基础来看，频率学派基于重复抽样思想，关注长期频率性质，而贝叶斯方法则基于主观概率解释，将参数视为随机变量。这种根本差异导致了两种方法在不确定性处理上的显著不同：频率学派通过置信区间表示参数不确定性，而贝叶斯方法则通过后验分布完全量化参数的不确定性。

在先验信息的使用方面，频率学派通常不利用先验信息，而贝叶斯方法则明确使用先验分布来整合领域知识。这种差异进一步体现在模型选择标准上，频率学派主要依赖 AIC/BIC 等信息准则，而贝叶斯方法则基于贝叶斯因子和后验模型概率进行模型比较。

在预测评估方法上，两种方法也展现出明显区别。频率学派主要基于点估计进行预测，而贝叶斯方

法则提供基于后验预测分布的完整预测。变量选择方法同样存在差异，频率学派采用逐步回归、LASSO 等惩罚方法，而贝叶斯方法则使用贝叶斯变量选择和稀疏先验等技术。

这些技术差异最终反映在生态学解释上。频率学派会表述为“我们有 95% 置信度参数在区间内”，而贝叶斯方法则直接表述为“参数有 95% 概率落在区间内”。这些根本差异使得贝叶斯方法在生态学中特别有价值，特别是在处理小样本数据、整合先验知识、量化不确定性等方面具有独特优势。

### 9.4.2 贝叶斯模型选择基本原理

贝叶斯模型选择的核心是贝叶斯因子和后验模型概率。

**贝叶斯因子**比较两个模型的相对证据强度：

$$BF_{12} = \frac{P(D|M_1)}{P(D|M_2)}$$

其中  $P(D|M_k)$  是模型  $M_k$  的边际似然，表示数据  $D$  在模型  $M_k$  下的平均拟合程度。

**后验模型概率**基于贝叶斯定理：

$$P(M_k|D) = \frac{P(D|M_k)P(M_k)}{\sum_j P(D|M_j)P(M_j)}$$

其中  $P(M_k)$  是先验模型概率，反映了我们对不同模型的先验偏好。

### 9.4.3 贝叶斯假设检验流程

林小雨开始学习贝叶斯假设检验，她发现这与频率统计方法有本质区别。贝叶斯方法让她能够明确整合森林生态学的先验知识，比如关于不同树种对环境因子响应强度的已有研究结果。

**基本步骤：**

#### 1. 定义先验分布

- 基于已有知识或专家意见设定参数先验
- 常用先验：无信息先验、弱信息先验、共轭先验
- 林小雨的应用：基于森林生态学文献设定温度对生长速率影响的先验分布

#### 2. 构建似然函数

- 基于观测数据建立概率模型
- 描述数据在给定参数下的生成过程
- 林小雨的应用：构建森林鸟类丰富度与环境因子的似然函数

#### 3. 计算后验分布

- 使用贝叶斯定理结合先验和似然
- 通常通过 MCMC 方法进行抽样

- 林小雨的应用：计算森林生态系统参数的后验分布

#### 4. 进行假设检验

- 基于后验分布计算假设的概率
- 使用贝叶斯因子或后验概率进行决策
- 林小雨的应用：检验栖息地面积对鸟类丰富度的影响是否显著

**生态学应用示例：**检验保护措施对物种丰富度的影响

### 9.4.4 贝叶斯模型比较与选择

在生态学研究中，我们经常面临多个竞争模型的比较问题。贝叶斯方法提供了系统化的框架来处理模型不确定性。

#### 模型证据与边际似然

**边际似然**（Marginal Likelihood）是模型比较的核心指标，定义为：

$$P(D|M) = \int P(D|\theta, M)P(\theta|M)d\theta$$

边际似然衡量了模型对数据的平均拟合程度，同时考虑了参数不确定性。

#### 贝叶斯模型平均（BMA）

当存在多个竞争模型时，贝叶斯模型平均通过加权平均的方式整合不同模型的预测：

$$P(\theta|D) = \sum_{k=1}^K P(\theta|D, M_k)P(M_k|D)$$

其中模型权重  $P(M_k|D)$  基于边际似然计算：

$$P(M_k|D) = \frac{P(D|M_k)P(M_k)}{\sum_{j=1}^K P(D|M_j)P(M_j)}$$

**生态学应用：**处理生态模型的不确定性，如：

- 物种分布模型的比较
- 种群动态模型的选择
- 群落构建机制的识别

### 9.4.5 贝叶斯可信区间

贝叶斯可信区间（Credible Interval）是贝叶斯统计中参数不确定性的量化工具，与频率统计中的置信区间有本质区别。

### 定义与解释：

**贝叶斯可信区间：**对于给定的置信水平  $1 - \alpha$ , 可信区间  $[L, U]$  满足:

$$P(L \leq \theta \leq U | D) = 1 - \alpha$$

这意味着在给定观测数据  $D$  的条件下, 参数  $\theta$  落在区间  $[L, U]$  内的概率为  $1 - \alpha$ 。

### 与频率置信区间的区别：

- **贝叶斯可信区间：**参数在区间内的概率
- **频率置信区间：**重复抽样时区间包含参数的概率

### 计算方法：

1. **最高后验密度区间 (HPDI)：**包含后验分布最高密度区域的区间
2. **等尾区间：**基于后验分布分位数的对称区间

### 生态学意义：

- 提供参数不确定性的直观解释
- “直接回答”参数在某个范围内的概率是多少”
- 特别适合风险评估和决策支持

## 9.4.6 贝叶斯因子计算与解释

在 R 中, 我们可以使用 `BayesFactor` 包来计算贝叶斯因子:

```
# 贝叶斯因子计算
library(BayesFactor)

load("data/forest_bird_data_bayes.rds")
# 构建候选模型
# 模型 1: 只有栖息地面积
model1 <- lmBF(richness ~ area, data = forest_bird_data_bayes)

# 模型 2: 栖息地面积 + 植被密度
model2 <- lmBF(richness ~ area + vegetation, data = forest_bird_data_bayes)

# 模型 3: 栖息地面积 + 植被密度 + 距水源距离
model3 <- lmBF(richness ~ area + vegetation + water_distance,
  data = forest_bird_data_bayes
)

# 计算贝叶斯因子
bf_12 <- model2 / model1
bf_23 <- model3 / model2
```

贝叶斯因子比较结果显示, 模型 2 相对于模型 1 的贝叶斯因子为 1.28, 模型 3 相对于模型 2 的贝叶斯因子为  $2.1013994 \times 10^5$ 。

根据 Jeffreys 标准, 贝叶斯因子的解释标准为: 1-3 表示微弱证据, 3-10 表示实质性证据, 10-30 表示强证据, 30-100 表示很强证据, 大于 100 表示决定性证据。

```
# 计算后验模型概率
# 假设等先验概率
prior_prob <- c(1 / 3, 1 / 3, 1 / 3)
bf_vector <- c(
  1, exp(bf_12@bayesFactor$bf),
  exp(bf_23@bayesFactor$bf) * exp(bf_12@bayesFactor$bf)
)
posterior_prob <- bf_vector * prior_prob / sum(bf_vector * prior_prob)
```

```
## 
## === 林小雨的森林鸟类模型后验模型概率 ===
## 模型1 (只有栖息地面积): 0
## 模型2 (栖息地面积+植被密度): 0
## 模型3 (栖息地面积+植被密度+距水源距离): 1
```

### 9.4.7 贝叶斯模型平均

贝叶斯模型平均通过后验模型概率对多个候选模型的预测进行加权平均，从而整合模型不确定性：

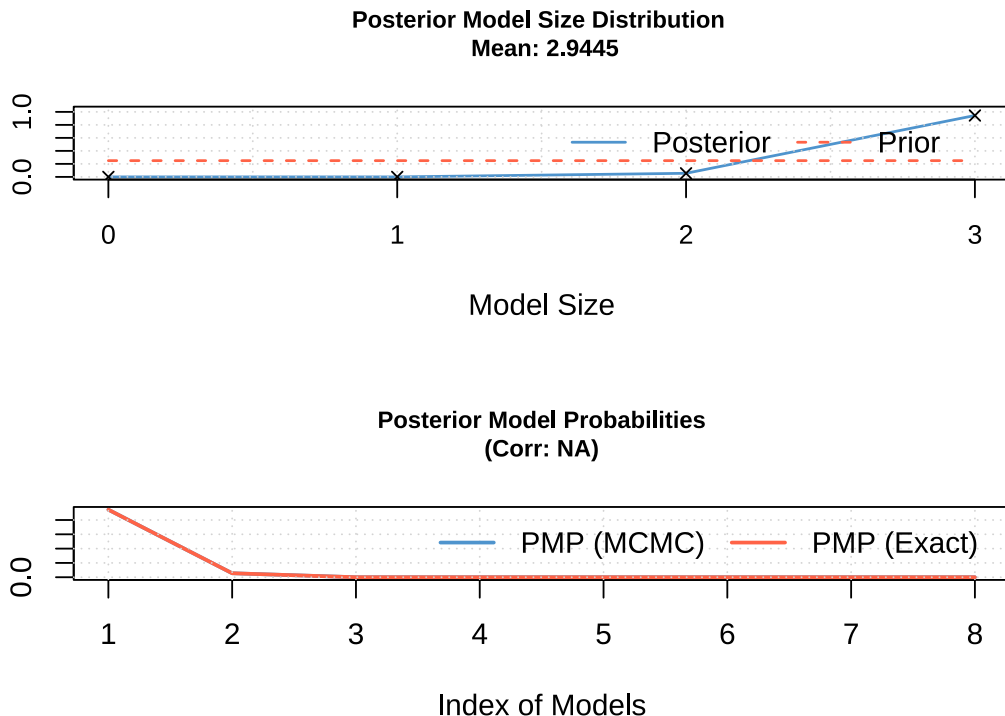
```
# 贝叶斯模型平均演示
library(BMS)

# 使用 BMS 包进行贝叶斯模型平均
# 注意：这里使用线性回归的贝叶斯模型平均
# 在实际应用中，对于计数数据应该使用泊松回归

# 创建设计矩阵
design_matrix <- forest_bird_data_bayes[, 
  c("area", "vegetation", "water_distance")]
response_var <- forest_bird_data_bayes$richness

# 执行贝叶斯模型平均
bma_result <- bms(cbind(response_var, design_matrix),
  burn = 1000, iter = 5000, g = "UIP")
```

|                        | PIP         | Post Mean  | Post SD     | Cond.Pos.    | Sign           | Idx   |
|------------------------|-------------|------------|-------------|--------------|----------------|-------|
| ## area                | 1.0000000   | 0.2638852  | 0.02977124  |              | 1              | 1     |
| ## water_distance      | 0.9999979   | -3.4862236 | 0.59152078  |              | 0              | 3     |
| ## vegetation          | 0.9444822   | 9.8845073  | 4.31007528  |              | 1              | 2     |
| ## Mean no. regressors | "2.9445"    | "8"        | "0"         | "0.009389877 | secs"          | Time  |
| ## No. models visited  | "8"         | Modelspace | %" visited  | % Topmodels  | "100"          | "100" |
| ## Corr PMP            | "NA"        | No. Obs.   | Model Prior | g-Prior      | "random / 1.5" | "UIP" |
| ## Shrinkage-Stats     | "Av=0.9877" | "80"       |             |              |                |       |
| ## Time difference of  | 0.009389877 | secs       |             |              |                |       |



```
# 输出模型平均结果
cat("== 林小雨的森林鸟类贝叶斯模型平均结果 ==\n")

## == 林小雨的森林鸟类贝叶斯模型平均结果 ==
print(summary(bma_result))

## Mean no. regressors           Draws           Burnins          Time
##      "2.9445"                 "8"             "0"    "0.009389877 secs"
## No. models visited           Modelspace     % visited        % Topmodels
##      "8"                      "2^K"           "100"           "100"
## Corr PMP                     No. Obs.       Model Prior      g-Prior
##      "NA"                     "80"            "random / 1.5"   "UIP"
## Shrinkage-Stats              "Av=0.9877"         

## == 林小雨的森林鸟类变量后验包含概率 ==
## 无法提取后验包含概率, 请检查BMS包版本
```

后验包含概率的解释标准为：后验包含概率大于 0.5 表示变量很可能重要，大于 0.75 表示变量很可能非常重要，大于 0.95 表示变量几乎确定重要。

#### 9.4.8 贝叶斯预测评估

贝叶斯方法通过后验预测分布提供完整的预测不确定性量化：

图??展示了林小雨的森林鸟类贝叶斯预测评估结果。该代码首先加载 brms 包进行贝叶斯建模，使用 `brm()` 函数拟合贝叶斯泊松回归模型，包含栖息地面积、植被密度和距水源距离三个预测变量。模型设置使用正态先验分布，运行 2 条马尔可夫链，迭代 2000 次（其中预热 1000 次）。通过 `posterior_predict()` 函数生成后验预测分布，计算每个观测点的预测均值和 95% 预测区间。可视化部分使用 ggplot2 创建散点图，蓝色点表示观测值与预测值的对应关系，误差线显示预测不确定性，红色虚线为 1:1 参考线。最后通过 `pp_check()` 进行后验预测检查，验证模型生成数据与观测数据的相似性。

```

# 贝叶斯预测评估演示
library(brms)

# 使用 brms 进行贝叶斯泊松回归

# 拟合贝叶斯泊松回归模型
bayes_poisson <- brm(richness ~ area + vegetation + water_distance,
  data = forest_bird_data_bayes,
  family = poisson(),
  prior = c(
    prior(normal(0, 2.5), class = "b"),
    prior(normal(0, 5), class = "Intercept")
  ),
  chains = 2, iter = 2000, warmup = 1000,
  seed = 1234, silent = 2, refresh = 0
)

# 后验预测分布
posterior_predictive <- posterior_predict(bayes_poisson)

# 计算预测统计量
pred_mean <- apply(posterior_predictive, 2, mean)
pred_ci <- apply(posterior_predictive, 2, quantile,
  probs = c(0.025, 0.975))

# 可视化预测不确定性
library(ggplot2)
pred_data <- data.frame(
  Observed = forest_bird_data_bayes$richness,
  Predicted = pred_mean,
  Lower = pred_ci[1, ],
  Upper = pred_ci[2, ]
)

ggplot(pred_data, aes(x = Observed, y = Predicted)) +
  geom_point(alpha = 0.7, color = "blue") +
  geom_errorbar(aes(ymin = Lower, ymax = Upper), alpha = 0.3, width = 0) +
  geom_abline(intercept = 0, slope = 1, linetype = "dashed", color = "red") +
  labs(
    title = "林小雨的森林鸟类贝叶斯预测：观测值 vs 预测值",
    x = "观测鸟类丰富度",
    y = "预测鸟类丰富度"
  ) +
  theme_minimal()

# 后验预测检查
cat("==== 后验预测检查 ===\\n")

## === 后验预测检查 ===

# 计算后验预测 p 值
pp_check <- pp_check(bayes_poisson)
print(pp_check)

##
## 后验预测检查帮助我们验证模型是否能够生成与观测数据相似的数据。
## 如果模型拟合良好，后验预测分布应该与观测数据分布相似。

```

### 9.4.9 贝叶斯变量选择

贝叶斯变量选择通过稀疏先验自动进行变量选择：

```

# 贝叶斯变量选择演示：林小雨的森林鸟类环境因子筛选
library(monomvn)

# 使用贝叶斯 LASSO 进行变量选择

```

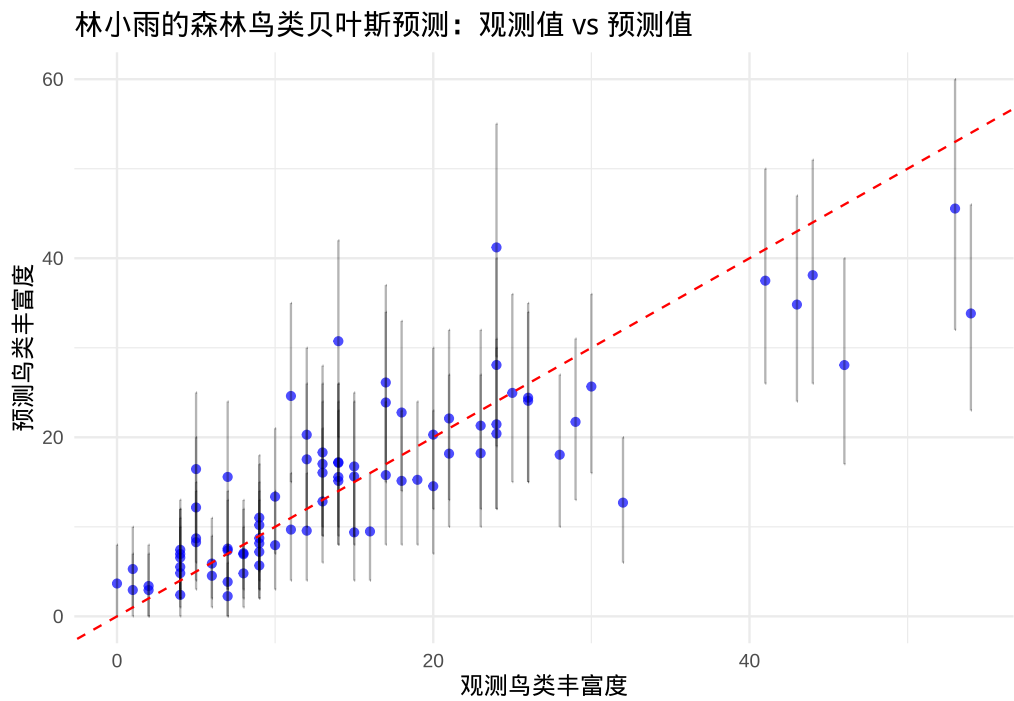


图 9.9 贝叶斯预测：观测值与预测值的比较，包含 95% 预测区间

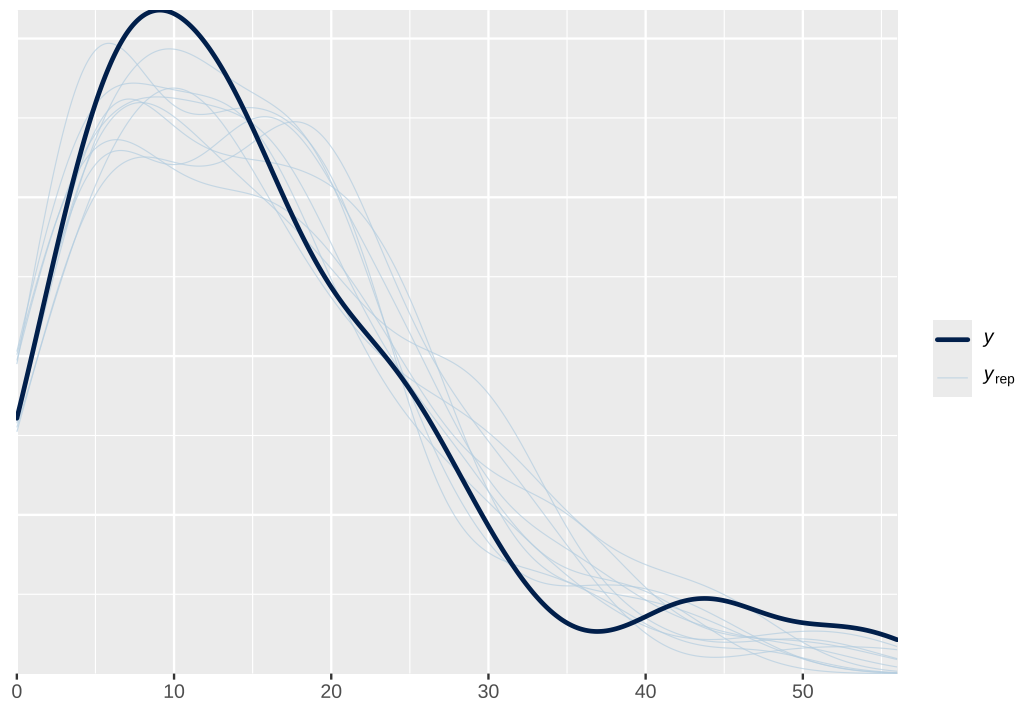


图 9.10 贝叶斯预测：观测值与预测值的比较，包含 95% 预测区间

```

# 注意：这里使用连续响应的简化版本
# 创建包含冗余变量的扩展数据集
set.seed(6060)
forest_bird_data_extended <- forest_bird_data_bayes
forest_bird_data_extended$redundant1 <-
  rnorm(n_forest_birds, 0, 1) # 冗余变量 1 (林小雨测量的非相关因子)
forest_bird_data_extended$redundant2 <-
  rnorm(n_forest_birds, 0, 1) # 冗余变量 2 (林小雨测量的非相关因子)

# 贝叶斯 LASSO 变量选择
# 使用 monomvn 包的 blasso 函数
blasso_result <- blasso(
  X = as.matrix(forest_bird_data_extended[, -1]),
  y = forest_bird_data_extended$richness,
  T = 5000, verb = 0
)
# 提取后验包含概率
posterior_inclusion <- colMeans(blasso_result$beta != 0)

## === 林小雨的森林鸟类贝叶斯LASSO变量选择结果 ===

## b.1 : 1
## b.2 : 0.928
## b.3 : 0.999
## b.4 : 0.974
## b.5 : 0.263

```

在林小雨的森林鸟类研究中，贝叶斯 LASSO 通过 Laplace 先验自动进行变量选择。后验包含概率反映了每个环境因子被包含在模型中的概率。真实影响鸟类丰富度的环境因子（如栖息地面积、植被密度、距水源距离）应该具有较高的后验包含概率，而林小雨测量的冗余变量（如与鸟类丰富度无关的随机因子）应该具有较低的概率。这种自动化的变量选择方法帮助林小雨识别出真正重要的环境驱动因子，避免了主观偏见对模型选择的影响。

#### 9.4.10 生态学应用价值

贝叶斯模型选择与评估在生态学中具有重要的应用价值：

- 1. 小样本情况下的稳健性：**贝叶斯方法在小样本情况下通常比频率学派方法更稳健，同时通过合理选择先验分布，可以整合领域知识得出更可靠的结论。
- 2. 不确定性量化：**贝叶斯方法提供完整的后验分布，而非点估计，因此预测不确定性完全量化，便于风险评估。
- 3. 模型不确定性整合：**贝叶斯模型平均整合了模型选择的不确定性，避免了“赢家通吃”的问题。
- 4. 生态学解释性：**后验概率提供了更直观的生态学解释，因此变量重要性基于后验包含概率，而非 p 值。
- 5. 复杂模型的适应性：**贝叶斯方法特别适合复杂生态模型，可以处理层次结构、时空相关性等复杂特征。

### 9.4.11 贝叶斯检验的生态学应用案例

贝叶斯方法在生态学研究中具有广泛的应用价值，特别是在处理复杂生态模型、整合多源数据和量化不确定性方面展现出独特优势。以下是三个典型的生态学应用案例：

#### 案例 1：物种分布模型与环境因子分析

物种分布模型是生态学中应用贝叶斯方法的经典场景，能够同时处理观测误差、环境异质性和参数不确定性。

#### 案例 2：种群动态的状态空间模型

贝叶斯状态空间模型能够分离过程误差和观测误差，重建真实的种群动态轨迹。

#### 案例 3：群落生态学的多元分析

在群落生态学中，贝叶斯方法可以处理多物种响应，量化物种间的变异和共性。

这些案例展示了贝叶斯方法在生态学不同领域的强大应用能力：

1. **物种分布模型**: 处理存在-缺失数据，量化环境因子的不确定性
2. **种群动态分析**: 分离过程误差和观测误差，重建真实种群轨迹
3. **群落生态学**: 处理多物种响应，量化物种间的变异和共性

贝叶斯方法的优势在于能够：

- 明确量化所有参数的不确定性
- 整合先验知识和观测数据
- 处理复杂的层次结构和随机效应
- 提供完整的后验分布而非点估计

这些特性使得贝叶斯方法特别适合处理生态学中常见的小样本、复杂结构和高度不确定性问题。

### 9.4.12 贝叶斯方法的局限性

尽管贝叶斯方法具有诸多优势，但也存在一些局限性：

1. **计算复杂性**: MCMC 采样计算成本较高，尤其是对于复杂模型和大数据集，需要专业知识设置先验和诊断收敛。
2. **先验选择敏感性**: 结果可能对先验分布选择敏感，因此需要谨慎选择合理的先验。
3. **收敛诊断**: 需要仔细检查 MCMC 链的收敛性，诊断工具相对复杂。
4. **软件学习曲线**: 贝叶斯软件（Stan、JAGS）学习曲线较陡，需要掌握新的编程范式。

在生态学研究中，贝叶斯方法和频率学派方法各有优势。理想的做法是根据具体研究问题和数据特征选择合适的方法，或者在可能的情况下同时使用两种方法进行交叉验证。

## 9.5 总结

林小雨站在保护区管理站的办公室里，整理着这几个月来的研究成果。电脑屏幕上显示着一系列森林生态系统模型的分析结果，每个模型都代表着她对森林生态系统的一次深入理解。从最初简单的温度与树木生长关系，到现在能够综合考虑多个环境因子的复杂模型，她的研究历程见证了模型选择与评估在生态学研究中的核心价值。

### 9.5.1 研究历程的回顾

林小雨的模型选择与评估之旅始于一个关键认识：在众多候选模型中，如何选择最可靠的那个？她首先学习了模型选择的基本原则，理解了模型复杂度与拟合优度之间的权衡。在分析森林土壤养分与植物生物量关系时，她运用奥卡姆剃刀原则，在简约性和解释力之间找到了最佳平衡点。二次多项式模型成功捕捉了植物对养分的最适响应模式，而过高次数的多项式则导致了过度拟合。

信息准则成为林小雨模型比较的重要工具。在研究森林鸟类丰富度与环境因子关系时，她使用 AIC 和 BIC 系统地比较了多个候选模型。通过  $\Delta AIC$  差异，她识别出栖息地面积、植被密度和距水源距离是影响鸟类丰富度的关键因子，而土壤 pH 值等其他因子的贡献相对有限。信息准则帮助她在统计显著性和生态学意义之间找到了平衡。

似然比检验让林小雨能够系统地评估模型复杂度的必要性。在苗圃实验中研究温度与光照对植物生长的影响时，似然比检验帮助她判断是否需要考虑温度-光照交互作用。统计显著的交互项揭示了环境因子的协同效应，为苗圃管理提供了科学指导。

模型平均方法让林小雨学会了如何处理模型选择的不确定性。在溪流鱼类丰度研究中，面对多个看似合理的候选模型，她没有采用“赢者通吃”的策略，而是通过 AIC 权重对不同模型的预测进行加权平均。这种方法不仅提供了更稳健的预测，还量化了不同生态假说的相对支持程度。变量重要性分析揭示了水温、溶解氧和 pH 值是影响鱼类丰度的关键因子，为溪流保护提供了明确的管理目标。

### 9.5.2 模型评估的深刻理解

模型评估让林小雨认识到，选择模型只是第一步，验证模型的可靠性同样重要。交叉验证成为她评估模型泛化能力的标准工具。在分析森林鸟类丰富度模型时，10 折交叉验证显示模型在不同数据子集上表现稳定，RMSE 的一致性证明了模型没有过度拟合训练数据的特定特征。

外部验证让林小雨理解了模型空间普适性的重要性。当她将在某个山地森林区域构建的植物物种丰富度模型应用到邻近但生态条件略有不同的另一个森林区域时，模型性能的适度下降提醒她注意森林生态系统的空间异质性。这种对模型局限性的清醒认识，使她在向保护区管理者汇报结果时能够明确说明模型的适用范围和不确定性。

模型诊断培养了林小雨对统计假设的敏感性。在树木生长速率模型中，残差分析帮助她识别出异常观测点，这些点代表了特殊的森林生态情境——火烧迹地、人工林或病虫害样地。通过 Cook's 距离等

影响分析工具，她不仅确保了模型的统计稳健性，还发现了值得深入研究的生态学现象。多重共线性诊断则提醒她注意环境因子间的相关性，避免了参数估计的不稳定。

### 9.5.3 贝叶斯方法的新视角

贝叶斯模型选择为林小雨打开了一扇新的窗户。与频率学派方法相比，贝叶斯方法通过后验概率提供了更直观的模型比较标准。在森林鸟类丰富度研究中，贝叶斯因子量化了不同模型的相对证据强度，后验模型概率则直接回答了“模型正确的概率是多少”这个生态学家最关心的问题。

贝叶斯模型平均让林小雨学会了如何整合先验知识和观测数据。通过合理设置先验分布，她能够将森林生态学的已有研究成果融入统计分析，使模型结果更加可靠。后验预测分布提供了完整的预测不确定性量化，这对于风险评估和保护决策至关重要。

贝叶斯变量选择通过稀疏先验自动识别重要环境因子，后验包含概率直接反映了每个变量的重要性。这种方法避免了逐步回归可能带来的多重比较问题，为林小雨提供了更可靠的变量选择结果。

### 9.5.4 生态学研究的方法论启示

通过系统学习模型选择与评估方法，林小雨深刻理解了几个重要的方法论原则：

**统计方法与生态学知识的结合：**模型选择不应仅依赖统计准则，更要结合生态学理论。AIC 最小的模型未必是生态学上最合理的模型。在某些情况下，保留统计上不显著但生态学意义明确的变量可能更加合理。

**简约性原则的价值：**奥卡姆剃刀在生态建模中具有深刻意义。简约模型不仅计算效率高，更重要的是具有更好的泛化能力和生态学解释性。过度复杂的模型虽然能够完美拟合训练数据，但往往捕捉了随机噪声而非真实的生态机制。

**不确定性的诚实评估：**模型评估的核心目的是识别模型的局限性。通过交叉验证、外部验证和模型诊断，林小雨学会了诚实评估模型的不确定性。在向保护区管理者汇报时，她不仅呈现预测结果，还明确说明预测的置信区间和模型的适用条件。

**多方法验证的重要性：**单一的模型选择方法可能存在偏差。林小雨学会了同时使用 AIC、BIC、交叉验证等多种方法来评估模型，只有在多种方法一致指向某个模型时，她才会确信这个模型的可靠性。

### 9.5.5 实践应用与保护价值

林小雨的模型选择与评估研究为保护区管理提供了坚实的科学依据：

**保护优先区识别：**通过预测物种丰富度模型，她识别出保护价值最高的森林区域。模型显示栖息地面积大、植被密度高、距水源近的区域具有最高的鸟类丰富度，这些区域应该成为保护规划的优先目标。

**管理措施评估：**交叉验证确保的模型泛化能力让她能够可靠地预测不同管理措施的生态效果。例如，模型预测扩大保护区面积 10 公顷将平均增加 2-3 种鸟类，这为保护区扩展计划提供了定量支持。

**气候变化影响预测：**虽然模型的外推需要谨慎，但在合理范围内，林小雨的模型能够预测温度升高对森林生态系统的影响。模型诊断确保的统计可靠性使这些预测能够为适应性管理提供参考。

**监测方案优化：**变量重要性分析帮助她优化了生态监测方案。既然栖息地面积、植被密度和距水源距离是最重要的预测变量，那么监测工作就应该优先关注这些因子的变化趋势。

### 9.5.6 研究能力的提升

通过这次模型选择与评估的系统学习，林小雨的研究能力获得了全面提升：

**批判性思维：**她学会了批判性评估模型结果，不再盲目相信统计显著性。残差分析培养了她识别异常值的能力，模型诊断让她能够判断模型假设是否满足。

**定量分析技能：**从信息准则计算到交叉验证实施，从贝叶斯因子解释到后验概率推断，她掌握了现代生态统计的核心方法。这些技能不仅适用于当前研究，更是她未来科研工作的基础。

**科学沟通能力：**模型评估强化了她的科学沟通能力。在向非统计背景的保护区管理者解释模型结果时，她学会了用生态学语言阐述统计概念，用置信区间传达不确定性，用可视化工具展示预测结果。

**研究设计能力：**外部验证的经验让她理解了研究设计的重要性。在未来的研究中，她会在数据收集阶段就考虑模型验证的需求，确保有足够的独立数据用于外部验证。

### 9.5.7 未来研究方向

站在研究的新起点，林小雨规划了未来的研究方向：

**模型的时空扩展：**当前模型主要是空间模型，未来她希望纳入时间维度，构建时空模型来预测森林生态系统的动态变化。这需要长期监测数据和更复杂的统计方法。

**机制模型与统计模型的整合：**纯统计模型虽然预测能力强，但生态学解释性有限。她希望将生态学机制模型与统计模型整合，既保持预测精度，又增强生态学可解释性。

**多物种模型：**当前研究主要关注物种丰富度，未来她希望构建多物种分布模型，同时预测多个物种的分布和丰度，揭示物种间的相互作用。

**贝叶斯层次模型：**贝叶斯方法的强大让她意识到层次模型的潜力。通过构建贝叶斯层次模型，她可以同时考虑样地层面、景观层面和区域层面的变异，更全面地理解森林生态系统的结构。

### 9.5.8 给生态学本科生的建议

基于自己的研究经历，林小雨总结了几点建议，希望与正在学习生态统计的同学们分享：

**扎实的统计基础：**模型选择与评估需要扎实的统计学基础。不要只满足于会用 R 代码，要真正理解 AIC、交叉验证、贝叶斯推断等方法的数学原理和适用条件。

**生态学直觉的培养：**统计方法是工具，生态学直觉是灵魂。在模型选择时，始终问自己：这个模型在生态学上合理吗？参数估计值符合生态学常识吗？预测结果可以用生态学理论解释吗？

**批判性思维的重要性：**不要盲目相信模型结果。每个模型都有假设和局限性，通过系统的模型诊断和验证来识别这些局限性。在科学报告中诚实地讨论模型的不确定性。

**动手实践的必要性：**统计建模是实践性很强的技能。多做练习，从简单的线性回归开始，逐步尝试更复杂的模型。在实践中理解过度拟合、多重共线性等常见问题。

**持续学习的态度：**生态统计方法快速发展，机器学习、深度学习等新方法不断涌现。保持开放的学习态度，关注领域内的方法学进展，但同时也要清醒地认识到，经典的模型选择与评估方法仍然是生态学研究的基石。

夕阳透过窗户洒在林小雨的研究笔记上，她合上笔记本，脸上露出满足的微笑。通过系统学习模型选择与评估方法，她不仅完成了保护区的研究任务，更重要的是建立了科学的思维方式和严谨的研究态度。这些能力将伴随她的整个科研生涯，帮助她在生态学研究的道路上不断前行。她知道，这只是开始，前方还有更多的生态学谜题等待她去探索，更多的统计方法等待她去掌握。但她已经准备好了，带着数学的望远镜和生态学的心，继续她的森林探索之旅。

## 9.6 综合练习

### 9.6.1 练习一：森林生态系统模型选择与评估综合应用

**背景：**假设你是一名生态学研究者，正在研究某山地森林生态系统中植物物种丰富度与环境因子的关系。你收集了 150 个森林样地的数据，包括物种丰富度、海拔、年降水量、土壤氮含量、林冠开度和坡度等变量。

**任务：**本练习要求你基于生态学理论和统计准则，构建 3-4 个候选模型来描述植物物种丰富度与环境因子的关系，并解释每个模型背后的生态学假设。然后进行信息准则分析，计算每个模型的 AIC、BIC、 $\Delta AIC$  和 AIC 权重，根据信息准则结果确定最优模型并解释选择依据。对最优模型进行全面的模型诊断，包括残差分析（正态性、异方差性）、影响分析（高杠杆点、异常残差点、强影响点）和多重共线性诊断。使用 10 折交叉验证评估最优模型的泛化能力，计算训练集和测试集的 RMSE，分析是否存在过度拟合。最后基于最优模型结果，解释各环境因子对植物物种丰富度的影响，并提出森林保护管理建议。

**思考题：**如果 AIC 最优模型与 BIC 最优模型不同，你会如何选择？为什么？在模型诊断中发现强影响点，你会如何处理？这些强影响点可能代表什么生态学现象？

### 9.6.2 练习二：贝叶斯模型选择与频率学派方法比较

**背景：**你正在研究溪流生态系统中鱼类丰度与环境因子的关系。数据包括 80 个溪流样点的鱼类丰度以及水温、溶解氧、pH 值、浊度等环境因子。

**任务：**本练习要求你分别使用频率学派和贝叶斯方法进行分析。在频率学派分析中，使用逐步回归方法选择重要环境因子，计算 AIC 和 BIC 值确定最优模型，并进行模型诊断和交叉验证。在贝叶斯分析中，使用贝叶斯线性回归拟合模型，计算贝叶斯因子比较不同模型，执行贝叶斯模型平均计算变量后验包含概率，生成后验预测分布和 95% 可信区间。然后比较频率学派和贝叶斯方法在变量选择结果上的异同，分析两种方法在不确定性量化方面的差异，讨论两种方法在生态学解释上的优势和局限性。最后基于分析结果，识别影响溪流鱼类丰度的关键环境因子，提出溪流生态保护的具体建议，并讨论模型结果在溪流管理决策中的应用价值。

**思考题：**在什么情况下贝叶斯方法比频率学派方法更适合生态学研究？如何合理设置贝叶斯分析中的先验分布？先验分布的选择对结果有多大影响？贝叶斯模型平均与频率学派的模型平均有何异同？

### 9.6.3 练习三：模型评估在生态保护决策中的应用

**背景：**某自然保护区需要制定鸟类保护策略，你负责构建鸟类丰富度预测模型来指导保护决策。你拥有该保护区过去 5 年的鸟类调查数据，以及详细的生境特征数据。

**任务：**本练习要求你构建多个候选模型预测鸟类丰富度，使用信息准则选择最优模型，并解释最优模型的生态学意义。进行内部验证，使用 k 折交叉验证评估模型泛化能力，分析模型在不同数据子集上的稳定性，识别潜在的过度拟合问题。进行外部验证，使用邻近保护区的独立数据验证模型，分析模型的空间普适性，识别模型的边界条件和适用范围。进行不确定性量化，计算预测置信区间，使用 Bootstrap 方法量化预测不确定性，分析不确定性来源（参数估计、模型选择、生态系统变异）。最后提供保护决策支持，基于模型预测识别保护优先区域，评估不同管理措施对鸟类丰富度的潜在影响，制定基于模型证据的保护策略，明确模型预测的局限性和不确定性。

**思考题：**在向保护区管理者汇报模型结果时，你会如何平衡模型的预测精度和不确定性？如果外部验证显示模型在新区域表现不佳，你会如何调整保护策略？如何将模型评估结果转化为具体的、可操作的保护管理建议？